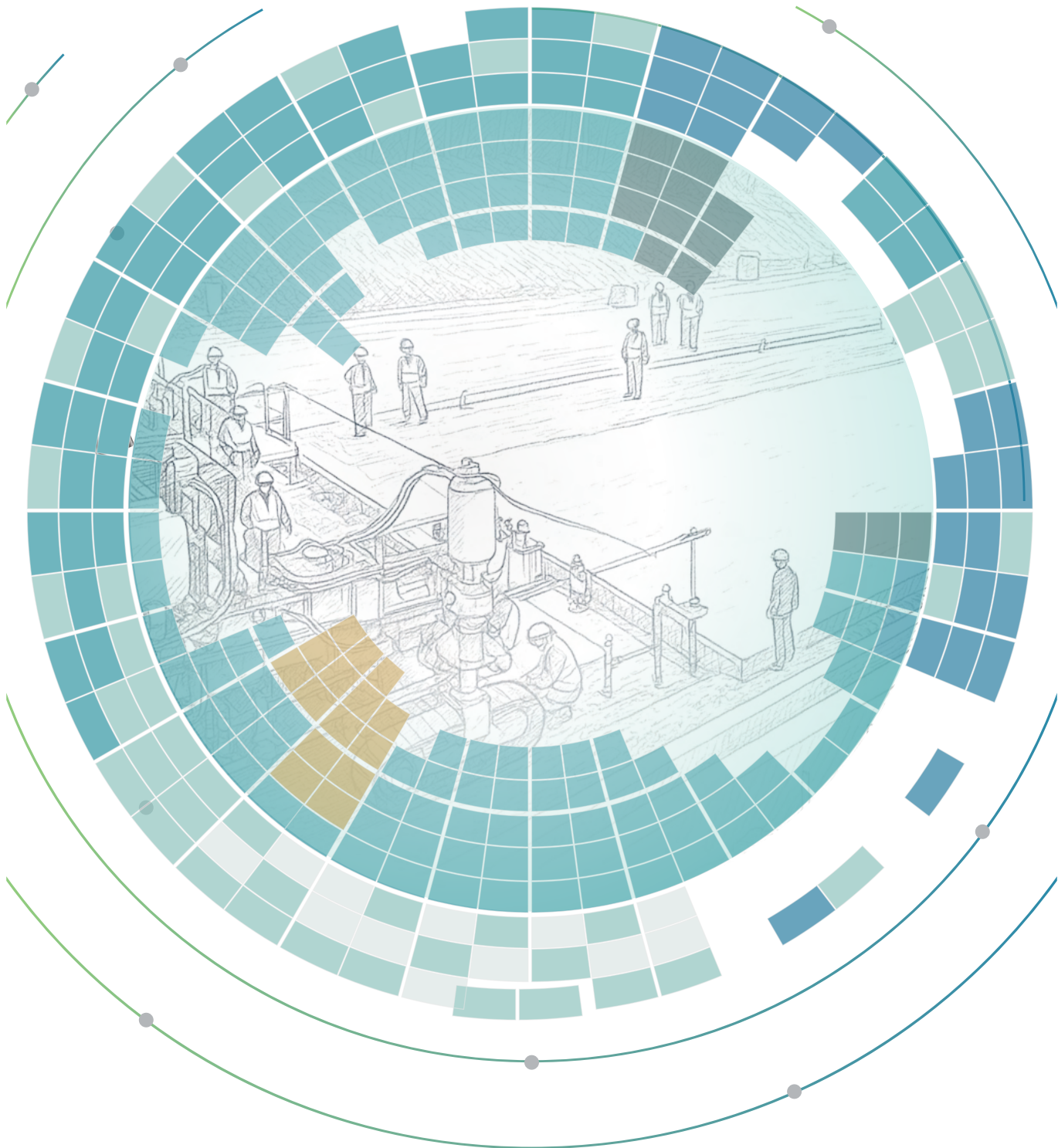


# 도로포장 설계 요령

2025.06



## 지침 제정에 따른 경과 조치

이 지침은 발간시점부터 적용하며, 이미 시행중인 설계용역이나 건설공사에 대하여는 발주기관의 장이 필요하다 인정하는 경우에는 적용할 수 있습니다.

## 머 리 말

도로포장은 도로의 기능성과 안전성, 그리고 유지관리의 효율성을 결정짓는 핵심 요소로서, 설계 초기 단계부터 다양한 도로 조건과 기후 환경, 교통 하중을 종합적으로 고려한 구조적 판단이 요구됩니다. 이러한 필요에 따라 그동안 국토교통부는 도로포장 설계의 특수성과 기술 다양성을 반영하고자 『도로포장 구조설계 요령』, 『터널 내 포장설계 지침』, 『도로 동상방지층 설계지침』 등 여러 간행물을 운영해왔습니다.

그러나 간행물 간의 내용상 중복·상충 문제, 여러 문서를 병행하여 참조해야 하는 실무적 번거로움, 설계에 불필요한 내용 등이 업무 효율성에 부정적인 영향을 주는 요소로 작용해 왔습니다. 또한, 기존에 특정 지침만 개정되면 간행물간 내용이 상충되는 경우가 존재하여 실무에 혼선을 주는 경우도 있었습니다.

이에 따라 국토교통부는 기존의 포장 설계와 관련된 간행물들을 전면적으로 재검토하고, 중복되는 내용과 불필요한 내용을 정비한 통합 지침으로서 『도로포장 설계 요령』을 새롭게 마련하였습니다.

이번 설계 요령은 기존 문서들의 주요 기술 기준을 계승하면서도 포장 설계에 요구되는 전 과정을 포괄함으로써, 실무자가 다양한 현장 여건에 맞는 설계 판단을 할 수 있을 것으로 기대하고 있습니다. 또한, 앞으로는 개정시 포장 설계에 대한 전반적인 내용이 검토되어 기준의 정합성이 보다 높아질 것으로 기대하고 있습니다.

앞으로도 국토교통부는 현장의 의견을 지속적으로 반영하고, 기술 발전과 정책 변화를 유연하게 수용하여 본 설계요령을 지속적으로 보완·개선해 나갈 계획입니다. 이번 통합을 통해 본 요령이 도로포장 설계의 표준 지침으로서, 실무의 일관성과 품질 향상에 실질적인 기여를 하기를 기대합니다.

마지막으로 본 설계 요령을 마련하는데 참여하신 한국도로협회와 한국건설기술연구원 연구진, 자문위원 그리고 국토교통부 관계공무원 여러분의 노고에 깊은 감사를 드립니다.

2025년 6월

국토교통부 도로국장 이 우 제 아우제

# Contents

도로포장 설계 요령

## I 편 총칙

1

|                          |           |
|--------------------------|-----------|
| <b>제1장 일반사항</b> .....    | <b>5</b>  |
| 1.1 적용범위 .....           | 5         |
| 1.2 관련규정의 적용 .....       | 7         |
| 1.3 용어의 정의 .....         | 8         |
| 1.4 포장 설계 시스템 .....      | 15        |
| <br>                     |           |
| <b>제2장 사전 설계절차</b> ..... | <b>31</b> |
| 2.1 적용범위 .....           | 31        |
| 2.2 설계구간 길이 결정 .....     | 31        |
| 2.3 포장형식 결정 .....        | 35        |
| 2.4 설계등급 결정 .....        | 38        |
| 2.5 설계대안 단면 결정 .....     | 40        |

## II 편 아스팔트 콘크리트 포장 구조 설계

47

|                         |           |
|-------------------------|-----------|
| <b>제1장 설계입력변수</b> ..... | <b>51</b> |
| 1.1 개설 .....            | 51        |
| 1.2 설계등급 1 .....        | 51        |

|                                 |            |
|---------------------------------|------------|
| 1.3 설계등급 2 .....                | 64         |
| <b>제2장 구조 해석 .....</b>          | <b>77</b>  |
| 2.1 개설 .....                    | 77         |
| 2.2 다층탄성 해석 프로그램 .....          | 77         |
| <b>제3장 공용성 해석 .....</b>         | <b>83</b>  |
| 3.1 개설 .....                    | 83         |
| 3.2 공용성 예측 .....                | 83         |
| 3.3 피로균열 .....                  | 84         |
| 3.4 영구변형 .....                  | 85         |
| 3.5 평탄성 .....                   | 86         |
| <b>제4장 경제성 분석 .....</b>         | <b>89</b>  |
| 4.1 일반사항 .....                  | 89         |
| 4.2 생애주기비용 분석 .....             | 89         |
| 4.3 경제성 분석 방법 .....             | 91         |
| <b>제5장 설계등급 3 .....</b>         | <b>95</b>  |
| 5.1 일반사항 .....                  | 95         |
| 5.2 교통조건 .....                  | 96         |
| 5.3 노상조건 .....                  | 97         |
| 5.4 설계단면 .....                  | 98         |
| <b>제6장 아스팔트 덧씌우기 포장설계 .....</b> | <b>103</b> |
| 6.1 일반사항 .....                  | 103        |
| 6.2 설계입력변수 .....                | 107        |

|                                    |     |
|------------------------------------|-----|
| 6.3 기존 아스팔트 콘크리트 포장의 재료물성 평가 ..... | 107 |
| 6.4 구조해석 및 공용성 해석 .....            | 108 |

## III 편 시멘트 콘크리트 포장 구조 설계 111

|                           |            |
|---------------------------|------------|
| <b>제1장 설계입력변수 .....</b>   | <b>115</b> |
| 1.1 개설 .....              | 115        |
| 1.2 설계등급 1 .....          | 115        |
| 1.3 설계등급 2 .....          | 118        |
| <br>                      |            |
| <b>제2장 구조 해석 .....</b>    | <b>127</b> |
| 2.1 일반사항 .....            | 127        |
| <br>                      |            |
| <b>제3장 공용성 해석 .....</b>   | <b>131</b> |
| 3.1 개설 .....              | 131        |
| 3.2 공용성 예측 .....          | 131        |
| 3.3 피로균열 .....            | 132        |
| 3.4 국제평탄성지수(IRI) 모형 ..... | 133        |
| <br>                      |            |
| <b>제4장 경제성 분석 .....</b>   | <b>137</b> |
| 4.1 일반사항 .....            | 137        |
| 4.2 생애주기비용 분석 .....       | 137        |
| 4.3 경제성 분석 방법 .....       | 137        |
| <br>                      |            |
| <b>제5장 설계등급 3 .....</b>   | <b>141</b> |
| 5.1 일반사항 .....            | 141        |
| 5.2 교통조건 .....            | 141        |

|                |     |
|----------------|-----|
| 5.3 노상조건 ..... | 141 |
| 5.4 설계단면 ..... | 141 |

**제6장 연속철근 콘크리트 포장설계 ..... 147**

|                  |     |
|------------------|-----|
| 6.1 일반사항 .....   | 147 |
| 6.2 설계입력변수 ..... | 147 |
| 6.3 구조해석 .....   | 152 |
| 6.4 공용성 예측 ..... | 153 |

**IV편 도로 동상방지층 설계 155**

**제1장 도로 동상방지층 단면설계 ..... 159**

|                  |     |
|------------------|-----|
| 1.1 일반사항 .....   | 159 |
| 1.2 설계동결지수 ..... | 159 |
| 1.3 설계동결깊이 ..... | 164 |

**제2장 도로 동상방지층 설치 여부 판정기준 ..... 169**

|                            |     |
|----------------------------|-----|
| 2.1 일반사항 .....             | 169 |
| 2.2 흙쌓기 높이를 고려한 설치기준 ..... | 173 |
| 2.3 지하수위를 고려한 설치기준 .....   | 175 |
| 2.4 노상토 특성을 고려한 설치기준 ..... | 177 |

**제3장 구조적 능력을 고려한 동상방지층 결정 ..... 181**

**제4장 동상방지층 재료 ..... 185**

|                           |     |
|---------------------------|-----|
| 4.1 일반사항 .....            | 185 |
| 4.2 동상방지층 재료의 품질 기준 ..... | 185 |

|                           |            |
|---------------------------|------------|
| <b>제1장 포장단면 설계</b> .....  | <b>191</b> |
| 1.1 일반 사항 .....           | 191        |
| 1.2 포장단면 구성 .....         | 193        |
| 1.3 요철층의 보정 .....         | 197        |
| 1.4 단면설계 .....            | 197        |
| 1.5 암반구간 포장 설계 고려사항 ..... | 201        |
| 1.6 터널 내 포장 설계 고려사항 ..... | 209        |
| <br>                      |            |
| <b>제2장 포장재료</b> .....     | <b>217</b> |
| 2.1 일반 사항 .....           | 217        |

|                                           |     |
|-------------------------------------------|-----|
| 부록 1. 도로 등급별 축하중 분포 .....                 | 223 |
| 부록 2. 환경하중 .....                          | 273 |
| 부록 3. 포장 하부구조 재료의 설계입력변수 평가 시험법 .....     | 290 |
| 부록 4. 입상재료 .....                          | 311 |
| 부록 5. 아스팔트 재료 .....                       | 349 |
| 부록 6. 아스팔트 혼합물의 동탄성계수 측정을 위한 표준 시험법 ..... | 386 |
| 부록 7. 시멘트 콘크리트 재료 .....                   | 400 |
| 부록 8. 시멘트 콘크리트 열팽창계수 측정 방법(안) .....       | 448 |
| 부록 9. 시멘트 콘크리트 건조수축 측정 방법(안) .....        | 454 |
| 부록 10. 구조해석 .....                         | 469 |
| 부록 11. 공용성 모형 .....                       | 492 |

|                                |     |
|--------------------------------|-----|
| 부록 12. 덧씌우기 .....              | 563 |
| 부록 13. 경제성 분석 .....            | 575 |
| 부록 14. 아스팔트 콘크리트 포장설계(예) ..... | 626 |
| 부록 15. 시멘트 콘크리트 포장설계(예) .....  | 668 |
| 부록 16. 연속철근 콘크리트 포장설계 로직 ..... | 711 |
| 부록 17. 도로 동상방지층 설계 예 .....     | 725 |
| 부록 18. 기타 포장 .....             | 748 |



# I 편

## 도로포장 설계 요령

|                     |          |
|---------------------|----------|
| <b>제1편 총칙</b> ..... | <b>1</b> |
| 제1장 일반사항 .....      | 5        |
| 제2장 사전 설계절차 .....   | 31       |



# 일반사항

|                     |    |
|---------------------|----|
| 1.1 적용범위 .....      | 5  |
| 1.2 관련규정의 적용 .....  | 7  |
| 1.3 용어의 정의 .....    | 8  |
| 1.4 포장 설계 시스템 ..... | 15 |



# 제1장 일반사항

## 1.1 적용범위

### 1.1.1 아스팔트콘크리트포장

- (1) 본 요령은 「도로법(국토교통부)」에 규정된 각종 아스팔트 콘크리트 포장(고속국도, 일반국도, 특별시도, 광역시도, 지방도, 시·군·구도)도로와 기타 일반 공중에 이용되는 아스팔트 콘크리트 포장의 단면 설계에 대한 것이다.
- (2) 본 요령은 아스팔트 콘크리트 포장 도로의 단면 설계 적용하는데 있어 필요한 사항에 대하여 규정한다.
- (3) 본 요령에 따른 포장 단면설계는 해석 프로그램을 이용하여 시행한다.

#### 【해 설】

도로포장 단면 설계는 역학적-경험적 설계 개념으로 신설 및 덧씌우기 포장 단면 설계를 수행할 수 있다. 현장 조건의 정량적 결정(교통조건, 환경조건, 재료물성 등) 이후에 설계 해석 프로그램을 이용하여 설계업무를 수행하도록 한다.

### 1.1.2 시멘트콘크리트포장

- (1) 본 요령은 「도로법(국토교통부)」에 규정된 각종 시멘트 콘크리트 포장도로(고속국도, 일반국도, 특별시도, 광역시도, 지방도, 시·군·구도)와 기타 일반 공중에 이용되는 중요 시멘트 콘크리트 포장도로의 단면 설계에 대한 것이다.
- (2) 본 요령은 시멘트 콘크리트 포장의 단면 설계에 적용하는데 있어 필요한 사항에 대하여 규정한다.
- (3) 본 요령에 따른 포장 단면설계는 해석 프로그램을 이용하여 시행한다.

### 【해 설】

시멘트 콘크리트 포장의 역학적-경험적 설계 방식은 정량화된 입력변수와 해석 모형을 바탕으로 포장 거동을 추정하고 경험적인 파손예측 모형을 통해 공용성을 예측하는 과정을 따른다.

### 1.1.3 동상방지층

본 요령은 도로의 동상방지층 설치기준을 규정한 것으로, 흙쌓기 및 땅깍기구간 모두를 포함한다.

### 【해 설】

도로의 동상은 수분, 토질, 기온 특성 모두가 동상이 발생할 조건을 충족시킬 경우에 발생한다. 따라서 도로 동상방지층 설치기준은 이러한 모든 조건을 고려하여 결정되어야 한다.

본 요령은 「도로법(국토교통부)」 제10조에서 정한 각종 도로에 적용되는 동상방지층 설치기준에 대한 것이다. 다만, 경계조건이 토공구간과 매우 상이한 구조물 접속부, 구조물 상부 및 자전거도로, 보도 등은 본 요령을 적용하지 않으며, 암반구간은 이 요령의 ‘V편 암반구간 및 터널 내 포장’을 따른다.

입상보조기층을 설치하지 않는 동상방지층의 경우 동상방지기능 이외에 배수기능, 필터기능, 요철정형기능을 동시에 수행하게 된다. 시멘트 콘크리트 포장에 있어서 동상방지층을 생략할 경우에는, 배수 및 시공성을 위하여 필터층을 설치하여야 한다. 필터층은 노상으로 침투된 용출수의 배수 및 노상의 요철에 따른 조정층의 역할을 한다.

### 1.1.4 암반구간 및 터널내 포장

본 요령은 암반구간 및 터널내 포장설계시 토공부포장과는 다른 환경적, 구조적 특성을 반영하여 암반구간 및 터널내부의 기후환경과 구조 및 교통여건에 적합한 포장설계를 하기 위한 것이다.

#### 【해설】

암반구간 및 터널내 포장구간은 노상 면이 양질의 암반으로 구성되어 노상의 지지력이 증가되거나 절토부에 위치하거나 터널굴착에 의하여 용수가 많이 발생하는 경우가 있으므로 포장층 내의 함수비가 높게 되어, 수분에 민감한 포장은 파손이 쉽게 발생될 수 있다. 그리고, 포장파손 발생시 유지관리가 어려운 문제가 있으므로 이와 같은 조건을 고려하여 내구성을 가진 포장형식으로 선정되어야 한다.

터널내 포장은 토공부 포장과는 달리 온도변화가 적고, 동상의 영향을 비교적 적게 받는다. 하지만, 터널내 포장은 조명시설의 설치에도 불구하고 주간에 조도가 토공부보다 낮으므로 명색화된 표면의 포장이 요구된다.

이와 같이 암반구간 및 터널내 포장은 일반 토공부와는 다른 지지력조건과 기후 환경적 특이성 조건을 가지고 있기 때문에 일반 토공부와는 다른 포장설계 방법을 적용하여야 한다.

## 1.2 관련규정의 적용

본 요령에 규정되어 있지 않은 사항은 「KDS 44 00 00 도로설계기준(국토교통부)」, 「KCS 44 00 00 도로공사(국토교통부)」, 「국도건설공사 설계실무요령(국토교통부)」 및 「고속도로 설계 실무지침(한국도로공사)」를 따른다.

## 1.3 용어의 정의

본 요령에 사용한 다음의 용어는 문맥상으로 보아 다른 의미로 해석되지 않는 한 다음과 같이 정의된다.

- 「강성(Rigidity, Stiffness)」이라 함은 하중을 받는 구조물이나 부재의 변형에 저항하는 성질, 또는 물질의 단단한 성질을 말한다.
- 「구속응력(Restraint Stress)」이라 함은 일반적으로 물체의 변형이나 운동을 구속하여 생기는 응력을 말한다.
- 「곡률계수(Coefficient of Curvature)」라 함은 입경가적곡선에서 통과중량 백분율 30%에 해당하는 입경 D30의 제곱을 유효입경 D10과 D60의 곱으로 나눈 값( $C_z = \frac{D_{30}^2}{D_{10} \times D_{60}}$ )을 말한다.
- 「공용성(Performance)」이라 함은 포장의 구조적인 능력과 기능적인 상태를 종합적으로 나타내는 것으로, 이용자 측면에서는 포장도로를 통행하는 차량에 주는 쾌적성 또는 서비스 능력을 의미하기도 한다.
- 「국제평탄성지수(IRI, International Roughness Index)」라 함은 국제적으로 통용되는 포장의 평탄성을 나타내는 값으로, 차량의 단위 주행 거리에 대한 차축의 연직방향 진폭의 누적값을 나타내는 지수를 말한다.
- 「균등계수(Coefficient of Uniformity)」라 함은 입경가적곡선에서 통과중량 백분율 60%에 해당하는 입경 D60과 유효입경 D10과의 비를 말한다.
- 「기층(Base)」이라 함은 표층을 지지하고 보조기층의 요철을 보정하며, 교통하중 및 충격을 적당히 분산, 경감하여 이것을 보조기층 및 노상에 전달하는 역할을 하는 포장층이다.
- 「노상(Subgrade)」이라 함은 포장을 지지하고 있는 지반 중에서 포장의 밑면으로부터 약 1m 깊이부분을 말하며, 노체 위에 축조되는 것으로 노면의 교통하중을 널리 분산시켜 노체에 하중의 영향을 작게 하고 안전하게 전달하는 역할을 한다.
- 「노체(Roadbed)」라 함은 도로의 구조상 흙쌓기 단면을 구분할 때 노상의 아래 부분으로 원지반까지의 흙쌓기부를 의미한다.

- 「다웰바(Dowel Bar)」라 함은 시멘트 콘크리트 포장에서 두 콘크리트 슬래브 이음부(줄눈)의 전단 및 휨 보강을 위해 설치하는 강봉을 말한다. 하중전달장치의 역할을 하며 수축 팽창을 원활하게 하기위해 한쪽을 미끄러질 수 있도록 매설한다.
- 「단축(Single Axle)」이라 함은 일반승용차와 같이 바퀴축이 인접되어 있지 않은 차축 혹은 자동차의 차축이 횡방향으로 하나로만 구성된 축형태를 말한다.
- 「덧씌우기(Overlay)」라 함은 기존 포장을 절삭 또는 표면처리 후 정해진 두께로 재포장하는 것을 말한다.
- 「동결기간(Freezing Period)」이라 함은 동결 계절 동안의 누가 온도·일에 대한 시간 곡선상의 최고점과 최저점을 보이는 기간이다.
- 「동결깊이(Freezing Depth)」라 함은 도로의 노면에서 지중의 얼음이 결정되는 가장 깊은 곳까지의 깊이이다.
- 「동결지수(Freezing Index)」라 함은 동결 계절 동안의 누가 온도·일에 대한 시간 곡선상의 최고점과 최저점의 차이로 나타낸다.
- 「동상민감도(Frost-Susceptibility Criteria)」라 함은 포장 하부의 노상토가 겨울철 동결과정에서 부피팽창에 의한 용기 가능성을 나타내는 정성적 지표이다.
- 「동상성」이라 함은 동상민감도가 상대적으로 큰 경향을 의미한다.
- 「동상수위높이차」라 함은 최대동결깊이로부터 동결기 동결이 우려되는 기간에 예상되는 지하수위까지의 깊이 차이를 의미한다.
- 「동상방지층(Anti-Frost Layer)」이라 함은 노상토에 동상우려가 있는 경우 보조기층에서 노상의 동결 깊이까지 동상에 민감하지 않은 양질의 재료로 치환하여 노상의 동결을 막고자 시공하는 층을 말한다.
- 「땅깎기(Cutting)」이라 함은 토공사에서 흙을 깎아 기준면을 형성하는 것이다.
- 「변환계수(Shift Factor)」라 함은 마스터곡선을 작성하기 위하여 개별온도에서 계산된 동탄성계수를 기준온도로 변환하는데 사용되는 계수를 말한다.
- 「변환함수(Shift Function)」라 함은 변환계수와 실험온도와의 관계를 나타내는 함수를 말한다.
- 「보조기층(Subgrade)」이라 함은 기층과 노상 사이에 설치하며 기층에 가해지는 교통 하중을 지지하는 역할을 하는 층을 말한다. 일반적으로 보조기층은 지지력이 큰 양질의 골재를 두껍게 사용하는 구조층이다.

- 「복축(Tandem Axle)」이라 함은 탄뎀축이라고도 하며, 자동차의 차축이 연속적으로 2개로 구성된 축형태를 말한다.(일반적으로 축간격은 1.3m이내)
- 「비동상성」이라 함은 동상민감도가 상대적으로 작은 경향을 의미한다.
- 「빈배합 콘크리트(Lean Concrete)」라 함은 단위시멘트량이 140 ~ 230kg/m<sup>3</sup>으로 비교적 시멘트 사용량이 적은 배합의 콘크리트를 말한다.
- 「사용자비용(User Cost of Capital)」이라 함은 도로 이용자가 도로의 보수작업으로 인하여 정상적으로 통행을 하지 못하게 되는 경우 주기적으로 지불하는 비용의 합으로, 차량운행비용, 운행지연비용, 교통사고비용 등이 포함된다.
- 「삼축(Tridem Axle)」이라 함은 자동차의 차축이 연속적으로 3개로 구성된 축형태를 말한다.
- 「상대강도계수(Layer Coefficients)」이라 함은 AASHTO 도로시험에서 포장의 두께지수(SN)를 산출하기 위하여 도입된 것으로, 포장 각층을 구성하고 있는 재료와 강도를 나타내는 계수를 말한다.
- 「생애주기비용(LCC, Life-Cycle Cost)」이라 함은 일반적으로 제품의 생산, 사용, 폐기, 처분 등의 각 단계에서 발생하는 비용을 모두 합한 총비용을 말하며, 건설구조물에서 생애주기비용은 기획, 설계비, 건설비, 운용관리비, 폐기처분비 등에 걸쳐 건설구조물의 수명에 필요한 모든 비용을 의미한다.
- 「설계동결깊이(Design Freezing Depth)」라 함은 설계에 사용되는 동결깊이다.
- 「설계동결지수(Design Freezing Index)」라 함은 설계 시 사용되는 동결지수이다.
- 「성토고(Embankment Height)」라 함은 흙쌓기 층의 수직높이 즉, 비탈어깨에서 비탈 끝까지의 수직높이를 말한다.
- 「쇄석기층(Crushed-Stone Base)」이라 함은 쇄석을 이용한 도로포장 기층을 말한다.
- 「스폴링(Spalling)」이라 함은 스포링은 시멘트 콘크리트 포장의 가로줄눈 및 세로줄눈과 무작위 임의균열에 발생하기 쉬운 파손의 한 형태를 말한다.
- 「시멘트 안정처리(Cement Treated Method)」라 함은 현지재료 또는 여기에 보충재료를 가한 것에 시멘트를 첨가하여 혼합하고, 최적함수비 부근에서 다져 기층이나 보조기층을 만드는 공법으로, 사용되는 시멘트량은 일축압축시험에 의하여 정하나, 일반적으로 기층에서 일축압축강도(6일양생 1일 수침) 3.0MPa일 때 시멘트량은 3~6%정도이다.

- 「시멘트 안정처리 필터층(Cement Treated Filter Layer)」라 함은 필터층의 침식을 방지하기 위하여 시멘트로 안정 처리된 필터층을 말한다.
- 「아스팔트 혼합물(Asphalt Mixture)」라 함은 굵은 골재, 잔골재, 채움재 및 아스팔트를 정해진 비율로 혼합한 재료로써 도로에서는 아스팔트 포장의 표층 중간층 또는 기층에 쓰인다.
- 「암반요철 조정층(보정층)」이라 함은 암반의 요철을 보정하기 위하여 일정한 두께로 상면 정형층을 형성하는 층으로써, 하중에 의한 암반 반사응력을 흡수한다.
- 「열팽창계수(Coefficient of Thermal Expansion)」라 함은 온도변화에의 한 재료길이의 변화를 나타내는 양으로서, 단위온도가 상승하였을 때 단위길이의 재료가 늘어나는 길이로 표시하며, 각 재료마다 고유의 열팽창계수를 가진다.
- 「열화현상(Deterioration)」라 함은 재료의 능력이 떨어지는 현상으로, 콘크리트의 경우 균열이 생기거나 철근이 녹스는 현상을 말한다.
- 「유효입경(Effective Size)」이라 함은 입경가적곡선에서 통과중량 백분율 10%에 해당하는 입경을 말한다.
- 「원더링 효과(Wandering Effect)」라 함은 포장체 위를 지나는 차량의 바퀴는 일정한 지점이 아니라 횡방향으로 분포하여 (일반적으로 정규분포로 가정) 주행하게 되며, 이에 따라 포장체에 미치는 응력이나 변형률도 달라지는 것을 의미한다.
- 「입도분석(Particle Size Analysis)」이라 함은골재 또는 흙의 입도를 조사하는 시험으로 입경 75  $\mu\text{m}$  이상은 체분석, 그 이하는 침강분석에 의해 수행하는 것이 일반적이다.
- 「입상층(Unbound Layer)」이라 함은 잔골재 또는 굵은 골재만을 이용한 포장 층을 말한다.
- 「입상보조기층(Unbound Subbase)」이라 함은 잔골재 또는 굵은 골재만을 이용한 기층 아래에 위치한 포장 층을 말한다.
- 「잔존가치(Permanent Value)」라 함은 어떤 자산이 다른 목적에 전혀 사용되어질 수 없을 때 자산을 처분함으로써 취득할 수 있는 가치를 폐물가치 또는 잔존가치라 한다. 포장에서의 잔존가치는 분석기간의 마지막 단계에서 투자대안의 가치로 나타내어지며 잔존가치와 관련된 두 가지 기본 구성요소는 잔류가치 (Residual value, 포장 재생에 관련된 순가치)와 공용수명(Serviceable Life)이다.
- 「전이함수(Transfer Function)」라 함은 현장공용성과 이론에 근거한 공용성의 차이를 보정하기 위한 함수를 말한다.

- 「조립토(Coarse Grained Soils)」라 함은 조립질(입경 74  $\mu\text{m}$  이상)이 50% 이상인 흙을 말한다.
- 「차종분류(Vehicle Classification)」라 함은 다양한 형태의 차량을 도로의 계획과 건설, 유지관리 등에 기본자료로 활용하기위해 분류하며, 이러한 분류는 활용목적에 부합되도록 한다. 현재 도로포장관련 차종분류는 2006년 개정된 12종 분류방법을 이용한다.
- 「축하중(Axial Load)」이라 함은 포장 단면의 축방향으로 작용하는 차량의 축당 하중을 나타낸다.
- 「축차응력(Deviatoric Stress)」이라 함은 [3축압축시험]에서 축방향응력과 구속응력과의 차를 말한다.
- 「축하중분포(Axial Load Distribution)」라 함은 축하중 크기와 빈도를 이용하여 도시화한 분포를 말한다. 일반적으로 역학적-경험적 설계에서 교통하중 정량화를 위해 사용된다.
- 「최대동결깊이(Maximum Freezing Depth)」라 함은 설계기간 동안 어느 장소에 대하여 연중 도로의 노면에서 지중의 얼음이 결정되는 가장 깊은 곳까지의 최대 깊이이다.
- 「콘크리트 슬래브(Concrete Slab)」라 함은 콘크리트포장구조의 휨저항에 의해서 통행교통하중을 거의 모두 지지하는 기능을 가진 포장층을 말하며, 교통하중과 환경영향에 의한 손상을 충분히 지지할 수 있는 강도와 내구성을 가진 것이어야 한다.
- 「평탄성(Smoothness, Ride Quality)」이라 함은 포장의 평탄한 정도를 말하며 승차감을 표현하는 척도이다. 도로포장의 공용성을 나타내는 중요한 항목으로 사용된다.
- 「포아송비(Poisson's Ratio)」라 함은 ①세로변형률에 대한 가로변형률의 비를 말한다. ②재료의 비례한계 내에서 균일하게 분포된 축응력으로 인하여 생긴 직각방향의 변형도와 축방향 변형도의 비의 절대치를 말한다.
- 「표층(Surface)」이라 함은 교통 하중에 접하는 최상부의 층으로 교통 하중을 하층에 분산시키는 역할을 한다. 표층에는 콘크리트 슬래브 또는 가열 아스팔트 혼합물이 이용된다.
- 「피로균열(Fatigue Cracking)」이라 함은 반복적인 차량 하중에 의해 포장 층에 피로가 누적되어 발생한 균열로서 도로포장의 중요한 파손형태로서 공용성을 나타내는 중요한 항목이다.
- 「필터층(Filter Layer)」이라 함은 침투된 지하수의 신속한 배수를 위하여 설치되는 층을 말하며, 입상재료나 안정처리 층으로 할 수 있다.
- 「하부구조(Substructure)」라 함은 입상재료로 구성된 쇄석기층, 보조기층 및 노상을 의미한다.

- 「흙쌓기(Embankment)」라 함은 토공사에서 흙을 쌓아 올리는 것으로 다른 곳의 흙을 운반하여 지반 위에 쌓는 부분이다.
- 「AASHTO(American Association of State Highway and Transportation Officials)」라 함은 미국 각 주(州)의 도로 및 교통 공무원 협회의 약자로, 1914년에 도로에 관한 각종연구와 기술기준을 작성할 목적으로 미국 각주와 연방정부의 도로국에 의해서 설립된 AASHTO가 1973년에 도로교통 전반을 취급하게 되면서 AASHTO로 개칭된다.
- 「AADTT(Annual Average Daily Truck Traffic)」라 함은 설계기간 동안의 연평균일트럭교통량을 말한다.
- 「AADT(Annual Average Daily Traffic)」이라 함은 설계기간 동안의 연평균일교통량을 말한다.
- 「ADT(Average Daily Traffic)」라 함은 평균일교통량을 말하며, 이는 어느 기간 내의 전체 교통량을 그 기간의 일수로 나누어 얻어진 값을 나타낸다.
- 「 $\Delta$ BDI(%) (동상방지층 구조적 평가 모형,  $\Delta$ Base Damage Index(%))」라 함은 포장 하부의 처짐량 비를 이용하여 전체 포장체에서의 동상방지층 유무에 따른 구조적 효과의 비를 나타낸다.
- 「생애주기비용 분석(LCCA, Life-Cycle Cost Analysis)」라 함은 도로포장설계에 있어서 경쟁관계에 있는 여러 대안 투자방안들 중에서 장기간에 걸친 경제효과를 평가하기 위한 경제성분석을 목적으로 구축된 분석기법을 말하며, 여기에는 초기투자자와 장래의 기능저하, 사용자 그리고 대안투자의 전 기간에 걸친 관련비용 등을 포괄하고 있다. 또한, 생애주기비용 분석은 투자비용에 대한 최적가치를 확인 하고자 하는 시도로 정의될 수 있다.
- 「공용성 등급(Performance Grade)」이라 함은 포장용 아스팔트를 포장이 공용될 지역의 최고 온도와 최저온도를 구분하여 나타내는 등급체계를 말한다. 예를 들어 PG 64-22로 분류된 아스팔트는 공용 가능한 최고 온도는 64℃이며, 최저온도는 -22℃임을 나타낸다. 미국의 전략적 도로 재료 연구 사업(SHRP)에서 공용성에 근거한 아스팔트의 물성을 파악하기 위한 시험법과 아스팔트 등급 기준을 개발하였으며, 이를 공용성 등급체계라고 한다.
- 「다층탄성이론(Multi Layer Elastic Theory)」이라 함은 연속된 층들의 재료거동이 탄성거동을 한다는 가정을 이용한 구조해석이론을 말한다.
- 「동탄성계수(Dynamic Modulus)」라 함은 사인파형의 하중에서 최대응력을 최대변형률로 나누어 계산하며 복합계수의 절댓값( $|E^*|$ )을 말한다.

- 「복합계수(Complex Modulus)」이라 함은 선형 점탄성 재료에 있어 응력과 변형률의 관계를 정의하는 복소수  $E^*$ 를 나타낸다.
- 「아스팔트 기층(Asphalt Base)」이라 함은 아스팔트를 사용한 표층 또는 중간층과 보조기층 사이에 위치하며, 표층에 가해지는 교통하중을 지지하는 역할을 한다. 변형에 대해 큰 저항을 가진 재료를 사용한다.
- 「아스팔트 표층(Asphalt Surface)」이라 함은 아스팔트를 사용한 아스팔트 콘크리트 포장의 최상위층을 말하며, 교통하중을 지지하고 평탄성과 안전성 등을 제공하는 역할을 한다. 일반적으로 가장 양질의 재료를 사용한다.
- 「영구변형(Rutting)」이라 함은 외력을 제거한 후에 남아있는 변형을 말한다. 아스팔트 콘크리트 포장에서의 영구변형은 반복되는 차량하중에 의한 노상, 보조기층, 기층 및 표층의 구조적 결함에 의한 변형 또는 반복되는 차량하중에 의하여 아스팔트 혼합물이 전단변형 함으로써 발생된다. 소성변형, 영구변형, 바퀴자국패임 등 다양한 표현이 사용된다.
- 「유효아스팔트함량(Effective Asphalt Content)」이라 함은 총 아스팔트량 중에서 골재에 흡수된 아스팔트량을 제외한 아스팔트의 함량을 나타낸다.
- 「하중주파수(Load Frequency)」라 함은 점탄성재료의 동탄성계수를 결정하는 변수로서 포장체의 깊이와 차량의 이동속도에 따라 변화한다.
- 「회복탄성계수(Resilient Modulus)」라 함은 반복적으로 제시된 응력을 재료에 가하여 얻어진 회복되는 변형률로 나눈 값으로서 재료의 탄성적 특성을 나타내는 계수를 말하며, 반복 재하식 표준 MR시험(AASHTO T274-82)으로 구한다.
- 「Full Depth 아스팔트 포장」이라 함은 포장 층의 구성이 보조기층, 기층을 포함하여 아스팔트 콘크리트 전층으로 이뤄진 포장 층을 말한다.
- 「SMA(Stone Mastic Asphalt)」라 함은 1968년 독일에서 골재입도를 기존의 밀입도에서 개립도로 바꾸고 아스팔트 바인더의 흐름을 막기 위해 섬유질 안정화첨가제를 투입한 포장형식을 말하며, SMA혼합물의 기본개념은 아스팔트바인더의 접착력은 골재의 탈리를 방지하는 역할만 하고 압축력과 전단력에 저항하는 힘은 골재의 맞물림에 의해서 발생한다는 것이다.
- 「0.08mm 통과율」이라 함은 입도분석시 체의 크기가 75  $\mu$ m인 표준체를 통과하는 흙의 중량비율을 나타낸다.

## 1.4 포장 설계 시스템

### 1.4.1 포장 설계 시스템 처리 과정

포장 설계 시스템은 크게 계획, 설계 입력 변수, 구조해석, 공용성 분석, 대안 선정과 같이 크게 다섯 부분으로 구분할 수 있다. 먼저 포장 형식 및 설계 조건에 맞는 입력변수의 실험값, 예측값 등을 산출한다. 설계 입력값들을 사용하여 구조해석 모형을 통해 응력, 변형률 및 처짐 등과 같은 구조적 거동을 예측한다. 포장체의 구조적 거동에 근거하여 포장체가 받는 손상을 계산하고, 설계 기간 동안 누적된 손상으로 포장체에 발생할 파손을 예측한다. 공용성의 기준이 모두 만족될 때까지 피트백 과정을 통해 반복계산 한다. 공용성 기준이 만족되는 설계단면과 재료기준이 결정되면 구조적 및 기능적 측면에서 실행 가능하다는 판단이 내려지며, 생애주기비용분석을 수행하고 최적의 포장 시스템을 선정하게 된다.

〈그림 1-1〉은 포장 설계의 설계 시스템을 요약한 그림이다. 포장 설계 시스템에 과정을 보다 더 자세히 살펴보자.

- 1) 계획한 대상 지역에 적합한 포장 형식이 시멘트 콘크리트 포장인지 아스팔트 콘크리트 포장인지를 선택한다. 설계 대상 지역의 교통 조건, 설계할 도로가 고속도로인지 일반국도인지 등의 구분을 고려하여 설계 등급을 결정한다.
- 2) 포장 설계하는 지역의 상태에 적합한 시험 설계(trial design)을 개발한다. 지역의 상태에 적합한 조건이란 교통량, 기후조건, 토질조건, 포장층의 조합, 포장재료물성, 그리고 설계 및 시공 조건 등을 고려하는 것을 말한다.
- 3) 설계 시 목표한 공용 기간 동안 유지되어야 할 공용성에 대한 기준을 정한다. 즉, 스폴링, 균열, IRI, 영구변형(러팅), 등의 허용기준을 선정한다.
- 4) 공용성 인자에 대한 신뢰 수준을 결정한다.

- 5) 전체 설계기간에 대한 해석에 필요한 교통량, 재료 및 기후입력 인자들의 단위 기간에 해당하는 값을 얻기 위하여 주어진 입력값들을 산정한다.
- 6) 정해, 수치해석, 유한요소법 등과 같은 방법을 이용하여 포장의 구조적 거동(structural responses)을 계산한다. 이 계산은 전체의 설계기간에 대하여 교통 및 환경 하중에 따른 각각의 손상을 누적하도록 한다.
- 7) 전체의 설계기간에 대하여 일정 시간간격으로 누적된 손상을 계산한다.
- 8) 실내시험 및 현장시험, 역학적인 방법 등으로 개발된 공용성 모형을 이용하여 설계기간 동안의 포장 파손을 예측한다.
- 9) 예비설계의 기대 공용성을 주어진 신뢰도 수준에서 적합한지를 평가한다.
- 10) 예비설계가 공용성 기준을 만족하지 못하면, 설계를 변경한 후 다시 위의 5) 부터 9)까지의 과정을 반복하여 그 설계가 공용성 기준을 만족할 때까지 수행한다.
- 11) 목표한 공용성 기준을 만족시키는 설계는 구조 및 기능적 측면에서 실행 가능한 것으로 인정된다. 대안이 선정이 되면 추가 대안들을 작성하여 여러 대안들을 도출한다.
- 12) 생애주기비용분석과 같은 경제성 분석과 현장 적용성과 같은 문제를 고려하여 최적 대안을 선정한다.
- 13) 포장 설계 시 겨울철 도로 얼음으로 인한 교통사고 예방을 위해 결빙취약구간 해당 여부를 검토( "도로제설업무 수행요령" 참고)하여 적절한 대책을 수립한다.



〈그림 1-1〉 역학적-경험적 설계 기본모형

## 1.4.2 포장 시스템의 주요 인자

### (1) 포장 형식 및 설계 등급 결정

설계 대상 지역에 적합할 것으로 판단되는 형식을 선정하기 위해서는 그 지역의 기후, 차량, 재료의 특성, 지역 여론, 정책 선호도 등이 있다. 신설 포장의 경우는 중차량이 많고 여름철 온도가 높은 지역, 고성토 지역에서는 아스팔트 콘크리트 보다는 시멘트 콘크리트 포장 형식이 더 유리할 것이다. 반면 사용자들의 주행성, 도심부 도로 등에는 아스팔트 콘크리트 포장 형식이 보다 적합하다. 또한 환경친화적인 포장 및 심미적인 포장을 만들기 위해서는 배수성 혹은 블록 포장을 선정한다. 덧씌우기 포장의 경우는 파손 특성 및 원인을 고려하여 아스팔트 콘크리트 및 시멘트 콘크리트 포장의 형식을 결정해야 한다. 이와 같이 지역의 특성을 고려한 포장 형식을 결정한다.

포장 형식과 함께 중요한 것이 설계 등급의 결정이다. 도로 포장을 설계할 때 시골의 농로를 입력 변수 하나하나를 실험하고 통행하는 자동차 및 농업용 동력기들이 몇 대 지나가는지를 조사하여 설계하는 것은 비경제적이다. 반대로 왕복 8차로의 대교통량이 운행할 것으로 예상되는 도로를 현장 조사나 실험 없이 기존 자료를 이용하여 설계한다면 공용수명이 예상과 많이 달라질 수 있다. 이러한 것을 예방하기 위해 해당 지역에 설계할 도로의 등급을 정의하고 설계를 실시하도록 한다.

### (2) 문제 정량화 및 입력 변수

포장체의 입력 변수는 크게 교통하중, 환경하중, 재료 물성, 불연속면(시멘트 콘크리트 포장) 등으로 나뉜다. 정확한 포장의 거동을 분석하기 위해서 이들을

정량적으로 나타내고 설계에 반영해야 한다. 포장 설계시 필요한 입력 변수의 값을 얻기 위해서 경우에 따라 매번 실험을 하는 경우도 있지만 효율성, 경제성 등이 낮기 때문에 간단한 모형에서부터 복잡한 수식을 사용한 모형 등을 개발하여 사용하는 경우가 많다. 모형은 많은 회수의 실험을 하지 않고도 기본 실험을 통해서 필요한 데이터를 획득할 수 있는 장점이 있다. 하지만 모형자체가 실제와 상이한 결과를 보인다면 포장 설계에 사용하기는 불가능할 것이다.

### 가. 교통하중

교통하중은 포장 설계 및 해석에 가장 민감한 영향을 주는 입력 변수로서 포장 파손의 주요 원인이 된다. 교통하중을 정량화하는 방법에는 등가단축하중(Equivalent Single Axle Load : ESAL)을 이용하는 것과 실제 축하중을 포장 해석에 사용하는 방법이 있다. 기존의 경험적인 설계에서는 등가단축하중은 일반 승용차의 복륵의 단축에 80 kN(18,000 lb)의 축하중이 재하될 때를 기준으로 하여 축하중 및 축 종류에 따른 상대적인 포장의 영향 정도를 나타내었다. 이는 AASHO Road Test에서 만들어진 경험적인 방법으로 국한된 재료와 환경 조건에서 이뤄진 실험의 결과를 다른 환경과 조건의 포장체에 적용시 예상하지 못한 결과를 유발할 수 있다. 본 설계는 도로를 주행하는 차량의 축하중을 직접 측정하여 설계에 이용하고 있다. 이와 같은 방법은 많은 인력을 투입하여 실제 현장에서 축하중을 조사하고, 이를 DB화 작업이 필요하다. 교통하중은 직접 조사 혹은 누적된 데이터를 사용하고 있기 때문에 관련 모형식은 개발하지 않고 있다.

## 나. 환경하중

환경하중은 온도와 함수비 변화에 따라 포장체 거동에 영향을 미치는 중요한 요소이다. 온도 변화는 아스팔트 콘크리트 포장에서 표층 및 기층의 물성 변화에 영향을 주며, 시멘트 콘크리트 포장에서는 슬래브의 수평 및 수직 방향의 거동에 영향을 미친다. 또한 하부 구조의 동결에도 영향을 준다. 온도 변화를 예측하기 위해서 다양한 방법들이 제안되었는데 중요 인자를 선정하여 요인 설계를 통해 회귀식을 만들어내는 경험적인 방법과 열전달 이론을 이용하여 대기 온도를 포장체의 온도 변화에 직접 적용하는 모형도 있다. 함수비 변화는 표층 및 기층의 함수비 변화에 따른 물성 변화를 일으키며 잠재적인 포장 파손의 원인이 된다. 계절에 따른 하부 구조의 함수비 변화에 따라 포장의 지지력이 달라지는 특성이 있으며, 특히 봄철 융해기나 여름철 장마기에는 하부층의 지지력 약화로 인해 포장 파손이 다른 기간에 비해 더 많이 발생할 가능성이 높다. 이러한 함수비 변화는 실제 계측기를 매립하고 시간에 따른 변화 추이를 관찰하여 모형을 개발하는 것이 일반적인 방법이다.

환경 하중 모형을 개발하는 방법은 경험적인 것과 이론적인 것으로 구분할 수 있다. 경험적인 방법은 위도, 경도, 포장형식, 하부 조건, 기상 조건 등을 고려하여 실제 계측기(온도계, 함수량계)를 매립하고 1년 혹은 그 이상을 모니터링 한다. 계측 데이터를 각 인자들로 구분하고 회귀분석을 통해 하나의 온도 및 함수량 변화 예측 모형을 개발한다. 이러한 방법으로 개발한 예측 모형은 개발 방법 자체는 쉽지만 다른 접근 방법이 제안되었을 경우 수정을 하기가 어렵다. 이러한 경험적인 모형의 단점을 개선하기 위해 열전달 및 열평형 이론을 이용하여 포장체의 온도를 예측하기도 한다. 역학적 이론에 근거한 모형은 새로운 이론이나 개선된 사항이 있을 시 이를 반영할 수 있는 장점이

있다. 하지만 실제와의 거동 차이가 있을 경우 항상 현장 데이터를 이용한 보정이 필요하다.

#### 다. 재료 물성

포장재료 물성은 포장의 구조해석에 필요한 입력변수로서 모형에서 포장 층의 거동을 분석하기 위해 사용된다. 기존에는 포장층에 따라, 포장 형식에 따라 각각 다른 값을 사용하였다. 흙이나 입상 재료들은 기존의 CBR, MR, R 값, N 값 등 다양한 물성으로 정량화하였다. 기존 설계('93 AASHTO GUIDE)에서 아스팔트 포장에서는 MR 값을 사용하여 물성을 정의한 반면 콘크리트 포장에서는 MR 값을 근거로 복합 지지력 계수를 산정하여 설계에 사용하였다. 최근의 하부구조의 물성을 MR과 포아송 비로 정의하여 설계에 적용하는 추세이다.

아스팔트 혼합물의 경우 일반적으로 사용되는 물성은 동탄성계수이며, 이는 혼합물, 온도와 하중재하속도 등의 함수이므로 이에 대한 고려가 필요하다. 동탄성계수시험으로는 일축인장/압축시험, 간접인장시험 등이 있으며 이론적으로 한 종류의 혼합물에 대해 어떤 방식을 통해 산정하여도 동일한 동탄성계수 값을 얻을 수 있다. 시멘트 콘크리트 포장의 경우는 슬래브의 강도, 탄성계수, 건조수축, 열팽창 계수 등이 있다. 슬래브의 강도는 교통 개방 및 피로식에 사용되며 일반적으로 공시체의 일축압축 강도 시험을 통해 얻을 수 있다. 탄성계수는 구조해석에 사용되며 변형률과 하중과의 관계로 구하거나 비파괴 시험을 통해서 구할 수 있다. 건조수축이나 열팽창 계수는 콘크리트 포장의 초기 거동이나 온도에 의한 슬래브의 거동을 추정하기 위한 물성값이다. 아스팔트나 콘크리트의 재료 물성을 예측하기 위한 모형은 탄성 모형, 점성 모형, 점탄성 모형, 점소성 모형으로 세분화된다. 이러한 구분은 시간 의존 및 과거 이력의 영향 여부에 따라 각각 달라진다.

줄눈 및 연속 철근 콘크리트 포장에서는 하중 전달 장치 및 철근을 사용하는데 이는 일반적으로 탄성계수와 포아송 비로 그 물성을 정의한다.

## 라. 불연속면

불연속면은 줄눈 콘크리트 포장에 있는 것으로 콘크리트 포장이 건설초기 수화 반응이 진행됨에 따라 슬래브가 수축되고 이로 인해 무작위 균열이 발생한다. 이러한 균열들은 포장 수명을 단축시키는 주요 원인이 되므로 이를 최소화하기 위해서 슬래브의 소요 강도가 발현이 되고 수축이 시작되기 직전에 인위적인 줄눈을 만들어 균열을 유도하는 것이 불연속면이다. 불연속면은 줄눈 절삭 깊이, 하중전달 장치 관련 설치 기준, 줄눈 간격 등에 대한 고려가 필요하다. 불연속면은 경험적이거나 역학적으로 해석하여 관련 물성을 제안하거나 카달로그 식으로 간격이나 설계 단면을 제시하는 방법을 사용하고 있다.

### (3) 포장체 거동 분석

앞에서 살펴본 것은 포장을 해석하기 위한 변수들의 정의하는 단계이며 이를 바탕으로 포장체가 어떻게 거동할 것인가를 분석하는 것이 본 단계이다. 포장체는 포장형식, 사용재료, 하중 조건 등에 따라 거동(응력, 변형률, 처짐량)이 다양하게 변화한다. 이러한 거동을 재료역학 측면에서 단순 가정하에 접근하는 정해 방법(closed form solution)에서부터 수치해석적인 기법, FEM을 이용하는 방법 등이 있으며다. 해석 결과를 공용성 예측 모형에 직접 입력하여 포장의 수명을 예측한다.

아스팔트 콘크리트 포장의 경우 처음 Boussinesq 이론을 이용하여 포장의 깊이 에 따른 응력을 해석하였다. 하지만 포장은 1층 구조가 아니라 다층 구조이기

때문에 더 복잡한 거동을 한다. 이를 개선하기 위해서 Burmister의 다층탄성론이 개발되었다. 다층구조해석은 포장 각 층의 물성을 대입하여 포장체의 각 층의 거동을 살펴볼 수 있으며 컴퓨터의 발달과 함께 ELSYM5, BISAR, DAMA, KENLAYER와 점탄성해석 프로그램인 VESYS, KENLAYER과 같은 다양한 프로그램들이 개발되었다. FEM 이 보편화 되면서부터 아스팔트 콘크리트 포장 해석도 관련 프로그램들을 사용하여 보다 정확하게 거동을 예측할 수 있게 되었다.

시멘트 콘크리트 포장의 경우 처음에는 아스팔트에 사용한 Boussinesq 이론을 적용하였으나 문제점을 인식하면서 Goldbeck, Burmister, Pickett, Spangler 등에 의해서 포장을 좀 더 정확하게 해석하는 방법을 찾아갔다. 하지만 이러한 것은 경험에 근거하여 개발한 것이기 때문에 한계가 있었다. 마찬가지로 FEM 이론이 정립되면서 판요소와 스프링 요소로 포장을 단순화 하여 해석하는 기법이 연구되었다. 이는 기존의 방법보다 더 정확하며 컴퓨터에서 빠른 시간안에 알아볼 수 있는 장점이 있다. 그러나 이론상의 단순화 과정에서 실제 포장의 거동과의 차이가 발생하여 지금은 3차원 요소를 이용하는 경우가 많다. 3차원 요소를 이용한 포장 해석은 2차원 요소에 비해 정확하지만 시간이 오래 소요된다는 단점이 있어 2차원 요소를 이용하여 해석한 결과를 3차원 해석 결과로 보정하는 경우가 많다.

#### (4) 공용성 예측

##### 가. 공용성 기준

공용성 예측 모형은 포장의 거동 분석을 통해 나온 결과(응력, 변형률, 처짐량)를 바탕으로, 혹은 실제 공용중인 포장의 상태 조사를 통해 향후 포장이 어떠한 상태로 변화해 갈 것인가를 예측하는 것이다. 포장의 공용성은 크게 구조적인 공용성과 기능적인 공용성으로 나눈다.

구조적인 공용성은 포장의 물리적인 파손과 관계가 있다. 피로 균열, 스폐링, 단차, 저온 균열, 러팅 등 다양한 파손들이 있으며, 실제 설계자는 다양한 파손에 대하여 제어할 파손 형태를 규정해야 한다. 파손 형태 전부를 고려하는 것은 고비용이 들며 비효율적, 비경제적이기 때문이다. 기능적인 공용성은 도로 이용자들의 입장에서 포장을 평가한 것이다. 대표적인 것으로 PSI(Present Serviceability Index), IRI(International Roughness Index), 미끄럼 저항, 소음 등이 있다. PSI 는 도로 포장의 물리적 상태와 이용자들의 평가를 조합하여 하나의 지수로 만든 것이다. IRI는 포장의 프로파일을 자동측정 장비로 조사하여 포장 평탄성을 정량화한 것이다. 미끄럼 저항이나 소음 등은 도로 이용자들 측면에서 안전성 및 도로 환경을 평가한 것이다. 기존의 설계에서는 고려되지 않았으나, 최근 도로 포장에서 큰 이슈로 떠오르고 있는 인자이다.

#### 나. 공용성 예측 및 평가

포장에서 발생하는 파손의 형태를 정량화를 바탕으로 공용성의 기준(균열, 스폐링, 영구변형, IRI)을 정립한다. 설계 과정에 따라 시험 단면을 설계하고, 설계기간에 대하여 포장의 공용성을 예측하여 이미 정립된 설계기준과 비교한다. 설계기준에 맞으면 다음 단계로 진행되지만 그렇지 않을 경우 시험설계를 개정하여 다시 공용성을 예측하고 설계기준이 모두 만족될 때까지 반복해야 할 것이다.

〈표 1-1〉 포장 형식별 공용성 모형 종류

| 포장 형식        | 종류                                                  |
|--------------|-----------------------------------------------------|
| 시멘트 콘크리트 포장  | 피로 파손, 스폐링, 단차, IRI, 펀치 아웃, 소음, 미끄럼 저항 등            |
| 아스팔트 콘크리트 포장 | 피로 파손, 저온균열, 러팅, 블리딩, 코투게이션, 포트홀, IRI, 소음, 미끄럼 저항 등 |

## 다. 설계 신뢰도

도로포장의 설계는 크게 설계입력변수 결정과 공용성 예측 모형의 적용으로 나뉜다. 전자는 재료물성, 교통하중 및 환경인자 등이고, 후자는 구조해석 모형, 파손예측 모형 등이다. 이들 모두 정확히 예측되는 것이 아니기 때문에 상당한 불확실성과 가변성이 존재한다. 따라서 이러한 점을 고려하여 신뢰 수준은 안전계수의 개념으로써 교통량이 많거나 기능적 분류상 중요도가 큰 시설물 설계에 있어서 높은 신뢰도를 적용하는 반면, 상반된 경우에는 상대적으로 낮은 신뢰도를 적용한다.

## (5) 대안 평가

### 가. 생애주기비용분석(LCCA: Life Cycle Cost Analysis)

예비설계가 구조적, 기능적 기준을 만족시키면 그 설계는 기술적으로 실행 가능한 설계가 된다. 하지만 포장 설계는 다양한 방법이 있으므로, 이에 대해 LCCA 분석을 통하여 보다 경제적이고 타당한 대안을 선정하여 포장 설계에 사용하기 위한 기초 자료를 제공한다.

### 나. 의사 결정 기준

의사 결정 기준은 다양한 포장 형식 및 경제성 분석에 근거하여 최적의 공법을 선택하는 잣대이다. 일반적으로 포장의 구조해석을 통해 포장의 파손을 예측하고 이에 따른 유지보수 비용을 산정하여 설계 기간 동안의 전체 소요 비용을 산정한다. 그 결과 최소의 비용이 소요되는 공법을 선택하는 기준이 된다. 하지만 기존의 건설측면에서는 경제성 논리가 지배하여 저렴한 공법을

채택하였지만 요즘은 비록 건설 비용은 고가이지만 사용자들에게 쾌적한 환경을 조성해 줄 수 있는 공법을 선호하고 있다. 따라서 의사 결정 기준은 그 사회가 포장에 대해 요구하는 기능이 무엇에 따라 달라질 수 있다.

#### 다. 비교 및 최적화

앞에서 살펴본 전 과정을 통해서 설계 대상에 가장 적합한 최적 대안을 선택하는 것이다. 이 과정에서 최적 대안의 취약점에 대한 보완책을 찾을 수 있으며 현장 적용을 위한 최종 마무리 단계에 해당한다.

#### 라. 적용

실제 현장에 도로의 포장을 건설하는 것으로 최적의 공법으로 선정한 것이 설계한 재료, 구조, 비용 등이 계획대로 작업되는지를 검토하고 현장에서 발생하는 문제들을 해결하는 것이다. 이때 예상치 못했던 현장의 문제점으로 설계변경 등의 상황이 발생할 수 있으므로 면밀한 시공 검토가 필요하다.

### 1.4.3 도로포장 구조 설계의 전체 흐름도

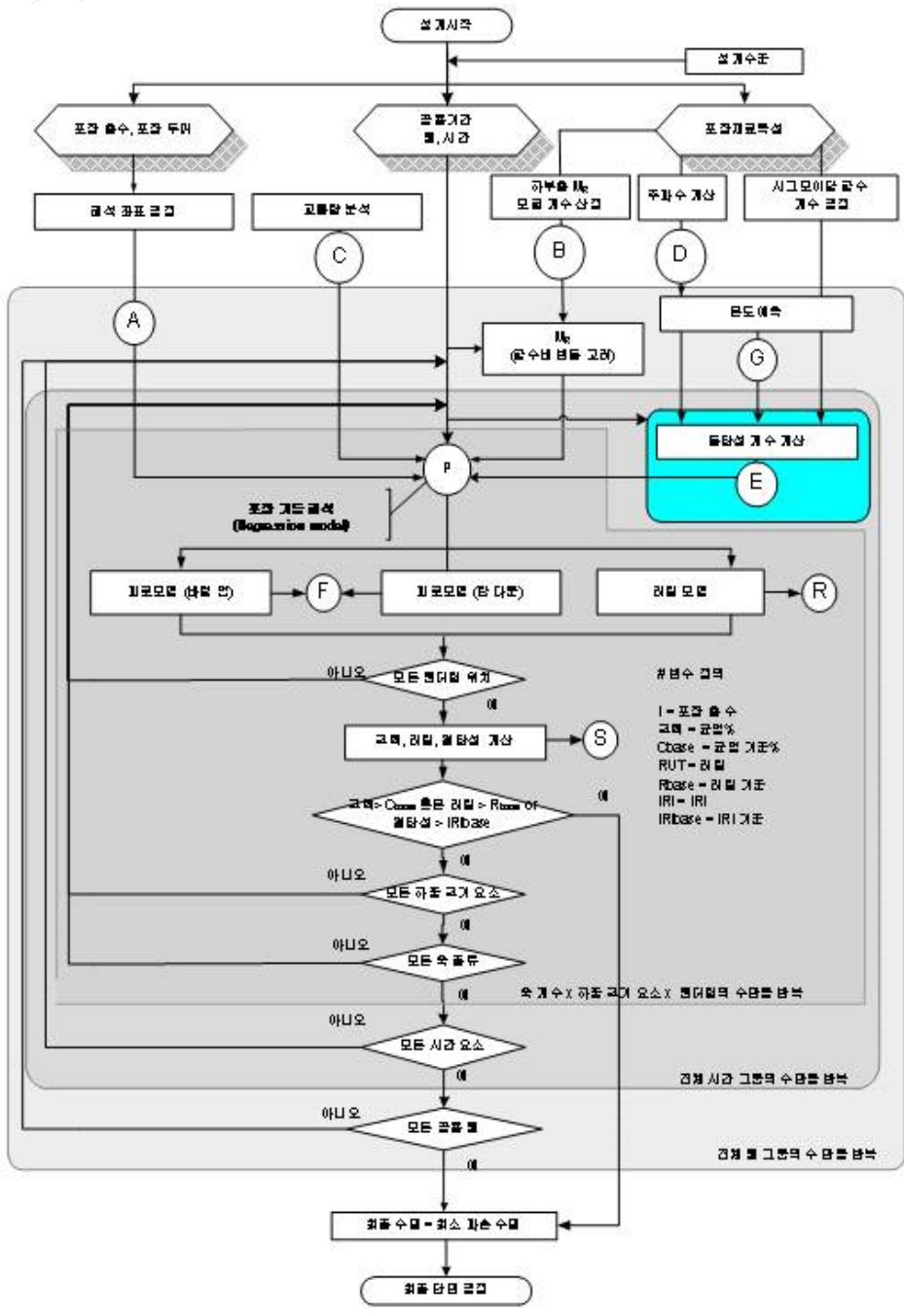
본장은 도로포장 구조 설계의 전체로직을 아스팔트 콘크리트와 시멘트 콘크리트 포장의 설계로 나누어 간략히 설명하고자 한다.

### 1.4.4 아스팔트 콘크리트 포장의 전반적인 설계로직

아스팔트 콘크리트 포장에 대한 전반적인 설계로직은 <그림 1-3>에 나타나 있으며, 설계과정은 다음과 같다.

- (1) 시공 대상지역과 해당 지역 조건에 적합한 포장단면을 선정한다. 이때 포장층의 수 및 각 층의 두께를 입력한다. 그리고 설계한 포장의 설계 공용년수를 입력한다. 설계기간 동안 유지되어야 할 공용성 기준을 설정한다. 즉, 아스팔트 포장의 피로균열, 영구변형 및 국제평탄성지수(IRI)의 허용기준을 설정한다.
- (2) 교통량, 환경조건 및 재료물성과 관련된 입력 변수들을 선정한다. 기본 입력 변수들을 이용하여 설계에 필요한 각 교통 정보, 온도 정보, 각 층의 재료 물성을 계산한다.
- (3) 각 입력 변수들을 바탕으로 설계프로그램 내 구조해석프로그램에 의해 포장의 구조적 거동(Structural Responses)을 계산한다.
- (4) 설계프로그램 내 공용성 모델을 이용하여 포장 손상을 계산하고, 전체 설계기간에 대하여 누적된 손상을 계산한다.
- (5) 예비설계의 결과가 공용성(피로균열, 영구변형, IRI) 기준에 적합한지를 평가한다.
- (6) 예비설계가 공용성 기준을 만족하지 못하면, 포장단면을 변경한 후 다시 위의 (2)항부터 (5)항까지의 과정을 반복하여 그 설계가 공용성 기준을 만족할 때까지 수행한다.
- (7) 목표한 공용성 기준을 만족시키는 설계는 구조 및 기능적 측면에서 실행 가능하여야 하며, 다른 대안단면들을 추가로 작성한다. 이 대안들에 대한 생애주기비용분석을 통한 경제성 평가를 실시하여 최적 대안을 선정한다.

1



〈그림 1-2〉 아스팔트 포장 설계 로직

## 1.4.5 콘크리트 포장의 전반적인 설계로직

콘크리트 포장에 대한 전반적인 설계과정은 다음과 같다.

- (1) 시공 대상지역과 해당 지역 조건에 적합한 포장단면을 선정한다. 이때 교통량, 기후조건, 토질조건, 포장층의 조합, 콘크리트 및 다른 재료물성, 그리고 설계 및 시공 조건 등을 고려한다. 그리고 설계한 포장의 설계 공용년수를 입력한다. 설계기간 동안 유지되어야 할 공용성 기준을 설정한다. 즉, 콘크리트 포장의 피로균열 및 국제평탄성지수(IRI)의 허용기준을 설정한다.
- (2) 교통량, 환경조건 및 재료물성과 관련된 입력 변수들을 선정한다. 기본 입력 변수들을 이용하여 설계에 필요한 각 교통 정보, 온도 정보, 각 층의 재료 물성을 계산한다.
- (3) 불연속면 설계를 수행한다. 줄눈간격, 타이바/다웰바, 줄눈채움재 설계를 진행하고 초기 단면설계 시 가정한 불연속면 설계와 허용 범위 내에 있을 시 다음 단계로 진행한다. 반면 범위 외에 있을 경우에는 다시 줄눈 설계로 되돌아가서 (2)항, (3)항을 반복 수행한다.
- (4) 구조해석을 통해 제안한 응력 예측식을 통해 포장의 구조적 거동(Structural Responses)을 계산한다. 전체의 설계기간에 대하여 각 축 형태 및 하중에 따른 각각의 한계응력을 반복 계산한다.
- (5) 설계프로그램 내 공용성 모형을 이용하여 포장 손상을 계산하고, 전체 설계기간에 대하여 누적된 손상을 계산한다.
- (6) 예비설계의 결과가 공용성(피로균열, IRI) 기준에 적합한지를 평가한다.
- (7) 예비설계가 공용성 기준을 만족하지 못하면, 포장단면을 변경한 후 다시 위의 (2)항부터 (6)항까지의 과정을 반복하여 그 설계가 공용성 기준을 만족할 때까지 수행한다.
- (8) 목표한 공용성 기준을 만족시키는 설계는 구조 및 기능적 측면에서 실행 가능하여야 하며, 다른 대안단면들을 추가로 작성한다. 이 대안들에 대한 생애주기비용분석을 통한 경제성 평가를 실시하여 최적 대안을 선정한다.

# 사전 설계절차

|                      |    |
|----------------------|----|
| 2.1 적용범위 .....       | 31 |
| 2.2 설계구간 길이 결정 ..... | 31 |
| 2.3 포장형식 결정 .....    | 35 |
| 2.4 설계등급 결정 .....    | 38 |
| 2.5 설계대안 단면 결정 ..... | 40 |



## 제2장 사전 설계절차

### 2.1 적용범위

- (1) 도로포장의 설계구간 길이 결정에 적용한다.
- (2) 도로포장의 형식 결정에 적용한다.
- (3) 아스팔트 콘크리트, 시멘트 콘크리트 포장 구조 설계등급 결정에 적용한다.
- (4) 아스팔트 콘크리트, 시멘트 콘크리트 포장 구조 설계대안 단면결정에 적용한다.

### 2.2 설계구간 길이 결정

- (1) 설계구간 길이는 교통량을 우선으로 결정, 동일 교통량 구간 내에는 노상재료의 탄성계수에 기초하여 결정한다.
- (2) 최소 포장설계구간 길이는 750m로 한다. 최소 포장설계구간은 성토부를 기준으로 한다. 단, 절토부는 성토부의 포장단면을 연장하는 것을 원칙으로 한다.
- (3) 포장설계구간 길이 결정을 위해서는 포장두께 결정이 선행되어야 하며, 포장 두께 결정은 설계등급에 따라 이루어진다.

#### 【해 설】

일정두께의 포장단면을 유지하는데 필요한 포장설계구간 연장을 결정한다. 포장단면은 교통량 또는 하부구조의 탄성계수가 급격히 변하지 않는 한 동일단면을 유지한다. 포장단면을 짧은 구간에서 여러 번 변화시키는 것은 시공을 번잡하게 하고 시공단가를 상승시키며 시공불량을 초래할 수 있다. 포장설계구간 연장은 교통량을 우선으로 결정하며, 동일 교통량 구간내에서는 설계입력물성치인 노상재료의 탄성계수에 기초하여 결정한다. 입상 보조기층 및 입도조정 쇄석기층 재료는 선별된 재료원으로부터 획득함으로 동일 생산된 재료의 탄성계수 차이가 크지 않다.

단면두께를 일정하게 유지하는 최소 포장설계구간 연장(기본구간)은 750m로 한다. 최소 포장설계구간은 성토부를 기준으로 하며, 절토부는 성토부의 포장단면을 적용하는 것을 원칙으로 한다.

포장설계구간 연장 결정을 위해서는 포장두께 결정을 위한 절차가 선행되어야 한다. 포장두께 결정은 설계입력값으로서 노상과 입상보조기층 및 입도조정 쇄석재료에 대한 탄성계수 결정(설계등급 1 및 설계등급 2만 해당)을 통해 이루어진다. 여기에서 노상의 탄성계수 결정을 위해 예상 도로선형 통과구간 지역 또는 토취장에서 노상재료로 사용할 수 있는 흙 시료를 필요한 수량만큼 채취하여야 한다. 노상재료를 사용하여 탄성계수를 결정하기 위해서는 시험굴(Test Pit)조사를 통해 충분한 양의 시료를 확보하고, 탄성계수 결정에 필요한 시험을 부록 3. 「포장 하부구조 재료의 설계 입력변수 평가 시험법」에 따라 계획적으로 실시하여야 한다. 시험굴 조사는 예정 토취장에서 최소 5개소 또는 예상 도로선형 통과구간 지역의 절토부에서 250m 간격으로 실시한다.

설계등급 1에서는 시험굴 당 최소 6개의 삼축압축시험을 위한 시편을 제작할 수 있는 양의 흙 시료를 확보하여야 하며, 설계등급 2에서는 탄성계수 결정을 위한 기초물성시험에 사용할 충분한 양의 흙 시료를 채취하여야 한다. 충분한 양의 흙 시료를 확보하지 못할 경우 시편수의 감소에 따라 단면의 증가를 초래하여 비경제적인 도로설계를 초래할 수 있음에 유의하여야 한다. 시험용 흙 재료로부터 시험굴 당 1개씩의 평균설계 탄성계수( $E_{avg}$ )가 확보되면 서로 인접한 시험굴 위치에서의 평균 설계 탄성계수를 비교하여 단면변화 여부를 결정한다.

설계등급 1에서는 아래의 절차에 따라 포장설계단면과 포장단면연장을 결정한다.

#### 1) 하부구조 설계입력 물성 평가

- ① 설계대상 구간에서 선정 채취된 노상토 및 예상 재료원으로부터 획득된 입상 보조기층, 입도조정기층인 쇄석기층 재료에 대하여 삼축압축시험을 실시한다.
- ② 삼축압축시험 결과를 이용하여 하부구조 구성재료의 탄성계수를 결정한다.

## 2) 포장설계구간 연장 결정

- ① 노상토와 입상 보조기층 및 입도조정 쇄석기층 재료의 대표탄성계수를 이용하여 해당 기본구간(750m)에서의 포장단면을 결정한다.
- ② 노상토와 입상 보조기층 및 입도조정 쇄석기층 재료의 탄성계수 변화를 검토하여 하나의 포장단면으로 설계하는 구간 연장을 아래의 순서에 따라 결정한다.
  - 연접 설계구간과 해당 설계구간 사이 노상의 평균 탄성계수비가 세 배 미만이면 탄성계수가 작은 구간의 포장 단면을 연접구간까지 연장한다.
  - 만일 연접 두 구간에서의 평균 탄성계수가 세 배 이상 차이가 발생하면 두 구간의 평균 탄성계수를 이용하여 포장단면을 각각 달리 설계한다.
  - 평균 탄성계수가 세 배 이상 차이가 발생하는 경우라도 하나의 구간 연장이 750m 이하이면 별도의 설계구간으로 구분하지 않는다.
- ③ 예외조항
  - 구조물과 토공 구간의 접속부 또는 흙쌓기와 흙깎기 경계 구간 등은 시공성을 고려하여 단면두께를 달리할 수 있다.
  - 불연속구간에 대한 포장단면 결정은 별도로 규정한다 (본 요령 「II편(아스팔트 콘크리트 포장 구조 설계)」 참조).

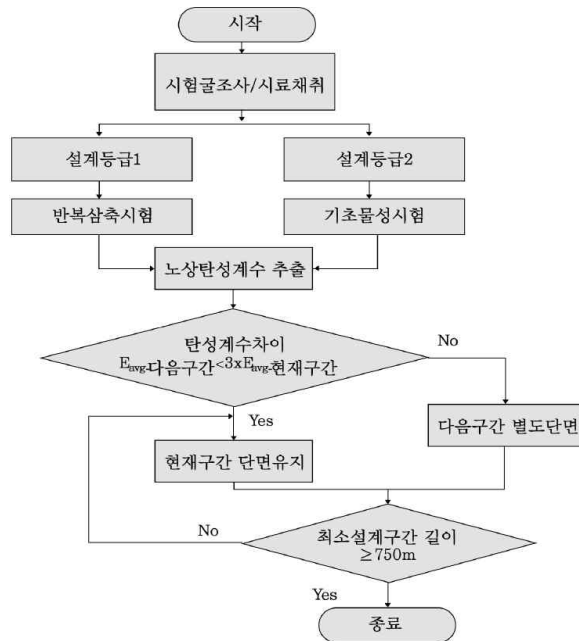
설계등급 2에서는 아래의 절차를 이용하여 포장설계 단면과 포장단면 연장을 결정한다.

## 1) 하부구조 설계입력 물성 평가

- ① 설계대상 구간에서 선정 채취된 노상토 및 예상 재료원으로부터 획득된 입상 보조기층, 입도조정 쇄석기층 재료에 대하여 다짐시험과 체가름 시험 등 기초 물성시험을 수행한다.
- ② 기초 물성시험 결과를 이용하여 하부구조의 모델계수  $k_1$ ,  $k_2$ ,  $k_3$ 를 결정한다.
- ③ 하부구조 모델계수와 20개의 응력조합(부록 3.「포장 하부구조 재료의 설계입력변수 평가 시험법」참조)을 이용하여 평균 설계 탄성계수를 결정한다.

## 2) 포장단면 연장 결정

- ① 노상토와 입상 보조기층 및 입도조정 쇄석기층 재료의 평균 설계 탄성계수를 이용하여 해당 기본 구간(750m)에서의 포장단면을 결정한다.
- ② 노상토와 입상 보조기층 및 입도조정 쇄석기층 재료의 탄성계수 변화를 검토하여 하나의 포장단면으로 설계하는 구간 연장을 아래의 순서에 따라 결정한다.
  - 연접 설계구간과 해당 설계구간 사이의 평균 탄성계수비가 세 배 미만이면 탄성계수가 작은 구간의 포장단면을 연접구간까지 적용한다.
  - 만일 연접 두 구간에서의 평균 탄성계수가 세 배 이상 차이가 발생하면 두 구간의 대표 탄성계수를 이용하여 포장단면을 각각 달리 설계한다.
  - 평균 탄성계수가 세 배 이상 차이가 발생하는 경우라도 하나의 구간 연장이 750m 이하이면 별도의 설계구간으로 구분하지 않는다.
- ③ 예외조항
  - 구조물과 토공 구간의 접속부 또는 흙쌓기와 흙깎기 경계 구간 등은 시공성을 고려하여 단면두께를 달리할 수 있다.
  - 불연속구간에 대한 포장단면 결정은 별도로 규정한다 (본 요령 「II편(아스팔트 콘크리트 포장 구조 설계)」 참조).



〈그림 2-1〉 포장설계구간 연장 결정 절차

## 2.3

### 포장형식 결정

도로포장 구조 설계 초기에 적합한 포장 형식(아스팔트 콘크리트 포장 또는 시멘트 콘크리트 포장)을 선정하도록 한다. 포장 형식 선정을 위해 공용성을 고려한 생애주기비용분석을 통해 비용 효율적인 포장형식을 결정한다.

【해 설】

#### 2.3.1 포장 종류

도로의 포장 형식은 크게 아스팔트 포장, 콘크리트 포장으로 구분할 수 있다. 포장형식은 <표 2-1>과 같이 각 포장의 장단점을 고려하여 결정하여야 한다.

<표 2-1> 포장 형식간의 장단점 비교

| 구분 | 콘크리트 포장                                                                                                              | 아스팔트 포장                                                                                                                 |
|----|----------------------------------------------------------------------------------------------------------------------|-------------------------------------------------------------------------------------------------------------------------|
| 장점 | <ul style="list-style-type: none"><li>• 긴 공용수명</li><li>• 높은 미끄럼 저항성</li><li>• 유지보수 미미</li><li>• 야간 시인성이 우수</li></ul> | <ul style="list-style-type: none"><li>• 소음/진동이 적고 평탄성 양호</li><li>• 짧은 양생 기간으로 인해 조기 교통개방 가능</li><li>• 유지보수 간편</li></ul> |
| 단점 | <ul style="list-style-type: none"><li>• 소음/진동 발생</li><li>• 양생기간 및 초기 균열 발생 가능성</li><li>• 보수 작업의 두려움</li></ul>        | <ul style="list-style-type: none"><li>• 수명이 짧고 잦은 유지보수가 필요</li><li>• 낮은 미끄럼 저항성</li><li>• 낮은 야간 시인성</li></ul>           |
| 비고 | 최근에는 두 포장 형식간의 단점을 극복하려는 노력이 진행되어 장·단점 구분의 경계가 희미해짐                                                                  |                                                                                                                         |

#### 2.3.2 아스팔트 콘크리트 포장

아스팔트 콘크리트 포장은 표층을 골재와 아스팔트 바인더(Asphalt Binder)로 결합하여 만든 것으로 일반적으로 표층, 기층 및 보조기층으로 이루어진다. 아스팔트 포장은 차량 하중에 의해 발생하는 응력이 포장을 구성하는 각 층으로 전달되어 하부층으로 갈수록 점차 넓은 면적에 적게 작용하는 포장이다. 아스팔트 포장 각 층의 구성과 두께는 교통하중에 의해 발생한 응력에 충분히 견딜 수 있어야 한다.

### 2.3.3 시멘트 콘크리트 포장

시멘트 콘크리트 포장은 시멘트 콘크리트 슬래브가 교통 하중으로 인한 전단이나 휨에 저항하여 하중을 하부층의 지지력 이하로 약화시킴으로써 구조적 안정성을 유지하는 포장형식이다. 일반적으로 표층 및 보조기층으로 구성되어 있는데, 보조기층의 역할은 슬래브에 균등한 지지력을 주고 펌핑(Pumping) 등의 파손을 사전에 방지하며, 콘크리트 슬래브를 타설하기 위한 안전한 작업 지반을 조성해 준다.

### 2.3.4 도로 포장 형식 선정 방법

도로 포장의 형식을 결정하는 것은 포장을 설계하는 것과 더불어 매우 중요한 사안이다. 앞서 설명한 바와 같이 설계 대상 구간에 적합한 포장 형식을 선정하기 못한다면 공용 수명의 단축, 국가 예산의 낭비 및 도로 이용자들의 불만을 야기할 수 있다. 때문에 도로 포장 형식이 설계 최고 책임자의 단독 혹은 일반적인 결정 과정에 준하여 결정된다면 많은 경제적 또는 구조적 문제점을 야기하게 된다. 따라서, 포장 형식결정은 이성적이고 비용효율적인 절차를 따라 결정해야한다.

최근 건설 분야에서 생애주기비용 등과 같은 경제성 분석의 중요성이 대두되면서 포장분야에도 활발하게 활용되고 있다. 이는 경제적이고 공학적인 측면에도 가장 우수한 포장 형식을 결정하기 위한 유용한 도구이다. 하지만, 경제성 분석이 내재하고 있는 필수 불가결한 미래에 대한 가정, 즉 할인율, 분석기간, 유지보수 방법 등이 보다 신뢰성 있는 결정을 방해하는 요인이다. 포장형식결정은 기술적인, 경제적, 혹은 기타 요인들을 고려해야하는 매우 복잡한 절차를 필요로 한다. 도로포장 구조 설계자들에게 사업자 비용, 사용자비용, 포장 공용성 등이 포장형식 결정에 중요한 역할을 담당한다.

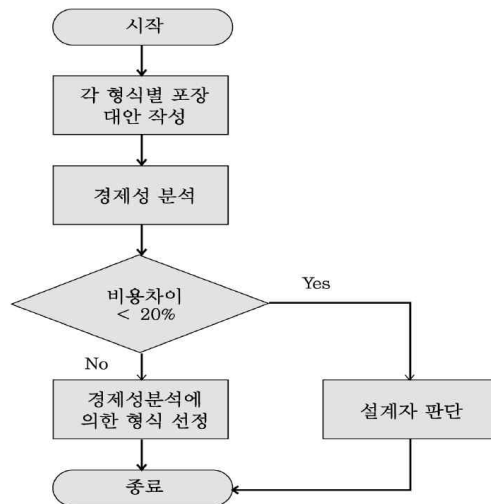
경제성 분석(생애주기비용 비교)을 바탕으로 합리적인 포장형식을 선정한다.

포장형식별 초기공사비, 유지보수비 및 공용성 관련비용을 포함한 생애주기비용 분석을 기반으로 하며, 아스팔트 콘크리트 포장과 시멘트 콘크리트 포장의 공용성 관련 비용은 포장의 강성 및 평탄성에 따른 소음도 및 주행 쾌적성으로 결정한다. 생애주기비용 분석의 특성상 동일한 비용은 제외한다. 전반적인 포장 형식 선정 과정은 <그림 2-5>에 나타나 있고, 자세한 절차는 아래와 같다.

설계하는 대상 구간의 입력변수에 따라 각 형식별 대안을 선정한다. 이 때, 설계수명을 만족하며 2년 이하의 수명 오차를 나타내는 설계대안을 선정한다.

생애주기비용 방법을 이용하여 각 대안의 유지보수 및 공용성을 고려한 비용을 산정한다. 유지보수비용의 경우는 각 형식별 연간 평균 유지보수 비용을 이용하여 산정하고 재료 및 시공비는 설계 시점의 비용을 사용한다.

두 형식의 비용을 비교하여 그 차이가 일정수준 이하일 경우는 설계자의 판단에 의하여 선정하고 그 이상일 경우는 비용 우위에 있는 형식으로 결정한다. 이 때 판단에 사용되는 비용차이 비율은 20% 이내(열위 포장 비용/우위 포장 비용)로 한다.



<그림 2-2> 포장형식 선정 절차

## 2.4

### 설계등급 결정

- (1) 도로포장 구조 설계등급은 도로의 중요도와 교통량 등에 따라 결정한다.
- (2) 설계등급은 설계등급 1, 설계등급 2 및 설계등급 3으로 구분하여 각각의 설계등급에 따라 재료물성 및 교통량을 결정한다.
- (3) 필요에 따라 설계입력변수 중 일부를 상위등급의 방법으로 결정하여 사용할 수 있다.

#### 【해 설】

본 요령에서는 도로의 중요도와 교통량 등을 감안하여 도로포장의 설계등급을 <표 2-2>와 같이 세 등급으로 구분한다. 설계등급 1의 경우 고속국도 및 일반국도와 같이 교통량 및 중차량이 많은 도로의 포장설계에 적용되며, 교통량 조사자료를 바탕으로 해당 설계구간의 AADT 혹은 AADT 중 5종 이상의 중차량 대수를 통하여 <표 2-2>와 같이 구분한다.

<표 2-2> 설계등급

| 구분 | 도로등급              | 설계차량대수                  | 비고                                                    |
|----|-------------------|-------------------------|-------------------------------------------------------|
| 1  | 고속국도              | 150,000대 이상             | 5종 이상의 중차량 대수가 50,000대 이상일 경우에도 설계등급 1로 설계            |
|    | 일반국도              | 35,000대 이상              | 5종 이상의 중차량 대수가 12,000대 이상일 경우에도 설계등급 1로 설계            |
| 2  | 고속국도              | 150,000대 미만             | -                                                     |
|    | 일반국도              | 7,000대 이상<br>35,000대 미만 | -                                                     |
|    | 지방도 및 기타 도로       | 7,000 대 이상              | 기타 도로는 「도로법(국토교통부)」에 명시된 특별시도, 광역시도, 시도, 군도 및 구도를 의미함 |
| 3  | 일반국도, 지방도 및 기타 도로 | 7,000 대 미만              | 기타 도로는 「도로법(국토교통부)」에 명시된 특별시도, 광역시도, 시도, 군도 및 구도를 의미함 |

설계등급별 설계는 기본적으로 동일한 개념에 의해 수행하지만 도로의 중요도에 따라 설계에 필요한 설계입력변수(교통, 환경 및 재료물성)를 결정하는 방식에 차이가 있다. 도로의 중요도가 상대적으로 낮은 경우에는 재료물성 시험이나 교통량 정보수집 등에 있어 상대적으로 간편하게 입력변수를 결정하게 되고, 도로의 중요도가 높을수록 보다 많은 실내시험과 교통 특성에 대한 세밀한 정보를 필요로 한다.

〈표 2-3〉은 설계등급별 포장 재료의 물성 및 교통량 정량화, 설계방법을 정리한 것이다. 설계등급 1과 2에서는 설계 해석 프로그램을 사용하며, 설계등급 3에서는 국내의 대표적인 포장 재료와 교통 특성에 따른 표준 설계단면을 사용한다. 단 설계등급 1의 경우 포장 재료의 물성 결정 시 실내시험을 원칙으로 하나, 실내 시험기 구축 및 포장 전문 인력의 공급이 부족한 국내 여건 등을 감안하여, 설계 요령에 제시되어 있는 포장 재료에 한하여 동일한 조건의 경우라면 데이터베이스(DB, Data Base)화 되어 있는 제안값 및 예측방정식을 사용할 수 있다.

〈표 2-3〉 설계등급에 따른 포장 구조 설계

| 구분 | 물성 측정                             | 교통량 측정                  | 설계방법          |
|----|-----------------------------------|-------------------------|---------------|
| 1  | 실내시험을 통한 재료의 물성 측정                | 차종별 교통량 분포 및 축하중 분포 측정  | 설계 해석 프로젝트 사용 |
| 2  | 간단한 실내시험 또는 물성 데이터베이스 및 예측방정식을 사용 | 데이터베이스화된 축하중별 교통량 분포 사용 | 설계 해석 프로그램 사용 |
| 3  | 포장재료의 일반적인 물성 사용                  | 데이터베이스화된 축하중별 교통량 분포 사용 | 표준 설계단면 사용    |

## 2.5 설계대안 단면 결정

### 2.5.1 아스팔트 콘크리트 포장

- (1) 포장형식 선정 후 각 포장의 기본설계 단면으로부터 설계대안 단면을 최소 3개 이상 결정한다.
- (2) 기본설계 단면은 고속국도, 일반국도, 지방도로 구분하여 <그림 2-3>과 같이 적용한다.
- (3) 아스팔트 콘크리트 포장의 표층 재료는 아스팔트 혼합물을 사용하며, 아스팔트 콘크리트 포장에 사용되는 재료는 「KCS 44 50 10 아스팔트 콘크리트 포장공사(국토교통부)」의 기준을 만족해야한다.
- (4) 설계대안 단면은 "설계기간 동안 유지보수 없이 공용기준을 만족하는 단면" 또는 "설계기간 동안 1회 이상의 유지보수를 포함하여 공용성 기준을 만족하는 단면"을 포함해야 한다.
- (5) 설계입력변수는 "II편 제1장", 설계대안 단면에 대한 구조해석은 "II편 제2장", 공용성 해석은 "II편 제3장", 설계대안 단면들의 경제성 분석은 "II편 제4장"을 통해 기준에 적합한 설계대안 단면들을 선정한다.

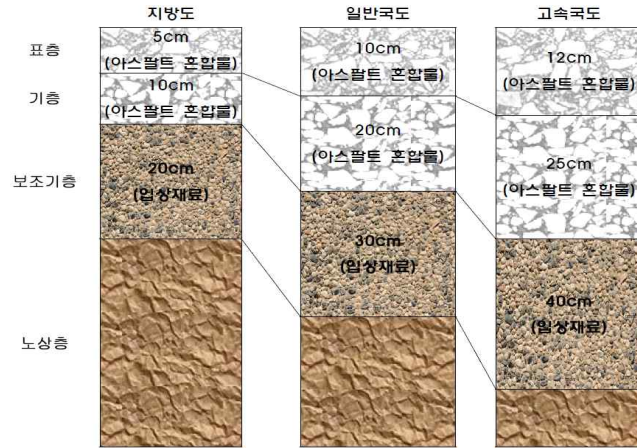
#### 【해 설】

고속국도, 일반국도 및 지방도에 대한 아스팔트 콘크리트 포장의 기본 설계 단면은 <그림 2-3>과 같다.

설계대안 중 표층 재료는 아스팔트 혼합물을 사용한다. 표층에 사용되는 아스팔트 혼합물용 골재는 밀입도 13mm, 밀입도 19mm 또는 SMA 10~13mm 혹은 저소음(배수성) 아스팔트 혼합물을 사용할 수 있으며, 아스팔트 바인더 경우 PG 58-22, PG 64-22, PG 76-22 또는 PG 82-34를 사용할 수 있다.

또한 기층 재료는 아스팔트 혼합물 및 입도조정쇄석을 사용한다. 기층에 사용되는 아스팔트 혼합물용 골재는 40mm 이하를 사용할 수 있으며, 아스팔트의 경우 PG 58-22, PG 64-22 또는 PG 76-22를 사용할 수 있다. 기층에 사용되는 입도조정쇄석은 「KCS 44 50 05 동상방지층, 보조기층 및 기층공사(국토교통부)」의 기준에 적합한 재료를 사용한다.

설계대안 단면은 최소 3개 이상 선정하고, 경제성 분석을 통해 최적의 단면을 결정한다. 설계대안 단면은 설계기간 동안 유지보수 없이 균열, 영구변형, 평탄성 기준을 만족하는 설계단면과 설계기간 동안 적어도 1회 이상의 유지보수를 포함하여 균열, 영구변형, 평탄성과 같은 공용성 기준을 만족하는 설계단면을 포함해야 한다.



〈그림 2-3〉 아스팔트 콘크리트 포장의 기본 설계 단면

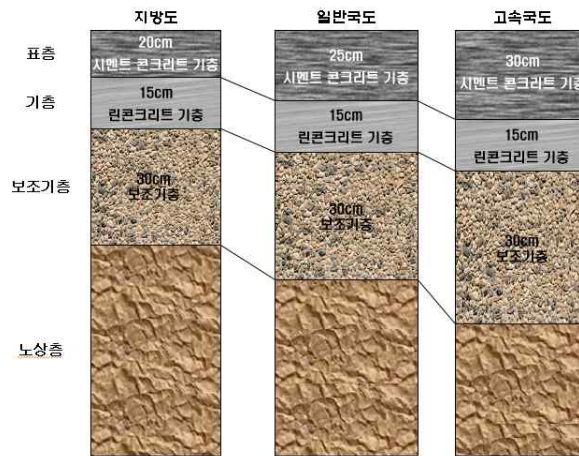
## 2.5.2 시멘트 콘크리트 포장

- (1) 포장형식 선정 후 각 포장의 기본설계 단면으로부터 설계대안 단면을 최소 3개 이상 결정한다.
- (2) 기본단면은 고속국도, 일반국도, 지방도로 구분하여 〈그림 2-1〉과 같이 적용한다.
- (3) 설계대안 중 표층 재료는 시멘트 콘크리트 혼합물을 사용한다. 표층에 사용되는 시멘트 콘크리트 혼합물용 골재는 40mm 또는 32mm를 사용할 수 있으며 포틀랜드 시멘트(1종~5종), 특수시멘트, 혼합시멘트를 사용할 수 있다.
- (4) 설계대안 중 기층 재료는 빈배합 콘크리트 골재의 표준입도를 사용한다.
- (5) 설계대안 중 보조기층 재료는 입도번호 SB-1, SB-2를 사용할 수 있다.
- (6) 포장재료 물성과 교통량은 “Ⅲ편 제1장 설계입력변수”에 의해 결정한다.
- (7) 설계대안 단면에 대한 “Ⅲ편 제2장 구조해석”과 “Ⅲ편 제3장 공용성해석”을 통해 기준에 적합한 설계대안 단면들을 선정한다.
- (8) 선정된 설계대안 단면들의 “Ⅲ편 제4장 경제성 분석”을 통해 최적의 단면을 결정한다.

## 【해 설】

### 가. 기본단면 설정

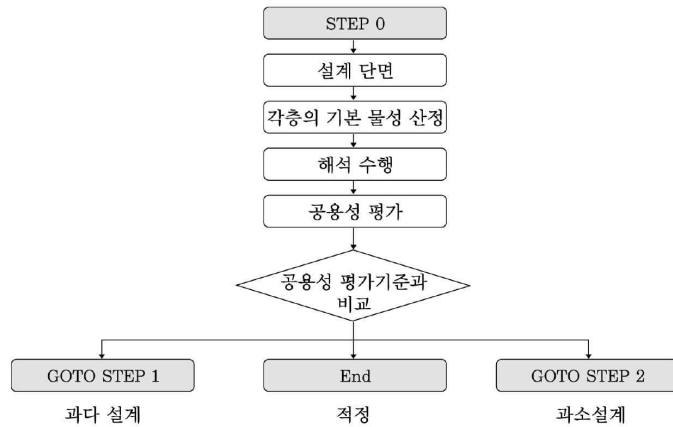
포장형식이 선정되면 각 형식의 기본 단면으로부터 설계대안 단면을 결정한다. 각각의 기본단면은 <그림 2-4>와 같다. 기본단면으로부터 각 포장형식별 대안설계 방법을 통해 다양한 대안을 수립할 수 있다.



<그림 2-4> 시멘트 콘크리트 포장의 기본 설계 단면

### 나. 대안단면 결정

임의로 결정한 기본단면의 두께를 <그림 2-5>에서 나타난 절차에 따라 포장층 두께를 변화시켜 대안을 결정한다. 이 때 각 층의 기본 물성을 설계 해석 프로그램에 입력한 결과로 얻어진 공용성 데이터를 바탕으로 대안을 작성한다.

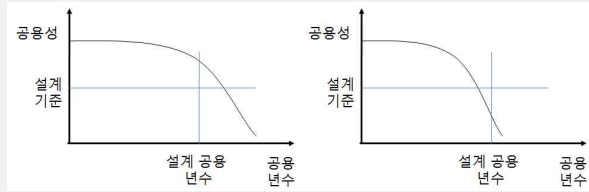


〈그림 2-5〉 대안 단면에 대한 해석 절차

앞 절의 포장형식선정 논리를 통하여 포장의 형식이 시멘트 콘크리트 포장으로 선정되었을 경우, 주어진 예비단면에 대한 구조해석과 공용성 해석을 반복적으로 수행하면서 최적의 단면을 찾는 과정을 거치게 된다.

#### 1) Step 0. 시멘트 콘크리트 구조해석 및 공용성 평가를 통한 수명산정

- ① 초기 설계단면을 이용하여 각 층의 두께, 물성 등을 산정한다.
- ② 산정된 두께와 물성을 이용하여 시멘트 콘크리트 포장설계 해석 프로그램을 이용하여 공용성을 평가한다.
- ③ 공용성 평가결과에 따라 합리적인 시멘트 콘크리트 포장 구조체 설계단면을 산정한다.
  - ③-1 〈그림 2-4〉의 왼쪽 그림과 같이 공용성 평가결과로부터 산정된 수명이 실제 설계수명보다 클 경우, Step 1.로 이동하여 단면을 감소시킨다.
  - ③-2 공용성 평가결과로부터 산정된 수명과 실제 설계수명이 20% 이내의 차이를 보일 경우, Step 3.으로 이동하여 경제성 분석을 위한 대안단면으로 선정한다.
  - ③-3 〈그림 2-6〉의 오른쪽 그림과 같이 공용성 평가결과로부터 산정된 수명이 실제 설계수명보다 작을 경우, Step 2.로 이동하여 단면을 증가시킨다.



〈그림 2-6〉 과소 설계 및 과다 설계 예시

## 2) Step 1. 과다설계

- ① 상황에 맞는 설계자의 판단에 의하여, 표층을 변경하고자 할 경우 2번 단계로 이동하고, 기층을 변경하고자 할 때는 3번 단계로, 보조기층을 변경하고자 할 때는 4번 단계로, 줄눈 간격을 변경하고자 할 경우는 5번 단계로 이동한다.
- ② 표층의 재료를 하향시킬 수 있을 경우, 하향시키고자 하다면 ②-1번 단계로 이동한다. 표층의 재료를 하향시킬 수 없는 경우, 혹은 하향하고 싶지 않을 경우에는 ②-2번 단계로 이동한다.
  - ②-1 표층의 재료를 하향시켜 변경한 후 Step 0. 으로 이동하여 구조해석 및 공용성 재평가를 실시한다.
  - ②-2 표층의 두께를 3cm 감소시킨다. 감소된 두께가 시멘트 콘크리트 포장구조체 설계기준에 제시된 표층의 최소두께보다 클 경우에는 Step 0. 으로 이동하여 구조해석 및 공용성 재평가를 실시한다. 만일 감소시킨 표층의 두께가 최소두께보다 작을 경우 표층의 두께는 원래의 두께로 되돌린 후 2번 단계로 이동하여 재료를 하향시키거나, 1번 단계로 이동하여 다른 층의 변경을 모색한다.
- ③ 기층의 재료를 하향시킬 수 있을 경우, 하향시키고자 하다면 ③-1번 단계로 이동한다. 기층의 재료를 하향시킬 수 없는 경우, 혹은 하향하고 싶지 않을 경우에는 ③-2번 단계로 이동한다.
  - ③-1 기층의 재료를 하향시켜 변경한 후 Step 0. 으로 이동하여 구조해석 및 공용성 재평가를 실시한다.
  - ③-2 기층의 두께를 5cm 감소시킨다. 감소된 두께가 시멘트 콘크리트 포장구조체 설계기준에 제시된 기층의 최소두께보다 클 경우에는 Step 0. 으로 이동하여 구조해석 및 공용성 재평가를 실시한다. 만일 감소시킨 기층의 두께가 최소두께보다

작을 경우 기층의 두께는 원래의 두께로 되돌린 후 3번 단계로 이동하여 재료를 하향시키거나, 1번 단계로 이동하여 다른 층의 변경을 모색한다.

- ④ 보조기층의 두께를 10cm 감소시킨다. 감소된 두께가 시멘트 콘크리트 포장 구조체 설계기준에 제시된 보조기층의 최소두께보다 클 경우에는 Step 0. 으로 이동하여 구조해석 및 공용성 재평가를 실시한다. 만일 감소시킨 보조기층의 두께가 최소두께보다 작을 경우 보조기층의 두께는 원래의 두께로 되돌린 후 1번 단계로 이동하여 다른 층의 변경을 모색한다.
- ⑤ 줄눈 간격을 50cm 증가시킨다. 증가된 줄눈 간격이 시멘트 콘크리트 포장 구조체 설계기준에서 제시된 줄눈 최대 간격보다 작을 경우에는 Step 0. 으로 이동하여 구조해석 및 공용성 재평가를 실시한다. 만일 증가시킨 줄눈 간격이 최대간격보다 클 경우 줄눈을 원래의 간격으로 되돌린 후 1번 단계로 이동하여 포장층 두께의 변경을 모색한다.

### 3) Step 2. 과소설계

- ① 상황에 맞는 설계자의 판단에 의하여, 표층을 변경하고자 할 경우 2번 단계로 이동하고, 기층을 변경하고자 할 때는 3번 단계로, 보조기층을 변경하고자 할 때는 4번 단계로, 줄눈 간격을 변경하고자 할 경우는 5번 단계로 이동한다.
- ② 표층의 재료를 상향시킬 수 있을 경우, 상향시키고자 한다면 2-1번 단계로 이동한다. 표층의 재료를 상향시킬 수 없는 경우, 혹은 상향하고 싶지 않을 경우에는 2-2번 단계로 이동한다.
  - ②-1 표층의 재료를 상향시켜 변경한 후 Step 0. 으로 이동하여 구조해석 및 공용성 재평가를 실시한다.
  - ②-2 표층의 두께를 3cm 증가시킨다. 증가된 두께가 시멘트 콘크리트 포장 구조체 설계기준에 제시된 표층의 최대두께보다 작을 경우에는 Step 0. 으로 이동하여 구조해석 및 공용성 재평가를 실시한다. 만일 증가시킨 표층의 두께가 최대두께보다 클 경우 표층의 두께는 원래의 두께로 되돌린 후 2번 단계로 이동하여 재료를 상향시키거나, 1번 단계로 이동하여 다른 층의 변경을 모색한다.

- ③ 기층의 재료를 상향시킬 수 있을 경우, 상향시키고자 하다면 ③-1번 단계로 이동한다. 기층의 재료를 상향시킬 수 없는 경우, 혹은 상향하고 싶지 않을 경우에는 ③-2번 단계로 이동한다.
- ③-1 기층의 재료를 상향시켜 변경한 후 Step 0. 으로 이동하여 구조해석 및 공용성 재평가를 실시한다.
- ③-2 기층의 두께를 5cm 증가시킨다. 증가된 두께가 시멘트 콘크리트 포장 구조체 설계기준에 제시된 기층의 최대두께보다 작을 경우에는 Step 0. 으로 이동하여 구조해석 및 공용성 재평가를 실시한다. 만일 증가시킨 기층의 두께가 최대두께보다 클 경우 기층의 두께는 원래의 두께로 되돌린 후 3번 단계로 이동하여 재료를 상향시키거나, 1번 단계로 이동하여 다른 층의 변경을 모색한다.
- ④ 보조기층의 두께를 10cm 증가시킨다. 증가된 두께가 시멘트 콘크리트 포장구조체 설계기준에 제시된 보조기층의 최대두께보다 작을 경우에는 Step 0. 으로 이동하여 구조해석 및 공용성 재평가를 실시한다. 만일 증가시킨 보조기층의 두께가 최대두께보다 클 경우 보조기층의 두께는 원래의 두께로 되돌린 후 1번 단계로 이동하여 다른 층의 변경을 모색한다.
- ⑤ 줄눈 간격을 50cm 감소시킨다. 감소된 줄눈 간격이 시멘트 콘크리트 포장 구조체 설계기준에서 제시된 줄눈 최소 간격보다 클 경우에는 Step 0. 으로 이동하여 구조해석 및 공용성 재평가를 실시한다. 만일 감소시킨 줄눈 간격이 최소 간격보다 작을 경우 줄눈을 원래의 간격으로 되돌린 후 1번 단계로 이동하여 포장층 두께의 변경을 모색한다.

#### 4) Step 3. 여러 대안단면의 경제성 분석을 통한 최적단면의 선정

I편 Step 0에서 Step 2 의 과정에 의하여 산정된 적절한 대안단면들을 생애주기비용 (LCC, Life Cycle Cost) 기법에 의한 경제성 분석을 실시한다.

II편 경제성 분석을 통하여 최적의 단면을 선정한다.

### 제2편 아스팔트 콘크리트 포장

#### 구조 설계 ..... 47

제1장 설계 입력변수 ..... 51

제2장 구조 해석 ..... 77

제3장 공용성 해석 ..... 83

제4장 경제성 분석 ..... 89

제5장 설계등급 3 ..... 95

제6장 아스팔트 덧씌우기 포장  
설계 ..... 103



# 설계입력변수

|                  |    |
|------------------|----|
| 1.1 개설 .....     | 51 |
| 1.2 설계등급 1 ..... | 51 |
| 1.3 설계등급 2 ..... | 64 |



# 제1장 설계입력변수

## 1.1 개설

- (1) 설계 입력변수는 포장의 최적 두께 산정을 위한 기초자료이다.
- (2) 설계 입력변수는 설계등급 1, 설계등급 2 또는 설계등급 3으로 구분하여 적용한다. 단, 설계 입력변수 중에서 교통특성 및 환경특성은 설계등급에 상관없이 동일하게 결정한다.
- (3) 설계 입력변수는 교통량, 환경특성, 하부구조 재료물성 및 아스팔트 혼합물 재료물성으로 구성된다.

### 【해 설】

설계 입력변수는 공용기간 동안 예비 포장단면의 역학적 거동 및 공용성을 예측하는데 이용되며, 설계등급에 의하여 그 정밀도가 변화한다. 교통량과 재료물성은 설계등급에 따라 주어진 데이터베이스를 이용하거나 실제 실측 및 실험을 통하여 결정되지만, 환경변수는 대상 구간의 기상관측소 데이터베이스를 이용하여 결정되므로 설계등급과 무관하게 동일한 방법으로 적용한다.

## 1.2 설계등급 1

- (1) 고속국도(설계AADT 150,000대 이상 또는 AADT 중 5종 이상의 중차량 대수가 50,000대 이상) 및 일반국도(설계AADT 35,000대 이상 또는 AADT 중 5종 이상의 중차량 대수가 12,000대 이상)에 적용된다.
- (2) 교통량은 현장 교통량 조사를 통하여 차종별 축하중 분포를 측정하여 사용한다.
- (3) 하부구조 및 아스팔트 혼합물 재료물성은 실내시험을 통하여 결정하는 것이 원칙이나, 본 요령에 제시되어 있는 포장 재료에 한하여 도로포장 구조 설계해석 프로그램에 포함되어 있는 물성을 활용할 수 있다.

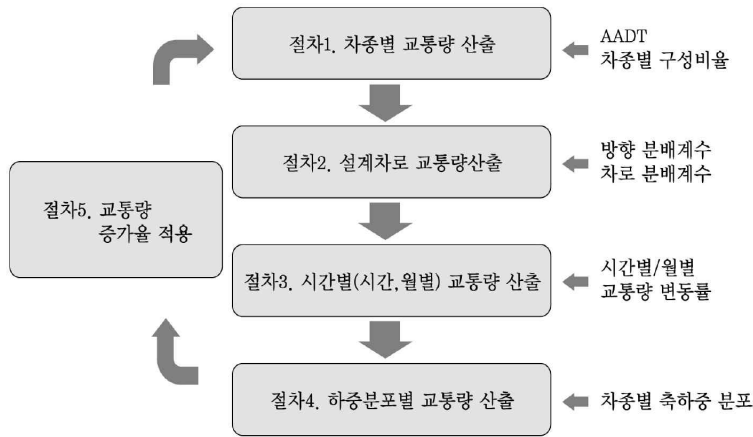
## 1.2.1 교통량

- (1) 도로포장 구조 설계에서는 교통량 산정을 위하여 차종별 축하중 분포를 이용한다.
- (2) 설계등급 1에서는 원칙적으로 현장 조사를 통하여 차종별 축하중 분포를 결정하기 위한 입력값들을 결정한다.
- (3) 차종별 축하중 분포에 따른 교통량을 결정하기 위한 입력값에는 초기년도 연평균일교통량(AADT), 차종별 구성비율, 방향분배계수, 차로분배계수, 시간별 교통량변동률, 월별교통량변동률, 차종별 축하중 분포, 교통량증가율이 포함된다.
- (4) 초기년도 연평균일교통량(AADT)과 차종별 구성비율은 설계구간에 대한 교통수요 예측자료를 사용한다.
- (5) 방향분배계수, 차로분배계수, 월별교통량변동률, 시간별교통량변동률은 인접지역 교통량 통계자료를 이용한다.
- (6) 교통량증가율은 장래교통량 예측 증가율이나 각 연도별 예측값을 사용할 수 있다.

### 【해 설】

도로포장 구조 설계에서는 필수적으로 도로포장에 직접적으로 영향을 주는 교통조건에 대한 결정이 필요하다. 따라서 본 장에서는 도로포장 구조 설계시 교통조건에 대한 상세한 결정 방법을 다룬다.

일반적으로 도로설계는 도로의 계획 목표년도 동안에 그 도로를 통행할 것으로 예상되는 자동차의 연평균일교통량(AADT)을 산정하여, 서비스 수준에 따른 차로 수 결정 등과 같은 횡단구성을 설계한다. 이러한 횡단구성 설계가 이루어진 후, 포장설계를 실시하게 되는데, 본 요령에서의 교통조건은 도로설계를 위한 계획 교통량인 연평균일교통량(AADT) 보다 좀 더 상세한 교통조건이 필요하다. 즉, 계획교통량으로 사용하는 연평균일교통량은 1년 동안 도로의 어느 지점 또는 구간을 통행한 양방향의 총 차량대수를 1년 동안의 일수로 나눈 교통량으로 대상 도로를 통과하는 차량들의 24시간 교통량을 파악함으로써 교통 수요를 알기 위함이다. 이는 도로의 설계에서 고려해야 할 지역적 특성 및 시간적 특성을 충분히 포함하지 않는 수치이다. 따라서, 본 요령의 포장 구조 설계에서는 지역적 특성 및 시간적 특성을 반영하기 위한 다음과 같은 절차를 수행하여 하중분포별 교통량으로 산출한다.



〈그림 1-1〉 포장설계 시 교통량 산출 절차

## (1) 연평균일교통량(AADT)

연평균일교통량(AADT)은 연간 총통행량을 365일로 나눈 값으로 정의한다. 포장 구조 설계에 사용되는 연평균일교통량은 도로 계획에서 산출된 초기년도부터 계획목포연도까지의 매년 평균일 교통량 중 초기년도 값을 기준으로 사용한다.

## (2) 차종별 구성비율

차종별 구성비율이란 국내 차종 분류 기준인 12종 분류 교통량을 연평균일 교통량(AADT)으로 나눈 값을 의미한다. 차종별 구성비율이 필요한 이유는 차종형태별로 포장에 미치는 영향이 다르기 때문에, 이에 대한 차종별 교통량을 산출하여 포장의 파손량을 계산하여야 하기 때문이다. 즉, 차종별 구성비율은 연평균일교통량을 차종별 교통량으로 환산하는데 사용한다. 본 요령에서는 설계자의 판단 하에 설계하고자 하는 도로와 비슷한 차종 패턴 지점을 결정하고, 그 지점의 교통량 현장 조사 또는 매년 발행되는 교통량 통계 연보를 활용하여 차종별 구성비율을 결정하도록 한다. 대상 지점의 교통량 현장 조사는 「교

통조사지침(국토교통부)」, 「도로교통량 조사지침(국토교통부)」에 근거하여 12차종 분류에 따라 교통량을 수집하여 결정하고, 교통량통계연보 이용 시에는 대상 지점의 12차종별 교통량 자료로 결정한다.

### (3) 설계차로 교통량 산출

앞에서 산출된 차종별 연평균일교통량은 도로 내 방향 및 모든 차선을 포함한 교통량으로 설계 시 방향 및 차로에 대한 교통량으로 환산하여야 한다. 설계차로 교통량은 차종별 연평균일교통량에 방향분배계수(Directional Distribution Factor)와 차로분배계수(Lane Distribution Factor)를 곱하여 계산한다. <식 1.1>은 차종별 설계차로 교통량 환산식이다.

$$W_i = AADT_i \times D_D \times D_L \text{ <식 1.1>}$$

여기서,  $W_i$  =  $i$  차종에 대한 설계차로 연평균일교통량

$AADT_i$  =  $i$  차종에 대한 연평균일교통량

$DD$  = 방향분배계수

$DL$  = 차로분배계수

위 식에서 사용되고 있는 방향분배계수는 중방향 교통량을 전체 교통량으로 나누어 계산되고, 차로분배계수는 2차로 이상(1방향)일 경우에 차로 간 교통량 부담율로 계산된다. 방향 및 차로 분배 계수의 적용 값은 설계자의 판단 하에 원칙적으로 다음의 표와 같은 범위 내에서 결정하도록 하며, 설계 신뢰도를 높이기 위한 교통량 현황조사를 실시할 때는 방향 및 차로에 대한 교통량을 추가적으로 수집하여 적용한다.

〈표 1-1〉 방향 및 차로 분배 계수 범위 값

| 구분                  | 방향 분배 계수<br>제시값 | 구분           | 편도 차로수 | 차로분배계수<br>제시값 |
|---------------------|-----------------|--------------|--------|---------------|
| 고속국도<br>일반국도<br>지방도 | 0.5~0.55        | 고속국도         | 4      | 0.35~0.45     |
|                     |                 |              | 3      | 0.45~0.55     |
|                     |                 |              | 2      | 0.70~0.90     |
|                     |                 | 일반국도,<br>지방도 | 4      | 0.35~0.45     |
|                     |                 |              | 3      | 0.60~0.70     |
|                     |                 |              | 2      | 0.80~0.90     |

#### (4) 시간별 교통량 변동률

시간별 교통량 변동률은 일일 교통량을 100으로 보았을 때, 각 시간대별로의 비율을 나타낸다. 시간대별 교통량은 앞 절에서 계산된 차종별 연평균일교통량에 시간별 교통량 변동계수를 곱해서 계산한다. 이 값의 결정은 장시간의 교통량 조사를 통하여 얻을 수 있는 것으로 설계등급 1에서는 교통량통계연보 내 상시조사구간의 지점 교통량 자료(최소 1년 이상 자료)를 이용하여 결정한다.

이렇게 결정된 시간별 교통량 변동률을 일일 차종별 교통량에 적용하면 24 시간대 별로 나누어 교통량을 산출할 수 있다.

#### (5) 월별 교통량 변동률

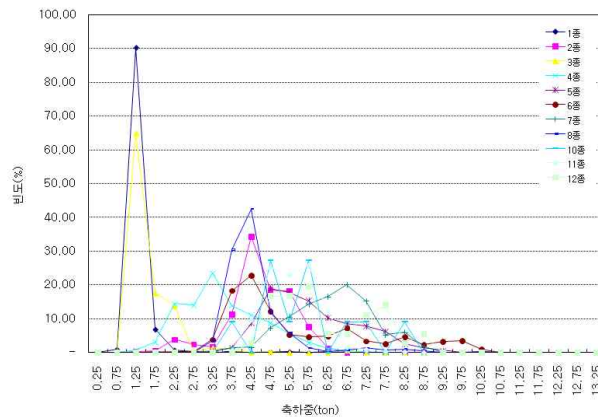
월별 교통량 변동률은 각 월별로 월평균교통량을 연평균교통량으로 나눈 값을 의미한다. 이 값의 결정은 장시간의 교통량 조사를 통하여 얻을 수 있는 것

으로 설계등급 1에서는 교통량통계연보 내 상시조사구간의 지점 교통량 자료 (최소 1년 이상 자료)를 이용하여 결정한다.

이렇게 결정된 월별교통량변동률을 일일차종별교통량에 적용하게 되면 월별 변동이 고려된 일일차종별교통량으로 나누어 산출할 수 있다.

## (6) 차종별 축하중 분포에 따른 교통량 산정

축하중 분포란 전체 도로 주행 차량의 축하중(차종, 축종류 별)을 하중등급에 따라 교통량으로 비율화한 것이다.



〈그림 1-2〉 차종별 단축(Single Axle) 축하중 분포의 예

앞에서 얻어진 월별에 따른 시간대별 차종 교통량에 축하중 분포를 적용하면 하중 등급별로 교통량을 산출할 수 있다. 얻어진 하중 등급별 교통량을 기초로 거동해석을 위한 손상도를 계산하게 된다. 하중 등급별 교통량 산출에 사용되는 축하중 분포는 본 요령 내 〈부록 1〉의 “도로 등급별(고속국도, 일반국도, 지방도) 축하중 분포”로 제시하고 있다. 제시된 축하중 분포는 국내 도로 등급 별 평균값으로 일반 설계 시 사용한다.

이와는 별도로, 설계지역의 교통하중 분포 특성을 반영하고자 할 때에는 실제 운행하중을 측정하여 축하중 분포를 이용할 수 있다. 이러한 설계를 위한 축하중 조사는 확장구간 설계일 경우에는 확장구간 내 도로 지점에서 조사하며, 신설 구간 설계일 경우에는 설계자 판단 하에 교통하중 조건이 비슷한 인접 도로 지점으로 조사한다.

### (7) 교통량 증가 추정 방법

본 요령에서는 설계기간 동안 매년 연평균일교통량(AADT)의 증가를 추정하기 위한 방법으로 <표 3-2>와 같이 일반적인 4가지 교통량 증가 추정 방법을 제시하고 있다. 도로포장 구조 설계 시 이러한 4가지의 교통량 증가 추정 방법에 대한 적용은 설계자가 최초 도로계획 시 도로 용량 계산을 위해 추정한 방법을 그대로 적용하며, 특별히 포장 구조 설계를 위한 별도의 교통량 증가 추정 방법은 없다.

<표 1-2> 시간에 따른 교통량 추정 방법

| 교통량 추정 방법   | 계산식                                               |
|-------------|---------------------------------------------------|
| 증가율 미적용     | 'a'년 후의 교통량 = 1.0 × 기준년도 교통량                      |
| 선형 증가율 적용   | 'a'년 후의 교통량 = (1+증가율 × a) × 기준년도 교통량              |
| 비선형 증가율 적용  | 'a'년 후의 교통량 = (1+증가율) <sup>2</sup> × 기준년도 교통량     |
| 5년 추정교통량 적용 | 기준년도에서 5년 주기의 추정 교통량을 사용자가 입력한 후 보간법을 사용하여 연도별 추정 |

## 1.2.2 환경특성

- (1) 환경특성은 설계등급에 관계없이 동일하게 적용한다.
- (2) 환경특성은 아스팔트 콘크리트 포장층 내부온도와 보조기층 및 노상 함수량 그리고 동결지수를 포함한다.
- (3) 아스팔트 콘크리트 포장층 내부온도는 대기온도를 기초로 하여 도로포장 구조설계의 온도예측모형을 통해 깊이별 분포 형태로 결정한다.
- (4) 보조기층 및 노상 함수량은 월평균 대기온도, 월평균누적강수량 및 노상 재료의 입도특성을 이용하여 도로포장 구조 설계의 함수비 예측모형을 통해 결정한다.
- (5) 환경특성을 결정하기 위한 대기온도 및 강수량 자료는 도로포장 구조 설계 해석 프로그램에 저장되어 있는 기상관측소 기상자료 데이터베이스를 이용하여 가장 인접한 1개 기상관측소 자료 또는 인접한 3개 기상관측소의 평균값을 사용한다.

### 【해 설】

환경특성을 결정하기 위한 대기온도 및 강수량 자료는 도로포장 구조 설계에 저장되어 있는 기상관측소 중 설계구간에 가장 인접한 1개 기상관측소 또는 인접한 3개 기상관측소의 평균값을 사용한다.

아스팔트 콘크리트 포장층 내부온도, 보조기층 및 노상 함수량은 기상관측소 자료를 이용하여 도로포장 구조 설계 해석 프로그램의 온도예측모형 및 함수비예측모형을 통해 자동으로 결정된다.

동결지수는 각 기상관측소에서 제시한 대기온도 값을 사용하여 도로포장 구조 설계해석 프로그램에 의해 자동 계산된다.

### 1.2.3 하부구조(입상) 재료물성

- (1) 포장 하부구조(노상, 보조기층 및 쇄석기층)의 재료물성은 탄성계수와 포아송비로 한다.
- (2) 설계등급 1에서는 하부구조 재료의 탄성계수를 반복삼축압축시험을 수행하여 구한다.  
반복삼축압축시험에 대한 자세한 시험절차는 <부록 3>의 “포장 하부 구조 재료의 설계입력변수 평가 시험법”을 참조한다.
- (3) 하부구조 재료의 품질기준은 국토교통부의 「KCS 44 00 00 도로공사(국토교통부)」를 따른다.
- (4) 도로포장 구조 설계에서는 동상방지층의 두께를 노상 동결관입 허용법을 사용하여 결정하며, 성토고가 노상 최종면을 기준으로 2m 이상인 성토구간에서는 노상토의 품질기준 중 #200체 통과량이 25% 이하이고 소성지수가 10 이하인 경우 동상방지층을 생략할 수 있다. 다만 이외 적용대상 구분은 다음 해설을 따른다.
- (5) 설계등급 1에서 사용하는 포아송비는 본 요령에서 제시한 대표값을 선택하여 사용한다.

#### 【해 설】

#### 가. 하부구조 재료의 품질요건

- ① 하부구조(노상, 보조기층 및 쇄석기층) 재료의 품질에 대한 요구조건은 「KCS 44 00 00 도로공사(국토교통부)」를 따른다.
- ② 입상 보조기층 및 쇄석기층 재료는 GP 또는 GW로 분류되고, 비소성(NP)이며, #200체 통과량이 10% 미만인 재료를 사용한다.

#### 나. 쇄석기층(입도조정기층)

- ① 쇄석기층을 아스팔트 콘크리트 포장 층 밑에 시공하는 경우, 교통량에 따라서 <표 1-3>에 표시한 아스팔트 층의 최소두께를 확보해야 한다.
- ② 쇄석기층의 품질기준은 「KCS 44 00 00 도로공사(국토교통부)」를 따른다.

〈표 1-3〉 쇠석기층 상부의 아스팔트 표층 최소 두께

| 교통량의 구분<br>(2종+5~12종) | 아스팔트 층의 최소두께 (cm) |
|-----------------------|-------------------|
| 250대 미만               | 5                 |
| 250 ~ 1,000대          | 10                |
| 1,000 ~ 3,000         | 15                |
| 3,000대 이상             | 20                |

- ③ 설계입력변수 결정을 위한 경험모형 구성모델은 〈식 1.2〉와 같은 체적응력모델을 적용한다.

$$E = k_1 + k_2 \cdot \theta \quad \langle \text{식 1.2} \rangle$$

여기서, E = 탄성계수 (MPa)

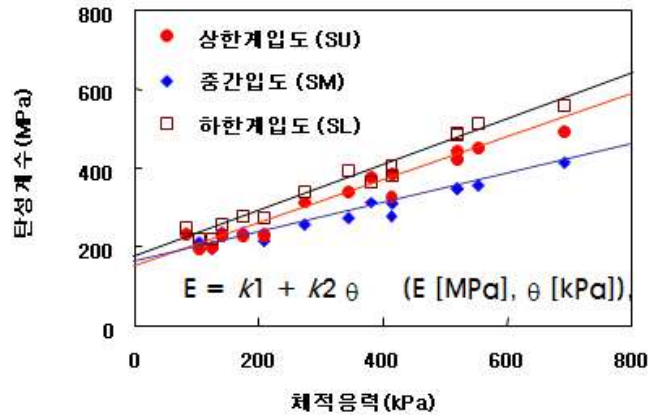
$\theta$  = 체적응력( =  $\sigma_1 + \sigma_2 + \sigma_3$  ) (kPa)

k1, k2 = 구성모델의 모델계수

- ④ 쇠석기층 재료의 탄성계수 결정을 위한 모델계수(k1, k2) 산정 방법의 순서는 〈부록 3〉에 명시하였으므로 이를 참조한다.
- ⑤ 국내 시료에 대한 실험결과의 일반적인 모델계수와 탄성계수의 범위는 〈표 1-4〉와 〈그림 1-3〉과 같다.

〈표 1-4〉 쇠석기층 재료의 탄성계수, k<sub>1</sub> 계수, k<sub>2</sub> 계수의 범위

| 구분                | 범위                      |
|-------------------|-------------------------|
| 탄성계수 (MPa)        | $100 \leq E \leq 600$   |
| k <sub>1</sub> 계수 | $80 \leq k_1 \leq 270$  |
| k <sub>2</sub> 계수 | $0.1 \leq k_2 \leq 0.6$ |



〈그림 1-3〉 쇄석기층의 일반적인 탄성계수

#### 다. 보조기층 재료의 탄성계수

- ① 보조기층 재료의 탄성계수는 구속응력(체적응력), 축차응력, 변형률 크기, 건조단 위중량 변화 등의 영향을 받으며 이중 탄성계수에 미치는 영향이 큰 체적응력 만을 보조기층 재료의 탄성계수 결정모델 영향계수로 간주한다.
- ② 보조기층 재료의 체적응력에 따른 결정모델은 〈식 1.3〉과 같다. 〈식 1.3〉에서 모델계수  $k_1$ ,  $k_2$ 는 실내실험을 수행한 결과를 바탕으로 회귀분석을 통해 구한다.

$$E = k_1 + k_2 \cdot \theta \quad \langle \text{식 1.3} \rangle$$

여기서,

$E$  = 탄성계수 (MPa)

$\theta$  = 체적응력( =  $\sigma_1 + \sigma_2 + \sigma_3$  ) (kPa)

$k_1, k_2$  = 모델계수

- ③ 보조기층 재료의 탄성계수 결정을 위한 모델계수( $k_1, k_2$ ) 산정 방법의 순서는 〈부록 3〉에 명시하였으므로 이를 참조한다.

## 라. 노상 재료의 탄성계수

- ① 국내 노상토의 탄성계수는 특성상 축차응력 뿐 아니라 구속응력의 영향을 많이 받는다.
- ② 노상토의 탄성계수 결정모델은 응력조건(축차응력 및 체적응력)과 함수비의 영향을 고려할 수 있도록 <식 1.4>와 같이 제시한다.

$$E_{opt} = k_1 + k_2 \theta^{k_2} \sigma_d^{k_3} 10^{k_w(w - w_{opt})} \quad \langle \text{식 1.4} \rangle$$

여기서,

$E_{opt}$  = 최적함수비 조건에서의 탄성계수 (MPa)

$\theta$  = 체적응력( =  $\sigma_1 + \sigma_2 + \sigma_3$  ) (kPa)

$\sigma_d$  = 축차응력( =  $\sigma_1 - \sigma_3$  ) (kPa)

$k_1, k_2, k_3, k_w$  = 모델계수

$w_{opt}$  = 최적함수비 (%)

$w$  = 함수비 (%)

- ③ 함수비의 영향과 관련된 모델계수  $k_w$ 는 노상토의 특성에 따라 아래의 값을 사용한다.

$k_w = -0.1417$  (조립질 노상토)

$-0.0574$  (세립질 노상토)

- ④ 모델계수  $k_1, k_2, k_3$ 은 반복삼축압축 실내실험 결과(부록 3)을 바탕으로 회귀 분석을 통해 구한다. 시험방법의 자세한 내용은 <부록 3>을 참조한다.

## 마. 하부구조 포아송비

- ① 포아송비는 탄성계수와 더불어 포장 구조해석의 기본 입력물성값이다. 그러나 하부구조 구성 재료의 포아송비는 포장 거동 특성에 탄성계수만큼 구조적으로 영향을 주지 않을 뿐 아니라 실험적으로 결정하기가 매우 어렵다. 따라서 하부구조 구성 재료의 포아송비는 설계등급 1 및 설계등급 2에서 <표 1-5>에 제시한 대표값을 선택하여 사용한다.

② 하부구조 구성 재료의 포아송비 결정을 위하여 별도의 시험을 시행하지 않는다.

〈표 1-5〉 포장 거동에 적용하는 노상토 및 입상 보조기층 재료의 포아송비

| 구분         | 재료특성           | 포아송비 범위    | 대표 포아송비 |
|------------|----------------|------------|---------|
| 노상토        | 모래질 점토         | 0.2 - 0.3  | 0.25    |
|            | 실트             | 0.3 - 0.35 | 0.33    |
|            | 조밀한 모래         | 0.2 - 0.4  | 0.3     |
|            | 조립 모래          | 0.15       | 0.15    |
|            | 세립 모래          | 0.25       | 0.25    |
| 입상 보조기층 재료 | 조립 사질토 또는 입상재료 | 0.15       | 0.15    |

### 1.2.4 아스팔트 혼합물 재료물성

- (1) 아스팔트 혼합물의 재료물성으로 동탄성계수와 포아송비를 적용한다.
- (2) 설계등급 1의 동탄성계수는 실내시험을 통하여 결정하는 것을 원칙으로 한다. 실내시험 방법은 〈부록 6〉의 “아스팔트 혼합물의 동탄성계수 표준시험법”을 이용한다. 사용하고자 하는 아스팔트 혼합물 종류가 본 요령에서 제시한 아스팔트 혼합물의 종류와 동일할 경우 제안된 매개변수 표를 사용하여 동탄성계수를 결정할 수 있다.
- (3) 포아송비는 본 요령에서 제안하는 값들을 적용한다.

## 【해 설】

아스팔트 혼합물의 재료물성으로 동탄성계수와 포아송비를 사용한다.

설계등급 1에서는 상황에 따라 설계 입력변수 결정방법을 두 가지로 나눌 수 있다. 기본적으로 “아스팔트 혼합물의 동탄성계수 측정을 위한 표준시험법(부록 6 참조)”을 이용하여 아스팔트 혼합물의 동탄성계수 시험을 진행하여 결과 분석 후, 마스터곡선 매개변수를 도출하여 설계 해석 프로그램에 입력한다.

사용하고자 하는 아스팔트 혼합물이 본 요령 「1편 제2장 2.5 (3)항과 (4)항」에 제시된 아스팔트 혼합물인 경우 동탄성계수 매개변수가 설계 해석 프로그램 내에 존재함으로 별도의 시험을 수행하지 않고 설계 해석 프로그램에서 동탄성계수 산정을 자동으로 수행할 수 있다.

아스팔트 혼합물의 포아송비는 일반적으로 온도에 따라 0.15에서 0.5의 다양한 값을 보인다. 포장 구조해석 시 포아송비는 동탄성계수와 함께 아스팔트 혼합물의 주요 물성값이지만, 구조해석 결과에 미치는 영향은 미미하다. 따라서 도로포장 구조 설계 해석 프로그램 내에 있는 값을 그대로 적용한다.

## 1.3 설계등급 2

- (1) 고속국도(AADT 150,000대 미만), 일반국도(AADT 7,000대 이상 35,000대 미만), 및 지방도/기타도로(AADT 7,000대 이상)에 적용된다. 여기서 기타도로라 함은 「도로법(국토교통부)」에 명시된 특별시도, 광역시도, 시도, 군도 및 구도를 의미한다.
- (2) 교통량은 본 요령에서 제시한 값을 이용하여 차종별 추하중 분포를 결정한다.
- (3) 하부구조 및 아스팔트 콘크리트 혼합물 재료 물성은 간단한 실내실험을 통해 재료의 기본적인 물성을 구하고, 이 값들을 설계 프로그램에 입력하여 설계해석 프로그램에 포함되어 있는 예측식으로부터 결정한다.

### 1.3.1 교통량

- (1) 본 설계에서는 교통량 산정을 위하여 차종별 축하중 분포를 이용한다.
- (2) 차종별 축하중 분포별 교통량을 결정하기 위한 입력값의 종류는 본 요령「II편 아스팔트 콘크리트 포장 구조 설계의 1.2.1에 (3)항」과 동일하다.
- (3) 초기년도 연평균일교통량 및 차종별비율은 인접지역 교통량 통계자료를 사용한다.
- (4) 방향분배계수 및 차로분배계수는 국내 평균값을 사용한다.
- (5) 차종별축하중, 차량속도, 시간별교통량변동률 및 월별교통량 변동률은 도로 등급별로 본 요령에서 제시한 값을 적용한다.
- (6) 교통량증가율은 장래교통량 예측 증가율이나 각 년도별 예측값을 사용할 수 있다. 또한 본 요령에서 제안하는 교통량 증가계수를 이용할 수도 있다.
- (4) 워더링분포, 축간격 및 타이어간격, 타이어압력은 설계등급과 관계없이 본 요령에서 제시한 값을 사용한다.

#### 【해 설】

설계등급 2에서의 교통량 산정은 설계등급 1에서 제시한 산정 절차와 동일하며, 차종별 축하중분포별교통량을 결정하기 위한 입력값 결정시 본 요령에서 제시한 값을 이용한다.

#### (1) 연평균일교통량(AADT)

- 설계등급 1과 동일하게 산정한다.

#### (2) 차종별 구성비율

- 설계등급 1과 동일하게 산정한다.

#### (3) 차종별 설계차로 교통량

설계등급 2에서의 차종별 설계차로교통량 산정 절차는 설계등급 1과 같으며, 본 요령에서 다음과 같이 제시된 값을 이용하여 산출한다.

〈표 1-6〉 방향 및 차로 분배 계수

| 구분                  | 방향 분배 계수<br>제시값 | 구분           | 편도 차로수 | 차로분배계수<br>제시값 |
|---------------------|-----------------|--------------|--------|---------------|
| 고속국도<br>일반국도<br>지방도 | 0.5~0.55        | 고속국도         | 4      | 0.45          |
|                     |                 |              | 3      | 0.55          |
|                     |                 |              | 2      | 0.90          |
|                     |                 | 일반국도,<br>지방도 | 4      | 0.45          |
|                     |                 |              | 3      | 0.70          |
|                     |                 |              | 2      | 0.90          |

#### (4) 시간별 교통량 변동률

설계등급 1과 동일한 절차에 의해서 시간별 교통량을 산출하나, 인접지역 교통량 조사를 통한 시간별 교통량 변동률을 구하지 않고 지역 구분 및 차로 구분에 따라 다음의 표와 같은 변동률을 적용한다.

〈표 1-7〉 도시지역의 시간별 교통량 변동률

| 시간대           | 시간별 교통량 변동 계수 |       | 시간대           | 시간별 교통량 변동 계수 |       |
|---------------|---------------|-------|---------------|---------------|-------|
|               | 2차로           | 4차로이상 |               | 2차로           | 4차로이상 |
| 00:00 ~ 01:00 | 1.12          | 1.43  | 12:00~13:00   | 6.12          | 5.27  |
| 01:00 ~ 02:00 | 0.75          | 0.94  | 13:00~14:00   | 6.55          | 5.69  |
| 02:00 ~ 03:00 | 0.58          | 0.69  | 14:00 ~ 15:00 | 7.02          | 6.00  |
| 03:00 ~ 04:00 | 0.53          | 0.58  | 15:00 ~ 16:00 | 7.29          | 6.09  |
| 04:00 ~ 05:00 | 0.70          | 0.65  | 16:00 ~ 17:00 | 7.43          | 6.20  |
| 05:00 ~ 06:00 | 1.25          | 1.18  | 17:00 ~ 18:00 | 7.48          | 6.80  |
| 06:00 ~ 07:00 | 2.53          | 2.92  | 18:00 ~ 19:00 | 7.13          | 7.09  |
| 07:00 ~ 08:00 | 4.14          | 5.84  | 19:00 ~ 20:00 | 5.49          | 5.89  |
| 08:00 ~ 09:00 | 5.13          | 6.49  | 20:00 ~ 21:00 | 4.14          | 4.73  |
| 09:00 ~ 10:00 | 5.12          | 5.36  | 21:00 ~ 22:00 | 3.30          | 3.97  |
| 10:00 ~ 11:00 | 5.90          | 5.55  | 22:00 ~ 23:00 | 2.40          | 3.04  |
| 11:00 ~ 12:00 | 6.24          | 5.50  | 23:00 ~ 24:00 | 1.65          | 2.10  |

〈표 1-8〉 지방지역의 시간별 교통량 변동률

| 시간대           | 시간별 교통량 변동<br>계수 |       | 시간대           | 시간별 교통량 변동<br>계수 |       |
|---------------|------------------|-------|---------------|------------------|-------|
|               | 2차로              | 4차로이상 |               | 2차로              | 4차로이상 |
| 00:00 ~ 01:00 | 0.87             | 1.11  | 12:00~13:00   | 6.51             | 6.03  |
| 01:00 ~ 02:00 | 0.57             | 0.74  | 13:00~14:00   | 7.06             | 6.46  |
| 02:00 ~ 03:00 | 0.41             | 0.56  | 14:00 ~ 15:00 | 7.47             | 6.86  |
| 03:00 ~ 04:00 | 0.36             | 0.5   | 15:00 ~ 16:00 | 7.57             | 6.99  |
| 04:00 ~ 05:00 | 0.47             | 0.62  | 16:00 ~ 17:00 | 7.53             | 7.02  |
| 05:00 ~ 06:00 | 0.91             | 1.17  | 17:00 ~ 18:00 | 7.42             | 7.18  |
| 06:00 ~ 07:00 | 2.32             | 2.59  | 18:00 ~ 19:00 | 7.11             | 7.08  |
| 07:00 ~ 08:00 | 4.13             | 4.55  | 19:00 ~ 20:00 | 5.07             | 5.44  |
| 08:00 ~ 09:00 | 5.66             | 5.67  | 20:00 ~ 21:00 | 3.64             | 4.15  |
| 09:00 ~ 10:00 | 5.65             | 5.44  | 21:00 ~ 22:00 | 2.82             | 3.32  |
| 10:00 ~ 11:00 | 6.42             | 6.12  | 22:00 ~ 23:00 | 2.01             | 2.43  |
| 11:00 ~ 12:00 | 6.67             | 6.3   | 23:00 ~ 24:00 | 1.34             | 1.67  |

### (5) 월별 교통량 변동률

설계등급 1과 동일한 절차에 의해서 월별교통량을 산출하나, 인접지역 교통량 조사를 통한 월별 교통량 변동률을 구하지 않고 지역 구분 및 차로 구분에 따라 다음의 표와 같은 변동률을 적용한다.

〈표 1-9〉 월별 교통량 변동계수

| 구분     |           | 1월   | 2월   | 3월   | 4월   | 5월   | 6월   | 7월   | 8월   | 9월   | 10월  | 11월  | 12월  |
|--------|-----------|------|------|------|------|------|------|------|------|------|------|------|------|
| 도<br>시 | 2차로       | 0.91 | 0.88 | 0.99 | 1.03 | 1.02 | 0.99 | 0.92 | 1.01 | 1.08 | 1.10 | 1.08 | 0.99 |
|        | 4차로<br>이상 | 0.92 | 0.93 | 0.99 | 1.02 | 1.03 | 1.01 | 0.93 | 1.01 | 1.06 | 1.03 | 1.07 | 1.00 |
| 지<br>방 | 2차로       | 0.94 | 0.85 | 0.95 | 1.03 | 1.03 | 0.98 | 0.96 | 1.11 | 1.03 | 1.12 | 1.03 | 0.97 |
|        | 4차로<br>이상 | 0.92 | 0.85 | 0.92 | 1.00 | 1.02 | 0.99 | 0.97 | 1.16 | 1.05 | 1.12 | 1.03 | 0.97 |
| 평균값    |           | 0.92 | 0.88 | 0.96 | 1.02 | 1.03 | 0.99 | 0.95 | 1.07 | 1.06 | 1.09 | 1.05 | 0.98 |

## (6) 차종별 축하중 분포에 따른 교통량 산정

- 설계등급 1과 동일하게 산정한다.

## (7) 장래 교통량 추정

- 설계등급 1과 동일하게 산정한다.

### 1.3.2 환경특성

본 요령 「II편 아스팔트 콘크리트 포장 구조 설계의 제1장 1.2.2」와 동일하게 적용한다.

### 1.3.3 하부구조 재료물성

- (1) 본 요령 「II편 아스팔트 콘크리트 포장 구조 설계의 제1장 1.2.3에 (1)항」과 동일하게 적용한다.
- (2) 설계등급 2에서는 하부구조 재료의 탄성계수를 기본 물성시험과 설계 해석 프로그램에 포함되어 있는 상관모형을 통해 결정한다.
- (3) 하부구조 재료의 품질기준은 「KCS 44 00 00 도로공사(국토교통부)」를 따른다.
- (4) 동상방지층에 대한 물성기준은 본 요령 「II편 아스팔트 콘크리트 포장 구조 설계의 제1장 1.2.3에 (4)항」과 동일하게 적용한다.
- (5) 설계등급 2에서 사용하는 포아송비는 본 요령 「II편 아스팔트 콘크리트 포장 구조설계의 제1장 1.2.3에 (5)항」과 동일하게 적용한다.

#### 【해 설】

##### 가. 하부구조 재료의 품질요건

- ① 하부 구조 재료의 품질에 대한 요구조건은 「KCS 44 00 00 도로공사(국토교통부)」

를 따른다.

- ② 입상 보조기층 및 쇄석기층 재료는 GP 또는 GW로 분류되고, 비소성(NP)이며, #200체 통과량이 10% 미만인 재료를 사용한다.

#### 나. 쇄석기층(입도조정기층)

- ① 입도조정기층을 아스팔트 콘크리트 포장 층 밑에 시공하는 경우, 1.2.3(2)와 같이 교통량에 따라서 <표 1-3>에 표시한 최소두께를 확보해야 한다.
- ② 설계등급 2의 경우에는 경험모형을 적용하여 설계입력변수를 결정하며, 경험모형 결정을 위하여 체가름시험 및 다짐시험(D Type 또는 E Type)을 수행한다.

다. 설계입력변수 결정을 위한 경험모형 구성모델은 <식 1.5>와 같은 체적응력모델을 적용한다.

$$E = k_1 + k_2 \cdot \theta \quad \langle \text{식 1.5} \rangle$$

여기서, E = 탄성계수 (MPa)

$$\theta = \text{체적응력} (= \sigma_1 + \sigma_2 + \sigma_3) \text{ (kPa)}$$

k1, k2 = 구성모델의 모델계수

설계입력변수 결정을 위한 경험모형 구성모델계수는 <식 1.6> 및 <식 1.7>을 적용하여 결정하며, 국내 15개 시료에 대한 실험결과의 일반적인 모델계수와 탄성계수의 범위는 <표 1-10> 와 <그림 1-4>와 같다.

$$k_1 = 11680.1 - 137.0(MDEN) - 6.4(OMC) - 65.4(C_c) + 14.0(C_u) \quad \langle \text{식 1.6} \rangle \\ - 412.8(D_{50}) - 133.0(D_{95}) - 81.7(P_{200}) - 110.8(P_4)$$

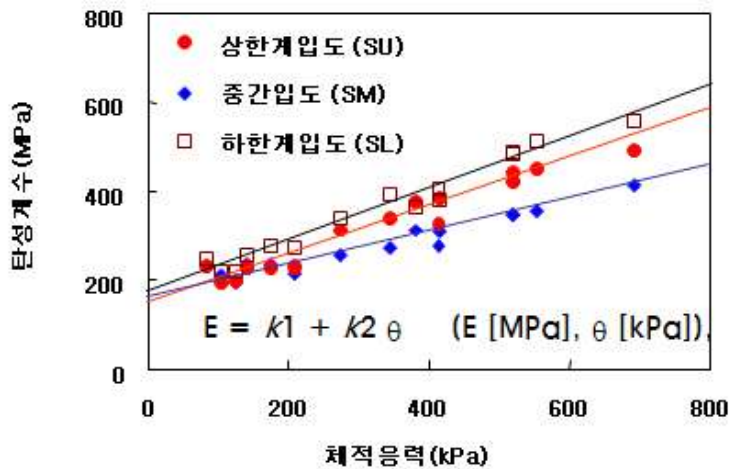
$$k_2 = 5.1045 + 1.2414(MDEN) - 0.0535(C_c) + 0.008(C_u) \quad \langle \text{식 1.7} \rangle \\ - 0.2208(D_{50}) - 0.0947(D_{95}) - 0.0769(P_4)$$

여기서, MDEN = 최대건조단위중량 ( $t/m^3$ )

OMC = 최적함수비 (%)  
 CC = 곡률계수  
 CU = 균등계수  
 P4 = #4체 통과률 (%)  
 P200 = #200체 통과률 (%)  
 D50 = 50% 통과률에 해당하는 입경 (mm)  
 D95 = 95% 통과률에 해당하는 입경 (mm)

〈표 1-10〉 쇄석기층 재료의 탄성계수,  $k_1$  계수,  $k_2$  계수의 범위

| 구분         | 범위                      |
|------------|-------------------------|
| 탄성계수 (MPa) | $100 \leq E \leq 600$   |
| $k_1$ 계수   | $80 \leq k_1 \leq 270$  |
| $k_2$ 계수   | $0.1 \leq k_2 \leq 0.6$ |



〈그림 1-4〉 쇄석기층의 일반적인 탄성계수

#### 다. 보조기층 재료의 탄성계수

- ① 설계등급 2에서는 보조기층 재료의 탄성계수 결정모델의 모델계수  $k_1$ ,  $k_2$ 를 경험적 상관모형으로부터 결정한다.
- ② 경험적 상관모형은 〈부록 3〉에 수록하였으며, 경험적 상관모형을 적용하기 위해서는 다짐시험에서 결정되는 최대건조단위중량, 입도분석시험으로부터 결정되는 균등계수( $C_u$ ) 및 #4 체 통과량을 산정하여 입력한다.

#### 라. 노상토 재료의 탄성계수 결정모델

- ① 설계등급 2에서는 탄성계수 결정모델의 모델계수  $k_1$ ,  $k_2$ ,  $k_3$ 를 경험적 상관모형으로부터 결정한다.
- ② 상관모형은 〈부록 3〉에 수록하였으며, 상관모형을 적용하기 위해서는 다짐시험에서 결정되는 최대건조단위중량과 최적함수비, 입도분석시험으로부터 결정되는 균등계수( $C_u$ ) 및 #200 체 통과량을 산정하여 입력한다.

#### 마. 품질기준과 경험모형의 적용 제한

일반적으로 사용되는 노상토 및 입상보조기층 재료의 품질기준 범위 내에는 들어오지만, 입상재료가 아래의 경우에 해당하는 경우에는 상관모형의 적용에 신중을 기해야 한다.

- ① 기초 물성이 상관모형의 예상 적용범위를 벗어나는 경우 (최소 및 최대값의 범위를 벗어남)
- ② 재료특성의 조합이 매우 특이하여 상관모형을 적용하면 오류가 발생하는 경우  
①또는 ②에 해당하여 상관모형을 적용하기 힘든 경우에는 실험에 의하여 설계 입력변수를 결정하는 것이 바람직하다.

## 바. 하부구조 재료의 포아송비

- ① 포아송비는 탄성계수와 더불어 포장 구조해석의 기본 입력물성값이다. 그러나 하부구조 구성 재료의 포아송비는 포장 거동 특성에 탄성계수 만큼의 구조적으로 심각한 영향을 주지 않을 뿐 아니라 실험적으로 결정하기가 매우 어렵다. 따라서 하부구조 구성 재료의 포아송비는 모든 설계등급(등급 1 및 등급 2)에서 <표 1-11>에 제시한 대표값을 선택하여 사용한다.
- ② 하부구조 구성 재료의 포아송비 결정을 위하여 별도의 시험을 시행하지 않는다.

<표 1-11> 포장 거동에 적용하는 노상토 및 입상 보조기층 재료의 포아송비

| 구분         | 재료특성           | 포아송비 범위    | 대표 포아송비 |
|------------|----------------|------------|---------|
| 노상토        | 모래질 점토         | 0.2 - 0.3  | 0.25    |
|            | 실트             | 0.3 - 0.35 | 0.33    |
|            | 조밀한 모래         | 0.2 - 0.4  | 0.3     |
|            | 조립 모래          | 0.15       | 0.15    |
|            | 세립 모래          | 0.25       | 0.25    |
| 입상 보조기층 재료 | 조립 사질토 또는 입상재료 | 0.15       | 0.15    |

### 1.3.4 아스팔트 혼합물 재료물성

- (1) 본 요령 「II편 아스팔트 콘크리트 포장 구조 설계의 제1장 1.2.4에 (1)항」과 동일하게 적용한다.
- (2) 설계등급 2에서 아스팔트 혼합물의 동탄성계수는 골재입도 종류 및 아스팔트 바인더의 종류에 따라 설계 해석 프로그램에 입력되어 결정된다.
- (3) 설계등급 2에서 포아송비는 0.35를 대표값으로 사용한다.
- (4) 여기에서 정의되지 않는 새로운 아스팔트 혼합물은 기존 아스팔트 공용성 등급과 아스팔트 혼합물의 표준 배합설계를 비교해서 입도 및 최대입경과 유사하면 설계등급 1에 해당하는 시험만 수행하고 현 설계 해석 프로그램에 도입한다.
- (5) 여기에서 정의되지 않는 새로운 아스팔트 혼합물은 기존 아스팔트 공용성 등급과 아스팔트 혼합물의 표준 배합설계를 비교해서 입도 및 최대입경과 상이하면 설계등급 1에 해당하는 시험을 수행할 뿐만 아니라, 모형 제안 보고서를 제출, 설계를 운영하는 기관의 검증을 통해 설계 해석 프로그램에 모형추가 작업을 거쳐서 도입한다.

#### 【해 설】

설계등급 2에서는 동탄성계수 시험을 실시하지 않고 아스팔트 혼합물의 골재입도 종류 및 아스팔트 종류에 따라 도로포장 구조 설계에 의해 구축된 예측방정식으로부터 동탄성계수를 결정한다. 포장 구조해석 시 포아송비는 설계등급 2에서는 0.35를 대표값으로 사용한다.

설계등급 2를 이용하여 아스팔트 혼합물의 동탄성계수 예측에 필요한 입력변수는 다음과 같다.

#### (1) 골재입도 종류

동탄성계수 예측식에 사용하는 골재입도 종류는 다음의 표와 같다. 표층용 아스팔트 혼합물의 골재입도 종류는 밀입도 13mm, 밀입도 19mm, SMA 13mm이며, 기층용 아스팔트 혼합물의 골재입도 종류는 40mm, 25mm를 아스팔트 혼합물의 기본 골재입도 종류로 사용한다.

〈표 1-12〉 아스팔트 혼합물의 기본 골재입도 종류

| 혼합물의 종류<br>체의 포장지수                 |        | 표층용                   |                       |               | 기층용            |                |
|------------------------------------|--------|-----------------------|-----------------------|---------------|----------------|----------------|
|                                    |        | WC-1<br>(밀입도<br>13mm) | WC-3<br>(밀입도<br>19mm) | 5MA<br>(13mm) | BB-1<br>(40mm) | BB-3<br>(25mm) |
| 통과<br>질<br>량<br>백<br>분<br>률<br>(%) | 50mm   | -                     | -                     | -             | 100            | -              |
|                                    | 40mm   | -                     | -                     | -             | 95~100         | -              |
|                                    | 30mm   | -                     | -                     | -             | 80~100         | 100            |
|                                    | 25mm   | -                     | 100                   | -             | 70~100         | 90~100         |
|                                    | 20mm   | 100                   | 90~100                | 100           | 55~90          | 71~90          |
|                                    | 13mm   | 90~100                | 72~90                 | 93~90         | 40~80          | 56~80          |
|                                    | 10mm   | 76~90                 | 56~80                 | 40~55         | 30~70          | 45~72          |
|                                    | 5mm    | 44~74                 | 35~65                 | 16~30         | 17~55          | 29~59          |
|                                    | 2.5mm  | 28~58                 | 23~49                 | 12~23         | 10~42          | 19~45          |
|                                    | 0.60mm | 11~32                 | 10~28                 | 10~18         | 5~28           | 7~25           |
|                                    | 0.30mm | 5~21                  | 5~19                  | 8~15          | 3~22           | 5~17           |
|                                    | 0.15mm | 3~15                  | 3~13                  | 7~14          | 2~16           | 3~12           |
|                                    | 0.08mm | 2~10                  | 2~8                   | 7~12          | 1~10           | 1~7            |

【주1】여기에서 체는 각각 KS A 5101에 규정한 표준망체 53mm, 37.5mm, 31.5mm, 26.5mm, 19mm, 13.2mm, 9.5mm, 4.75mm, 2.36mm, 0.6mm, 0.3mm, 0.15mm, 0.075mm에 해당한다.

## (2) 아스팔트 종류

본 요령에서는 아스팔트의 공용성 등급(PG, Performance Grade) PG 58-22, PG 64-22, PG 76-22를 아스팔트로 사용한다.

# 구조 해석

|                        |    |
|------------------------|----|
| 2.1 개설 .....           | 77 |
| 2.2 다층탄성 해석 프로그램 ..... | 77 |



## 제2장 구조해석

### 2.1 개설

- (1) 구조해석은 표층, 중간층, 기층에서의 수평방향 또는 수직방향 변형률과 보조 기층 중앙, 노상 상단의 수직방향 변형률을 역학적으로 예측하기 위하여 수행되며, 예측된 수평방향 또는 수직방향 변형률은 공용성 해석의 주요 변수가 된다.
- (2) 구조해석은 다층탄성이론에 기반한 구조해석 프로그램을 이용해서 얻어진 수평방향 또는 수직방향 변형률을 이용한다.

#### 【해설】

아스팔트 콘크리트 포장의 주요 공용성 기준인 영구변형, 균열 또는 평탄성은 포장체 내의 수직방향 및 수평방향 변형률에 큰 영향을 받는다. 포장체 내에서의 변형률은 하중의 크기, 접지면적, 단면의 두께, 재료의 물성 및 환경조건에 의하여 결정되는데, 도로포장 구조 설계에서는 아스팔트 콘크리트 포장의 변형률을 예측하기 위하여 다층탄성해석이 사용된다. 다층탄성해석은 특정조건에서의 변형률을 비교적 정확하게 예측하는 것으로 알려져 있으나, 다양한 조건을 고려한 장기 거동을 해석하기에는 상당한 시간이 소요되는 단점이 있다. 따라서 포장의 장기 공용성이 중요한 인자가 되는 아스팔트 콘크리트 포장의 설계에서는 다층탄성 해석 프로그램을 이용하여 구해진 수평방향 또는 수직방향 변형률을 이용한다.

### 2.2 다층탄성 해석 프로그램

- (1) 다층탄성 해석 프로그램은 선정된 설계대안의 재료물성과 두께에 대하여 주어진 교통하중 및 환경특성 조건에서 포장 내부의 응력, 변형률, 처짐량 등 포장의 거동을 계산하는 프로그램이다.
- (2) 다층탄성 해석 프로그램은 포장층이 탄성, 등방, 균질하다는 가정을 전제로 한다.
- (3) 다층탄성 해석 프로그램은 탄성모델의 중첩효과를 이용하여 다양한 축 종류 및 축간 거리를 고려할 수 있다.
- (4) 다층탄성 해석 프로그램을 이용한 아스팔트 콘크리트 포장의 구조해석 절차는 해설을 따른다.

## 【해 설】

아스팔트 콘크리트 포장의 구조해석은 다층탄성 해석 프로그램을 이용하며, 설계 해석 프로그램 내에서 교통하중에 따라 자동 수행되므로 도로포장 구조 설계 시에는 직접적으로 요령을 참조하지 않아도 된다. 구조해석의 입력값에는 자동적으로 입력된 도로포장을 구성하는 층의 두께와 물성, 교통하중(차간거리와 타이어 압력), 프로그램 내 자동설정 해석위치 등이 있다. 해석 프로그램 내 자동 설정된 포장 층 내의 해석위치들에서 응력과 변형률이 산정된 후 최대응력과 최대변형률이 나타나는 한계점을 찾게 된다. 한계점에서의 응력과 변형률은 탄성계수 예측모형 및 공용성 모델의 입력변수로 사용된다. 한계점에서의 포장거동은 다음과 같다.

- 아스팔트 혼합물층에서의 수평 인장변형률 (아스팔트 혼합물의 피로균열)
- 아스팔트 혼합물층 및 포장 하부구조에서의 수직 압축변형률 (아스팔트 혼합물 및 포장 하부구조의 영구변형)

### 2.2.1 아스팔트 콘크리트 포장 구조해석 절차

도로포장 구조 설계에서 개발한 해석 프로그램 내 자동적으로 계산되는 다층탄성 해석 프로그램은 탄성모델의 중첩효과를 이용하여 다양한 축 종류 및 축간 거리를 고려할 수 있으며, 포장재료의 온도와 응력의 비선형성을 고려할 수 있다. 다층탄성 해석 프로그램을 이용한 아스팔트 콘크리트 포장 구조해석의 절차는 <그림 2-1>과 같다.

단계 1. 포장구조체의 총 층수 결정

단계 2. 층 두께 설정(표층, 중간층, 기층, 보조기층, 노상)

단계 3. 단계 2의 설정된 층으로부터 세부 분할층 결정

- 설계에서 개발한 다층탄성 해석 프로그램에서는 층 분할을 통하여 아스팔트 콘크리트 포장 층의 온도 비선형성, 보조기층의 응력 비선형성을 모사할 수 있다. 아스팔트 콘크리트 포장층의 아스팔트 혼합물은 온도에 민감하게 거동하는 재료이므로 해석 시 온도에 따른

탄성계수를 보다 정확히 결정하기 위하여 여러 개의 층으로 세분화 한다. 보조기층의 경우, 정확도에 따른 해석시간을 고려하여 최적의 보조기층 분할 개수는 2개로 한다. 노상의 경우에는 깊이에 따른 응력의 변화가 크지 않기 때문에 세부 층으로 분할하지 않고 단일 층으로 간주한다.

단계 4. 깊이별로 각 층의 물성인 탄성계수와 포아송비 입력(아스팔트 콘크리트 포장층: 동탄성계수, 쇠석기층 및 보조기층과 노상: 회복탄성계수)

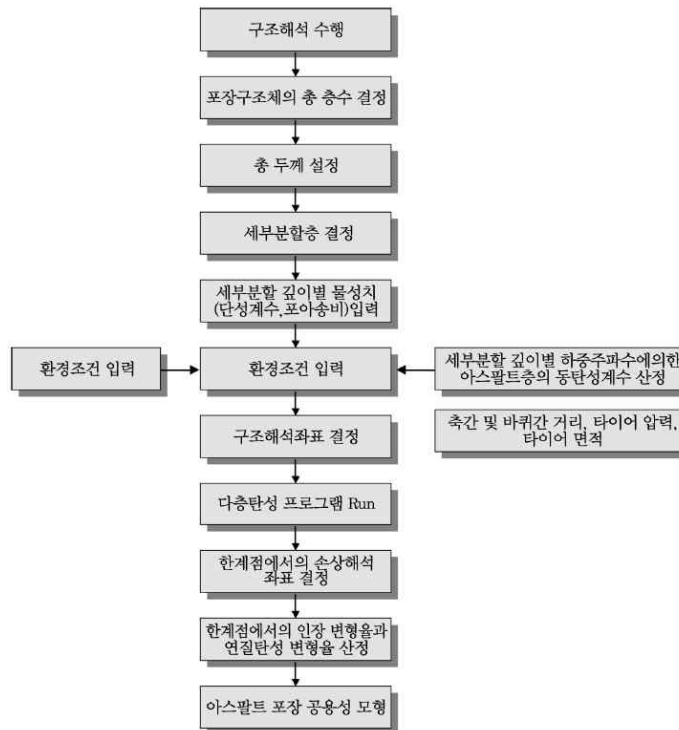
단계 5. 교통하중의 입력(축간 및 바퀴간 거리, 타이어 압력, 타이어 면적)

단계 6. 구조해석 좌표 입력

단계 7. 다층탄성 해석 프로그램 자동 반복 계산

단계 8. 단계 6의 결과로부터 한계점에서의 손상 해석좌표 결정

단계 9. 손상 해석 좌표 중 공용성 입력변수인 한계점에서의 수평 인장변형률과 수직 압축변형률 결정



〈그림 2-1〉 아스팔트 콘크리트 포장 구조해석 절차

## 2.2.2 다층탄성 구조해석결과

다층탄성 해석 프로그램으로부터 구한 포장구조 해석결과는 공용성 모형의 입력 자료로 사용된다. 아스팔트 콘크리트 포장의 구조적인 파손은 상향균열, 하향균열, 영구변형 등이 있으며, 이를 예측하기 위해 구조해석 결과를 사용한다.

### (1) 상향균열 해석

다층탄성 해석 프로그램을 통해 아스팔트 콘크리트 포장의 표층 하단과 기층 하단의 인장변형률을 산정한다. 가장 큰 인장변형률을 보이는 한계점(Critical Location)에서의 결과를 상향균열 예측모형에 사용하게 된다. 일반적으로 단륜일 경우 타이어 중앙부를 한계점으로 설정하고 반응값을 산출하며, 다축·다륜을 이용할 경우 여러 지점의 인장변형률을 비교하여 가장 큰 값을 해석에 계산한다.

### (2) 하향균열 해석

다층탄성 해석 프로그램을 통해 아스팔트 콘크리트 포장 표층 상단의 인장변형률을 산정한다. 가장 큰 인장변형률을 보이는 한계점(critical location)에서의 결과를 하향균열에 예측모형에 사용하게 된다. 상향균열과는 반대로 타이어 중앙부에서 가장자리로 이동할수록 표층 상단에서의 인장변형률은 증가한다. 하향균열 해석에서도 아스팔트 콘크리트 포장의 표층 상단부의 여러 지점의 인장변형률을 비교하여 가장 큰 값을 해석에 사용한다.

### (3) 영구변형 해석

다층탄성 구조해석을 통해 아스팔트 콘크리트 포장의 표층과 기층, 보조기층의 세부분할 층 중간 지점 및 노상상단에서의 연직변형률을 산정한다. 일반적으로 단륜인 경우 타이어 중앙지점이 한계점(Critical Location)으로서 가장 큰 연직변형률을 나타내는데 반해 다축·다륜인 경우 여러 지점에서의 연직변형률을 비교하여 가장 큰 변형률을 해석에 사용한다.

# 공용성 해석

|                  |    |
|------------------|----|
| 3.1 개설 .....     | 83 |
| 3.2 공용성 예측 ..... | 83 |
| 3.3 피로균열 .....   | 84 |
| 3.4 영구변형 .....   | 85 |
| 3.5 평탄성 .....    | 86 |



## 제3장 공용성 해석

### 3.1 개설

- (1) 공용성 해석은 선정된 설계대안 포장체가 교통, 환경특성 등 주어진 조건 하에서 시간에 따라 공용성이 저하되는 정도를 예측하는 단계이다.
- (2) 본 요령에서 아스팔트 콘크리트 포장의 공용성은 균열, 영구변형 및 평탄성을 대상으로 한다.

#### 【해설】

아스팔트 콘크리트 포장의 공용성 해석은 포장체의 구조해석으로부터 얻어진 변형률을 공용성 모델에 입력하여 상하향 피로균열, 누적영구변형량, 평탄성의 저하 정도를 예측하는 과정이다. 피로균열의 경우, 구조해석에서 구한 인장변형률을 입력값으로 하며, 영구변형의 경우 연직 압축 변형률을 입력값으로 하여 공용성을 예측한다. 누적된 피로균열, 영구변형, 아스팔트 콘크리트 포장 재령(Age)에 근거하여 포장 평탄성을 예측한다. 공용기간 동안 산정한 누적피로균열, 누적영구변형 및 평탄성을 예측하여 설계기준보다 작을 때까지 재료물성이나 포장단면을 변화하여 반복 설계를 수행한다.

### 3.2 공용성 예측

아스팔트 콘크리트 포장의 공용성 예측은 상향균열, 하향균열, 영구변형 및 평탄성 예측모형을 이용하여 설계 해석 프로그램에서 자동으로 수행된다.

#### 【해설】

아스팔트 콘크리트 포장의 공용성 예측모델은 실내 피로균열 시험과 영구변형 시험으로 도출한 매개변수를 사용하며, 실내시험에서 구한 매개변수에 의한 예측식과 현장에서 측정

한 상하향 피로균열 및 영구변형 공용성을 비교 분석하여 전이함수를 도출한다. 도출된 전이함수를 고려한 예측식을 이용하여 아스팔트 콘크리트 포장의 공용성을 예측한다. 누적 상하향 피로균열율과 누적영구변형량이 설계기준을 초과할 경우에는 포장단면과 재료물성을 변화하여 설계기준을 만족시킬 때까지 계산을 반복 수행한다. 마지막으로, 산정된 누적 상하향 피로균열율과 누적영구변형량이 설계기준 내에 있을 때, 피로균열과 영구변형량을 결정하며, 이때의 공용수명을 결정한다.

아스팔트 콘크리트 포장의 표면 평탄성은 국제평탄성지수(IRI, International Roughness Index)(m/km)로 나타내며, 포장재령, 피로균열율, 영구변형을 변수로 하는 경험식을 통해 계산된다. 설계기준보다 작은 국제평탄성지수(IRI) 값이 산출되어야 타당한 설계가 된다.

아스팔트 콘크리트 포장 공용성은 설계 해석 프로그램 내에서 자동으로 수행된다.

### 3.3 피로균열

- (1) 피로균열은 반복되는 교통하중에 의해 아스팔트 콘크리트 포장의 표층에 손상이 누적되어 발생하며, 아스팔트 콘크리트 포장의 공용성에 영향을 주는 주요한 파손 형태이다.
- (2) 아스팔트 콘크리트 포장의 피로균열 설계기준은 피로균열율(%)로 나타내며, 피로균열은 해석기간 동안 전체 포장면적 중 피로균열이 발생한 면적의 백분율로 나타낸다. 아스팔트 콘크리트 포장의 피로균열은 설계등급 1의 경우 15% 이하, 설계등급 2의 경우 20% 이하를 설계기준으로 한다.

#### 【해 설】

피로균열이 발생하는 위치에 따라 상향균열(Bottom-up crack)과 하향균열(Top-down crack)로 나누며, 상향균열은 아스팔트 콘크리트 포장 층 하부에서 발생하여 상부로 전이하고 하향균열은 표층 상부에서 발생하여 하부로 전이한다.

피로균열은 반복하중에 의해 생성되는 한계인장응력과 변형률이 발생하는 곳에서 나타나게 된다. 피로균열은 아스팔트 콘크리트 포장 층의 강성과 교통하중 배열에 의해 크게 영

향을 받으며, 한계지점에서 발생한 균열은 아스팔트 콘크리트 포장 층 전면으로 전파된다. 선 형태로 시작되는 피로균열은 격자형태의 거북등 균열로 변화하며, 균열 사이로 수분이 침투하여 전반적인 포장 성능을 약화시킨다.

아스팔트 콘크리트 포장의 피로균열은 마이너의 법칙(Miner's law) 근거하여 누적피로균열 손상도를 계산한다. 계산된 누적손상도를 이용하여 예측 피로균열율을 계산하고 현장의 피로균열과 비교하여 전이함수를 도출한다. 전이함수를 고려한 피로균열 예측식을 이용하여 피로균열율을 재 산정하고 설계기준을 만족할 때 까지 설계를 재수행한다.

아스팔트 콘크리트 포장의 피로균열은 종방향 균열, 횡방향 균열, 거북등 균열 등 하중과 연계된 모든 균열을 포함한다.

아스팔트 콘크리트 포장의 피로균열 설계기준은 피로균열율(%)로 나타내며, 피로균열율은 공용성 해석기간 동안 전체 포장 단면적 중 피로균열이 발생한 부분의 백분율을 나타낸다. 피로균열 설계기준은 설계등급 1의 경우 15% 이하이며, 설계등급 2의 경우 20% 이하이다.

### 3.4 영구변형

- (1) 영구변형은 아스팔트 콘크리트 및 입상재료 층에서 발생한 바퀴자국의 누적된 변형 깊이로 나타낸다.
- (2) 영구변형의 설계기준은 설계등급 1인 경우 10mm 이하이며, 설계등급 2인 경우 15mm 이하이다.

#### 【해 설】

아스팔트 콘크리트 포장의 영구변형은 하중증가에 따라 바퀴자국(Wheel path)에서 발생하며, 아스팔트 혼합물층 및 입상재료층에서 발생한 누적된 변형깊이로 나타낸다. 영구변형량은 환경조건, 층 두께, 포장재료, 교통량과 밀접한 관계가 있다.

아스팔트 콘크리트 포장의 영구변형은 영구변형 예측식을 통해 설계수명 동안의 누적 영

구변형량을 계산한다. 계산된 누적 영구변형량과 현장의 영구변형량을 비교하여 전이함수를 도출한다. 전이함수를 고려한 영구변형 예측식을 이용하여 누적 영구변형량을 재 산정하고 설계기준을 만족할 때 까지 설계를 재 수행한다.

누적영구변형은 아스팔트 콘크리트 포장 층에서 발생한 바퀴자국의 누적된 변형 깊이를 나타낸다. 영구변형 깊이는 포장의 평탄성과 밀접한 관계가 있으며, 수막현상 등을 일으켜 포장의 기능적 성능을 저하시킨다. 누적 영구변형의 설계기준은 공용성 해석기간 동안 바퀴자국에서의 최대 영구변형 깊이로 나타내며 설계등급 1의 경우 10mm 이하이며, 설계등급 2의 경우 15mm 이하이다.

### 3.5 평탄성

- (1) 평탄성은 단위거리에 대한 포장 표면 단차의 누적 길이로 나타낸다.
- (2) 평탄성의 설계기준은 설계등급 1의 경우 3.5m/km 이하이며, 설계등급 2의 경우 4.0m/km 이하이다.

#### 【해 설】

아스팔트 콘크리트 포장의 평탄성은 포장의 기능을 나타내는 중요한 변수이며, 평탄성이 좋지 않은 포장은 이용자의 안정감을 해칠 뿐만 아니라 차량 운행비도 증가시킨다. 평탄성은 차량 운행 거리에 대한 포장 표면 단차의 변화로 정의한다. 도로의 평탄성은 국제평탄성지수(IRI, International Roughness Index)로 나타내며, 포장 파손도 및 포장의 재령과 밀접한 관계가 있다. 도로 평탄성은 역학적으로 규명이 어려워 대부분 경험적인 모델을 사용하고 있다. 국내 도로포장의 시공년도 평탄성을 분석한 결과 초기 평탄성값을 1.18m/km로 정립한다.

# 경제성 분석

|                     |    |
|---------------------|----|
| 4.1 일반사항 .....      | 89 |
| 4.2 생애주기비용 분석 ..... | 89 |
| 4.3 경제성 분석 방법 ..... | 91 |



## 제4장 경제성 해석

### 4.1 일반사항

설계대안 단면이 설계기준을 만족시키면 그 설계는 기술적으로 실행 가능한 대안이 된다. 이러한 설계대안 단면들에 대해 생애주기비용분석(LCCA)을 통하여 경제적으로 가장 유리한 대안을 선정한다.

#### 【해 설】

도로포장의 시공 초기부터 공용기간 전반에 필요한 비용을 산정하여 최적의 대안을 선정할 수 있도록 도로포장 구조 설계 해석 프로그램 내에서 경제성 분석을 실시한다. 경제성 분석을 위한 설계 입력값은 분석기간 및 할인율이다.

### 4.2 생애주기비용 분석

- (1) 생애주기비용분석을 수행하기 위한 분석기간은 35년으로 한다.
- (2) 도로포장 구조 설계 해석 프로그램은 설계대안 단면에 대한 공용성기간과 유지보수시기를 계산하고, 이를 근거로 각 설계대안 단면에 대한 관리자 비용과 사용자 비용을 계산한다.
- (3) 생애주기비용분석에는 초기투자비용과 유지관리비용이 포함된다.

#### 【해 설】

설계대안 단면에 대한 공용기간 및 유지보수 시기는 도로포장 구조 설계 해석 프로그램에서 자동으로 결정되며 이에 따라 유지보수비용이 산정된다.

도로포장 구조 설계에서는 초기투자비용 및 유지보수비용 외에 사용자 비용이 추가로 산정되며 유지보수 운영과 작업일 수에 따라 산정된다. 사용자 비용은 도로 이용자가 도로상

태 및 보수작업으로 인하여 정상적으로 통행을 하지 못하게 되는 경우 지불하는 비용의 합으로 차량운행비용, 운행지연비용이 포함된다.

### (1) 초기투자비용 및 유지보수비용

도로포장 구조 설계에서 초기투자비용은 각 설계단면의 재료비와 시공비로 구성되며, 유지보수비용은 유지보수전략에 따라 선택된 유지보수비용을 말한다.

### (2) 차량운행비용

차량운행비용은 크게 고정비용과 가변비용이 있는데, 고정비용은 차량의 운행여부와는 관계없이 차량을 소유하면서부터 발생하는 비용을 의미하는 것으로 차량의 감가상각비, 보험금 등이 있다. 고정비용은 차량 운행과는 관계가 없으므로 정상적으로 통행이 어렵다 하더라도 증가하거나 감소하지 않는다. 반면에 가변비용은 차량의 운행으로 발생하는 비용으로 연료소모비, 엔진오일비, 타이어비 등이 있다. 이 비용은 차량의 종류, 속도, 중량뿐만 아니라 도로상태, 교통량, 보수 시 공사기간에 따라 변화하는 비용이다.

### (3) 운행지연비용

운행지연비용이란 도로상태가 나빠 차량의 속도 감소에 의해 발생하는 경우와 보수작업으로 인해 차량 운행이 지연됨으로써 운전자의 시간에 대해 발생하는 비용이다. 통행시간을 경제적 재화처럼 화폐가치로 나타낸 것으로 시간을 비용으로 환산시키는 개념이다. 예를 들면, 통행자의 임금수준, 이용경로나 교통수단의 선택 등을 기준으로 평가하는 여객 시간가치, 화물의 품목에 다른 시간가치를 평가하는 화물 시간가치 등이 있다. 이 비용에 영향을 미치는 요소는 교통속도, 교통량, 보수시의 공사기간, 운전자의 시간가치 등이 있다.

## 4.3 경제성 분석 방법

- (1) 도로포장의 종류에 따라 시공시기, 공용년수가 다르므로 대안들을 비교하려면, 우선 기준이 되는 시점을 정하고, 이 기준으로 각 대안에 발생하는 현재 비용과 미래 비용을 환산한다.
- (2) 경제성 분석 단계에서는 설계 입력값인 분석기간과 할인율을 선택하고, 이를 근거로 도로포장 구조 설계 해석 프로그램은 관리자 비용과 사용자 비용을 계산한다. 도로포장 구조 설계에서는 분석기간 35년, 할인율 5.5%를 기본값으로 한다.
- (3) 관리자 비용 및 사용자 비용은 순현재가치 (NPV, Net Present Value)로 환산되어 비교된다.
- (4) 순현재가치를 비교하여 가장 경제적인 대안을 최종 설계 대안으로 결정한다.

### 【해 설】

경제성 분석의 첫 번째 단계는 설계 입력값인 분석기간과 할인율을 선택하는 것이다. 이후 설계 해석 프로그램은 설계대안 단면에 대한 관리자 비용과 사용자 비용을 계산하게 된다. 이때에 경제성 분석의 핵심은 모든 경쟁 대안에 소요되는 비용을 어느 한 시점의 금액으로 환산하여 비교하는데 있다. 이를 공정하게 비교할 수 있도록 하는 중요한 요소 중의 하나가 할인율이다. 본 요령에서는 기본적으로 5.5%의 할인율을 적용하며, 필요에 따라 공공투자편람과 같은 자료로 적절한 할인율을 적용할 수 있다. 물가상승률과 이자율에 의한 실질 할인율을 산출하는 방법은 <식 4.1>과 같다.

$$i(\text{할인율}) = \frac{1 + \text{이자율}}{1 + \text{물가상승율}} - 1 \quad \langle \text{식 4.1} \rangle$$

선정된 설계대안 단면은 공용년수가 다르므로 대안들을 비교하려면 우선 기준이 되는 시점을 정하고, 이 기준으로 각 대안에 발생하는 비용을 현재가치로 환산해야 한다. 이러한 현재가치의 기본 공식은 <식 4.2>와 같이 계산된다.

$$NPV(\text{순현재가치}) = \text{초기투자비} \quad \langle \text{식 4.2} \rangle \\ + \sum_t (\text{유지 보수비} + \text{사용자비용}) \left[ \frac{1}{(1+i)^t} \right]$$

여기서,

i : 할인율

t : 분석기간 연수

마지막 단계로 설계대안 단면들의 순현재가치를 비교하여 가장 경제적인 단면을 선정한다.

# 설계등급 3

|                |    |
|----------------|----|
| 5.1 일반사항 ..... | 95 |
| 5.2 교통조건 ..... | 96 |
| 5.3 노상조건 ..... | 97 |
| 5.4 설계단면 ..... | 98 |



## 제5장 설계등급 3

### 5.1 일반사항

- (1) 목표연도 일평균교통량 7,000대 이하인 도로 즉 「도로법(국토교통부)」, 「농어촌도로 정비법(국토교통부)」, 「국토의 계획 및 이용에 관한 법률(국토교통부)」의 국도, 지방도, 종로이하의 도로에 적용한다.
- (2) 설계방법은 교통조건(AADT, 중차량비율)과 노상조건(E)에 따른 표준적인 설계단면을 적용하는 카달로그 설계단면을 적용한다.

#### 【해설】

설계등급 3에서는 목표연도 연평균일교통량(AADT)이 7,000대 이하의 도로 즉 「도로법(국토교통부)」, 「농어촌 도로정비법(국토교통부)」, 「국토의 계획 및 이용에 관한 법률(국토교통부)」의 국도, 지방도, 종로 이하의 도로에 적용한다.

각 층에 사용되는 재료는 「KCS 44 00 00 도로공사(국토교통부)」의 기준을 만족하는 재료를 사용한다. 이 중에서 표층용 아스팔트 혼합물의 골재입도 종류는 19mm 밀입도와 13mm 밀입도를, 아스팔트는 PG 58-22 및 PG 64-22를 기본으로 사용한다. 기층용 아스팔트 혼합물 골재는 40mm 이하를 사용하며, 아스팔트는 PG 58-22 및 PG 64-22를 기본으로 사용한다. 입상기층용 골재와 보조기층용 골재는 「KCS 44 00 00 도로공사(국토교통부)」의 기준을 만족하는 재료를 사용한다.

설계등급 3의 카달로그 설계에서는 최소한의 입력변수를 사용하여 포장을 설계할 수 있도록 입력변수를 교통조건(AADT)과 노상조건(E)만으로 활용하여 단면 및 그래프를 제시하여 설계자가 간편하게 활용할 수 있도록 한다.

## 5.2 교통조건

- (1) 설계등급 3의 도로에서의 목표연도 연평균일교통량(AADT)이 7,000대/일 미만이므로 0~7,000대/일을 6단계로 구분하여 적용한다.
- (2) 또한, 중차량 비율이 포장에 영향을 주는 주요변수이므로 중차량비율이 평균값 15%를 초과할 경우에는 교통조건을 한 단계 상향 조정한다.

### 【해설】

교통조건은 포장에 영향을 미치는 주요변수로 설계등급 3에서는 목표연도 연평균일교통량(AADT)인 0~7,000대/일을 6단계로 구분하여 적용하며, 분류기호로는 C1~C6을 사용한다. 또한, 중차량 비율이 포장에 영향을 주는 주요변수이므로 중차량비율이 평균값 15%를 초과할 경우에는 교통조건을 한 단계 상향 조정한다.

〈표 5-1〉 교통조건 구분

| Traffic Volume(대/일) | Traffic Class( $\times 10^5$ ESAL) |             | 구분 |
|---------------------|------------------------------------|-------------|----|
|                     | 아스팔트 콘크리트 포장                       | 시멘트 콘크리트 포장 |    |
| ~ 100               | ~ 0.2                              | ~ 0.3       | C1 |
| 101 ~ 500           | 0.2 ~ 2.0                          | 0.3 ~ 3.0   | C2 |
| 501 ~ 1,500         | 2.0 ~ 6.0                          | 3.0 ~ 9.0   | C3 |
| 1,501 ~ 3,000       | 6.0 ~ 10.0                         | 9.0 ~ 15.0  | C4 |
| 3,001 ~ 5,000       | 10.0 ~ 15.0                        | 15.0 ~ 27.0 | C5 |
| 5,001 ~ 7,000       | 15.0 ~ 20.0                        | 27.0 ~ 40.0 | C6 |

## 5.3 노상조건

설계등급 3의 도로에서는 노상조건에 대한 변수로 탄성계수를 사용하여 노상을 3단계로 구분하여 적용한다.

### 【해 설】

노상조건은 포장에 영향을 미치는 주요변수로 국내의 노상에 대한 탄성계수의 범위는 37.7~280MPa로 제시되고 있으나, 본 설계등급 3인 카달로그 설계에서는 탄성계수에 따른 노상을 3단계로 구분하여 적용하며, 분류기호로는 S1~S3를 사용한다. 다음은 MR과 CBR의 상관식으로 모든 토질조건에서 적용 가능한 상관식이다.

$$MR = 17.6 \times CBR^{0.64} \text{ <식 5.1>}$$

여기서,

MR : 회복탄성계수 (MPa), CBR : California Bearing Ratio(%)

〈표 5-2〉 노상 조건의 구분

| E (kPa)             | CBR          | 분 류 |
|---------------------|--------------|-----|
| E < 49,300          | CBR < 5      | S1  |
| 49,300 ≤ E < 76,900 | 5 ≤ CBR < 10 | S2  |
| 76,900 ≤ E          | 10 ≤ CBR     | S3  |

## 5.4 설계단면

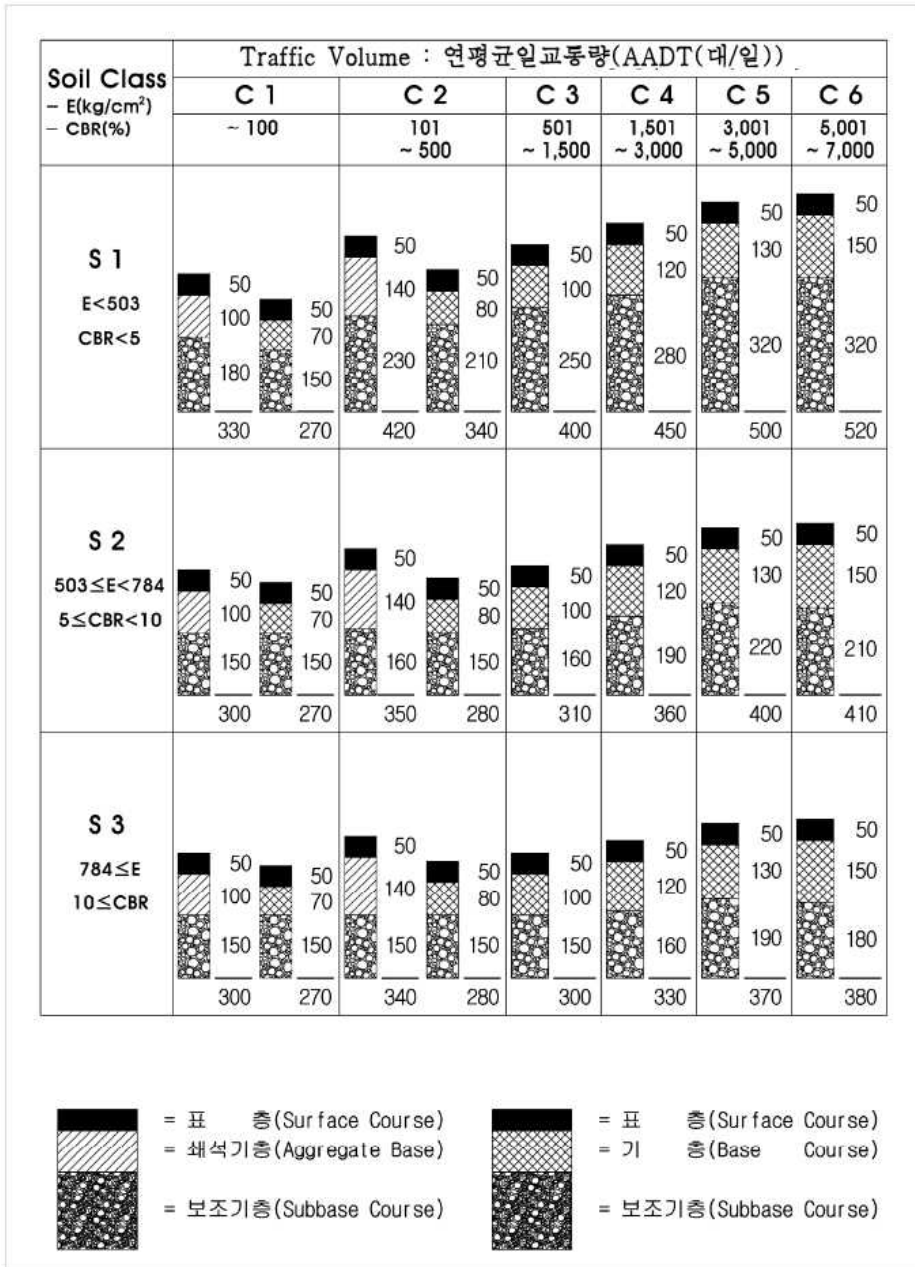
설계등급 3의 도로에서는 위의 교통조건(C1~C6)와 노상조건(S1~S3)을 기준으로 도로포장 구조 설계 해석 프로그램을 이용하여 작성된 다음의 아스팔트 콘크리트 포장의 카달로그 단면표 또는 설계단면 그래프를 적용한다.

### 【해 설】

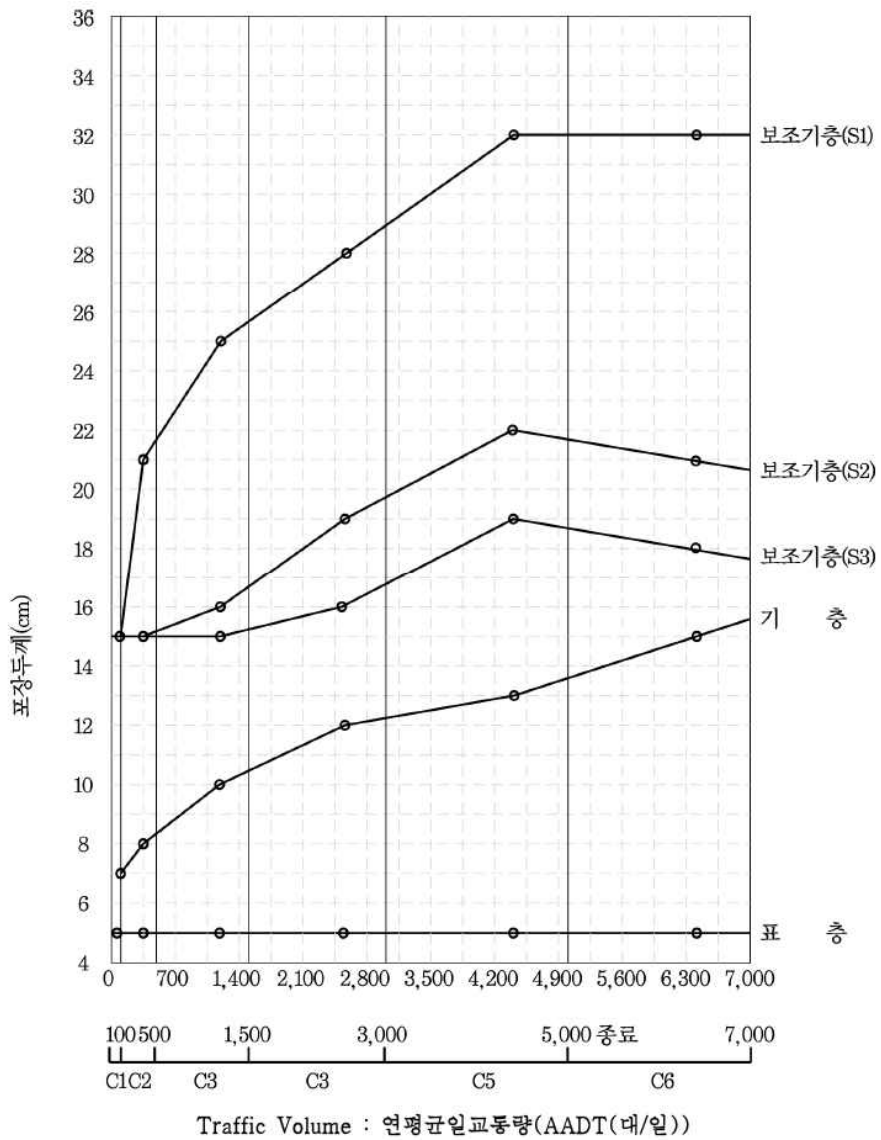
아스팔트 콘크리트 포장의 설계등급 3에서는 교통조건과 하부구조 재료물성은 <표 5-3>과 같은 방법에 의해서 결정하거나 <그림 5-1>과 같은 방법에 의해서 결정한다. <표 5-3>의 세로축에서 하부구조 재료물성 등급은 탄성계수 또는 CBR에 의해서 4개의 등급으로 분류하고 가로축 교통량 등급도 5개의 등급으로 분류한다. 포장단면에서 기층을 골재층(AGG) 또는 아스팔트 콘크리트 포장 기층(BB)을 선택하여 단면을 결정한다.

<표 5-3> 아스팔트 콘크리트 포장의 카달로그 단면

| 하부재료물성등급<br>-E (kPa)<br>-CBR          | 단면<br>(cm) | 교통량 등급 : 연평균일교통량(AADT (대/일)) |           |           |           |               |                 |                 |                 |
|---------------------------------------|------------|------------------------------|-----------|-----------|-----------|---------------|-----------------|-----------------|-----------------|
|                                       |            | C1                           |           | C2        |           | C3            | C4              | C5              | C6              |
|                                       |            | ~100                         |           | 101~500   |           | 501~<br>1,500 | 1,500~<br>3,000 | 3,001~<br>5,000 | 5,001~<br>7,000 |
| S1<br>E<49,300<br>CBR <5              | 표 층        | 5                            | 5         | 5         | 5         | 5             | 5               | 5               | 5               |
|                                       | 기층(AGG)    | 10                           | -         | 14        | -         | -             | -               | -               | -               |
|                                       | 기층(BB)     | -                            | 7         | -         | 8         | 10            | 12              | 13              | 15              |
|                                       | 보조기층       | 18                           | 15        | 23        | 21        | 25            | 28              | 32              | 32              |
|                                       | 계          | <b>33</b>                    | <b>27</b> | <b>42</b> | <b>34</b> | <b>40</b>     | <b>45</b>       | <b>50</b>       | <b>52</b>       |
| S2<br>49,300 ≤ E<76,900<br>5 ≤ CBR<10 | 표 층        | 5                            | 5         | 5         | 5         | 5             | 5               | 5               | 5               |
|                                       | 기층(AGG)    | 10                           | -         | 14        | -         | -             | -               | -               | -               |
|                                       | 기층(BB)     | -                            | 7         | -         | 8         | 10            | 12              | 13              | 15              |
|                                       | 보조기층       | 15                           | 15        | 16        | 15        | 16            | 19              | 22              | 21              |
|                                       | 계          | <b>30</b>                    | <b>27</b> | <b>35</b> | <b>28</b> | <b>31</b>     | <b>36</b>       | <b>40</b>       | <b>41</b>       |
| S3<br>76,900 ≤ E<br>10 ≤ CBR          | 표 층        | 5                            | 5         | 5         | 5         | 5             | 5               | 5               | 5               |
|                                       | 기층(AGG)    | 10-                          | 14        | -         | -         | -             | -               | -               | -               |
|                                       | 기층(BB)     | -                            | 7         | -         | 8         | 10            | 12              | 13              | 15              |
|                                       | 보조기층       | 15                           | 15        | 15        | 15        | 15            | 16              | 19              | 18              |
|                                       | 계          | <b>30</b>                    | <b>27</b> | <b>34</b> | <b>28</b> | <b>30</b>     | <b>33</b>       | <b>37</b>       | <b>38</b>       |



〈그림 5-1〉 아스팔트 콘크리트 포장의 카달로그 설계단면



〈그림 5-2〉 아스팔트 콘크리트 포장의 카달로그 설계그래프

# 아스팔트 덧씌우기 포장설계

|                                    |     |
|------------------------------------|-----|
| 6.1 일반사항 .....                     | 103 |
| 6.2 설계입력변수 .....                   | 107 |
| 6.3 기존 아스팔트 콘크리트 포장의 재료물성 평가 ..... | 107 |
| 6.4 구조해석 및 공용성 해석 .....            | 108 |



## 제6장

# 아스팔트 덧씌우기 포장설계

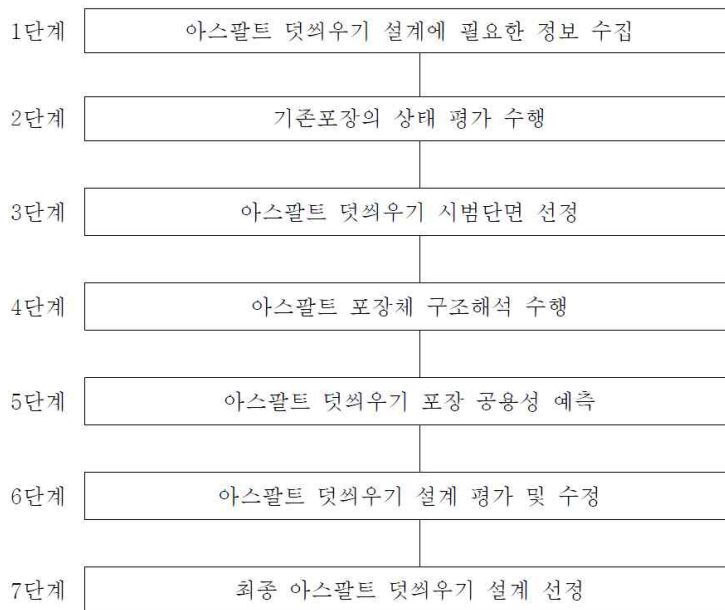
### 6.1

## 일반사항

- (1) 기존 아스팔트 콘크리트 포장에 신규 아스팔트 콘크리트 포장을 덧씌우기 설계하는 경우에 적용한다.
- (2) 설계방법은 기존 포장 상태에 따라 설계한다.
- (3) 설계절차는 7단계로 구성되며, <그림 6-1>을 따른다.

#### 【해 설】

기존 아스팔트 포장위에 아스팔트 덧씌우기 포장 구조 설계 절차는 총 7단계로 <그림 6-1>과 같이 구성되어 있다.



<그림 6-1> 아스팔트 포장 상부 아스팔트 덧씌우기 포장설계 절차

1단계: 아스팔트 덧씌우기 설계에 필요한 정보 수집

기존 공용종인 도로포장의 형식에 상관없이 아스팔트 덧씌우기 포장을 수행하기 위해서는 다음과 같은 기본 정보가 필요하다.

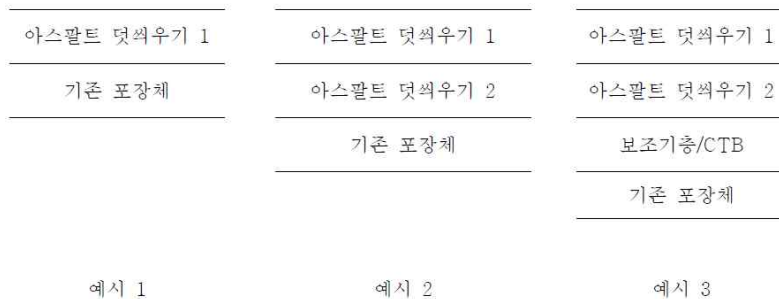
- 일반정보
  - 공사이름 및 설명
  - 설계 수명
  - 기존 포장의 준공일
  - 덧씌우기 포장 시공일
  - 교통 개방 날짜
  - 유지보수 이력
- 위치 및 공사구간 정보
  - 공사 위치 및 구간별 정보
  - 도로등급
- 분석에 필요한 정보
  - 초기 평탄성
  - 설계 공용성 기준 (피로균열, 소성변형, IRI)
- 교통량
  - 차종별 축별 축하중 분포 (신설 포장과 동일)
- 환경인자
  - 온도, 함수량 분포 (신설 포장과 동일)
- 배수 특성
  - 포장의 횡구배
  - 배수로의 길이
- 포장 구조 및 재료 물성
  - 포장층의 개수, 재료종류, 및 두께
  - 포장층간 상태

## 2단계: 기존포장의 상태 평가 수행

덧씌우기 포장 설계시 가장 중요한 영향을 미치는 인자는 기존 포장 구조의 상태이다. 아스팔트 덧씌우기 설계시에는 공용중인 아스팔트 포장체의 구조적/기능적 상태를 정확히 평가해야 한다. 공용중인 기존 포장의 기능적 상태는 포장층별 영구변형량과 피로균열량 및 평탄성을 측정하여 평가한다. 구조적 상태 평가를 위해서는 공용중인 기존 포장층의 탄성계수를 예측하고 초기조건 (현재 영구변형량 등) 정량화 하여야 한다. 구조적 상태 평가를 위하여 비파괴 시험을 수행하고 포장체 표면의 처짐값을 측정한다.

## 3단계: 아스팔트 덧씌우기 시범 단면 선정

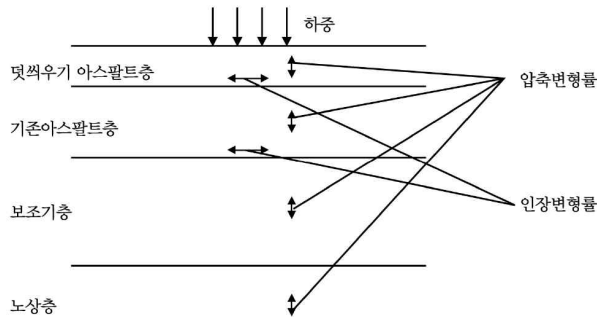
기존 포장의 상태, 향후 예측 교통량, 덧씌우기 전 유지보수를 고려하여 설계자는 시범 덧씌우기 포장 재료 및 단면을 선정한다. 덧씌우기 포장에 사용될 아스팔트 재료의 물성 산정방법은 신설포장의 방법에 준한다. <그림 6-2>는 아스팔트 덧씌우기 설계 시범 단면의 예를 나타내고 있다.



<그림 6-2> 아스팔트 덧씌우기 설계 단면의 예

## 4단계: 아스팔트 포장체 구조해석 수행

기존 포장의 상태 평가를 통해 계산된 각 포장층의 탄성계수와 아스팔트 덧씌우기 두께 및 재료 물성을 이용하여 구조해석을 수행한다. 구조해석을 통하여 포장체 내부의 주요지점에서의 변형률 값을 산정한다. 원칙적으로 아스팔트 덧씌우기 포장에서 사용되는 구조해석 기법은 신설포장과 동일하다. <그림 6-3>은 아스팔트 덧씌우기 포장의 일반적 단면과 구조해석을 통해 결정되어야 하는 변형률을 나타내고 있다.



〈그림 6-3〉 아스팔트 덧씌우기 포장 구조해석

#### 5단계: 아스팔트 덧씌우기 포장의 공용성 예측

아스팔트 덧씌우기 포장 구조 설계에서는 피로균열과 소성변형을 고려하여 포장체의 공용성을 예측한다. 4단계에서 구조해석을 통해 계산된 아스팔트 덧씌우기층 하부의 인장변형률과 포장각층 중앙부의 압축변형률은 피로수명과 소성변형량 계산에 각각 사용된다. 아스팔트 덧씌우기층 하부의 피로수명과 중앙의 소성변형량은 신설포장 구조설계에서 제시한 예측 모형들을 통해 계산된다. 보조기층과 노상층의 소성변형량도 마찬가지로 신설포장 구조 설계에서 제시한 방법에 따라 계산된다.

#### 6단계: 아스팔트 덧씌우기 설계 평가 및 수정

아스팔트 덧씌우기 포장의 공용성 평가는 정해진 설계기간동안 예측 파손량과 사용자가 제시한 설계 공용성 기준과의 비교를 통해 이루어진다. 예를 들어, 설계기간동안 예측된 파손량이 주어진 기준을 초과할 경우, 설계자는 반드시 덧씌우기 포장층 두께 및 재료를 수정하여 정해진 기준을 만족하여야 한다. 아스팔트 덧씌우기 포장 구조 설계를 완료하기 위하여는 피로균열과 소성변형, 그리고 평탄성에 대한 기준을 동시에 만족시켜야 한다. 본 절차를 통해 기준을 만족시킨 후보단면들은 경제성 분석을 수행하여 생애주기 비용을 산정한다.

#### 7단계: 최종 아스팔트 덧씌우기 설계 선정

공용성 평가 결과와 경제성 분석 결과를 근거로 하여 최종 아스팔트 덧씌우기 설계를 선정하게 된다.

## 6.2

### 설계입력변수

- (1) 설계입력변수는 본 요령 「II편 아스팔트 콘크리트 포장 구조 설계의 제1장」과 같이 설계등급 1, 설계등급 2로 구분하여 적용한다.
- (2) 교통조건 및 환경조건, 덧씌우기 층의 신규 아스팔트 재료물성을 위한 설계입력 변수는 본 요령 「II편 아스팔트 콘크리트 포장 구조 설계의 제1장」과 동일하게 적용한다.
- (3) 기존 아스팔트 층과 하부구조의 재료물성은 기존 포장층에 대하여 실시한 비파괴시험 결과로부터 역산하여 추정된 값을 적용한다.
- (4) 동상방지층에 대한 물성기준은 본 요령 「II편 아스팔트 콘크리트 포장 구조 설계의 제1장 1.2.3에 (4)항」과 동일하게 적용한다.

#### 【해 설】

기존 아스팔트 콘크리트 포장에 신규 아스팔트 콘크리트 포장을 덧씌우기 하는 경우, 기존 포장의 재료물성을 제외하고 신설 아스팔트 포장의 설계에 적용된 설계등급 1과 설계등급 2에 따른 설계입력변수를 결정하여 적용한다. 기존 아스팔트 층과 하부구조의 재료물성은 현재 공용중인 기존 아스팔트 콘크리트 포장에 대해 비파괴시험을 실시하여 다음의 8.3에서와 같이 역산과정을 통해 추정된 값을 적용한다.

## 6.3

### 기존 아스팔트 콘크리트 포장의 재료물성 평가

- (1) 덧씌우기 설계를 실시하기 전 기존 아스팔트 콘크리트 포장의 재료물성을 추정하기 위해 비파괴시험을 실시한다.
- (2) 기존 아스팔트 층의 재료물성은 역산된 결과를 이용하여 해설에서와 같은 절차를 거쳐 보정하여 적용한다.
- (3) 보조기층과 노상층에 대한 재료물성은 비파괴시험을 통해 역산된 탄성계수를 그대로 적용한다.

## 【해 설】

기존 아스팔트 콘크리트 포장층의 탄성계수 추정을 위하여 일반적으로 비파괴 시험인 FWD(Falling Weight Deflectometer) 장비를 사용한다. 다음과 같은 절차를 통하여 포장체의 구조적 상태 평가 척도인 포장층의 탄성계수를 계산한다.

- ① 포장체 표면의 처짐값 측정 : 충격하중을 재하하여 센서위치별 처짐값 측정
- ② 포장체 각층 두께 조사 : 시험구간에서 코어채취를 통한 포장층 두께 조사
- ③ 초기 탄성계수 값과 포아송비 결정: 역산 프로그램에서 최초 처짐량을 계산하기 위해 이용될 초기값 결정
- ④ 탄성계수 범위의 조정 : 역산 프로그램에서 비합리적인 탄성계수 값이 선택되거나 계산되는 것을 방지하기 위해서 포장재료별 탄성계수의 최대/최소값의 범위 결정
- ⑤ 처짐량 계산 : 다층탄성 구조해석프로그램을 이용하여 처짐량 계산
- ⑥ 오차분석 : 측정된 처짐량과 계산된 처짐량의 비교를 통한 오차 분석
- ⑦ 새로운 탄성계수 결정 : ⑥의 과정에서 계산된 오차가 허용오차범위를 벗어날 경우 각 층의 새로운 탄성계수 결정
- ⑧ 포장층 최종 탄성계수 결정: 계산오차가 허용오차 범위안에 수렴할 경우

## 6.4 구조해석 및 공용성 해석

- (1) 덧씌우기 설계에서의 구조해석은 본 요령 「II편 아스팔트 콘크리트 포장 구조 설계의 제2장 구조해석」과 동일하게 적용한다.
- (2) 덧씌우기 설계에서의 공용성 해석 방법은 본 요령 「II편 아스팔트 콘크리트 포장구조 설계의 제3장 공용성 해석」과 동일하게 적용한다.

## 【해 설】

아스팔트 콘크리트 포장 위의 아스팔트 덧씌우기 포장 구조 설계의 절차는 신설 아스팔트 콘크리트 포장 구조 설계와 유사하다. 덧씌우기 포장 구조 설계를 위해서는 먼저 기존 포장의 향후 필요로 하는 잔존수명을 가정한다. 여기서 잔존수명은 덧씌우기 포장 후부터

포장 파괴까지의 시간을 의미한다. 그리고 기존 포장의 파손정도에 따라 표면 절삭을 시행할 것인지 결정하게 된다. 표면절삭을 시행하고자 할 경우에는 기존 아스팔트 층 두께에서 표면절삭 두께를 차감하여 설계에 적용한다. 아스팔트 덧씌우기 포장 두께는 가정하여 적용하며 포장두께가 필요한 잔존수명에 미치지 못하면 두께를 수정하여 다시 설계를 수행하여야 한다.

아스팔트 덧씌우기 포장 두께 및 동탄성계수, 기존 아스팔트층의 추정 동탄성계수, 하부층(보조기층 및 노상)의 탄성계수 등을 이용하여 신설포장과 동일한 구조해석을 수행한다. 구조해석을 통하여 산정된 변형율과 포장 파손 예측 모형을 이용하여 시간 및 교통량에 따른 영구변형, 균열, 및 평탄성의 변화를 추정하게 된다. 공용기간동안 산정한 누적피로균열, 누적영구변형 및 평탄성을 예측하여 설계기준보다 작을 때까지 덧씌우기 층의 재료물성이나 포장단면을 변화하여 반복 설계를 수행한다.



### 제3편 시멘트 콘크리트 포장

#### 구조 설계 ..... 111

제1장 설계입력변수 ..... 115

제2장 구조 해석 ..... 127

제3장 공용성 해석 ..... 131

제4장 경제성 분석 ..... 137

제5장 설계등급 3 ..... 141

제6장 연속철근 콘크리트 포장  
설계 ..... 147



# 설계입력변수

|                  |     |
|------------------|-----|
| 1.1 개설 .....     | 115 |
| 1.2 설계등급 1 ..... | 115 |
| 1.3 설계등급 2 ..... | 118 |



# 제1장 설계입력변수

## 1.1 개설

- (1) 설계입력변수는 포장의 최적 두께 산정을 위한 기초자료이다.
- (2) 설계입력변수는 설계등급 1, 설계등급 2 또는 설계등급 3으로 구분하여 적용한다. 단, 설계입력변수 중 교통특성 및 환경특성은 설계등급에 상관없이 동일하게 결정한다.
- (3) 설계입력변수는 교통량, 환경특성, 하부구조 재료물성 및 시멘트 콘크리트 재료물성으로 구성된다.

### 【해 설】

설계입력변수는 공용기간 동안 예비 포장단면의 역학적 거동 및 공용성을 예측하는데 이용되며, 설계등급에 의하여 그 정밀도가 변화한다. 교통량과 재료의 물성은 설계등급에 따라 주어진 데이터베이스를 이용하거나 실제 실측 및 실험을 통하여 결정되지만, 환경변수는 대상 구간의 기상관측소 데이터베이스를 이용하여 결정되므로 설계등급과 무관하게 동일한 방법으로 적용한다.

## 1.2 설계등급 1

- (1) 고속국도(설계AADT 150,000대 이상 또는 AADT 중 5종 이상의 중차량 대수가 50,000대 이상) 및 일반국도(설계AADT 35,000대 이상 또는 AADT 중 5종 이상의 중차량 대수가 12,000대 이상)에 적용된다.
- (2) 교통량은 현장 교통량 조사를 통하여 차종별 축하중 분포를 측정하여 사용한다.
- (3) 하부구조 및 시멘트 콘크리트 재료 물성은 실내시험을 통하여 결정하는 것이 원칙이나, 본 에 제시되어 있는 포장 재료에 한하여 도로포장 구조 설계 해석프로그램에 포함되어 있는 물성을 활용할 수 있다.

## 1.2.1 교통량

- (1) 도로포장 구조 설계에서는 교통량 산정을 위하여 차종별 축하중 분포를 이용한다.
- (2) 설계등급 1에서는 원칙적으로 현장 조사를 통하여 차종별 축하중 분포를 결정하기 위한 입력값들을 결정한다.
- (3) 차종별 축하중 분포에 따른 교통량을 결정하기 위한 입력값에는 초기년도 연평균일교통량(AADT), 차종별 구성비율, 방향분배계수, 차로분배계수, 시간별 교통량변동률, 월별교통량변동률, 차종별 축하중 분포, 교통량증가율이 포함된다.
- (4) 초기년도 연평균일교통량(AADT)과 차종별 구성비율은 설계구간에 대한 교통수요 예측자료를 사용한다.
- (5) 방향분배계수, 차로분배계수, 월별교통량변동률, 시간별교통량변동률은 인접지역 교통량 통계자료를 이용한다.
- (6) 교통량증가율은 장래교통량 예측 증가율이나 각 연도별 예측값을 사용할 수 있다.

### 【해 설】

교통량 산정에 관한 설명은 본 요령 「II편 아스팔트 콘크리트 포장 구조 설계 제1장 1.2.1 교통량」의 해설편을 참조한다.

## 1.2.2 환경특성

- (1) 환경특성은 설계등급에 관계없이 동일하게 적용한다.
- (2) 환경특성은 시멘트 콘크리트 포장층 내부온도와 노상 함수량 그리고 동결지수를 포함한다.
- (3) 시멘트 콘크리트 포장층 내부온도는 대기온도를 기초로 하여 도로포장 구조설계의 온도예측모형을 통해 깊이별 분포 형태로 결정한다.
- (4) 보조기층 및 노상 함수량은 월평균 대기온도, 월평균누적강수량 및 노상 재료의 입도특성을 이용하여 도로포장 구조 설계의 함수비 예측모형을 통해 결정한다.
- (5) 환경특성을 결정하기 위한 대기온도 및 강수량 자료는 도로포장 구조 설계 해석프로그램에 저장되어 있는 기상관측소 기상자료 데이터베이스를 이용하여 가장 인접한 1개 기상관측소 자료 또는 인접한 3개 기상관측소의 평균값을 사용한다.

## 【해 설】

환경특성에 관한 설명은 본 요령 「II편 아스팔트 콘크리트 포장 구조 설계 제1장 1.2.2 환경특성」의 해설편을 참조한다.

### 1.2.3 하부구조(입상) 재료물성

- (1) 포장 하부구조(노상, 보조기층 및 쇄석기층)의 재료물성은 탄성계수와 포아송비로 한다.
- (2) 설계등급 1에서는 하부구조 재료의 탄성계수를 반복 삼축 압축시험을 수행하여 구한다.  
반복 삼축 압축시험에 대한 자세한 시험절차는 <부록 3>의 “포장 하부구조 재료의 설계입력변수 평가 시험법”을 참조한다.
- (3) 하부구조 재료의 품질기준은 국토교통부의 「KCS 44 00 00 도로공사(국토교통부)」를 따른다.
- (4) 도로포장 구조 설계에서는 동상방지층의 두께를 노상 동결관입 허용법을 사용하여 결정하며, 성토고가 노상 최종면을 기준으로 2m 이상인 성토구간에서는 노상토의 품질기준 중 #200체 통과량이 25% 이하이고 소성지수가 10 이하인 경우 동상방지층을 생략할 수 있다. 다만 이외 적용대상 구분은 다음 해설을 따른다.
- (5) 설계등급 1에서 사용하는 포아송비는 본 요령에서 제시한 대표값을 선택하여 사용한다.

## 【해 설】

하부구조 재료물성에 관한 설명은 본 요령 「II편 아스팔트 콘크리트 포장 구조 설계 제1장 1.2.3 하부구조(입상) 재료물성」의 해설편을 참조한다.

### 1.2.4 시멘트 콘크리트 포장 재료물성

- (1) 시멘트 콘크리트 포장 슬래브의 재료물성으로 탄성계수, 압축강도, 휨강도, 포아송비, 열팽창 계수, 건조수축, 단위중량을 사용한다.
- (2) 설계등급 1의 재료 물성은 원칙적으로 모두 시험을 통하여 결정해야 한다.

## 【해 설】

시멘트 콘크리트 포장 슬래브의 재료물성으로 탄성계수와 포아송비를 사용한다.

설계등급 1로 시멘트 콘크리트 포장을 설계 할 경우, 다음 <표 1-1>의 각 항목에 대하여 제시되어진 시험방법으로 물성을 측정한다. 그 결과를 이용하여 설계한다. 열팽창계수는 “시멘트 콘크리트 열팽창계수 측정 방법(안)”을 이용하여 도출된 콘크리트 열팽창계수를 설계 해석 프로그램에 입력한다(부록 8 참조). 그리고 건조수축은 “시멘트 콘크리트 건조수축 측정 방법(안)”을 이용하여 종결시간 이후 시간에 따라서 시멘트 콘크리트 공시체의 건조수축 변형율을 측정하고 결과 분석 후, 1.3.4에 제시된 건조수축 모형의 매개변수를 도출하여 설계 해석 프로그램에 입력한다(부록 9 참조).

<표 1-1> 설계등급에 따른 시멘트 콘크리트 슬래브 물성 측정항목 및 방법

| 구분     | 설계등급 1    |
|--------|-----------|
| 탄성계수   | KS F 2438 |
| 압축강도   | KS F 2405 |
| 휨강도    | KS F 2407 |
| 할렬인장강도 | KS F 2423 |
| 포아송비   | KS F 2438 |
| 열팽창계수  | <부록 3>    |
| 건조수축   | <부록 4>    |
| 단위중량   | KS F 2409 |

## 1.3 설계등급 2

- (1) 고속국도(AADT 150,000대 미만), 일반국도(AADT 7,000대 이상 50,000대 미만), 및 지방도/국가지원지방도/기타도로(AADT 7,000대 이상)에 적용된다. 여기서 기타도로라 함은 「도로법(국토교통부)」에 명시된 특별시도, 광역시도, 시도, 군도 및 구도를 의미한다.
- (2) 교통량은 본 요령에서 제시한 값을 이용하여 차종별 축하중 분포를 결정한다.
- (3) 하부구조 및 시멘트 콘크리트 혼합물 재료 물성은 간단한 실내실험을 통해 재료의 기본적인 물성을 구하고, 이 값들을 설계 프로그램에 입력하여 설계 해석 프로그램에 포함되어 있는 예측식으로부터 결정한다.

### 1.3.1 교통량

- (1) 본 설계에서는 교통량 산정을 위하여 차종별 축하중 분포를 이용한다.
- (2) 차종별 축하중 분포별 교통량을 결정하기 위한 입력값의 종류는 본 요령 「Ⅲ편 시멘트 콘크리트 포장 구조 설계의 제1장 1.2.1에 (3)항」과 동일하다.
- (3) 초기년도 연평균일교통량 및 차종별비율은 인접지역 교통량 통계자료를 사용한다.
- (4) 방향분배계수 및 차로분배계수는 국내 평균값을 사용한다.
- (5) 차종별축하중, 차량속도, 시간별교통량변동률 및 월별교통량 변동률은 도로 등급별로 본 요령에서 제시한 값을 적용한다.
- (6) 교통량증가율은 장래교통량 예측 증가율이나 각 년도별 예측값을 사용할 수 있다. 또한 본 요령에서 제안하는 교통량 증가계수를 이용할 수도 있다.
- (7) 원더링분포, 축간격 및 타이어간격, 타이어압력은 설계등급과 관계없이 본 요령에서 제시한 값을 사용한다.

#### 【해 설】

교통량 산정에 관한 설명은 본 요령 「Ⅱ편 아스팔트 콘크리트 포장 구조 설계 제1장 1.3.1 교통량」의 해설편을 참조한다.

### 1.3.2 환 경

본 요령 「Ⅲ편 시멘트 콘크리트 포장 구조 설계의 제1장 1.2.2」와 동일하게 적용한다.

### 1.3.3 하부구조 재료물성

- (1) 본 요령 「Ⅲ편 시멘트 콘크리트 포장 구조 설계의 제1장 1.2.3」과 동일하게 적용한다. 다만, 설계등급 2에서는 하부구조(입상) 재료의 탄성계수를 기본 물성시험과 설계 해석 프로그램에 포함되어 있는 상관모형을 통해 결정한다.

**【해 설】**

하부구조 재료물성에 관한 설명은 본 요령 「II편 아스팔트 콘크리트 구조 설계 제1장 1.3.3 하부구조 재료물성」의 해설편을 참조한다.

### 1.3.4 시멘트 콘크리트 포장 재료물성

- (1) 본 요령 「III편 시멘트 콘크리트 포장 구조 설계의 제1장 1.2.4에 (1)항」과 동일하게 적용한다.
- (2) 설계등급 2에서 탄성계수, 휨인장강도, 건조수축은 시멘트 콘크리트 재료 중 굵은 골재의 종류에 따라 본 요령에서 제공하는 예측 방정식을 통해 설계 해석 프로그램에서 입력되어 결정된다.
- (3) 설계등급 2에서 포아송비, 열팽창 계수, 단위중량은 시멘트 콘크리트 재료 중 굵은 골재의 종류에 따라 설계 해석 프로그램에 입력되어 결정된다.
- (4) 여기에서 정의되지 않은 새로운 시멘트 콘크리트 포장 재료는 기존 시멘트 콘크리트 포장 구조 설계 입력변수와 비교하여 유사하면 설계등급 1에 해당하는 시험만 수행하고 현 설계 해석 프로그램에 도입한다.
- (5) 여기에서 정의되지 않은 새로운 시멘트 콘크리트 포장 재료는 기존 시멘트 콘크리트 포장 구조 설계 입력변수와 비교하여 상이하면 설계등급 1에 해당하는 시험을 수행할 뿐만 아니라, 모형 제안 보고서를 제출, 설계를 운영하는 기관의 검증을 통해 설계 해석 프로그램에 모형추가 작업을 거쳐서 도입한다.

**【해 설】**

#### (1) 강도 및 탄성계수

설계등급 2로 시멘트 콘크리트 포장을 설계할 경우, 강도 및 탄성계수에 대한 재료물성은 <식 1.1>와 <표 1-2> 및 <표 1-3>을 이용하여 원하는 재령에서의 각 물성을 추정한다.

$$f_{ck}(t) = f_{ck,28} \times t / (a + b \times t) \quad \langle \text{식 1.1} \rangle$$

여기서,

$f_{ck}(t)$  = 재령  $t$ 에서의 강도 (강도, 및 탄성계수) (MPa)

$f_{ck,28}$  = 재령 28일 설계강도 (MPa) ; 탄성계수는 압축강도 기준

$t$  = 재령 (일)

$a, b$  = 상수

〈표 1-2〉 굵은 골재별 시멘트 콘크리트 슬래브의 강도 및 탄성계수 예측상수

| 구분     | 굵은 골재 종류 | 강도 예측상수 |      |
|--------|----------|---------|------|
|        |          | a       | b    |
| 휨강도    | 화강암      | 0.81    | 1.00 |
|        | 석회암      | 1.72    | 0.91 |
|        | 사암       | 1.42    | 0.93 |
|        | 일반       | 1.32    | 0.95 |
| 할렬인장강도 | 화강암      | 1.33    | 0.96 |
|        | 석회암      | 2.39    | 0.89 |
|        | 사암       | 1.86    | 0.93 |
|        | 일반       | 1.88    | 0.95 |
| 탄성계수   | 화강암      | 0.93    | 0.97 |
|        | 석회암      | 1.32    | 0.95 |
|        | 사암       | 0.95    | 0.97 |
|        | 일반       | 1.07    | 0.96 |

할렬인장강도를 추정하기 어려운 수준 2의 경우, 〈표 1-6〉에 보인 각 물성 간의 상관관계식을 이용하여, 측정되지 않은 항목의 물성을 추정한다.

〈표 1-3〉 강도관련 물성간의 상관관계식 (기본 단위: MPa)

| 항목             | 상관관계식                                       |
|----------------|---------------------------------------------|
| 압축강도 → 힘인장강도   | 힘인장강도 = $0.7851 \times (\text{압축강도})^{0.5}$ |
| 압축강도 → 할렬인장강도  | 인장강도 = $0.5932 \times (\text{압축강도})^{0.5}$  |
| 압축강도 → 탄성계수    | 탄성계수 = $4968 \times (\text{압축강도})^{0.5}$    |
| 힘인장강도 → 할렬인장강도 | 할렬인장강도 = $0.757 \times (\text{힘인장강도})$      |

## (2) 포아송비와 단위중량

설계등급 2로 시멘트 콘크리트 포장을 설계할 경우, 〈표 1-4〉에 제시된 포아송비 및 단위 중량을 사용한다.

〈표 1-4〉 굵은 골재별 시멘트 콘크리트 슬래브의 일반적 포아송비와 단위중량

| 물성                   | 골재 종류 | 제안값    | 범위            |
|----------------------|-------|--------|---------------|
| 포아송비                 | 화강암   | 0.182  | 0.176~0.182   |
|                      | 석회암   | 0.176  |               |
|                      | 사암    | 0.178  |               |
|                      | 일반    | 0.180  |               |
| 단위중량<br>( $kN/m^3$ ) | 화강암   | 22.526 | 21.918~23.252 |
|                      | 석회암   | 21.918 |               |
|                      | 사암    | 23.252 |               |
|                      | 일반    | 22.570 |               |

## (3) 열팽창계수

설계등급 2로 시멘트 콘크리트 포장을 설계할 경우, 열팽창계수는 〈표 1-5〉와 같이 골재별로 제안된 값을 사한다.

〈표 1-5〉 굵은 골재별 시멘트 콘크리트 슬래브의 일반적 열팽창계수

| 굵은 골재 종류 | 열팽창계수 ( $\mu/C$ ) |          |
|----------|-------------------|----------|
|          | 범위                | 제안값(실험값) |
| 화강암      | 8.6~12.3          | 10.7     |
| 석회암      | 7.2~11.3          | 9.3      |
| 사암       | 11.0~14.3         | 11.0     |
| 일반       | 8.3~12.6          | 10.4     |

#### (4) 시멘트 콘크리트 슬래브의 건조수축

설계등급 2로 시멘트 콘크리트 포장을 설계할 경우, 건조수축은 형상비 및 골재 종예측하여 설계에 사용한다.

$$\epsilon_{shrinkage} = \frac{t}{a_2 + t} \times a_1 \times [1 + a_3 \times \exp(-a_4 \times (V/S))] \quad \langle \text{식 1.2} \rangle$$

여기서,

$\epsilon_{shrinkage}$  : 건조수축 변형률( $\mu\text{strains}$ )

t : 재령 (일)

$a_1, a_2, a_3, a_4$  : 건조수축 예측상수

V/S : 형상비 (mm)

〈표 1-6〉 굵은 골재별 시멘트 콘크리트 슬래브의 건조수축 예측상수

| 골재  | $a_1$ | $a_2$ | $a_3$ | $a_4$  |
|-----|-------|-------|-------|--------|
| 석회암 | 362.9 | 36.71 | 1.613 | 0.0372 |
| 사암  | 431   | 33.3  | 2.204 | 0.0194 |
| 화강암 | 397   | 35    | 1.2   | 0.0194 |
| 일반  | 388.5 | 30    | 1.908 | 0.0251 |



# 구조 해석

|                |     |
|----------------|-----|
| 2.1 일반사항 ..... | 127 |
|----------------|-----|



## 제2장 구조 해석

### 2.1 일반사항

- (1) 구조해석은 선정된 설계대안 단면에 대하여 교통 및 환경특성에 따른 포장체의 거동(변형과 응력)을 분석하는 것으로, 설계입력변수와 공용성을 연결하는 고리 역할을 한다.
- (2) 구조해석은 스프링위에 놓인 평면셸(Plane Shell on Spring)이론을 사용한 유한요소해석 결과로부터 얻어진 회귀분석식을 이용한다.

#### 【해 설】

시멘트 콘크리트 포장의 주요 공용성 기준인 균열과 평탄성은 포장체 내부에 발생하는 응력에 큰 영향을 받는다. 포장체 내에서의 응력은 콘크리트 슬래브의 두께, 하중의 크기, 접지면적, 재료의 물성 및 환경조건 등에 의하여 결정되는데, 도로포장 구조설계의 시멘트 콘크리트 포장에서는 이들 응력을 계산하기 위해서 스프링위에 놓인 평면 셸 이론을 바탕으로 한 유한요소해석을 이용한다. 유한요소 해석은 특정조건에서의 응력을 비교적 정확하게 계산하는 것으로 알려져 있으나, 다양한 조건을 고려한 장기 거동을 해석하기에는 상당한 시간이 소요되는 단점이 있다. 따라서 포장의 장기 공용성이 중요한 인자가 되는 시멘트 콘크리트 포장의 설계에서는 유한요소해석 프로그램을 이용한 결과를 이용하여 구축된 회귀분석식을 이용한다.



# 공용성 해석

|                           |     |
|---------------------------|-----|
| 3.1 개설 .....              | 131 |
| 3.2 공용성 예측 .....          | 131 |
| 3.3 피로균열 .....            | 132 |
| 3.4 국제평탄성지수(IRI) 모형 ..... | 133 |



## 제3장 공용성 해석

### 3.1 개설

- (1) 공용성 해석은 선정된 설계대안 포장체가 교통, 환경특성 등 주어진 조건 하에서 시간에 따라 공용성이 저하되는 정도를 예측하는 단계이다.
- (2) 도로포장 구조 설계에서 시멘트 콘크리트 포장의 공용성은 피로균열과 평탄성을 대상으로 한다.

#### 【해설】

시멘트 콘크리트 포장의 공용성 해석은 포장체의 구조해석으로부터 얻어진 응력을 공용성 모델에 입력하여 상하향 피로균열, 포장 평탄성의 저하 정도를 예측하는 과정이다. 피로균열의 경우, 구조해석에서 구한 인장응력을 입력값으로 하여 공용성을 예측한다. 누적된 피로균열, 예측된 스폴링, 시멘트 콘크리트 포장 재령(Age)에 근거하여 포장 평탄성을 예측한다. 공용기간동안 산정한 누적피로균열, 누적영구변형 및 평탄성을 예측하여 설계기준보다 작을 때까지 재료물성이나 포장단면을 변화하여 반복설계를 수행한다.

### 3.2 공용성 예측

- (1) 시멘트 콘크리트 포장의 공용성 예측은 상향균열, 하향균열, 스폴링 및 평탄성 예측모델을 이용하여 설계 해석 프로그램에서 자동으로 수행된다.

#### 【해설】

시멘트 콘크리트 포장의 공용성 예측모델은 실내 피로균열 시험으로 도출한 피로모형식을 사용하며, 실내시험에서 구한 피로모형식과 현장에서 측정한 상하향 피로균열 공용성을 비교 분석하여 전이함수를 도출한다. 도출된 전이함수를 고려한 예측식을 이용하여 시멘트 콘크리트 포장의 공용성을 예측한다. 누적 상하향 피로균열율이 설계기준을 초과할 경우에

는 포장단면과 재료물성을 변화하여 설계기준을 만족시킬 때까지 계산을 반복 수행한다. 마지막으로, 산정된 누적 상하향 피로균열을 설계기준 내에 있을 때, 피로균열 결정하며, 이때의 공용수명을 결정한다.

시멘트 콘크리트 포장의 표면 평탄성은 국제평탄성지수(IRI, International Roughness Index, m/km)로 나타내며, 포장재령, 피로균열율, 스폐링을 변수로 하는 경험식을 통해 계산된다. 설계기준보다 작은 국제평탄성지수(IRI) 값이 산출되어야 타당한 설계가 된다.

시멘트 콘크리트 포장 공용성은 설계 해석 프로그램 내에서 자동으로 수행된다.

### 3.3 피로균열

본 요령 「II편 아스팔트 콘크리트 포장 구조 설계의 제3장 3.3 피로균열」과 동일하게 적용한다.

#### 【해 설】

피로균열은 콘크리트 슬래브의 강성과 교통하중 배열에 의해 크게 영향을 받으며, 누적 된 손상에 의하여 콘크리트 슬래브에 횡방향 균열이 발생한다.

피로균열률의 예측 절차는 다음과 같다.

- 단계 1. 구조해석으로 환경하중에 의한 최소인장응력과 환경하중과 교통하중에 의한 최대인장응력을 구한다.
- 단계 2. 구조해석으로 계산된 최대인장응력과 휨인장강도의 비를 계산한다.
- 단계 3. 최대인장응력과 휨인장강도의 비(S)와 최소인장응력과 최대인장응력의 비(R)를 피로파손 모형에 대입하여 피로파손에 이르는 하중재하수(Nf)를 결정한다.
- 단계 4. 공용기간 동안 발생한 시멘트 콘크리트 슬래브의 누적손상도를 계산한다.
- 단계 5. 계산된 누적손상도를 전이함수를 이용하여 피로균열율을 구한다.

### 3.4 국제평탄성지수(IRI) 모형

- (1) 평탄성은 단위거리에 대한 포장 표면 단차의 누적 길이로 나타내며, 단위는 m/km이다.
- (2) 평탄성의 설계기준은 설계등급 1의 경우 3.5m/km 이하이며, 설계등급 2의 경우 4.0m/km 이하이다.

#### 【해 설】

시멘트 콘크리트 포장의 평탄성은 포장의 기능을 나타내는 중요한 변수이며, 평탄성이 좋지 않은 포장은 이용자의 안정감을 해칠 뿐만 아니라 차량 운행비도 증가시키며, 포장의 공용성 및 포장 수명에 큰 영향을 미친다. 평탄성은 차량 운행 거리에 대한 포장 표면 단차의 변화로 정의한다. 평탄성에 영향을 주는 인자로는 파손조건(가로줄눈단차, 가로줄눈, 누적줄눈단차, 스펀링, 균열), 하중조건 및 개방조건(재령, 등가단축하중), 기후 조건(연평균 동결융해주기, 연평균강수량, 연평균 습합날의 수, 기후특성, 동결지수), 기층조건(가로줄눈 간격, 시멘트 콘크리트 포장 슬래브 두께, 시멘트 콘크리트 포장 탄성계수, 기층형태, 노상 지지력계수, 노상형태, 길어깨와 결속여부, 다월직경) 등 국가별 특성에 따라 서로 다른 평탄성 영향 인자를 선정한다. 국내의 경우 스펀링, 균열, 재령, 기층형태가 평탄성에 큰 영향을 미치는 것으로 분석되었으며, 이를 평탄성 예측 모형에 반영하였다. 도로포장 구조 설계에서의 공용성 모형은 초기 평탄성 및 공용 개시후의 평탄성 증가 경향이 나타난다. 이는 국내 고속도로 시멘트 콘크리트 포장 총 연장의 16%인 281km를 일정기준으로 나누어 분석한 결과를 토대로 나타낸 것이며, 본 장에서는 시멘트 콘크리트 포장의 데이터베이스 구축 및 다중 회귀 분석을 통하여 줄눈 시멘트 콘크리트 포장의 평탄성을 예측할 수 있는 모형을 제시한다. 도로의 평탄성은 국제평탄성지수(IRI, International Roughness Index)로 나타내며, 국내 도로포장의 시공년도 평탄성을 분석한 결과 초기 평탄성값을 1.41m/km로 정립한다. 포장의 재령, 피로균열율, 스펀링을 이용하여 평탄성을 나타내는 국제평탄성지수(IRI)의 변화량을 <식 3.2>와 같이 구한다.

$$IRI = IRI_0 + 0.0235Age + 2.17Spalling + 1.88Cracking + 0.811Base \quad \langle \text{식 3.2} \rangle$$

여기서,

FC : 피로균열 발생비율

Age : 시멘트 콘크리트 재령 (년)

Base : 기층조건 (린기층 : 0, 쇄석기층 : 1)

Spalling : 스포링 발생비율

IRI0 : 교통개방 전 초기 IRI (1.41m/km)

# 경제성 분석

|                     |     |
|---------------------|-----|
| 4.1 일반사항 .....      | 137 |
| 4.2 생애주기비용 분석 ..... | 137 |
| 4.3 경제성 분석 방법 ..... | 137 |



## 제4장 경제성 해석

### 4.1 일반사항

본 요령 「II편 아스팔트 콘크리트 포장 구조 설계 제4장 4.1」과 동일하게 적용한다.

### 4.2 생애주기비용 분석

본 요령 「II편 아스팔트 콘크리트 포장 구조 설계의 제4장 4.2」과 동일하게 적용한다.

### 4.3 경제성 분석 방법

본 요령 「II편 아스팔트 콘크리트 포장 구조 설계의 제4장 4.3」과 동일하게 적용한다.



# 설계등급 3

|                |     |
|----------------|-----|
| 5.1 일반사항 ..... | 141 |
| 5.2 교통조건 ..... | 141 |
| 5.3 노상조건 ..... | 141 |
| 5.4 설계단면 ..... | 141 |



## 제5장 설계등급 3

### 5.1 일반사항

본 요령 「II편 아스팔트 콘크리트 포장 구조 설계의 제5장 5.1」과 동일하게 적용한다.

### 5.2 교통조건

본 요령 「II편 아스팔트 콘크리트 포장 구조 설계의 제5장 5.2」와 동일하게 적용한다.

### 5.3 노상조건

본 요령 「II편 아스팔트 콘크리트 포장 구조 설계의 제5장 5.3」과 동일하게 적용한다.

### 5.4 설계단면

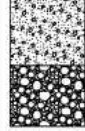
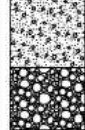
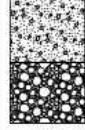
(1) 설계등급 3의 도로에서는 위의 교통조건(C1~C6)와 노상조건(S1~S3)을 기준으로 포장설계 해석 프로그램 및 AASHTO 86 설계를 이용하여 작성된 다음의 시멘트 콘크리트 포장의 카달로그 단면표, 설계단면, 그래프를 적용한다.

**【해 설】**

설계등급 3에서는 교통조건(5.2)와 노상조건(5.3)을 기준으로 제시된 다음의 시멘트 콘크리트포장의 카달로그 단면표, 설계단면, 그래프를 적용한다.

〈표 5-1〉 시멘트 콘크리트포장의 카달로그 단면표

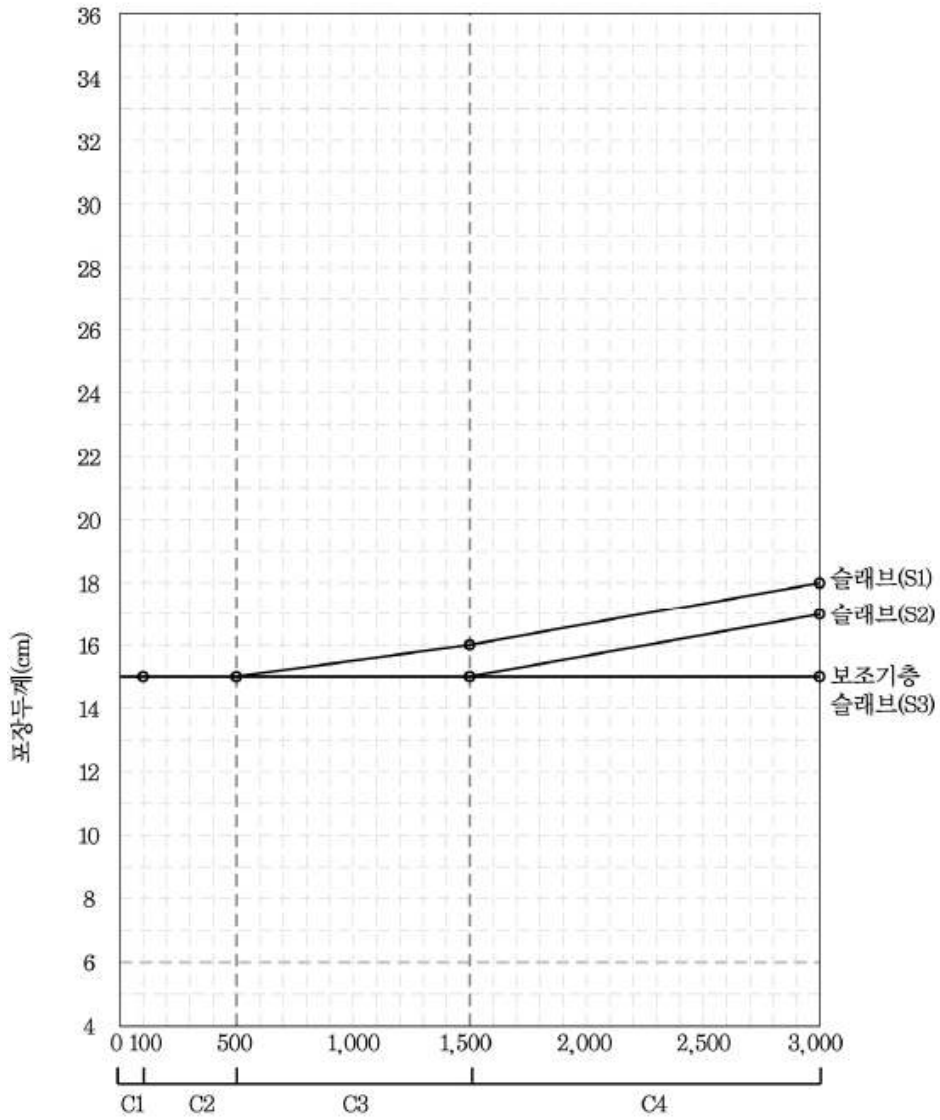
| 하부 재료물성 등급<br>- E (kPa)<br>- CBR          | 단면<br>(cm) | Traffic Volume: 연평균일교통량(AADT(대/일)) |             |               |                 |                 |                 |
|-------------------------------------------|------------|------------------------------------|-------------|---------------|-----------------|-----------------|-----------------|
|                                           |            | C1                                 | C2          | C3            | C4              | C5              | C6              |
|                                           |            | ~100                               | 101<br>~500 | 501<br>~1,500 | 1,500<br>~3,000 | 3,001<br>~5,000 | 5,001<br>~7,000 |
| S1<br>E<49,300<br>CBR <5                  | 슬레브        | 15                                 | 15          | 16            | 18              | 19              | 21              |
|                                           | 보조기층       | 15                                 | 15          | 15            | 15              | 15              | 15              |
|                                           | 계          | <b>30</b>                          | <b>30</b>   | <b>31</b>     | <b>33</b>       | <b>34</b>       | <b>36</b>       |
| S2<br>49,300 ≤ E < 76,900<br>5 ≤ CBR < 10 | 슬레브        | 15                                 | 15          | 15            | 17              | 19              | 20              |
|                                           | 보조기층       | 15                                 | 15          | 15            | 15              | 15              | 15              |
|                                           | 계          | <b>30</b>                          | <b>30</b>   | <b>30</b>     | <b>32</b>       | <b>34</b>       | <b>35</b>       |
| S3<br>76,900 ≤ E<br>10 ≤ CBR              | 슬레브        | 15                                 | 15          | 15            | 16              | 18              | 20              |
|                                           | 보조기층       | 15                                 | 15          | 15            | 15              | 15              | 15              |
|                                           | 계          | <b>30</b>                          | <b>30</b>   | <b>30</b>     | <b>31</b>       | <b>33</b>       | <b>35</b>       |

| Soil Class<br>- E(kg/cm <sup>2</sup> )<br>- CBR(%) | Traffic Volume : 연평균일교통량(AADT(대/일))                                                                      |                                                                                                          |                                                                                                          |                                                                                                           |
|----------------------------------------------------|----------------------------------------------------------------------------------------------------------|----------------------------------------------------------------------------------------------------------|----------------------------------------------------------------------------------------------------------|-----------------------------------------------------------------------------------------------------------|
|                                                    | C 1                                                                                                      | C 2                                                                                                      | C 3                                                                                                      | C 4                                                                                                       |
|                                                    | ~ 100                                                                                                    | 101 ~ 500                                                                                                | 501 ~ 1,500                                                                                              | 1,501 ~ 3,000                                                                                             |
| <b>S 1</b><br>E<503<br>CBR<5                       | <br>150<br>150<br>300   | <br>150<br>150<br>300   | <br>160<br>150<br>310   | <br>180<br>150<br>330   |
| <b>S 2</b><br>503≤E<784<br>5≤CBR<10                | <br>150<br>150<br>300   | <br>150<br>150<br>300   | <br>150<br>150<br>300   | <br>170<br>150<br>320   |
| <b>S 3</b><br>784≤E<br>10≤CBR                      | <br>150<br>150<br>300 | <br>150<br>150<br>300 | <br>150<br>150<br>300 | <br>160<br>150<br>310 |

|                                                                                     |                           |
|-------------------------------------------------------------------------------------|---------------------------|
|  | = 슬 래 브(Slab)             |
|  | = 보 조 기 층(Subbase Course) |

〈그림 5-1〉 시멘트 콘크리트포장의 카달로그 설계단면



Traffic Volume : 연평균일교통량(AADT(대/일))

〈그림 5-2〉 시멘트 콘크리트 포장의 카달로그 설계그래프

# 연속철근 콘크리트 포장설계

|                  |     |
|------------------|-----|
| 6.1 일반사항 .....   | 147 |
| 6.2 설계입력변수 ..... | 147 |
| 6.3 구조해석 .....   | 152 |
| 6.4 공용성 예측 ..... | 153 |



## 제6장

# 연속철근 콘크리트 포장설계

### 6.1

## 일반사항

- (1) 연속철근콘크리트 포장은 줄눈콘크리트 포장과 달리 줄눈이 없고 일정량의 종방향 철근을 설치한 포장 형식으로서, 승차감 및 공용 수명을 향상시킨 포장이다.
- (2) 연속철근콘크리트 포장에서는 종방향 철근량은 콘크리트 단면적의 0.6~0.85% 정도까지 사용한다.

#### 【해 설】

연속철근콘크리트 포장은 종방향 철근을 설치하여 횡방향 줄눈을 완전히 제거한 포장의 형태이다. 일반적으로 종방향 철근량은 콘크리트 단면적의 0.6~0.85% 정도까지 사용한다. 철근의 위치는 각 국가, 각 지역에 따라 다르지만, 대부분의 경우 포장슬래브의 중앙에 설치하고 있다. 연속철근 콘크리트 포장은 가능한 한 온도변화 및 건조수축에 의한 콘크리트 슬래브의 움직임을 막아야 하므로 콘크리트 슬래브와 보조기층 사이에 분리막을 사용하지 않는다. 연속철근 콘크리트 포장은 줄눈이 없으므로 승차감이 좋고, 많은 중차량 교통량 하에서도 포장 수명이 다른 포장형태보다 연장된다.

### 6.2

## 설계입력변수

설계 입력 변수는 교통량, 하부구조, 콘크리트 재료물성, 철근량, 환경하중 등에 따라 각각 적용한다.

#### 【해 설】

연속철근콘크리트 포장을 설계하기 위한 입력 변수들로는 교통량, 하부재료, 콘크리트 재료물성, 환경하중, 철근량 등이 있다. 각 입력 변수에 대한 세부 항목으로는 다음과 같다.

〈표 6-1〉 차종에 따른 등가단축하중 변환 계수

| 차종<br>(기존 11종 차종<br>분류방법) |      | 차축구성  | 평균 등가단축하중 변환계수 |        |        |       | 12종<br>차종구분 |
|---------------------------|------|-------|----------------|--------|--------|-------|-------------|
|                           |      |       | 아스팔트           |        | 콘크리트   |       |             |
| 승용차                       |      | 2A4T  | 0.0002         |        | 0.0001 |       | 1종          |
| 버스                        | 소형   | 2A4T  | 0.001          |        | 0.001  |       |             |
|                           |      | 2A6T  | 0.001          |        | 0.001  |       |             |
|                           | 보통   | 2A6T  | 0.852          |        | 0.839  |       | 2종          |
| 트럭                        | 소형   | 2A4T  | 0.004          |        | 0.004  |       | 3종          |
|                           | 보통   | 2A6T  | 0.613          | 1.122  | 0.616  | 1.638 | 4종          |
|                           |      | 대형    | 3A10T          |        | 2.047  |       | 3.417       |
| 트랙터+<br>세미트레일러            |      | 4A이하  | 1.690          |        | 2,130  |       | 2,320       |
|                           |      | 5A    | 1.815          | 3,072  |        | 10종   |             |
|                           |      | 6A이상  | 0.858          | 1,533  |        | 12종   |             |
| 트럭트레일러                    | 5A이하 | 3,288 | 4,472          | 9종/11종 |        |       |             |

### (1) 교통량

교통량 관련 입력변수로는 교통량을 의미하는 등가단축하중(ESAL ; Equivalent Single Axle Load)과 교통량 증가율이 있다.

등가단축하중은 다양한 축 배치와 종류에 따라 상이하게 재하되는 교통하중을 기준단위 하중(통상 8.2톤(18,000 lbs) 단축을 기준으로 함)으로 환산하는 것이다. 포장 구조에 미치는 영향의 상대적인 값으로 나타낸 무차원 개념의 수로서 포장 구조 설계나 유지 보수에 사용한다. 등가축하중을 이용하여 연속철근콘크리트 포장을 설계하는 방식은 앞서 줄눈콘크리트 포장의 설계에서 살펴

본 축하중 분포 및 관련 입력 변수들을 적용하는 것과 차이가 있다. 따라서 축하중과 관련된 교통량 정보를 얻을 경우, <표 8-1>과 같은 변환 계수를 이용하여 등가단축하중으로 변환할 수 있다.

교통량 증가율은 줄눈콘크리트 포장에서 살펴본 것과 동일하게 4가지 증가율을 적용하여 설계에 반영한다.

## (2) 하부재료

하부재료의 물성을 복합지지력으로 대표되며, 줄눈콘크리트 포장에서와 같은 방법으로 산출한다. 복합 지지력 이외의 변수는 콘크리트 표층과 보조기층 사이의 마찰력이 있으며, 일반적으로 아스팔트 층 위에 슬래브가 시공된 경우는 그 범위가 27.1 ~ 135.7MPa/m (100 ~ 500 psi/in.)이다. 국내의 경우 경험이 없으므로 <표 6-2>와 같은 대표적인 값을 사용할 것을 제안한다.

<표 6-2> 하부층 종류에 따른 단위 면적당 마찰응력 (단위 : MPa/m (psi/in.))

|          | 조건 : 기준 변위는 0.254 mm (0.01 in.) |          |
|----------|---------------------------------|----------|
|          | 비닐층 무                           | 비닐층 유    |
| 린 콘크리트 층 | 163 (600)                       | 54 (200) |
| 아스팔트 층   | 81 (300)                        | 27 (100) |

## (3) 콘크리트 재료

콘크리트 재료물성은 줄눈콘크리트 포장에서와 같이 골재 종류에 따른 열팽창계수, 28일 압축강도 혹은 휨강도, 28일 탄성계수 등의 변수 및 관련 수식들은 동일하다. 추가된 재료물성은 콘크리트 세팅(Settling) 온도, 재료의 최종 건조수축(Ultimate Drying Shrinkage)이 있다.

## 가. 콘크리트의 세팅 온도

콘크리트의 세팅 온도는 콘크리트 타설 후 재료들의 수화반응이 일어나면서 강도가 발현되는 시점의 온도이며, 이때부터 콘크리트와 철근이 일체거동을 한다. 강도가 발현되면서부터 수화반응이 점점 둔화되고, 수일이 지나면 대기 중의 온도 변화에 따라 콘크리트의 온도는 변화한다. 연속철근콘크리트 포장에서 철근과 콘크리트 사이의 응력은 콘크리트의 세팅 온도와 현재 콘크리트 슬래브의 온도 차이에 따라 변화하게 된다. 또한, 일반적으로 대기중의 온도가 높을수록 콘크리트의 세팅 온도는 높다. 국내의 경우 줄눈 콘크리트 포장에서 추정되는 온도를 이용해서 예상되는 포설시기에 맞추어 적용할 수 있다.

$$T_z = (CC \times 0.59328 \times H \times 0.5 \times 1000 \times 1.8 / (1.1 \times 2400 + MMT))$$

여기서,  $T_z$  : 콘크리트의 제로 스트레스 온도 (°F, °F=1.8×°C+32)

CC : 시멘트 함량 (lb/yd<sup>3</sup>, lb/yd<sup>3</sup>=0.59328 kg/m<sup>3</sup>)

H :  $-0.0787 + 0.007 \times MMT - 0.00003 \times MMT^2$

MMT : 시공한 달의 월평균 대기온도 (°F)

## 나. 재료의 최종 건조수축

줄눈콘크리트 포장에서는 부등건조수축으로 인해 발생한 응력을 시간에 따른 함수로 간주하고 이를 반영한다. 연속철근콘크리트 포장 구조 설계에서는 동일한 개념으로 건조수축을 설계에 반영하지만, 시간에 따른 함수로는 간주하지 않고 일괄적으로 최종 건조수축을 온도차로 변환하여 설계에 반영한다. 국내 골재 종류에 따라 최종 건조수축은 <표 6-3>와 같은 범위를 갖는다.

〈표 6-3〉 각 골재 종류에 따른 최종 건조수축 (단위 :  $\mu\epsilon$ , 2년 기준)

| 암종  | 형상비 (mm V/S) |     |      |     |
|-----|--------------|-----|------|-----|
|     | 22.2         | 40  | 85.7 | 200 |
| 화강암 | 669          | 609 | 526  | 473 |
| 석회암 | 590          | 466 | 359  | 330 |
| 사암  | 1003         | 840 | 588  | 426 |
| 편마암 | 894          | 775 | 548  | 299 |
| 안산암 | 895          | 708 | 472  | 365 |

#### (4) 환경하중

환경하중은 줄눈콘크리트 포장 구조 설계에 사용하는 개념과 유사하지만, 일부 다른 부분이 있다. 매월 대기중의 평균온도를 바탕으로 줄눈 콘크리트에서는 상하향 컬링을 유발시키는 표층 상하부 온도차를 온도예측 해석 프로그램을 통하여 산정하였다. 하지만 연속철근콘크리트 포장에서는 포장설계에서 개발한 온도예측 해석 프로그램 결과를 사용하지 않고, 상하부 온도차는 매월 동일하다고 가정하여 일괄적으로 동일한 값을 사용한다. 그리고, 앞서 콘크리트 재료 물성에서 살펴본 바와 같이 콘크리트 세팅 온도와 콘크리트 슬래브의 온도 차이가 거동에 많은 영향을 미친다. 이를 반영하기 위해 해당 월의 슬래브 평균 온도를 대기의 평균온도로 가정하고 구조해석의 입력 변수로 사용한다. 설계 해석 프로그램에 데이터 베이스화된 콘크리트 세팅 온도와 콘크리트 슬래브의 온도차는  $-27.8^{\circ}\text{C}(-55^{\circ}\text{F})$ ,  $-13.9^{\circ}\text{C}(-25^{\circ}\text{F})$ ,  $2.8^{\circ}\text{C}(5^{\circ}\text{F})$ ,  $19.4^{\circ}\text{C}(35^{\circ}\text{F})$ ,  $36.1^{\circ}\text{C}(65^{\circ}\text{F})$ ,  $52.8^{\circ}\text{C}(95^{\circ}\text{F})$  이다.

#### (5) 철근량

연속철근콘크리트 포장에 사용되는 종방향 철근량의 범위는 콘크리트 표층의

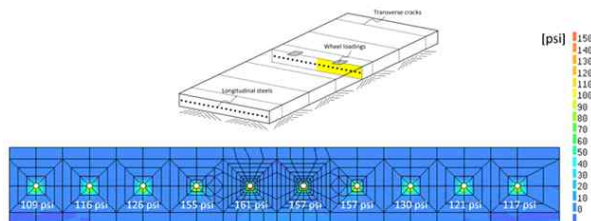
단면적에 약 0.5~0.7% 정도이다. 미국의 텍사스 사례에서는 종방향 철근량이 약 0.6~0.7% 정도일 때 우수한 공용성을 나타내는 것으로 보고되고 있다. 종방향 철근을 산정한 후, 종방향 철근의 직경 및 설치 간격이 결정된다.

### 6.3 구조해석

연속철근콘크리트 포장의 구조해석은 각 입력 변수들에 대한 3차원 구조해석을 통해 교통하중과 온도하중에 의한 응력을 산출하여 합산한다.

#### 【해설】

연속철근콘크리트 포장의 입력 변수인 교통량, 하부재료, 콘크리트 재료물성, 환경하중, 철근량을 변수로 하여 구조해석을 수행하고, 응력을 계산한다. 하지만 줄눈콘크리트 포장과 같이 구조해석 모듈이 설계 해석 프로그램상에 적용될 경우, 해석시간이 너무 많이 걸리는 문제가 있어 그 결과를 데이터 베이스화 하였다. 응력 검토 지점은 콘크리트와 철근의 경계면이며, 해석 조건에 따라 발생하는 주응력을 산출하였다. <그림 6-1>은 연속철근 콘크리트 포장의 구조해석에 사용한 모형을 나타낸 것이다.



<그림 6-1> 연속철근 콘크리트 포장의 구조해석

## 6.4 공용성 예측

- (1) 연속철근콘크리트 포장의 공용성은 펀치아웃(Punchout)을 대상으로 한다.
- (2) 역학적으로 산정한 파손률을 전이함수를 사용하여 현장의 공용성 자료와 일치시킨다.

### 【해 설】

연속철근콘크리트에서의 횡방향 균열은 콘크리트에 발생하는 인장응력이 인장강도를 초과할 때 발생하는 자연적인 현상으로, 다년간에 걸친 현장공용성 조사에서 공용성과는 관계가 거의 없는 것으로 판명되었다. 다만 이 사실은 연속철근콘크리트 포장의 설계(슬래브 두께 및 철근량) 및 시공이 적절하다는 가정 하에 성립된다. 따라서 횡방향 균열특성은 공용성 예측에 인자로서 포함되지 않았다. 연속철근콘크리트 포장의 평탄성은 포장설계에 좌우되기보다는, 하부 재료의 특성 및 신설포장의 평탄성에 절대적으로 의존되기 때문에, 설계입력변수에 포함되지 않았다. 따라서, 연속철근콘크리트 포장에서는 펀치아웃만이 공용성 기준이 된다. 포장설계에 있어서, 포장체의 역학적 거동을 분석 및 예측하는 것은 가능하나, 펀치아웃같은 포장 파손을 순수하게 역학적으로 예측하는 것은 불가능 하다. 그 이유는, 응력의 반복적인 작용으로 콘크리트에 손상이 발생하게 되며, 이 손상이 어느 정도 누적되면 파손으로 발현되는 것인바, 이 관계는 명확한(Determinate) 것이 아니고, 확률적(Stochastic)인 것이다. 이렇듯, 역학적 분석에 의한 응력 및 하중 반복 회수와 파손의 발생 빈도를 연결시켜주는 관계가 필요하게 되는데, 이 관계를 전이함수라 한다. 전이함수 개발을 위한 공용성 자료가 국내에는 없기 때문에 현 연속철근콘크리트 포장의 펀치아웃은 국외 연구결과를 바탕으로 하여 개발된 것이다.



### 제4편 도로 동상방지층 설계 155

|                                   |     |
|-----------------------------------|-----|
| 제1장 도로 동상방지층 단면<br>설계 .....       | 159 |
| 제2장 도로 동상방지층 설치<br>여부 판정 기준 ..... | 159 |
| 제3장 구조적 능력을 고려한<br>동상방지층 결정 ..... | 181 |
| 제4장 동상방지층 재료 .....                | 185 |



# 도로 동상방지층 단면설계

|                  |     |
|------------------|-----|
| 1.1 일반사항 .....   | 159 |
| 1.2 설계동결지수 ..... | 159 |
| 1.3 설계동결깊이 ..... | 164 |



# 제1장 도로 동상방지층 단면설계

## 1.1 일반사항

동상방지층이 필요한 경우에는 설계동결깊이와 구조설계된 포장 두께와의 차이만큼 동상방지층을 설계한다.

### 【해 설】

동상방지층을 설치할 경우에는 설계동결깊이가 구조 설계된 포장 두께보다 클 경우 그 차이만큼 동상방지층을 설치한다. 설계동결깊이는 도로 동상방지층 연구단과 한국건설기술 연구원에서 계측한 동결깊이 자료를 근거로 개발된 한국형 동결깊이 예측식을 이용하여 본 요령 「Ⅳ편 도로 동상방지층 설계 제1장 1.3」에 따라 산정한다.

시멘트 콘크리트 포장에서 설계동결깊이보다 구조설계된 포장단면이 클 경우 동상방지층을 생략하여야 하나, 배수 및 시공성 등을 고려하여 설계동결깊이와 상관없이 필터층을 일정 두께로 설치하여야 한다. 이때 SB-1 재료 사용 시 15cm, SB-2 재료 사용 시 10cm를 설치하며, 재료별 경제성 검토 후 적용한다.

## 1.2 설계동결지수

설계동결지수의 산정은 20년간의 기상자료에서 추위가 가장 심하였던 2년간(즉 동결지수의 최대 2년치)의 평균동결지수로 정한다. 만일 20년간의 기상자료가 없으면 최근 10년간의 최대동결지수를 동결지수로 산정한다.

### 【해 설】

동결지수는 포장내의 동결깊이를 산정하기 위한 대표적 척도로서, 포장 구조와 노상토를 동결시키는 대기온도의 강도와 지속기간의 누가영향으로 표시된다. 동결지수의 단위는 온

도·일(°C·일)이며, 동결 계절 동안의 누가 온도·일에 대한 시간 곡선상의 최고점과 최저점의 차이로 나타낸다.

설계 구간의 설계동결지수 산정은 대상 지역 인근 측후소에서 관측한 월 평균 대기온도의 크기와 지속기간에 대한 20년간의 기상자료에서 추위가 가장 심하였던 2년간(즉 동결 지수의 최대 2년치)의 평균동결지수로 정한다. 만일 20년간의 기상자료가 없으면 최근 10년간의 최대동결지수를 설계동결지수로 산정한다.

설계구간에 <표 1-1>의 측후소가 있을 경우 <표 1-1>의 동결지수 및 동결기간을 이용하여 설계동결지수를 산정하며, 설계구간에 측후소가 존재하지 않으면 <표 1-2>의 좌표별 동결지수를 이용하고 동결기간은 가까운 측후소 3개의 평균값 또는 가장 가까운 측후소의 값을 이용하여 설계동결지수를 산정한다.

<표 1-1>에서 얻어지는 동결지수 값은 측후소 위치에서 관측한 값을 토대로 한 것이며, 표 2.2의 동결지수는 지반고 100m 기준의 값이므로 설계노선의 위치 및 표고에 대한 보정은 <식 1.1>을 이용하여 계산한다.

$$\text{수정동결지수(°C·일)} = \text{동결지수 <표 1-1 및 표 1-2>} \div 0.5 \times \text{동결기간} \times \frac{\text{표고차}(m)}{100} \quad \langle \text{식 1.1} \rangle$$

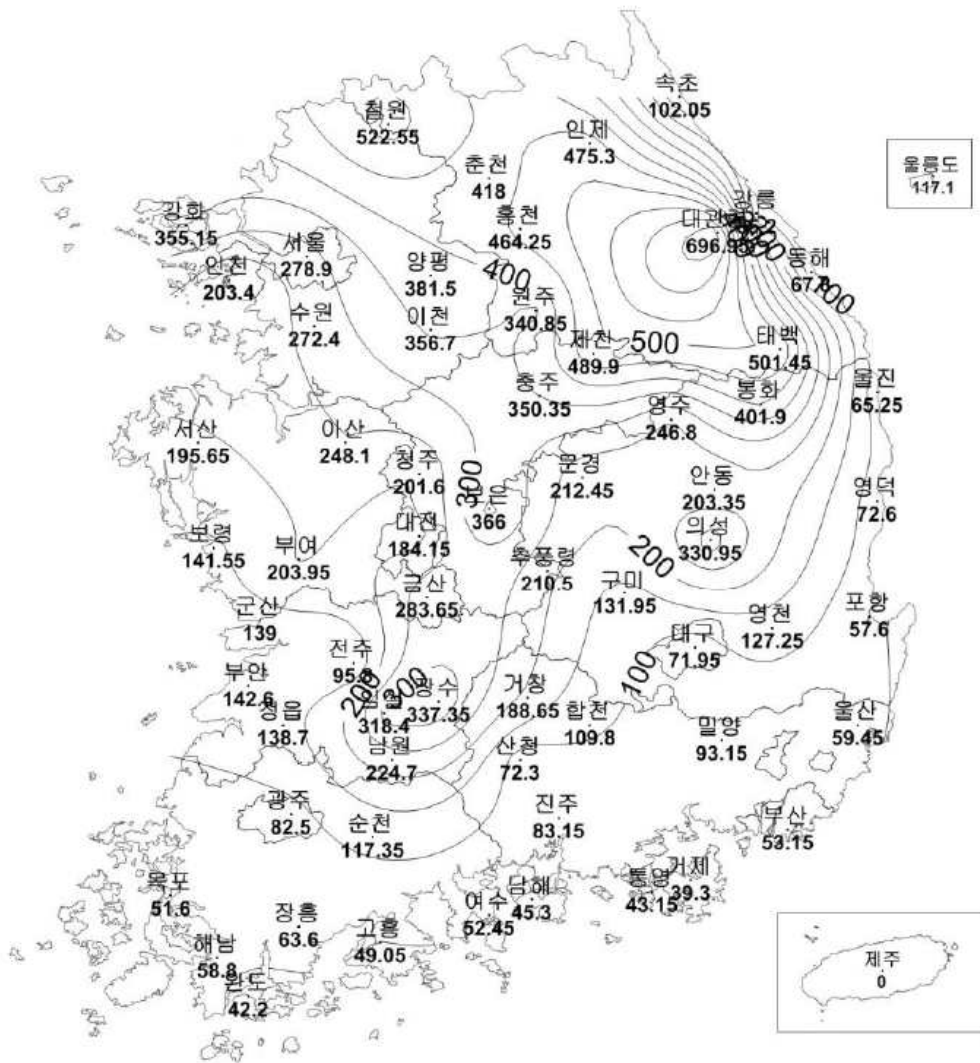
표고차 = 설계노선 포장계획면 최고표고(m) - 측후소 지반고(m)

<표 1-1> 20년 동결지수

| 지역  | 측후소 지반고(m) | 동결지수 (C일) | 동결기간 (일) | 지역 | 측후소 지반고(m) | 동결지수 (C일) | 동결기간 (일) |
|-----|------------|-----------|----------|----|------------|-----------|----------|
| 속초  | 17.6       | 102.1     | 46.5     | 합천 | 32.1       | 109.8     | 49.0     |
| 대관령 | 842.0      | 697.0     | 121.5    | 거창 | 224.9      | 188.7     | 67.5     |
| 춘천  | 74.0       | 418.0     | 73.5     | 영천 | 91.3       | 127.3     | 39.0     |
| 강릉  | 26.0       | 85.2      | 31.0     | 구미 | 45.5       | 132.0     | 57.5     |
| 서울  | 85.5       | 278.9     | 68.0     | 의성 | 73.0       | 331.0     | 87.5     |
| 인천  | 68.9       | 203.4     | 55.5     | 영덕 | 40.5       | 72.6      | 29.5     |
| 원주  | 149.8      | 340.9     | 84.5     | 문경 | 172.1      | 212.5     | 69.0     |
| 울릉도 | 221.1      | 117.1     | 23.0     | 영주 | 208.0      | 246.8     | 79.5     |

〈표 1-1〉 20년 동결지수(계속)

| 지역  | 측후소<br>지반고(m) | 동결지수<br>(C일) | 동결기간<br>(일) | 지역  | 측후소<br>지반고(m) | 동결지수<br>(C일) | 동결기간<br>(일) |
|-----|---------------|--------------|-------------|-----|---------------|--------------|-------------|
| 수원  | 36.9          | 272.4        | 66.0        | 성산  | 17.5          | 0            | 0           |
| 충주  | 69.4          | 350.4        | 88.5        | 고흥  | 60.0          | 49.1         | 25.5        |
| 서산  | 26.4          | 195.7        | 55.0        | 해남  | 22.1          | 58.8         | 31.0        |
| 울진  | 49.5          | 65.3         | 28.5        | 장흥  | 43.0          | 63.6         | 33.5        |
| 청주  | 59.0          | 201.6        | 62.5        | 순천  | 74.0          | 117.4        | 40.5        |
| 대전  | 67.2          | 184.2        | 54.0        | 남원  | 89.6          | 224.7        | 66.0        |
| 추풍령 | 245.9         | 210.5        | 69.0        | 정읍  | 40.5          | 138.7        | 61.0        |
| 포항  | 2.5           | 57.6         | 27.0        | 암살  | 224.0         | 318.4        | 75.0        |
| 군산  | 26.3          | 139.0        | 34.0        | 부안  | 7.0           | 142.6        | 61.5        |
| 대구  | 57.8          | 72.0         | 30.5        | 금산  | 170.7         | 283.7        | 74.5        |
| 전주  | 51.2          | 95.8         | 46.0        | 부여  | 16.0          | 204.0        | 66.0        |
| 울산  | 31.5          | 59.5         | 27.0        | 보령  | 15.1          | 141.6        | 61.5        |
| 광주  | 73.9          | 82.5         | 38.0        | 아산  | 24.5          | 248.1        | 66.5        |
| 부산  | 69.2          | 53.2         | 5.0         | 보은  | 170.0         | 366.0        | 87.5        |
| 통영  | 25.0          | 43.2         | 19.0        | 제천  | 264.4         | 489.9        | 89.5        |
| 목포  | 36.5          | 51.6         | 20.0        | 홍천  | 144.0         | 464.3        | 89.0        |
| 여수  | 67.0          | 52.5         | 4.0         | 인제  | 199.7         | 475.3        | 96.5        |
| 완도  | 37.5          | 42.2         | 26.0        | 이천  | 68.5          | 356.7        | 69.5        |
| 제주  | 22.0          | 0            | 0           | 양평  | 49.0          | 381.5        | 87.0        |
| 남해  | 49.8          | 45.3         | 20.0        | 강화  | 46.4          | 355.2        | 68.0        |
| 거제  | 41.5          | 39.3         | 4.0         | 진주  | 21.5          | 83.2         | 39.0        |
| 산청  | 141.8         | 72.3         | 31.5        | 서귀포 | 51.9          | 0            | 0           |
| 밀양  | 12.5          | 93.2         | 38.5        | 철원  | 154.9         | 522.6        | 81.0        |
| 동해  | 40.0          | 67.8         | 42.0        | 봉화  | 320.0         | 401.9        | 91.0        |
| 안동  | 140.0         | 203.4        | 60.5        | 장수  | 406.0         | 337.4        | 87.0        |
| 태백  | 713.0         | 501.5        | 111.0       |     |               |              |             |



〈그림 1-1〉 20년 동결지수선도

〈표 1-2〉 좌표별 동결지수

(단위 : °C · 일)

| 동경  | 북위  | 34  |     |     | 35  |     |     |     |     | 36  |     |
|-----|-----|-----|-----|-----|-----|-----|-----|-----|-----|-----|-----|
|     |     | 0.4 | 0.6 | 0.8 | 0.0 | 0.2 | 0.4 | 0.6 | 0.8 | 0.0 | 0.2 |
| 126 | 0.4 | 89  | 84  | 61  | 99  | 133 | 153 | 165 | 174 | 181 | 184 |
|     | 0.6 | 67  | 74  | 94  | 113 | 132 | 152 | 166 | 172 | 176 | 181 |
|     | 0.8 | 67  | 84  | 96  | 113 | 107 | 151 | 161 | 171 | 166 | 203 |
| 127 | 0.0 | 92  | 85  | 96  | 118 | 121 | 159 | 169 | 160 | 180 | 214 |
|     | 0.2 | 92  | 65  | 102 | 125 | 147 | 197 | 223 | 127 | 182 | 207 |
|     | 0.4 | 96  | 81  | 104 | 128 | 157 | 207 | 212 | 193 | 219 | 224 |
|     | 0.6 | 101 | 88  | 87  | 118 | 141 | 160 | 188 | 189 | 210 | 222 |
|     | 0.8 | 100 | 78  | 66  | 102 | 117 | 89  | 147 | 167 | 188 | 203 |
| 128 | 0.0 | 103 | 87  | 66  | 99  | 103 | 111 | 140 | 157 | 175 | 162 |
|     | 0.2 | 105 | 94  | 89  | 101 | 113 | 127 | 130 | 153 | 165 | 174 |
|     | 0.4 | 104 | 87  | 55  | 82  | 112 | 128 | 136 | 142 | 156 | 172 |
|     | 0.6 | 105 | 87  | 55  | 67  | 107 | 119 | 126 | 103 | 128 | 217 |
|     | 0.8 | 109 | 97  | 82  | 85  | 100 | 114 | 121 | 129 | 144 | 208 |
| 129 | 0.0 | 115 | 107 | 96  | 70  | 73  | 111 | 122 | 132 | 133 | 166 |
|     | 0.2 | 121 | 115 | 106 | 92  | 94  | 100 | 94  | 199 | 117 | 138 |
|     | 0.4 | 127 | 122 | 117 | 113 | 110 | 107 | 84  | 108 | 74  | 116 |

| 동경  | 북위  | 36  |     |     | 37  |     |     |     |     | 38  |     |
|-----|-----|-----|-----|-----|-----|-----|-----|-----|-----|-----|-----|
|     |     | 0.4 | 0.6 | 0.8 | 0.0 | 0.2 | 0.4 | 0.6 | 0.8 | 0.0 | 0.2 |
| 126 | 0.4 | 189 | 189 | 210 | 232 | 247 | 262 | 334 | 347 | 301 | 287 |
|     | 0.6 | 182 | 182 | 212 | 238 | 250 | 266 | 266 | 310 | 299 | 294 |
|     | 0.8 | 210 | 210 | 222 | 252 | 268 | 276 | 276 | 291 | 303 | 309 |
| 127 | 0.0 | 219 | 219 | 236 | 257 | 288 | 285 | 285 | 303 | 333 | 349 |
|     | 0.2 | 217 | 217 | 237 | 262 | 292 | 312 | 312 | 330 | 403 | 445 |
|     | 0.4 | 199 | 199 | 218 | 244 | 339 | 356 | 356 | 350 | 406 | 444 |
|     | 0.6 | 243 | 243 | 249 | 256 | 332 | 361 | 361 | 376 | 383 | 366 |
|     | 0.8 | 271 | 271 | 272 | 274 | 313 | 392 | 392 | 402 | 391 | 348 |
| 128 | 0.0 | 208 | 208 | 222 | 274 | 324 | 361 | 361 | 370 | 368 | 346 |
|     | 0.2 | 201 | 201 | 198 | 243 | 393 | 306 | 306 | 324 | 407 | 347 |
|     | 0.4 | 208 | 208 | 217 | 223 | 283 | 264 | 264 | 271 | 279 | 215 |
|     | 0.6 | 273 | 273 | 209 | 214 | 234 | 232 | 232 | 225 | 213 | 139 |
|     | 0.8 | 252 | 252 | 206 | 233 | 204 | 198 | 204 | 152 | 188 | 189 |
| 129 | 0.0 | 189 | 189 | 197 | 226 | 164 | 148 | 139 | 139 | 177 | 195 |
|     | 0.2 | 148 | 148 | 153 | 168 | 163 | 127 | 123 | 162 | 181 | 194 |
|     | 0.4 | 108 | 108 | 99  | 127 | 141 | 154 | 158 | 171 | 184 | 193 |

주) 표고 100m 기준

### 1.3

## 설계동결깊이

최대동결깊이는 다음 한국형 동결깊이 예측식에 의해 산정한다.

$$Z = C\sqrt{F}$$

Z : 최대동결깊이(mm)

F : 설계동결지수(°C·일)

C : 동결지수에 따른 보정상수

설계동결깊이는 노상동결관입허용법에 따라 최대동결깊이의 75%를 사용한다.

#### 【해 설】

한국형 동결깊이 예측식은 도로 동상방지층 연구단과 한국건설기술연구원에서 계측한 동결깊이 자료를 근거로 개발된 식이다.

도로포장에서 동상방지층을 설치하는 경우에는 완전방지법, 노상 동결관입 허용법, 감소노상강도법 등 3가지 방법을 사용한다. 완전방지법은 동결작용 방지를 위해 충분한 두께의 비동결층을 설치하는 것으로 노상의 동결을 일부 허용하는 노상동결관입허용법 및 감소노상강도법에 비해 비경제적이므로 특수한 경우에만 사용한다. 노상동결관입허용법은 노상상태가 수평방향으로 심하게 변하지 않거나 흙이 균질한 경우에 적용되는 설계방법으로 동결깊이가 노상으로 얼마쯤 관입된다 하더라도, 동상으로 인한 융기량이 포장파괴를 일으킬 만한 양이 아니라면 노상의 동결을 어느 정도 허용하는 것이 경제적이라는 개념이다. 따라서 본 요령에서는 설계동결깊이 산정은 노상동결관입허용법으로 결정한다.

포장 설계에서 최대동결깊이 산정은 <식 1.2>를 사용한다. 포장설계에서 설계동결깊이는 <식 1.2>로 구한 최대동결깊이의 75%로 한다.

$$Z = C\sqrt{F} \text{ <식 1.2>}$$

(1) 최대 동결관입 깊이 (Z)

〈식 1.2〉에서 Z는 도로 표면으로부터 최대동결깊이를 나타내며 단위는 mm이다.

(2) 설계동결지수 (F)

〈식 1.2〉에서 F는 설계동결지수이며 단위는 °C·일 이다.

(3) 동결지수에 따른 보정상수(C)

〈식 1.2〉에서 C는 동결지수에 따른 보정상수로 C값은 〈표 1-3〉과 같다.

〈표 1-3〉 동결지수에 따른 보정상수(C) 값

| 설계동결지수(F)<br>(°C·일)    | 0이상<br>100미만 | 100이상<br>300미만 | 300이상<br>400미만 | 300이상<br>400미만 | 400이상<br>500미만 | 500이상<br>600미만 |
|------------------------|--------------|----------------|----------------|----------------|----------------|----------------|
| 동결지수에 따른<br>보정 상수(C) 값 | 27.3         | 30.2           | 35.6           | 42.1           | 48.1           | 53.0           |



# 도로 동상방지층 설치 여부 판정기준

|                            |     |
|----------------------------|-----|
| 2.1 일반사항 .....             | 169 |
| 2.2 흠쌓기 높이를 고려한 설치기준 ..... | 173 |
| 2.3 지하수위를 고려한 설치기준 .....   | 175 |
| 2.4 노상토 특성을 고려한 설치기준 ..... | 177 |



## 제2장

# 도로 동상방지층 설치 여부 판정기준

### 2.1

## 일반사항

도로의 동상은 수분, 노상토, 기온 특성 모두가 동상이 발생할 조건을 충족시킬 경우에 발생한다. 설계동결깊이가 포장두께보다 큰 경우에는 그 차이만큼 동상방지층을 설치한다.

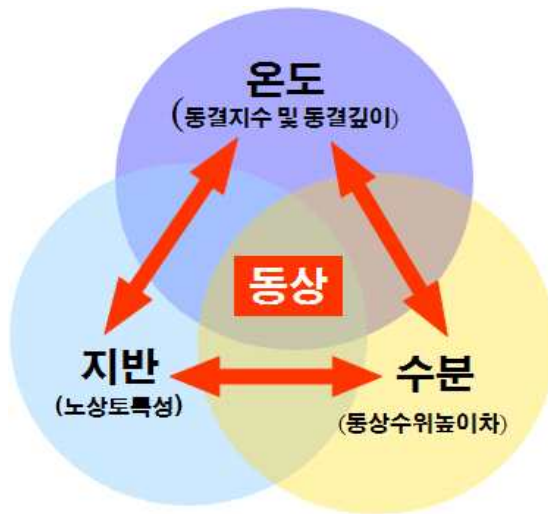
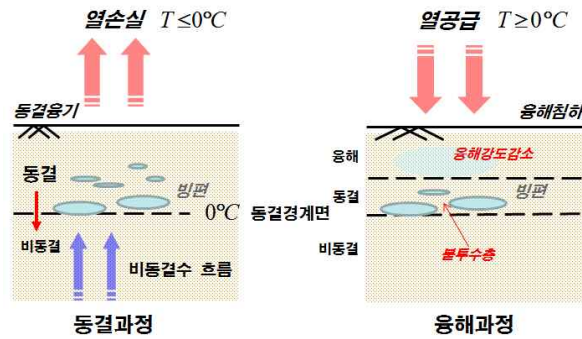
### 【해설】

흙과 같이 물을 함유하고 있는 다공성 물질이 낮은 온도에 노출되어 그 일부가 동결할 때 이미 동결된 부분의 흙은 아직 동결되지 않은 부분으로부터 물을 빨아들인다. 동결의 진행과 물의 공급이 일치하면 예상 밖의 큰 체적팽창이 일어난다. 이때 동결된 부분의 토립자 사이의 평균적인 간극은 얼기 전에 비하여 확장된다. 또한 확장된 토립자 사이의 간극에 흡입된 물은 동결된 얼음으로 남아 있게 된다. 이러한 현상을 동상이라고 한다.

노상에 동상이 발생하면 동결 시 히빙(Heaving)에 의한 포장 융기 및 융해 시 포장 지지력이 약화되어 포장의 파손을 야기시킨다. 따라서 설계동결깊이가 포장두께 보다 큰 경우에는 그 차이만큼 동상방지층을 설치하여 동상 피해를 방지하여야 한다.

동상방지층은 도로에서 노상의 동결에 따른 동상피해를 억제하기 위하여 동결깊이 만큼 보조기층 아래 노상토의 동결깊이까지 노상토를 동상방지 재료로 치환되는 층을 말한다. 따라서 노상에서 동상피해 가능성이 없는 경우에는 동상방지층 설치를 생략한다.

〈그림 2-1〉에 나타낸 동상 메커니즘과 같이, 노상토의 동상은 충분한 수분의 공급, 동상에 민감한 노상토, 노상토의 동결을 유발하는 온도조건 모두가 충족되는 경우에 발생하며, 상기의 조건 중 하나의 조건이라도 충족되지 않는 경우에는 노상토의 동상은 발생하지 않는다.

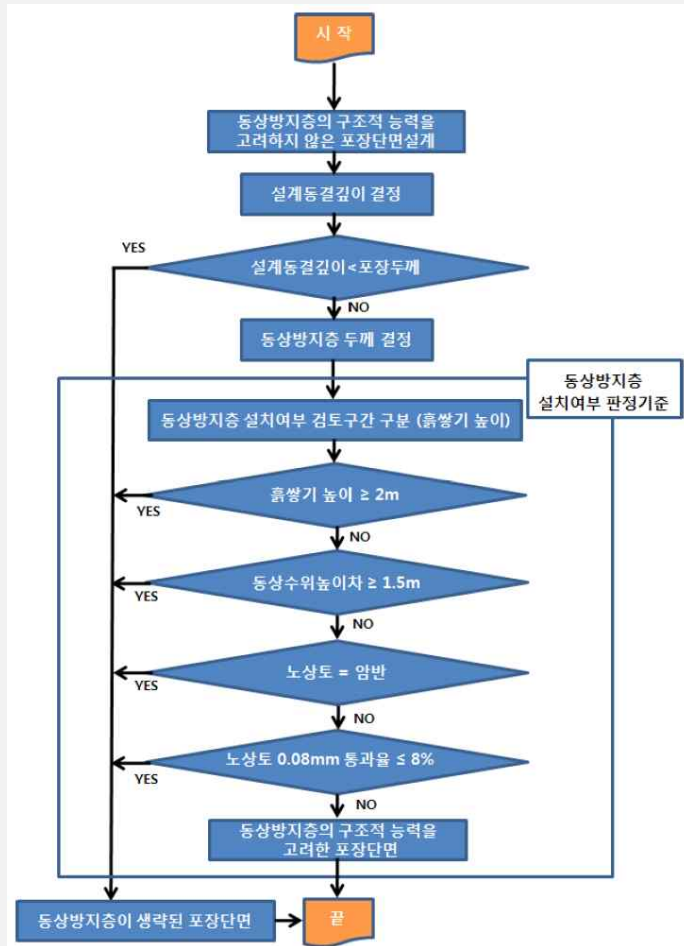


〈그림 2-1〉 동상 메커니즘 설명도

동상방지층 설치 필요성 여부는 (1)동결깊이, (2)흙쌓기 높이, (3)지하수위, (4)노상토의 특성 순으로 검토를 수행하며, 각 검토 단계에서 동상방지층이 불필요한 것으로 판정되는 경우에는 동상방지층을 생략한다.

동상방지층 설계흐름은 〈그림 2-2〉와 같다. 동상방지층 설계흐름은 한국형 포장설계법을 적용하여 포장단면을 결정하는 부분, 동상방지층의 설치 필요성을 판정하는 부분, 동상방지층을 설치하는 경우 동상방지층의 구조적 능력을 고려한 포장단면 조정으로 나누어진다. 세부적인 동상방지층 설계흐름은 다음과 같다.

- ① 한국형 포장설계법을 적용하여 구조설계에 의한 포장두께를 결정한다.
- ② 본 요령에서 제안하는 방법으로 설계동결깊이를 산정한다.
- ③ 포장두께가 설계동결깊이보다 클 경우 동상방지층을 생략하고 ① 단계에서 결정된 포장단면을 적용하고, 설계를 종료한다. 만일 포장두께가 설계동결깊이보다 작을 경우에는 동상방지층 두께를 결정하고 다음 단계로 넘어간다.



〈그림 2-2〉 동상방지층 설계 흐름도

- ④ 다음은 설계구간에서 동상방지층을 적용하는 구간과 생략하는 구간을 결정하는 것이다. 설계대상 도로의 종평면도를 이용하여 토공구간의 흙쌓기 높이를 결정한다.

- ⑤ 흠쌓기 높이 2m 이상의 구간과 2m 미만 구간을 구분하여 결정한다. 흠쌓기 높이가 2m 이상의 구간에 대해서는 동상방지층을 생략하고 ① 단계에서 결정된 포장단면을 적용한다. 흠쌓기 높이가 2m 미만인 구간에 대해서는 다음 단계로 넘어간다.
- ⑥ 흠쌓기 높이가 2m 미만의 구간은 동상수위높이차를 결정한다. 동상수위높이차가 1.5m 이상인 경우에는 동상방지층을 생략하고 ① 단계에서 결정된 포장단면을 적용한다. 그렇지 않은 경우에는 다음 단계로 넘어간다.
- ⑦ 노상토가 암반인지 토사인지를 결정한다. 노상토가 암반인 경우에는 동상방지층을 생략하고 ① 단계에서 결정된 포장단면을 적용한다. 그렇지 않은 경우에는 다음 단계로 넘어간다.
- ⑧ 노상토의 0.08mm 통과율을 결정한다. 0.08mm 통과율이 8% 이하인 경우에는 동상방지층을 생략하고 ① 단계에서 결정된 포장단면을 적용한다. 만일 0.08mm 통과율이 8%를 초과하는 경우에는 동상방지층을 설치한다.
- ⑨ 동상방지층을 설치하는 경우에는 본 요령의 순서대로 동상방지층의 구조적 능력을 고려하여 포장단면을 결정한다.

각각의 동상방지층 설치여부 판정 단계(⑤, ⑥, ⑦, ⑧)에서 하나의 조건이라도 동상방지층 생략 조건을 만족하면 동상방지층을 생략하여도 되며, 동상방지층을 생략하는 구간에 대해서는 ① 단계에서 결정된 포장단면을 적용한다. 동상방지층을 설치해야 하는 구간에 대해서는 ⑨ 단계에서 결정된 포장단면을 적용한다. 판정순서는 설계자의 판단에 의해 순서를 변경할 수 있다.

⑥~⑧ 단계의 지하수위 및 노상토에 의한 동상방지층 설치유무 판정 시, 검토 구간은 최소 100m이상으로 하며 아래와 같이 구간을 선정한다.

지하수 및 노상토 조사 구간은 흠쌓기 높이가 2m 미만인 구간이 연속될 경우 300~500m를 하나의 검토구간으로 한다.

흠쌓기 높이가 2m미만인 구간이 100m 미만의 짧은 구간으로 불연속적으로 빈번한 경우에는 300~500m를 하나의 구간으로 보고 지하수위 및 노상토 조사를 실시한다.

하부지반이 동상 및 지지력 측면에서 불량하고 동상수위높이차가 1.5m 이하인 경우에

는 동상방지층을 설치하고 지하배수시설을 강화한다. 노상면으로 용수가 발생하는 구간은 동해방지 및 포장체의 수분영향에 의한 지지력 저하를 억제하기 위하여 동상방지층 및 지하배수시설을 설치한다. 동상방지층이 동해를 방지할 목적으로 설치되는 구간은 지하배수시설의 매립깊이를 최소 0.6m 이상으로 하되 가급적 0.8m 이상이 되도록 한다.

노상이 동상에 민감한 토질이고, 통과하중의 반복작용으로 지하수위가 상승(모세관상승)하여 노상이 연약화되어 지지력이 저하될 우려가 있는 경우, 또는 동상의 반복작용으로 지지력이 약해져 동해를 받을 가능성이 있는 경우에는 동상방지층을 설치하여야 한다.

땅깎기부 노상면이 지하수위 영향을 받는 경우 일반적으로 노상토를 치환하여 유해요인을 제거하여야 한다. 그러나 땅깎기부 노상면이 일정 구간 연속적으로 형성되어 있거나, 불량 지반이 빈번하게 나타나 치환으로 인한 시공의 조잡성 그리고 동상방지층을 두는 것이 유효하다고 판단되는 경우에는 해당 구간 전체에 동상방지층을 일괄적으로 설치할 수 있다. 이 경우 최종 도로면은 요철을 정형하여 반드시 횡단배수가 가능한 경사를 두어야 하며 노상면에 물고임 현상은 반드시 제거하여야 한다.

확장구간 및 성토구간 등에서 동상방지층의 생략에 따라 포장단면이 서로 다르게 적용되는 경우, 원활한 횡단배수를 위하여 접속부에 지하배수시설을 설치한다.

## 2.2 흠쌓기 높이를 고려한 설치기준

흠쌓기 높이가 노상 최종면을 기준으로 2m 이상인 흠쌓기 구간에서 노상토의 품질기준을 만족할 경우에는 동상방지층을 생략한다.

### 【해 설】

지하수위가 매우 낮아 노상으로의 수분공급이 억제된 경우에는 동상방지층을 생략한다. 흠쌓기 높이가 2m 이상인 경우에는 노상으로의 모관상승에 의한 수분공급이 억제되기 때문에 동상방지층을 생략하는 것이다. 여기서 흠쌓기 높이라 함은 원지반에서 흠쌓기를 한 노체의 높이와 노상의 높이를 합한 것이다. 즉, 원지반에서 노상까지의 높이를 의미한다.

흡쌍기가 완료되면 흡쌍기 전에 비하여 지하수위가 일부 상승할 가능성이 있다. 지하수위 상승 정도는 흡쌍기 재료특성 및 흡쌍기 폭에 영향을 받는다. 동상방지층 설치여부 판정에 사용하는 흡쌍기 높이 2m의 기준은 이러한 특성을 고려하여 결정된 값이다. 따라서 아래의 경우에는 흡쌍기 높이만으로 지하수위 영향에 의한 동상 가능성을 직접적으로 판정하기 곤란하다.

- (1) 독립적인 도로 구조물로서 흡쌍기가 이루어지는 경우를 제외하고 단지와 같이 넓은 지역에서 흡쌍기가 이루어지는 구간에서의 도로
- (2) 편절편성 구간
- (3) 통로박스과 수로박스 등 구조물이 설치된 구간

(3)의 토피고가 낮은 지중구조물에서는 동절기 결빙에 따른 포장융기가 발생할 수 있으므로 토피고가 3m 이하인 지중구조물에서는 포장융기가 발생되지 않도록 종방향 맨암거를 설치하여야 한다. 세부사항은 「노면 불연속 구간 포장파손저감 잠정지침(국토해양부)」에 따른다.

흡쌍기 높이 2m 이상, 이하 구간이 불연속적으로 이어질 경우, 흡쌍기 높이 2m의 기준은 상당히 안전측으로 결정되어진 것이므로 흡쌍기 높이가 2m에서 다소 부족하더라도 큰 문제가 되지는 않으며, 아래와 같이 구분하여 적용한다.

- 일반적으로 흡쌍기 높이가 2m 이상인 구간이 50m 이상 이어질 경우 동상방지층을 삭제
- 흡쌍기 높이 2m 이상이 많고 부분적으로 흡쌍기 높이 2m 미만 구간이 존재하는 경우, 2m 미만 구간의 연장이 30m 미만일 경우에는 동상방지층을 생략
- 흡쌍기 높이 2m 미만이 많고 부분적으로 흡쌍기 높이 2m 이상 구간이 존재하는 경우 2m 이상 구간의 연장이 30m 미만일 경우에는 동상방지층을 설치
- 흡쌍기 높이 2m 미만인 구간과 성토고 2m 이상 구간이 계속적으로 반복되며 각각의 연장이 30m 미만일 경우에는 동상방지층을 설치

## 2.3 지하수위를 고려한 설치기준

동상수위높이차가 1.5m 이상인 경우에는 동상방지층을 생략한다.

### 【해 설】

지하수위가 매우 낮아 노상으로부터 수분공급이 억제된 경우에는 동상방지층을 생략한다. 동결면으로부터 물이 공급되는 지하수위 사이의 높이차가 1.5m 이상인 경우에는 노상으로부터 모세관상승에 의한 수분공급이 억제되기 때문에 동상방지층을 생략하는 것이다. 동상수위높이차는 설계 동결깊이로부터 동절기 동결이 우려되는 기간에 예상되는 지하수위까지의 깊이를 칭한다.

동상 가능성에 대한 지하수위의 영향은 직접적인 설계조건으로서, 본 기준은 흠쌓기 높이구간, 흠쌓기·땅깍기 경계구간, 땅깍기구간 모두에 있어서 적용 가능하다. 그러나 경계조건이 매우 상이한 통로박스과 수로박스 등 구조물이 설치된 구간에 대해서는 적용할 수 없다.

동상수위높이차는 지하수위에 따라 시간적, 공간적으로 변동한다. 흠쌓기 구간의 경우, 흠쌓기 전의 지하수위에 비하여 흠쌓기 후 지하수위의 상승 가능성이 존재한다. 지하수위 상승 가능성을 포함하여 안전측으로 결정된 동상수위높이차는 1.5m를 기준으로 한다. 땅깍기의 경우에는 땅깍기 전의 지하수위에 비하여 땅깍기 후 지하수위는 오히려 낮아지게 되므로 측정된 지하수위에서 시간적인 변동만을 고려하여 동상수위높이차를 결정하게 된다.

동상수위높이차는 지하수위의 시간 변동에 따라 변화한다. 따라서 특정시기에 측정된 지하수위는 동절기 동상이 우려되는 기간의 지하수위로 보정된 값을 사용하여 동상수위높이차를 평가한다. 지하수위 측정시기에 따른 보정은 측정시기를 고려하여 적용한다. 지하수위 측정 시기가 5월~8월 또는 11월~2월에 포함된 경우에는 0.8m, 3월~4월, 9월~10월에 포함된 경우에는 1.5m의 지하수위 변동을 고려한다. 다만, 동절기(11월~2월)에 연속적인 지하수위 계측을 한 경우에는 지하수위의 시간적 변동을 별도로 고려할 필요가 없다.

(1) 동절기(11월 ~2월)에 연속적인 지하수위 계측을 실시한 경우

$$H_{f,min} = H_{m,min} - D_f$$

여기서,  $H_{f,min}$  = 동상수위높이차,  $H_{f,min} \geq 0$

$H_{m,min}$  = 측정된 지하수위중 최소값 (포장 표면으로 부터의 깊이)

$D_f$  = 설계동결깊이

(2) 지하수위 계측을 특정 시기에 실시한 경우

$$H_{f,min} = H_m - H_c - D_f$$

여기서,  $H_{f,min}$  = 동상수위높이차,  $H_{f,min} \geq 0$

$H_m$  = 측정된 지하수위 (포장 표면으로 부터의 깊이)

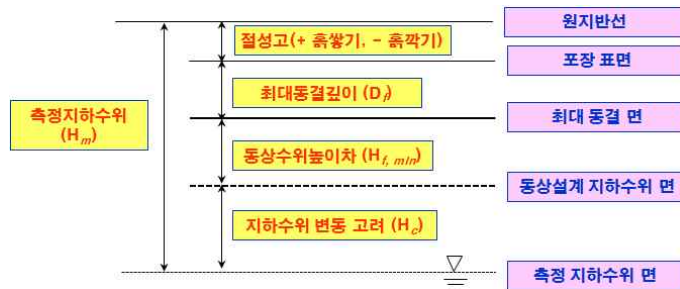
$H_c$  = 지하수위의 시간적 변동을 고려한 보정 값

= 0.8m (측정시기가 5월~8월 또는 11월~2월에 포함된 경우)

= 1.5m (측정 시기가 3월, 4월, 9월, 10월에 포함된 경우)

$D_f$  = 설계동결깊이

동상수위높이차가 음(陰)의 값으로 계산되는 경우, 동상설계 지하수위를 0으로 고려한다. 이유는 지하수위가 매우 높아 포장표면으로 용수 등이 발생하는 경우, 포장배수시설 기준에 따라 지하배수시설을 적용하여 지하수위를 노상면 이하로 저하시키는 것을 전제로 한 것이다.



<그림 2-3> 동상수위높이차 결정

## 2.4

### 노상토 특성을 고려한 설치기준

0.08mm 통과율을 기준으로 동상민감도를 판단하여 동상방지층 설치 유무를 결정한다.

0.08mm 통과율이 8% 이하일 경우에는 동상방지층을 생략한다.

#### 【해 설】

흙의 동상민감도는 온도조건, 물의 유출입 조건, 흙의 입도, 액소성, 간극비, 함수비 등의 조건에 따라 결정되나, 이와 같은 조건을 모두 고려하여 결정하는 것은 불가능하다. 또한 도로 구조물과 같이 연장이 긴 구조물은 고가의 시험비용과 장기간의 시험시간을 요구하는 실내동상시험이 필요하므로 비경제적이며, 규격화된 시험이 없는 상태이므로 시험조건과 시험자에 의한 편차가 크다.

흙의 동상민감도는 실트질 입자의 양에 따라 크게 좌우되며, 기존에 제시된 다수의 동상민감도 기준들은 0.02mm 통과율을 사용하고 있다. 그러나 0.02mm 통과율을 사용하기 위해서는 비중계 분석이 필요하나, 실무적으로 이용하기 어려운 단점이 있다. 일반적으로 0.02mm 통과율은 0.08mm 통과율의 약 1/20이다.

따라서 동상민감도를 판단하는 가장 보편적인 방법은 입도에 기반한 0.08mm 통과율에 따른 동상민감도 분류가 가장 실무적인 방법이라 할 수 있다.

비동상성 흙이란 상대적으로 동상에 덜 민감함을 나타내며, 동상성 흙이란 상대적으로 동상에 더 민감함을 의미한다.

0.08mm 통과율 기준 8% 이하의 노상토 재료는 비동상성 재료로 간주하여 동상방지층을 설치하지 않으며, 0.08mm 통과율 기준 8%를 초과하는 노상토 재료는 동상성 재료로 간주하여 동상방지층을 설치하여야 한다.



# 구조적 능력을 고려한 동상방지층 결정

3. 구조적 능력을 고려한 동상방지층 결정 ..... 181



## 제3장

# 구조적 능력을 고려한 동상방지층 결정

아스팔트 콘크리트 포장에서 동상방지층의 구조적 능력은  $\Delta$ BDI(동상방지층 구조적 평가 모형,  $\Delta$ Base Damage Index(%))에 의하여 결정된다.

### 【해설】

도로설계에 사용하는 한국형 포장설계법은 동상방지층을 구조적 포장층으로 고려하지 않고 있으나, 연구결과 동상방지층은 포장체 내에서 구조적인 역할을 일부분 담당하는 것으로 나타났다. 따라서 포장 설계 단계에서 동상방지층의 구조적 효과를 고려하여 별도의 설계를 수행해야 한다.

동상방지층의 구조적 특성을 분석하고 도로 포장 설계에 적용하기 위하여 <식 3.1>과 같이  $\Delta$ BDI(%)을 제시하였다.  $\Delta$ BDI(%)는 포장 하부의 처짐량 비를 이용하여 전체 포장체에서 동상방지층 유무에 따른 구조적 효과의 비를 나타낸다.

$\Delta$ BDI(%)는 각각의 포장층(아스팔트층, 보조기층, 동상방지층) 두께에 따른 방정식으로 땅깍기부, 흙쌓기부 및 절성경계부 등 노상조건에 따른 구조적 효과도 반영한 것이다.

$$\Delta\text{BDI}(\%) = [4.3101 + 0.004211 \times \text{TAP} - 0.007136 \times \text{TSB} + 0.001815 \times \text{TANTI} - 0.3923 \times \text{TYPE I} + 0.0286 \times \text{TYPE II}]^2 \quad \langle \text{식 3.1} \rangle$$

여기서,  $\Delta$ BDI(%) : 동상방지층 구조적 평가 모형 (%)

TAP : 아스팔트층 두께 (mm)

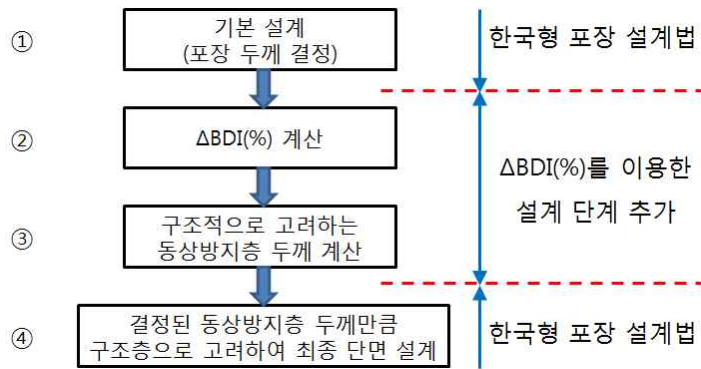
TSB : 보조기층 두께 (mm)

TANTI : 동상방지층 두께 (mm)

TYPE I : 땅깍기부 (O : 1, X : 0)

TYPE II : 절성경계부 (O : 1, X : 0)

<그림 3-1>는  $\Delta$ BDI(%) 모형을 이용하여 포장 설계를 수행하는 절차이며 다음 사항에 유의해야 한다.



〈그림 3-1〉  $\Delta BDI(\%)$  설계 절차

- ① 포장 두께 결정을 위한 기본 설계는 한국형포장설계법에 따른다.
- ② 기본 설계에서 결정된 포장 두께와 <식 3.1>에 따라  $\Delta BDI(\%)$  값을 계산하여 동상방지층의 구조적 효과를 분석한다.
- ③ 구조해석 프로그램을 이용하여 구조적으로 고려되는 동상방지층의 두께를 계산한다. 동상방지층 두께를 증가 시키면서 구조 해석에 적용하여  $\Delta BDI(\%)$  값과 동일한 값이 나오는 동상방지층 두께를 결정한다.
- ④ 구조적으로 고려되는 동상방지층 두께만큼 포장설계에 적용하여 최종 단면 설계를 수행한다. 동상방지층의 구조적 효과는 기층 두께를 감소시키는 것으로 포장 설계에 반영한다.

시멘트 콘크리트 포장의 경우 콘크리트 슬래브에서 대부분의 교통하중을 지지하여 동상방지층의 구조적 역할이 매우 미미한 것으로 분석되어 시멘트 콘크리트 포장 설계 시 동상방지층의 구조적 효과는 고려하지 않는다.

# 동상방지층 재료

|                          |     |
|--------------------------|-----|
| 4.1 일반사항 .....           | 185 |
| 4.2 동상방지층 재료의 품질기준 ..... | 185 |



## 제4장 동상방지층 재료

### 4.1 일반사항

동상방지층은 포장을 동결로부터 보호하기 위하여 노상면 상단에 시공하는 것으로서 그 재료는 자갈 또는 모래와 같은 비동결 재료로 동결에 의한 분리현상이 생기지 않아야 한다.

#### 【해설】

흙과 같이 물을 함유하고 있는 다공성 물질이 낮은 온도에 노출되어 그 일부가 동결할 때 이미 동결된 부분의 흙은 아직 동결되지 않은 부분으로부터 물을 빨아 들인다. 동결의 진행과 물의 공급이 일치하면 체적팽창이 일어나며, 동결된 부분의 토립자 사이의 평균적인 간극은 얼기 전에 비하여 확장된다. 또한, 확장된 토립자 사이의 간극에 흡입된 물은 동결된 얼음으로 남아 있게 된다. 이러한 현상을 동상이라고 한다. 따라서 동상을 방지하기 위하여 모세관현상을 방지하도록 투수가 잘 되어야 하며 세립분이 적은 재료를 사용하여야 한다.

### 4.2 동상방지층 재료의 품질기준

동상방지층의 재료는 다음의 기준을 만족하여야 한다.

| 구분                  | 기준     |
|---------------------|--------|
| 골재최대지수 (mm)         | 100 이하 |
| 유효입경, $D_{10}$ (mm) | 0.1 이상 |
| 0.08mm 통과율 (%)      | 8 이하   |
| 2mm 통과율 (%)         | 45 이하  |
| 소성지수 (%)            | 10 이하  |
| 모래당량 (%)            | 20 이상  |
| 수정 CBR (%)          | 10 이상  |

## 【해 설】

동상은 세립분의 특성과 골재입도의 영향을 받으며, 세립분의 특성으로 0.08mm 특성과 소성지수 특성이 있다. 0.08mm 통과량이 많으면 연약화되어 재료의 전단강도가 떨어지고, 동결에 대한 영향을 받는 지역에서는 동상을 일으키기 쉽다. 0.08mm 통과율에 따른 최적함수비의 특성 분석에서는 0.08mm 통과율이 증가할수록 최적함수비는 증가하고, 최대건조밀도는 감소하는 것으로 나타났다. 투수 특성 분석에서는 0.08mm 통과율이 증가할수록 감소하는 것으로 나타났다.

일반적으로 입상재료는 투수가 양호할수록 동상방지의 효과는 커지게 된다. 도로에 지중구조물이 있는 경우에는 투수성이 부족하여 도로 법면으로 침투된 물이 빠져 나가지 못하고 체수되어 동상이 발생되므로 동상방지층은 투수성이 양호한 재료이어야 한다.

소성지수는 흙의 공학적 특성에 영향을 미치는 주요한 인자이다. 소성지수가 클수록 동상이 증가하는 것으로 나타났으며, 소성지수가 10%보다 큰 재료는 동상이 급격하게 증가하므로 동상방지층 재료의 소성지수 기준은 10% 이하가 되어야 한다.

0.08mm 통과율 특성과 아울러 조골재의 함유율 또한 동상 및 투수 특성에 주요한 영향을 미치며, 조골재의 함유율이 많을수록 투수성이 양호하므로 동상의 영향을 적게 받는다. 조골재의 함유율 특성에서 2mm 이하 통과율은 45% 이하가 되어야 하며 골재의 유효입경 D10은 0.1mm 이상이어야 한다.

동상방지층의 다짐 후 1층 두께는 200mm를 넘지 않도록 균질한 재료를 균등하게 포설하여야 한다. 동상방지층은 KS F 2312의 E 다짐방법으로 구한 최대건조밀도의 95% 이상으로 다짐하여야 하며, 다짐 중의 함수비는 최적함수비의  $\pm 2\%$  범위 이내로 유지하여야 한다.

완성된 동상방지층은 계획고와의 차이가  $\pm 30\text{mm}$  이내가 되도록 하여야 하며, 완성된 층의 시공두께가 설계두께보다  $\pm 10\%$  이상의 차이가 발생한 구간은 표면을 80mm 이상 긁어 일으켜 소요두께가 되도록 재료를 보충하거나 제거한 후 다짐밀도가 확보되도록 재다짐하여 마무리하여야 한다.

동상방지층의 마무리면에 대한 최종 점검 후 보조기층 재료를 깔기 전에 우천 등으로 노면 손상이 있는 경우와 동절기를 경과한 경우 또는 3개월 이상 방치한 경우에는 마무리 다짐 및 점검을 재실시하여야 한다.

**제5편 암반구간 및 터널 내 포장**

**설계 ..... 187**

제1장 포장단면 설계 ..... 191

제2장 포장재료 ..... 217



# 포장단면 설계

|                           |     |
|---------------------------|-----|
| 1.1 일반사항 .....            | 191 |
| 1.2 포장단면 구성 .....         | 193 |
| 1.3 요철층의 보정 .....         | 197 |
| 1.4 단면설계 .....            | 197 |
| 1.5 암반구간 포장 설계 고려사항 ..... | 201 |
| 1.6 터널 내 포장 설계 고려사항 ..... | 209 |



# 제1장 포장단면 설계

## 1.1 일반사항

### 1.1.1 암반구간 포장

노상이 풍화암을 제외한 양질의 암반으로 구성된 경우 포장설계방법은 토공부와는 다르게 적용한다.

#### 【해설】

암반구간은 노상면이 풍화암을 제외한 양질의 암반으로 구성된 구간을 의미하며, 일반적으로 암반구간이라 함은 발파암으로 판정된 구간을 말한다. 노상이 암반인 경우에는 토공부에 비하여 노상의 지지력이 커서 포장단면 설계 시 포장단면이 감소될 수 있는 유리한 특성을 가지고 있다. 반면에 암반구간이 대부분 절토 구간에 위치하므로 경우에 따라 지하수위대의 존재로 인하여 용출수를 처리하여야 하는 특성을 가지고 있다.

일반적인 포장단면 설계방법은 토공부를 기준으로 노상이 흙인 경우를 전제하여 만든 설계법이므로 암반구간에서는 이러한 포장설계 방법을 적용할 수 없다. 따라서 암반구간에서의 포장단면설계는 역학적 방법으로 포장단면 특성을 분석하여 포장단면 설계방법을 적용하는 것이 합리적이다.

암반구간은 그 연장이 짧거나 반복적으로 존재하기도 하며, 흙쌓기 땅깍기 접속부(편질편성) 구간에 존재하는 등 다양한 형태로 존재할 수 있으므로 암반구간의 포장 단면설계 적용은 시공성과 경제성 및 현장여건을 반영하여 적용하여야 하며, 일반적으로 암반구간이라 함은 암반의 연장이 50m 이상인 구간으로 정의한다.

암반구간 및 토공구간의 접속부는 단차로 인하여 부등침하가 발생할 수 있으므로, 이러한 접속부에서는 암반구간에 충따기 시공 등의 대책을 사용하여 부등침하를 최소화하기 위한 노력이 필요하다.

## 1.1.2 터널내 포장

터널내 포장은 터널 전후 토공부 포장과의 연속성, 유지관리, 시공성, 소음특성, 조명효과 등을 고려하여 적절한 형식을 선정한다.

### 【해 설】

터널내에서는 일반적으로 측방여유폭이 적고, 환기설비 등의 부대설비가 필요하므로, 운전자의 시야확보를 위하여 터널내를 밝게하는 것이 필요하다. 또한, 일반적으로 대체도로가 적고 내부 포장구조체가 인버트역할을 담당할 수 있도록 내구성이 높은 포장구조가 요구된다. 따라서, 이와같은 점을 고려하여 터널내 포장은 시멘트콘크리트 포장(이하 콘크리트 포장이라 함)을 원칙으로 한다. 그러나 터널연장이 500m이하로 짧은 경우에는 지역여건과 시공성을 고려하여 터널 전후구간의 포장형식과 동일하게 적용하여도 좋다.

터널은 본선구간보다 교통용량이 작은 관계로 유지보수시 교통정체가 발생할 수 있다. 이와 같이 터널내 포장은 파손 발생시 유지관리가 어려운 문제가 있으므로 포장의 내구성을 증대시킬 필요가 있다.

특히, 콘크리트포장에서는 줄눈부에서 파손이 가장 많이 발생하므로, 줄눈부에서의 내구성을 증대시킬 필요가 있다. 또한, 터널내에서는 차량의 소음이 많이 발생하고, 특히 터널내 포장에서 많은 부분을 차지하고 있는 콘크리트포장은 아스팔트 콘크리트포장(이하 아스팔트 포장이라 함)보다 소음이 더욱 크게 발생하므로 투수성 콘크리트포장 등 저소음포장 기술의 연구개발이 필요하다.

## 1.2

### 포장단면 구성

암반구간에서는 포장단면 설계 시 보조기층 및 동상방지층을 생략하고, 그 대신 침투수의 배수를 위한 필터층 또는 시멘트 안정처리 필터층을 설치한다.

콘크리트 포장은 콘크리트 슬래브 표층과 하부층에 시멘트 안정처리 필터층, 필터층을 적용할 수 있다. 아스팔트 포장은 아스팔트 혼합물로 이루어진 표층과 기층을 본선과 동일하게 시공하며, 하부층에 필터층을 적용한다.

#### 【해설】

암반구간 및 터널내 포장의 형식 모두 하부층의 처리가 중요하다고 할 수 있다. 이는 암반이 가지고 있는 특수성으로 인하여 노상이 주로 암으로 구성되어 있고, 지지력의 측면에서는 양호하나, 용출수가 많을 경우 이에 대한 처리가 매우 어렵기 때문이다. 그러므로 암반구간 및 터널내 포장의 상부형식은 물론 하부형식에 있어서도 이러한 문제점을 간과해서는 안된다.

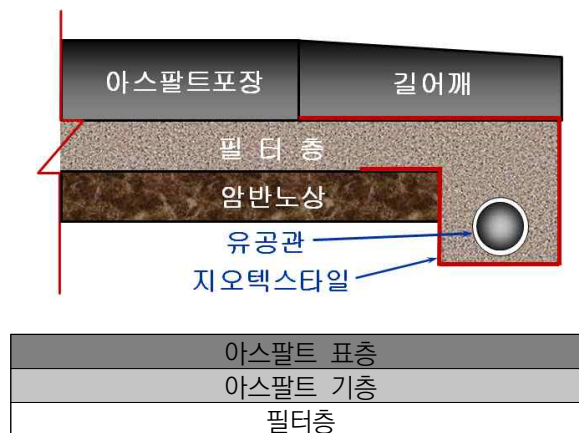
콘크리트 포장은 <그림 1-1>과 같이 콘크리트 슬래브와 하부층에 시멘트 안정처리 필터층 또는 필터층을 적용하며, 불투수성의 린콘크리트 기층을 적용할 경우에는 용출수나 침투수의 배수를 위하여 반드시 하부에 필터층을 설치하여야 한다.

암반구간의 노상에서 발생하는 용출수는 필터층을 따라 유공관으로 배수를 한다. 이 때, 필터층이 투수 역할을 제대로 하지 못하면 용출수는 유공관으로 빠져 나가지 못하고, 콘크리트 슬래브의 줄눈부로 용출되는 펌핑현상이 발생된다. 이러한 펌핑현상을 방지하기 위하여 투수성 입도의 필터층 또는 시멘트 안정처리 필터층을 설치한다. 시멘트 안정처리 필터층을 설치하는 이유는 펌핑현상 발생 시 필터층의 침식을 방지하며, 필터층의 내구성을 증대시키기 위함이다.



〈그림 1-1〉 암반위의 콘크리트포장 단면

아스팔트 포장은 〈그림 1-2〉와 같이 아스팔트 혼합물로 이루어진 표층(중간층 포함)과 기층을 본선 토공부와 동일하게 시공하고, 보조기층은 생략하는 대신 필터층을 적용한다. 그 이유는 하중분산 구조로 이루어진 아스팔트 포장에서 보조기층은 일정부분 하중지지 역할분담을 하도록 되어 있으나, 암반구간내 포장은 노상이 암반으로 구성되어 있기 때문에 별도의 하중지지 역할은 필요없다. 그러나 노상으로 침투된 용출수의 배수가 필요하므로 배수 및 여굴에 따른 조정층의 역할을 하는 필터층의 설치가 요구된다.

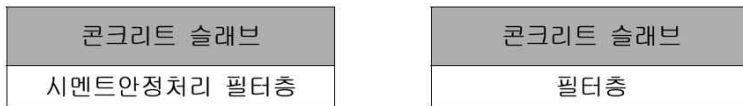
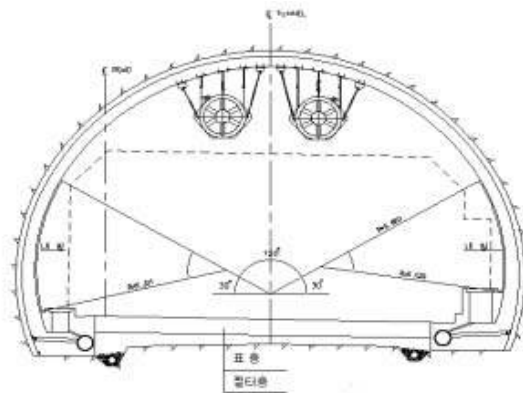


〈그림 1-2〉 암반위의 아스팔트포장 단면

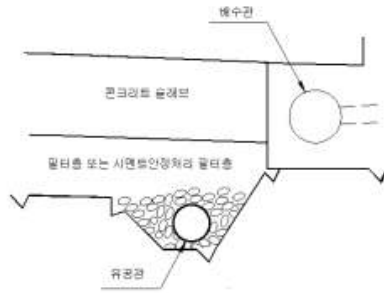
〈그림 1-3〉은 암반구간에서 용출수가 배수되지 못하여 포장체와 길어깨 사이로 분출됨과 동시에 포장이 융기된 모습이다.



〈그림 1-3〉 용출수에 의한 포장의 융기

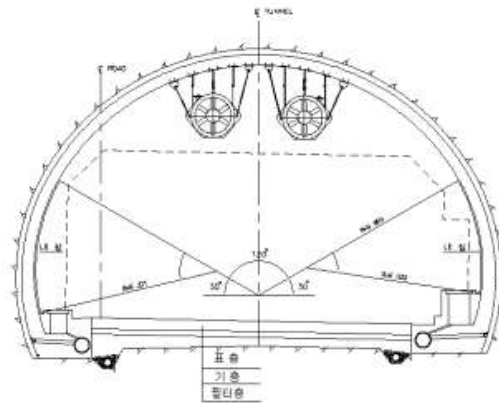


〈그림 1-4〉 콘크리트포장의 구성



〈그림 1-5〉 배수관 및 유공관의 구성

아스팔트 포장은 〈그림 1-6〉과 같이 아스팔트 혼합물로 이루어진 표층(중간층 포함)과 기층을 본선 토공부와 동일하게 시공하고, 보조기층은 생략하는 대신 필터층을 적용한다. 그 이유는 하중분산 구조로 이루어진 아스팔트 포장에서 보조기층은 일정부분 하중지지 역할분담을 하도록 되어 있으나, 터널내 포장은 노상이 암반으로 구성되어 있기 때문에 하중지지 역할은 필요없다. 그러나 노상으로 침투된 용출수의 배수가 필요하므로 배수 및 여굴에 따른 조정층의 역할을 하는 필터층의 설치가 요구된다.



|         |
|---------|
| 아스팔트 표층 |
| 아스팔트 기층 |
| 필터층     |

〈그림 1-6〉 아스팔트포장의 구성

### 1.3 요철층의 보정

암반구간 굴착 시 여굴에 따른 노상의 요철은 시멘트 안정처리 필터층, 필터층 재료 등으로 보정한다.

#### 【해 설】

암반구간 및 터널 굴착 시 노상면은 여굴에 따라 요철이 발생되며, 요철 부분을 보정한 후에 필터층이 시공되어야 한다. 노상면의 요철부를 보정하는 방법은 시멘트 안정처리 필터층 재료로 보정을 하거나 필터층 재료로 보정을 하는 방법이 있다.

용출수가 많은 구간에는 시멘트 안정처리 필터층으로 요철보정을 하는 것이 필요하고, 그렇지 않은 경우에는 필터층으로 보정한다. 바닥면의 요철보정을 위한 면고르기 두께는 일반적으로 5~10cm를 기준으로 하며 <표 1-1>은 필터층 및 요철보정 재료를 나타낸 것이다.

<표 1-1> 필터층 및 요철 보정 재료

| 구 분   | 기 준                        | 아스팔트 포장                   |
|-------|----------------------------|---------------------------|
| 필터층   | 시멘트 안정처리 필터층               | 필터층                       |
| 요철 보정 | 시멘트 안정처리 필터층, 필터층, 보조기층 재료 | 시멘트 안정처리 필터층 필터층, 보조기층 재료 |

### 1.4 단면설계

암반구간 및 터널내 포장의 단면설계시 콘크리트 포장의 경우, 슬래브의 두께는 본선포장과 동일하게 적용한다. 아스팔트 포장의 경우, 아스팔트 혼합물층의 두께는 본선포장과 동일하게 적용하며 보조기층대신 투수를 위한 필터층을 설치한다.

【해 설】

암반구간에서는 노상이 암반으로 구성되어 있으며, 지지력이 큰 특성을 가지고 있어서 포장두께 설계에 대한 검토가 이루어져야 한다. 암반구간의 지지력 특성을 살펴보기 위하여 구조해석을 실시한 결과, 암반구간은 토공구간에 비하여 노상의 지지력이 양호하므로 아스팔트층 하단의 인장변형률이 감소되어 피로수명이 증가되는 것으로 나타났다.

암반구간에서 보조기층의 두께 증가에 따른 아스팔트층 하단의 인장변형률 분석에서는 보조기층의 두께를 증가시킬수록 토공부와는 반대로 아스팔트층의 하단 인장변형률이 증가되어 포장의 피로수명은 감소되는 것으로 나타났다. 이는 입상재료 보조기층의 지지력이 암반의 지지력보다 작기 때문이다. 그러므로, 암반구간에서는 보조기층의 두께를 최소화하는 것이 역학적으로 유리한 것으로 나타났다. 그러나 보조기층을 완전히 제거하게 되면 절토구간에서 암반의 틈 사이로 용출되는 용출수를 배수시킬 수 없게 되므로 용출수의 배수층으로써 필터층이 필요하게 된다.

암반구간에서의 용출수 등의 취약조건을 고려하여야 하므로, 아스팔트 혼합물층의 두께는 본선 토공부와 동일하게 설계하는 것을 원칙으로 한다.

아스팔트 포장에서 아스팔트 혼합물층은 토공부 포장과 동일하게 시공하며 <그림 1-7>과 같이 보조기층은 설치할 필요가 없다. 그 이유는 아스팔트 포장에서 보조기층이 하중분산 역할을 하도록 되어 있으나, 터널내 포장의 경우 노상이 암반으로 이루어져 있어서 하중지지역할이 크므로 보조기층을 설치할 필요가 없기 때문이다. 그 대신 배수층으로써의 역할이 필요하므로 필터층을 설치하며 필터층의 두께는 용수량에 따라 달라질 수 있다. 필터층은 설계시 용출수량을 파악하기 어려우므로 필터층의 두께는 설계시 최소값인 15cm를 적용하고 시공시 <표 1-2>와 같이 용출수량의 정도에 따라 조정할 필요가 있다.

|              |
|--------------|
| 아스팔트 표층      |
| 아스팔트 기층      |
| 필터층(15~25cm) |

<그림 1-7> 터널내 포장단면(아스팔트 포장)

터널내 노상은 주로 암반으로 구성되어 있으며, 지지력이 큰 특성을 가지고 있어서 포장 두께 설계에 대한 검토가 이루어져야 한다. 터널내 포장은 콘크리트 포장을 원칙으로 하고 있으며, 콘크리트 포장 두께설계를 위하여 실제 터널 내의 지지력 조사를 실시하였다. 이 지지력을 입력변수로 하여 콘크리트포장의 두께설계를 실시하였으나 설계에는 큰 영향을 미치지 않는 것으로 나타났다. 따라서, 터널내 포장은 별도의 단면설계를 하지 않고 슬래브 두께를 본선포장과 동일하게 적용하는 것이 효율적이다.

터널, 인접부 및 일반구간 콘크리트포장에 대한 중앙 처짐을 조사한 결과, <표 1-2>에서 터널내부, 진입부, 토공부의 순서로 작은 처짐과 큰 동적지지력을 나타내었다.

현재 사용되는 '81AASHTO 설계치침의 콘크리트포장 두께설계 공식을 사용하여 지지력의 변화에 따른 두께의 변화를 조사한 결과 지지력이 두께에 미치는 영향은 크지 않은 것으로 나타났다.

그러므로, 노상지지력이 양호한 조건에도 불구하고 슬래브의 두께가 아스팔트포장만큼 감소되지는 않는다. 그렇지만, 토공부의 하부층이 린콘크리트와 동상방지층, 노상으로 구성 되어 구하여진 합성지지력보다 노상인 암반과 필터층으로 구성된 합성지지력이 크므로 린 콘크리트 기층을 생략할 수 있다.

<표 1-2> 터널포장의 처짐 특성

| 구 분   |     | 중앙부<br>최대처짐(um)<br>(9000lb환산) | 하중전달율(%) | 줄눈부<br>최대처짐(um)<br>(9000lb환산) | 처짐비<br>줄눈부/중앙부 |
|-------|-----|-------------------------------|----------|-------------------------------|----------------|
| 임고터널  | 터널부 | 22                            | 81.1     | 43                            | 1.95           |
|       | 진입부 | 38                            | 69.8     | 32                            | 0.85           |
|       | 절토부 | 55                            | 73.7     | 45                            | 0.82           |
|       | 성토부 | 53                            | 85.2     | 55                            | 1.04           |
| 죽령터널  | 터널부 | 19                            | 76.1     | 109                           | 5.74           |
|       | 진입부 | 41                            | 85.2     | 79                            | 1.93           |
| 육십령터널 | 터널부 | 20                            | 84.4     | 54                            | 2.70           |
|       | 절토부 | 46                            | 71.1     | 128                           | 2.78           |
|       | 성토부 | 50                            | 79.2     | 121                           | 2.42           |
| 웅천터널  | 터널부 | 21                            | 78.8     | 53                            | 2.52           |
|       | 진입부 | 76                            | 92.2     | 115                           | 1.51           |
| 진부터널  | 터널부 | 45                            | 85.8     | 60                            | 1.33           |

그러나, 린콘크리트 기층은 구조적인 기능을 하는 외에도, 펌핑시 공동을 방지하는 역할을 하고, 선택층은 투수에 의해 펌핑을 방지하는 역할을 한다. 따라서, 터널내 포장에서는 침식방지와 투수역할을 할 수 있는 층이 필요하므로 투수성 입도의 시멘트 안정처리 필터층이 이 기능을 담당할 수 있다.

터널포장의 하부구조형식은 토공부 포장과는 전혀 다른 특성을 가지고 있으므로 이에 대한 검토가 이루어져야 한다. 터널이 용출수의 문제가 없다면 노상 위에 콘크리트 슬래브 또는 아스팔트포장을 시공할 수 있으나, 용출수가 많은 터널에서는 용출수가 포장위로 나오는 펌핑현상이 발생하므로 용출수를 배제할 수 있는 필터층이 필요하다.

터널내 콘크리트 포장의 하부구조 형식은 <표 1-3>과 같이 나누어 질 수 있다. 시멘트 안정처리 필터층은 설계시 용출수량을 파악하기 어려우므로 시멘트 안정처리 필터층의 두께는 설계시 최소값인 15cm를 적용하고 시공시 <표 1-4>와 같이 용출수량의 정도에 따라 조정할 필요가 있다.

<표 1-3> 터널내 포장단면(콘크리트 포장)

| 구 분                  | 포장단면                                                                                                                                                                                |          |                      |
|----------------------|-------------------------------------------------------------------------------------------------------------------------------------------------------------------------------------|----------|----------------------|
| I                    | <table border="1" style="margin-left: auto; margin-right: auto;"> <tr> <td style="background-color: #cccccc;">콘크리트 슬래브</td> </tr> <tr> <td>시멘트안정처리 필터층(15~25)cm</td> </tr> </table> | 콘크리트 슬래브 | 시멘트안정처리 필터층(15~25)cm |
| 콘크리트 슬래브             |                                                                                                                                                                                     |          |                      |
| 시멘트안정처리 필터층(15~25)cm |                                                                                                                                                                                     |          |                      |
| II                   | <table border="1" style="margin-left: auto; margin-right: auto;"> <tr> <td style="background-color: #cccccc;">콘크리트 슬래브</td> </tr> <tr> <td>필터층(15cm)</td> </tr> </table>            | 콘크리트 슬래브 | 필터층(15cm)            |
| 콘크리트 슬래브             |                                                                                                                                                                                     |          |                      |
| 필터층(15cm)            |                                                                                                                                                                                     |          |                      |

- 주) I : 용출수에 의해 펌핑 및 침식의 우려가 있는 경우  
 II : 용출수가 없고, 펌핑 및 침식의 우려가 없는 경우

<표 1-4> 용수량에 따른 필터층 두께

| 용수량(m <sup>3</sup> /분/km) | 필터층 두께(cm) |
|---------------------------|------------|
| 0.5 미만                    | 15         |
| 0.5 ~ 1.5                 | 20         |
| 1.5 초과                    | 25         |

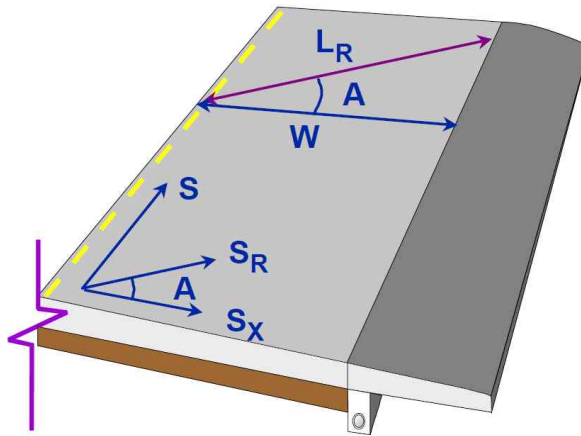
## 1.5 암반구간 포장 설계 고려사항

### 1.5.1 필터층의 설계

필터층의 설계 시 필터층이 포화된 상태에서 50% 배수가 진행되는데 소요되는 시간을 2시간 이내로 설계한다.

#### 【해 설】

노면배수와 포장체의 침투수 배수는 도로의 종단경사 및 횡단경사와 같이 도로의 기하구조와 밀접한 관계가 있다. 도로 노면은 강우 시 우수의 체류를 방지하기 위하여 <그림 1-8>과 같이 노면의 횡단경사 및 종단경사를 설치한다. 이 때, 횡단경사 및 종단경사의 합성벡터를 노면의 합성경사로 정의한다.



<그림 1-8> 노면의 경사

<그림 1-8>에서  $S_R$ 과  $L_R$ 은 다음과 같이 계산할 수 있다.

$$S_R = (S^2 + S_X^2)^{0.5}$$

$$L_R = W \left[ 1 + \left( \frac{S}{S_X} \right)^2 \right]^{0.5}$$

여기서,

SR : 필터층의 합성경사

S : 노면의 종단경사

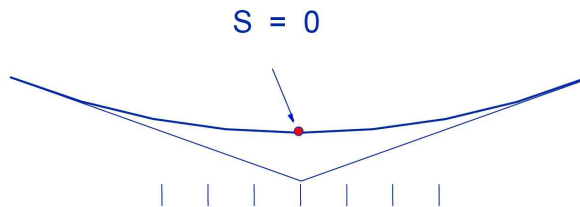
Sx : 노면의 횡단경사

LR : 필터층의 합성 배수길이(m)

W : 포장의 횡단폭(m)

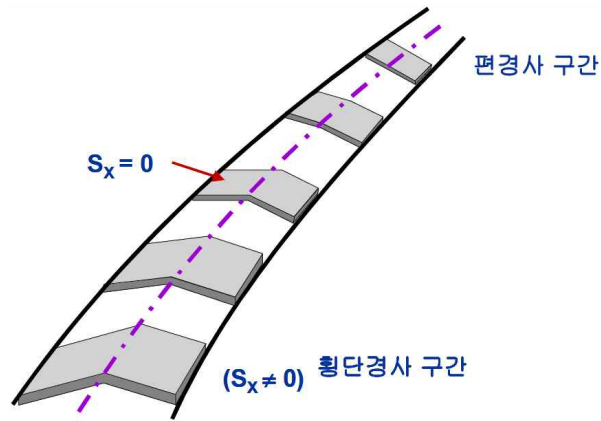
도로 노면의 합성경사는 항상 변화하며, 노면배수 및 포장체 침투수의 배수가 원활하게 되기 위해서는 합성경사가 0이 되어서는 안된다. AASHTO에서는 횡단경사를 정상적인 조건에서는 0.02m/m, 강우가 많은 지역에서는 0.025m/m를 추천하고 있다.

그러나 이러한 최소한의 합성경사조건을 만족시키지 못하는 경우가 있는데, 그 첫째로 <그림 1-9>와 같이 오목형 종단곡선의 저점부에서 종단경사가 0인 경우이다.



<그림 1-9> 오목형 종단곡선

두 번째의 경우는 <그림 1-10>과 같이 횡단경사 구간에서 편경사 구간으로 변화하는 편경사 변화구간에서 노면수 및 침투수의 체류현상이 발생할 가능성이 있으며, 종단경사가 0에 가까울 경우 그 가능성은 더욱 높아진다.



〈그림 1-10〉 편경사 변화구간

이러한 구간에서는 특히 노면에서 우수가 체류하게 되며, 체류되는 우수는 포장체 내부로 침투할 가능성이 높아진다. 포장체 내부로 침투되는 침투수나 암반구간의 틈으로 용출되는 용출수는 포장체를 연약화시켜 포장체의 수명을 감소시킨다.

그러므로, 포장체 내부로 침투하는 침투수와 암반구간의 틈에서 용출되는 용출수를 신속하게 배수하기 위해서는 침투수의 배수층으로써 필터층을 설치하여야 한다.

노상이 암반구간으로 불투수성인 경우 침투수의 배수는 필터층을 통하여 측구 또는 길어깨 아래에 설치된 유공배수관을 통하여 배수를 시킨다. 필터층이 포화된 상태에서 배수가 50% 진행되기까지의 시간을  $t_{50}$ 이라 하며  $t_{50}$ 은 〈표 1-5〉에서와 같이 배수의 특성을 결정한다.

〈표 1-5〉에서 주요 간선도로의 경우  $t_{50}$ 을 2시간 이내로 필터층을 설계하는 것이 합리적이다. 필터층의 시공성을 위하여 필터층의 최소두께는 15cm로 한다.

〈표 1-5〉 포화상태에서 50% 배수되는데 소요되는 시간(FHWA 1994)

| 배수특성  | 배수시간    |
|-------|---------|
| 매우 양호 | 2시간     |
| 양 호   | 1일      |
| 보 통   | 7일      |
| 불 량   | 1개월     |
| 매우 불량 | 배수되지 않음 |

포장체 내부로 침투하는 침투수가 포화상태에서 50% 배수되는데 소요되는 시간을 계산하기 위해서는 다음 식으로 계산하면 된다.

$$t = T \times m \times 24$$

여기서,

t : 50%배수에 소요되는 시간

T : 시간계수

m : 배수계수

시간계수 T를 결정하기 위한 도표는 <그림 1-11>과 같다. 노면의 경사계수 S1는 다음과 같이 구한다.

$$S_1 = \frac{L_R S_R}{H}$$

여기서,

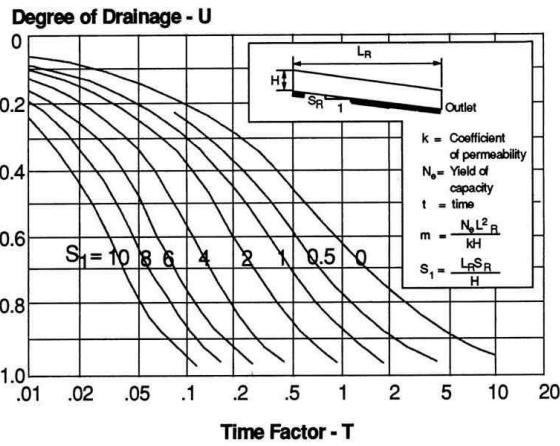
S1 : 경사계수

H : 필터층의 두께(m)

LR : 필터층의 합성 배수길이(m)

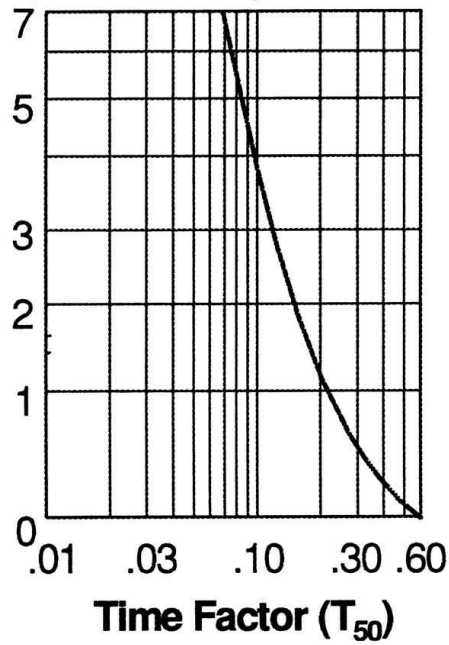
SR : 필터층의 합성경사(m/m)

<그림 1-11>에서 50%배수에 소요되는 시간계수만을 구하는 경우가 대부분이므로 이런 경우에는 <그림 1-12>와 같이 50%배수에 소요되는 시간계수 곡선을 이용하면 시간계수를 쉽게 구할 수 있다.



〈그림 1-11〉 배수시간 계수

### Slope Factor ( $S_1$ )



〈그림 1-12〉 시간 계수(50% 배수)

배수계수  $m$ 은 다음 식에 의하여 계산 할 수 있다.

$$m = \frac{N_e L_R^2}{kH}$$

여기서,

Ne : 유효공극률, 필터층의 유효 공극률은 일반적으로 0.25를 적용

LR : 필터층의 합성 배수길이(m)

k : 필터층의 투수계수(m/day)

H : 필터층의 두께(m)

유효 공극률을 구하는 공식은 다음과 같다.

$$N_e = N \times WLF$$

여기서,

Ne : 유효 공극률

N : 공극률

WLF : 수분 손실계수, 필터층 재료의 손실계수는 일반적으로 0.8을 적용

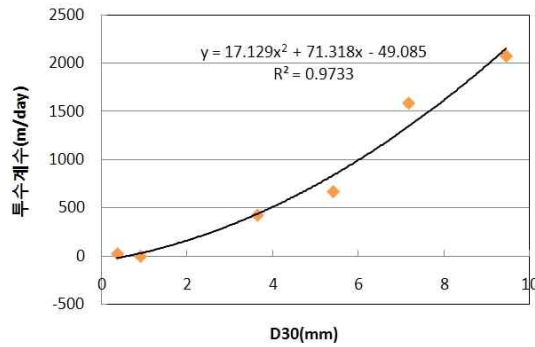
골재 입도에 따른 투수계수 등의 특성은 <표 1-6>과 같다

<표 1-6> 골재의 입도와 투수계수의 관계

| 골재구분 | D <sub>10</sub><br>(mm) | D <sub>30</sub><br>(mm) | D <sub>60</sub><br>(mm) | C <sub>u</sub> | C <sub>z</sub> | k<br>(m/day) |
|------|-------------------------|-------------------------|-------------------------|----------------|----------------|--------------|
| A    | 0.15                    | 0.37                    | 0.91                    | 6.07           | 1.00           | 27.4         |
| B    | 0.1                     | 0.91                    | 4.26                    | 45.97          | 1.39           | 1.22         |
| C    | 1.91                    | 3.64                    | 9.45                    | 4.72           | 0.63           | 427          |
| D    | 3.3                     | 5.41                    | 8.27                    | 2.75           | 0.94           | 670          |
| E    | 5.78                    | 7.17                    | 12.06                   | 2.14           | 1.02           | 1.585        |
| F    | 6.01                    | 9.45                    | 15.33                   | 2.57           | 1.12           | 2.072        |

필터층의 투수계수는 직접 투수시험에 의하여 구할 수 있으며, <표 1-6>의 시험결과를 토대로 통계분석을 실시하면 투수계수와 가장 밀접한 관계가 있는 물성치는 D30인 것으로

나타났다. 따라서, D30과 투수계수의 관계는 <그림 1-13>과 같이 나타낼 수 있다. <그림 1-13>에서 필터층의 골재입도곡선에서 가적통과율 30%에 해당하는 입경 D30을 구하면 투수계수를 간접적으로 구할 수 있다.



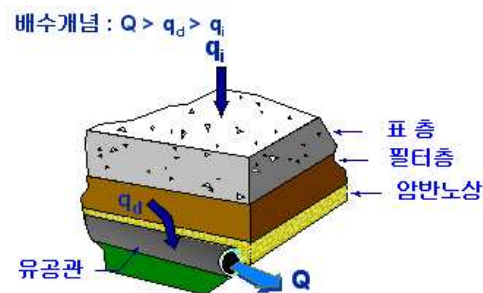
<그림 1-13> D30과 투수계수의 관계

## 1.5.2 배수시설의 설계

필터층에서 배수되는 침투수는 유공관을 통하여 배수구로 배수되어야 한다.

### 【해 설】

필터층에서 배수되는 침투수는 유공관을 통하여 배수구로 배수되어야 하며, 배수시설은 필터재료와 유공관, 토목섬유(지오텍스타일)로 구성된다. 각 배수시설은 <그림 1-14>와 같이 배수구 방향으로 갈수록 배수용량이 커져야 한다.



<그림 1-14> 침투수의 배수개념

유공관의 위치는 필터층의 바닥면보다 최소한 50mm 아래에 유공관의 상면이 위치하여야 한다. 침투수 배수에 사용하는 유공관은 폴리에틸렌 또는 PVC관의 사용을 추천한다.

토목섬유는 토목섬유 위의 재료가 혼합되는 것을 방지하고 본질적으로는 분리재로서의 역할을 한다. 토목섬유를 도로 하부의 전체 폭에 걸쳐 설치하는 방법으로 포장 구조의 일부, 혹은 그 이상의 부분이 상당한 투수성을 가지고 있다면 배수능력을 증대시킬 수 있다.

필터재료는 다음의 조건을 만족시키는 입도 배합의 것을 원칙으로 한다.

- 필터재료가 주변의 흙에 의하여 막히지 않기 위한 조건 :

$$\frac{D_{15}(\text{필터재료})}{D_{85}(\text{주변의 흙})} < 5$$

- 필터재료가 주변의 흙에 비하여 충분한 투수성을 갖기 위한 조건 :

$$\frac{D_{15}(\text{필터재료})}{D_{15}(\text{주변의 흙})} > 5$$

- 유공관의 구멍과 관의 이음 부분이 필터재료를 막히지 않기 위한 조건 :

$$\frac{D_{85}(\text{필터재료})}{d} > 2$$

여기서,

D 15 , D 85 : 입경가적곡선에 있어서 통과백분율이 각각 15%, 85%에 해당하는 입경 (mm)

d : 유공관의 직경, 또는 관의 이음 간격 (mm)

임반구간의 포장에서 포장체 내부로 침투하는 물은 크게 포장 표면으로 침투하는 우수와 암반의 틈에서 용출되는 용출수의 두 가지로 나눌 수 있다. 이러한 침투수는 1차적으로 필터층에서 배수되어진다.

필터층에서 배수되는 침투수는 유공관을 통하여 배수구로 유도되어야 한다. 유공관의 배수유량 산정은 다음과 같이 구할 수 있다.

$$q_d = 24 WHN_e U \frac{1}{t_d}$$

여기서,

qd : 설계 배수량(m<sup>3</sup>/day/m)

W : 필터층의 폭(m)

H : 필터층의 두께(m)

Ne : 유효공극률

U : 배수도

td : 50% 배수에 소요되는 시간(hr)

## 1.6 터널 내 포장 설계 고려사항

### 1.6.1 동상방지층 설치

터널내 포장의 동상방지층 설치는 갱구 입구부로부터 50m까지 설치하고, 출구부는 기후환경 여건을 고려하여 동상방지층을 설치하지 않을 수 있다. 단, 상하행이 분리되지 않은 터널의 경우 양쪽 갱구부 모두 동상방지층을 설치한다.

#### 【해 설】

터널내의 노상은 일반적으로 암반으로 구성되어 동상을 쉽게 일으키는 토질이 아니며, 터널내부는 외부와 달리 온도변화가 적어 일반적으로 동상의 영향이 적다. 그러나, 터널내의 암반의 균열로부터 용수의 발생과 발파로 인한 요철면에 물이 고임에 따라 동상의 원인을 제공할 수 있다. 그리고, 발파면의 요철에 따른 배수처리 불량으로 암반의 풍화에 따른 지지력약화를 가져올 수 있고, 암반에 존재하는 절리, 층리 및 단층대의 존재는 동상을 줄 수 있는 요인이다.

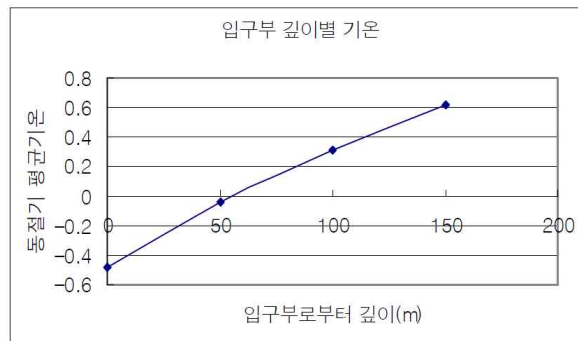
동결의 영향을 고려하는 지역에서는 터널 입출구부 일정구간을 제외하고는 터널내부 온도가 터널외부 온도보다 높아서 동결관입효과가 상당히 감소된다. 그렇지만 터널 갱구부에서는 터널바닥의 요철면에 물고임에 의한 포장층에 대한 동결융해 작용과 팽팽현상을 배제하기 위한 동상방지층 설치가 필요하다.

일반적으로 동결지수가 100°C·일 이하이면 동결심도가 포장층이하가 되므로 동상방지층을 설치할 필요가 없게 된다. 그러므로 동결지수가 100°C·일에 해당하는 동절기 일평균 기온은 0°C로 나타난다.

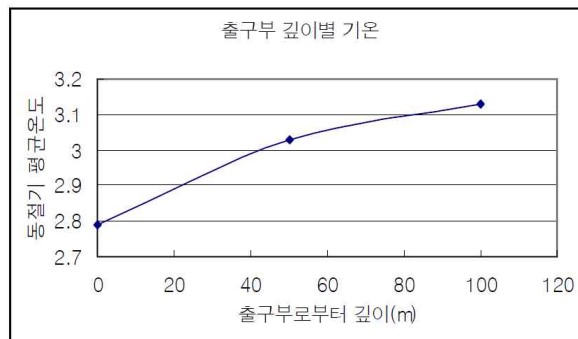
따라서, 동절기 일평균기온이 0°C가 되는 지점까지 동상방지층을 설치하면 된다. <그림 1-15>와 <그림 1-16>은 온도 평균치를 그래프로 나타낸 것이다.

터널 입구부로부터 동절기 일평균기온이 0°C가 되는 지점은 <그림 1-15>에서 입구부로부터 50m지점이고, 터널 출구부에서는 동절기 일평균 기온이 <그림 1-16>에서 0°C이상 이 되므로 동상방지층을 설치할 필요가 없게 된다. 이는 터널내부의 보온효과와 자동차의 배기가스 등으로 인하여 따뜻해진 공기가 터널출구로 배출되는 지점이므로 터널외부의 찬 공기가 영향을 미치지 않기 때문이다.

다만 상·하행이 분리되지 않은 터널의 경우에는 터널 입구부의 조건에 해당하므로 갱구부 양쪽 모두 동상방지층을 설치하여야 한다.



<그림 1-15> 입구부 깊이별 공기온도



<그림 1-16> 출구부 깊이별 공기온도

## 1.6.2 터널 입출구부의 결빙보완대책

터널 입출구부에서 일조량이 적어 결빙 등이 발생하는 경우는 보완대책을 검토하여야 한다.

### 【해 설】

터널 입출구부는 일조량이 적어 동결에 의한 교통사고가 발생할 가능성이 높다. 그러므로 일조량이 적은 경우에는 제설 및 용설시스템 등의 결빙보완 대책을 검토하여야 한다.

터널 입출구부 결빙보완 여부를 결정하기 위해서는 주변 기상 자료와 터널 갱구부의 위치를 고려하여 겨울철 노면 결빙 가능성을 판단한다. 그래서, 위험구간에 대하여 결빙보완 시스템의 대안 선정을 통하여 도로 사용자의 안전을 확보하여야 한다.

터널 내외의 교통사고 분석 결과에 의하면 인명 상해 사고 비율이 결빙시와 노면의 서리 맺힘 현상 발생시 가장 높은 것으로 나타났다.

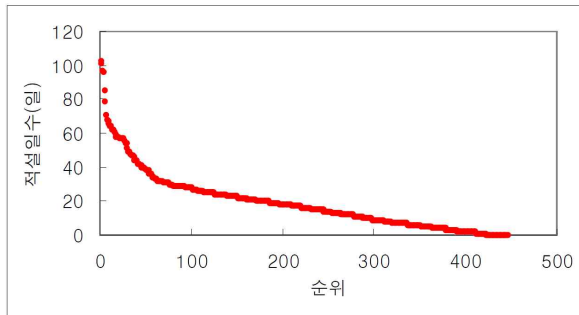
터널은 산악지형을 통과하기 때문에 강설에 의한 결빙 빈도가 높고 인접 산지의 영향으로 음영 발생 구간이 많으며, 종단경사가 높은 경우가 많아 결빙시 교통사고 및 교통지체가 발생할 수 있다. 그러므로 결빙 취약부에는 사용자의 안전과 원활한 교통 소통을 위하여 용설시스템 등의 결빙보완대책 적용을 검토하여야 한다.

우리나라의 최근 5년간 적설일수에 대한 통계를 살펴보면 <표 1-7>과 같고 <그림 1-17>은 적설일수를 순위별로 나타낸 것이다.

<표 1-7> 적설 통계분석 결과

| 구분  | 관측치 | 평균값(일) | 표준편차(일) | 최대치(일) | 최소치(일) |
|-----|-----|--------|---------|--------|--------|
| 통계값 | 446 | 19.3   | 17.3    | 103    | 0      |

<그림 1-17>에서 446개의 관측치중에서 연간 적설일수가 25~30일 부근에서 변곡점을 이룬다. 이는 25~30일 이상인 지역에서는 적설일수가 매우 많아짐을 뜻한다.



〈그림 1-17〉 순위별 적설일수

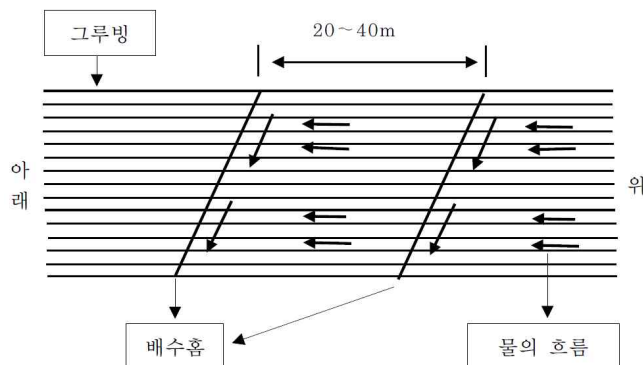
따라서 연간 적설일수가 25일이상이면 일영분석 등을 통하여 결빙 보완대책 설치여부를 반드시 검토하여야 한다.

결빙보완대책으로는 적설량이 적은 경우에 적용하는 종방향 그루빙과 적설량이 많은 경우에 적용하는 융설시스템 등이 있다. 종방향 그루빙은 결빙노면의 불연속 작용과 제설작업시 살포된 염화칼슘의 잔류효과로 인하여 결빙을 감소시킬 수 있다. 단, 아스팔트 포장의 경우는 흙 주위에서 변형이 발생하므로 사용에 신중을 기하여야 한다.

종방향 그루빙의 규격은 〈표 1-8〉과 같고 종방향 그루빙의 시공방법은 〈그림 1-18〉과 같다.

〈표 1-8〉 종방향 그루빙 규격

| 구분  | 폭(mm) | 깊이(mm) | 간격     |
|-----|-------|--------|--------|
| 그루빙 | 9     | 4~6    | 50mm   |
| 배수홈 | 36~60 | 5~10   | 20~40m |



### 〈그림 1-18〉 종방향 그루빙 시공방법

융설시스템은 적설 및 노면 결빙으로 인한 교통안전 문제를 해소하기 위하여 노면에 결빙된 눈/얼음의 용해를 목적으로 하며, 설치 방식은 〈그림 1-19〉와 같이 전기 절연선 포설방식, 융설액 분사방식, 열배관방식, 기상정보 시스템을 이용한 제설작업방식 등이 있다.

전기 전열선 포설방식은 발열선을 콘크리트나 아스팔트포장 하부에 매설하여 전기 저항열을 이용하여 융설하는 방식이며, 융설액 분사방식은 저장탱크에 융설액을 저장하여 도로면에 분사노즐 설비를 설치하고, 결빙전 또는 강설초기에 기상관측장비의 감지를 통하여 제빙액을 분사하여 결빙을 방지 또는 융설하는 방식이다.



(a) 전기 절연선 포설방식



(b) 융설액 분사방식



(c) 열배관방식



(d) 기상정보시스템

### 〈그림 1-19〉 융설시스템 방식

융설액 분사방식은 동절기 결빙이 우려되는 지점에 설치하며, 결빙의 우려가 있을 때 융설액을 분사하여 미끄럼에 의한 교통사고를 예방하는 역할을 하며, 일반적으로 온도차가 많이 발생하는 터널 입·출구부 및 교량과 경사면 및 그늘진 곳에 설치한다.

열배관 방식은 외부열원의 공급으로 작동액의 열에너지를 이용한 발열로 결빙 방지하는 방식이며, 기상정보시스템을 이용한 제설작업방식은 기상정보시스템의 강설 또는 결빙 경보시 인력과 장비를 투입하여 도로에 융설제를 도포하여 결빙을 방지하는 방식이다.

이와 같이 응설시스템 설치시에는 해발고도, 동절기 노면결빙 및 적설 빈도, 연평균 강설·서리일수, 동절기 평균기온, 일평균기온 0°C이하 일수, 터널 및 도로의 선형, 응설작업의 횟수 등을 고려하여야 한다.

〈표 1-9〉 응설시스템의 특징

| 종 류            | 특 징                                                                                                                                                                                                                                                                                         |
|----------------|---------------------------------------------------------------------------------------------------------------------------------------------------------------------------------------------------------------------------------------------------------------------------------------------|
| 응설액 분사방식       | <ul style="list-style-type: none"> <li>• 동계이후 응액제거를 위한 부수장비(탱크, 펌프 배관)의 유지관리 필요</li> <li>• 염화칼슘 수용액 사용에 의한 환경오염 및 차량부식 발생</li> <li>• 시공비 및 유지관리비 저렴</li> <li>• 유지보수시 포장체 손상 없음</li> <li>• 아스팔트포장은 응설액에 손상 없음.</li> <li>• 염화물계 응설액 사용으로 터널 진출입로에 설치시 터널내 콘크리트 포장이 부식에 의한 피해가 우려됨.</li> </ul> |
| 전열선 방식         | <ul style="list-style-type: none"> <li>• 시스템에 장애시 확인이 어려움.</li> <li>• 많은 전력소모로 인한 운영비 과다</li> <li>• 아스팔트포장에 적용시 전열선 주변에서 혼합물의 국부적인 노화 유발</li> <li>• 전열선 또는 보장 중 한 가지만 유지보수가 필요해도 두 가지 모두 재시공 필요</li> </ul>                                                                                  |
| 열배관 방식         | <ul style="list-style-type: none"> <li>• 열원의 시공비 및 운영비 과다</li> <li>• 시스템에 장애시 확인이 어려움.</li> <li>• 도로에 설치시 열원에서부터 수요지까지의 거리가 길어져 비효율적</li> <li>• 열배관 또는 포장 중 한 가지만 유지보수가 필요해도 두 가지 모두 재시공 필요</li> <li>• 운영중 포장체의 손상은 없음</li> </ul>                                                           |
| 기상정보 시스템과 제설작업 | <ul style="list-style-type: none"> <li>• 제설제 도포를 위한 다수의 인력과 장비가 필요함.</li> <li>• 작업에 따른 교통 정체 유발</li> <li>• 제설작업시 삽날에 의한 표면 손상</li> </ul>                                                                                                                                                    |

# 포장재료

|                |     |
|----------------|-----|
| 2.1 일반사항 ..... | 217 |
|----------------|-----|



## 제2장 포장재료

### 2.1 일반사항

암반구간 및 터널내 포장은 용출수에 의해 습윤상태가 되기 쉬우므로 표층에 위치하는 포장재료는 내수성을 갖추어야 하며, 하부층에 놓이는 포장재료는 투수성을 갖추어야 한다.

#### 【해 설】

암반구간 및 터널내부에서는 용출수에 의하여 포장은 습윤상태가 되기 쉬우므로 아스팔트포장으로 설계 시 아스팔트 혼합물은 수분에 대한 민감성이 적은 혼합물인 내수성 혼합물이 요구된다.

아스팔트 혼합물의 골재자체가 내수성이 부족할 때에는 소석회, 시멘트 등의 박리방지제를 첨가하여 내수성을 높일 필요가 있다. 소석회나 시멘트를 박리방지제로 첨가 시, 투입량은 아스팔트 혼합물 배합설계 시 채움재의 설계 투입량만큼을 치환하여 첨가한다.



도로포장 설계 요령

# 부 록



# 부 록

|                                       |     |
|---------------------------------------|-----|
| 부록 1. 도로 등급별 축하중 분포 .....             | 225 |
| 부록 2. 환경하중 .....                      | 275 |
| 부록 3. 포장 하부구조 재료의 설계입력변수 평가 시험법 ..... | 292 |
| 부록 4. 입상재료 .....                      | 313 |
| 부록 5. 아스팔트 재료 .....                   | 351 |
| 부록 6 아스팔트 혼합물의 동탄성계수 측정을 위한 표준 시험법    | 388 |
| 부록 7. 시멘트 콘크리트 재료 .....               | 402 |
| 부록 8. 시멘트 콘크리트 열팽창계수 측정 방법(안) .....   | 450 |
| 부록 9. 시멘트 콘크리트 건조수축 측정 방법(안) .....    | 456 |
| 부록 10. 구조해석 .....                     | 471 |
| 부록 11. 공용성 모형 .....                   | 494 |
| 부록 12. 덧씌우기 .....                     | 565 |
| 부록 13. 경제성 분석 .....                   | 577 |
| 부록 14. 아스팔트 콘크리트 포장설계(예) .....        | 627 |
| 부록 15. 시멘트 콘크리트 포장설계(예) .....         | 669 |
| 부록 16. 연속철근 콘크리트 포장설계 로직 .....        | 712 |
| 부록 17. 도로 동상방지층 설계 예 .....            | 726 |
| 부록 18. 기타 포장 .....                    | 749 |



## 부록 1. 도로 등급별 축하중 분포

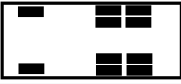
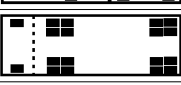
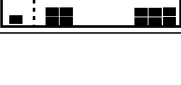
### 1.1 개요

본 부록 내 제시된 도로 등급별 축하중 분포는 고속국도, 일반국도, 지방도에  
서 실제 운행하고 있는 축하중 조사 자료를 바탕으로 작성된 자료로서 포장 구  
조 설계 시 하중 등급별 교통량을 산출하기 위하여 사용된다. 축하중 분포 제시  
는 고속국도, 일반국도, 지방도에 대해서 각각의 축하중 분포를 제시되어 있으  
며, 설계하고자 하는 도로 등급에 따라 선택하여 사용한다.

## 1.2 차종 구분 및 축형태

축하중 분포는 <표 1.1>과 같이 국내 차종 분류 기준 및 축형태로 제시되어 있다.

<표 1.1> 12종 분류 체계 -(교통량 조사 차종분류가이드, 국토교통부)

| 차종 분류 | 차축 형태                                                                                      | 정의                                          |
|-------|--------------------------------------------------------------------------------------------|---------------------------------------------|
| 1종    | 2축 4륜     | 경차, 일반 세단형식 차량<br>16인승 미만 SUV, RV, 승합차량     |
| 2종    | 2축 6륜     | 중, 대형 버스                                    |
| 3종    | 2축 6륜     | 화물 수송용 트럭으로 2축의 최대 적재량<br>1~2.5톤 미만의 1단위 차량 |
| 4종    | 2축 6륜     | 화물 수송용 트럭으로 2축의 최대 적재량<br>2.5톤 이상의 1단위 차량   |
| 5종    | 3축 10륜   | 화물 수송용 트럭으로 3축 1단위 차량                       |
| 6종    | 4축 12륜  | 화물 수송용 트럭 형식으로 4축 1단위 차량                    |
| 7종    | 5축 16륜  | 화물 수송용 트럭 형식으로 5축 1단위 차량                    |
| 8종    | 4축 14륜  | 화물 수송용 세미 트레일러 형식으로 4축<br>2단위 차량            |
| 9종    | 4축 14륜  | 화물 수송용 플트레일러 형식으로 4축 2단위<br>차량              |
| 10종   | 5축 18륜  | 화물 수송용 세미 트레일러 형식으로 5축<br>2단위 차량            |
| 11종   | 5축 18륜  | 화물 수송용 플트레일러 형식으로 5축 2단위<br>차량              |
| 12종   | 6축 22륜  | 화물 수송용 세미 트레일러 형식으로 6축<br>2단위 차량            |

### 1.3 고속국도의 축하중 분포

〈표 1.2〉 고속국도 차종별 축하중 분포 - (a) 단축(조향축)

| 하중<br>(톤) | 1종    | 2종    | 3종    | 4종    | 5종    | 6종    | 7종    | 8종    | 10종   | 11종   | 12종   |
|-----------|-------|-------|-------|-------|-------|-------|-------|-------|-------|-------|-------|
| 0.25      | -     | -     | -     | -     | -     | -     | -     | -     | -     | -     | -     |
| 0.75      | 0.94  | -     | -     | 0.02  | -     | -     | -     | -     | 0.02  | -     | -     |
| 1.25      | 90.09 | 0.32  | 64.83 | 0.8   | -     | -     | -     | -     | 0.80  | -     | -     |
| 1.75      | 6.84  | 0.48  | 17.59 | 3.09  | 0.12  | -     | -     | -     | 3.09  | -     | -     |
| 2.25      | 0.71  | 3.87  | 13.79 | 14.37 | 0.12  | 0.32  | -     | -     | 14.37 | -     | -     |
| 2.75      | 0.24  | 2.42  | 0.34  | 14.05 | 0.12  | 0.16  | -     | -     | 14.05 | 0.10  | 0.06  |
| 3.25      | 0.24  | 1.61  | 1.38  | 23.44 | 0.18  | 3.84  | 0.44  | 3.41  | 23.44 | 0.45  | 0.06  |
| 3.75      | 0.24  | 11.29 | 1.03  | 13.87 | 1.49  | 18.24 | 1.32  | 30.46 | 13.87 | 0.45  | 0.78  |
| 4.25      | 0.24  | 34.35 | 0.69  | 11.04 | 8.63  | 22.72 | 1.54  | 42.48 | 11.04 | 8.00  | 9.69  |
| 4.75      | 0.24  | 18.55 | 0.34  | 8.77  | 18.98 | 12.16 | 7.25  | 11.82 | 8.77  | 27.27 | 25.13 |
| 5.25      | 0.24  | 18.23 | -     | 5.56  | 17.85 | 5.28  | 10.55 | 5.81  | 5.56  | 9.09  | 22.9  |
| 5.75      | -     | 7.58  | -     | 2.89  | 15.23 | 4.64  | 14.29 | 1.40  | 2.89  | 27.27 | 25.85 |
| 6.25      | -     | 1.29  | -     | 1.22  | 10.23 | 4.80  | 16.48 | 0.20  | 1.22  | 9.09  | 12.26 |
| 6.75      | -     | -     | -     | 0.52  | 8.45  | 7.20  | 20.0  | 0.80  | 0.52  | 9.09  | 1.62  |
| 7.25      | -     | -     | -     | 0.26  | 7.79  | 3.36  | 15.16 | 1.40  | 0.26  | 9.09  | 0.89  |
| 7.75      | -     | -     | -     | 0.10  | 6.31  | 2.56  | 5.27  | 0.60  | 0.10  | 0.09  | 0.39  |
| 8.25      | -     | -     | -     | 0.02  | 2.44  | 4.64  | 5.93  | 1.00  | 0.02  | -     | 0.28  |
| 8.75      | -     | -     | -     | -     | 1.43  | 2.40  | 1.76  | 0.40  | -     | -     | 0.06  |
| 9.25      | -     | -     | -     | -     | 0.59  | 3.20  | -     | 0.20  | -     | -     | 0.06  |
| 9.75      | -     | -     | -     | -     | 0.06  | 3.52  | -     | -     | -     | -     | -     |
| 10.25     | -     | -     | -     | -     | -     | 0.96  | -     | -     | -     | -     | -     |
| 10.75     | -     | -     | -     | -     | -     | -     | -     | -     | -     | -     | -     |
| 합계        | 100   | 100   | 100   | 100   | 100   | 100   | 100   | 100   | 100   | 100   | 100   |

〈표 1.3〉 고속국도 차종별 축하중 분포 - (b) 단축(구동축)

| 기준하중<br>(톤) | 2종     | 3종     | 4종     | 6종     | 7종     | 8종     | 9종     |
|-------------|--------|--------|--------|--------|--------|--------|--------|
| 0.25        | -      | -      | -      | -      | -      | -      | -      |
| 0.75        | -      | 13.10  | 0.12   | -      | -      | -      | 0.12   |
| 1.25        | 0.33   | 48.97  | 1.10   | -      | -      | -      | 1.10   |
| 1.75        | 0.33   | 11.38  | 2.01   | -      | -      | -      | 2.01   |
| 2.25        | 2.14   | 11.38  | 8.43   | -      | -      | -      | 8.43   |
| 2.75        | 1.48   | 5.17   | 10.36  | 1.12   | 0.66   | 1.60   | 10.36  |
| 3.25        | 0.33   | 3.45   | 8.77   | 12.00  | 3.74   | 5.01   | 8.77   |
| 3.75        | 0.33   | 3.45   | 10.44  | 20.96  | 3.30   | 5.41   | 10.44  |
| 4.25        | 0.16   | 0.69   | 9.51   | 14.40  | 3.52   | 2.61   | 9.51   |
| 4.75        | 0.33   | 1.04   | 6.97   | 7.04   | 6.37   | 2.81   | 6.97   |
| 5.25        | 0.49   | 0.34   | 6.20   | 6.56   | 13.19  | 6.01   | 6.20   |
| 5.75        | 1.48   | 0.34   | 5.82   | 4.96   | 17.14  | 12.02  | 5.82   |
| 6.25        | 0.99   | 0.34   | 4.90   | 6.08   | 15.82  | 13.03  | 4.90   |
| 6.75        | 1.32   | 0.34   | 4.84   | 5.76   | 16.04  | 18.24  | 4.84   |
| 7.25        | 3.13   | -      | 4.11   | 3.36   | 7.25   | 12.22  | 4.11   |
| 7.75        | 15.16  | -      | 3.15   | 3.04   | 6.37   | 9.02   | 3.15   |
| 8.25        | 29.00  | -      | 3.25   | 4.64   | 2.86   | 7.21   | 3.25   |
| 8.75        | 19.28  | -      | 3.05   | 2.88   | 1.32   | 2.20   | 3.05   |
| 9.25        | 10.21  | -      | 2.61   | 2.56   | 1.54   | 1.80   | 2.61   |
| 9.75        | 8.07   | -      | 2.23   | 2.56   | 0.44   | 0.40   | 2.23   |
| 10.25       | 4.94   | -      | 1.53   | 1.92   | 0.22   | 0.40   | 1.53   |
| 10.75       | 0.49   | -      | 0.60   | 0.16   | 0.22   | -      | 0.60   |
| 11.25       | -      | -      | -      | -      | -      | -      | -      |
| 11.75       | -      | -      | -      | -      | -      | -      | -      |
| 12.25       | -      | -      | -      | -      | -      | -      | -      |
| 12.75       | -      | -      | -      | -      | -      | -      | -      |
| 13.25       | -      | -      | -      | -      | -      | -      | -      |
| 합계          | 100.00 | 100.00 | 100.00 | 100.00 | 100.00 | 100.00 | 100.00 |

〈표 1.4〉 (계속) 고속국도 차종별 축하중 분포 - (c) 복축

| 기준하중<br>(톤) | 5중     | 6중     | 8중     | 9중     | 10중<br>(첫번째) | 10중<br>(두번째) | 11중    | 12중    |
|-------------|--------|--------|--------|--------|--------------|--------------|--------|--------|
| 0.50        | -      | -      | -      | -      | -            | -            | -      | -      |
| 1.50        | -      | -      | -      | -      | -            | 0.11         | -      | -      |
| 2.50        | -      | -      | 1.80   | -      | 0.06         | 1.78         | -      | -      |
| 3.50        | 0.24   | 0.32   | 9.02   | -      | 0.06         | 5.24         | -      | -      |
| 4.50        | 1.07   | 4.32   | 29.66  | -      | 1.34         | 16.38        | -      | 3.64   |
| 5.50        | 1.07   | 8.32   | 23.85  | -      | 10.31        | 11.42        | -      | 3.64   |
| 6.50        | 5.53   | 10.08  | 10.42  | 2.78   | 16.49        | 5.40         | 2.78   | 16.36  |
| 7.50        | 10.95  | 18.08  | 11.22  | 11.11  | 9.53         | 2.90         | 11.11  | 25.45  |
| 8.50        | 12.67  | 10.72  | 4.21   | 5.56   | 4.51         | 2.28         | 5.56   | 16.36  |
| 9.50        | 11.12  | 3.20   | 2.61   | 11.11  | 3.62         | 1.56         | 11.11  | 5.45   |
| 10.50       | 7.44   | 4.00   | 0.80   | 5.56   | 3.96         | 1.17         | 5.56   | 7.27   |
| 11.50       | 7.08   | 2.40   | 0.60   | 2.78   | 2.67         | 1.11         | 2.78   | 1.82   |
| 12.50       | 6.78   | 1.44   | 0.20   | 5.56   | 1.45         | 1.95         | 5.56   | 5.45   |
| 13.50       | 7.14   | 2.72   | 0.20   | 2.78   | 2.62         | 3.29         | 2.78   | 5.45   |
| 14.50       | 6.90   | 3.36   | 0.20   | 8.33   | 4.07         | 4.01         | 8.33   | 7.27   |
| 15.50       | 4.58   | 3.20   | 0.20   | 8.33   | 7.41         | 3.90         | 8.33   | 1.82   |
| 16.50       | 5.12   | 3.20   | 0.80   | 13.89  | 15.71        | 7.08         | 13.89  | -      |
| 17.50       | 3.93   | 5.12   | 0.80   | 5.56   | 10.64        | 16.88        | 5.56   | -      |
| 18.50       | 4.22   | 4.96   | 0.60   | 13.89  | 3.68         | 9.42         | 13.89  | -      |
| 19.50       | 3.09   | 6.72   | 1.20   | 2.78   | 1.62         | 3.40         | 2.78   | -      |
| 20.50       | 0.77   | 6.88   | 1.40   | -      | 0.28         | 0.67         | -      | -      |
| 21.50       | 0.30   | 0.96   | 0.20   | -      | -            | 0.06         | -      | -      |
| 22.50       | -      | -      | -      | -      | -            | -            | -      | -      |
| 23.50       | -      | -      | -      | -      | -            | -            | -      | -      |
| 24.50       | -      | -      | -      | -      | -            | -            | -      | -      |
| 25.50       | -      | -      | -      | -      | -            | -            | -      | -      |
| 26.50       | -      | -      | -      | -      | -            | -            | -      | -      |
| 합계          | 100.00 | 100.00 | 100.00 | 100.00 | 100.00       | 100.00       | 100.00 | 100.00 |

〈표 1.5〉 (계속) 고속국도 차종별 축하중 분포 - (d) 삼축

| 기준하중(톤) | 7종     | 12종    |
|---------|--------|--------|
| 0.75    | -      | -      |
| 2.25    | -      | -      |
| 3.75    | 0.11   | -      |
| 5.25    | 0.11   | 18.18  |
| 6.75    | 2.20   | 16.36  |
| 8.25    | 4.18   | 9.09   |
| 9.75    | 0.66   | 9.09   |
| 11.25   | 0.66   | 3.64   |
| 12.75   | 0.66   | 1.82   |
| 14.25   | 0.66   | 9.09   |
| 15.75   | 1.10   | 1.82   |
| 17.25   | 1.10   | 3.64   |
| 18.75   | 3.74   | 5.45   |
| 20.25   | 3.50   | 5.45   |
| 21.75   | 5.95   | 3.64   |
| 23.25   | 5.27   | 1.82   |
| 24.75   | 18.24  | 9.80   |
| 26.25   | 23.74  | 1.11   |
| 27.75   | 18.68  | -      |
| 29.25   | 8.57   | -      |
| 30.75   | 0.88   | -      |
| 32.25   | -      | -      |
| 33.75   | -      | -      |
| 35.25   | -      | -      |
| 36.75   | -      | -      |
| 38.25   | -      | -      |
| 39.75   | -      | -      |
| 합계      | 100.00 | 100.00 |

〈표 1.6〉 일반국도 차종별 축하중 분포 - (a) 단축(조향축)

| 기준<br>하중<br>(톤) | 1종    | 2종    | 3종    | 4종    | 5종    | 6종    | 7종    | 8종    | 9종    | 10종   | 11종   | 12종   |
|-----------------|-------|-------|-------|-------|-------|-------|-------|-------|-------|-------|-------|-------|
| 0.25            | -     | -     | 1.15  | -     | -     | -     | -     | -     | -     | -     | -     | -     |
| 0.75            | 58.33 | 4.00  | 90.61 | 4.38  | -     | -     | -     | -     | 4.38  | -     | -     | -     |
| 1.25            | 41.67 | 8.00  | 6.42  | 25.46 | 0.36  | 0.16  | -     | -     | 25.46 | -     | -     | -     |
| 1.75            | -     | 44.00 | 1.53  | 28.38 | 0.84  | 0.32  | -     | -     | 28.38 | 0.16  | -     | -     |
| 2.25            | -     | 28.00 | 0.10  | 19.73 | 8.00  | 5.43  | 0.73  | -     | 19.73 | 1.59  | -     | -     |
| 2.75            | -     | 4.00  | 0.10  | 9.62  | 14.22 | 8.31  | 1.94  | -     | 9.62  | 6.70  | 0.06  | -     |
| 3.25            | -     | 6.00  | 0.10  | 3.53  | 9.92  | 3.35  | 3.16  | 3.41  | 3.53  | 4.78  | 0.06  | -     |
| 3.75            | -     | 3.00  | -     | 1.83  | 4.54  | 3.83  | 2.91  | 30.46 | 1.83  | 1.91  | 0.78  | -     |
| 4.25            | -     | 2.00  | -     | 2.07  | 1.91  | 3.19  | 4.61  | 42.48 | 2.07  | 1.28  | 9.69  | 2.78  |
| 4.75            | -     | 1.00  | -     | 1.58  | 2.99  | 3.04  | 5.34  | 11.82 | 1.58  | 3.83  | 25.13 | 16.67 |
| 5.25            | -     | -     | -     | 0.97  | 2.51  | 6.39  | 8.98  | 5.81  | 0.97  | 19.46 | 22.9  | 16.67 |
| 5.75            | -     | -     | -     | 1.22  | 5.14  | 6.07  | 15.29 | 1.40  | 1.22  | 33.65 | 25.85 | 19.44 |
| 6.25            | -     | -     | -     | 0.24  | 8.36  | 5.91  | 25.00 | 0.20  | 0.24  | 22.33 | 12.26 | 5.56  |
| 6.75            | -     | -     | -     | 0.24  | 7.53  | 3.67  | 15.29 | 0.80  | 0.24  | 2.39  | 1.62  | 5.56  |
| 7.25            | -     | -     | -     | 0.49  | 8.24  | 2.56  | 8.25  | 1.40  | 0.49  | 0.32  | 0.89  | 11.11 |
| 7.75            | -     | -     | -     | 0.24  | 8.96  | 4.15  | 4.85  | 0.60  | 0.24  | 0.64  | 0.39  | 13.89 |
| 8.25            | -     | -     | -     | -     | 4.66  | 4.63  | 2.18  | 1.00  | -     | 0.32  | 0.28  | 2.78  |
| 8.75            | -     | -     | -     | -     | 2.51  | 7.03  | 1.46  | 0.40  | -     | 0.32  | 0.06  | 5.56  |
| 9.25            | -     | -     | -     | -     | 1.55  | 5.75  | -     | 0.20  | -     | 0.32  | 0.06  | -     |
| 9.75            | -     | -     | -     | -     | 3.11  | 9.27  | -     | -     | -     | -     | -     | -     |
| 10.25           | -     | -     | -     | -     | 3.46  | 11.02 | -     | -     | -     | -     | -     | -     |
| 10.75           | -     | -     | -     | -     | 1.19  | 5.91  | -     | -     | -     | -     | -     | -     |
| 11.25           | -     | -     | -     | -     | -     | -     | -     | -     | -     | -     | -     | -     |
| 11.75           | -     | -     | -     | -     | -     | -     | -     | -     | -     | -     | -     | -     |
| 12.25           | -     | -     | -     | -     | -     | -     | -     | -     | -     | -     | -     | -     |
| 12.75           | -     | -     | -     | -     | -     | -     | -     | -     | -     | -     | -     | -     |
| 13.25           | -     | -     | -     | -     | -     | -     | -     | -     | -     | -     | -     | -     |
| 합계              | 100   | 100   | 100   | 100   | 100   | 100   | 100   | 100   | 100   | 100   | 100   | 100   |

〈표 1.7〉 (계속) 일반국도 차종별 축하중 분포 -(b) 단축(구동축)

| 기준<br>하중(톤) | 2종     | 3종     | 4종     | 6종     | 7종     | 8종     | 9종     |
|-------------|--------|--------|--------|--------|--------|--------|--------|
| 0.25        | -      | 24.81  | -      | -      | -      | -      | -      |
| 0.75        | -      | 63.7   | 4.14   | -      | -      | -      | 4.14   |
| 1.25        | 4.00   | 5.94   | 17.30  | 0.32   | -      | -      | 17.3   |
| 1.75        | 12.00  | 3.07   | 16.20  | 0.32   | -      | -      | 16.2   |
| 2.25        | 4.00   | 1.05   | 14.25  | 2.08   | 0.49   | -      | 14.25  |
| 2.75        | 8.00   | 0.48   | 10.11  | 5.91   | 1.46   | 1.60   | 10.11  |
| 3.25        | 12.00  | 0.29   | 8.65   | 6.71   | 1.94   | 5.01   | 8.65   |
| 3.75        | 32.00  | 0.19   | 8.04   | 3.35   | 2.91   | 5.41   | 8.04   |
| 4.25        | 12.00  | 0.19   | 6.21   | 4.47   | 5.58   | 2.61   | 6.21   |
| 4.75        | 4.00   | 0.10   | 3.41   | 3.51   | 8.98   | 2.81   | 3.41   |
| 5.25        | 4.00   | -      | 3.05   | 2.40   | 14.32  | 6.01   | 3.05   |
| 5.75        | 4.00   | -      | 0.73   | 6.39   | 20.87  | 12.02  | 0.73   |
| 6.25        | 4.00   | -      | 1.10   | 6.71   | 16.99  | 13.03  | 1.10   |
| 6.75        | -      | 0.10   | 1.22   | 3.35   | 9.95   | 18.24  | 1.22   |
| 7.25        | -      | -      | 1.46   | 4.95   | 9.47   | 12.22  | 1.46   |
| 7.75        | -      | -      | 0.85   | 3.99   | 2.91   | 9.02   | 0.85   |
| 8.25        | -      | -      | 0.73   | 4.15   | 1.70   | 7.21   | 0.73   |
| 8.75        | -      | 0.10   | 0.49   | 4.95   | 0.73   | 2.20   | 0.49   |
| 9.25        | -      | -      | 0.73   | 9.74   | 0.49   | 1.80   | 0.73   |
| 9.75        | -      | -      | 0.61   | 12.46  | 1.21   | 0.40   | 0.61   |
| 10.25       | -      | -      | 0.37   | 11.18  | -      | 0.40   | 0.37   |
| 10.75       | -      | -      | 0.24   | 3.04   | -      | -      | 0.24   |
| 11.25       | -      | -      | 0.12   | -      | -      | -      | 0.12   |
| 11.75       | -      | -      | -      | -      | -      | -      | -      |
| 12.25       | -      | -      | -      | -      | -      | -      | -      |
| 12.75       | -      | -      | -      | -      | -      | -      | -      |
| 13.25       | -      | -      | -      | -      | -      | -      | -      |
| 합계          | 100.00 | 100.00 | 100.00 | 100.00 | 100.00 | 100.00 | 100.00 |

〈표 1.8〉 (계속) 일반국도 차종별 축하중 분포 -(c) 복축

| 기준<br>하중(톤) | 5종     | 6종     | 8종     | 9종     | 10종<br>(첫번째) | 10종<br>(두번째) | 11종    | 12종    |
|-------------|--------|--------|--------|--------|--------------|--------------|--------|--------|
| 0.50        | -      | -      | -      | -      | -            | -            | -      | -      |
| 1.50        | -      | -      | -      | -      | 0.16         | -            | -      | -      |
| 2.50        | 0.36   | 0.64   | 1.80   | -      | 0.16         | 0.80         | -      | -      |
| 3.50        | 5.02   | 3.99   | 9.02   | -      | 3.35         | 3.04         | -      | -      |
| 4.50        | 10.75  | 5.75   | 29.66  | -      | 1.44         | 2.40         | -      | 3.64   |
| 5.50        | 6.33   | 4.31   | 23.85  | -      | 1.12         | 0.96         | -      | 3.64   |
| 6.50        | 3.94   | 2.08   | 10.42  | 2.78   | 1.91         | 1.60         | 2.78   | 16.36  |
| 7.50        | 3.58   | 0.96   | 11.22  | 11.11  | 1.12         | 0.80         | 11.11  | 25.45  |
| 8.50        | 3.70   | 1.92   | 4.21   | 5.56   | 2.55         | 0.96         | 5.56   | 16.36  |
| 9.50        | 3.82   | 3.35   | 2.61   | 11.11  | 3.67         | 1.12         | 11.11  | 5.45   |
| 10.50       | 4.66   | 3.99   | 0.80   | 5.56   | 3.83         | 3.04         | 5.56   | 7.27   |
| 11.50       | 2.75   | 5.43   | 0.60   | 2.78   | 1.28         | 1.44         | 2.78   | 1.82   |
| 12.50       | 2.99   | 2.40   | 0.20   | 5.56   | 0.80         | 1.44         | 5.56   | 5.45   |
| 13.50       | 1.79   | 2.08   | 0.20   | 2.78   | 0.32         | 1.76         | 2.78   | 5.45   |
| 14.50       | 2.75   | 0.96   | 0.20   | 8.33   | 2.07         | 4.95         | 8.33   | 7.27   |
| 15.50       | 3.11   | 4.31   | 0.20   | 8.33   | 11.96        | 7.99         | 8.33   | 1.82   |
| 16.50       | 4.66   | 3.99   | 0.80   | 13.89  | 21.69        | 19.97        | 13.89  | -      |
| 17.50       | 7.77   | 8.15   | 0.80   | 5.56   | 25.52        | 23.96        | 5.56   | -      |
| 18.50       | 11.35  | 10.86  | 0.60   | 13.89  | 12.28        | 14.70        | 13.89  | -      |
| 19.50       | 11.35  | 17.09  | 1.20   | 2.78   | 3.99         | 5.59         | 2.78   | -      |
| 20.50       | 6.69   | 15.34  | 1.40   | -      | 0.96         | 2.40         | -      | -      |
| 21.50       | 2.39   | 2.08   | 0.20   | -      | -            | 0.64         | -      | -      |
| 22.50       | 0.24   | 0.32   | -      | -      | -            | 0.32         | -      | -      |
| 23.50       | -      | -      | -      | -      | -            | -            | -      | -      |
| 24.50       | -      | -      | -      | -      | -            | -            | -      | -      |
| 25.50       | -      | -      | -      | -      | -            | -            | -      | -      |
| 26.50       | -      | -      | -      | -      | -            | -            | -      | -      |
| 합계          | 100.00 | 100.00 | 100.00 | 100.00 | 100.00       | 100.00       | 100.00 | 100.00 |

〈표 1.9〉 (계속) 일반국도 차종별 축하중 분포 - (d) 삼축

| 기준하중(톤) | 7종     | 12종    |
|---------|--------|--------|
| 0.75    | -      | -      |
| 2.25    | -      | -      |
| 3.75    | 0.11   | -      |
| 5.25    | 0.11   | 18.18  |
| 6.75    | 2.20   | 16.36  |
| 8.25    | 4.18   | 9.09   |
| 9.75    | 0.66   | 9.09   |
| 11.25   | 0.66   | 3.64   |
| 12.75   | 0.66   | 1.82   |
| 14.25   | 0.66   | 9.09   |
| 15.75   | 1.10   | 1.82   |
| 17.25   | 1.10   | 3.64   |
| 18.75   | 3.74   | 5.45   |
| 20.25   | 3.50   | 5.45   |
| 21.75   | 5.95   | 3.64   |
| 23.25   | 5.27   | 1.82   |
| 24.75   | 18.24  | 9.80   |
| 26.25   | 23.74  | 1.11   |
| 27.75   | 18.68  | -      |
| 29.25   | 8.57   | -      |
| 30.75   | 0.88   | -      |
| 32.25   | -      | -      |
| 33.75   | -      | -      |
| 35.25   | -      | -      |
| 36.75   | -      | -      |
| 38.25   | -      | -      |
| 39.75   | -      | -      |
| 합계      | 100.00 | 100.00 |

## 1.4 지방도의 축하중 분포

〈표 1.10〉 지방도 차종별 축하중 분포 - (a) 단축 (조향축)

| 기준 하중(톤) | 3종     | 4종     | 5종     | 6종     | 7종     | 8종     | 10종    | 11종    | 12종    |
|----------|--------|--------|--------|--------|--------|--------|--------|--------|--------|
| 0.25     | -      | -      | -      | -      | 0.38   | -      | -      | -      | -      |
| 0.75     | 91.67  | 6.10   | -      | -      | 0.76   | -      | 6.10   | -      | -      |
| 1.25     | 7.64   | 12.8   | 1.15   | -      | 0.60   | -      | 12.80  | -      | -      |
| 1.75     | 0.46   | 45.12  | 2.30   | -      | 1.51   | -      | 45.12  | 0.16   | -      |
| 2.25     | 0.23   | 23.78  | 19.54  | 14.52  | 3.78   | -      | 23.78  | 1.59   | -      |
| 2.75     | -      | 9.15   | 24.14  | 54.84  | 4.54   | -      | 9.15   | 6.70   | 0.06   |
| 3.25     | -      | 2.44   | 26.44  | 12.90  | 7.56   | 3.41   | 2.44   | 4.78   | 0.06   |
| 3.75     | -      | 0.41   | 12.64  | 3.23   | 11.34  | 30.46  | 0.41   | 1.91   | 0.78   |
| 4.25     | -      | 0.20   | 6.90   | 1.61   | 15.12  | 42.48  | 0.20   | 1.28   | 9.69   |
| 4.75     | -      | -      | 5.75   | 1.61   | 17.38  | 11.82  | -      | 3.83   | 25.13  |
| 5.25     | -      | -      | 1.15   | 4.84   | 11.34  | 5.81   | -      | 19.46  | 22.90  |
| 5.75     | -      | -      | -      | 1.61   | 9.83   | 1.40   | -      | 33.65  | 25.85  |
| 6.25     | -      | -      | -      | 4.84   | 9.07   | 0.20   | -      | 22.33  | 12.26  |
| 6.75     | -      | -      | -      | -      | 6.05   | 0.80   | -      | 2.39   | 1.62   |
| 7.25     | -      | -      | -      | -      | 0.76   | 1.40   | -      | 0.32   | 0.89   |
| 7.75     | -      | -      | -      | -      | -      | 0.60   | -      | 0.64   | 0.39   |
| 8.25     | -      | -      | -      | -      | -      | 1.00   | -      | 0.32   | 0.28   |
| 8.75     | -      | -      | -      | -      | -      | 0.40   | -      | 0.32   | 0.06   |
| 9.25     | -      | -      | -      | -      | -      | 0.20   | -      | 0.32   | 0.06   |
| 9.75     | -      | -      | -      | -      | -      | -      | -      | -      | -      |
| 10.25    | -      | -      | -      | -      | -      | -      | -      | -      | -      |
| 10.75    | -      | -      | -      | -      | -      | -      | -      | -      | -      |
| 합계       | 100.00 | 100.00 | 100.00 | 100.00 | 100.00 | 100.00 | 100.00 | 100.00 | 100.00 |

〈표 1.11〉 (계속) 지방도 차종별 축하중 분포 - (b) 단축 (구동축)

| 기준<br>하중(톤) | 3종     | 4종     | 6종     | 7종     | 8종     | 9종     | 9종     | 10종    | 11종    | 12종    |
|-------------|--------|--------|--------|--------|--------|--------|--------|--------|--------|--------|
| 0.25        | 22.92  | -      | -      | -      | -      | -      | -      | -      | -      | -      |
| 0.75        | 61.81  | 4.88   | -      | -      | -      | 4.88   | 6.10   | -      | -      | -      |
| 1.25        | 10.19  | 10.37  | -      | -      | -      | 10.37  | 12.8   | -      | -      | -      |
| 1.75        | 3.24   | 21.95  | -      | -      | -      | 21.95  | 45.12  | 0.16   | -      | -      |
| 2.25        | 0.69   | 15.85  | 6.45   | -      | -      | 15.85  | 23.78  | 1.59   | -      | -      |
| 2.75        | 0.46   | 12.8   | 24.19  | 9.09   | 1.60   | 12.80  | 9.15   | 6.70   | 0.06   | -      |
| 3.25        | 0.46   | 9.15   | 35.48  | -      | 5.01   | 9.15   | 2.44   | 4.78   | 0.06   | -      |
| 3.75        | 0.23   | 5.49   | 11.29  | 18.18  | 5.41   | 5.49   | 0.41   | 1.91   | 0.78   | -      |
| 4.25        | -      | 7.32   | 8.06   | 63.64  | 2.61   | 7.32   | 0.20   | 1.28   | 9.69   | 2.78   |
| 4.75        | -      | 5.49   | 1.61   | 9.09   | 2.81   | 5.49   | -      | 3.83   | 25.13  | 16.67  |
| 5.25        | -      | 4.88   | 3.23   | -      | 6.01   | 4.88   | -      | 19.46  | 22.90  | 16.67  |
| 5.75        | -      | 0.61   | 3.23   | -      | 12.02  | 0.61   | -      | 33.65  | 25.85  | 19.44  |
| 6.25        | -      | 0.61   | 3.23   | -      | 13.03  | 0.61   | -      | 22.33  | 12.26  | 5.56   |
| 6.75        | -      | 0.61   | 3.23   | -      | 18.24  | 0.61   | -      | 2.39   | 1.62   | 5.56   |
| 7.25        | -      | -      | -      | -      | 12.22  | -      | -      | 0.32   | 0.89   | 11.11  |
| 7.75        | -      | -      | -      | -      | 9.02   | -      | 0.64   | 0.39   | 13.89  | -      |
| 8.25        | -      | -      | -      | -      | 7.21   | -      | -      | 0.32   | 0.28   | 2.78   |
| 8.75        | -      | -      | -      | -      | 2.20   | -      | -      | 0.32   | 0.06   | 5.56   |
| 9.25        | -      | -      | -      | -      | 1.80   | -      | -      | 0.32   | 0.06   | -      |
| 9.75        | -      | -      | -      | -      | 0.40   | -      | -      | -      | -      | -      |
| 10.25       | -      | -      | -      | -      | 0.40   | -      | -      | -      | -      | -      |
| 10.75       | -      | -      | -      | -      | -      | -      | -      | -      | -      | -      |
| 11.25       | -      | -      | -      | -      | -      | -      | -      | -      | -      | -      |
| 11.75       | -      | -      | -      | -      | -      | -      | -      | -      | -      | -      |
| 12.25       | -      | -      | -      | -      | -      | -      | -      | -      | -      | -      |
| 12.75       | -      | -      | -      | -      | -      | -      | -      | -      | -      | -      |
| 13.25       | -      | -      | -      | -      | -      | -      | -      | -      | -      | -      |
| 합계          | 100.00 | 100.00 | 100.00 | 100.00 | 100.00 | 100.00 | 100.00 | 100.00 | 100.00 | 100.00 |

〈표 1.12〉 (계속) 지방도 차종별 축하중 분포 - (c) 복축

| 기준하중<br>(톤) | 5종     | 6종     | 8종     | 9종     | 10종<br>(첫번째) | 10종<br>(두번째) | 11종    | 12종    |
|-------------|--------|--------|--------|--------|--------------|--------------|--------|--------|
| 0.50        | -      | -      | -      | -      | -            | -            | -      | -      |
| 1.50        | -      | -      | -      | -      | 0.16         | -            | -      | -      |
| 2.50        | -      | -      | 1.80   | -      | 0.16         | 0.80         | -      | -      |
| 3.50        | 2.30   | 30.65  | 9.02   | -      | 3.35         | 3.04         | -      | -      |
| 4.50        | 22.99  | 29.03  | 29.66  | -      | 1.44         | 2.4          | -      | 3.64   |
| 5.50        | 13.79  | 19.35  | 23.85  | -      | 1.12         | 0.96         | -      | 3.64   |
| 6.50        | 10.34  | 3.23   | 10.42  | 2.78   | 1.91         | 1.60         | 2.78   | 16.36  |
| 7.50        | 2.30   | 1.61   | 11.22  | 11.11  | 1.12         | 0.80         | 11.11  | 25.45  |
| 8.50        | 1.15   | 1.61   | 4.21   | 5.56   | 2.55         | 0.96         | 5.56   | 16.36  |
| 9.50        | 8.05   | -      | 2.61   | 11.11  | 3.67         | 1.12         | 11.11  | 5.45   |
| 10.50       | 18.39  | -      | 0.80   | 5.56   | 3.83         | 3.04         | 5.56   | 7.27   |
| 11.50       | 8.05   | 8.06   | 0.60   | 2.78   | 1.28         | 1.44         | 2.78   | 1.82   |
| 12.50       | 9.20   | 4.84   | 0.20   | 5.56   | 0.80         | 1.44         | 5.56   | 5.45   |
| 13.50       | 2.30   | 1.61   | 0.20   | 2.78   | 0.32         | 1.76         | 2.78   | 5.45   |
| 14.50       | 1.15   | -      | 0.20   | 8.33   | 2.07         | 4.95         | 8.33   | 7.27   |
| 15.50       | -      | -      | 0.20   | 8.33   | 11.96        | 7.99         | 8.33   | 1.82   |
| 16.50       | -      | -      | 0.80   | 13.89  | 21.69        | 19.97        | 13.89  | -      |
| 17.50       | -      | -      | 0.80   | 5.56   | 25.52        | 23.96        | 5.56   | -      |
| 18.50       | -      | -      | 0.60   | 13.89  | 12.28        | 14.7         | 13.89  | -      |
| 19.50       | -      | -      | 1.20   | 2.78   | 3.99         | 5.59         | 2.78   | -      |
| 20.50       | -      | -      | 1.40   | -      | 0.96         | 2.40         | -      | -      |
| 21.50       | -      | -      | 0.20   | -      | -            | 0.64         | -      | -      |
| 22.50       | -      | -      | -      | -      | -            | 0.32         | -      | -      |
| 23.50       | -      | -      | -      | -      | -            | -            | -      | -      |
| 24.50       | -      | -      | -      | -      | -            | -            | -      | -      |
| 25.50       | -      | -      | -      | -      | -            | -            | -      | -      |
| 26.50       | -      | -      | -      | -      | -            | -            | -      | -      |
| 합계          | 100.00 | 100.00 | 100.00 | 100.00 | 100.00       | 100.00       | 100.00 | 100.00 |

〈표 1.13〉 (계속) 지방도 차종별 축하중 분포 - (d) 삼축

| 기준하중(톤) | 7종     | 12종    |
|---------|--------|--------|
| 0.75    | -      | -      |
| 2.25    | -      | -      |
| 3.75    | 0.11   | -      |
| 5.25    | 0.11   | 18.18  |
| 6.75    | 2.20   | 16.36  |
| 8.25    | 4.18   | 9.09   |
| 9.75    | 0.66   | 9.09   |
| 11.25   | 0.66   | 3.64   |
| 12.75   | 0.66   | 1.82   |
| 14.25   | 0.66   | 9.09   |
| 15.75   | 1.10   | 1.82   |
| 17.25   | 1.10   | 3.64   |
| 18.75   | 3.74   | 5.45   |
| 20.25   | 3.50   | 5.45   |
| 21.75   | 5.95   | 3.64   |
| 23.25   | 5.27   | 1.82   |
| 24.75   | 18.24  | 9.80   |
| 26.25   | 23.74  | 1.11   |
| 27.75   | 18.68  | -      |
| 29.25   | 8.57   | -      |
| 30.75   | 0.88   | -      |
| 32.25   | -      | -      |
| 33.75   | -      | -      |
| 35.25   | -      | -      |
| 36.75   | -      | -      |
| 38.25   | -      | -      |
| 39.75   | -      | -      |
| 합계      | 100.00 | 100.00 |

## 1.5 교통 하중

포장 설계와 밀접한 관련이 있는 교통류 특성으로는 속도, 교통량, 그리고 교통 하중이 있다. 차량의 속도는 동역학적 특성으로 인해 포장 구조 해석 및 재료 거동 분석에 많은 영향을 미친다. 기존의 포장 해석 및 설계는 정역학적 특성을 이용하였으므로 차량의 속도에 대한 고려가 미비하였다. 미국의 SHRP (Superior Highway Research Program)의 연구에서는 동적인 특성을 고려하기 위해 재료 선택 시 속도에 따라 강성을 한 단계 높은 재료를 선택하는 등의 보조적인 수단으로만 사용되어 왔다. 그러나 최근의 아스팔트 포장에 관한 연구에서는 아스팔트 재료의 물성에 영향을 미치는 재하속도를 반영하기 위한 노력을 진행하였다. 최근에는 아스팔트 재료에 대한 동적 해석을 수행하기도 한다.

교통량은 포장 설계에 있어 가장 중요한 인자로 주어진 지점에서 단위 시간 동안 통과하는 차량의 수로 정의한다. 교통량을 구하는 방법은 기존의 수동식 방법에서 WIM (Weigh in Motion) 등의 자동 측정장비 이용하는 방식에 이르기까지 다양하다. 그러나 차량의 통행 패턴에 따라 교통량은 변화하므로 좀더 정확한 분석을 위해서 차두 시간을 이용하여 교통량을 추정하기도 한다. 교통 하중은 포장체에 재하된 차량의 바퀴를 통해 포장체 내에 발생한 응력의 크기와 상관이 있다. 교통 하중을 측정하기 위해서 앞서 설명한 WIM 장비, 이동식 측정 장비, 검문소 등을 이용한다. 본 장에서는 이와 같은 교통 하중과 관련된 인자들에 대해 자세히 살펴보고 포장설계에서는 이를 어떻게 표준화 하였는지를 살펴보도록 하자.

## 1.6 차량 및 교통 흐름 특성

포장체의 거동 및 파손에 가장 큰 영향을 주는 요소 중의 하나는 교통하중이다. 교통하중 정량화 방법에 있어 설계에 반영하기 위해서 주로 고려되는 사항은 하중크기, 하중재하 위치, 바퀴 및 축수, 교통량 및 시간대별 분포 등이 있다. 하중 크기는 차량에 따라 모두 다르기 때문에 정량화하기가 쉽지 않다. 그러나 하중의 크기에 따라 포장에 누적되는 손상 정도가 크기 때문에 설계 인자로서 고려되어야 한다. 국내의 경우 축 하중 10톤, 총 중량 40톤이라는 법적 제한이 있어 이를 초과하는 차량은 주행할 수 없다. 그러나 일반국도나 지방도의 경우 과적차량이 주행하는 경우가 있어 차종별 하중 자료는 설계에 있어 필수적이다. 포장의 파손 형상은 누적손상개념에서 볼 때, 포장체에 재하되는 반복 차량하중에 의해 발생하므로 설계기간 동안에 통과 차량 대수 또한 중요하다. 그 예로 중차량 비율이 높을수록, 일평균 교통량(AADT)이 많을수록 포장 파손은 가속화되는 것을 들 수 있다.

도로포장 구조 설계에 차량 및 교통 흐름 특성을 각 설계 등급별로 차등화하여 산정하도록 하였으며, <표 1.14>와 같다. 중요도가 높은 “설계 등급 1”은 인근 지점에서 직접 조사를 하거나 인접 지역 교통량 자료를 이용하여 설계를 한다. “설계 등급 2, 3”은 도로 등급별로 제시한 값을 사용한다.

<표 1.14> 설계 등급별 교통 관련 인자 산정 방법

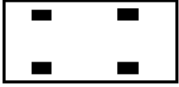
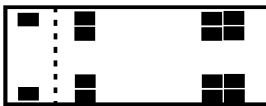
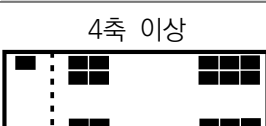
| 설계 등급 | 산정 방법                         |
|-------|-------------------------------|
| 1     | 인근 지점 직접 조사 또는 인접지역 교통량 자료 이용 |
| 2     | 도로 등급별 제시값 사용                 |
| 3     | 도로 등급별 제시값 사용                 |

## 1.7 차량의 특성

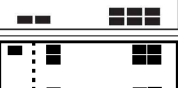
### (1) 국내 차종 분류 체계

차량의 분류는 통상 각 도로 관련 공공기관의 법적인 제한에 따라 이루어지거나 교통 자료의 수집 편의성에 따라 이루어진다. 국내 차종분류는 고속국도와 지방도는 8종으로 분류하고 일반국도는 12종으로 구분한다. 외국의 경우 포장 설계를 위해 차종 구분은 크게 승용차와 트럭 두 종류로 구분되며 세분화하면 15종까지 상세하게 함으로서 분석의 정확성을 향상시키기도 한다. 고속국도 차종분류 체계는 <표 1.15>와 같다. 고속국도는 전체 차량을 승용차, 버스, 트럭, 트레일러 4종류로 구분하였다. 일반국도 차종분류 체계는 <표 1.16>과 같다. 일반국도는 버스와 3축 이하의 차량에 대해서는 중량을 기준으로 분류하고 4축 이상의 트럭에 대해서는 축 수와 축 형태를 기준으로 분류하고 있다. 본 도로포장 설계에서는 12종으로 차량을 구분하고 있다.

〈표 1.15〉 고속국도 차종 분류 체계

| 차종 분류          | 차축 구성  |                                                                                     | 정의                                                 |
|----------------|--------|-------------------------------------------------------------------------------------|----------------------------------------------------|
| 1종<br>(승용차)    | 2축 4륜  |    | 2축 4륜 구조의 1단위(Single Unit) 차량                      |
| 2종<br>(소형버스)   | 2축 4륜  |    | 버스 형식의 2축 4륜 또는 2축 6륜 구조의 1단위 차량                   |
|                | 2축 6륜  |    |                                                    |
| 3종<br>(보통버스)   | 2축 6륜  |    | 중형 버스 형식의 2축 6륜 구조의 1단위 차량으로 17인승 이상의 버스           |
| 4종<br>(소형트럭)   | 2축 4륜  |    | 적재 중량 1톤 미만의 2축 4륜 구조의 트럭                          |
| 5종<br>(보통트럭)   | 2축 6륜  |    | 적재 중량 8톤 미만의 2축 6륜 구조의 트럭                          |
| 6종<br>(대형트럭)   | 3축 10륜 |    | 적재 중량 8톤 이상의 3축 10륜 구조의 트럭                         |
| 7종<br>(세미트레일러) | 4축 이상  |   | 견인차와 피견인차로 조합된 차량으로 견인차는 2축이상, 피견인차도 2축이상으로 구성된 차량 |
|                | 4축 이상  |  |                                                    |
|                | 4축 이상  |  |                                                    |
| 8종<br>(풀 트레일러) | 4축 이상  |  | 견인차와 피견인차로 조합된 차량으로 견인차는 2축이상, 피견인차도 2축이상으로 구성된 차량 |
|                | 4축 이상  |  |                                                    |

〈표 1.16〉 일반국도-12종 분류 체계

| 차종 분류 | 차축 형태                                                                                      | 정의                                                      |
|-------|--------------------------------------------------------------------------------------------|---------------------------------------------------------|
| 1종    | 2축 4륜     | '경차'라고 불리는 모든 차량<br>일반 세단형식 차량<br>16인승 미만 SUV, RV, 승합차량 |
| 2종    | 2축 6륜     | 중, 대형 버스                                                |
| 3종    | 2축 6륜     | 화물 수송용 트럭으로 2축의 최대 적재량<br>1~2.5톤 미만의 1단위 차량             |
| 4종    | 2축 6륜     | 화물 수송용 트럭으로 2축의 최대 적재량<br>2.5톤 이상의 1단위 차량               |
| 5종    | 3축 10륜    | 화물 수송용 트럭으로 3축 1단위 차량                                   |
| 6종    | 4축 12륜    | 화물 수송용 트럭 형식으로 4축 1단위 차량                                |
| 7종    | 5축 16륜   | 화물 수송용 트럭 형식으로 5축 1단위 차량                                |
| 8종    | 4축 14륜  | 화물 수송용 세미 트레일러 형식으로 4축<br>2단위 차량                        |
| 9종    | 4축 14륜  | 화물 수송용 풀트레일러 형식으로 4축 2단위<br>차량                          |
| 10종   | 5축 18륜  | 화물 수송용 세미 트레일러 형식으로 5축<br>2단위 차량                        |
| 11종   | 5축 18륜  | 화물 수송용 풀트레일러 형식으로 5축 2단위<br>차량                          |
| 12종   | 6축 22륜  | 화물 수송용 세미 트레일러 형식으로 6축 이상<br>2단위 차량                     |

## (2) 차량의 하중 크기

차량 하중은 차종, 축, 상재하중 등에 따라 큰 차이를 나타낸다. 이러한 특성은 실제 공용중인 도로의 축하중 조사 결과를 보면 그 형태를 알 수 있다. 본 도로포장 구조 설계 연구에서는 도로를 주행하는 차량의 축하중을 조사하여, 차량의 하중 특성을 정량화하였으며, 세부 내용은 다음과 같다.

### 가. 축하중 조사 방법

국내에서 차량의 축하중 정보를 얻을 수 있는 방안은 다음의 네 가지이다.

첫째는 과적 차량 단속을 위해 차량의 중량을 측정하고 있는 검문소의 기록을 이용하는 방안이다. 그러나 과적 검문소 기록은 일반적으로 과적으로 판단되는 차량의 중량만을 측정함으로 차종별 대표성을 지니고 있다고 말할 수 없다. 이를 바탕으로 교통하중을 정량화할 경우 매우 보수적인 접근 방법이 되며, 현실과 동떨어질 수 있는 문제점이 있다.

둘째는 일반국도에 설치되기 시작한 WIM 을 이용하는 것으로, 많은 수의 표본을 짧은 시간에 획득할 수 있는 장점이 있다. 비교적 정확한 하중 분포를 파악할 수 있고 연속적인 하중 정보의 획득이 가능하다.

셋째는 고속국도를 진출입하는 화물 차량의 하중 측정치를 이용하여 차량의 중량 정보를 얻는 방안이다. 고속국도를 진출입하는 모든 대형 차량의 중량이 진입할 당시에 측정되므로 고속국도 차량들만의 중량 정보를 획득할 수 있다. 이 방법은 고속국도의 중량 분포를 파악하는 것을 주목적으로 채택되었으나 승용차 및 9인승 이하의 소형 버스들의 중량 자료를 얻는 것이 어렵고, 과적 차량의 통행이 허용되지 않으므로 모든 도로를 대표하는 자료로 사용하는데 어려움이 따른다.

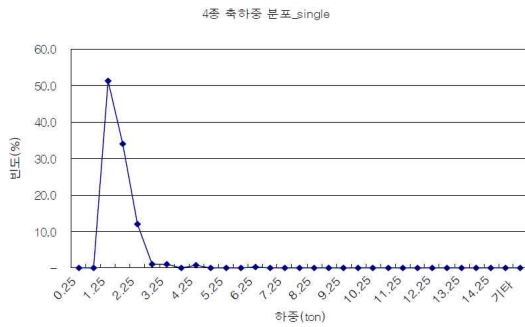


〈그림 1.1〉 축하중 조사방법(이동식 및 검문소)

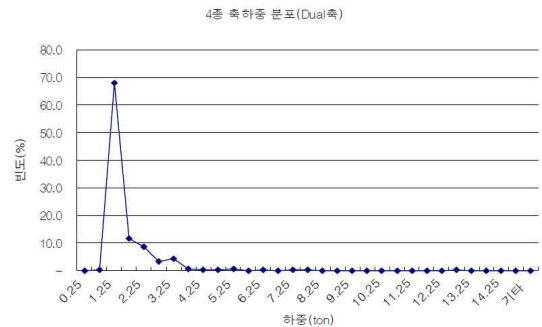
넷째는 이동식 축하중 측정 장비를 이용하여 차량의 축하중을 조사하는 방법이다. 이 방법은 비교적 차량의 대표 축하중을 측정할 수 있는 방안 중에 하나이다. 하지만 조사에 따른 인력과 비용이 많이 소요되며 사고발생 위험성이 높다.

#### 나. 차종별 하중 분포

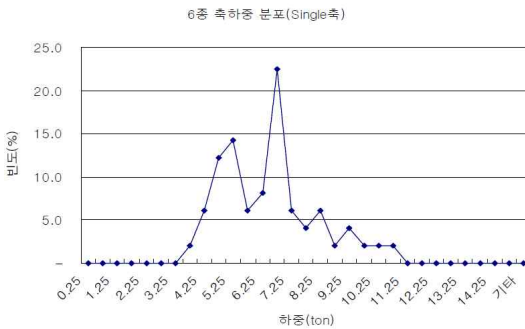
동일한 축이라 할지라도 차종에 따라 포장에 가해지는 하중 크기는 다르고 일반적으로 차량이 대형화 될수록 그 영향은 크다. 다음은 전국 27개의 지방도 축하중 조사를 실시하여 이에 대한 각 차종에 따른 축별 분포를 분석하였다.



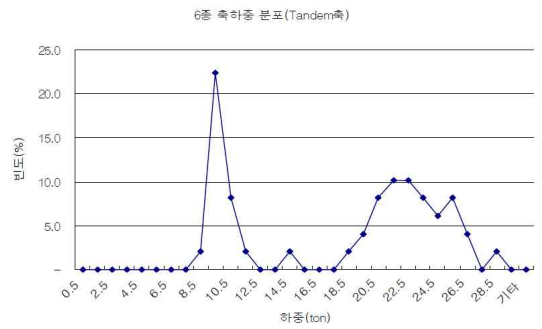
(a) 4중 Single 축 하중분포(11종 구분)



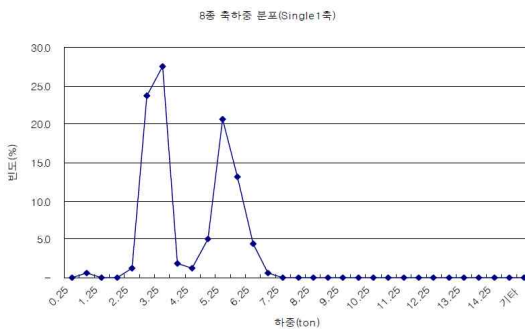
(b) 4중 Dual 축 하중분포(11종 구분)



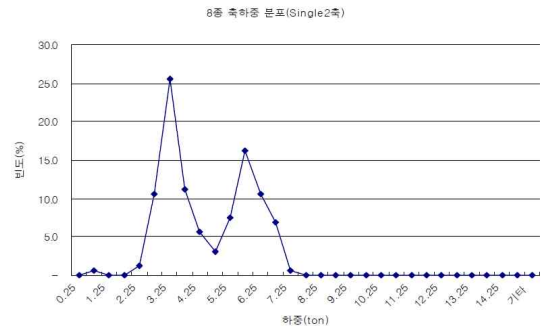
(c) 6중 Single 축 하중분포(11종 구분)



(d) 6중 Tandem 축 하중분포(11종 구분)



(e) 8중 Single1 축 하중분포(11종 구분)



(f) 8중 Single2 축 하중분포(11종 구분)

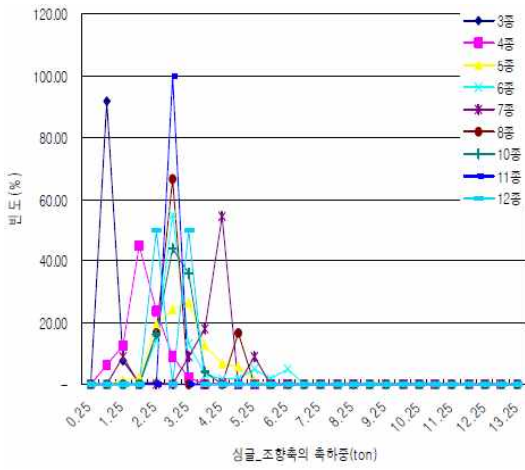
〈그림 1.2〉 차종별 축하중 분포(지방도)

4중 차종의 경우 〈그림 1.2〉의 a 와 b 에 따르면 앞뒷바퀴 모두 축하중이 약 2.75톤인 경우가 50% 이상을 차지하였다. 축 위치에 따른 축하중 분포상의 차이는 크지 않은 것으로 나타났다. 중형 트럭을 대표하고 있는 6중 트럭의 경우 〈그림 1.2〉의 c와 d에서 보인 것과 같이 하중 분포 특성은 단축과

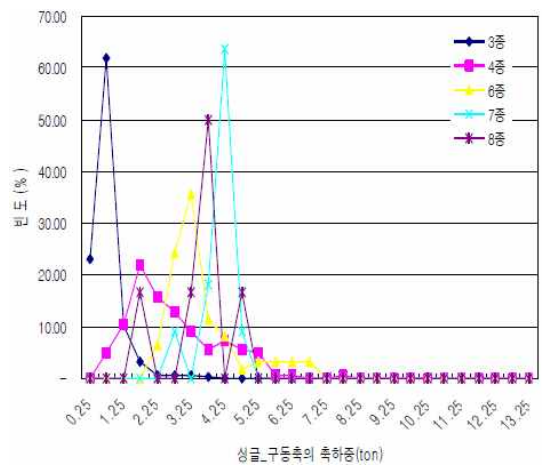
복축의 중량 분포가 다르다. 단축의 경우는 5~6톤 부근을 제외하면 정규 분포 형태를 보여주고 있다. 그러나, 복축의 경우는 차량에 화물이 가득 찬 상태와 빈 상태의 무게 변화로 인해서 8~12톤 사이와 18~26톤 사이에서 최대값을 각각 보여주고 있다. 이와 같은 현상은 <그림 1.2>의 e와 f 인 8종 트럭에서도 나타나고 있는데 전축의 경우에는 3.75톤과 5.75톤에서, 후축의 경우는 3.75톤 그리고 6.25톤에서 각각 최대값을 보이고 있다. 기본적으로 대형 차종의 중량 분포는 정규 분포 양상을 띠다고 볼 수 없다. 특히 화물 트럭의 경우 통계학에서 제시하고 있는 기본적인 분포로는 설명하기 어려운 일종의 쌍봉 낙타 등과 같은 분포를 보여주고 있다. 또한 단축만의 하중 제한 규정으로 인해 복축의 하중이 외국에 비해 상대적으로 높으며, 동일한 복축이라 하더라도 트레일러의 경우 King pin이 위치한 곳의 하중이 제일 높았다.

#### 다. 축별 하중 분포

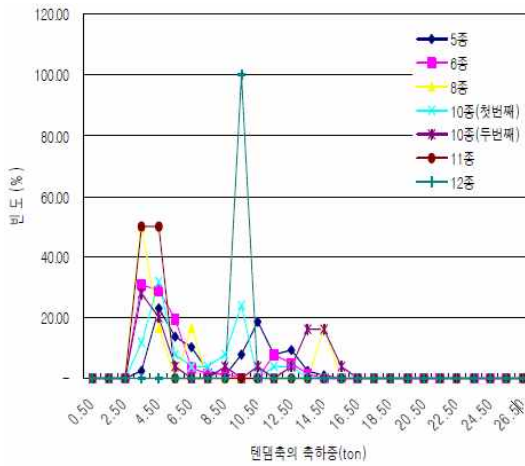
각 차종의 축별 하중 분포를 분석한 결과, <그림 1.3>~<그림 1.4>와 같다. 전체적으로 차종이 커질수록 축하중도 커지는 경향이 나타났으며 지방도 보다는 일반 국도의 축하중이 크게 조사되었다. 단축단륜의 경우는 분포 폭이 좁은 반면 일반국도에서는 넓게 분포하였으며 4.25톤을 기준으로 두 개의 그룹으로 구분 지을 수 있었다. 이는 일반국도에 상재하중이 큰 차량이 많이 다닌다는 것을 의미한다. 단축복륜의 경우도 단축단륜과 유사한 경향을 나타냈으나, 일반국도의 경우에는 그룹을 나눌 수가 없었으며 넓게 분산되어 있었다. 복축복륜의 경우 지방도에서는 4.25톤 근처에 많이 분포한 반면 일반국도는 14~20톤 사이에 많이 분포하였다. 삼축복륜의 경우는 많이 조사가 되지 않았으며, 지방도에서는 차종별로 큰 차이가 없었으나 일반국도에서는 12종 차종의 축하중이 더 크게 나타났다.



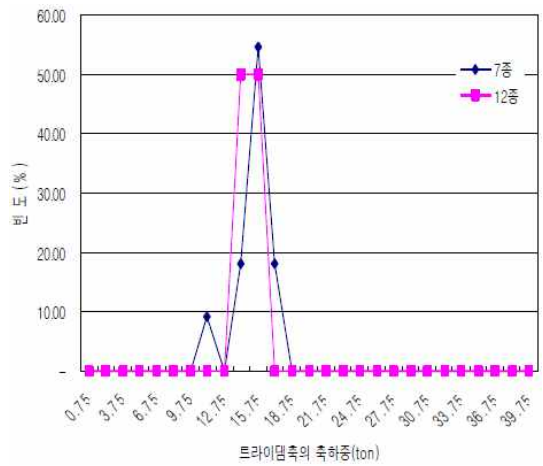
(a) 단축단륜(싱글 조향축)



(b) 단축복륜(싱글 구동축)

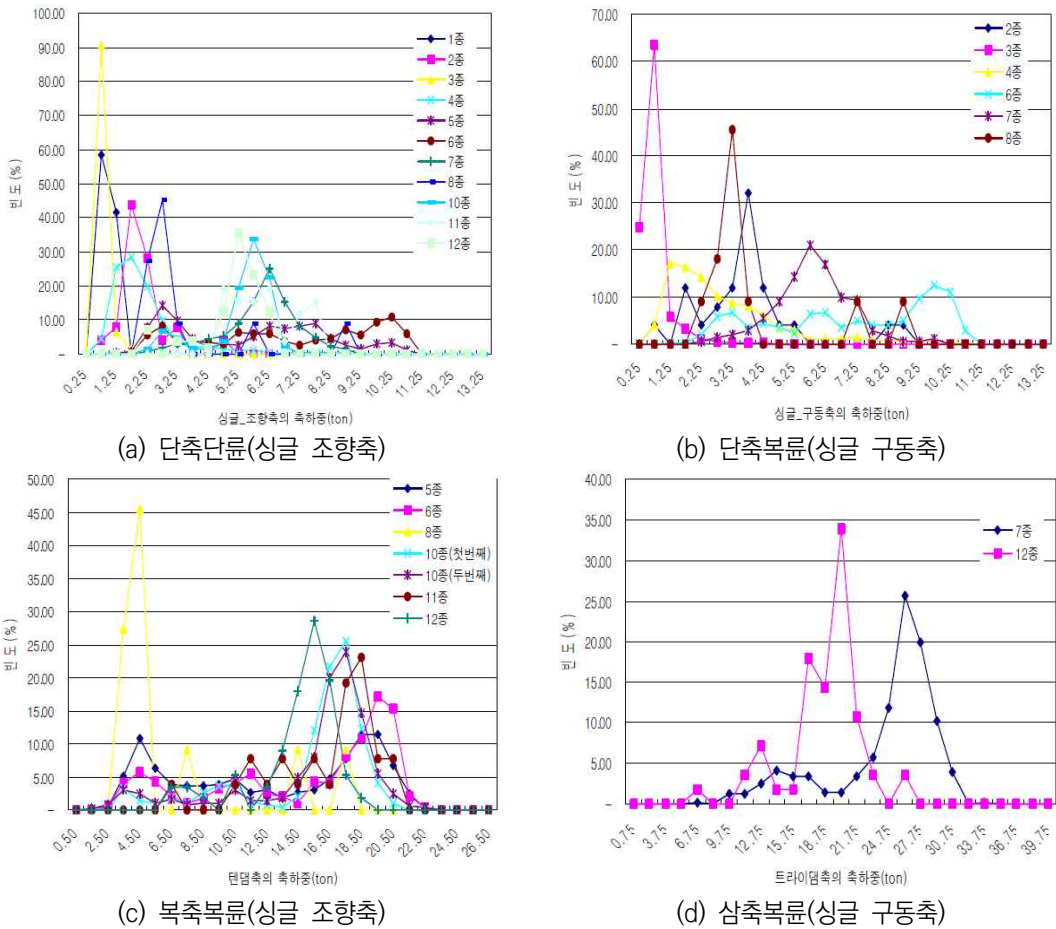


(c) 복축복륜(Tandem)



(d) 삼축복륜(Tridem)

〈그림 1.3〉 축별 축하중 분포(지방도)

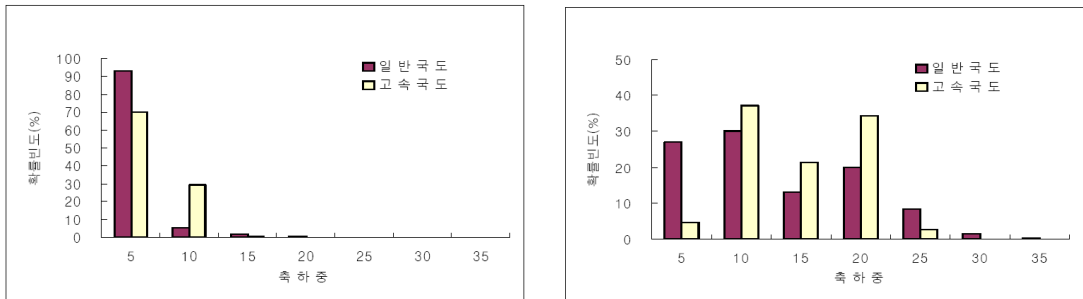


〈그림 1.4〉 축별 축하중 분포(일반국도)

## 라. 도로 등급별 축하중 분포

〈그림 1.5〉는 고속국도와 일반국도 두 도로상에서 측정된 단축의 중량 분포를 비교한 결과로 단축의 절대 다수가 5톤 미만의 하중임을 알 수 있다. 일반국도의 경우 주행하는 차량의 약 90% 이상이 5톤 미만이지만 고속국도의 경우는 약 70% 정도이다. 10톤으로 정해진 법적 하중을 초과하는 경우가 일반국도는 약 1.8% 정도로 보고되었으나 고속국도는 법적인 처벌이 가해지는 최대 11톤을 초과하는 경우가 거의 없었다.

복축복륜의 하중을 비교해보면 고속국도나 일반국도 모두 일반적인 정규 분포나 포이손 분포 형태를 따르지 않고 쌍봉 분포를 보여주고 있다. 법적 제한 하중인 20톤 이상 되는 차종이 일반국도의 경우 11%로 매우 높은 값을 보여주고 있으나 고속국도의 경우는 거의 0% 가깝다. 그러나 고속국도의 경우, 법적 제한 하중 근처에 해당하는 15~20톤의 무게로 주행하는 축이 전체의 34%로 높은 비중을 차지하였으나, 일반국도는 19%에 불과하였다. 한편으로 공차에 해당하는 10톤 미만의 복축은 일반국도가 높은 값을 보여주고 있다.

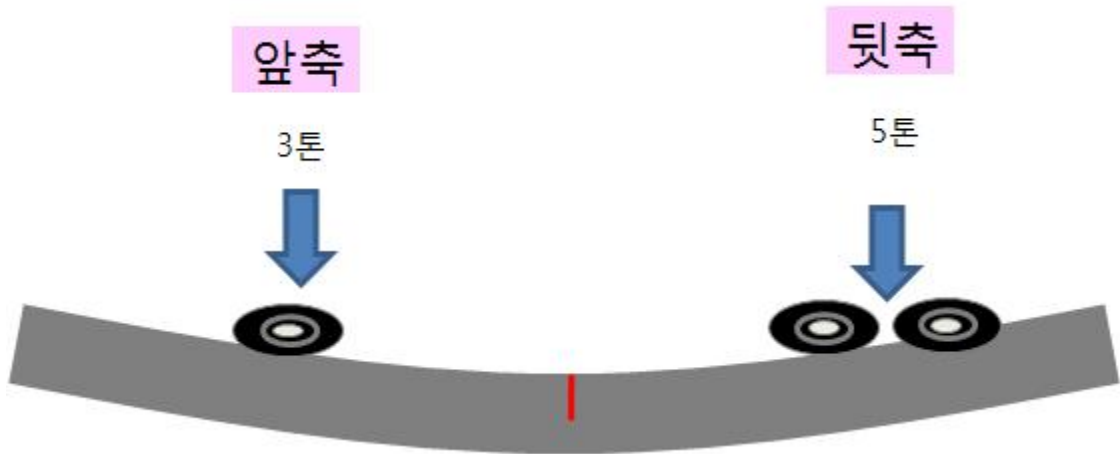


〈그림 1.5〉 단축 및 복축복륜의 축하중(톤) 비교

#### 마. 앞뒷축 축하중 분포

도로포장 구조 설계 내 아스팔트 콘크리트 포장 해석시에서는 교통하중에 대한 고려를 축단위로 포장의 거동을 파악한다. 이에 따라서 교통하중에 대한 축하중 분포가 필요하다. 이와는 달리 시멘트 콘크리트 포장에서 구조해석시에는 축단위가 아닌 차량단위로 하중을 고려하여 거동을 파악하며, 특히 〈그림 1.6〉과 같이 온도차에 의한 슬래브의 상향 컬링 상태에서는 차량의 앞뒷축의 하중 분포가 필요하다.

이러한 앞뒷축의 하중은 실제 운행하고 있는 화물차의 개별 차량 자료를 이용하는 것이 가장 정확하나, 현실적으로 적용하기에는 어렵다. 이러한 화물차의 앞뒤 하중 분포 관계는 화물 차량 종류, 화물칸내 화물의 적재 위치, 적재량에 따라 다르게 나타난다. 실측한 축하중 자료를 이용하여 이를 정량화하였다.



〈그림 1.6〉 시멘트 콘크리트 포장의 상향 켈링시 하향균열 예측 위한 구조해석 형태

a. 승용차(1종)

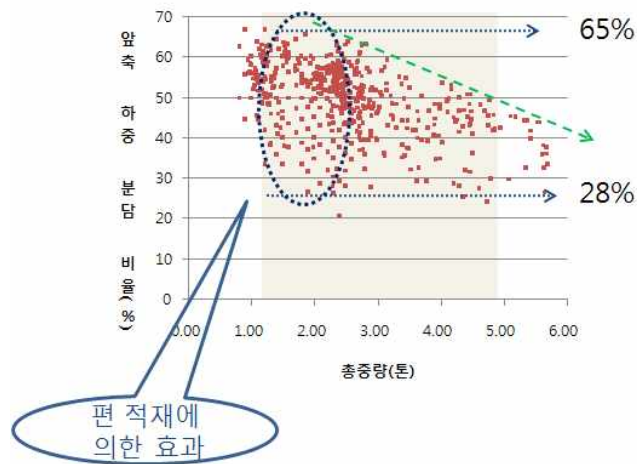
승용차에 대한 앞뒤 축 상관관계를 분석한 결과, 총중량 대비 앞축의 하중 분담 비율은 〈그림 1.7〉에서 보는 바와 같이 최소 45%에서 최대 65%로 나타났으며, 총중량이 변화함에 따라 하중 분담 비율이 변화하는 경향이 보이지 않았다. 이러한 원인으로서는 인원 탑승시 앞 또는 뒤좌석에 타는 것은 임의적으로 발생되기 때문이다.

b. 버스(2종)

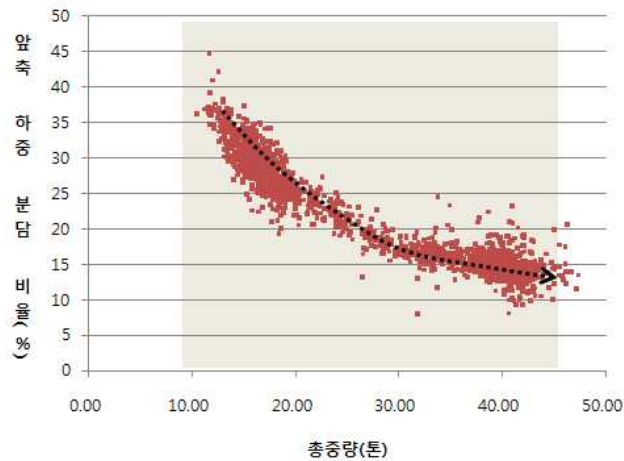
버스에 대한 앞뒤 축 상관관계를 분석한 결과, 총중량 대비 앞축의 하중 분담 비율은 크게 중형버스(콤비버스)와 대형버스에 따라 앞축 하중 분담 비율이 변동하였다. 전자는 평균적으로 앞축의 하중분담 비율이 약 50 %, 후자는 약 35% 정도로 나타났다. 승용차와 마찬가지로, 버스는 인원 수송을 목적으로 하고 있어 총하중에 대한 하중변동 관계가 뚜렷하게 나타나지 않았다.

c. 단일트럭(3~7종)

단일 트럭에 대한 앞뒤 축 상관관계를 분석한 결과, 총중량 대비 앞축의 하중 분담 비율은 <그림 3.7>의 (a)와 같이 나타났다. 총중량이 변화함에 따라 앞축의 하중 분담 비율은 감소하였으며, 총중량이 공차중량일 경우에는 하중분담비율의 변동 폭이 크며, 만적중량으로 갈수록 수렴되는 경향을 보였다. 이는 공차 중량 부근에서는 화물의 편적재로 인한 하중 분담 비율의 변동때문으로 판단된다.



(a) 단일트럭의 앞축 하중 분담율



(b) 10종 트레일러 트럭의 앞축 하중 분담율

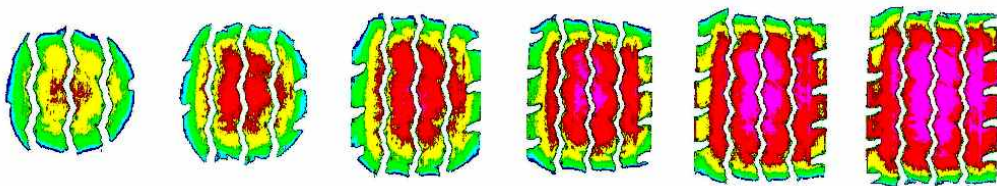
<그림 1.7> 앞축 하중 분담비율

#### d. 트레일러 트럭(8~12중)

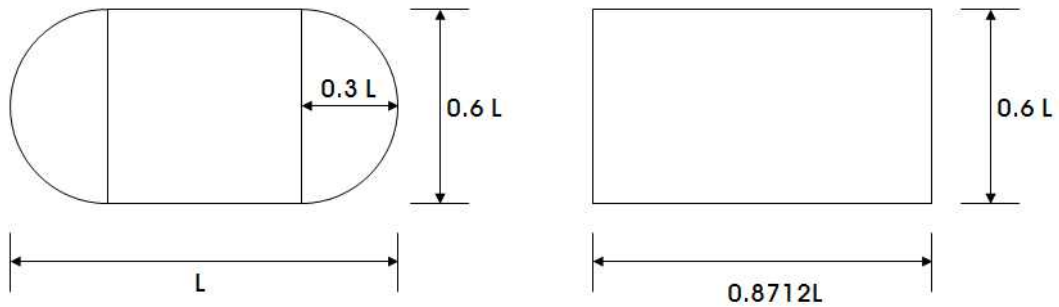
트레일러 트럭에 대한 앞뒤 축 상관관계를 분석한 결과, 총중량 대비 앞축의 하중 분담 비율은 <그림 1.7>의 (b)와 같다. 그림에서 보는 바와 같이, 총중량이 변화함에 따라 앞축의 하중 분담 비율은 곡선 형태로 감소됨을 알 수 있다. 특징적으로 단일 트럭에서 나타났던 공차 중량 부근에서 하중 분담 비율의 큰 변동은 보이지 않았다. 즉, 총하중이 증가함에 따라 일정한 변동폭내에서 하중비율이 감소되고 있는 형태로 나타났다.

### (3) 타이어 압력 및 접지 면적

포장 설계를 하기 위해 타이어와 포장면 사이의 접지 면적을 알아야 한다. 일반적으로 차량의 하중이 증가함에 따라 타이어 접지 면적은 원형에서 타원형으로 넓어지며 그 추세를 나타내면 <그림 1.8>과 같다. 그러나 일반적으로 포장 해석시 접지면적은 축하중을 타이어 압력으로 나눈 값을 사용하는데 이는 포장 거동의 개략적 형태를 알아보는 것이다.



<그림 1.8> 축하중 크기에 따른 접지 면적의 변화



<실제 타이어 접지면적>

<등가 타이어 접지면적>

<그림 1.9> 차량 바퀴 접지면적의 환산

PCA 설계에서는 타원형의 접지 면적을 유한 요소 해석하기에 쉬운 직사각형 면적으로 환산하는 식을 제안하였다.

$$A_c = \pi \cdot (0.3L)^2 + (0.4L)(0.6L) = 0.52273L^2 \quad \langle \text{식 1.1} \rangle$$

여기서,  $A_c$  = 타이어 접지 면적

$L$  = 타원형 장축 길이

따라서 위 식을  $L$  에 대하여 정리하면 식 1.2가 되며 이를 도기한 것이 <그림 1.9>이다.

$$L = \sqrt{A_c / 0.5227} \quad \langle \text{식 1.2} \rangle$$

## 1.8 교통 흐름 특성

차량은 한 지점을 연속적으로 통과하지 않기 때문에 시간대 및 연도별로 교통량의 차이가 발생한다. 이러한 도로상의 차량의 움직임을 나타내는 동적인 특성, 예를 들어 교통량 속도, 지체 등의 분포를 알면 포장 거동을 설명하는 데 많은 도움이 된다. 그리고 차량의 바퀴는 일정한 분포를 띄며 바퀴 중심값을 축으로 좌우로 변동하며 포장 위를 지나게 된다. 따라서 교통 흐름을 예측하고 주행 특성을 정량화하는 것은 중요하다.

### (1) 교통량 분포

교통량은 도로 포장의 공용성에 많은 영향을 미치는 설계 입력 변수 중에 하나이다. 같은 도로에 축하중 분포가 동일하다고 가정한다면 교통량이 많은 도로의 포장이 조기에 파손되는 것은 당연하다. 교통량은 일반적으로 이동성에 초점을 맞춘 주간선 도로인 고속국도나 일반국도가 마을이나 동네 이면도로의 교통량보다 더 많다. 즉 도로의 기능성에 따라 교통량은 차이가 있다. 2008 년도 교통량 통계자료에서 얻은 각 도로별 교통량을 나타낸 것이 <표 1.17>과 같다.

도로 전체를 나타낸 것이기 때문에 세부 구간으로 나눈 것과는 다소 차이가 있다. 즉, 도로가 도심지역을 지나갈 경우 그 곳의 교통량은 상대적으로 많은 반면, 지방부 지역을 지날 경우에는 적을 것이다. 고속국도의 경우 서울외곽선의 교통량이 가장 많았으며, 경인선이 다음으로 나타났다. 경부선의 경우는 약 7만 5천대로 서울외곽선의 절반 이하의 수준이다. 일반국도의 경우 목포-파주 구간의 평균 교통량이 2만2천여대였으며, 부산-고성, 거제-포항 순이었다. 지방도의 경우는 경기도의 교통량이 가장 많았으며, 강원지역이 가장 적었다.

〈표 1.17〉 각 도로의 AADT(2008)

| 고속국도     | 교통량     | 일반국도  | 교통량    | 지방도 | 교통량    | 지방도<br>(국가지원) | 교통량    |
|----------|---------|-------|--------|-----|--------|---------------|--------|
| 경부선      | 75,954  | 목포-파주 | 22,740 | 경기  | 11,065 | 고흥-고창         | 9,723  |
| 남해선      | 48,067  | 거제-포항 | 20,382 | 강원  | 2,457  | 포항-영덕         | 4,541  |
| 88선      | 9,956   | 고흥-담양 | 4,574  | 충북  | 3,685  | 대구-창원         | 8,119  |
| 서해안선     | 38,213  | 여수-용인 | 15,827 | 충남  | 5,055  | 남원-거창         | 1,440  |
| 울산선      | 43,581  | 산청-포항 | 5,434  | 전북  | 4,782  | 해남-금산         | 6,827  |
| 익산포항선    | 13,955  | 진해-청주 | 9,425  | 전남  | 3,592  | 무안-부산         | 4,794  |
| 논산천안선    | 27,480  | 부안-대구 | 4,396  | 경북  | 2,995  | 여수-순천         | 4,961  |
| 호남선      | 32,061  | 부산-강릉 | 6,523  | 경남  | 5,097  | 천안-파주         | 75,793 |
| 당진상주선    | 20,333  | 거창-파주 | 6,730  | 제주  | 8,138  | 대전-문경         | 5,622  |
| 중부·대전통영선 | 31,275  | 예산-공주 | 4,737  |     |        | 의정부-동두천       | 11,314 |
| 제2중부선    | 61,329  | 서산-가평 | 19,531 |     |        | 김포-인제         | 12,346 |
| 음성평택선    | 28,165  | 신안-부산 | 17,407 |     |        | 나주-부산         | 3,705  |
| 중부내륙선    | 30,956  | 남해-철원 | 15,251 |     |        | 통영-칠곡         | 5,230  |
| 영동선      | 61,521  | 군산-경주 | 14,450 |     |        | 창녕-안동         | 3,206  |
| 신대구부산선   | 28,630  | 마산-철원 | 9,637  |     |        | 화성-평창         | 10,063 |
| 동해선      | 12,400  | 인천-강릉 | 12,063 |     |        | 하남-영양         | 3,706  |
| 서울외곽선    | 160,315 | 부산-고성 | 20,421 |     |        | 해남-원주         | 3,063  |
| 남해제1지선   | 41,112  | 완도-금산 | 7,121  |     |        | 대전-안양         | 17,582 |
| 남해제2지선   | 72,230  | 진도-구례 | 2,948  |     |        | 서천-경주         | 5,701  |
| 제2경인선    | 86,685  | 남해-홍천 | 4,648  |     |        | 부산-울진         | 4,569  |
| 경인선      | 124,415 | 남원-이천 | 14,445 |     |        | 서산-춘천         | 5,820  |
| 인천국제공항선  | 42,480  | 정읍-순천 | 9,903  |     |        | 김포-포천         | 8,215  |
| 호남선지선    | 29,612  | 강진-천안 | 7,747  |     |        | 강화-원주         | 21,943 |
| 대전남부선    | 25,474  | 신안-울산 | 5,255  |     |        | 남양주-춘천        | 6,482  |
| 구마선      | 64,351  | 군산-대구 | 6,976  |     |        | 태안-창원         | 5,828  |
| 고창담양선    | 9,032   | 고흥-군산 | 8,150  |     |        | 제주-남제주        | 13,750 |
| 중앙선지선    | 70,345  | 영주-포항 | 8,016  |     |        | 수도권 순환선       | 17,548 |

## (2) 차종별 분포

〈표 1.18〉은 국도 1호선의 차종에 따른 분포를 나타낸 것이다. 포장에 영향을 가장 작게 미치는 1종 차량이 도로 종류에 상관없이 약 60% 이상을 차지하였으며, 다음으로 화물 수송용 소형 트럭인 3종 차량이 많다. 또한 9종이상의 대형 차량의 빈도는 매우 적었다. 이러한 경향은 각 도로의 특성에 따라 달라진다.

## (3) 월별 분포

교통량은 〈표 1.19〉과 같이 매월 변화하며 이는 포장의 누적 손상을 계산하기 위한 기초 자료가 된다. 아스팔트의 경우 여름철 교통량 분포가 많을 경우 고온으로 인한 포장 파손이 심화되는 반면 겨울철에는 강성이 높아져 여름철보다 상대적으로 파손이 적게 발생한다. 콘크리트 포장에서 슬래브 상하부 온도차가 큰 시기에 교통량이 많을 경우 환경하중과의 복합 영향으로 인해 포장 파손이 가속화 될 것이다. 이러한 의미에서 월별 교통량 분포는 중요하다.

표에서 월별 교통량 비율은 각 월별로 월 평균 교통량을 연평균교통량으로 나눈 값을 의미한다. 그 특징을 살펴보면 도심지역의 경우는 10월과 11월에 가장 교통량이 많았다. 반면 지방의 경우에는 여름철 휴가철인 8월과 행락객들이 많은 봄철 4, 5월 및 가을철 10, 11월의 교통량이 다소 많은 것으로 나타났다.

〈표 1.18〉 도로등급별 차종 비율 (%)

| 고속국도                            |         |       |      |       |       |      |      |      |      |      |      |      |      |
|---------------------------------|---------|-------|------|-------|-------|------|------|------|------|------|------|------|------|
| 구분                              |         | 1종    | 2종   | 3종    | 4종    | 5종   | 6종   | 7종   | 8종   | 9종   | 10종  | 11종  | 12종  |
| 도시                              | 4차로     | 63.04 | 3.88 | 12.22 | 10.23 | 3.03 | 1.89 | 1.68 | 0.65 | 0.11 | 2.54 | 0.13 | 0.60 |
|                                 | 6차로 이상* | 69.83 | 3.37 | 11.42 | 8.21  | 2.33 | 1.46 | 1.05 | 0.43 | 0.06 | 1.55 | 0.06 | 0.24 |
| 지방                              | 4차로 이상  | 61.98 | 5.41 | 10.12 | 10.09 | 3.47 | 2.05 | 2.42 | 0.69 | 0.05 | 2.98 | 0.15 | 0.60 |
| * : 지방 6 차로 이상의 경우 도심 비율을 사용가능함 |         |       |      |       |       |      |      |      |      |      |      |      |      |
| 일반국도                            |         |       |      |       |       |      |      |      |      |      |      |      |      |
| 구분                              |         | 1종    | 2종   | 3종    | 4종    | 5종   | 6종   | 7종   | 8종   | 9종   | 10종  | 11종  | 12종  |
| 도시                              | 2차로     | 71.98 | 2.05 | 14.13 | 4.80  | 2.89 | 1.64 | 0.25 | 0.18 | 0.02 | 2.01 | 0.02 | 0.03 |
|                                 | 4차로이상   | 73.10 | 2.40 | 15.00 | 6.07  | 1.51 | 0.97 | 0.23 | 0.16 | 0.02 | 0.46 | 0.01 | 0.05 |
| 지방                              | 2차로     | 66.12 | 2.67 | 17.73 | 7.08  | 1.92 | 2.22 | 0.54 | 0.37 | 0.04 | 1.14 | 0.04 | 0.13 |
|                                 | 4차로 이상  | 69.82 | 2.87 | 15.62 | 6.13  | 1.96 | 1.55 | 0.47 | 0.37 | 0.04 | 1.03 | 0.04 | 0.10 |
| 지방도                             |         |       |      |       |       |      |      |      |      |      |      |      |      |
| 구분                              |         | 1종    | 2종   | 3종    | 4종    | 5종   | 6종   | 7종   | 8종   | 9종   | 10종  | 11종  | 12종  |
| 도시                              | 2차로     | 65.34 | 3.61 | 18.88 | 5.94  | 3.04 | 1.69 | 0.58 | 0.24 | 0.10 | 0.40 | 0.11 | 0.07 |
|                                 | 4차로 이상  | 78.44 | 2.89 | 11.79 | 3.80  | 1.35 | 0.61 | 0.29 | 0.10 | 0.07 | 0.37 | 0.19 | 0.11 |
| 지방                              | 2차로     | 59.03 | 3.69 | 26.36 | 4.85  | 3.00 | 2.12 | 0.41 | 0.12 | 0.04 | 0.29 | 0.04 | 0.05 |
|                                 | 4차로 이상  | 71.36 | 2.84 | 17.00 | 3.73  | 2.19 | 1.61 | 0.51 | 0.13 | 0.10 | 0.40 | 0.07 | 0.07 |

〈표 1.19〉 월별 교통량 비율

| 구분  |       | 1월   | 2월   | 3월   | 4월   | 5월   | 6월   | 7월   | 8월   | 9월   | 10월  | 11월  | 12월  |
|-----|-------|------|------|------|------|------|------|------|------|------|------|------|------|
| 도시  | 2차로   | 0.91 | 0.88 | 0.99 | 1.03 | 1.02 | 0.99 | 0.92 | 1.01 | 1.08 | 1.10 | 1.08 | 0.99 |
|     | 4차로이상 | 0.92 | 0.93 | 0.99 | 1.02 | 1.03 | 1.01 | 0.93 | 1.01 | 1.06 | 1.03 | 1.07 | 1.00 |
| 지방  | 2차로   | 0.94 | 0.85 | 0.95 | 1.03 | 1.03 | 0.98 | 0.96 | 1.11 | 1.03 | 1.12 | 1.03 | 0.97 |
|     | 4차로이상 | 0.92 | 0.85 | 0.92 | 1.00 | 1.02 | 0.99 | 0.97 | 1.16 | 1.05 | 1.12 | 1.03 | 0.97 |
| 평균값 |       | 0.92 | 0.88 | 0.96 | 1.02 | 1.03 | 0.99 | 0.95 | 1.07 | 1.06 | 1.09 | 1.05 | 0.98 |

#### (4) 시간대별 분포

시간대별 분포는 월별 분포와 마찬가지로 온도하중과 교통하중의 중첩으로 인한 포장 파손과 누적 손상 계산시 해석 시간을 줄이기 위한 그룹화의 근거가 된다. 아스팔트 콘크리트 포장의 경우, 밤과 낮동안의 포장체 온도가 달라지면, 결국 재료의 탄성계수에 영향을 미친다. 시멘트 콘크리트 포장은 시멘트

콘크리트 슬래브의 깊이별 온도차에 의해 발생하는 컬링의 방향이 달라져 파손을 예측하는 방법이 달라지게 된다. 따라서 시간대별 교통량을 구분하여 설계에 반영하여 보다 정확한 포장 설계를 할 수 있을 것이다.

〈표 1.20〉 도시지역의 시간별 교통량 변동 계수

| 시간대           | 시간별 교통량 변동 계수 |       | 시간대           | 시간별 교통량 변동 계수 |       |
|---------------|---------------|-------|---------------|---------------|-------|
|               | 2차로           | 4차로이상 |               | 2차로           | 4차로이상 |
| 00:00 ~ 01:00 | 1.12          | 1.43  | 12:00 ~ 13:00 | 6.12          | 5.27  |
| 01:00 ~ 02:00 | 0.75          | 0.94  | 13:00 ~ 14:00 | 6.55          | 5.69  |
| 02:00 ~ 03:00 | 0.58          | 0.69  | 14:00 ~ 15:00 | 7.02          | 6.00  |
| 03:00 ~ 04:00 | 0.53          | 0.58  | 15:00 ~ 16:00 | 7.29          | 6.09  |
| 04:00 ~ 05:00 | 0.70          | 0.65  | 16:00 ~ 17:00 | 7.43          | 6.20  |
| 05:00 ~ 06:00 | 1.25          | 1.18  | 17:00 ~ 18:00 | 7.48          | 6.80  |
| 06:00 ~ 07:00 | 2.53          | 2.92  | 18:00 ~ 19:00 | 7.13          | 7.09  |
| 07:00 ~ 08:00 | 4.14          | 5.84  | 19:00 ~ 20:00 | 5.49          | 5.89  |
| 08:00 ~ 09:00 | 5.13          | 6.49  | 20:00 ~ 21:00 | 4.14          | 4.73  |
| 09:00 ~ 10:00 | 5.12          | 5.36  | 21:00 ~ 22:00 | 3.30          | 3.97  |
| 10:00 ~ 11:00 | 5.90          | 5.55  | 22:00 ~ 23:00 | 2.40          | 3.04  |
| 11:00 ~ 12:00 | 6.24          | 5.50  | 23:00 ~ 24:00 | 1.65          | 2.10  |

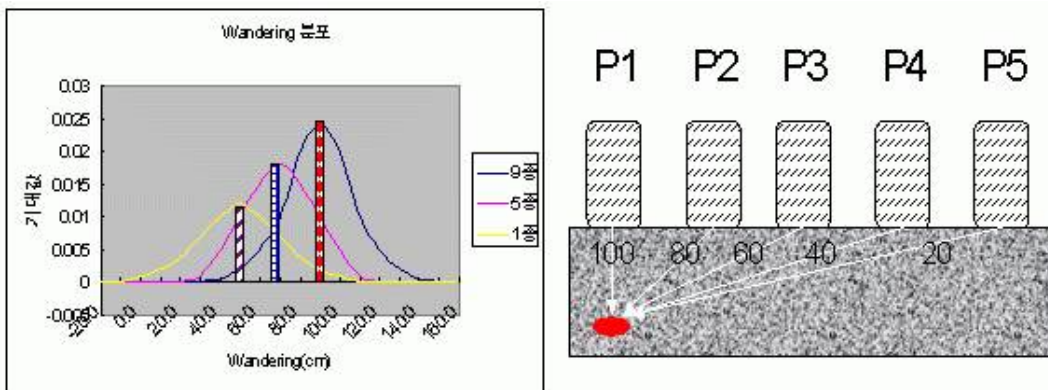
〈표 1.21〉 지방지역의 시간별 교통량 변동 계수

| 시간대           | 시간별 교통량 변동 계수 |       | 시간대           | 시간별 교통량 변동 계수 |       |
|---------------|---------------|-------|---------------|---------------|-------|
|               | 2차로           | 4차로이상 |               | 2차로           | 4차로이상 |
| 00:00 ~ 01:00 | 0.87          | 1.11  | 12:00 ~ 13:00 | 6.51          | 6.03  |
| 01:00 ~ 02:00 | 0.57          | 0.74  | 13:00 ~ 14:00 | 7.06          | 6.46  |
| 02:00 ~ 03:00 | 0.41          | 0.56  | 14:00 ~ 15:00 | 7.47          | 6.86  |
| 03:00 ~ 04:00 | 0.36          | 0.5   | 15:00 ~ 16:00 | 7.57          | 6.99  |
| 04:00 ~ 05:00 | 0.47          | 0.62  | 16:00 ~ 17:00 | 7.53          | 7.02  |
| 05:00 ~ 06:00 | 0.91          | 1.17  | 17:00 ~ 18:00 | 7.42          | 7.18  |
| 06:00 ~ 07:00 | 2.32          | 2.59  | 18:00 ~ 19:00 | 7.11          | 7.08  |
| 07:00 ~ 08:00 | 4.13          | 4.55  | 19:00 ~ 20:00 | 5.07          | 5.44  |
| 08:00 ~ 09:00 | 5.66          | 5.67  | 20:00 ~ 21:00 | 3.64          | 4.15  |
| 09:00 ~ 10:00 | 5.65          | 5.44  | 21:00 ~ 22:00 | 2.82          | 3.32  |
| 10:00 ~ 11:00 | 6.42          | 6.12  | 22:00 ~ 23:00 | 2.01          | 2.43  |
| 11:00 ~ 12:00 | 6.67          | 6.3   | 23:00 ~ 24:00 | 1.34          | 1.67  |

〈표 1.20〉과 〈표 1.21〉은 도시지역과 지방지역의 시간대별 교통량 분포 비율을 나타낸 것이다. 시간별 교통량 변동률은 일일 교통량을 100%로 가정하였을 때, 각 시간대별로의 비율을 나타낸다. 시간대별 교통량은 앞서 산출한 차종별 연평균일교통량에 시간별 교통량 변동계수를 곱해서 계산한다. 표에서와 같이 교통량은 새벽과 심야에는 적은 반면 출퇴근 시간 및 주간에 집중되어 있다. 이러한 경우 3 그룹으로 나눌 수 있을 것이다.

## (5) 차량의 Wandering

도로를 주행하는 차량은 주행하면서 좌우 바퀴를 통해서 포장체와 상호작용을 한다. 차량이 주행할 때 좌측 차선 표시와 좌측바퀴, 우측 차선 표시와 우측바퀴 사이에는 각각 여유폭들이 발생한다. 이 여유폭들은 모든 차량들이 동일 궤적을 갖고서 이동하지 않기 때문에 차량마다 서로 다른 값들을 갖는다. 이와 같이 통과하는 차량들이 서로 다른 차량궤적을 갖는 것을 혹은 차량바퀴의 횡방향 변동을 원더링(Wandering 혹은 Lateral placement)이라 정의하고 있다. 이런 현상은 차량하중의 분산 효과로 이어지므로 포장체에 가해지는 손상정도가 달라지게 된다. <그림 1.10>은 차량의 Wandering 개념을 설명한 것이다.



<그림 1.10> 차종에 따른 Wandering 분포 및 중첩효과

차량 Wandering 현상은 차량종류, 차량 바퀴사이의 거리, 차선폭에 따라 수평방향으로 일정한 폭을 가지고 정규분포 형상을 나타내는 특성이 있다. 따라서, 교통량을 보다 합리적으로 정량화하기 위해서는 지금까지의 차량이 동일한 궤적을 주행한다는 가정하에서 수행된 교통량 정량화 개념에서 벗어나 차량

Wandering 현상에 대한 고려가 필요하다. <그림 1.10>에서 좌측의 그래프는 차종별 차량 궤적 변동이 일정폭을 기준으로 정규분포를 나타내고 있음을 보여 주고 있다. 또한, <그림 1.10>의 우측그림은 동일 슬래브에서 바퀴하중이 P1에서 P5로 이동함에 따라 P1 하부의 한 지점(A)에 미치는 영향을 나타내고 있다. 바퀴하중 P1이 지점 A의 발생 응력에 미치는 영향을 100으로 가정했을 때 P2는 80, P3는 60과 같이 A 지점에 영향을 미친다는 것을 하나의 예로 나타낸 것이다.

도로포장 설계에서는 차량 궤적 변동을 고려하기 위해서는 국내 차종별 바퀴간 거리를 조사하고 차종별 주행성향 및 차량 궤적 변동을 조사하였다. 조사된 자료를 근거로 주행차로를 기준으로 차종별 차량 궤적 변동 범위를 구하고 통계적 방법을 이용하여 차종별 차량 궤적 변동 분포를 제시하였다. 이때의 차종별 통계적 분포 비율을 산정하여 교통량 정량화에 적용한다. <표 1.22>는 12종 차종분류에 따른 차량의 바퀴의 위치와 표준편차를 나타낸 것이다.

〈표 1.22〉 차종별 도로폭에 따른 원더링

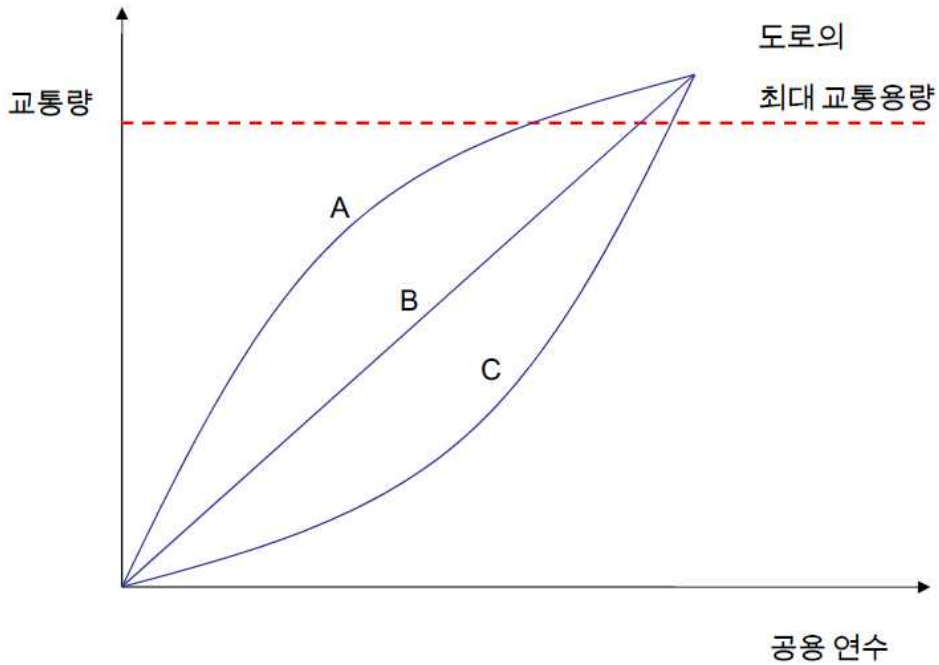
| 차로폭(m) | 차종  | 전폭    | 좌측 바퀴  |       | 우측 바퀴  |       |
|--------|-----|-------|--------|-------|--------|-------|
|        |     |       | 위치(cm) | 표준편차  | 위치(cm) | 표준편차  |
| 3.25m  | 1종  | 171.8 | 65.63  | 19.76 | 232.42 | 18.07 |
|        | 2종  | 243.6 | 19.66  | 11.14 | 256.84 | 9.45  |
|        | 3종  | 172.9 | 64.94  | 19.63 | 232.79 | 17.94 |
|        | 4종  | 225.3 | 31.38  | 13.34 | 250.61 | 11.65 |
|        | 5종  | 249.4 | 15.99  | 10.46 | 258.79 | 8.77  |
|        | 6종  | 249.2 | 16.08  | 10.47 | 258.74 | 8.78  |
|        | 7종  | 247.8 | 17.03  | 10.65 | 258.24 | 8.96  |
|        | 8종  | 249.0 | 16.23  | 10.50 | 258.66 | 8.81  |
|        | 9종  | 249.0 | 16.23  | 10.50 | 258.66 | 8.81  |
|        | 10종 | 249.5 | 15.91  | 10.44 | 258.83 | 8.75  |
|        | 11종 | 249.5 | 15.91  | 10.44 | 258.83 | 8.75  |
|        | 12종 | 249.5 | 15.91  | 10.44 | 258.83 | 8.75  |
| 3.50m  | 1종  | 171.8 | 77.52  | 26.61 | 244.34 | 26.11 |
|        | 2종  | 243.6 | 44.47  | 16.55 | 283.13 | 15.33 |
|        | 3종  | 172.9 | 77.02  | 26.45 | 244.92 | 25.95 |
|        | 4종  | 225.3 | 52.90  | 19.11 | 273.23 | 18.08 |
|        | 5종  | 249.4 | 41.84  | 15.75 | 286.22 | 14.47 |
|        | 6종  | 249.2 | 41.91  | 15.77 | 286.14 | 14.50 |
|        | 7종  | 247.8 | 42.59  | 15.98 | 285.35 | 14.72 |
|        | 8종  | 249.0 | 42.01  | 15.80 | 286.02 | 14.53 |
|        | 9종  | 249.0 | 42.01  | 15.80 | 286.02 | 14.53 |
|        | 10종 | 249.5 | 41.78  | 15.73 | 286.29 | 14.46 |
|        | 11종 | 249.5 | 41.78  | 15.73 | 286.29 | 14.46 |
|        | 12종 | 249.5 | 41.78  | 15.73 | 286.29 | 14.46 |
| 3.60m  | 1종  | 171.8 | 90.91  | 23.89 | 258.32 | 24.31 |
|        | 2종  | 243.6 | 65.05  | 13.83 | 302.14 | 14.25 |
|        | 3종  | 172.9 | 90.52  | 23.73 | 258.99 | 24.15 |
|        | 4종  | 225.3 | 71.64  | 16.39 | 290.97 | 16.81 |
|        | 5종  | 249.4 | 62.99  | 13.03 | 305.64 | 13.45 |
|        | 6종  | 249.2 | 63.04  | 13.05 | 305.55 | 13.47 |
|        | 7종  | 247.8 | 63.57  | 13.26 | 304.65 | 13.68 |
|        | 8종  | 249.0 | 63.12  | 13.08 | 305.41 | 13.50 |
|        | 9종  | 249.0 | 63.12  | 13.08 | 305.41 | 13.50 |
|        | 10종 | 249.5 | 62.94  | 13.01 | 305.72 | 13.43 |
|        | 11종 | 249.5 | 62.94  | 13.01 | 305.72 | 13.43 |
|        | 12종 | 249.5 | 62.94  | 13.01 | 305.72 | 13.43 |

## 1.9 교통수요 예측

교통 수요 예측 방법에는 4단계 추정법(4 steps Method), 개략 수요 추정법, 직접수요 추정법, 개별형태별 수요 추정법 등이 있다. 이 방법 중 가장 많이 사용되고 있는 예측 모형으로 대표되는 것이 4단계 추정법이다. 이 방법은 통행 발생(Trip Generation), 통행 분포(Trip Distribution), 수신 분담(Mode Choice), 통행 배정(Assign Trips) 의 4단계로 나누며 각 과정 및 사용되는 모형을 살펴보면 다음과 같다. 통행 발생은 단위 지역에서 발생하는 통행과 도착되는 통행을 추정하는 단계로 증감률법, 원단위법, 분류분석법, 교통분석법, 회귀 분석법을 사용한다. 통행 분포는 추정된 통행 발생량을 단위 지역간의 통행으로 배분하는 단계로 성장인자모형, 중력모형, 확률배분모형 등이 있다. 수단 분담은 단위 지역간에 배분된 기종점 통행을 이용자가 선택 가능한 교통 수단별 비율로 자정하는 단계로 통행단 모형, 통행 교차 모형 등이 있다. 마지막으로 통행 배정은 각 교통 수단별 기종점 통행을 대상지역 내 교통망에 배정하는 것으로 전량 노선 배정기법, 용량 제약 통행 배정 방법 등이 있다. 요즘에는 ITS와 관련되어 보다 정확한 예측 방법들이 개발되고 있다. 이러한 교통수요예측은 장래의 교통수요를 합리적으로 예측할 수 있도록 한다.

〈표 1.23〉 시간에 따른 교통량 추정 방법

| 교통량 추정 방법   | 계산식                                                 |
|-------------|-----------------------------------------------------|
| 증가율 미적용     | 'a' 년 후의 교통량 = 1.0 * 기준년도 교통량                       |
| 선형 증가율 적용   | 'a' 년 후의 교통량 = 증가율 * a * 기준년도 교통량                   |
| 비선형 증가율 적용  | 'a' 년 후의 교통량 = 기준년도 교통량 * (증가율) <sup>a</sup>        |
| 5년 추정교통량 적용 | 기준 년도에서 5년 주기의 추정 교통량을 사용자가 입력한 후 보간법을 사용하여 연도별 추정. |



〈그림 1.11〉 교통량 수요 예측의 방법 및 한계

하지만 위와 같은 교통수요 예측 방법들에도 문제가 있다. 일반적으로 도로의 최대교통용량은 한계가 있다. 즉, 〈그림 1.11〉에서와 같이 실제 교통량은 도로가 감당할 수 있는 최대 교통량에 도달한 후부터는 더 이상 증가하지 않는 것이다. 하지만 교통수요예측 모형을 통해 계산된 결과가 도로의 최대 교통용량 이상일 경우가 있으며 이를 설계에 반영할 경우 포장은 과다 설계가 될 것이다. 따라서 이와 같은 예측모형의 한계를 분명히 인식하고 포장 설계에 적합하게 수정해야 할 것이다.

### 1.9.1 방향 및 차로분배계수

앞서 살펴본 차종별 연평균 일교통량은 도로 내 방향 및 모든 차선을 포함한 교통량으로 설계 시 방향 및 차로에 대한 교통량으로 환산하여야 한다. 설계차

로 교통량은 차종별 연평균일교통량에 방향분배계수(Directional Distribution Factor, DD)와 차로분배계수(Lane Distribution Factor, DL)를 곱하여 계산한다. <식 1.3>은 차종별 설계차로 교통량 환산식이다.

$$W_i = AADT_i \times D_D \times D_L \text{ <식 1.3>}$$

여기서,  $W_i$  = i 차종에 대한 설계차로 연평균 일교통량

$AADT_i$  = i 차종에 대한 연평균 일교통량

$D_D$  = 방향분배계수

$D_L$  = 차로분배계수

위 식에서 사용되고 있는 방향분배계수는 중방향 교통량을 전체 교통량으로 나누어 계산하고, 차로분배계수는 2차로 이상(1방향)일 경우에 차로 간 교통량 분담율로 계산한다. 도로포장 설계에서는 방향 및 차로 분배 계수의 적용 값은 설계자의 판단 하에 <표 1.24>와 같은 범위 내에서 결정하도록 하였다. 설계 신뢰도를 높이기 위한 교통량 현황조사를 실시할 때는 방향 및 차로에 대한 교통량을 추가적으로 수집하여 설계에 반영할 수도 있다.

<표 1.24> 방향 및 차로 분배 계수 범위 값

| 구분                  | 방향 분배 계수<br>제시값 | 구분           | 편도 차로수 | 차로분배계수<br>제시값 |
|---------------------|-----------------|--------------|--------|---------------|
| 고속국도<br>일반국도<br>지방도 | 0.5~0.55        | 고속국도         | 4      | 0.35~0.45     |
|                     |                 |              | 3      | 0.45~0.55     |
|                     |                 |              | 2      | 0.7~0.9       |
|                     |                 | 일반국도,<br>지방도 | 4      | 0.5~0.8       |
|                     |                 |              | 3      | 0.6~0.7       |
|                     |                 |              | 2      | 0.8~0.9       |

## 1.10 교통하중 정량화 방법

실제 교통량은 혼합 교통량으로 각각의 차량을 설계에 직접 사용하기에는 컴퓨터가 보편하게 적용되기 전에는 문제가 있었다. 따라서 교통량을 포장 설계에 적합하게 만들기 위한 다양한 접근 방법이 이뤄졌다.

### ■ 축하중법

가장 단순한 경우로 축하중의 선형 비율에 따라 등가치를 구하는 경우 혹은 지수승으로 정의하였다. 개념이 단순하다는 장점이 있지만 실제 포장의 거동이나 공용성에 근거하지 않은 값으로 현실적으로 타당하지 않다.

예 : 10톤 축하중이 한번 통과시 20톤 축하중은 10톤 축하중이 두 번 통과한 것으로 정량화

### ■ 거동법

포장체에 발생하는 응력 혹은 변형률이나 처짐을 기준으로 하여 등가치를 구하는 방법은 개념적으로 단순하지만 사용 목적에 따라 온도 영향을 고려하는 경우 그 결과가 달라지는 단점이 있다. 다음은 혼합 교통량을 단일 교통하중으로 바꾸어 주는 등가치를 구하는 것은 다양한데 정리하면 다음과 같다.

예 : 10톤의 기준 축하중이 10cm 포장위를 통과할 때 발생응력이 "1" 이라고 하면 15 톤 축하중이 통과시 "2" 라는 응력이 발생했다. 이때 15톤 축하중의 등가치는 "2"이다.

### ■ 공용성에 근거한 개념

기준 축하중의 차량이 한번 통과시 포장이 경험하는 공용성 저감에 근거하여 다른 차종에 대한 상대적인 상수값을 만들어 사용하는 정량화 방법이다. 대표적인 것으로는 기존의 1993 AASHTO 설계지침 에서 사용하는 등가단축하중(ESAL: Equivalent Single Axle Load)이 있다.

### ■ 축하중을 직접 이용

실제 현장에서 차량의 축하중을 고정식 혹은 이동식 축중계를 이용하여 직접 축하중과 접지압 등의 입력하는 방법으로 2002 AASHTO 설계 지침에서 사용하고 있다.

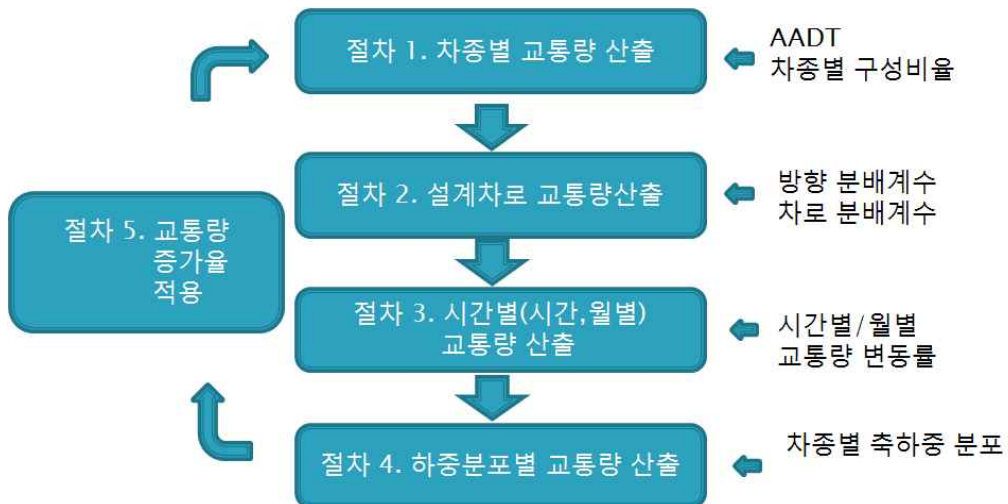
### 1.10.1 도로포장 구조 설계의 교통하중 정량화

도로포장 구조 설계에서는 교통 하중을 정량화하기 위해 계층적 접근 방법을 이용한다. 계층적 접근 방법은 각 설계수준별로 입력변수를 구분하고 설계수준별 입력변수에 대해서는 서로 독립적으로 고려한다는 개념이다. 도로포장 구조 설계에서 교통하중을 정량화하여 포장 설계에 사용하는 개념도는 다음과 같다.

#### (1) 연평균일교통량(AADT)

해당 설계 지역의 연평균일교통량(AADT)을 조사 및 예측하여 예상되는 교통량을 산정한다. 포장 설계에 사용되는 연평균일교통량은 도로 계획에서 산출된 초기년도부터 계획목표년도까지의 매년 평균일 교통량 중 초기년도 값을 기준으로 사용한다.

#### (2) 차종별 구성 비율



〈그림 1.12〉 도로포장 설계의 교통량 산출 개념도

국내 차종 분류 기준인 12종 차량의 각 교통량 비율을 산정한다. 이 자료는 실측하여 사용하거나 도로포장 설계 프로그램 내에 탑재된 자료를 이용한다. 차종별 구성비율이 필요한 이유는 차종형태별로 포장에 미치는 영향이 다르기 때문에, 이에 대한 차종별 교통량을 산출하여 포장의 파손량을 계산하여야 하기 때문이다.

### (3) 설계차로 교통량 산출

앞에서 산출된 차종별 연평균 일교통량에 방향 및 차로에 대한 교통량으로 환산하여야 한다. 그 방법은 앞서 살펴본 <식 1.3>과 같이 각 차종별 교통량에 차로 및 방향분배계수를 곱하여 산출한다.

### (4) 시간별 교통량 변동률

도로포장 설계에서는 각 시간대별 교통량을 고려하여 포장 파손을 예측한다. 각 차종별 시간대별 교통량은 차종별 설계 교통량에 시간별 교통량 변동계수를 곱해서 계산한다.

### (5) 월별 교통량 변동률

각 월별로 월 평균 교통량을 연평균교통량으로 나눈 값으로 매달 해당 도로를 통과하는 교통량이 다른 점을 고려하기 위함이다.

## (6) 차종별 축하중 분포에 따른 교통량 산정

동일 차종, 시간대, 월 등이 동일하더라도 축하중 분포가 다르기 때문에 이를 고려한다. 앞서 살펴본 바와 같이 도로포장 구조 설계에는 각 차종 및 축에 따른 축하중 분포 자료가 내장되어 있다.

## (7) 원더링 분포

원더링 효과를 고려하기 위해 정규분포형태의 이격 거리를 설계에 고려한다.

## (8) 교통량 증가 추정

교통량 증가 추정 방법은 앞서 살펴본 바와 같이 4가지 방법이 있으며, 설계 기간 동안의 예상되는 교통량 증가율을 결정한다.

### 1.11 교통하중 정량화 로직

도로포장 구조 설계에서 교통 하중관련 일반 로직을 표현한 것이 <그림 1.13>과 <그림 1.14>이다. 세부로직에 대한 설명은 다음과 같다.

- (1) 설계 지역을 도심부, 지방부로 구분한다. 설계 대상 지역의 도로 등급을 설정하고 해당 등급에 따른 설계 속도 정보를 입력한다. 그리고 하루의 교통량 중 유사한 패턴 및 포장체 온도를 나타낼 것으로 예상되는 시간들을 그룹화한다.
- (2) 연평균 교통량 정보를 입력하고 교통량 증가율을 4가지 옵션 중에서 선택한다.
- (3) 방향 계수 및 차로 계수를 데이터 베이스에서 불러오거나 입력한다.
- (4) 각 차종별 구성비, 시간에 따른 교통량, 월별 교통량 변화율 데이터 베이스에서 불러오거나 직접 입력한다.

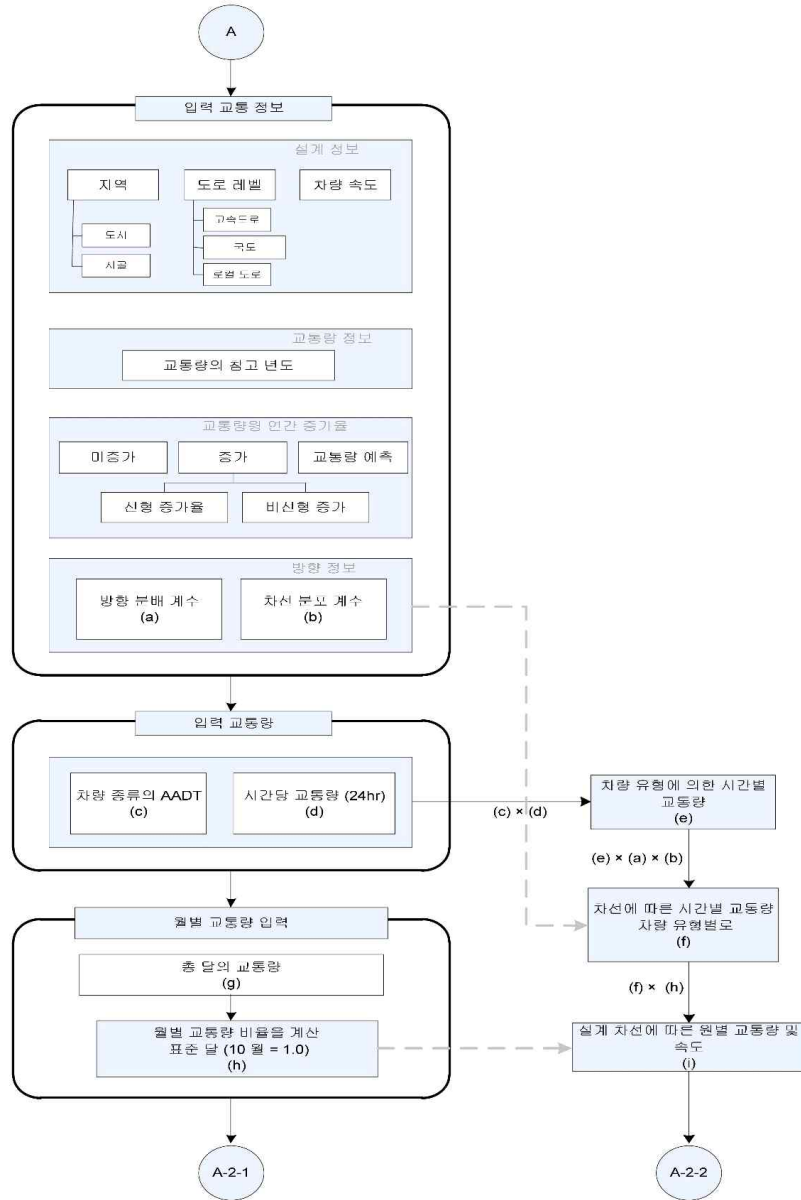
- (5) 각 입력 변수들을 이용하여 설계 차로의 각 차종별의 시간 및 월별 교통량을 계산한다.
- (6) 각 차종별 축하중 정보를 데이터 베이스에서 불러 들이고 이를 정보화한다.
- (7) 차종별 축하중을 각 축종류로 다시 재분류한다.
- (8) 시간에 따른 교통량 정보를 바탕으로 시간대 그룹에 해당하는 통과 축수, 하중정보를 계산한다. 매월에 대한 정보를 산정한다.
- (9) 교통량 증가율을 고려하여 1년 단위로 교통량 증가율을 고려하여 (8)번 과정을 재계산한다. 이를 통해 설계 기간 동안의 교통량 정보 전체를 계산한다.
- (10) 설계 기간 동안의 교통량 정보를 구조해석의 입력 변수로 사용한다.

시멘트 콘크리트 포장의 경우는 (10)의 과정이후에 다음과 같은 과정을 거쳐 시멘트 콘크리트 포장 설계에 적용할 교통입력 변수를 구한다.

- (11) 시간 및 컬링 시간에 따른 교통량 정보를 바탕으로 컬링 그룹에 해당하는 각 차종의 통과 대수, 하중 정보를 계산한다. 매월에 대한 정보를 산정한다.
- (12) 상향 컬링일 경우 차량의 앞축과 뒷축의 상관관계 정보를 호출한다.
- (13) 원더링 데이터를 불러 들여 차량 및 차로폭에 따른 원더링 계수를 곱한다.
- (14) 교통량 증가율을 고려하여 1년 단위로 교통량 증가율을 고려하여 교통량을 재계산한다. 이를 통해 설계 기간 동안의 교통량 정보 전체를 계산한다.
- (15) 설계 기간 동안의 교통량 정보를 구조해석의 입력 변수로 사용한다.

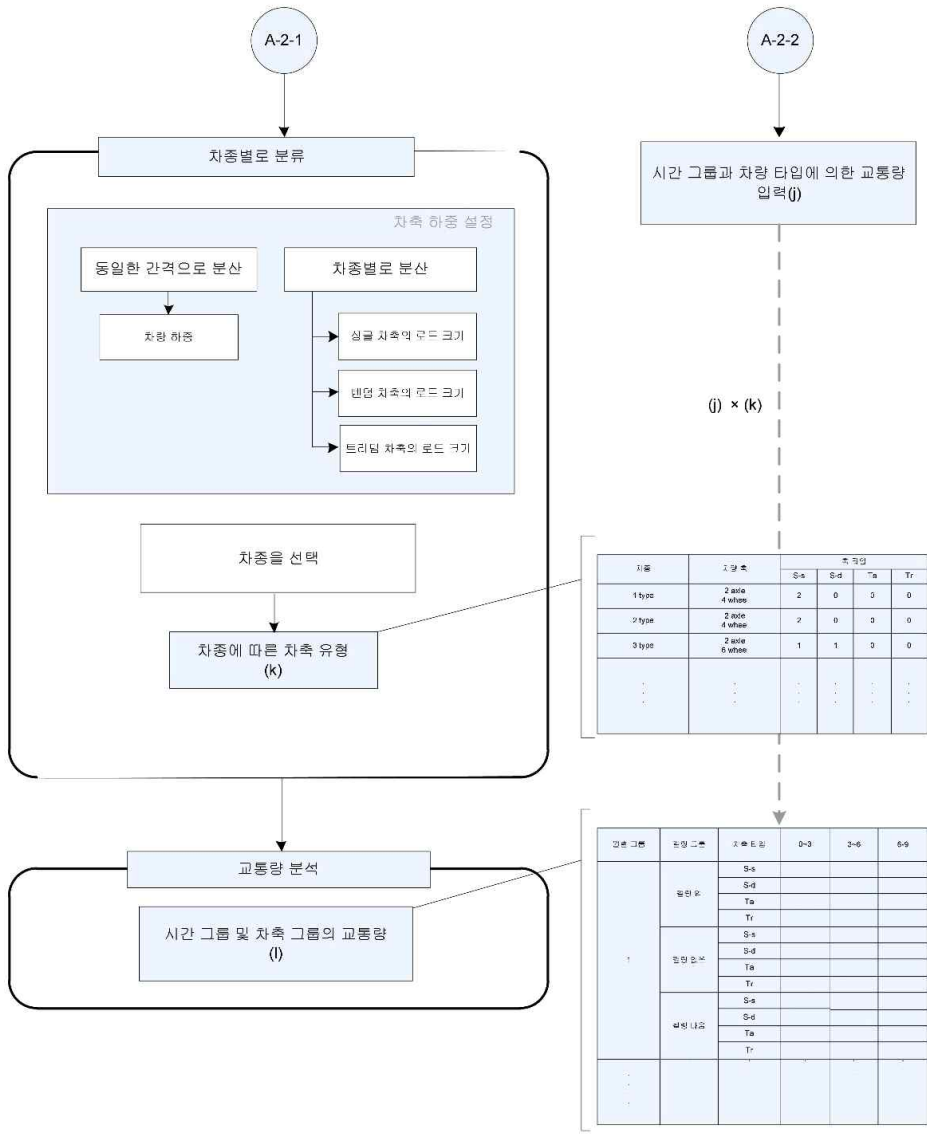
시멘트 콘크리트 포장과 달리 아스팔트 콘크리트 포장의 경우는 하중재하 속도에 따라 물성이 변화하기 때문에 이를 고려하기 위해서 (1)에서 입력한 설계 속도 정보를 바탕으로 <그림 1.15>에서 보여지듯이 아스팔트 각 층에서의 하중 주파수를 계산한다. 그 정보를 아스팔트 재료의 동탄성계수를 예측하는 모듈로 보낸다.

A-1



〈그림 1.13〉 도로포장 구조 설계 교통하중 로직 (1)

A-2



<그림 1.14> 도로포장 구조 설계 교통하중 로직 (2)

**D**

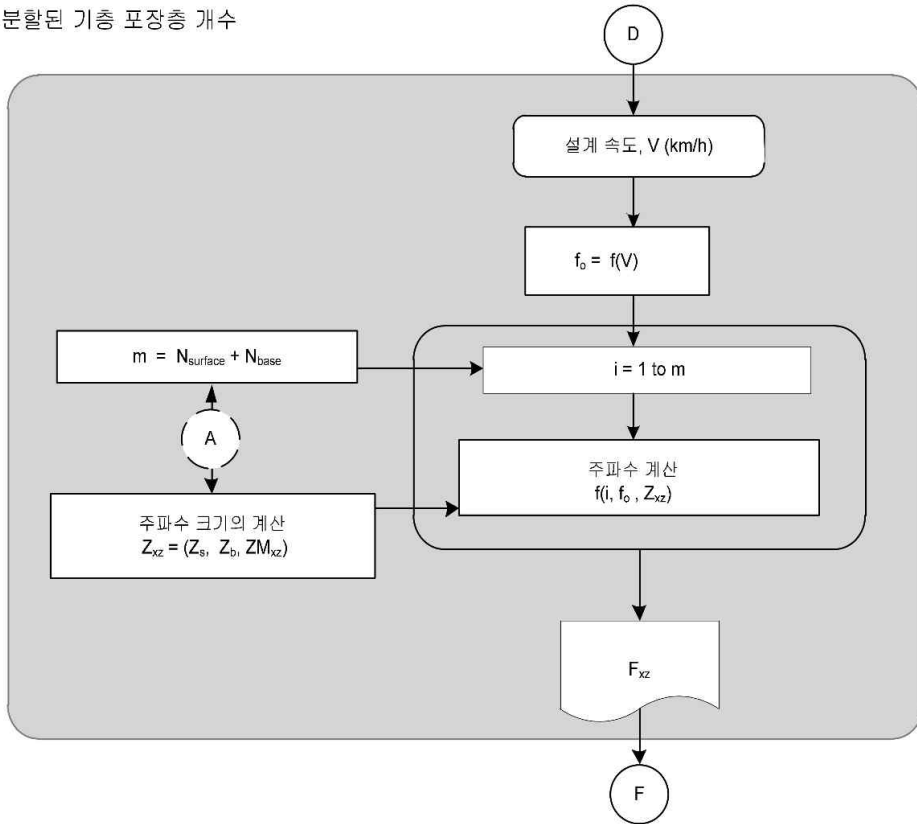
# 변수 정의 :

$V$  = 설계 속도(km/h)

$F_{xz}$  =  $Z_{M_{xz}}$ 에 의한 하중주기

$N_{surface}$  = 분할된 표층 포장층 개수

$N_{base}$  = 분할된 기층 포장층 개수



〈그림 1.15〉 아스팔트 포장의 하중주파수 계산 로직

## 부록 2. 환경하중

### 2.1 환경하중 개요

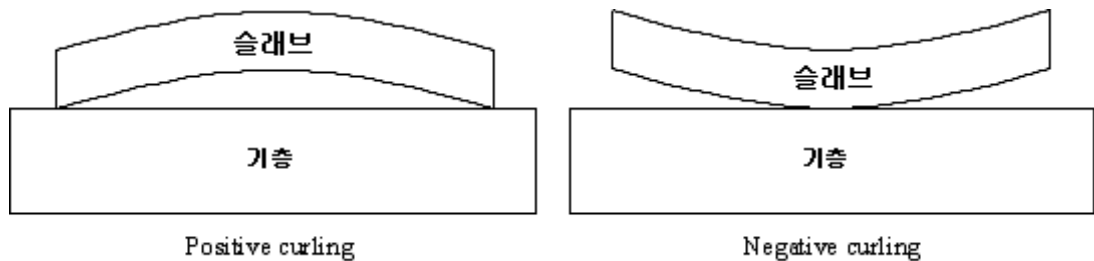
환경하중은 포장체의 온도 및 함수비 변화에 따라 포장체의 강도 저하, 노상 지지력 감소 등과 같은 포장체 물성 변화와 함께 포장체의 거동에 영향을 주는 원인이다. 본 부록은 환경하중이 포장 설계에 미치는 영향을 제시하였다.

포장은 건설을 시작함과 동시에 환경하중의 영향을 받는다. 이러한 환경하중은 교통하중과 같이 포장의 파손을 일으키는 직·간접적인 요인이 되므로 이와 관련된 정량화 방안은 매우 중요하다. 환경하중이 포장체에 미치는 영향은 크게 표층 및 기층 재료의 온도 변화, 하부 구조의 온도 및 함수비 영향으로 나뉜다.

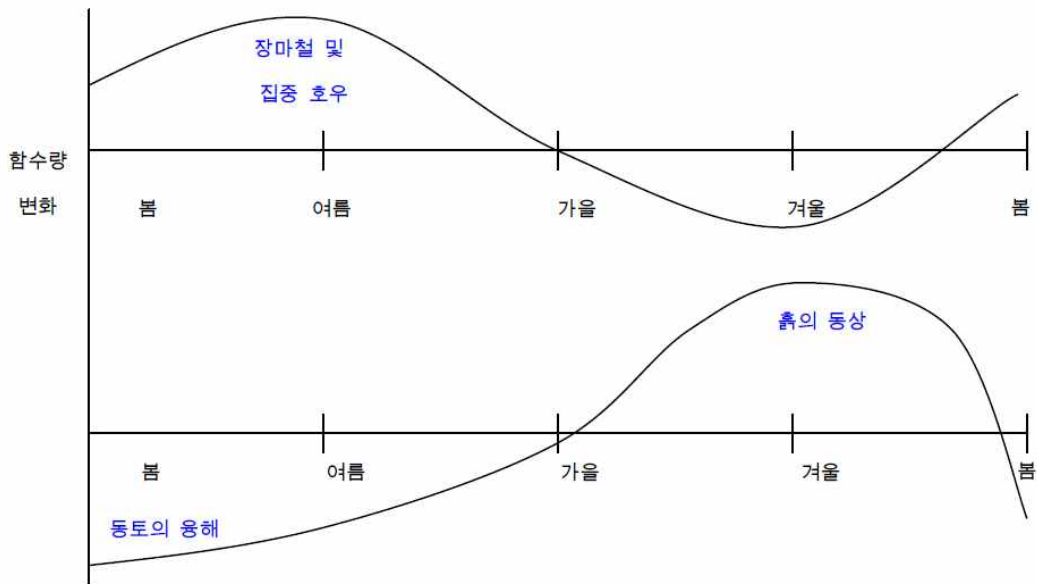
아스팔트 콘크리트 포장은 온도 변화에 따라 재료의 물성이 민감하게 변화하는 포장형식이다. 여름철 대기 온도가 상승함에 따라 포장체 내부의 온도가 상승한다. 이에 따라 아스팔트 재료의 탄성계수가 낮아지고 포장체의 처짐량이 증가하며 혼합물의 전단 저항을 약화시켜 포장체의 파괴를 유발시킨다. 시멘트 콘크리트 포장에서는 시멘트 콘크리트 슬래브의 상·하부 온도차 및 습도 변화에 의해 발생하는 컬링 (Curling) 및 와핑(Warping)과 슬래브 전체의 평균 온도 변화에 따른 수평방향의 변위를 살펴보아야 한다. 예를 들어 <그림 2.1>에서 보듯이 낮 시간대에 양방향(+) 컬링이 발생하면 종방향의 단부가 기층에서부터 들려 슬래브 중앙의 하부에 높은 응력을 발생한다. 밤시간대에 발생하는 음방향(-) 컬링은 반대로 모서리 부분이 들려 올라가 슬래브 중앙의 상부에 높은 인장 응력이 유발된다. 온도 변화는 컬링과 같은 수직 변화와 함께 수평 방향의 슬래브 거동을 유발시킨다. 여름철에는 슬래브 팽창으로 인해 줄눈부의 여유가 없을 시 블로우업(Blow Up)과 같은 구조적인 파손을 일으키고 겨울철에는 수축으로

인해 줄눈부 간격이 넓어져 승차감이 나빠지는 원인이 된다. 또한 슬래브의 수평변위는 입상재료와의 마찰력으로 인해 양 끝단에서는 낮은 응력이 발생하지만 중앙부로 갈수록 큰 하중이 유발되어 중앙부에서 포장 파손을 가속화 시킨다. 따라서 시멘트 콘크리트 포장은 슬래브 상하부 온도차 및 전체의 온도 변화를 고려하여 설계에 적용해야 한다.

온도하중과 함께 포장체에 영향을 주는 또 다른 요인은 함수비로 하부층인 보조기층, 및 노상토의 지지력에 영향을 미친다. <그림 2.2>에서와 같이 겨울철에는 포장의 하부까지 동결되는 원인을 제공하고, 봄철에는 융해되어 포장 하부구조의 지지력을 약화시킨다. 또한, 짧은 기간의 집중적인 강수는 포장하부구조의 함수비 변화를 초래하여 포장 파손을 일으키는 주요인으로 작용하기도 한다.



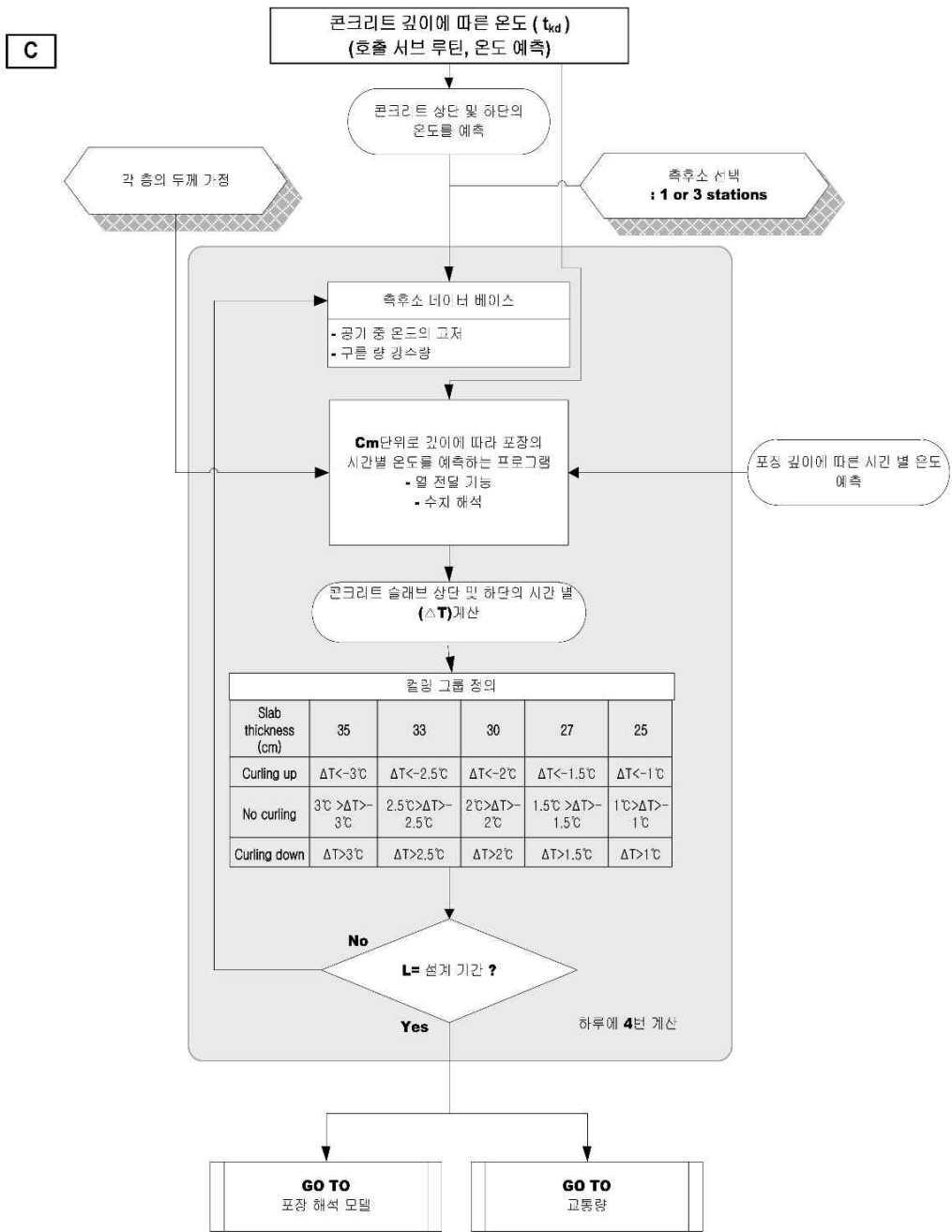
<그림 2.1> 컬링(Curling)에 의한 슬래브의 거동



〈그림 2.2〉 계절 변화에 따른 노상의 함수비 및 탄성계수 변화

도로포장 설계에서는 환경하중의 영향은 설계수준 1과 2 모두 같은 방법을 적용하고 있으며 환경 하중을 포장체 온도와 노상 함수비 변화로 구분하여 적용한다. 포장체의 온도 예측은 열전도 이론과 열평형 방정식을 이용하여 개발한 온도 예측 프로그램을 통해 이뤄진다. 다음은 도로포장 구조 설계의 온도 및 함수비 예측 로직을 설명하며 보다 자세한 설명은 이후 각장에서 이루어진다.

- (1) 설계 대상 지역과 인접한 기상관측소 정보를 입력한다. 측후소 정보를 입력하면 자동으로 기상관측소의 데이터 베이스를 불러오게 된다. 매월 최고, 최저온도, 평균 온도, 강수량을 포함한다.
- (2) 입력 변수를 이용하여 자동으로 시간대별로 포장체의 깊이에 따른 온도를 예측한다.
- (3) 아스팔트 포장의 경우 충분할 정보를 바탕으로 해당 깊이의 온도를 산정한다. 콘크리트 포장의 경우는 상하부 온도차를 근거로 하여 각 두께 조건에 따른 컬링 그룹을 구분한다.
- (4) 반복 작업을 통해 매월 포장체 온도를 계산하고 그 결과를 구조해석 모듈로 보낸다.



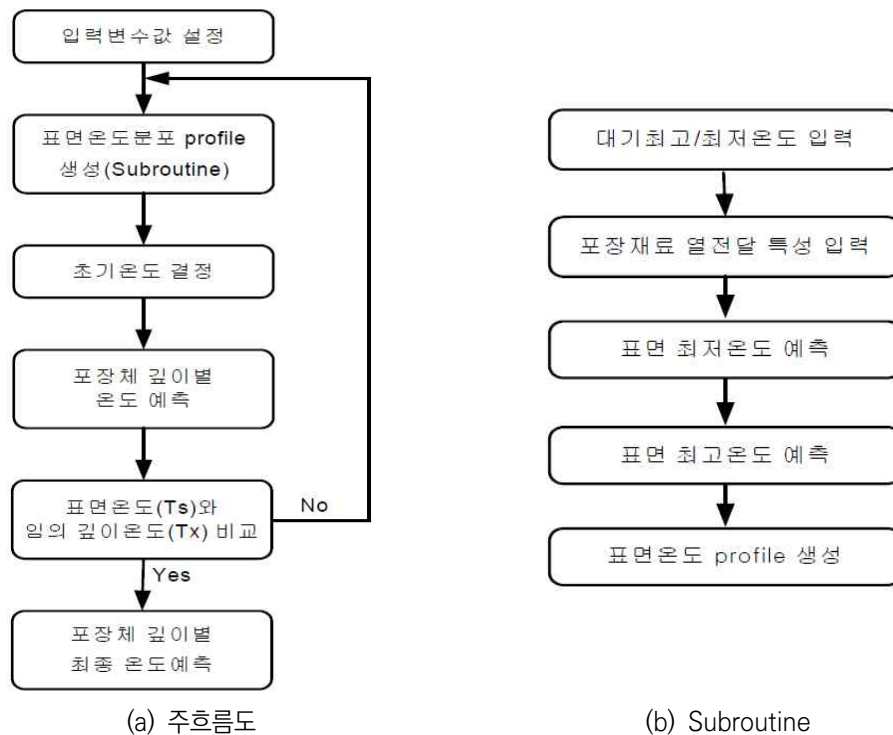
〈그림 2.3〉 콘크리트 포장 온도하중 로직

노상 함수비 변화는 “부록 2.3 도로 포장 구조설계의 함수비 예측모형”에 기술된 3단계 함수비 모형을 이용하여 예측하며 그 일반적인 과정은 다음과 같다.

- (1) 월평균 온도, 년평균 강수량, 하부 재료의 특성을 입력한다.
- (2) 노상의 함수비를 예측한다.
- (3) 반복 작업을 통해 매월 노상의 함수비를 계산하고 그 결과를 노상탄성계수 결정 모듈로 보낸다.

## 2.2 도로포장 구조 설계의 온도예측

본 설계에서는 정확한 포장의 온도예측 모형을 개발하고자 포장체의 깊이별 온도분포를 고려하는 열전도이론과 열평형 방정식을 이용하여 온도예측모형을 개발하였다. <그림 2.4>는 온도예측모형의 개발 흐름도를 나타내고 있다.



<그림 2.4> 온도예측모형 개발 흐름도

이와 같은 방법으로 개발되는 모형의 온도예측 절차는 먼저 대기온도로부터 포장표면의 최고/최저온도를 예측하고, 이 값을 이용하여 시간변화에 따른 표면온도 Profile을 생성한다. 이렇게 생성된 Profile을 통하여 Crossing Time에서의 초기온도를 결정하고 포장 깊이별, 시간별로 포장체의 온도를 예측한다. 그리고 예측된 포장체 온도를 이용하여 표면온도( $T_s$ )와 임의의 깊이온도( $T_x$ )의 편차를 비교한 후 오차범위를 만족할 경우에 최종적으로 포장체 온도를 예측한다. 만일 오차범위를 만족하지 않는다면 오차범위를 만족할 때까지 앞의 과정을 반복한다.

온도 예측 프로그램은 온도예측을 위한 기본 입력변수 모듈, 포장체 온도예측을 위한 main 모듈, 온도예측 결과 모듈로 구성되어 있다.

### 2.2.1 Input data 분석 및 계수 값 결정

온도예측모형을 개발하는데 앞서 모형에 입력되는 기본 입력자료에 대한 분석이 필요하다. 도로포장 구조 설계의 온도 예측에 이용되는 열평형방정식에 입력되는 기본변수는 태양흡수율, Emissivity, 열확산계수, 열전도율, 전달계수, 대기복사계수, 표면열전달계수, 태양상수, 천정각 등이 있다. 기본 입력변수의 값들은 기본 범위 값에서 결정하였다. 태양에 의해 흡수되는 에너지( $q_s$ )를 계산함에 있어 변수로 작용하는 천정각(Zenith Angle)에 대해서 다음과 같이 정리하였다. 천정각이란 태양이 위의 위치에 수평면과 어떤 각( $\alpha$ )의 각도에 위치하고 있을 때 그 여각을 천정각이라고 하는데, 이 천정각은 시간에 따라 변화하게 된다. 즉, 지구는 지축이 약  $23.5^\circ$  기울어져 있으므로 지표면이 받는 일사량은 위도와 계절에 따라 변화되고, 시간에 따라 지표면과 태양광선과의 각도 또한 변하게 된다. 이러한 점을 고려하기 위해 천정각( $z$ )을 계산해야 하는데, 본 도로포장 구조 설계에서는 천정각에 대해서 계절별로 결정하여 모형을 개발하였다. 천정각은 <식 2.1>과 같이 결정된다.

천정각(Z) = 위도 - declination angle <식 2.1>

여기서, 위도 : 설계하고자 하는 지역의 위도

declination angle : 태양 각도가 90°에서의 위도

Declination angle은 <식 2.2>로 계산된다.

$$DA = \Phi_r \cos\left[\frac{2\pi(d-173)}{d_y}\right] \quad \langle \text{식 2.2} \rangle$$

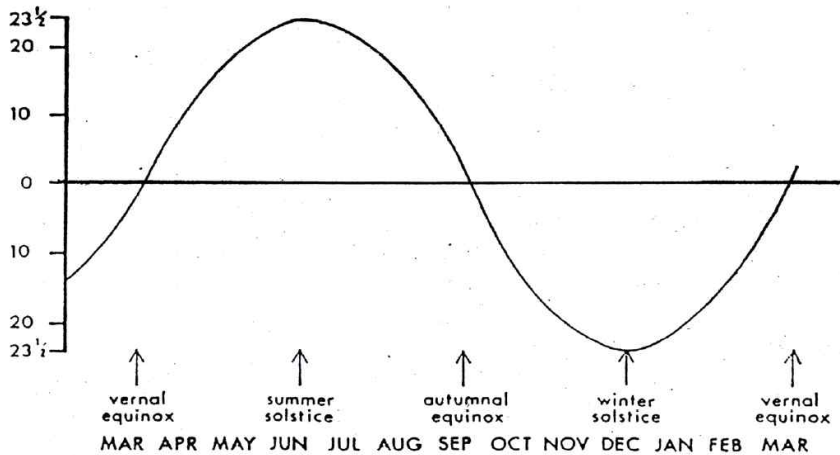
여기서,  $DA$  : Declination angle

$\Phi_r$  : 지구의 회전축의 기울기 각도

$d$  : 지정한 날이 그 해에서 해당되는 날짜

$d_y$  : 그 해의 총 날짜

<그림 2.5>는 월별로 변화되는 Declination Angle을 보여주고 있다. 본 설계에서는 <그림 2.5>를 바탕으로 <표 2.1>와 같이 계절별로 Declination Angle을 결정하였다.



<그림 2.5> 계절에 따른 declination angle

〈표 2.1〉 계절에 따른 declination angle

| 항목 \ 계절           | 봄    | 여름    | 가을     | 겨울     |
|-------------------|------|-------|--------|--------|
| Declination Angle | 9.12 | 22.46 | -12.32 | -21.15 |

각 입력변수들에 대해 기존 값의 범위 내에서 수치를 변경하면서 계측된 자료와 가장 유사한 값을 도출할 수 있는 값을 모형을 개발하는데 적용하였다. 이 중 전달계수( $\tau_a$ )는 그 날의 기후조건(운량)에 따라서 변화되는 값으로 포장체 온도에 영향을 많이 준다. 그러나 현재 우리나라의 운량에 대해서 계측하는 곳을 조사한 결과, 2000년 이후에는 많은 지역에서 측정하고 있지 않기 때문에 현실적으로 측정하기가 곤란하다. 따라서 본 도로포장 구조 설계에서는 이 값을 중간값인 0.7을 적용하였다. 기본 입력변수들을 변경하면서 모형에 이용될 값들을 분석한 결과 각 입력변수들의 값은 〈표 2.2〉과 같이 나타났다.

〈표 2.2〉 열평형 방정식 입력변수

| 구분                                             | 범위                   | 적용된 입력값 |        |
|------------------------------------------------|----------------------|---------|--------|
|                                                |                      | 아스팔트포장  | 콘크리트포장 |
| 태양 흡수율( $a_1$ )                                | 0.85-0.93            | 0.85    | 0.85   |
| Emissivity( $\epsilon$ )                       | 0.85-0.93            | 0.93    | 0.93   |
| 열확산계수 (m <sup>2</sup> /hr)                     | 아스팔트                 | 0.0037  | 0.005  |
|                                                | 콘크리트                 |         |        |
| 열전도율(k)<br>(Btu/hrft <sup>2</sup> °F)          | 아스팔트                 | 1.3     | 2.1    |
|                                                | 콘크리트                 |         |        |
| 전달계수( $\tau_a$ )                               | clear : 0.81         | 0.7     | 0.7    |
|                                                | cloudy : 0.62        |         |        |
| 대기복사계수( $\epsilon_a$ )                         | day : 0.53-0.72      | 0.7     | 0.55   |
|                                                | night :<br>0.61-0.83 |         |        |
| 표면열전달계수( $h_c$ )<br>(Btu/hrft <sup>2</sup> °F) | day : 3.0-4.0        | 3.5     | 3.5    |
|                                                | night : 1.4-2.5      |         |        |
| 태양상수(Btu/hrft <sup>2</sup> )                   | 442                  | 442     | 442    |

## 2.2.2 Input file의 생성

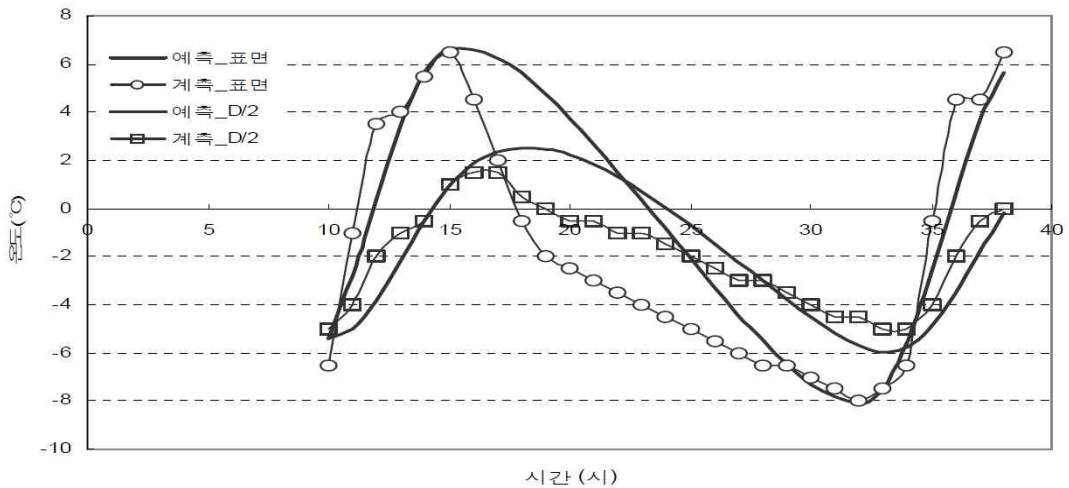
포장체 온도를 예측하기 위해서는 입력문의 생성이 필요하다. 프로그램에 사용되는 입력문은 <표 2.3>과 같이 구성된다. Input File은 총 12줄로 구성된다. 여기에서 포장층내의 온도를 예측하고자 하는 지점 수는 사용자가 설계를 위해 필요한 지점의 온도를 사용할 수 있도록 유연하게 구성하였으며, 예측 지점수에 따라서 온도가 예측되는 포장층의 깊이가 결정된다. 또한 프로그램을 운영하면 어제의 Crossing Time에서부터 오늘의 최고온도 시점까지 온도가 예측되는 데이터를 위해서 대기 최고온도(어제)와 대기 최저온도(오늘), 표면 최저온도에서의 시간(오늘)과 표면 최고온도에서의 시간(어제), 최고 표면온도에서의 시간(오늘)이 필요하다. 7줄의 포장체 임의의 깊이는 전체 포장두께(D)의 중간지점인 D/2를 입력값으로 하였으며, 초기의 온도편차 값은 최고온도는 8℃, 최저온도는 2℃로 하였다. 이 값은 프로그램의 Iteration에 따라서 계속적으로 변경된다.

<표 2.3> Input file 생성

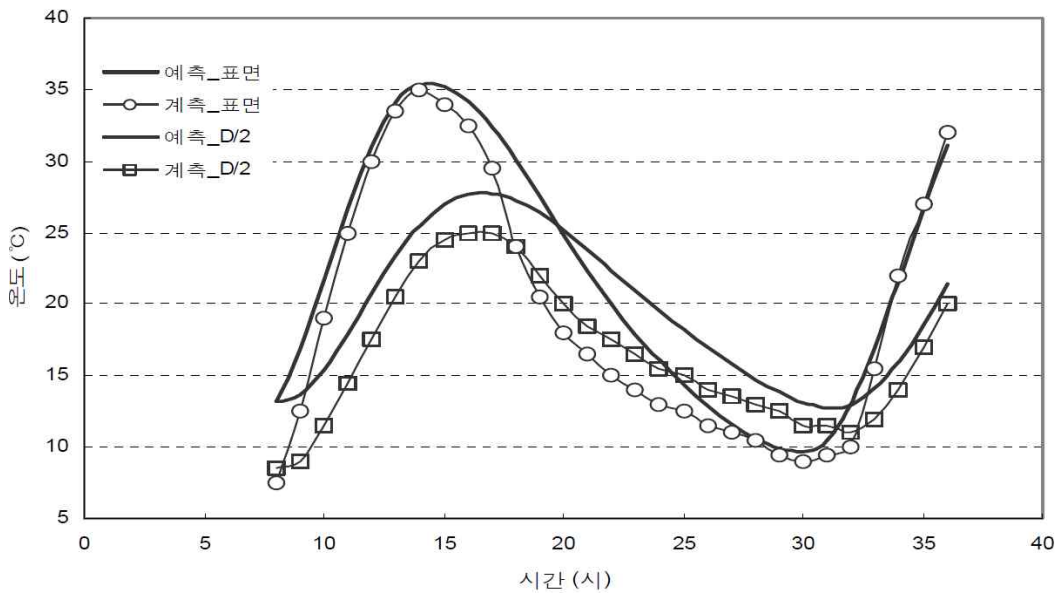
| 줄수 | 설명                                       |
|----|------------------------------------------|
| 1  | 일반정보                                     |
| 2  | 포장층내의 온도를 예측하고자하는 지점 수                   |
| 3  | 온도가 예측되는 포장층 깊이(m)                       |
| 4  | Crossing time(일)                         |
| 5  | 열확산계수                                    |
| 6  | 대기 최고온도(어제)와 대기 최저온도(오늘)(℃)              |
| 7  | 대기온도가 최고/최저인 시점에서 표면과 임의의 깊이에서의 초기 온도차   |
| 8  | 천정각                                      |
| 9  | 전달계수                                     |
| 10 | 태양흡수율, Emissivity, 열전도율, 표면열전달계수, 대기복사계수 |
| 11 | 표면 최저온도에서의 시간(오늘)과 표면 최고온도에서의 시간(어제)     |
| 12 | 최고 표면온도에서의 시간(오늘)                        |

### 2.2.3 포장체 온도 예측결과 분석

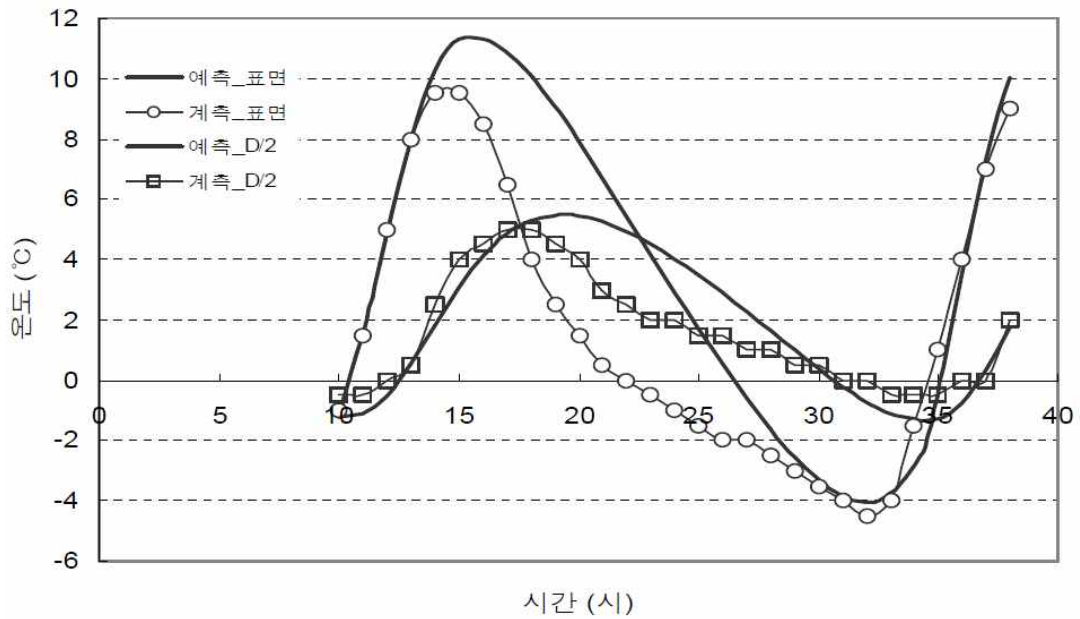
본 설계에서는 포장 표면의 최고/최저온도를 예측하기 위해 열평형 방정식을 이용하였다. 아스팔트 포장의 진부령, 충주, 성전지역에 대한 현장 실측값과 예측값은 <그림 2.6>~<그림 2.9>에서 보는 바와 같다.



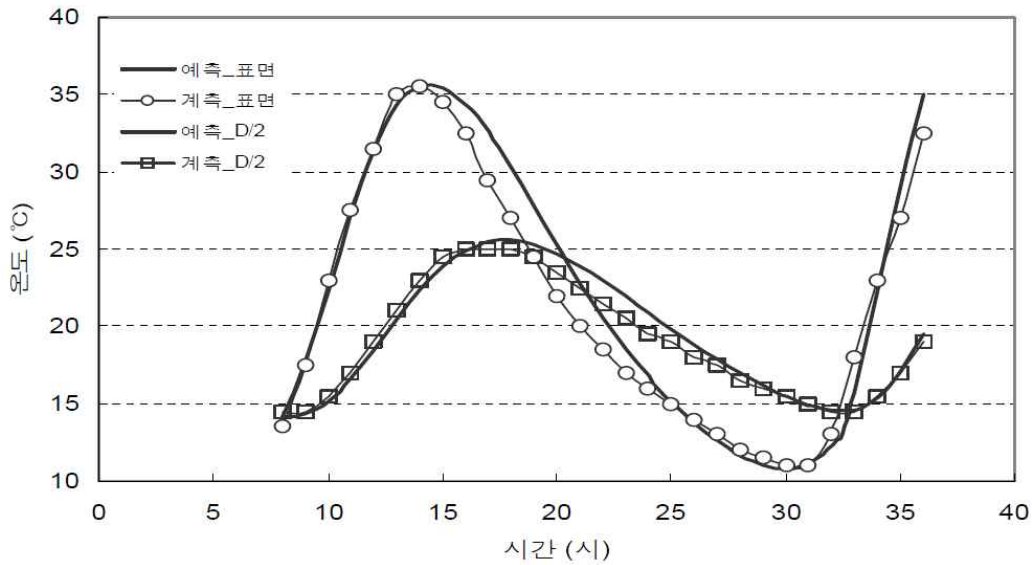
<그림 2.6> 진부령지역의 온도예측 결과(겨울)



<그림 2.7> 진부령지역의 온도예측 결과(봄)



〈그림 2.8〉 충주지역의 온도예측 결과(겨울)



〈그림 2.9〉 충주지역의 온도예측 결과(봄)

## 2.3 도로포장 구조 설계의 함수비 예측 모형

앞서 살펴본 바와 같이 강수량, 흙의 종류, 절·성토 여부가 노상토의 함수비 변화에 가장 큰 영향을 준다. 그러나, 우리나라처럼 산지지역이 많은 지역에서 설계시 1개 노선에서도 절·성토 구간이 계속 반복되므로 절·성토 여부에 따른 노상토의 함수비변화를 예측하는 것은 매우 어려운 일이다. 또한, 흙의 분류에 따른 노상토의 함수비변화도 제한된 범위의 측정 자료를 토대로 상관관계를 구하기 힘들다. 도로포장 구조 설계에서는 노상토의 함수비 변화에 가장 영향을 많이 미치는 강수량과 온도에 국한하여 함수비 영향인자로 삼고 이들 사이의 회귀분석을 실시함으로써 함수비 예측모형을 제시하였다.

### 2.3.1 1단계 모형

1단계 모형에서는 <표 2.4>와 같이 연간 강수량을 고려하여 각 지역을 1200mm이하, 1200mm ~ 1400mm, 1400mm이상인 3개의 지역으로 구분하고 계절별로 노상토의 함수비 변화를 계산할 때 함수비변화 가중치를 <식 2.3>와 같이 고려하도록 하였다. 이때 지역별 평균함수비는 <표 2.4>에서와 같이 3그룹으로 크게 구분( $w_{average} = 6.7\%, 9.9\%, 14.8\%$ )하였으며, 이 값에 지역별 예상 함수비증분(각각  $\Delta w = 2\%, 4\%, 2\%$ )×변화가중치를 더하면 예측함수비가 계산된다. 따라서 1단계 모형은 연간 강수량, 평균함수비 및 계절별 함수비 변화가중치를 사용하여 노상의 함수비를 예측하도록 한 것이다. 그러나, 온도의 변화를 계절로 묶어서 고려함으로써 함수비의 온도에 대한 변화가 민감하지 못한 한계점을 갖고 있다.

$$w = w_{average} + (\Delta w \times \text{변화가중치}) \quad \langle \text{식 2.3} \rangle$$

### 2.3.2 2단계 모형

2단계 모형에서는 우리나라의 강수지역을 1) 년강수량 1000mm이하, 2) 1000mm ~ 1500mm, 3) 1500mm이상의 3개 지역으로 구분하고 온도와 강수량을 고려하여 함수비를 구할 수 있는 모형을 아래 <표 4.5>과 같이 제시하였다. 본 모형은 1단계 모형에 비하여 온도의 영향을 함수비 예측모형에 직접 고려한 장점이 있으나, 실측한 LTPP 데이터와 예측값의 오차가 상대적으로 컸다. 즉, 실측 함수비의 변화 대역폭이 최적함수비(OMC)대비 크게 변화하는 반면, 2단계 모형에서는 ±2% 정도로 작게 예측되었다.

<표 2.4> 1단계 모형의 노상토의 평균 함수비 및 계절별 함수비 변화 가중치

| 년간 강수량            | W <sub>average</sub> | △w | 계절별 함수비 변화 가중치 |              |               |               | 비고                         |
|-------------------|----------------------|----|----------------|--------------|---------------|---------------|----------------------------|
|                   |                      |    | 3~5월<br>(봄)    | 6~8월<br>(여름) | 9~11월<br>(가을) | 12~2월<br>(겨울) |                            |
| 1200mm<br>이하      | 6.7%                 | 2% | 0.25           | 0.3          | -0.4          | -0.35         | 월누적 강수량<br>250mm이하에서<br>적용 |
| 1200mm~<br>1400mm | 9.9%                 | 4% | 0.4            | 0.45         | -0.45         | -0.5          | 월누적 강수량<br>350mm이하에서<br>적용 |
| 1400mm<br>이상      | 14.8%                | 2% | 0.35           | 0.4          | -0.3          | -0.5          | 월누적 강수량<br>450mm이하에서<br>적용 |

<표 2.5> 2단계 함수비 예측 모형

| 강수량에 따른 구분                                                            | 함수비 예측식                                                 |
|-----------------------------------------------------------------------|---------------------------------------------------------|
| 년 강수량 >1500mm                                                         | $W = 20.1021 + 0.18354T_{avg} + 0.91230\log(P_{month})$ |
| 1000mm < 년 강수량 < 1500mm                                               | $W = 17.7475 + 0.1163T_{avg} + 0.79537\log(P_{month})$  |
| 년 강수량 <1000mm                                                         | $W = 14.3066 + 0.0654T_{avg} + 0.61668\log(P_{month})$  |
| 여기서, W : 함수비, T <sub>avg</sub> : 월평균 온도, P <sub>month</sub> : 월평균 강수량 |                                                         |

### 2.3.3 3단계 모형

3단계 모형은 기존의 예측모형에 비하여 정확한 예측함수비를 추출하기 위하여 한반도 남부(남한지역)를 대전을 기점으로 하여 남부지방과 북부지방으로 나누고 각 지역에 적용할 수 있는 개선된 함수비 예측모형을 제시하였다. 함수비에 영향을 미치는 영향 요소 중 온도, 강수량, 노상토의 토질특성 (200번째 통과량 등)등을 이용하여 비선형 회귀모형분석, 다중선형회귀모형분석 등을 거쳤으며, 이중 가장 실제측값에 가까운 분 석식을 채택하였다. 그 결과, 최종적으로 <표 2.6>와 같은 예측식을 제안하였다.

<표 2.6> 개선된 함수비 예측모형

| 구간                                                                       | 함수비 예측식                                                                                              |
|--------------------------------------------------------------------------|------------------------------------------------------------------------------------------------------|
| 남부 지방                                                                    | $w = 21.84699 + 0.09598 \times \text{temp} + 0.00064287 \times \text{prec} + 0.29130 \times P_{200}$ |
| 북부 지방                                                                    | $w = 23.54759 + 0.15216 \times \text{temp} + 0.00070721 \times \text{prec} + 0.17990 \times P_{200}$ |
| 여기서, w : 예측함수비 (%), temp : 온도 (°C), prep : 년강수량 (mm)<br>P200 : 200번째 통과량 |                                                                                                      |

<표 2.7> 대표 3구간의 함수비 예측모형에 사용된 정보

| 지 역   | 측후소 | 연도별 총강수량 (mm)                    | 최적함수비 OMC(%) | # 200 통과량(%) |
|-------|-----|----------------------------------|--------------|--------------|
| 개정-성산 | 군산  | 2007년 - 1655.5<br>2008년 - 901    | 11.31        | 19.44        |
| 두촌-여론 | 홍천  | 2007년 - 2140.8<br>2008년 - 2140.8 | 9.7          | 4.4          |
| 신북-양구 | 춘천  | 2007년 - 1374.9<br>2008년 - 1439.4 | 12.1         | 24.6         |

### 2.3.4 현장 측정값과 예측모형에 의한 함수비의 비교

기존모형과 개선된 함수비 예측모형의 정확도를 분석하기 위하여 국도 LTPP 구간에 서 획득된 함수비 계측데이터와 비교하였다. 수집된 함수비는 시간별로 누적된 것으로 서 월평균함수비를 구한 후 이를 2007년 1월 ~ 2008년 12월 까지 총 2년간 함수비 변 화를 지역별로 설정된 대표 구간별로 검토하였다. <표 2.7>은 해당구간 노상토의 시공 시 최적함수비 및 200번째 통과량을 근접 측후소의 정보 및 연도별 총강수량을 나타낸 것이다.

<그림 2.10>은 2단계(Old 모형) 및 3단계(New 모형)의 함수비 예측모형을 통해 예 측한 결과와 대표구간으로 선정된 노상토의 함수비를 실측값을 비교한 것이다. 그림에 나타난 바와 같이 국내 대부분의 LTPP 구간에서 획득된 함수 비 측정 자료는 시공이후 함수비가 최적함수비 보다 증가하였으며, 증가후 일정 변화대역에 도달하였다. 계측값 의 분석결과 대표구간을 포함한 대부분의 국도 구간에서 함수비의 변화 대역폭은 시공 시의 최적함수비 대비 최소 (-) 0.8 % ~ 최대 16%(+)의 변화를 보였다. 따라서 시공 시의 최적함수비 보다 감소되는 경우는 매우 드물었고 대부분 증가하고 증가한 이후 일정 사이클을 따라 변화 하는 특징을 보였다.

전체적으로 3단계 함수비 예측모형이 모든 구간에 대해서 실측값에 가까운 예측결과 를 보인 반면, 2단계 예측모형은 최적함수비 보다 작게 예측하는 경우도 발견되며 전 체적으로 실측값에 비하여 크게 작은 예측결과를 보였다.

### 2.3.5 노상 함수비 변화와 탄성계수와의 상관성

노상 함수비 변화에 따른 노상탄성계수의 변화정도를 파악하기 위하여 2단계 (KICT 모형 함수비) 및 3단계(NEW 모형 함수비) 함수비 예측 결과를 탄성계

수 예측식<식 2.4>에 반영하여 그 결과를 비교하였다. 대상 도로 현장은 남해안(부산), 서해안(목포)에 위치한 국도이며, LTPP자료에 나타난 하부층의 재료물성값을 이용하였다. 예측식에 따른 함수비 변화 및 탄성계수 변화는 <그림 2.11>, <그림 2.12>과 같다.

$$E = k_1 \theta^{k_2} \sigma_d^{k_3} 10^{k_w(w - w_{opt})} \quad \langle \text{식 2.4} \rangle$$

여기서, k1, k2, k3 = 탄성계수 결정모형의 모형계수

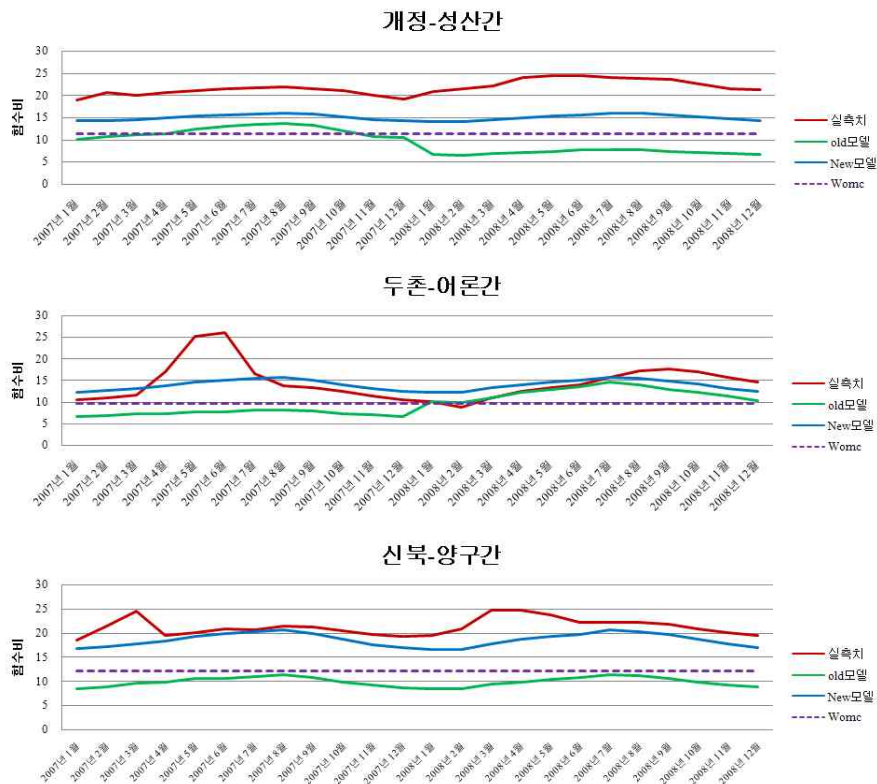
$\theta$  = 체적응력( =  $\sigma_1 + \sigma_2 + \sigma_3$  ) (kPa)

$\sigma_d$  = 축차응력( =  $\sigma_1 - \sigma_3$  ) (kPa)

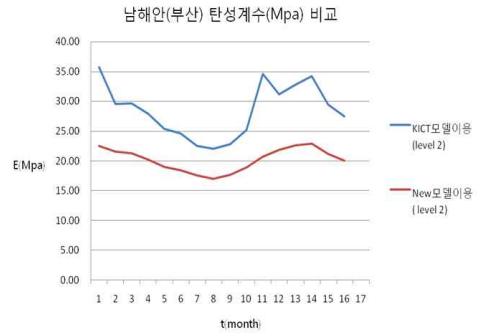
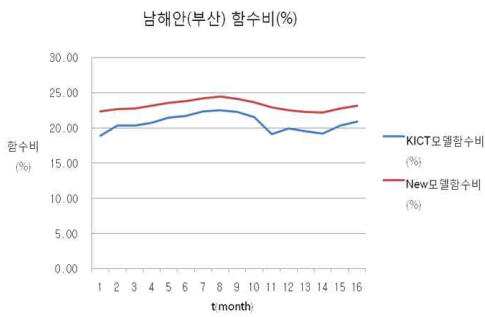
wopt = 최적함수비 (%) w = 함수비 (%)

kw = -0.1417(조립질 노상토)

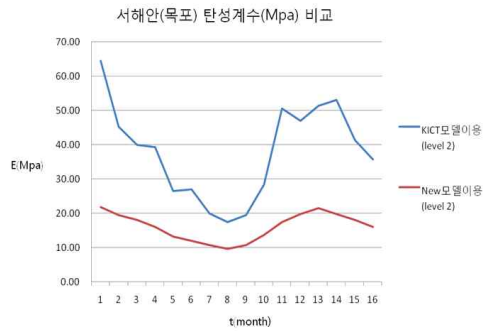
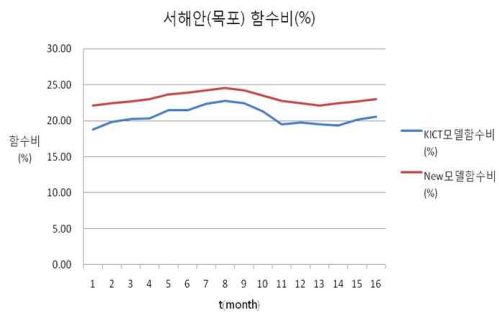
-0.0574(세립질 노상토)



<그림 2.10> 실측값과 모형값 함수비 비교



〈그림 2.11〉 함수비 변화에 따른 탄성계수 변화 비교(남해안)



〈그림 2.12〉 함수비 변화에 따른 탄성계수 변화 비교(서해안)

그림에서 알 수 있듯이 2단계 예측 모형의 함수비가 상대적으로 낮게 평가되어 3단계 예측 모형보다 탄성계수를 과대평가하는 것으로 나타났다.

## 부록 3. 포장 하부구조 재료의 설계입력변수 평가 시험법

### 3.1 범위

도로 포장 구조 설계에서 노상토 및 입상 보조기층과 입도조정 쇄석기층 재료의 기본 설계입력 물성으로서 탄성계수를 선택한다. 탄성계수는 매우 다양한 요소에 의해 영향 받는데 도로 포장 구조 설계에서는 노상토의 경우 체적응력, 축차응력, 함수비를, 입상 보조기층과 입상기층에 대해서는 체적응력을 영향요소로 고려한 탄성계수 결정모 델을 사용한다.

도로 포장 구조 설계에서는 응력수준과 함수비 등의 환경영향을 고려하여 탄성계수 결정모델로부터 탄성계수를 구할 수 있도록 재료에 대한 직접시험을 실시(설계수준 1) 하거나 재료의 기본 물성치로부터 상관경험모형을 이용하여 설계입력변수인 탄성계수를 결정하는 방법(설계수준 2)을 채택하도록 하였으며 기존에 사용해 오던 CBR 시험을 통해 간접적으로 노상토의 탄성계수를 추출하고 이를 설계입력변수로 사용하는 방법(설계수준 3)을 사용할 수 있도록 하였다. 포장 하부구조 재료의 설계입력변수 평가 시험법은 설계수준 1에서 필요한 시험방법, 시험절차 및 소요되는 시험도구와 설계수준 2에서 필요한 기본 물성시험의 종류와 이를 이용한 상관모형의 결정방법에 대하여 설명한다. 설계수준 3에서 사용하는 CBR시험법(KS F 2310)은 보편적으로 통용되고 있으므로 본 시험법 소개에서는 제외한다.

## 3.2

### 반복삼축압축시험을 이용한 설계입력물성 평가(설계등급 1)

#### 가. 시험법 적용의 범위

- 1) 본 시험방법은 노상토 및 입상 보조기층, 입도조정기층인 쇄석기층 재료의 포장 단면설계에 사용되는 탄성계수를 결정하기 위한 것이다.
- 2) 본 시험방법은 재성형 시편, 불교란 시편 모두에 적용 가능하다.
- 3) 응력조건은 포장층의 구성재료(노상, 보조기층, 쇄석기층)에 따라서 달리 적용한다.
- 4) 시편의 크기는 시험재료의 입도분포 특성에 따라서 달리 적용할 수 있다.
- 5) 본 절차에서 획득하는 탄성계수는 비선형성을 포함하는 것으로 응력의존의 탄성계수이며 본 시험에서 적용하는 응력 범위 내에서 유효하다.
- 6) 본 시험절차에서 결정되는 탄성계수는 포장 구조해석에 적용 가능하다.
- 7) 본 시험절차는 시험과정의 안전 문제에 대해서는 포함하지 않는다.
- 8) 본 시험법은 포아송비 및 영구변형 관련 물성은 포함하지 않는다.

#### 나. 용어정의

- 1) 노상토 : 입상보조기층 아래 위치하는 층의 재료로서 다짐된 노상토 또는 원지반 노상토로 구분된다.
- 2) 입상 보조기층 재료 : 본 재료는 토사와 골재를 혼합하거나 자연적으로 얻어지는 것으로서 특별한 안정처리를 하지 않은 재료에 해당한다.
- 3) 쇄석기층(입도조정기층) : 본 재료는 쇄석골재만을 사용하여 입도를 조정된 재료에 해당한다.
- 4) 탄성계수 : 응력과 변형률의 관계를 맺는 계수이며, 비선형성, 응력 의존성, 함수비 특성이 고려된 재료의 변형특성을 칭한다.
- 5) 안정응력 : 시편을 삼축압축시험장치에 거치할 때 시편과 상하부 캡 사이의 안정적인 접촉을 확보하기 위해 가하는 수직 응력을 칭한다.

- 6) 공칭입자크기 : 체가름 시험결과에서 95% 누적 통과량에 해당하는 입자의 공칭 직경으로 정의한다.

## 다. 시험장치

### 1) 삼축압축 셀

- ① 시험의 구속응력 범위는 매우 작으나, 시험의 안전성 확보 측면에서 500kPa 이상의 범위까지 구속응력 재하에 저항 할 수 있는 삼축 압축 셀을 사용한다.
- ② 삼축압축 셀은 셀 내부를 육안으로 볼 수 있도록 투명한 재질을 사용한다.
- ③ 구속응력은 압축공기를 사용한다.
- ④ 시편변형 측정 장치는 삼축 압축 셀 내부 또는 외부 어느 위치에 있어도 무방하다. 시편변형 측정 장치를 장착할 수 있는 장치를 갖추고 있어야 한다.
- ⑤ 하중측정 장치(load cell)는 삼축 압축 셀 내부 또는 외부 어느 위치에 있어도 무방하다.

### 2) 하중재하장치

- ① 하중재하는 응력 조절방식, 변형률 조절방식 모두 적용 가능하다.
- ② 하중재하는 유압식, 공기압식 모두 가능하다.
- ③ 개방형(open loop), 폐쇄형(closed loop) 조절 방식 모두 적용 가능하다.

### 3) 축하중 측정장치

- ① 축하중 측정장치는 전기식으로 결과를 획득할 수 있는 하중계(load cell)를 사용한다.
- ② 하중계의 용량과 정밀도는 시편직경에 따라 <표 3.1>과 같은 수준을 요구한다.

<표 3.1> 반복삼축압축시험 하중계의 용량 및 정밀도 요구수준

| 시편직경(mm) | 용량(kN) | 정밀도(N) |
|----------|--------|--------|
| 50       | 2 이상   | ±2     |
| 70       | 5 이상   | ±5     |
| 100      | 10 이상  | ±10    |
| 150      | 20 이상  | ±20    |

#### 4) 구속응력 측정 장치

- ① 구속응력을 공기압을 사용하므로 공기압을 측정할 수 있는 장치이어야 한다.
- ② 구속응력 측정 장치는 전기식으로 측정할 수 있는 장치이어야 한다.
- ③ 구속응력 측정 장치의 용량은 500kPa, 정밀도는  $\pm 0.5\text{kPa}$  이상이어야 한다.

#### 5) 축변형 측정 장치

- ① 축변형은 전기식 측정 장치 (LVDT)를 사용하는 것을 원칙으로 한다.
- ② 축변형 측정 장치의 용량과 정밀도는 시편 길이에 따라 <표 3.2>와 같은 수준을 요구한다.

<표 3.2> 반복삼축압축시험 축변형 측정장치의 용량 및 정밀도 요구수준

| 시편직경(mm) | 용량 (mm) | 정밀도                 |
|----------|---------|---------------------|
| 50       | 5mm 이상  | $\pm 0.001\text{m}$ |
| 70       | 6mm 이상  | $\pm 0.002\text{m}$ |
| 100      | 8mm 이상  | $\pm 0.002\text{m}$ |
| 150      | 10mm 이상 | $\pm 0.003\text{m}$ |

#### 6) 시편성형장치

- ① 시편성형 방법과 장치는 부록에 따른다.

#### 7) 기타장비

- ① 일반적인 삼축압축시험과 마찬가지로 O-ring, 고무막(membrane), 고무막 설치 보조장치, 상부 캡(top cap), 하부 캡(bottom cap) 등이 필요하다.
- ② 하부 캡에는 배수를 위한 배수구멍(drainage valve)이 설치되어 있어야 한다.

### 라. 시험장치 검증

- 1) 시험 장치는 시험기에 사용되는 각각의 측정 장치 검증과 시험기 전체 시스템 검증으로 나뉜다.

## 2) 시험장치 전체 시스템 검증

- ① 시험장치 시스템 검증은 매 1년 마다 또는 100회 시험 후 실시한다.
- ② 1년 또는 100회 시험 이전이라도 시험장치가 심각한 충격을 받은 경우에는 시스템 검증을 수행한다.  
시스템 검증은 강성도(탄성계수)를 알고 있는 인조 우레탄 검증시편을 사용하여 수행한다.

## 3) 각각 측정 장치의 개별적인 검증

- ① 검증대상 계측장치는 하중계(load cell), 변위계(LVDT), 압력계(pressure gage)이다.
- ② 각각 측정 장치의 개별적인 검증은 매 6개월 마다 또는 50회 시험 후 실시한다.
- ③ 6개월 또는 50회 시험 이전이라도 각각 개별의 측정 장치가 심각한 충격을 받은 경우에는 검증을 수행한다.

## 마. 시험시편

- 1) 시편성형 방법은 「부록 3.3절」을 따른다.
- 2) 시편의 크기는 시료의 공칭직경에 따라 다르게 사용한다.
- 3) 시편의 길이는 직경의 2배 이상이 되어야 한다.
- 4) 나무뿌리 등 이물질이 있는 불교란 시료는 시편에서 제외한다.

## 바. 삼축압축시험 시험장치에 시편 거치

### 1) 시험 준비

- ① 시험시편을 준비한다.
- ② 시료가 놓이는 상부캡(top cap) 및 하부판(base plate)을 깨끗이 청소해 둔다.
- ③ 하부판(base plate)에 설치된 배수구멍(drainage hole)의 열림 상태를 확인하고, 만약 막혀있는 경우에는 압축공기를 사용하여 배수구멍(drainage hole)이 열림 상태가 되도록 한다.

## 2) 시편거치 순서

- ① 하부판(base plate)에 설치된 배수구멍(drainage hole)위에 거름종이(filter paper)를 설치한다.
- ② 단부오차를 최소화하기 위해서 시편의 양 단부를 석고 처리한다.
  - 석고를 반죽한다.
  - 바닥판을 석고 처리한다. 이때 배수구멍이 막히지 않도록 주의한다.
- ③ 시편을 바닥판 위에 설치한다.
  - 시편이 수직이 되도록 주의하여 설치한다.
  - 시편이 바닥판의 중심에 위치하도록 주의하여 설치한다.
- ④ 시편상부 면을 석고처리한다.
- ⑤ 상부 캡을 설치한다.
  - 시편을 조심스럽게 중심 위치를 맞춘다.
  - 시편 주위로 흘러나온 여분의 석고를 제거한다.
- ⑥ 멤브레인을 조심스럽게 설치한다.
- ⑦ O-ring 을 설치한다.
  - 아래 부분의 O-ring을 먼저 설치하고 윗 부분의 O-ring을 나중에 설치한다.
  - O-ring 설치후 O-ring 주위를 진공왁스로 처리한다.

## 3) 삼축압축 셀의 결함

- ① 시편에 진공압(7kPa)을 재하하여 시편 밀봉상태를 확인한다.  
(설명) 멤브레인이 손상된 경우에는 액상 rubber latex로 밀봉하거나 새로운 멤브레인을 씌워 밀봉상태를 확보한다.
- ② 밀봉이 확인되면 삼축셀을 씌운다.
- ③ 셀이 조립되면 하중제하장치를 조립한다.

## 사. 삼축압축시험 하중 재하 순서

- 1) 배수 밸브를 개방하여 시편 내부가 대기압상태로 되도록 한다.
- 2) 초기 구속응력을 재하한다.  
(설명) 초기 구속응력의 크기는 노상토의 경우에는 41kPa, 쇄석기층 및 보조기층 재료의 경우에는 104kPa을 적용한다.
- 3) 초기 구속응력을 재하한 후 2시간 이상 기다린다. 이것은 시편의 양 단부를 처리한 석고의 완전히 경화될 수 있는 양생시간을 확보하기 위함이다.
- 4) 초기 구속응력조건에서 육안으로 시편에 구속응력이 재하되었는지 멤브레인의 상태를 육안으로 관찰한다.
- 5) 초기 구속응력 조건에서 시편의 완전 밀봉 상태를 확인한다.
  - ① 삼축압축시험장치 몸체 외부의 배수관(drainage line) 끝 부분을 물속에 넣어 둔다. 이때 두 개의 배수관(drainage line) 모두를 사용할 수도 있고, 하나만 사용하는 경우에는 사용하지 않는 배수관은 막아둔다.
  - ② 만일 완전한 밀봉이 이루어진 경우라면 초기에 시편의 부피 변화에 의한 약간의 공기방울 이후에는 공기방울이 발생하지 않는다.
  - ③ 그러나, 계속해서 공기방울이 발생하는 경우에는 압축공기가 시편 내부로 스며 들고 있는 것이다.
  - ④ 공기방울이 계속 발생하는 경우, 구속응력을 제거하고, 몸체를 분해하고, 멤브레인을 추가로 하나 더 씌운 후, 다시 몸체, 구속셀 조립, 초기구속응력을 재하한다. 이 상태에서 공기방울 발생 여부를 다시 확인한다. 공기방울이 멈춘 경우에는 시험의 계속 진행하고, 공기방울이 이 상태에서도 멈추지 않는 경우에는 시험을 중지한다.
- 6) 안정응력을 재하한다.
  - ① 안정응력 계산에서 재하봉 자체의 무게를 고려한다.
  - ② 안정응력은 노상토 시료의 경우에는 6.9kPa, 쇄석기층 및 보조기층 시료의 경우에는 13.8kPa 을 적용한다.

7) 하중재하 순서에 따라 구속응력, 축차응력을 재하하며 이 때의 구속응력, 축차응력, 축변형률을 측정한다.

- ① 하중재하순서는 노상도 재료의 경우에는 <표 3.3> 쇄석기층 및 입상 보조기층 재료의 경우에는 <표 3.4>를 따른다.
- ② 변형률 조절방식의 시험장치인 경우 축변형률 0.04%/분의 속도로 하중을 재하-역재하 한다.
- ③ 응력조절 방식의 시험장치인 경우 축차응력 50kPa/분의 속도로 하중을 재하-역재하 한다.
- ③ 축차응력 재하단계에서 축차응력 및 축변형률은 적어도 2초에 1개 이상의 자료를 측정 기록한다.
- ④ 모든 하중단계에서 영구 변형률이 5% 이상이면 시험을 종료하고 보고서에 이러한 상황을 기록한다.
- ⑤ 반복하중 시험과정에서 총 누적 영구 변형률이 5% 이하이고, 강도특성이 필요한 경우에는 파괴 하중까지의 전단시험을 연이어 수행할 수 있다.

<표 3.3> 노상도 시료에 대한 삼축압축시험의 하중 조합

| 구속응력 (kPa)                      | 하중반복횟수 | 축차응력 (kPa) |        |
|---------------------------------|--------|------------|--------|
|                                 |        | 재하         | 역재하    |
| 41                              | 2      | 0 → 69     | 69 → 0 |
| 21                              | 2      | 0 → 69     | 69 → 0 |
| 10                              | 2      | 0 → 69     | 69 → 0 |
| 0                               | 2      | 0 → 69     | 69 → 0 |
| 안정응력 : 6.9 kPa, 축변형속도 : 0.04%/분 |        |            |        |

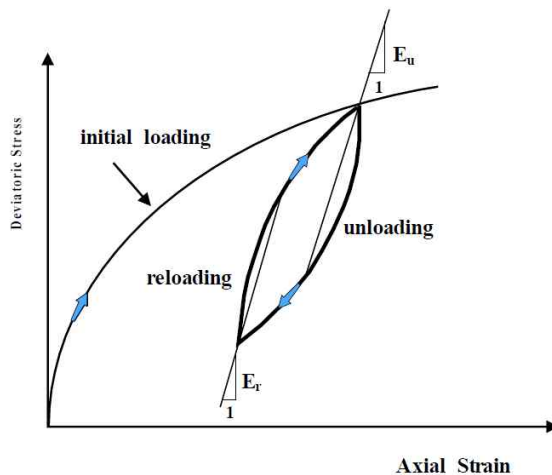
<표 3.4> 쇄석기층 및 보조기층 시료에 대한 삼축압축시험의 하중조합

| 구속응력 (kPa)                       | 하중반복횟수 | 축차응력 (kPa) |         |
|----------------------------------|--------|------------|---------|
|                                  |        | 재하         | 역재하     |
| 104                              | 2      | 0 → 104    | 104 → 0 |
| 21                               | 2      | 0 → 69     | 69 → 0  |
| 35                               | 2      | 0 → 104    | 104 → 0 |
| 69                               | 2      | 0 → 207    | 207 → 0 |
| 104                              | 2      | 0 → 207    | 207 → 0 |
| 138                              | 2      | 0 → 276    | 276 → 0 |
| 안정응력 : 13.8 kPa, 축변형속도 : 0.04%/분 |        |            |         |

- 8) 시험이 완료되면 구속응력을 제거하고, 삼축셀을 분리한다.
- 9) 멤브레인을 제거하고 시편의 함수비를 측정한다.
- 10) 삼축압축시험 결과로부터 각 구속응력 단계에서 응력-변형률 곡선 그림을 그리고, 각 하중단계에서 탄성계수를 결정한다.

#### 아. 응력단계별 탄성계수 계산

- 1) 구속응력 단계별 응력-변형률 곡선을 획득한다. 전형적인 응력-변형률 곡선은 <그림 3.1>과 같다.
- 2) 탄성계수 결정은 각 구속응력단계에서 수행된 2회의 반복재하과정 중, 2번째 재재하 단계의 자료를 기준으로 결정한다. 응력-변형률 곡선에서 2번째의 재재하가 시작되는 점을 기준으로 한 응력-변형률 곡선의 기울기로부터 재재하 단계의 할 선탄성계수를 결정한다.
- 3) 탄성계수는 각 구속응력 단계에서 축차응력 크기에 따른 탄성계수를 연속적으로 결정한다.
- 4) 각 구속응력 단계에서 축차응력 크기에 따라 결정된 탄성계수 자료를 이용하여 <표 3.5>의 응력단계에서 최종적인 탄성계수를 결정한다.



<그림 3.1> 삼축압축시험에서 결정되는 전형적인 응력-변형률 곡선

〈표 3.5〉 삼축압축시험을 이용한 탄성계수 결정 응력 단계

| 단계 | 노상토       |           | 단계 | 입상보조기층 재료 |           |
|----|-----------|-----------|----|-----------|-----------|
|    | 구속응력(kPa) | 축차응력(kPa) |    | 구속응력(kPa) | 축차응력(kPa) |
| 1  | 0         | 14        | 1  | 21        | 21        |
| 2  |           | 28        | 2  |           | 41        |
| 3  |           | 51        | 3  |           | 61        |
| 4  |           | 55        | 4  | 35        | 35        |
| 5  |           | 69        | 5  |           | 69        |
| 6  | 10        | 14        | 6  | 69        | 104       |
| 7  |           | 28        | 7  |           | 69        |
| 8  |           | 51        | 8  |           | 138       |
| 9  |           | 55        | 9  |           | 207       |
| 10 |           | 69        | 10 | 104       | 69        |
| 11 | 21        | 14        | 11 |           | 104       |
| 12 |           | 28        | 12 |           | 207       |
| 13 |           | 51        | 13 | 138       | 104       |
| 14 |           | 55        | 14 |           | 138       |
| 15 |           | 69        | 15 |           | 276       |
| 16 | 41        | 14        |    |           |           |
| 17 |           | 28        |    |           |           |
| 18 |           | 51        |    |           |           |
| 19 |           | 55        |    |           |           |
| 20 |           | 69        |    |           |           |

## 자. 결과보고

1) 결과 보고서에는 다음의 사항을 포함하여 기록한다.

- ① 시험자 및 시험일자를 기록한다.
- ② 시험시료의 기초자료 특성을 기록한다. 기초자료 특성에는 시료명, 흙의 통일 분류법상 분류, 최대건조단위중량, 최적함수비 등을 포함한다.
- ③ 시험시편의 성형방법을 기록한다.
- ④ 시험시편의 조건 (함수비, 최대건조단위중량, 다짐도)을 기록한다.
- ⑤ 각 구속응력 단계에서 결정된 응력-변형률 곡선을 기록한다.

- ⑥ 각 응력 단계에서 결정된 탄성계수 결과정리 표를 기록한다.
  - ⑦ 실험결과는 결정모델을 적용하여 회귀분석된 결과(모델계수)를 포함한다.
- 2) 동일한 시료에 대하여 삼축압축시험 이외의 시험이 병행하여 수행된 경우에는 시험 항목 및 그 결과의 요약을 포함한다.

### 3.3 설계입력 물성 평가시험을 위한 시편성형

#### 가. 시편 성형기법 적용의 범위

- 1) 본 시편성형 기법은 노상토, 쇄석기층 및 입상 보조기층 재료의 포장 단면설계에 사용되는 탄성계수를 결정하기 위한 시험 시편에 적용한다.

#### 나. 시험 성형기법 일반사항

- 1) 삼축압축시험에 사용하는 시편의 크기는 시료입자의 공칭직경(95% 누적 통과량에 해당하는 직경)의 5배 이상을 적용하는 것을 원칙으로 한다.  
(설명) 시험기의 제약으로 크기가 작은 시편을 사용하는 경우에는 과대입자를 제거한 모델시료를 사용하여 시편을 성형하며, 이러한 경우에는 모델시료의 영향을 시험 결과에 별도로 고려한다.
- 2) 시편의 높이는 시편 직경의 두 배 이상을 원칙으로 한다.
- 3) 재성형 시편의 건조단위중량은 다짐시험에서 결정된 최대건조단위중량의 85% 이상을 목표로 한다.
- 4) 시편의 함수비는 다짐시험에서 결정된 최적함수비를 기본으로 한다.
- 5) 시편성형 방법은 노상토, 쇄석기층 및 입상 보조기층 재료 모두에 있어서 5층 봉다짐 방법을 기본으로 한다.

## 다. 시편 성형 장치

- 1) 시편성형을 위해서는 시편성형용 다짐 붐, 시편성형 몰드 등이 필요하다.
- 2) 시편성형용 다짐붐은 시편직경 50mm 및 70mm 시편의 경우에는 다짐램머의 무게  $1.2 \pm 0.1\text{kg}$ , 낙하높이  $400 \pm 5\text{mm}$ , 다짐직경  $25 \pm 1\text{mm}$ 로 한다. 시편 직경 100mm 또는 150mm 시편의 경우에는 다짐시험(KS F2312) D다짐 다짐램머(4.5kg)를 적용한다.
- 3) 시편성형 몰드는 충분한 강성을 갖는 원통형 몰드 또는 split mold 를 사용한다.

## 3.4 시편 성형 절차

### 가. 시험시료 준비

- 1) 시험시료의 최대 공칭입자 크기는 성형하고자 하는 시편의 크기에 따라서 <표 3.6>과 같이 적용한다.

<표 3.6> 시험시료의 최대입자크기

| 시편직경(mm) | 최대입자크기(mm) |
|----------|------------|
| 150      | 38mm 이하    |
| 100      | 19mm 이하    |
| 70       | 13mm 이하    |
| 50       | 9.5mm 이하   |

- 2) 시험시료의 최대입자 크기 이상은 모두 제거한 모델시료를 사용하여 시험을 수행 한다. 모델 시료 사용에 따른 시험결과 보정은 부록 A-2 및 A-3을 따른다.

## 나. 시험시료 함수비 조절

- 1) 분무기를 사용하여 시료의 함수비를 최적함수비 조건으로 맞춘다.
- 2) 물을 뿌린 후 골고루 섞어서 균일한 함수비 조건이 될 수 있도록 하며, 5분 이상 밀봉된 상태에서 대기한다.
- 3) 시편 성형을 위한 시료의 함수비 측정은 전자렌지를 사용한 급속함수비 측정 방법을 사용할 수 있다.  
(설명) 전자렌지 가열시간은 시료의 양에 따라서 경험적으로 결정하며, 보통 10분~15분이면 적절하다.
- 4) 전자렌지를 사용한 함수비 측정에서 목표 함수비(최적함수비)에  $\pm 0.2\%$  이내의 오차에 들어올 때 까지 함수비를 조절한다.
- 5) 목표 범위에 들어온 시편에 대해서, 정확한 함수비 측정을 위해서 표준 함수비 측정방법( $105\pm 5^{\circ}\text{C}$ , 24시간)으로 함수비를 측정한다.
- 6) 최종적인 시편의 함수비는 표준 함수비 측정방법으로 측정한 결과를 사용한다.

## 다. 시편 다짐몰드 준비

- 1) split mold 또는 원통형 몰드를 준비한다.
- 2) split mold를 사용하는 경우 몰드를 조립하고 아래에 바닥판을 끼워 넣는다.
- 3) 경우에 따라서는 split mold 내부에 얇은 필름(OHP 필름)등을 넣어 시편 추출 시 시편의 손상을 줄이는 방법을 사용해도 무방하다.
- 4) 원통형 몰드를 사용하는 경우에는 유압기를 사용해서 시편을 추출한다.

## 라. 시편다짐 성형

- 1) 함수비 조절이 완료된 시료를 사용하여 5층 다짐으로 시편을 성형한다.
- 2) 한 층 다짐 부피를 계산한다.

$$V_1 = (\frac{\pi}{4} D^2 H) / 5 \text{ <식 3.1>}$$

여기서,  $V_1$  = 한층 다짐부피

$D$  = 다짐 몰드 내부의 직경

$H$  = 목표 시편 높이

3) 한층 다짐 부피에 해당하는 시료의 무게를 계산한다.

$$W_1 = \gamma_t \cdot V_1 \text{ <식 3.2>}$$

여기서,  $W_1$  = 한층 다짐 시료 무게

$V_1$  = 한층 다짐부피

$\gamma_t$  = 시편의 목표 총단위중량 (아래 식 사용)

$$\gamma_t = \gamma_d (1 + w)$$

여기서,  $\gamma_t$  = 시편의 목표 총단위중량

$\gamma_d$  = 시편의 목표 건조단위중량

$w$  = 시료의 측정된 함수비 (목표 함수비와 약간의 차이가 있을 수 있음, 목표 함수비 즉 최적 함수비가 아님)

- 4) 한층 다짐시료 무게의 시료를 다짐몰드 내부에 넣는다. 이때 시료가 몰드 외부로 손실되지 않도록 매우 주의한다.
- 5) 시료를 몰드에 넣고 스페출라로 골고루 쑤신다. 이때 몰드 벽면을 돌아가면서 쑤셔서 몰드와 시편사이의 공간이 없도록 주의한다.
- 6) 다짐봉을 사용하여 목표 높이 까지 다짐을 실시한다.
- 7) 다짐봉을 사용하여 시편을 다질 때 시편이 균일하게 다짐될 수 있도록 골고루 균질하게 다진다. 일반적으로 10회 ~ 20회 정도 다짐이면 목표값을 얻을 수 있다.
- 8) 목표 높이에 도달하면 다음층 시료의 무게를 계량한다.
- 9) 이전에 다짐 층의 바닥을 약간 긁어 일으킨다. 이것은 다짐 층과 층 사이의 접촉을 좋게 하기 위함이다.

- 10) 이후 동일한 반복작업을 마지막 측까지 수행한다.
- 11) 마지막 층이 목표 높이까지 다져지면 몰드직경보다 약간 작은 둥근 쇠판을 놓고 가볍게 타격하여 시편의 가장 윗면을 매끄럽게 정형한다.

#### 마. 시편 추출

- 1) split mold를 사용한 경우에는 조심스럽게 split mold를 분해하여 시편 얻는다.
- 2) 일체형 mold 를 사용한 경우에는 유압식 시편 추출 장치를 이용하여 시료를 느린 속도로 추출한다.

#### 바. 시험시편 조건 계산

- 1) 추출된 시편의 무게, 직경, 높이를 측정한다. 직경은 위, 중간, 아래 부분을 측정하여 평균하며 높이는 서로 다른 위치에서 3회 측정하여 평균한다.
- 2) 성형된 시편의 건조단위중량 및 다짐도를 계산한다.

$$(\gamma_d)_{specimen} = \frac{\gamma_t}{(1+w)} = \frac{(W/V)}{(1+w)} \quad \langle \text{식 3.3} \rangle$$

여기서,  $(\gamma_d)_{specimen}$  = 시편의 건조단위중량

W = 시편의 무게

V = 시편의 부피

w = 시편의 함수비(목표함수비가 아님)

$$RC(\%) = \frac{(\gamma_d)_{specimen}}{(\gamma_{d,max})_{compaction}} \times 100(\%) \quad \langle \text{식 3.4} \rangle$$

여기서, RC = 다짐도(%)

$(\gamma_d)_{specimen}$  = 시편의 건조단위중량

$(\gamma_{d,max})_{compaction}$  = 다짐시험에서 결정된 최대 건조단위중량

## 사. 시험시편 적합성 평가

- 1) 최종적으로 성형된 시편의 외형적인 손상을 육안으로 평가한다. 만일 손상이 발견되면 시편을 다시 성형한다.
- 2) 외형적인 손상이 없더라도 시편추출과정 등에서 과도한 하중이 시편에 가해진 경우에는 시편을 다시 성형한다.
- 3) 성형된 시편의 다짐도가 목표다짐도의 근사 범위에 있는지를 검토한다.
- 4) 성형된 시편의 다짐도는 목표다짐도의  $\pm 0.5\%$  이내에 들어야 한다. 노상토의 경우 목표 다짐도는 최대건조다짐밀도의 95%이상이므로 성형된 시편의 다짐도는 94.5% - 95.5% 범위 이내에 있어야한다.
- 5) 만일 성형된 시편의 다짐도가 허용범위를 벗어나면 시편을 다시 성형한다.

## 아. 최종적인 시험시편 조건의 보고 및 재평가

- 1) 시편 성형과정에서는 전자렌지를 이용한 급속함수비 측정 방법을 적용할 수 있다. 이것은 시편성형과정에서 시편의 적합성을 일차적으로 평가하기 위한 목적이다. 따라서 최종적인 시편의 상태는 표준함수비 측정법으로 결정된 함수비를 사용하여 평가하여야 한다.
- 2) 표준함수비로 측정된 함수비 결과를 사용하여 시편의 다짐도를 다시 계산한다.
- 3) 최종적인 시편의 다짐도는 목표다짐도  $\pm 0.5\%$  이내에 들어야 한다. 노상토의 경우 목표 다짐도는 95%이므로 성형된 시편의 다짐도는 94.5% - 95.5% 범위 이내에 있어야한다.
- 4) 만일 최종 평가된 시편의 다짐도가 허용범위를 벗어나면 시험을 중지한다. 이러한 경우 급속함수비 측정방법과 표준 함수비 측정방법에 많은 차이가 있는 경우이므로 함수비 조절에 특별한 주의를 요한다.
- 5) 최종 평가된 시편의 다짐도가 허용범위 이내라면, 함수비, 건조단위중량, 다짐도를 해당 시편의 조건으로 보고·기록 한다.

### 3.5

## 포장 하부구조 재료의 설계입력변수 평가 경험모형식(설계등급 2)

### 가. 경험모형식

포장 하부구조 재료의 설계입력변수 평가를 위한 경험모형식은 국내 재료에 대한 시험자료를 바탕으로 개발되었다. 경험모형식은 설계입력변수인 탄성계수와 기초물성 및 응력수준 사이에 상관성을 설정한다. 경험모형 설정에 사용된 국내 하부구조 재료의 탄성계수의 최대값과 최소값의 범위는 <표 3.7>과 같다. 상관모형 설정에 사용된 국내 하부구조 재료의 기초물성과 국내 하부구조가 경험하는 응력수준의 범위는 <표 3.8>로 설정하였다. 설계등급 2에서 사용할 국내 하부구조 총재료에 대한 경험모형식은 인공 신경망 이론을 이용하여 개발되었으며 노상토, 입상 보조기층 및 입도조정 쇄석기층 재료별로 <표 3.9> ~ <표 3.11>과 같은 상관식의 형태로 표현할 수 있으며 각 재료에 해당하는 상관식에 관련되는 기초 재료물성을 산입하면 설계입력 변수인 탄성계수를 계산할 수 있도록 하였다.

<표 3.7> 경험모형 탄성계수의 최대값 및 최소값의 범위 (단위, MPa)

| 구분        | $E_{min}$ | $E_{max}$ |
|-----------|-----------|-----------|
| 노상토       | 39.0      | 276.0     |
| 보조기층      | 60.0      | 422.0     |
| 입도조정 쇄석기층 | 100       | 600       |

〈표 3.8〉 기초 물성과 응력수준( $\sigma_3$ ,  $\sigma_8$ ,  $\sigma_d$ )의 최대치 및 최소치

| 구분           | 항목                    | 최소값(Min.) | 최대값(Max.) |
|--------------|-----------------------|-----------|-----------|
| 노상토          | 최적함수비(OMC, %)         | 6.0       | 15.0      |
|              | 최대건조단위중량( $kN/m^3$ )  | 1.65      | 2.34      |
|              | 균등계수( $C_u$ )         | 0         | 41        |
|              | #200체 통과량 (%)         | 1.0       | 20.0      |
|              | 구속응력 $\sigma_3$ (kPa) | 0         | 41        |
|              | 축차응력 $\sigma_d$ (kPa) | 14        | 69        |
| 보조기층 재료      | 최대건조단위중량( $kN/m^3$ )  | 2.0       | 2.4       |
|              | 균등계수( $C_u$ )         | 9.0       | 65        |
|              | #4체 통과량 (%)           | 25        | 55        |
|              | 구속응력 $\sigma_3$ (kPa) | 21        | 138       |
|              | 체적응력 $\theta$ (kPa)   | 84        | 690       |
| 입도조정 쇄석기층 재료 | 최대건조단위중량( $kN/m^3$ )  | 2.1       | 2.4       |
|              | 균등계수( $C_u$ )         | 40        | 100       |
|              | #4체 통과량 (%)           | 30        | 65        |
|              | 구속응력 $\sigma_3$ (kPa) | 21        | 138       |
|              | 체적응력 $\theta$ (kPa)   | 50        | 100       |

〈표 3.9〉 노상 경험모형식

| 노상                                                                                         |
|--------------------------------------------------------------------------------------------|
| $k_1 = 2457.712 - 24.6057(OMC) - 1004.36(\gamma_{max}) + 10.87046(C_u) - 26.2423(P_{200})$ |
| $k_2 = -2.6015 + 0.03255(OMC) + 1.192409(\gamma_{max}) - 0.01122(C_u) + 0.046575(P_{200})$ |
| $k_3 = 0.914942 - 0.01813(OMC) - 0.50165(\gamma_{max}) + 0.003201(C_u) - 0.02091(P_{200})$ |

여기서,  $\gamma_{max}$  : 최대건조단위중량( $t/m^3$ )

$C_u$  : 균등계수

$P_{200}$  : 200번체 통과율(%)

OMC : 최적함수비(%)

〈표 3.10〉 입상 보조기층 경험모형식

| 노상                                                                         |
|----------------------------------------------------------------------------|
| $k_1 = -51.5516 + 40.35118(\gamma_{\max}) + 0.572683(C_u) + 0.765182(P_4)$ |
| $k_2 = 1.155052 - 0.51982(\gamma_{\max}) + 0.005393(C_u) + 0.002963(P_4)$  |

여기서,  $\gamma_{\max}$  : 최대건조단위중량(t/m<sup>3</sup>)

C<sub>u</sub> : 균등계수

P<sub>4</sub> : 4번째 통과율 (%)

〈표 3.11〉 입도조정 쇄석기층 경험모형식

| 노상                                                                        |
|---------------------------------------------------------------------------|
| $k_1 = 525.3144 - 156.406(\gamma_{\max}) + 1.1975(C_u) - 0.62312(P_4)$    |
| $k_2 = 0.863715 - 0.35398(\gamma_{\max}) + 0.000974(C_u) + 0.003344(P_4)$ |

여기서,  $\gamma_{\max}$  : 최대건조단위중량(t/m<sup>3</sup>)

C<sub>u</sub> : 균등계수

P<sub>4</sub> : 4번째 통과율 (%)

## 나. 포장 하부구조 재료의 설계입력변수 평가절차 예

### 1) 설계등급 결정

- ① 포장 구조 설계 대상 구간의 설계등급을 결정한다.

### 2) 설계구간 지반조사

- ① 포장 구조 설계를 위한 설계구간의 시추조사 및 시험굴 조사를 수행하고 시료를 채취한다.
  - 시추조사 계획은 지반의 개략적인 변화특성 및 설계등급을 고려하여 결정한다.
  - 시추조사를 통하여 설계대상 구간의 지층구조를 확인한다.
  - 시험굴 조사를 통하여 기초물성 시험에 필요한 충분한 양의 시료를 확보한다.

- ② 노상토 층 아래 측이 연약한 원지반이 존재하는 구간에 대해서는 대책공법을 수립한다.
  - ③ 채취된 시료에 대해서는 다짐시험, 체가름 시험 등 기초 물성시험을 수행한다.
- 3) 설계구간 시료 선정 및 채취
- ① 설계구간에서 사용할 입도조정 쇄석기층, 입상보조기층 재료를 재료원별로 선정하고, 노상토는 절토부 또는 예상 재료원으로부터 직접 채취한다.
    - 채취된 시료의 기초물성시험과 지반조사 자료를 분석하여 지반조건이 변화하는 구간마다 대표적인 시료를 채취한다.
    - 노상토 시료는 절토부 250m 구간 길이 마다 1개 이상의 시료를 선정한다.
    - 입상 보조기층은 재료원별로 선정·채취한다.
    - 입도조정 쇄석기층 재료는 재료원별로 선정·채취한다.
- 4) 하부구조 설계입력 물성 평가
- ① 설계대상 구간에서 선정 채취된 노상토 및 입상 보조기층, 입도조정 쇄석기층 재료에 대하여 다짐시험과 체가름 시험 등 기초물성 시험을 수행한다.
  - ② 포장 구조 설계에서 제안하고 있는 경험모형식을 적용하여 노상토 및 입상 보조기층, 입도조정 쇄석기층 재료의 탄성계수를 산정한다.
  - ③ 포장 구조 설계에서 제안하는 환경변화 모형을 적용하여 노상토의 함수비 변화를 예측한다.
    - 포장 구조 설계 해석 프로그램 내에서 강수량과 지역(온도)조건을 이용하여 기상청관측소 D/B로부터 자동으로 연산된다.
  - ④ 설계입력변수 경험모형과 환경모형을 통하여 최종적으로 결정된 각 시료의 응력 조건 및 환경조건에 따른 탄성계수의 대표 설계 평균값을 결정한다.
  - ⑤ 설계구간에서 노상토 재료의 탄성계수 변화를 검토하여 하나의 포장단면으로 설계하는 구간 길이를 결정한다.
    - 각 시료의 평균 탄성계수가 이전구간에 비하여 세 배 이하이면 하나의 포장 단면으로 고려한다.

- 만일 평균 탄성계수가 세 배 이상 차이가 발생하면 노상토 및 입상 보조기층 설계구간을 나눈다.
  - 평균 탄성계수가 세 배 이상 차이가 발생하는 경우라도 하나의 구간 길이가 750m 이하이면 별도의 설계구간으로 구분하지 않는다.
  - 독립적인 포장 단면구간의 변화 위치는 구조물과 토공 구간의 접속부 또는 흙쌓기와 흙깎기 경계 구간 등 시공성을 고려하여 결정한다.
- 5) 설계등급이 2인 경우에는 각각의 설계구간에서 경험모형으로부터 결정된 각 응력조건 단계에서의 탄성계수를 각각 평균하여 이를 응력단계별 탄성계수로 결정하고 설계 입력 탄성계수 값으로 적용한다.
- 6) 설계등급 1인 경우에는 각 설계구간마다 채취된 시료에 대하여 반복재하 삼축압축시험을 수행하여 설계 탄성계수를 결정한다.
- ① 각 응력조건 단계에서의 탄성계수를 각각 평균하여 응력단계별 탄성계수를 결정하고 이를 설계 입력 탄성계수로 적용한다.
- 7) 설계등급 3인 경우에는 노상재료의 CBR을 구하여 탄성계수로 환산한다.
- ① 노상의 탄성계수 범위를 4단계로 구분하여 설계 탄성계수를 구한다.
  - ② CBR을 이용한 탄성계수의 환산은 아래 식을 이용한다.

$$MR = 17.6 \times CBR^{0.64} \text{ <식 3.5>}$$

여기서, MR : 회복탄성계수 (MPa), CBR : California Bearing Ratio(%)

- ③ CBR 값에 따른 노상 탄성계수의 범위는 아래와 같이 구분한다.

<표 3.12> 노상 조건의 구분

| E (kPa)                  | CBR               | 분류 |
|--------------------------|-------------------|----|
| $E < 49,300$             | $CBR < 5$         | S1 |
| $49,300 \leq E < 76,900$ | $5 \leq CBR < 10$ | S2 |
| $76,900 \leq E$          | $10 \leq CBR$     | S3 |

## 부록 4. 입상재료

### 4.1 입상재료 개요

입상재료 혹은 흙은 도로 건설의 기초가 되는 것으로 매우 중요한 기초 재료이며 종류에 따라 그 특성 또한 다양하게 정의된다. 포장체 일반적으로 흙 위에 놓이는 토목 구조물이므로 흙의 특성은 도로의 성능과 공용성에 영향을 준다. 실제로 흙의 건조, 포화 상태에 따라 포장 거동에 미치는 영향은 다르다. 따라서 관련 연구를 통해 흙의 종류를 액성지수, 소성지수 등과 같은 경험적인 시험법을 통해 구분하고 있으며, 대표적인 구분 방법으로는 AASHTO 흙분류와 통일 분류법이 있다.

포장 구조 설계에서는 흙에 대한 시험법을 고안하여 이를 바탕으로 흙의 종류 및 기타 변수에 따른 흙의 물성 정의 및 모형을 개발하여 반영하고 있다. 대표적인 흙의 물성값으로 CBR, MR, R, K, 탄성계수 등을 사용하고 있으며 기타 방법으로 N 값, 군지수 등이 있다. 실제 기존의 AASHTO 설계에서는 포장형식마다 포장 두께 산정을 위한 각각 다른 물성값을 사용하고 있다. 아스팔트 콘크리트 포장은 MR (회복탄성계수)값을 설계에 사용하는 반면 시멘트 콘크리트 포장에서는 K(노상 지지력계수) 값을 사용하고 있다. 최근에는 기존의 경험적인 물성에 대한 한계를 인식하고 역학적인 접근 방법이 시도되고 있다. 도로포장 구조 설계에서는 흙을 정량화하는데 있어 설계 수준에 관계없이 역학적 방법을 이용하여 물성을 정량화하였고, 그 값을 간접적으로 추정할 수 있는 예측식을 사용하고 있다.

## 4.2 입상재료의 물성 시험법

포장의 상부 구조를 지지하는 흙의 물성을 정의하는 것은 매우 중요하다. 본 장에서는 과거의 경험적인 흙의 물성 정량화 시험법에서부터 현재 사용되고 있는 역학적 이론에 근거한 시험법에 이르기까지 살펴보았다. 경험적인 시험법은 구성 방정식이 없으며 흙의 상태, 재료, 시료 크기 등에 따라 그 값이 달라진다. 반면 역학적인 시험법은 물성에 대한 기본 구성 방정식이 있으며 이 식의 변수들을 결정하기 위해 시험을 수행한다.

### 4.2.1 경험적인 시험법

#### (1) California Bearing Ratio(CBR)

CRB은 일반 CBR, 수정 CBR, 설계 CBR로 구분된다. 일반 CBR 시험은 O.J Porter가 최초로 연구하고 그 후 미국 캘리포니아 주의 도로국 및 미공병단을 거쳐 정립된 토질 시험법이다. 이 시험법은 시공 기술자들의 경험을 바탕으로 현장에서 간단한 시험 도구를 이용하여 흙의 지지력 및 특성을 정의하는 경험적인 방법으로 직경 50 mm의 철재 원형 관입봉을 1 mm/분의 속도로 시험토에 관입시킨다. 최종 2.5mm 관입될 때까지의 하중과 관입 깊이와의 관계로부터 표준 하중에 대한 백분율로 나타낸다.

$$CBR(\%) = \frac{\text{시험하중}}{\text{표준하중}} \times 100 \quad \langle \text{식 4.1} \rangle$$

CBR 산정 방법은 AASHTO에서 제안한 방법과 국내에서 사용하는 방법이 다르다. 시험 방법의 차이로 인해 시험 결과도 다르게 나타나기 때문에 AASHTO 에서 제안한 흙의 CBR 값을 국내에 직접 적용하는 것은 문제가 있다. CBR 시험은 현장의 토질 조건, 다짐방법 등을 반영하기 어려워 현장에서 직접 적용하기 힘들다. 이러한 문제점을 해결하기 위해서 고안된 것이 수정 CBR 시험으로 다짐 에너지에 따른 CBR 값을 설계에 이용하는 방법이다. 수정 CBR을 결정하기 위해서는 일반 CBR 시험을 바탕으로 최적함수비와 다짐 건조밀도의 그래프, 다짐 건조밀도와 다짐도에 따른 CBR 그래프를 작성한다. 시료의 다짐 건조밀도에 상응하는 다짐곡선 그래프의 교점에서 CBR 값에 선을 그은 값이 수정 CBR이다. 설계 CBR 시험은 현장에서 아스팔트 포장의 두께 설계를 결정하기 위해 사용되는 노상의 지지력 평가 시험법이다. 시험 방법은 노상이 완성되어 있는 상태에서 지지력을 평가하는 것으로 자연함수비 상태에서, 노상에 사용할 토취장일 경우에는 다짐 최적 함수비 상태에서 입경 40mm 이상은 제거하고 몰드에 3층으로 나누어 각층을 67 회씩 다진다. 다짐한 시편을 4일간 침수한 후에 CBR 값을 구한다. 극단적인 토질변화가 없는 범위 내에서 설계 대상구간 내의 CBR 측정 지점수나 혹은 시험 개소수로서 설계 CBR을 결정한다. 표준 편차를 모르거나 적은 수의 시료에 대한 측정시, 즉  $n$ 개의 측정 CBR 개수에 대해서는 통계적 상수( $C$ )를 이용하여 설계 CBR 값을 결정하기도 하며, 이러한 경우는 포장층의 두께를 과대 설계할 수 있는 문제가 있다. 이상 CBR 값은 경험적으로 흙의 물성을 정량화하는 시험법으로 비교적 간단하고 저렴하다는 장점이 있지만 흙의 전단력은 파악하지 못하고 실험자의 숙련도에 따라 그 결과가 달라지는 단점이 있다.

## (2) 노상 지지력 계수(K 값)

노상 지지력 계수는 일반 노상 지지력 계수와 수정 노상 지지력 계수로 구분된다. 평판재해 실험은 AASHTO 설계에서 콘크리트 포장의 하부 지지력 계수를 산정하는 일반적인 방법이다. 시험 절차는 다음과 같다. 먼저 흙에 의한 영향을 최소화하기 위해서 직경 30, 40, 76cm 평판을 쌓는다. 그 위에 현장의 장비를 이용하여 하중을 재하하고 평판 끝단의 3위치에서 처짐을 측정한다. 1분 동안의 처짐량이 3회 연속 0.025cm(0.01in) 이하가 될 때까지 압력이 69KPa(10psi)의 하중을 가한 후 다이얼 게이지 3개의 평균을 측정하여 처짐량을 결정하고 <식 4.2>와 같이 일반 K 값을 산출한다.

$$k = \frac{p}{d} \quad \langle \text{식 4.2} \rangle$$

여기서, P : 평판에 재하한 압력(KPa)

d : 평판의 처짐량(cm)

평판재하시험 K 값을 얻기 위해 실시하는 현장에서 직접 수행하기 때문에 일회성 측정법이며 공용기간 동안 발생하는 흙의 지지력 변화를 측정하지 못한다. 즉, 포장 공용기간 동안에 발생하는 가장 나쁜 토질 상태 및 토질의 특성 변화, 함수비 변화 등을 고려하지 못한다. 국내에서는 평판의 하중 재하판의 변경이 다른 경우 다음과 같은 식을 이용한다.

$$K_{75} = \frac{1}{2.2} K_{30} = \frac{1}{1.7} K_{40} = \frac{1}{1.3} K_{50} \quad \langle \text{식 4.3} \rangle$$

하지만 위 식은 하중재하 시 재하판의 휨에 의해 평판에 동등 크기의 압력이 재하되지 않아 실제 흙의 지지력을 과소평가할 수 있는 단점이 있다. 일반 K 값은 앞에서 언급한 바와 같이 공용기간 동안 흙의 변화를 모사할 수 없기 때문에 포장 구조 설계에 사용하기 위해 흙의 상태변화를 모사하는 시편을 제작하여 K 값을 산출하고 현장의 값을 보정한 수정 K 값을 사용하여야 한다. 시편은 69KPa 의 압력하에 침하 및 크리프 시험을 하고 처짐이 공학적 판단 하에 매우 작게 발생할 때까지 각 시간 및 시료 상태에 따른 다양한 처짐  $d$  를 구한다. K 값의 보정은 다음과 같은 방법으로 보정한다.

$$k_s = \frac{d_u}{d_s} k_u \text{〈식 4.4〉}$$

여기서,  $d_u$  : 불포화도 혹은 현장 상태의 처짐량

$d_s$  : 포화도의 처짐량

$k_u$  : 불포화도 혹은 현장 상태의 노상 지지력 계수

$k_s$  : 포화도의 노상 지지력 계수

하지만 평판 재하 시험은 흙사이의 전단력을 고려하지 못하고 자연 상태의 흙과 현장의 흙의 흐트러진 정도를 고려하지 못하며 암반의 위치에 따른 영향이 크다는 단점이 있다. 또한 시험 시간이 오래 걸리고 비용이 많이 들기 때문에 CBR 값으로부터 유추하여 사용하기도 한다.

## 4.2.2 역학적인 시험법

흙의 역학적인 대표 물성은 탄성계수이다. 탄성계수는 포장재료의 응력-변형 상태를 반영한 특성값으로서, 역학적인 포장설계 및 해석에 기본이 되는 물성값이며, 포장재료의 특성을 가장 합리적으로 반영할 수 있다고 평가한다.

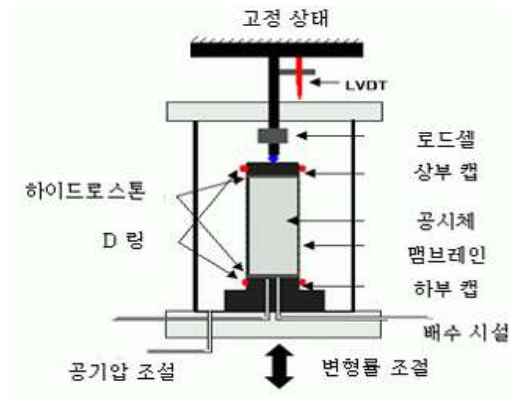
AASHTO 포장 설계에서 탄성계수를 입력 물성값으로 적용한 이후, 포장 구조 설계 및 해석뿐 아니라 포장 평가, 유지관리 등에도 이를 이용하는 방법이 보편화 되어가고 있다.

### (1) 회복탄성계수시험

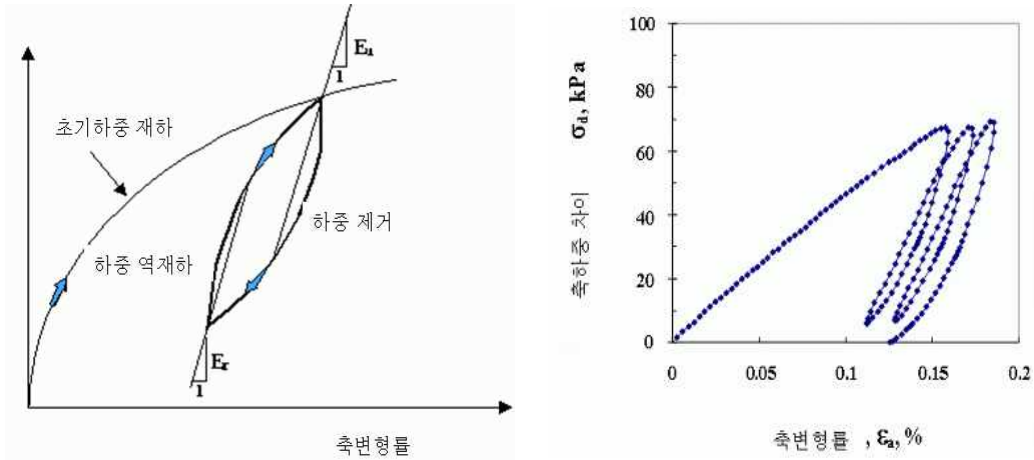
회복탄성계수시험은 실제 포장체가 경험하는 응력조건 중 수평방향의 응력은 일정하고 축방향 응력이 차량의 통과에 따라 일정한 주기를 갖는 반정현파형의 축차응력으로 모사하는 시험 방법이다. 노상토 및 보조기층 재료가 경험하는 변형률 크기는 10<sup>-2</sup>~10<sup>-1</sup>% 범위에 있으므로 10<sup>-2</sup>% 변형률 범위까지 신뢰성 있는 시험이 가능하도록 전기식 LVDT와 로드셀(Load Cell)을 사용하여 하중과 변위를 측정한다. <그림 4.1>은 회복 탄성계수 측정 시험의 개념도를 나타낸 것이다.

하중 재하-역재하를 포함한 일반적인 회복탄성계수시험에서는 <그림 4.2>와 같은 응력-변형률 곡선을 얻게 된다. 응력-변형률 곡선에서 재하가 시작되는 점을 기준으로 한 응력-변형률 곡선의 기울기로부터 재하 단계의 변형률 크기에 따른 할선탄성 계수( $E_r$ )를 결정할 수 있다. 마찬가지로 역재하가 시작되는 점을 기준으로 역재하 단계의 변형률 크기에 따른 할선탄성 계수( $E_u$ )를 결정할 수 있다. 이때 변형률 크기는 재하가 시작되는 점 또는 역재하가 시작되는 점으로부터 할선탄성 계수가 결정된 점 사이의 변형률 차이이다. 일반적으로 약 1000 회 하중 재하를 반복했을 때 고정된 기울기가 나오며 이를 바탕으로 회복탄성계수를 산출할 수 있다.

일반적으로 반복재하식 회복탄성계수 시험기는 축차하중 파형의 엄밀한 재하를 위하여 폐합식(Closed Loop)으로 하중신호를 제어하기 때문에 장비의 가격이 고가이고, 시험장치를 다루는데 고도의 숙련된 기술을 필요로 하는 단점이 있다.



〈그림 4.1〉 회복탄성계수 측정 장비



〈그림 4.2〉 회복탄성계수 시험에서의 탄성계수 결정

### 4.3 하부 재료의 물성 모형

국내도로포장의 입상재료는 일반적으로 널리 사용되는 노상토 및 보조기층재료를 이용하였으며 삼축압축시험을 통해 각 재료의 물성모형을 개발하였다.

## (1) 도로포장 구조 설계의 입상층 물성

양질의 국내 입상층 재료를 정량하여 도로포장 구조 설계에 반영하기 위해서는 크게 두 가지 부분으로 나뉜다. 포장 거동해석을 위한 설계입력변수와 하부구조 환경영향평가를 위한 입력변수로 대별된다. 도로포장 구조 설계에서는 역학적 포장 거동해석을 기본으로 하고 있으며, 따라서 포장 거동해석을 위한 기본 설계입력변수는 탄성계수와 포아송비이다. 탄성계수는 도로포장 구조 설계에서 새롭게 제안하고 있는 시험기법 또는 경험 모형을 통하여 결정할 수 있다. 한편 포아송비는 실험을 통하여 결정하기 매우 까다로울 뿐 아니라 포장구조해석에 큰 영향을 미치지 않기 때문에 설계에서 제안하는 일정한 값을 사용한다. 포장 하부구조의 특성을 변화시키는 환경요인은 온도와 함수비이다. 본 도로포장 구조 설계는 동상방지층의 사용, 노상토로 물의 유입 차단, 또는 노상토에 비동상성 재료 적용 등의 방법으로 노상토의 동결 자체를 억제하거나 동결이 발생한 경우에도 동상이 발생되지 않는 조건을 전제로 개발되었다. 따라서 포장 구조 설계에서는 하부구조 재료의 환경적인 요인으로 함수비 변화만을 고려하고 있다.

입상재료는 노상, 보조기층, 쇄석기층에 대한 물성으로 구분되며 이후 각장에서 세부적으로 설명될 것이다. 재료 물성 산정은 “5.2 입상재료의 물성 모형”에 세부적으로 설명된 내용으로 노상의 탄성계수 산정식을 계산하는 과정은 <그림 4.3> 및 다음 내용과 같다.

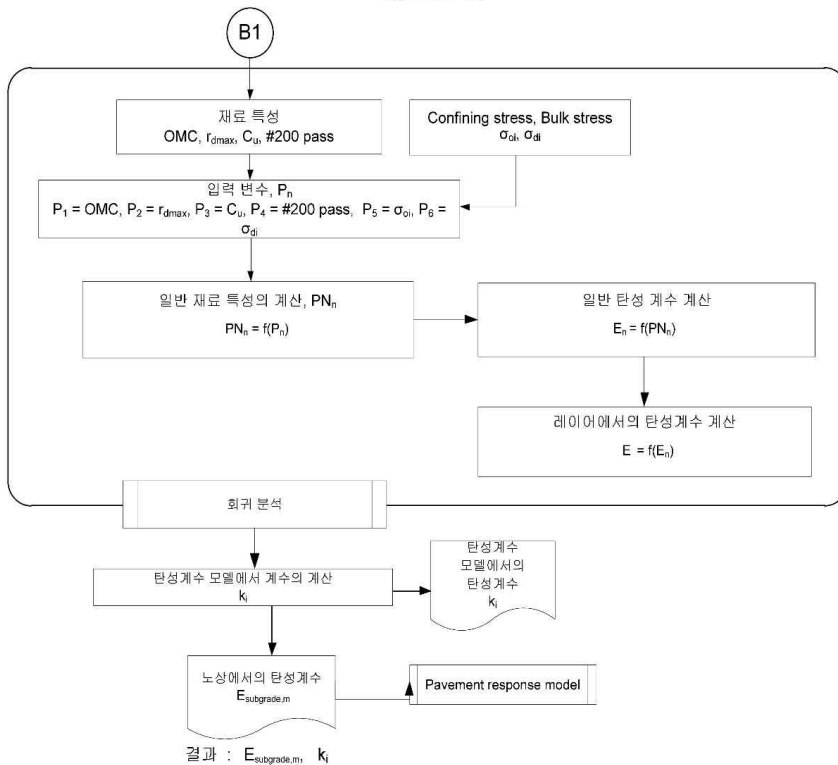
- (1) 체가름시험, 다짐시험, 최적함수비, 최대건조단위중량, 균등계수, #200 통과량 시험을 한다.
- (2) 탄성계수를 결정하고자 하는 응력단계 설정
- (3) (1)의 결과를 통해 정규화 입력물성치 계산한다.
- (4) 인공신경망 이론을 통해 정규화탄성계수를 계산한다.

- (5) 해당 응력 단계의 탄성계수 계산한다.
- (6) 다음 응력단계를 선정하고 (3)~(5) 과정을 반복한다.
- (7) 예측결과를 회귀분석하여 구성모델의 계수를 결정한다.
- (8) 결정된 계수들을 바탕으로 최적의 탄성계수를 결정한다.
- (9) 최적 탄성계수를 기본으로 하여 함수비와 흙 조건에 따른 물성을 고려하여 노상탄성계수를 최종적으로 결정한다.
- (10) 반복 계산을 통해 매월로 노상 탄성계수를 산정하고, 그 결과를 구조해석 모듈로 보낸다.

**B1** Inputs : OMC,  $r_{dmax}$ ,  $C_u$ , #200 pass,  $\sigma_o$ ,  $\sigma_d$

# 변수 정의  
 OMC = 최적 함수비  
 $r_{dmax}$  = 골재의 최대 건조 단위 중량  
 $C_u$  = 골재의 곡률계수  
 #200 pass = 골재의 #200체 통과 백분율(%)

$E_{subgrade, m}$  = 보조기층 탄성 계수(MPa)  
 $k_i$  = 탄성 계수 모델에서의 계수  
 $D_{SURF}$  : 콘크리트 슬래브의 두께  
 $D_{LEAN}$  : 린 콘크리트의 두께  
 $D_{SB}$  : 볼록베이스의 두께  
 $D_{BB}$  : 보조기층의 두께  
 $D_{SG}$  : 노상의 두께



〈그림 4.3〉 노상 탄성계수 결정 로직

〈그림 4.4〉의 보조기층의 탄성계수 산정식을 계산하는 과정은 다음과 같다.

- (1) 체가름시험, 다짐시험, 최대건조단위중량, 균등계수, #4 통과량 시험을 한다.
- (2) 탄성계수를 결정하고자 하는 응력단계 설정
- (3) (1)의 결과를 통해 정규화 입력물성치 계산한다.
- (4) 인공신경망 이론을 통해 정규화탄성계수를 계산한다.
- (5) 해당 응력 단계의 탄성계수 계산한다.
- (6) 다음 응력단계를 선정하고 (3)~(5) 과정을 반복한다.
- (7) 예측결과를 회귀분석하여 구성모델의 계수를 결정한다.
- (8) 결정된 계수들을 바탕으로 최적의 탄성계수를 결정한다.
- (9) 보조기층은 월별 변동성을 고려하지 않기 때문에 한번만 계산한 후 그 결과를 구조해석 모듈로 보낸다.

**B2**

입력 :  $r_{dmax}$ ,  $C_u$ , #4 pass,  $\sigma_o$ ,  $\sigma_w$

# 변수 정의

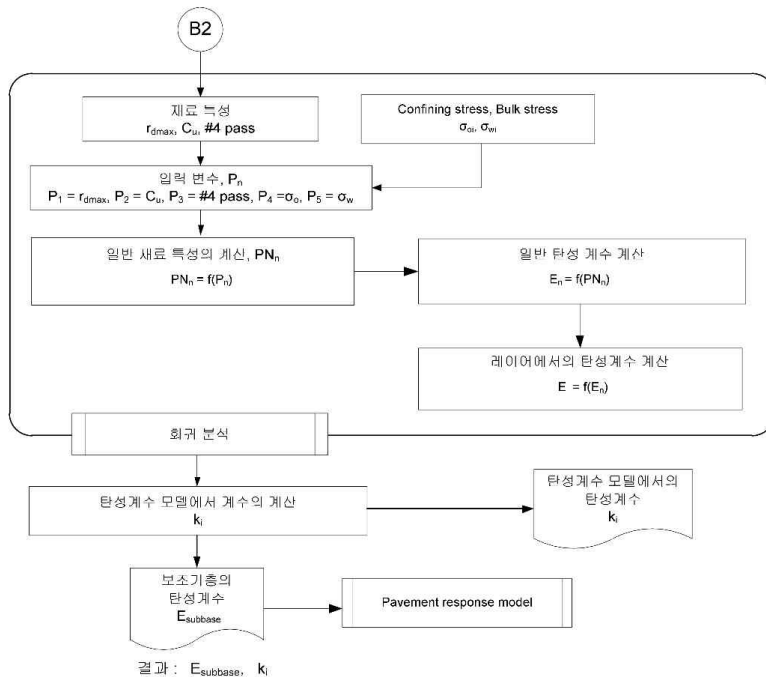
$r_{dmax}$  = 골재의 최대 건조 단위 중량

$C_u$  = 골재의 곡률계수

#4 pass = #4체를 통과하는 누적통과 백분율 (%)

$E_{subbase}$  = 보조기층의 탄성계수 (Mpa)

$k_i$  = 탄성계수 모델에서의 탄성계수



〈그림 4.4〉 보조기층 탄성계수 결정 로직

쇄석기층의 경우는 인공신경망 이론을 사용하지 않고 직접 예측식을 이용하여 물성을 평가한다. 이때 필요한 입력 변수로는 “최대건조단위중량, 최적함수비, 곡률계수, 균등계수, #4체 및 #200체 통과률, 50% 통과률에 해당하는 입경, 95% 통과률에 해당하는 입경”이 있다.

아스팔트 안정처리기층의 물성은 <그림 4.5>과 같이 아스팔트 콘크리트 포장 설계의 로직을 도입하였다.

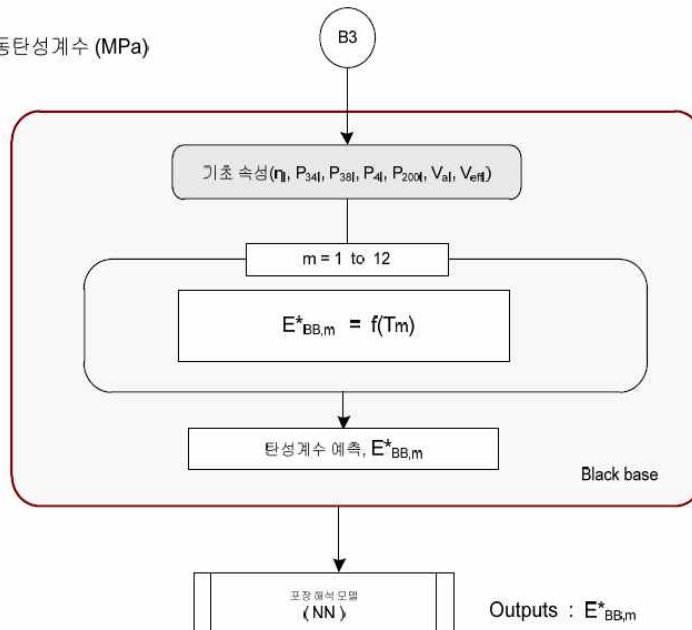
- (1) 아스팔트 바인더 점도, 하중주파수, 공극률, 유효아스팔트바인더의 함량, 20 mm, 10 mm, 5 mm 체의 누가잔류량 및 0.08mm 체의 통과량을 실험을 통해 산정한다. 교통하중에서 설계속도에 따른 각 층의 하중 주파수를 계산한다.
- (2) 각 입력 변수들을 예측식에 대입하여 동탄성계수를 예측한다.
- (3) 동일한 방법으로 1년 동안의 매월 동탄성계수를 예측한다.

**B3**

# 변수 정의

$E_{BB,m}^*$  = 월별 예측 동탄성계수 (MPa)

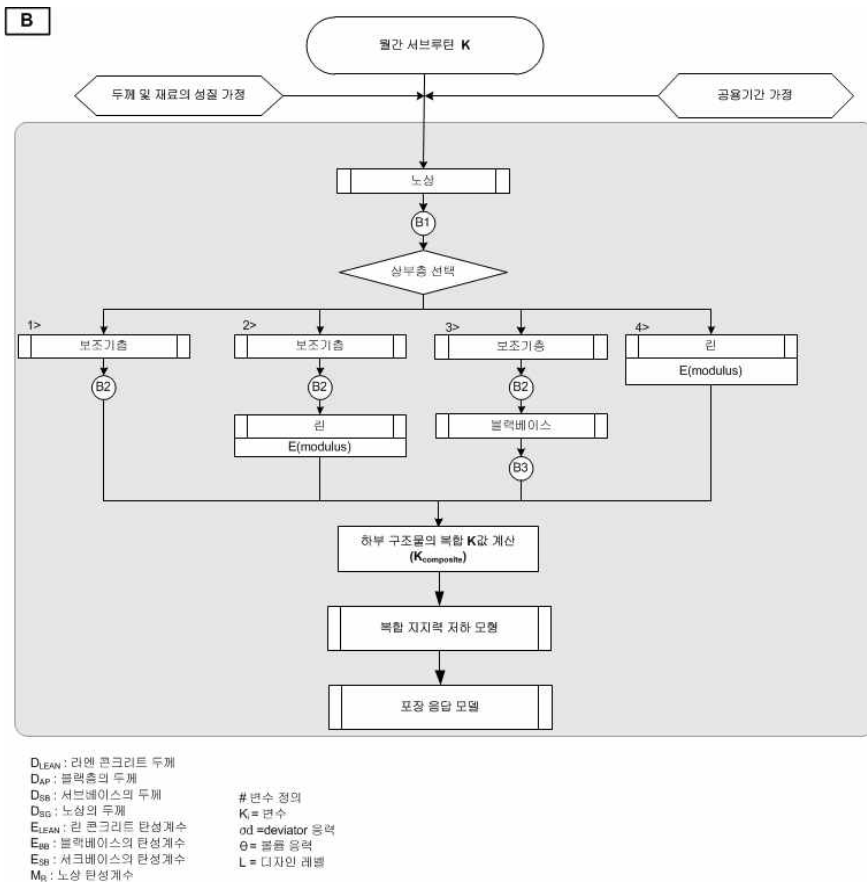
$T_m$  = 월별 평균 기온



<그림 4.5> 아스팔트 안정처리기층(블랙 베이스) 탄성계수 결정 로직

아스팔트 콘크리트 포장과 달리 시멘트 콘크리트 포장에서는 각 층의 탄성계수를 직접 사용하는 것이 아니라 <그림 4.6>과 같이 복합 지지력 계수로 환산하여 구조적 거동을 해석하는데 사용한다.

- (1) 설계 시 입력한 각 층의 조합, 두께 정보를 불러들이고 각 층의 계산된 탄성계수를 불러온다.
- (2) “5장 입상재료”에 기술된 4가지 하부 층조합 조건에 대하여 해당 설계에 맞는 복합 지지력을 자동 산출한다.
- (3) 노상 지지력 저하모형을 이용하여 해석 기간이 증가함에 따라 하부층의 구조적 지지력이 저하되는 것을 고려한다.
- (4) 설계 기간 동안의 하부 지지력을 계산하여 구조해석 모듈로 전달한다.



<그림 4.6> 콘크리트 포장 복합 지지력 산정 로직

국내 하부구조 재료의 품질에 대한 요구조건을 시방서에서 규정하고 있기 때문에 대체적으로 매우 우수한 재료가 사용된다. 노상토의 품질 기준은 소요의 다짐도에서 요구되는 역학적 특성치를 확보하기 위한 입도분포의 기준, 시공성의 확보를 위한 최대치수 규정 및 시공시의 함수비 기준, 한층 다짐층 내부의 균등한 다짐도 및 소요의 다짐도 확보를 위한 시공층 두께의 기준을 포함하고 있다. 또한 포장설계의 기초 입력 물성치로 적용되는 CBR의 기준을 포함하고 있어서 설계 CBR을 기준에 설정된 하한값으로 적용하는 경우 어떠한 경우에도 안정층의 설계가 되도록 하고 있다. 전체적으로 검토할 때 국내의 노상토의 품질기준은 대단히 엄격하게 설정되어 있는데, 이러한 엄격한 기준임에도 불구하고 주변에서 노상토 재료의 확보에 큰 문제점이 없는 것은 국내의 지반이 대부분 화강풍화토로서 역학적으로 대단히 우수한 특성을 보이기 때문이다. <표 4.1> 및 <표 4.2>는 국내 노상토의 특성을 나타낸 예이다.

<표 4.1> 노상토의 기초특성 조사항목 및 조사결과 일례

| 위치      | 도로 구분  | 포장 형식 | 흙분류     |           | 입도특성       |                |              |                         |                         | Atterberg Limit |               | 역학적 특성  |                                  | 다짐 특성                           |            |
|---------|--------|-------|---------|-----------|------------|----------------|--------------|-------------------------|-------------------------|-----------------|---------------|---------|----------------------------------|---------------------------------|------------|
|         |        |       | 통일 분류   | AASHTO 분류 | 최대 입경 (mm) | 4.75mm 통과량 (%) | #20체 통과량 (%) | 균등 계수 (C <sub>u</sub> ) | 곡률 계수 (C <sub>c</sub> ) | 액성 한계 (%)       | 소성 지수 (PI, %) | CBR (%) | 지지력 계수 K30 (kg/cm <sup>2</sup> ) | 최대 건조 단위 중량 (t/m <sup>3</sup> ) | 최적 함수비 (%) |
| 전남 화순군  | 주간선 도로 | AP    | SP - SM | A-2       | 25         | 69.3           | 24.7         | 50                      | 4.7                     | 29.0            | 9.0           | 12.8    | 25.0                             | 1.953                           | 10.7       |
| 전남 장흥군  | 주간선 도로 | AP    | MC      | A-2       | 40         | 80.5           | 15.1         | 12.7                    | 6.3                     | 33.12           | 10.0          | 11.0    | 25.0                             | 1.946                           | 13.4       |
| 영주 ~ 감천 | 주간선 도로 | AP    | SW - SM | A-1-b     | 9.5        | 99.3           | 7.3          | 8.0                     | 1.0                     | NP              | NP            | 34.8    | 23.2                             | 1.952                           | 10.1       |
| 경주시 양남면 | 주간선 도로 | AP    | SM      | A-2       | 25         | 43.3           | 6.9          | 11.5                    | 3.4                     | 28.0            | 15.0          | 41.0    | 37.5                             | 2.011                           | 10.4       |

〈표 4.2〉 입상보조기층 재료 기초특성 조사항목 및 조사결과 일례

| 위치      | 도로 구분  | 포장 형식 | 사용 층    | 흙분류   |             | 골재특성 |       |       |         |           |           | 입도특성  |            |                |                |                         | Atterberg Limit         |           | 역학적 특성        |         | 다짐 특성                            |                                 |            |
|---------|--------|-------|---------|-------|-------------|------|-------|-------|---------|-----------|-----------|-------|------------|----------------|----------------|-------------------------|-------------------------|-----------|---------------|---------|----------------------------------|---------------------------------|------------|
|         |        |       |         | 통입 분류 | AA SH TO 분류 | 굵은골재 |       | 잔골재   |         | 마모 감량 (%) | 모래당 량 (%) | 기본 입도 | 최대 입경 (mm) | 4.75mm 통과량 (%) | #200 체 통과량 (%) | 균등 계수 (C <sub>u</sub> ) | 곡률 계수 (C <sub>w</sub> ) | 액성 한계 (%) | 소성 지수 (PI, %) | CBR (%) | 지지력 계수 K30 (kg/cm <sup>2</sup> ) | 최대 건조 단위중 량 (t/m <sup>3</sup> ) | 최적 함수비 (%) |
|         |        |       |         |       |             | 종류   | 쇄석 종류 | 종류    | 혼합비 (%) |           |           |       |            |                |                |                         |                         |           |               |         |                                  |                                 |            |
| 전남 화순군  | 주간선 도로 | AP    | 보조 기층   | GW    | A-1-a       | 쇄석   | 357   | 강모래   | 20      | 12.3      | 80        | SB-2  | 50.0       | 36.8           | 4.1            | -                       | -                       | -         | NP            | 77.0    | 36.4                             | 2.135                           | 6.5        |
| 전북 순창군  | 주간선 도로 | AP    | 보조 기층   | GW    | A-1-a       | 쇄석   | 407   | 강모래   | 10      | 22.1      | 79        | SB-2  | 40.0       | 39.4           | 4.8            | 72.8                    | 2.5                     | -         | NP            | 58.0    | 33.8                             | 2.198                           | 6.4        |
| 전남 순천시  | 국대로    | AP    | 보조 기층   | SW    | A-1-a       | 쇄석   | 467   | 해사    | 20      | 13.0      | 80        | SB-2  | 40.0       | 52.8           | 3.1            | 24.2                    | 0.40                    | NP        | NP            | 52.0    | 30.0                             | 2.128                           | 8.3        |
| 전남 장흥군  | 주간선 도로 | AP    | 보조 기층   | GW    | A-1-a       | 쇄석   | 467   | 강모래   | 30      | 18.1      | 84        | SB-2  | 50.0       | 57.8           | 5.4            | 66.7                    | 1.5                     | -         | NP            | 53.0    | 34.5                             | 2.148                           | 7.8        |
| 경주시 양남면 | 주간선 도로 | AP    | 보조 기층   | GW    | A-1-a       | 쇄석   | 467   | 부순 모래 | 30      | 14.1      | -         | SB-2  | 40.0       | 50.5           | 2.5            | 14.3                    | 1.8                     | -         | NP            | 58.0    | 36.5                             | 2.081                           | 9          |
| 울산시 울주군 | 주간선 도로 | AP    | 보조 기층   | GW    | A-1-a       | 쇄석   | 357   | -     | -       | 18.7      | 72        | SB-2  | 53.0       | 35.8           | 3.7            | -                       | -                       | -         | NP            | 68.0    | -                                | 2.221                           | 5.8        |
| 영주 감천   | 주간선 도로 | AP    | 보조 기층   | GP    | A-1-a       | 쇄석   | 357   | -     | -       | 10.3      | 73        | SB-2  | 50.0       | 44.4           | 8.3            | 75.0                    | 7.1                     | NP        | NP            | 49.5    | 35.6                             | 2.166                           | 6.6        |
| 영주 감천   | 주간선 도로 | AP    | 등상 방지 층 | GP    | A-1-a       | 쇄석   | 357   | -     | -       | 10.3      | 73        | SB-2  | 50.0       | 44.4           | 8.3            | 75.0                    | 7.1                     | NP        | NP            | 49.5    | 34.0                             | 2.166                           | 6.6        |
| 경북 경산시  | 주간선 도로 | AP    | 보조 기층   | GW    | -           | 쇄석   | -     | -     | -       | 22.0      | 93        | SB-2  | 40.0       | 20.0           | 2.1            | -                       | -                       | -         | -             | 83.0    | 32.0                             | 2.234                           | 7.9        |
| 울산시 울주군 | 주간선 도로 | AP    | 보조 기층   | GW    | A-1-a       | 쇄석   | 357   | -     | -       | 18.7      | 72        | SB-2  | 53         | 35.8           | 3.7            | -                       | -                       | -         | NP            | 68      | -                                | 2.221                           | 5.8        |

## (2) 노상

국내 노상토의 탄성계수는 함수비와 건조단위중량으로 대표되는 재료적 요인과 변형률 크기(또는 축차응력), 체적응력(또는 구속응력)에 큰 영향을 받고 있고, 하중중파수의 영향은 다소 미미한 것으로 평가되고 있다. 따라서, 노상토의 탄성계수 예측 모형은 함수비(환경변화), 구속응력(체적응력), 축차응력(변형률 크기), 하중주파수를 기본 독립변수로 한 모형을 <식 4.5>과 같이 결정할 수 있다.

$$E=f(w)+g(\theta)+h(\sigma_d)+i(rd)+j(freq) \text{ <식 4.5>}$$

여기서, E:탄성계수

f(w) : 함수비의 함수

g( $\theta$ ) : 체적응력의 함수

h( $\sigma_d$ ) : 축차응력의 함수

i(rd) : 건조단위중량의 함수

j(freq) : 하중주파수의 함수

포장 하부구조의 건조단위중량은 다짐시공의 건설단계에서 변화가 심하지만, 포장에 완성된 후 공용단계에서는 거의 변화가 없이 일정한 값을 갖게 된다. 따라서 탄성계수에 대한 건조단위중량의 영향은 하부구조의 다짐시공관리에는 매우 중요한 고려 요소이지만 설계입력변수 결정에서는 일정한 건조단위중량을 적용하므로 고려하지 않는다. 국내 포장 하부구조 재료에서 하중주파수의 영향은 다소(최대 10%/log(freq)) 있는 것으로 나타나고 있으나, 포장에서 차량특성에 따른 하중주파수의 변화 범위를 고려하면 탄성계수에 대한 영향 정도는 크지 않다. <식 4.5>에서 설계입력변수 결정조건의 특이성과 편의성을 고려하여 건조단위중량과 하중주파수의 영향을 삭제하면, <식 4.6>와 같은 최종적인 설계입력변수 결정을 위한 구성모델의 구성이 가능하다.

$$E=f(w)+g(\theta)+h(\sigma d)+i(rd) \quad \langle \text{식 4.6} \rangle$$

18개의 시료에 대한 삼축압축시험 결과에서 결정된 탄성계수에 대하여 <표 4.3>에 나타난 바와 같이 다양한 회귀분석 모형을 적용하여 모형계수와 상관계수를 결정하였다. 그 결과를 바탕으로 하여 노상토의 탄성계수 예측모형은 <식 4.7>과 같은 함수를 채택하였다.

<표 4.3> 설계입력변수 결정 구성모델 검토에 사용된 다양한 회귀분석 모형

| 구분   | 모델형태                                | 모델의 특징                 |
|------|-------------------------------------|------------------------|
| 모형 1 | $E=k_1+k_2\theta$                   | 체적응력만을 변수로 한 선형모델      |
| 모형 2 | $E=k_1\theta k_2$                   | 체적응력만을 변수로 한 대수모델      |
| 모형 3 | $E=k_1+k_2\sigma d$                 | 축차응력만을 변수로 한 선형모델      |
| 모형 4 | $E=k_1\sigma^2$                     | 축차응력만을 변수로 한 대수모델      |
| 모형 5 | $E=k_1+k_2\log(\sigma d)$           | 축차응력만을 변수로 한 반대수모델     |
| 모형 6 | $E=k_1\theta k_2\sigma^3$           | 체적응력과 축차응력을 변수로 한 대수모델 |
| 모형 7 | $E=k_1+k_2\theta+k_3\sigma d$       | 체적응력과 축차응력을 변수로 한 선형모델 |
| 모형 8 | $E=k_1+k_2\theta+k_3\log(\sigma d)$ | 체적응력과 축차응력을 변수로 한 복합모델 |

$$E_{opt} = k_1 \times \theta^{k_2} \times \sigma_d^{k_3} \quad \langle \text{식 4.7.a} \rangle$$

$$E = E_{opt} \times 10^{kw(w - OMC)} \quad \langle \text{식 4.7.b} \rangle$$

여기서,  $E_{opt}$  = 최적함수비 조건에서의 탄성계수 (MPa)

$\theta$  = 체적응력( =  $\sigma_1 + \sigma_2 + \sigma_3$  ) (kPa)

$\sigma d$  = 축차응력( =  $\sigma_1 - \sigma_3$  ) (kPa)

$k_1, k_2, k_3$ , = 모델계수

$kw$  = -0.1417 (조립질 노상토), -0.0574 (세립질 노상토)

$w_{opt}$  = 최적함수비 (%)

$w$  = 함수비 (%)

이 모형을 이용하여 노상토의 탄성계수 예측하는 과정은 인공 신경망 이론을 적용하여 개발되었다. 그 세부 절차는 다음과 같다.

step 1) 체가름시험, 다짐시험 수행

OMC, 최대건조단위중량, 균등계수, #200 통과량 결정

step 2) 탄성계수를 결정하고자 하는 응력단계 설정

step 3) 정규화 입력물성치 계산

: 정규화된 물성치는 step 1에서 산출한 재료의 실험값이다.

step 4) 정규화탄성계수를 다음과 같은 과정을 거쳐 계산

$$E = \frac{1}{2}(E_{\max} - E_{\min}) \times (E_n - 1) + E_{\min} \quad \langle \text{식 4.8} \rangle$$

여기서, E = 탄성계수 (Mpa)

E<sub>max</sub>, E<sub>min</sub> = 상관모형 탄성계수의 최대값 및 최소값 사이의 범위: <표 4.4>

E<sub>n</sub> = 정규화된 탄성계수 <식 4.9>

$$E_n = \frac{1}{2} [W_2] \times \log(\sin([W_1] \times [PN_n] + [b_1])) + b_2 \quad \langle \text{식 4.9} \rangle$$

$$\text{여기서, } \log(\sin(x)) = \frac{1}{1 + \exp(-x)}$$

W<sub>1</sub>, W<sub>2</sub>, b<sub>1</sub>, b<sub>2</sub> = 인공신경망 이론에 사용된 weight 와 biases : <표 4.5>

PN<sub>n</sub> = 정규화된 입력물성치 <식 5.13>

$$PN_n = \frac{2(P_n - \min P_n)}{(\max P_n - \min P_n)} - 1 \quad \langle \text{식 4.10} \rangle$$

여기서, P<sub>n</sub> = 정규화된 입력물성치

P = 입력물성치

maxP, minP = 상관모형 입력물성치의 최대값 및 최소값의 범위 : <표 4.6>

- step 5) 해당 응력 단계의 탄성계수 계산
- step 6) 다음 응력단계를 선정하고 step 3)~5) 과정 반복
- step 7) 예측결과를 회귀분석하여 구성모델의 계수 결정
- step 8) 결정된 계수들을 바탕으로 탄성계수 결정

국내 노상토의 탄성계수는 개략적으로 30~300 MPa 범위에 존재한다.

〈표 4.4〉 상관모형 탄성계수의 최대값 및 최소값의 범위 (단위, MPa)

| 구분  | $E_{min}$ | $E_{max}$ |
|-----|-----------|-----------|
| 노상토 | 39.0      | 276.0     |

〈표 4.5〉 인공신경망 이론에 사용되는 weight와 biases (노상토)

| 1st layer    |         |         |         |         | 2nd layer  |         | Input                           |
|--------------|---------|---------|---------|---------|------------|---------|---------------------------------|
| W1<br>weight | 1.6802  | -6.3186 | 6.663   | -4.0641 | b1<br>bias | -0.2555 | 1. 최적함수비(%)                     |
|              | 1.4511  | -0.9576 | 4.1434  | -0.2054 |            | -1.3316 | 2. 최대건조단위중량(kN/m <sup>3</sup> ) |
|              | -0.5022 | -2.5796 | 2.5069  | -6.948  |            | -2.0114 | 3. 균등계수 (Cu)                    |
|              | 2.855   | 1.3243  | -0.0565 | 11.6866 |            | -1.0652 | 4. #200 통과량 (%)                 |
|              | 0.3869  | -0.3452 | 0.1749  | 0.1086  |            |         | 5. 구속응력 (kPa)                   |
|              | -0.2358 | 0.8948  | 0.1077  | -0.2584 |            |         | 6. 축차응력 (kPa)                   |
| W2<br>Weight | 6.6223  |         |         |         | b2<br>bias | 0.6684  |                                 |
|              | -1.4545 |         |         |         |            |         |                                 |
|              | -4.5847 |         |         |         |            |         |                                 |
|              | -6.1669 |         |         |         |            |         |                                 |

〈표 4.6〉 입력 기초물성치( $\rho$ )의 최대 및 최소값(노상토)

| 구분  | 항목                           | 최소값(Min.) | 최대값(Max.) |
|-----|------------------------------|-----------|-----------|
| 노상토 | 최적함수비(OMC, %)                | 6.2       | 19.0      |
|     | 최대건조단위중량(kN/m <sup>3</sup> ) | 1.65      | 2.34      |
|     | 균등계수(Cu)                     | 0         | 40.74     |
|     | #200체 통과량 (%)                | 1.28      | 29.5      |
|     | 구속응력 (kPa)                   | 0         | 41        |
|     | 축차응력 (kPa)                   | 14        | 69        |

위와 같은 전체 절차가 도로포장 구조 설계에는 프로그램화 되었다. 설계자는 체가름시험과 다짐시험을 수행하여 최적함수비, 최대건조단위중량, 균등계수, #200 통과량 결정한 후 프로그램에 입력하면 모든 결과를 얻을 수 있다. 〈표 4.7〉은 OMC = 10.2%, 최대건조단위중량 = 2.01, 균등계수 (Cu) = 6.5, #200 통과량 = 5.5의 경우 얻어진 결과이다.

〈표 4.7〉 경험모형을 적용하여 얻어진 노상토의 탄성계수 일례

| 구속응력(kPa) | 축차응력(kPa) | 체적응력(kPa) | 탄성계수(MPa)   |
|-----------|-----------|-----------|-------------|
| 0         | 14        | 14        | 114.047509  |
| 0         | 28        | 28        | 101.3358959 |
| 0         | 51        | 51        | 87.14548737 |
| 0         | 55        | 55        | 85.36678648 |
| 0         | 69        | 69        | 80.34256691 |
| 10        | 14        | 44        | 127.1740384 |
| 10        | 28        | 58        | 112.4403745 |
| 10        | 51        | 81        | 95.40945637 |
| 10        | 55        | 85        | 93.2187529  |
| 10        | 69        | 99        | 86.93782416 |
| 21        | 14        | 77        | 144.0217195 |
| 21        | 28        | 91        | 126.9176328 |
| 21        | 51        | 114       | 106.3847651 |
| 21        | 55        | 118       | 103.6720658 |
| 21        | 69        | 132       | 95.78009769 |
| 41        | 14        | 137       | 181.8825914 |
| 41        | 28        | 151       | 160.2391779 |
| 41        | 51        | 174       | 132.3983807 |
| 41        | 55        | 178       | 128.5441715 |
| 41        | 69        | 192       | 117.0563688 |

### (3) 보조기층

국내 보조기층 재료의 탄성계수는 변형률 크기, 체적응력(또는 구속응력)에 대단히 큰 영향을 받고 있고, 하중중파수의 영향과 하중반복횟수의 영향은 미미하다. 따라서 보조기층 재료의 구성모델은 구속응력(체적응력) 및 축차응력(변형률 크기)을 기본 독립변수로 한 탄성계수 예측 모델을 <식 4.11>와 같이 결정하였다.

$$E=g(\theta)+h(\sigma_d \text{ 또는 } \varepsilon) \text{ <식 4.11>}$$

여기서, E : 탄성계수

$g(\theta)$  : 체적응력의 함수

$h(\sigma_d \text{ 혹은 } \varepsilon)$  : 축차 응력 또는 변형률의 함수

13개의 시료에 대한 삼축압축시험 결과에서 결정된 탄성계수에 대하여 노상과 같은 방법으로 <표 4.7>에 나타난 예상 모형에 적용하여 모형의 계수와 상관계수(R2)를 결정하였다. 각 모형들을 검토한 결과, 선형모델의 적용성이 우수한 것으로 평가되었다. 따라서 모형의 통일성을 고려하여 설계입력변수 결정을 위한 예측 모형은 <식 4.12>과 같이 체적응력의 영향만을 고려한 선형 모형으로 결정하였다.

$$E= k_1 + k_2 \times \theta \text{ <식 4.12>}$$

이 모형을 이용하여 보조기층의 탄성계수 예측하는 과정은 노상토에서와 같이 인공지능망 이론을 적용하여 개발되었다. 그 세부 절차는 다음과 같다.

step 1) 체가름시험, 다짐시험 수행

최대건조단위중량, 균등계수, #4 통과량 결정

step 2) 탄성계수를 결정하고자 하는 응력단계 설정

step 3) 정규화 입력물성치 계산 : 정규화된 물성치는 step 1에서 산출한 재료의 실험값이다.

step 4) 정규화탄성계수를 노상토와 같은 과정으로 계산

- 단, 1. 상관모형 탄성계수의 최대값 및 최소값은 <표 4.8> 이용  
 2. W1, W2, b1, b2 = 인공신경망 이론에 사용된 weight 와 biases 은 <표 4.9> 이용  
 3. maxP, minP = 상관모형 입력물성치의 최대값 및 최소값의 범위는 <표 4.10> 이용

step 5) 해당 응력 단계의 탄성계수 계산

step 6) 다음 응력단계를 선정하고 ③-⑤ 과정 반복

step 7) 예측결과를 회귀분석하여 구성모델의 계수 결정

step 8) 결정된 계수들을 바탕으로 탄성계수 결정

국내 보조기층의 탄성계수는 개략적으로 50MPa ~ 400MPa 범위에 존재한다.

<표 4.8> 상관모형 탄성계수의 최대값 및 최소값의 범위 (단위, MPa)

| 구분   | Emin | Emax  |
|------|------|-------|
| 보조기층 | 60.0 | 422.0 |

<표 4.9> 인공신경망 이론에 사용되는 weight와 biases (보조기층 재료)

|              |  | 1st layer |         |         |         | 2nd layer  |         | Input                            |
|--------------|--|-----------|---------|---------|---------|------------|---------|----------------------------------|
| W1<br>weight |  | 2.5306    | -2.5049 | 1.3288  | -0.4681 | b1<br>bias | -0.6961 | 1. 최대건조단위중량 (kN/m <sup>3</sup> ) |
|              |  | 1.0101    | -3.6679 | -1.9622 | 3.9715  |            |         | 2. 균등계수 (C <sub>u</sub> )        |
|              |  | -0.0239   | -2.6243 | 1.3707  | 4.0762  |            |         | 3. #4 통과량 (%)                    |
|              |  | -0.0802   | -0.0469 | -0.5607 | 0.4445  |            |         | 4. 구속응력 (kPa)                    |
|              |  | 0.4588    | -0.054  | -0.1679 | -0.08   |            |         | 5. 체적응력 (kPa)                    |
| W2<br>weight |  | 3.3153    |         |         |         | b2<br>bias | -4.9906 |                                  |
|              |  | 5.5505    |         |         |         |            |         |                                  |
|              |  | -2.07     |         |         |         |            |         |                                  |
|              |  | 4.1523    |         |         |         |            |         |                                  |

〈표 4.10〉 입력 기초물성치( $\rho$ )의 최대 및 최소값(보조기층)

| 구분      | 항목                           | 최소값(Min.) | 최대값(Max.) |
|---------|------------------------------|-----------|-----------|
| 보조기층 재료 | 최대건조단위중량(kN/m <sup>3</sup> ) | 2.04      | 2.423     |
|         | 균등계수(Cu)                     | 9.8       | 63.7      |
|         | #4체 통과량 (%)                  | 26.2      | 54.4      |
|         | 구속응력 (kPa)                   | 21        | 138       |
|         | 체적응력 (kPa)                   | 84        | 690       |

〈표 4.11〉 경험모형을 적용하여 얻어진 보조기층 재료의 탄성계수 일례

| 구속응력(kPa) | 축차응력(kPa) | 체적응력(kPa) | 탄성계수(MPa)   |
|-----------|-----------|-----------|-------------|
| 21        | 21        | 84        | 69.91168117 |
| 21        | 41        | 104       | 72.11225807 |
| 21        | 61        | 124       | 74.36377924 |
| 35        | 35        | 140       | 78.13220165 |
| 35        | 69        | 174       | 82.07905659 |
| 35        | 104       | 209       | 86.29980451 |
| 69        | 69        | 276       | 100.6944762 |
| 69        | 138       | 345       | 109.7649415 |
| 69        | 207       | 414       | 119.4825892 |
| 104       | 69        | 381       | 123.5323168 |
| 104       | 104       | 416       | 128.3727591 |
| 104       | 207       | 519       | 143.5949995 |
| 138       | 104       | 518       | 155.2708768 |
| 138       | 138       | 552       | 160.4505567 |
| 138       | 276       | 690       | 183.0909087 |

노상토와 같이 보조기층의 경우에도 모든 전체 절차가 도로포장 구조 설계 프로그램에 내장되어 있다. 〈표 4.11〉는 최대건조단위중량 = 2.23, 균등계수 (Cu) = 20.5, #4 통과량 = 45.0의 경우 얻어진 결과이다.

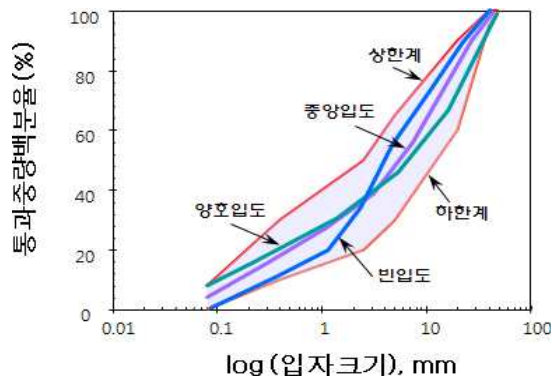
#### (4) 쇄석기층(입도조정기층)

쇄석기층의 최대입경은 40mm 이하이며, 또한 1층의 마무리 두께의 1/2 이하이어야 한다. 입도조정을 한 재료(쇄석기층)는 수정 CBR이 80이상이고, 0.425mm (No.40)체 통과분의 소성지수는 4 이하이어야 한다. 입도조정재료의 수정 CBR을 구하는 경우에 사용되는 다짐도는 KSF 2320에 규정하는 시험방법에 의한 최대건조밀도의 95%로 한다.

쇄석기층의 재료는 내구적인 부순돌, 부순자갈 등을 모래 혹은 기타 적당한 재료와 혼합한 것, 스크리닝스(Screenings), 슬래그(Slag), 기타 감독자가 승인한 재료로서 점토, 유기불순물, 먼지 등 유해물을 함유하여서는 안 된다. 재료는 5mm 체에 남는 것 중 중량으로 70% 이상의 것이 적어도 2개의 파쇄면을 가져야 하며, <표 4.12>에서 표시하는 품질기준에 맞는 것이어야 한다. 쇄석기층의 입도분포는 다음 <그림 5.7>과 같다.

<표 4.12> 쇄석기층 재료의 품질 기준

| 구분       | 시험방법      | 기준    |
|----------|-----------|-------|
| 소성지수(%)  | KS F 2303 | 4 이하  |
| 수정CBR(%) | KS F 2320 | 80 이상 |
| 마모감량(%)  | KS F 2508 | 40 이하 |
| 안정성(%)   | KS F 2507 | 20 이하 |



<그림 4.7> 쇄석기층 입도분포

설계입력변수 결정을 위한 경험모형 구성모델은 보조기층과 같은 체적응력모형을 적용한다. 하지만 보조기층에서는 모형의 계수를 결정하기 위해 인공신경망을 사용한 반면, 쇄석기층에서는 <식 4.13>와 <식 4.14>을 사용한다. 이때 다양한 재료의 입력 변수들은 체가름시험 및 다짐시험(D Type 또는 E Type)을 통해 결정한다. 국내 시료에 대한 실험결과의 일반적인 모형계수와 탄성계수의 범위는 <표 4.13>와 <그림 4.8>과 같다.

$$k_1 = 11680.1 - 137.0(\text{MDEN}) - 6.4(\text{OMC}) - 65.4(\text{Cc}) + 14.0(\text{Cu}) - 412.8(\text{D50}) - 133.0(\text{D95}) - 81.7(\text{P200}) - 110.8(\text{P4}) \quad \langle \text{식 4.13} \rangle$$

$$k_2 = 5.1045 + 1.2414(\text{MDEN}) - 0.0535(\text{Cc}) + 0.008(\text{Cu}) - 0.2208(\text{D50}) - 0.0947(\text{D95}) - 0.0769(\text{P4}) \quad \langle \text{식 4.14} \rangle$$

여기서, MDEN = 최대건조단위중량 (t/m<sup>3</sup>)

OMC = 최적함수비 (%)

Cc = 곡률계수

Cu = 균등계수

P4 = #4체 통과률 (%)

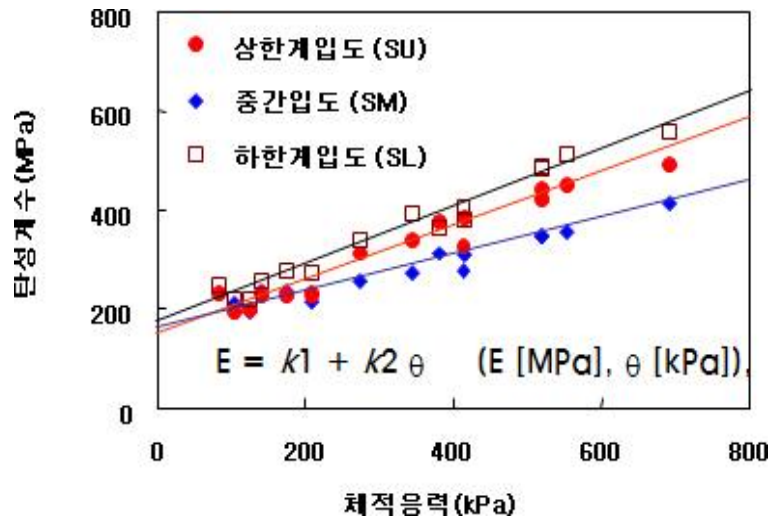
P200 = #200체 통과률 (%)

D50 = 50% 통과률에 해당하는 입경 (mm)

D95 = 95% 통과률에 해당하는 입경 (mm)

<표 4.13> 쇄석기층 재료의 탄성계수, k<sub>1</sub> 계수, k<sub>2</sub> 계수의 범위

| 구분                | 범위                         |
|-------------------|----------------------------|
| 탄성계수 (MPa)        | 100 ≤ E ≤ 600              |
| k <sub>1</sub> 계수 | 80 ≤ k <sub>1</sub> ≤ 270  |
| k <sub>2</sub> 계수 | 0.1 ≤ k <sub>2</sub> ≤ 0.6 |



〈그림 4.8〉 쇄석기층의 일반적인 탄성계수

〈표 4.14〉 포장 거동에 적용하는 노상토 및 입상 보조기층 재료의 포아송비

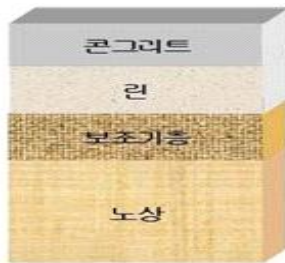
| 구분         | 재료특성           | 포아송비 범위    | 대표 포아송비 |
|------------|----------------|------------|---------|
| 노상토        | 모래질 점토         | 0.2 - 0.3  | 0.25    |
|            | 실트             | 0.3 - 0.35 | 0.325   |
|            | 조밀한 모래         | 0.2 - 0.4  | 0.3     |
|            | 조립 모래          | 0.15       | 0.15    |
|            | 세립 모래          | 0.25       | 0.25    |
| 입상 보조기층 재료 | 조립 사질토 또는 입상재료 | 0.15       | 0.15    |

### (5) 시멘트 콘크리트 포장의 복합 지지력 산정

아스팔트 콘크리트 포장과 달리 시멘트 콘크리트 포장의 거동을 예측하기 위해 스프링 위에 슬래브가 놓인 것을 가정하고 구조해석을 수행해 왔다. 최근에는 3차원 모형으로 해석하는 경우도 있지만, 아직까지 2차원으로 해석하여 그 경향을 분석하는 경우도 많다. 도로포장 구조 설계에서도 〈그림 4.9.a〉에 보이는 실제 포장 구조체를 슬래브는 평면셀로 모델을 하고, 그 이하 하부 구조체

는 각 층의 두께 및 탄성계수를 이용하여 <그림 4.9.b>와 같이 복합지지력으로 변환하여 스프링 계수를 재료 물성으로 사용한다. 도로포장 구조 설계에서는 다양한 조합의 하부구조를 해석한 결과를 바탕으로 하부구조의 두께 및 탄성계수에 따른 복합지지력 변환식을 도출하였다.

복합지지력계수 산정식의 주요 구성요소는 노상의 탄성계수(Esg)와 두께 또는 기반암까지의 깊이(tsg), 입상 (보조)기층의 탄성계수(Eagg)와 두께(tagg), 린콘크리트 기층의 탄성계수(Elean)와 두께(tlean) 등이다. 콘크리트 포장단면은 국내 포장현실을 고려하여 아래와 같이 3개의 대표단면으로 설정하고 각 대표단면에서의 복합지지력계수 산정식인 <식 4.15>에서부터 <식 4.16>까지를 사용하여 복합지지력계수를 구하게 된다.



(a) 콘크리트 포장 구조체



(b) 구조해석 모형

<그림 4.9> 시멘트 콘크리트 포장 구조해석 모형

### 가. 노상 + 입상 기층 구성시

$$\begin{aligned} \text{LogK} = & 0.01266 + 0.19547\text{Log}(\text{Esg}) - 0.63393\text{Log}(\text{tsg}) + 0.88261\text{Log}(\text{Eagg}) - \\ & 0.67172\text{Log}(\text{tagg}) \\ & + 0.324[\text{log}(\text{Esg}) \times \text{Log}(\text{tsg})] + 0.855[\text{Log}(\text{Eagg}) \times \text{Log}(\text{tagg})] \\ & - 0.587[\text{Log}(\text{Esg}) \times \text{Log}(\text{tagg}) - 0.113[\text{Log}(\text{Eagg}) \times \text{Log}(\text{tsg})] \end{aligned} \quad \langle \text{식 4.15} \rangle$$

## 나. 노상 + 린콘크리트 기층 구성시

$$\begin{aligned} \text{LogK} &= 0.46522 + 0.01117\text{Log}(\text{Esg}) - 1.22834\text{Log}(\text{tsg}) \\ &- 0.71942\text{Log}(\text{Elean}) - 0.07781\text{Log}(\text{tlean}) \\ &- 0.237[\text{Log}(\text{tsg})]^2 + 0.451[\text{Log}(\text{Elean})\text{Log}(\text{tlean})] \\ &- 0.487[\text{Log}(\text{Esg})\text{Log}(\text{tlean})] + 0.494[\text{Log}(\text{Esg})\text{Log}(\text{tsg})] \quad \langle \text{식 4.16} \rangle \end{aligned}$$

### (6) (노상 + 입상 보조기층 (동상방지층) + 린콘크리트 기층 구성시

이 경우는 일반노상의 경우와 반무한 노상의 경우로 나누어 산정식을 적용한다. 일반노상의 경우, 노상두께는 절토시 암반층까지의 거리가 되고 성토시 최대 4.0m까지 적용할 수 있다. 반무한 노상의 경우, 노상두께는 4.0m이상의 고성토이거나 풍화토의 깊이가 4.0m 이상으로 매우 깊을 경우에 한하여 적용한다.

#### □ 일반 노상 두께를 가정한 경우

$$\begin{aligned} \text{LogK} &= 0.00951 + 0.85105\text{Log}(\text{Esg}) - 0.92038\text{Log}(\text{tsg}) + 0.15314\text{Log}(\text{Eagg}) \\ &- 0.02810\text{Log}(\text{tagg}) + 0.47855\text{Log}(\text{Elean}) + 0.06484\text{Log}(\text{tlean}) \\ &+ 0.358[\text{Log}(\text{Esg})\text{Log}(\text{tsg})] + 0.366[\text{Log}(\text{Eagg})\text{Log}(\text{tagg})] + 0.3[\text{Log}(\text{Elean})\text{Log}(\text{tlean})] \\ &- 0.27[\text{Log}(\text{Eagg})\text{Log}(\text{tlean})] - 0.379[\text{Log}(\text{Esg})\text{Log}(\text{tagg})] \\ &- 9.66 \times 10^{-2}[\text{Log}(\text{tsg})]^2 - 0.181[\text{Log}(\text{Esg})]^2 \quad \langle \text{식 4.17} \rangle \end{aligned}$$

#### □ 반무한 (half-infinite)노상을 가정한 경우

$$\begin{aligned} \text{LogK} &= 0.48762 + 0.61011\text{Log}(\text{Esg}) + 0.24247\text{Log}(\text{Eagg}) \\ &+ 0.26799\text{Log}(\text{Elean}) + 0.00423\text{Log}(\text{tagg}) + 0.13185\text{Log}(\text{tlean}) \\ &- 0.107[\text{Log}(\text{Eagg})\text{Log}(\text{tlean})] + 0.259 [\text{Log}(\text{Eagg})\text{Log}(\text{tagg})] \\ &- 0.257[\text{Log}(\text{Esg})\text{Log}(\text{tagg})] + 0.168[\text{Log}(\text{Elean})\text{Log}(\text{tlean})] \quad \langle \text{식 4.18} \rangle \end{aligned}$$

여기서,  $K$  : 복합 지지력계수(MPa/m)

$E_{sg}$  : 노상층의 탄성계수 (MPa)

$E_{clean}$  : 린콘크리트 기층의 탄성계수 (MPa)

$E_{agg}$  : 입상 (보조)기층의 탄성계수 (MPa)

$t_{sg}$  : 노상토의 깊이 (m)

단, 원지반 절토의 경우 기반암까지의 거리, 성토의 경우 최대 4.0m 사용

$t_{lean}$  : 린콘크리트 기층의 두께 (m)

$t_{agg}$  : 입상 (보조)기층의 두께 (m)

## (7) 콘크리트 포장 하부 지지력 저하 모형

콘크리트 포장하부의 지지력감소 모형은 복합지지력의 저하 모형을 이용하여 개발하게 된다. 도로포장 구조 설계 중 콘크리트 포장설계의 기본 입력값이 복합지지력을 사용하기 때문이며 이를 위하여 아래와 같이 복합지지력 저하 모형 개발을 위한 다음과 같은 기본 가정을 설정하였다.

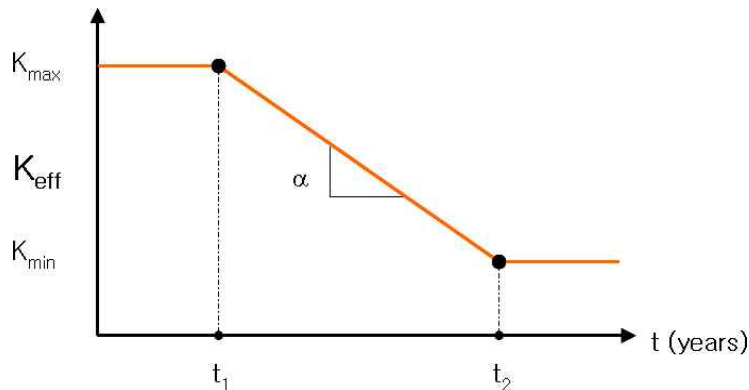
- 1) 복합지지력은 최대값( $K_{max}$ ) 및 최소값( $K_{min}$ )이 존재하며 공용초기 일정 시점( $t_1$ )까지 최대값( $K_{max}$ )을 유지하며  $t_2$ 이후에는 최소값( $K_{min}$ ) 유지
- 2) 복합지지력은 초기 공용 후 일정시점( $t_1$ )부터 저하가 발생하기 시작하며 복합  $K$ 값의 저하율( $\alpha$ )은 일정 공용시점( $t_2$ )까지 균등한 값 유지
- 3) 복합지지력의 초기값은 최대값( $K_{max}$ )으로 간주

복합지지력 저하모형을 개발하기 위한 기본 가정을 이용하면, <그림 4.10>와 같은 복합지지력 저하 함수를 완성할 수 있다.

복합지지력의 저하가 완료되는 시점은 포장의 구성에 따라 달라질 수 있으며

있으며, 감소시점( $t_1$ )과 감소종료시점( $t_2$ ) 및 감소율 ( $\alpha$ )의 정확한 산출을 위해서는 FWD를 이용하여 기존 콘크리트 포장에 대해 장기간 실시한 LTPP 측정 자료의 분석이 필요하다. 따라서, 도로포장 구조 설계에서의 복합지지력 저하 모형은 다음과 같은 사용 제한이 있다.

- 1) 복합지지력 저하모형은 하부층의 구성에 따라 감소율( $\alpha$ ) 및 감소시점( $t_1$ )과 감소종점( $t_2$ )을 각각 달리 적용
- 2) 하부층의 구성은 기본 복합지지력 산정모형에서와 같이 4가지 대표단면으로 국한



〈그림 4.10〉 복합지지력 저하 함수

복합지지력 산정식을 이용하여 보조기층 및 린콘크리트의 탄성계수를 고정한 후, 노상의 탄성계수값을 최소값부터 최대값의 영역 내에서 변화시킬 때에 복합지지력( $K_{\infty}$ )의 변화폭을 검토하였다. 그 결과 〈표 4.15〉~〈표 4.17〉과 같다. 국내 노상토의 탄성계수 영역에서 가장 복합지지력계수가 작게 산출되는 것은 노상+보조기층의 단면구성인 경우로 확인되었으며, 이는 AASHTO '93에서 제시한 복합지지력계수와 비슷한 영역이었다. 반면 노상+린콘크리트, 노상+

보조기층+린콘크리트 단면의 경우에는 복합지지력계수의 최대값이 크게 증가하였다. 본 설계에서는 동일 시멘트 콘크리트 포장에 대한 동일위치에서의 장기간 측정된 FWD 데이터는 국내에 아직 수립된 바가 없어 이와 같이 국외 자료를 수집, 분석하여 장기간에 걸친 지지력계수의 변화추이를 확인하였다. 그 결과, 시멘트 처리 기층이 사용된 경우 다년간의 공용에도 불구하고 하부지지력의 감소(최소 0.1MPa/m/년~ 최대 0.42MPa/m/년)는 매우 적었으며, 입상 기층이 직접 사용된 경우에는 하부지지력의 감소율이 크게 증가(최소 1.1MPa/m/년~최대 1.7MPa/m/년)하였다. 위의 그림에서 산출된 복합지지력의 감소율을 근거로 하여 포장구성별 복합지지력의 순 감소기간과 감소시작시기 및 종료시기 등을 종합하여 <표 4.18>와 같이 포장구성별 복합지지력 저하 모형을 제안하였다.

<표 4.15> 보조기층의 탄성계수가 가장 작은(ESUB-MIN)일 경우 복합지지력계수 영역

| 단면구성          | 최대값 ( $K_{max}$ )<br>(MPa/m) | 최소값 ( $K_{min}$ )<br>(MPa/m) |
|---------------|------------------------------|------------------------------|
| 노상+보조기층       | 355.97                       | 59.33                        |
| 노상+린콘크리트      | 1220.15                      | 154.55                       |
| 노상+보조기층+린콘크리트 | 958.43                       | 144.7                        |

주) 1 pci = 0.2714 MPa/m

<표 4.16> 보조기층의 탄성계수가 중간값(ESUB-MED)일 경우 복합지지력계수 영역

| 단면구성          | 최대값 ( $K_{max}$ )<br>(MPa/m) | 최소값 ( $K_{min}$ )<br>(MPa/m) |
|---------------|------------------------------|------------------------------|
| 노상+보조기층       | 439.9                        | 95.02                        |
| 노상+린콘크리트      | 1220.15                      | 154.55                       |
| 노상+보조기층+린콘크리트 | 1006.4                       | 165.55                       |

〈표 4.17〉 보조기층의 탄성계수가 최대(ESUB-max)일 경우 복합지지력계수 영역

| 단면구성          | 최대값 ( $K_{max}$ )<br>(MPa/m) | 최소값 ( $K_{min}$ )<br>(MPa/m) |
|---------------|------------------------------|------------------------------|
| 노상+보조기층       | 582.73                       | 79.65                        |
| 노상+린콘크리트      | 1220.15                      | 154.55                       |
| 노상+보조기층+린콘크리트 | 1038.92                      | 180.61                       |

〈표 4.18〉 각 하부 재료에 따른 하부 지지력 저감식

| 하부층 재료               | Loss of support | LS 변화식                  |                       |
|----------------------|-----------------|-------------------------|-----------------------|
|                      |                 | 최대지지력(MAX)              | 최소지지력(MIN)            |
| 시멘트처리기층<br>(CTB)     | LS=0 (1)        | $y = y$                 | $y = y$               |
|                      | LS=중간값(2)       | $y = -5.56X + 361.53$   | $y = -0.52X + 59.851$ |
|                      | LS=1 (3)        | $y = -11.12X + 367.09$  | $y = -1.04X + 60.37$  |
| 아스팔트 처리기층<br>(BB)    | LS=0 (1)        | $y = y$                 | $y = y$               |
|                      | LS=중간값(2)       | $y = -5.56X + 361.53$   | $y = -0.52X + 59.851$ |
|                      | LS=1 (3)        | $y = -11.12X + 367.09$  | $y = -1.04X + 60.37$  |
| 비처리 입상기층             | LS=1 (1)        | $y = -17.3X + 373.27$   | $y = -1.62X + 60.65$  |
|                      | LS=중간값(2)       | $y = -24.34X + 380.31$  | $y = -2.54X + 61.87$  |
|                      | LS=3 (3)        | $y = -31.382X + 387.35$ | $y = -3.45X + 62.78$  |
| 세립성 및 자연상태<br>노상도 재료 | LS=2 (1)        | $y = -59.209X + 415.18$ | $y = -5.36X + 64.69$  |
|                      | LS=중간값(2)       | $y = -64.9X + 420.88$   | $y = -6.56X + 65.89$  |
|                      | LS=3 (3)        | $y = -70.61X + 426.58$  | $y = -7.77X + 67.10$  |

## 4.4 동상

흙의 동상(Frost Heaving)작용은 토사 공극 내의 간극수가 얼음으로 변하면서 연속적으로 얼음 결정(Ice Lenese), 얼음층, 얼음 덩어리를 형성하여 팽창함으로써 발생하는 것이다. 이와 같이 상당한 크기의 얼음 덩어리로 성장하는 현상을 얼음 분정 작용(Ice Segregation)이라 부른다. 동상작용은 지반의 하부의 지하수의 수분 공급이 정지될 때까지 또는 동결접촉면(Freezing Interface)에서 동결 조건상 더 이상의 결정상태 (Crystallization)를 유지할 수 없을 때까지

지 열 전달 방향으로 더 낮은 위치에서 새로운 얼음 결정을 형성시키면서 상당한 두께로 성장하기 때문에 발생한다. 흙이 얼음 결정(Ice Lense)을 형성하게 되는 과정(Mechanism)을 미시적으로 보면 대단히 복잡하다. 동결토의 물의 흡입은 지반내의 온도, 지반의 열전도율, 융해잠열, 흡입자의 피막수층 등 열역학적인 인자들에 의해 결정되기 때문이다. 국내에서 포장의 동상 피해를 막기 위해서 포장체의 깊이가 동결심도보다 얇을 경우 동상방지층을 설치하여 노상이 동결심도보다 깊은 곳에 위치하도록 설계한다.

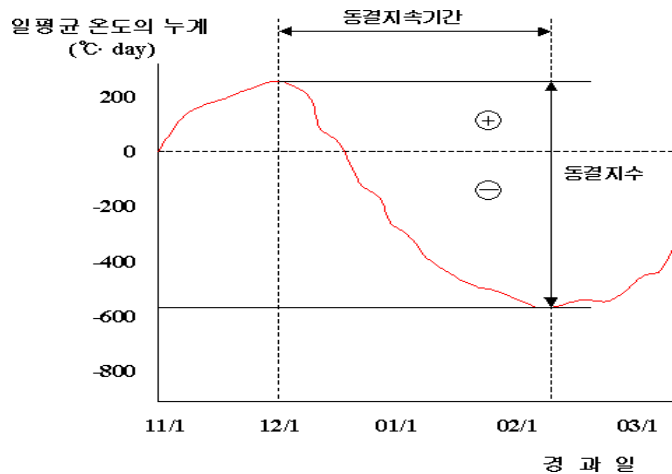
#### 4.4.1 동결지수

동결지수(Frost Index)는 포장내의 동결심도를 산정하기 위한 대표적 척도로서, 포장구조와 노상토를 동결시키는 대기온도의 강도와 지속기간의 누가영향(Cumulative Effect)으로 정의한다. 현재 국내에서는 도로포장의 동결심도를 결정하기 위하여 1949년부터 1978년까지 도로 조사단(1980)에서 작성한 동결지수 선도를 이용하고 있으나 지구 온난화로 인한 기온상승이 계속되면서 수십년 사이에도 기상자료가 많이 달라지고 있다. 따라서 현재 동상방지층을 설계할 때는 최근의 기상자료를 사용하여 동결지수를 산정해야 한다. 동결지수의 단위는 온도·일( $^{\circ}\text{C}\cdot\text{day}$ )이며, <그림 4.11>에서와 같이 어느 동결 계절동안의 누가 온도·일에 대한 시간 곡선상의 최고점과 최저점의 차이로 결정한다. 도로포장의 동결심도를 결정하는데 사용하는 값을 설계동결지수라고 하는데 설계동결지수의 산정은 대상 지역의 인근 측후소에서 관측한 월 평균 대기온도의 크기와 지속기간에 대한 30년간의 기상자료에서 추위가 가장 심하였던 3년간(즉 동결지수의 최대 3년치)의 평균동결지수로 정한다. 만일 30년간의 기상자료가 없으면 최근 10년간의 최대동결지수를 설계동결지수로 산정한다. 동결지수는 측후소 위치에서 관측한 값을 토대로 한 것이므로, 설계노선의 표고에 대한 보정은 다음 식을 이용하여 계산한다.

$$\text{수정동결지수} (^{\circ}\text{C} \cdot \text{일}) = \text{동결지수} + 0.9 \times \text{동결기간} \times \frac{\text{표고차}(m)}{100} \quad \langle \text{식 4.19} \rangle$$

여기서, 표고차(m): 설계노선 최고 표고(m) - 측후소 지반고(m)

이와 같이 산출된 수정동결지수를 기존의 동결심도 산정모형을 적용하여 해당 지역이 설계 동결깊이를 결정하게 된다.



〈그림 4.11〉 동결지수 산정 방법

#### 4.4.2 동결심도 모형

국내의 개발된 대부분의 식들도 실제 현지에서 관측한 동결관입 깊이와 설계 동결지수 를 토대로 해서 개발하였다. 다음 〈표 4.19〉는 4가지 국내 예측 모형을 나열한 것이다.

〈표 4.19〉 국내의 동결 심도 추정식

| 구분       | 모형식                                                               | 비고                                                  |
|----------|-------------------------------------------------------------------|-----------------------------------------------------|
| 모형 1     | $Z = C\sqrt{F}$                                                   | C : 지역 및 토군별 보정계수(3~5)                              |
| 모형 2     | $Z = 14F^{0.33}$                                                  |                                                     |
| 홍원표, 김명환 | $z = 50 \text{Log} \left( \frac{F}{10 \cdot w \cdot r_d} \right)$ | rd: 흙의 건조단위중량 (g/cm <sup>3</sup> )<br>w: 흙의 함수비 (%) |
| 건설기술연구원  | $z = 31.86 \text{Ln}(F) - 84.632$                                 |                                                     |

### 4.4.3 동상 방지법의 종류 및 두께 설계

동결작용은 흙 중에 포화되어 있는 수분의 성질이 변화하여 일어나는 현상으로 비교적 입자가 작은 실트질 흙에서 일어나기 쉽다. 동결지역에서 포장을 설계할 때에는 동결작용에 의한 과도한 노면의 변위 발생을 방지하고 동결 해빙 기간 중 적절한 지지력을 확보하여야 한다. 동상 방지법의 종류 및 두께 설계에 대해서 알아보자.

#### (1) 동상 방지법

##### 가. 완전방지법(complete protection method)

동결작용에 의한 표면 변위량을 제거하기 위해 충분한 두께의 비동결성층을 설치하여 포장의 용기와 지반의 약화를 감소 또는 억제하는 방법이다.

##### 나. 노상동결 관입 허용법(limited subgrade frost penetration method)

노상상태가 수평방향으로 심하게 변하지 않거나 흙이 균질한 경우에 적용되는 설계 방법이다. 동결 깊이가 노상으로 일정 깊이만큼 관입되더라도 동상으로 인한 용기량이 포장파괴를 일으킬만한 양이 아니라면 노상의 동결을 어느 정도 허용하는 것이 경제적이므로 제안된 방법으로 통상적으로 적용한다. 도로포장 구조 설계에서는 이 방법을 채택하여 설계 프로그램에 반영하였다.

##### 다. 감소 노상 강도법(reduced subgrade strength method)

해빙 기간 중에 일어나는 노상강도 감소를 근거로 하여 동결에 대비한 포장 두께를 결정하는 것으로 동결지수가 직접함수가 아니므로 통상적으로 적용하는 방법은 아니다.

완전 방지법은 동결 작용에 의한 표면 변위량을 제거하기 위해 충분한 두께의 비동 결성층을 설치하는 것으로, 노상의 동결을 일부 허용하는 노상 동결관입 허용법 및 감소 노상 강도법에 비해 비경제적이므로 특수한 경우에만 적용한다.

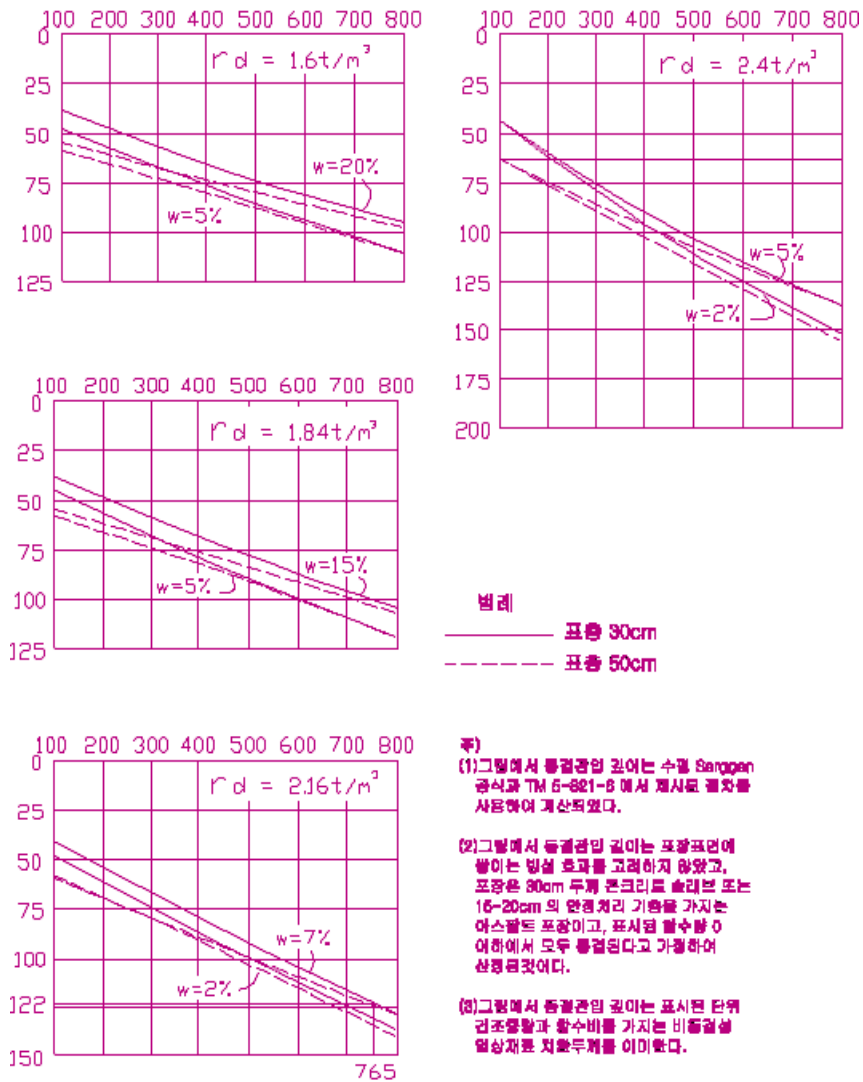
포장 구조 설계시 보편적으로 사용되고 있는 방법으로 노상 동결 관입 허용법과 감소 노상 강도법이 있으나, 후자는 설계 기준으로서 해빙 기간 중에 일어나는 노상 강도 감소를 근거로 하여 동결에 대비한 포장 두께를 결정하는 것으로, 동결지수와 직접적인 함수 관계가 없으므로 동결지수와 직접적인 함수 관계가 있는 노상 동결 관입 허용법을 통상적으로 적용한다.

## (2) 동상 방지층 두께 설계

노상의 동결 관입허용법에 의해 동결깊이를 산정하는 방식은 아래와 같다.

- 가. 동결 기간의 시점에서 기층(보조기층 포함)과 노상토의 평균 함수비, 그리고 기층(보조기층 포함) 재료의 건조 단위중량( $\gamma_d$ )을 결정한다. 기층과 보조기층을 모두 입상재료로 사용하는 경우, 각 층의 두께에 대한 중량비로서 평균 함수비와 단위 건조중량을 계산한다. 또한 안정처리 기층과 비처리 입상 보조기층으로 구성되는 경우에는 입상 보조기층의 함수비와 단위 건조 중량값을 적용한다.
- 나. <그림 4.12 도로설계편람 참조> 및 설계 동결지수 연도에 일어날 수 있는 최대 동결 관입 깊이,  $a$ 를 결정한다. 필요한 경우 직선 보간하여 결정한다.

## 설계 동결 지수( °F 일)



### 설계 동결 지수 800 °F 일 이하의 경우

〈그림 4.12〉 동결 관입 깊이와 설계 동결지수 상관 도표

다. 노상토 속에 동결 관입을 배제하는데 필요한 최대 비동결성 입상 재료 기층(보조기층 포함)두께,  $c$ 를 계산한다.

$$c = a - p \text{ 〈식 4.20〉}$$

여기서,  $c$  : 비동결성 재료 치환 최대 깊이

$a$  : 설계 동결 관입 깊이

$p$  : 콘크리트 포장의 슬래브 두께 또는 아스팔트 포장의 표층두께

라. 노상토와 기층의 함수비의 비( $r$ )를 계산한다.

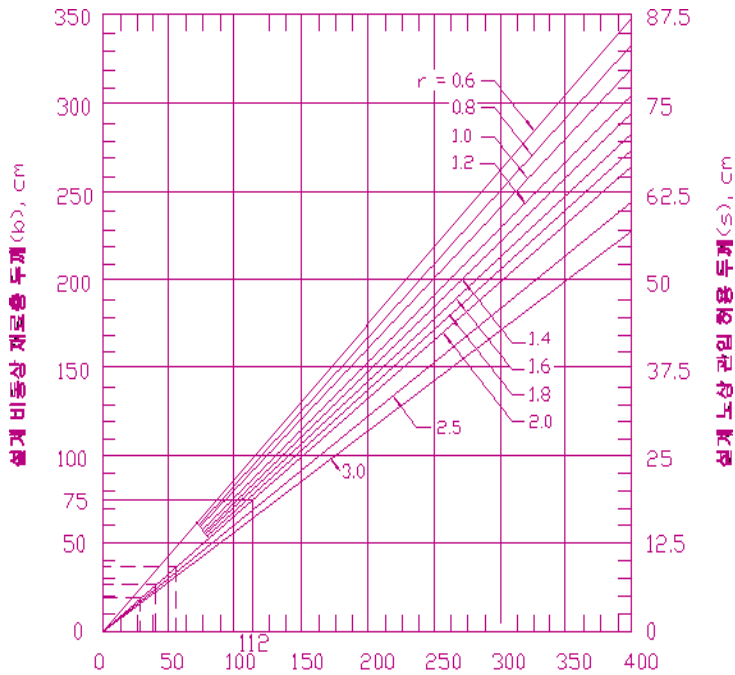
중차량 통행이 많은 곳에서  $r$ 값은 2.0보다 큰 경우 2.0을 사용하고 이외의 모든 곳에 서는  $r$ 이 3.0 이상인 경우 3.0을 사용한다.

$$r = \frac{W_s}{W_b} \text{ 〈식 4.21〉}$$

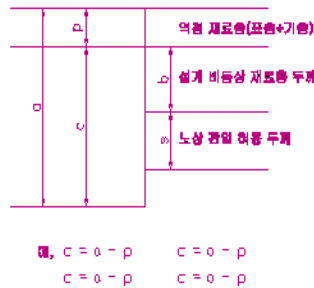
여기서,  $W_s$  : 노상토 함수비

$W_b$  : 기층 함수비

마. 〈그림 4.13〉에서 가로축에  $c$ 값과 대각선의  $r$ 값과 만나는 점을 지나 는 수평선상의 좌측 세로축과 만나는 점으로 얻어지는 값이 소요의 비동결성 기층(보조기층 포함) 두께,  $b$ 값이고 대응되는 우측 세로축 의 값이 허용 노상 동결 관입 깊이,  $s$ 값이다.



노상 동결 관입 깊이가 0일 때 비동결성 재료층 깊이(c), cm



o = 노상 동결 관입을 허용하지 않는 비동결성 지표층과 포층 두께의 합

c = a - p

Wb = 비동결 지표층의 함수비

Ws = 노상표 함수비

$r = \frac{Ws}{Wb}$  동차양 통행지역  $\leq 2.0$ ,  
저교량양 통행지역  $\leq 3.0$

<그림 4.13> 노상동결 관입허용법에 의한 설계 비동결성 재료층 두께결정 도표

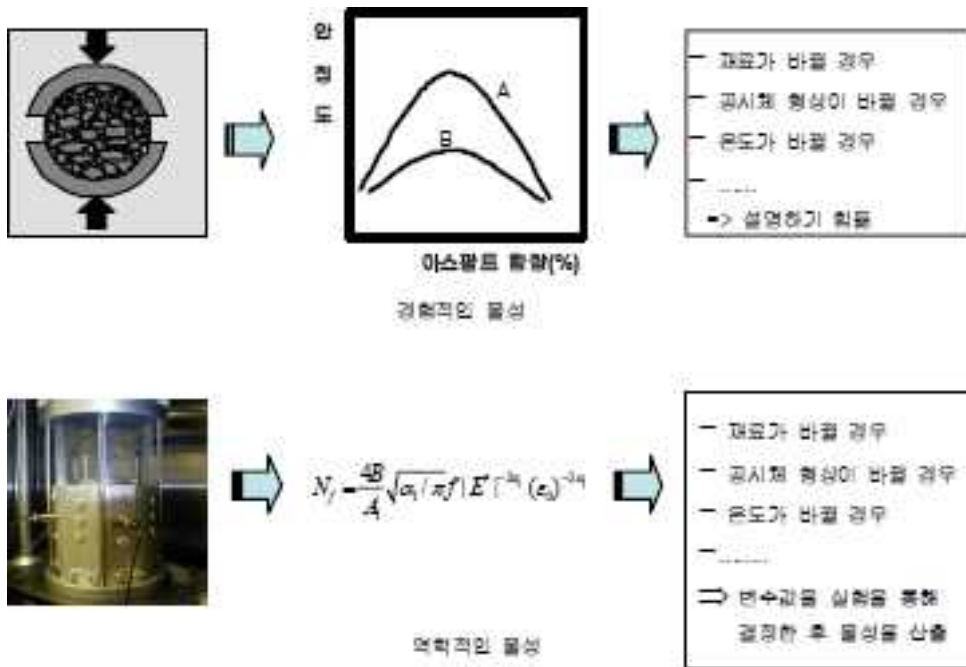
이러한 절차로 결정되는 소요의 비동결성 기층(보조기층 포함) 두께, b와 허용 노상 동결 관입 깊이(s)의 비는 4 : 1이고, r = 1일 때 c = b+s가 된다. 허용 노상 동결 관입 깊이(s)는 설계 노선의 평균적 현장 조건에서 설계 동결 지수 연도의 1년 동안 포장 표면 사이에 과잉 동상 현상을 일으키지 않도록 허용할 수 있는 노상 관입 깊이이다.

## 부록 5. 아스팔트 재료

아스팔트 재료는 온도, 하중의 크기, 하중 재하 속도 등에 따라 그 특성이 달라진다. 본 장에서는 아스팔트 재료를 정량화하기 위한 물성, 실험법에 대하여 제시하였다.

### 5.1 아스팔트 재료 물성

아스팔트 포장 설계에 있어 재료 물성은 매우 중요한 부분이다. 기존의 경험적인 설계에서는 현장 경험을 바탕으로 아스팔트의 재료 물성을 추정하였다. 하지만 다른 입력 변수들과 같이 상이한 재료를 사용하는 경우에는 그 값이 달라져서 설계를 위한 기준이 모호했다. 역학적인 재료 물성은 크게 탄성계수와 포아송 비로 정의된다. 이 물성값을 초기에는 실험을 통해서 찾아냈지만 현재는 시간과 온도 등의 다양한 인자들을 고려한 모형을 개발하여 산정하고 있다. 흙의 정량화 부분에서 살펴본바와 같이, 경험적인 재료의 물성은 구성방정식이 존재하지 않으며 재료의 형상, 시험조건 등에 따라 값이 달라지는 값이다. 이러한 것은 포장 재료에 대한 역학적인 정립이 되기 이전의 물성들로, 대표적인 것이 침입도나 흐름값 등이 있다. 즉, 경험적으로 흐름값이 높은 경우 영구 변형이 많이 발생하지만 두께를 증가시켜 시공을 한다면 그 상황에 대한 물성을 설명하지 못한다. 반면, 역학적인 재료의 물성은 구성 방정식이 존재하여 그 식을 구성하는 영향 인자와 관련된 변수들을 실험을 통해 결정하고 이를 이용하여 재료의 물성을 평가한다. <그림 5.1>는 경험적 물성과 역학적 물성의 차이점을 나타낸 것이다. 아스팔트 재료의 물성값들은 구조 해석을 통해 포장의 공용성을 예측하는 근간이 되고 있으며 보다 정확한 물성 추정을 위해 역학적인 이론 모형을 개발하기 위한 연구들이 수행되고 있다.



〈그림 5.1〉 경험적인 물성과 역학적인 물성의 차이점

### 5.1.1 사용되는 아스팔트 재료의 물성

#### (1) 동탄성계수

대개의 경우 아스팔트 바인더 및 아스팔트 혼합물은 온도와 하중주기 (Loading Frequency)에 크게 영향을 받는다. 따라서, 아스팔트 재료의 역학적 성질을 현장에서 경험하게 되는 모든 영역의 조건들로부터 결정된다. 동적 하중시험(Dynamic Loading Test)은 아스팔트 재료특성을 시험할 수 있는 편리한 시험방법이다. 이 시험방법에 있어서 동탄성계수를 결정하는데 사용되는 시험은 주파수  $f$ (Frequency) 또는 각 주파수  $\omega$ (Angular Frequency) 를 가진 Sinusoidal 비틀림과 Sinusoidal 힘,  $F(t)$ 를 시편에 가하여 실시한다.

$$F(t) = F_0 \sin(\omega t) = 2\pi F r \text{ 식 } \langle 5.1 \rangle$$

이 시험으로부터 얻게 되는 결과는 힘(F), 변형(D) 및 위상각( $\varphi$ )이다. 아스팔트 재료의 역학적 성질은 두 가지의 특정한 요소를 사용하여 <식 5.1>로부터 구한다. 동탄성계수인  $E^* = E_1 + E_2$  는 두 요소에 의해 정의되며  $E_1$  및  $E_2$  는 <식 5.2>, <식 5.3>과 같이 계산된다.

$$E_1 = r \left( \frac{F}{D} \cos \psi + \mu \omega^2 \right) \text{ <식 5.2>}$$

$$E_2 = r \left( \frac{F}{D} \sin \psi \right) \text{ <식 5.3>}$$

여기서,  $r$  : 형상계수( 시편의 크기의 형상의 함수)

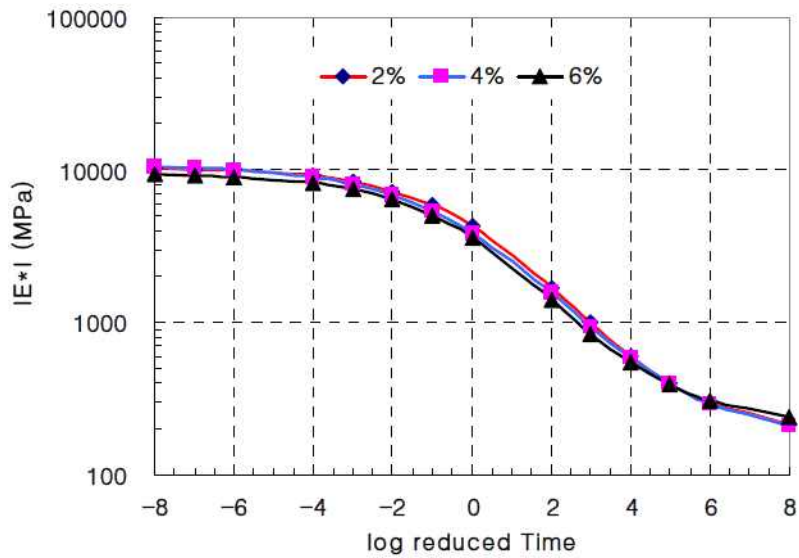
$\mu$  : 질량계수( 시편 질량  $M$ 의 함수)

동탄성계수를 달리 표시하는 방법으로 절대치 <식 5.4>와 같이  $|E^*|$ 로 표현하여 많이 사용한다. <그림 5.2>는 국내 화강암에 대한 동탄성계수 변화를 나타낸 그림이다.

$$|E^*| = \sqrt{(E_1^2 + E_2^2)} \text{ <식 5.4>}$$

$$\psi = \tan^{-1} \frac{E_2}{E_1} \text{ <식 5.5>}$$

동탄성계수의 위상각( $\varphi$ )은 힘과 변형으로부터 측정되는 위상각( $\varphi$ ) 과 다르며 이 차이는 주파수에 따라 증가한다. 전단응력이 작용할 때, 동탄성전단계수  $G^*$  는 <식 5.2> ~ <식 5.5>의  $E^*$  계수를 구하는 방법과 동일한 방법으로 구할 수 있다. 선형 및 동일한 재료의 경우  $G^*$  와  $E^*$  의 관계는 <식 5.6>과 같다.



〈그림 5.2〉 마스터 곡선 (화강암 밀입도 13mm + PG 58-22)

$$E^* = 2G^*(1+\nu) \text{ 〈식 5.6〉}$$

일반적으로 하중 재하 시간이 길어질수록 아스팔트 혼합물의 강성계수값은 낮아지는 반면 하중 재하 속도가 빠르면 탄성계수가 커진다. 이는 차량의 속도에 따라 아스팔트 포장의 탄성계수가 달라져서 발생하는 포장체의 응력이 달라짐을 의미한다.

## (2) 위상각

위상각은 시험 분석을 통해 아스팔트 재료의 점성 및 탄성 거동 특성을 점성거동을 측정하는 물성값이다. 위상각은 아스팔트의 점탄성적 거동을 나타내는 것으로 일반적으로 점성과 탄성의 비율 $[\tan(\gamma)]$ 로 나타내며  $0^\circ$  에서  $90^\circ$  사이에 있다. 위상각은 동적 거동을 측정하여 얻을 수 있다. 원아스팔트의 위상각은 Huet 와 Sayegh(1967)가 제안한 쌍곡선 모형을 기초로 한 절차를 사용하여 정확하게 구할 수 있다.

### (3) 크리프 컴플라이언스

크리프 컴플라이언스는 일정한 응력하에서 시간에 따른 변형률의 비율을 나타낸 것으로 다음과 같이 표현할 수 있다.

$$J(t) = \frac{\epsilon(t)}{\sigma} \quad \langle \text{식 5.7} \rangle$$

여기서,  $J(t)$  : 크리프 컴플라이언스

$\epsilon(t)$  : 시간에 따른 변형률

$\sigma$  : 일정 응력

앞에서 살펴본 각 점탄성 모형에서  $J$  값에 대한 모형은 각각 다르다.

### (4) 온도의존 특성

동탄성계수는 온도와 주기의 함수이다. 이러한 관계는 계수의 등온선으로 그래프로 표현할 수 있다. 마스터 곡선은  $\log(\alpha T)$  계수를 두 기축을 따라 결과를 이동시킴으로써, <그림 5.2>과 같이 여러 온도와 주기에서 얻어진 계수로부터 작도 할 수 있다. 즉,

$$X = \log(\alpha T \cdot Fr) \quad \langle \text{식 5.8} \rangle$$

여기서,  $\alpha T$ : 이동계수(shift factor)

$Fr$ : 빈도

<식 5.9>는 온도와 주기의 관계이다. 이 절차의 장점은 일단 마스터곡선이 만들어지면 측정된 범위 내에서 주기  $Fr$  또는 온도  $T$  의 어떠한 조합이 되더라도 강성계수의 수치를 보간 해낼 수 있다. 이러한 보간법은 서로 다른 시험 조건을 가진 서로 다른 시험실에서 얻은 실험결과를 비교할 수 있음을 물론,

시험온도와 주기를 표준화 할 필요가 없게 된다. 같은 원리를 시간의존 특성 (크리프 또는 완화곡선)에 적용할 수 있다. 이 경우 관련 변수는  $\log(t/\alpha T)$  가 된다. 보정계수를 계산하는데 두 종류의 공식이 제안되어 있다.

다음 식은 1955년 William, Landel 및 Ferry 가 제안한 공식으로 WLF 보정계수로 불린다.

$$\log(\alpha_T) = \frac{-C_1(T - T_s)}{C_2 + (T - T_s)} \quad \langle \text{식 5.9} \rangle$$

여기서,  $C_1$ 과  $C_2$ 는 매개 변수이다. Arrhenius 가 제안한 식은 다음과 같다.

$$\log(\alpha_T) = \frac{0.4343\Delta H}{R} \left( \frac{1}{T} + \frac{1}{T_s} \right) \quad \langle \text{식 5.10} \rangle$$

여기서,  $\Delta H$ : 재료의 특성을 나타내는 명목활동 에너지 (50 Kcal/mole = 210 KJ/mole )

R: Gas Constant 상수 (8.27 J/mole/K)

T,  $T_s$  : °K 로 표시되는 온도

### 5.1.2 도로포장 구조 설계의 아스팔트 재료 물성

아스팔트 재료는 재료의 특성 및 하중재하 속도에 따라 달라지며, 그 결과를 동탄성계수로 나타낸다. 아스팔트 재료 물성에 대해서는 본 장에서 보다 자세히 설명될 것이며 도로포장 구조 설계의 동탄성계수를 예측하는 로직은 <그림 5.3>과 같다.

**E**

# 입력 변수 :  $\eta_i, P_{34i}, P_{38i}, P_{4i}, P_{200i}, V_{ai}, V_{eff}$

# 변수 정의 :

$\eta_i$  = 아스팔트 바인더의 절대 점도 60°C ( $10^6$  poise)

$P_{34i}$  = 19mm 체의 골재 잔류율(%), 범위= 0% ~ 50%

$P_{38i}$  = 9.5mm 체의 골재 잔류율(%), 범위= 0% ~ 50%

$P_{4i}$  = 4.75mm 체의 골재 잔류율(%), 범위= 0% ~ 50%

$P_{200i}$  = 0.075mm 체의 골재 잔류율(%), 범위= 0% ~ 50%

$V_{ai}$  = 아스팔트 믹스처의 공극률(%), 범위= 2% ~ 20%

$V_{eff}$  = 아스팔트 혼합물의 효과적인 아스팔트 량(%)

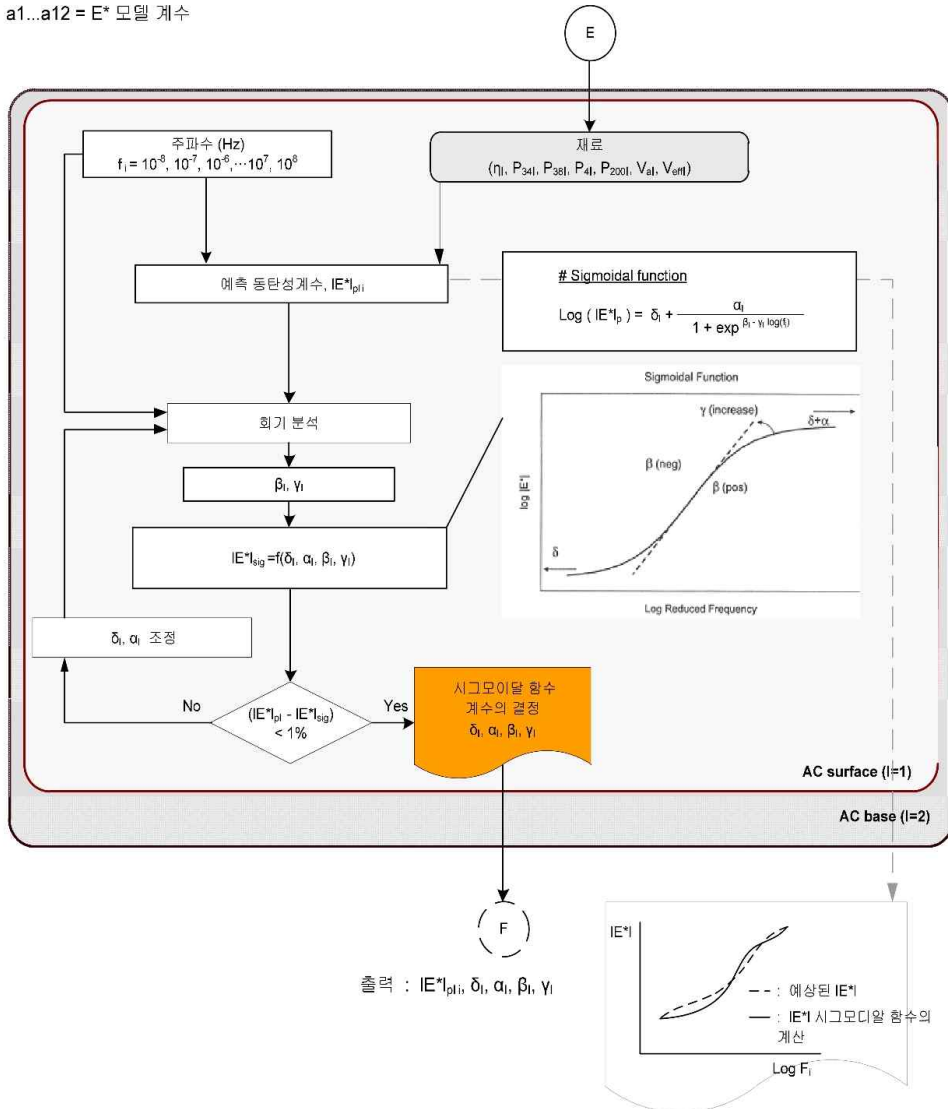
$a1...a12$  = E\* 모델 계수

$IE^{*}_{pti}$  = 예측 동탄성계수 (MPa)

$\delta_i$  = 최소 동탄성계수 (MPa)

$\alpha_i$  = 가능한 값의 범위 (0~1)

$\beta_i$  &  $\gamma_i$  = 형상 매개 변수 ( $\beta_i$  : -2 ~ -0.5,  $\gamma_i$  : 0~1)



<그림 5.3> 아스팔트 층의 동탄성계수 결정 로직

- ① 아스팔트 바인더 점도, 하중주파수, 공극률, 유효아스팔트바인더의 함량, 20 mm, 10 mm, 5 mm 체의 누가잔류량 및 0.08mm 체의 통과량을 실험을 통해 산정한다. 교통하중에서 설계속도에 따른 각 층의 하중 주파수를 계산한다.
- ② 각 입력 변수들을 동탄성계수 예측식에 대입하여 초기 동탄성계수를 예측한다.
- ③ 예측한 초기 동탄성계수와 시그모달 함수를 바탕으로 회귀분석을 실시하여 시그모달 함수의 계수값을 결정한다.
- ④ 초기 동탄성계수와 계수를 결정하여 시그모달 함수를 통해 계산한 동탄성계수 값을 비교한다.
- ⑤ 그 차이가 1% 이내로 나면 주어진 조건의 동탄성계수로 사용한다. 하지만 1% 이상 차이가 발생하면 다시 회귀식 분석을 통해 시그모달 함수의 계수값을 조정하여 반복 계산한다.

### (1) 포장설계 동탄성계수 추정식

도로포장 구조 설계에서 아스팔트 재료 물성은 동탄성계수로 정의하였고, 국내에서 사용되는 혼합물에 대한 물성실험을 진행하여 이를 정량화하였다. 현재 동탄성계수는 표층용 혼합물(밀입도 13mm와 20mm), 기층용 혼합물(25mm), 개립아스팔트혼합물 (SMA 13mm), 개질아스팔트혼합물(13mm)과 아스팔트 바인더의 경우 3개의 다른 등급인 PG 58-22(AP-3), PG 64-22(AP-5), PG 76-22에 대해 데이터 베이스가 구축되었다.

각 골재와 아스팔트 바인더의 조합을 통해 도로포장 구조 설계에서는 <식 5.11>과 같은 예측식을 제안하였다.

$$\begin{aligned}
 \text{Log}|E^*| = & a_1 + a_2(P_{200}) + a_3(P_4) + a_4(V_a) + \frac{a_5(V_{beff})}{V_{beff} + V_a} \quad \langle \text{식 5.11} \rangle \\
 & + \frac{a_6 + a_7(P_4) + a_8(P_{38}) + a_9(P_{34})}{1 + e^{(a_{10} + a_{11} \times \log(f) + a_{12} \times \log(\eta))}}
 \end{aligned}$$

여기서,  $|E^*|$ : 동탄성계수 (MPa)  
 $\eta$ : 아스팔트 바인더 점도 (106 poise)  
 $f$ : 하중주파수 (Hz)  
 $V_a$ : 공극률(%)  
 $V_{beff}$ : 유효아스팔트바인더의 함량(%)  
 $P_{34}$ : 20mm 체의 누가잔류량(%)  
 $P_{38}$ : 10mm 체의 누가잔류량(%)  
 $P_4$ : 5mm 체의 누가잔류량(%)  
 $P_{200}$ : 0.08mm 체의 통과량(%)

## (2) 동탄성계수 추정식 입력변수로서의 아스팔트 바인더의 점도특성

〈표 5.1〉은 동탄성계수 추정식을 개발하는데 사용한 아스팔트의 입력변수로서 사용한 각 아스팔트 바인더의 온도별 점도를 보여주고 있다. 아스팔트 점도는 온도에 따라 변화하므로 5개의 온도에서 아스팔트 점도를 측정하여 아스팔트 점도와 온도와의 상관관계로부터 구한 식을 사용하였다. 〈표 5.1〉에서 VTS는 상관관계식의 기울기이며, A는 상관관계의 아스팔트 점도축과 만나는 교차점이다.

〈표 5.1〉 아스팔트 종류별 점성특성

| 혼합물                                          | 아스팔트        | 시험온도 | $\eta$  | VTS    | A      |
|----------------------------------------------|-------------|------|---------|--------|--------|
| 표층용 13mm<br>표층용 19mm<br>기층용 25mm<br>SMA 13mm | PG<br>58-22 | -10  | 27000   | -3.981 | 11.787 |
|                                              |             | 5    | 921.12  |        |        |
|                                              |             | 20   | 5.968   |        |        |
|                                              |             | 40   | 0.0692  |        |        |
|                                              |             | 55   | 0.0048  |        |        |
|                                              | PG<br>64-22 | -10  | 27000   | -3.680 | 10.980 |
|                                              |             | 5    | 1276.20 |        |        |
|                                              |             | 20   | 10.967  |        |        |
|                                              |             | 40   | 0.1515  |        |        |
|                                              |             | 55   | 0.0111  |        |        |
| 개질 13mm                                      | PG<br>76-22 | -10  | 27000   | -3.208 | 9.715  |
|                                              |             | 5    | 2206.53 |        |        |
|                                              |             | 20   | 30.245  |        |        |
|                                              |             | 40   | 0.5702  |        |        |
|                                              |             | 55   | 0.0473  |        |        |

### (3) 동탄성계수 추정식 입력변수로서의 아스팔트 혼합물의 기본물성

아스팔트 혼합물의 기본 물성중에서는 골재입도분포, 아스팔트 혼합물 부피 특성이 주요 입력변수로 사용되었다. <표 5.2>에서 지금까지의 시험을 통해 수정 보완된 각 혼합물의 조합별 골재 입도분포 특성인 20mm, 10mm, 5mm 체크기의 누가잔류량과, 0.08mm체 통과량 및 아스팔트 혼합물의 공극률( $V_a$ ) 과 유효아스팔트 함량( $V_{beff}$ )등을 볼 수 있다.

<표 5.2> 아스팔트 혼합별 기본 물성치

| 혼합물         | 아스팔트     | P34 | P38   | P4   | P200 | $V_a$ | $V_{beff}$ |
|-------------|----------|-----|-------|------|------|-------|------------|
| SMA<br>13mm | PG 58-22 | 0   | 38.75 | 72.5 | 10   | 2.783 | 12.3       |
|             |          |     |       |      |      | 4.426 | 12.1       |
|             |          |     |       |      |      | 6.802 | 11.8       |
|             | PG 64-22 | 0   | 38.75 | 72.5 | 10   | 1.612 | 12.3       |
|             |          |     |       |      |      | 3.08  | 12.2       |
|             |          |     |       |      |      | 4.909 | 11.9       |
| 표층용<br>13mm | PG 58-22 | 0   | 11    | 32.5 | 7    | 2.235 | 11.0       |
|             |          |     |       |      |      | 4.064 | 10.8       |
|             |          |     |       |      |      | 6.249 | 10.6       |
|             | PG 64-22 | 0   | 11    | 32.5 | 7    | 2.076 | 11.3       |
|             |          |     |       |      |      | 4.217 | 11.0       |
|             |          |     |       |      |      | 6.243 | 10.8       |
| 표층용<br>19mm | PG 58-22 | 2.5 | 24    | 45   | 6    | 2.457 | 10.4       |
|             |          |     |       |      |      | 4.484 | 10.2       |
|             |          |     |       |      |      | 6.388 | 10.0       |
|             | PG 64-22 | 2.5 | 24    | 45   | 6    | 1.927 | 10.7       |
|             |          |     |       |      |      | 4.159 | 10.5       |
|             |          |     |       |      |      | 5.962 | 10.3       |
| 기층용<br>25mm | PG 58-22 | 13  | 35    | 51   | 4    | 1.604 | 9.6        |
|             |          |     |       |      |      | 3.616 | 9.4        |
|             |          |     |       |      |      | 5.607 | 9.2        |
|             | PG 64-22 | 13  | 35    | 51   | 4    | 1.869 | 9.5        |
|             |          |     |       |      |      | 3.777 | 9.3        |
|             |          |     |       |      |      | 5.919 | 9.1        |
| 개질 13mm     | PG 76-22 | 0   | 12.5  | 39   | 6    | 3.129 | 10.6       |
|             |          |     |       |      |      | 4.058 | 10.5       |
|             |          |     |       |      |      | 5.429 | 10.4       |

#### (4) 동탄성계수 시험결과 및 회귀분석에 의한 입력변수값

〈표 5.3〉 ~ 〈표 5.11〉은 지금까지 도로포장 구조 설계 연구를 통해 시험한 각 아스팔트 혼합물의 동탄성계수 시험 결과값을 정리한 것이다.

〈표 5.3〉 표층용 화강암 13mm+AP-3(PG58-22)

| 공극율  |      | 2%     |          | 4%     |          | 6%     |          |
|------|------|--------|----------|--------|----------|--------|----------|
| 시험온도 | 주파수  | E*     | $\delta$ | E*     | $\delta$ | E*     | $\delta$ |
| -10℃ | 0.05 | 7874.3 | 10.72    | 7367.0 | 10.75    | 6359.0 | 9.64     |
|      | 0.1  | 8052.7 | 9.60     | 7547.0 | 10.21    | 6733.3 | 9.49     |
|      | 1    | 9108.0 | 6.65     | 8613.5 | 6.31     | 7722.5 | 6.91     |
|      | 10   | 9539.3 | 4.44     | 8959.5 | 4.50     | 8202.0 | 4.27     |
|      | 25   | 9265.3 | 3.94     | 8660.0 | 1.79     | 8491.8 | 5.88     |
| 5℃   | 0.05 | 5209.0 | 15.78    | 4662.0 | 15.91    | 4416.7 | 16.68    |
|      | 0.1  | 5566.3 | 12.66    | 4917.7 | 14.01    | 4694.3 | 15.21    |
|      | 1    | 6748.3 | 8.62     | 6060.3 | 10.30    | 5729.3 | 8.72     |
|      | 10   | 7735.3 | 6.55     | 6833.3 | 7.65     | 6668.3 | 7.16     |
|      | 25   | 7975.3 | 4.15     | 6964.7 | 4.35     | 6632.3 | 5.68     |
| 20℃  | 0.05 | 2479.3 | 26.50    | 2196.3 | 26.44    | 1957.0 | 27.02    |
|      | 0.1  | 2801.7 | 24.11    | 2150.7 | 24.96    | 2188.3 | 25.38    |
|      | 1    | 4111.3 | 14.78    | 3672.0 | 16.69    | 3342.3 | 16.29    |
|      | 10   | 5178.7 | 11.85    | 4802.7 | 10.37    | 4582.7 | 11.92    |
|      | 25   | 5977.0 | 12.06    | 5411.0 | 10.56    | 5013.0 | 11.91    |
| 40℃  | 0.05 | 739.0  | 18.35    | 715.0  | 19.37    | 653.0  | 21.23    |
|      | 0.1  | 818.0  | 19.32    | 791.3  | 19.79    | 739.7  | 20.55    |
|      | 1    | 1229.0 | 20.81    | 1143.0 | 19.52    | 1023.7 | 18.05    |
|      | 10   | 1948.3 | 21.28    | 1828.7 | 17.52    | 1574.3 | 21.15    |
|      | 25   | 2369.3 | 19.80    | 2108.3 | 14.12    | 1874.7 | 16.52    |
| 55℃  | 0.05 | 326.7  | 12.43    | 302.7  | 14.46    | 274.0  | 12.26    |
|      | 0.1  | 324.0  | 13.25    | 323.7  | 14.63    | 292.3  | 13.58    |
|      | 1    | 426.3  | 15.69    | 433.7  | 16.73    | 368.0  | 16.27    |
|      | 10   | 679.7  | 22.19    | 652.3  | 22.88    | 563.7  | 20.45    |
|      | 25   | 857.0  | 16.06    | 834.3  | 27.23    | 677.7  | 20.13    |

〈표 5.4〉 표층용 화강암 13mm+AP-5(PG64-22)

| 공극율  |      | 2%      |          | 4%     |          | 6%     |          |
|------|------|---------|----------|--------|----------|--------|----------|
| 시험온도 | 주파수  | E*      | $\delta$ | E*     | $\delta$ | E*     | $\delta$ |
| -10℃ | 0.05 | 9035.7  | 8.85     | 8092.0 | 7.90     | 7299.7 | 9.30     |
|      | 0.1  | 9291.3  | 7.67     | 8352.0 | 7.71     | 7547.3 | 8.29     |
|      | 1    | 10068.7 | 5.52     | 9180.0 | 5.81     | 8528.3 | 4.90     |
|      | 10   | 11050.3 | 3.47     | 10440  | 3.82     | 8784.0 | 4.75     |
|      | 25   | 10275.3 | 3.55     | 9812.5 | 5.03     | 8931.0 | 3.12     |
| 5℃   | 0.05 | 5536.7  | 15.01    | 5050.7 | 15.72    | 4485.3 | 15.55    |
|      | 0.1  | 5689.7  | 13.63    | 5413.0 | 13.95    | 4650.3 | 14.35    |
|      | 1    | 7028.0  | 9.32     | 6701.7 | 8.36     | 5653.7 | 9.02     |
|      | 10   | 8226.7  | 6.04     | 7496.3 | 6.79     | 6751.3 | 7.16     |
|      | 25   | 7683.7  | 5.31     | 7734.3 | 6.04     | 6655.3 | 4.88     |
| 20℃  | 0.05 | 2426.7  | 25.61    | 2293.3 | 25.58    | 1982.0 | 27.05    |
|      | 0.1  | 2760.7  | 24.00    | 2545.0 | 24.36    | 2254.0 | 24.45    |
|      | 1    | 4253.7  | 16.14    | 3869.7 | 15.24    | 3372.3 | 16.60    |
|      | 10   | 5937.3  | 10.01    | 4923.7 | 11.10    | 4475.7 | 11.86    |
|      | 25   | 5961.7  | 8.04     | 5337.7 | 11.74    | 4968.7 | 13.23    |
| 40℃  | 0.05 | 855.0   | 18.19    | 770.7  | 20.90    | 738.0  | 23.27    |
|      | 0.1  | 956.3   | 19.94    | 870.0  | 21.53    | 825.3  | 22.34    |
|      | 1    | 1401.0  | 18.86    | 1327.7 | 19.45    | 1279.0 | 18.25    |
|      | 10   | 2340.0  | 19.83    | 2058.0 | 20.00    | 1967.3 | 16.98    |
|      | 25   | 2807.7  | 17.47    | 2596.7 | 17.85    | 2190.7 | 17.57    |
| 55℃  | 0.05 | 341.0   | 9.91     | 324.7  | 13.05    | 317.7  | 13.78    |
|      | 0.1  | 357.0   | 12.27    | 342.3  | 14.27    | 327.0  | 14.52    |
|      | 1    | 469.0   | 15.94    | 468.3  | 18.35    | 462.7  | 18.15    |
|      | 10   | 726.3   | 20.99    | 727.7  | 19.16    | 712.3  | 22.25    |
|      | 25   | 891.0   | 21.77    | 933.0  | 22.79    | 908.3  | 23.51    |

〈표 5.5〉 표층용 화강암 19mm+AP-3(PG58-22)

| 공극율  |      | 2%     |          | 4%     |          | 6%     |          |
|------|------|--------|----------|--------|----------|--------|----------|
| 시험온도 | 주파수  | E*     | $\delta$ | E*     | $\delta$ | E*     | $\delta$ |
| -10℃ | 0.05 | 7742.7 | 10.64    | 7288.7 | 11.17    | 6821.7 | 10.70    |
|      | 0.1  | 8110.3 | 9.55     | 7495.7 | 10.33    | 7055.0 | 9.27     |
|      | 1    | 9215.7 | 7.47     | 8700.3 | 7.01     | 7893.0 | 6.42     |
|      | 10   | 9757.3 | 5.07     | 9245.7 | 5.46     | 8532.7 | 4.21     |
|      | 25   | 9730.7 | 2.93     | 8619.7 | 3.28     | 8515.7 | 3.58     |
| 5℃   | 0.05 | 4539.0 | 16.10    | 4140.3 | 16.55    | 4525.7 | 17.61    |
|      | 0.1  | 4744.3 | 15.22    | 4341.3 | 14.58    | 4778.7 | 14.86    |
|      | 1    | 6038.7 | 9.09     | 5318.3 | 9.47     | 5992.7 | 10.69    |
|      | 10   | 6425.3 | 6.06     | 5834.0 | 6.17     | 6850.7 | 7.37     |
|      | 25   | 6601.3 | 5.09     | 5742.0 | 3.71     | 6969.3 | 5.08     |
| 20℃  | 0.05 | 2233.7 | 27.22    | 1926.7 | 26.61    | 1948.3 | 26.51    |
|      | 0.1  | 2543.7 | 25.75    | 2171.7 | 25.01    | 2215.7 | 24.94    |
|      | 1    | 3816.3 | 16.71    | 3228.7 | 16.45    | 3408.7 | 15.96    |
|      | 10   | 5245.3 | 11.50    | 4303.7 | 11.26    | 4528.7 | 13.13    |
|      | 25   | 5603.3 | 13.26    | 4513.0 | 10.55    | 5017.0 | 12.37    |
| 40℃  | 0.05 | 755.3  | 18.04    | 702.0  | 20.24    | 706.3  | 19.97    |
|      | 0.1  | 825.7  | 17.98    | 757.3  | 19.93    | 776.7  | 18.64    |
|      | 1    | 1183.0 | 17.02    | 1061.0 | 17.88    | 1086.0 | 17.79    |
|      | 10   | 1834.3 | 20.33    | 1621.3 | 17.80    | 1702.0 | 16.18    |
|      | 25   | 2165.7 | 15.16    | 1929.3 | 17.63    | 1999.0 | 17.98    |
| 55℃  | 0.05 | 322.3  | 11.19    | 301.7  | 12.82    | 282.7  | 11.70    |
|      | 0.1  | 344.0  | 13.27    | 313.3  | 13.53    | 293.7  | 12.93    |
|      | 1    | 427.3  | 16.41    | 403.7  | 15.71    | 359.7  | 14.97    |
|      | 10   | 640.3  | 28.33    | 577.0  | 21.12    | 511.3  | 19.94    |
|      | 25   | 796.0  | 23.88    | 733.0  | 21.28    | 616.0  | 20.27    |

〈표 5.6〉 화강암 밀입도 19mm+AP-5(PG64-22)

| 공극율  |      | 2%    |          | 4%    |          | 6%    |          |
|------|------|-------|----------|-------|----------|-------|----------|
| 시험온도 | 주파수  | E*    | $\delta$ | E*    | $\delta$ | E*    | $\delta$ |
| -10℃ | 0.1  | 20432 | 15.13    | 24293 | 14.37    | 21008 | 15.49    |
|      | 0.5  | 23909 | 11.88    | 28037 | 13.43    | 25132 | 14.52    |
|      | 1    | 25576 | 10.08    | 30655 | 11.84    | 28054 | 10.76    |
|      | 5    | 29363 | 5.15     | 34322 | 6.64     | 28575 | 7.83     |
|      | 10   | 30794 | 4.69     | 35081 | 6.01     | 33359 | 6.76     |
|      | 25   | 32388 | 8.60     | 34918 | 6.39     | 34265 | 4.90     |
| 5℃   | 0.05 | 10890 | 12.90    | 11705 | 18.75    | 10302 | 15.78    |
|      | 0.1  | 15228 | 15.04    | 15233 | 13.00    | 14669 | 13.61    |
|      | 1    | 16043 | 14.15    | 16401 | 10.89    | 15399 | 9.43     |
|      | 5    | 18934 | 7.65     | 21724 | 8.07     | 18422 | 9.42     |
|      | 10   | 21377 | 5.90     | 26052 | 6.03     | 19697 | 6.43     |
|      | 25   | 22443 | 7.36     | 25521 | 7.06     | 24540 | 5.46     |
| 20℃  | 0.05 | 3632  | 31.63    | 3636  | 34.59    | 3426  | 30.93    |
|      | 0.1  | 5518  | 24.24    | 8154  | 24.79    | 5829  | 23.67    |
|      | 1    | 7230  | 22.58    | 9378  | 26.97    | 6304  | 24.75    |
|      | 5    | 13223 | 14.51    | 13972 | 21.24    | 11885 | 18.54    |
|      | 10   | 10845 | 16.02    | 15616 | 21.12    | 13068 | 19.64    |
|      | 25   | 13843 | 11.90    | 17882 | 11.38    | 11268 | 12.93    |
| 40℃  | 0.05 | 1883  | 28.16    | 1369  | 42.46    | 1585  | 42.49    |
|      | 0.1  | 2972  | 27.82    | 1873  | 42.29    | 2314  | 38.56    |
|      | 1    | 3387  | 29.09    | 1895  | 39.41    | 2950  | 37.07    |
|      | 5    | 6270  | 33.02    | 3210  | 34.39    | 6311  | 32.44    |
|      | 10   | 8231  | 34.28    | 4177  | 30.53    | 8018  | 34.27    |
|      | 25   | 7871  | 35.71    | 5126  | 35.30    | 8885  | 35.85    |
| 55℃  | 0.05 | 1965  | 39.90    | 1384  | 40.23    | 1221  | 37.54    |
|      | 0.1  | 2397  | 39.93    | 1828  | 41.30    | 1498  | 37.24    |
|      | 1    | 2115  | 35.53    | 1942  | 32.68    | 1396  | 36.35    |
|      | 5    | 2593  | 36.35    | 2088  | 35.52    | 1874  | 45.68    |
|      | 10   | 2726  | 33.08    | 2359  | 43.10    | 2212  | 41.10    |
|      | 25   | 4449  | 38.17    | 2883  | 39.72    | 2766  | 41.61    |

〈표 5.7〉 화강암 기층용 아스팔트 25mm+AP-3(PG58-22)

| 공극율  |      | 2%    |          | 4%    |          | 6%    |          |
|------|------|-------|----------|-------|----------|-------|----------|
| 시험온도 | 주파수  | E*    | $\delta$ | E*    | $\delta$ | E*    | $\delta$ |
| -10℃ | 0.1  | 22674 | 11.09    | 39615 | 10.57    | 26841 | 10.34    |
|      | 0.5  | 27122 | 10.25    | 41292 | 9.92     | 34195 | 9.38     |
|      | 1    | 30808 | 9.74     | 47065 | 9.56     | 37979 | 9.00     |
|      | 5    | 37109 | 9.14     | 53588 | 9.44     | 39323 | 8.66     |
|      | 10   | 38517 | 7.19     | 54162 | 7.37     | 44264 | 7.07     |
|      | 25   | 42207 | 6.11     | 56504 | 6.25     | 44310 | 6.03     |
| 5℃   | 0.05 | 17342 | 17.57    | 23765 | 17.61    | 18434 | 16.45    |
|      | 0.1  | 19492 | 16.15    | 27533 | 15.63    | 22915 | 14.94    |
|      | 1    | 24779 | 13.99    | 32150 | 13.40    | 25964 | 13.54    |
|      | 5    | 29945 | 12.36    | 39010 | 12.15    | 29133 | 11.16    |
|      | 10   | 30612 | 9.45     | 38437 | 9.06     | 30557 | 8.19     |
|      | 25   | 26939 | 3.53     | 36713 | 4.51     | 29229 | 5.21     |
| 20℃  | 0.05 | 4438  | 31.55    | 7630  | 32.04    | 4819  | 32.08    |
|      | 0.1  | 6854  | 27.57    | 8861  | 26.89    | 6767  | 27.17    |
|      | 1    | 8897  | 24.49    | 10876 | 24.01    | 7536  | 24.03    |
|      | 5    | 12238 | 21.93    | 13285 | 20.85    | 12206 | 20.70    |
|      | 10   | 12417 | 20.54    | 15931 | 19.88    | 12845 | 19.18    |
|      | 25   | 12488 | 19.79    | 13920 | 19.14    | 13093 | 18.86    |
| 40℃  | 0.05 | 1614  | 25.74    | 1740  | 24.94    | 1792  | 26.87    |
|      | 0.1  | 1939  | 26.01    | 2028  | 26.66    | 2117  | 27.62    |
|      | 1    | 2808  | 28.89    | 3036  | 29.80    | 2283  | 30.34    |
|      | 5    | 3761  | 29.83    | 3727  | 28.43    | 4111  | 29.71    |
|      | 10   | 5870  | 30.70    | 4563  | 29.32    | 4831  | 31.35    |
|      | 25   | 7506  | 26.05    | 4987  | 26.42    | 6754  | 28.28    |
| 55℃  | 0.05 | 1341  | 22.92    | 1331  | 23.88    | 1074  | 23.45    |
|      | 0.1  | 1586  | 23.90    | 1499  | 22.38    | 1402  | 24.10    |
|      | 1    | 1641  | 26.04    | 1640  | 26.58    | 1775  | 25.66    |
|      | 5    | 2202  | 30.08    | 2407  | 33.67    | 2703  | 31.99    |
|      | 10   | 3066  | 36.44    | 2322  | 36.10    | 2409  | 35.36    |
|      | 25   | 2830  | 35.75    | 2467  | 34.96    | 2439  | 36.21    |

〈표 5.8〉 화강암 기층용 아스팔트 25mm+AP-5(PG64-22)

| 공극율  |      | 2%    |          | 4%    |          | 6%    |          |
|------|------|-------|----------|-------|----------|-------|----------|
| 시험온도 | 주파수  | E*    | $\delta$ | E*    | $\delta$ | E*    | $\delta$ |
| -10℃ | 0.1  | 24356 | 10.76    | 21583 | 10.36    | 22332 | 10.34    |
|      | 0.5  | 33197 | 9.91     | 27915 | 9.72     | 26176 | 9.38     |
|      | 1    | 35631 | 10.13    | 30700 | 9.37     | 28677 | 9.00     |
|      | 5    | 34704 | 9.17     | 33011 | 9.25     | 32478 | 8.66     |
|      | 10   | 41939 | 7.53     | 33876 | 7.22     | 32226 | 7.07     |
|      | 25   | 42087 | 6.44     | 37793 | 6.13     | 37044 | 6.03     |
| 5℃   | 0.05 | 18567 | 17.90    | 15126 | 17.26    | 15911 | 16.45    |
|      | 0.1  | 22444 | 16.48    | 17892 | 15.32    | 18194 | 14.94    |
|      | 1    | 24094 | 14.33    | 21575 | 13.14    | 23363 | 13.54    |
|      | 5    | 30522 | 12.69    | 23755 | 11.90    | 27284 | 11.16    |
|      | 10   | 32562 | 9.79     | 26921 | 8.88     | 26694 | 8.19     |
|      | 25   | 30428 | 3.86     | 30490 | 4.42     | 30257 | 5.21     |
| 20℃  | 0.05 | 7042  | 31.88    | 4395  | 31.40    | 3100  | 32.08    |
|      | 0.1  | 10378 | 27.90    | 7598  | 26.35    | 5780  | 27.17    |
|      | 1    | 11842 | 24.82    | 9855  | 23.53    | 6669  | 24.03    |
|      | 5    | 13727 | 22.26    | 12685 | 20.43    | 12174 | 20.70    |
|      | 10   | 16461 | 20.75    | 17907 | 19.48    | 13110 | 19.18    |
|      | 25   | 16877 | 20.13    | 18711 | 18.76    | 16435 | 18.86    |
| 40℃  | 0.05 | 1320  | 26.08    | 2715  | 24.44    | 1418  | 26.87    |
|      | 0.1  | 1957  | 26.34    | 3898  | 26.13    | 2611  | 27.62    |
|      | 1    | 2934  | 29.22    | 4674  | 29.21    | 3249  | 30.34    |
|      | 5    | 6460  | 30.17    | 5377  | 27.86    | 6311  | 29.71    |
|      | 10   | 7218  | 31.03    | 5385  | 28.73    | 5743  | 31.35    |
|      | 25   | 8466  | 26.38    | 6545  | 25.89    | 7426  | 28.28    |
| 55℃  | 0.05 | 1177  | 23.29    | 2458  | 23.40    | 1446  | 23.45    |
|      | 0.1  | 1192  | 24.24    | 2985  | 21.94    | 1371  | 24.10    |
|      | 1    | 1436  | 26.37    | 2774  | 26.05    | 1368  | 25.66    |
|      | 5    | 2243  | 30.41    | 3595  | 33.00    | 2149  | 31.99    |
|      | 10   | 2323  | 36.77    | 5586  | 35.38    | 2534  | 35.36    |
|      | 25   | 2589  | 36.09    | 6105  | 34.26    | 3712  | 36.21    |

〈표 5.9〉 화강암 SMA 13mm+AP-3(PG58-22)

| 공극율  |      | 2%    |          | 4%    |          | 6%    |          |
|------|------|-------|----------|-------|----------|-------|----------|
| 시험온도 | 주파수  | E*    | $\delta$ | E*    | $\delta$ | E*    | $\delta$ |
| -10℃ | 0.1  | 16758 | 15.44    | 15200 | 14.67    | 11603 | 15.81    |
|      | 0.5  | 18324 | 12.12    | 16897 | 13.70    | 17468 | 14.82    |
|      | 1    | 21708 | 10.28    | 18996 | 12.09    | 19070 | 10.98    |
|      | 5    | 23953 | 5.25     | 20820 | 6.77     | 21127 | 7.99     |
|      | 10   | 25691 | 4.78     | 24781 | 6.13     | 20282 | 6.89     |
|      | 25   | 26892 | 8.78     | 27092 | 6.52     | 23857 | 5.00     |
| 5℃   | 0.05 | 8868  | 13.16    | 9240  | 19.13    | 8810  | 16.10    |
|      | 0.1  | 11753 | 15.35    | 12076 | 13.26    | 11214 | 13.89    |
|      | 1    | 12995 | 14.44    | 16968 | 11.12    | 12009 | 9.63     |
|      | 5    | 15016 | 7.81     | 19784 | 8.23     | 15377 | 9.62     |
|      | 10   | 16988 | 6.02     | 19030 | 6.15     | 17141 | 6.56     |
|      | 25   | 17229 | 7.51     | 21254 | 7.21     | 20228 | 5.57     |
| 20℃  | 0.05 | 4317  | 32.27    | 3454  | 35.29    | 3336  | 31.56    |
|      | 0.1  | 6782  | 24.74    | 6351  | 25.29    | 5521  | 24.15    |
|      | 1    | 5495  | 23.04    | 5353  | 27.52    | 6504  | 25.25    |
|      | 5    | 7701  | 14.80    | 9136  | 21.67    | 9917  | 18.92    |
|      | 10   | 8448  | 16.35    | 8427  | 21.55    | 7571  | 20.04    |
|      | 25   | 9785  | 12.14    | 11956 | 11.62    | 8465  | 13.19    |
| 40℃  | 0.05 | 980   | 28.73    | 557   | 43.33    | 575   | 43.35    |
|      | 0.1  | 1723  | 28.39    | 906   | 43.15    | 988   | 39.35    |
|      | 1    | 1953  | 29.68    | 1135  | 40.22    | 1217  | 37.83    |
|      | 5    | 3104  | 33.69    | 2037  | 35.10    | 2199  | 33.10    |
|      | 10   | 4297  | 34.98    | 2685  | 31.16    | 3377  | 34.97    |
|      | 25   | 5714  | 36.44    | 2433  | 36.02    | 3434  | 36.58    |
| 55℃  | 0.05 | 593   | 40.71    | 391   | 41.05    | 464   | 38.31    |
|      | 0.1  | 852   | 40.75    | 550   | 42.15    | 524   | 38.00    |
|      | 1    | 883   | 36.26    | 523   | 33.34    | 663   | 37.09    |
|      | 5    | 1270  | 37.09    | 854   | 36.24    | 1382  | 46.61    |
|      | 10   | 2233  | 33.76    | 1177  | 43.98    | 1289  | 41.94    |
|      | 25   | 3490  | 38.95    | 1600  | 40.53    | 2076  | 42.46    |

〈표 5.10〉 화강암 SMA 13mm+AP-5(PG64-22)

| 공극율  |      | 2%    |          | 4%    |          | 6%    |          |
|------|------|-------|----------|-------|----------|-------|----------|
| 시험온도 | 주파수  | E*    | $\delta$ | E*    | $\delta$ | E*    | $\delta$ |
| -10℃ | 0.1  | 21994 | 15.44    | 19590 | 14.67    | 18947 | 15.81    |
|      | 0.5  | 25773 | 12.12    | 23725 | 13.70    | 21945 | 14.82    |
|      | 1    | 27292 | 10.28    | 25680 | 12.09    | 24013 | 10.98    |
|      | 5    | 28735 | 5.25     | 27508 | 6.77     | 26415 | 7.99     |
|      | 10   | 32896 | 4.78     | 31618 | 6.13     | 30424 | 6.89     |
|      | 25   | 35380 | 8.78     | 29585 | 6.52     | 31832 | 5.00     |
| 5℃   | 0.05 | 15453 | 13.16    | 12849 | 19.13    | 11783 | 16.10    |
|      | 0.1  | 16748 | 15.35    | 16391 | 13.26    | 16591 | 13.89    |
|      | 1    | 19319 | 14.44    | 18300 | 11.12    | 18736 | 9.63     |
|      | 5    | 23220 | 7.81     | 22369 | 8.23     | 23912 | 9.62     |
|      | 10   | 24385 | 6.02     | 23589 | 6.15     | 23405 | 6.56     |
|      | 25   | 28604 | 7.51     | 23807 | 7.21     | 22466 | 5.57     |
| 20℃  | 0.05 | 5088  | 32.27    | 6185  | 35.29    | 3410  | 31.56    |
|      | 0.1  | 7256  | 24.74    | 9942  | 25.29    | 5300  | 24.15    |
|      | 1    | 8741  | 23.04    | 11488 | 27.52    | 6346  | 25.25    |
|      | 5    | 13652 | 14.80    | 10054 | 21.67    | 9864  | 18.92    |
|      | 10   | 15216 | 16.35    | 9221  | 21.55    | 11439 | 20.04    |
|      | 25   | 16095 | 12.14    | 11753 | 11.62    | 14284 | 13.19    |
| 40℃  | 0.05 | 2005  | 28.73    | 1343  | 43.33    | 1475  | 43.35    |
|      | 0.1  | 3337  | 28.39    | 2255  | 43.15    | 2416  | 39.35    |
|      | 1    | 4795  | 29.68    | 2780  | 40.22    | 2973  | 37.83    |
|      | 5    | 4841  | 33.69    | 5256  | 35.10    | 5072  | 33.10    |
|      | 10   | 5018  | 34.98    | 5997  | 31.16    | 6267  | 34.97    |
|      | 25   | 6305  | 36.44    | 5142  | 36.02    | 4758  | 36.58    |
| 55℃  | 0.05 | 1196  | 40.71    | 876   | 41.05    | 1159  | 38.31    |
|      | 0.1  | 1625  | 40.75    | 1201  | 42.15    | 1338  | 38.00    |
|      | 1    | 2118  | 36.26    | 1466  | 33.34    | 1381  | 37.09    |
|      | 5    | 2715  | 37.09    | 1992  | 36.24    | 1923  | 46.61    |
|      | 10   | 2938  | 33.76    | 2687  | 43.98    | 2879  | 41.94    |
|      | 25   | 3913  | 38.95    | 4285  | 40.53    | 4529  | 42.46    |

〈표 5.11〉 화강암 개질아스팔트 13mm+슈퍼팔트(PG76-22)

| 공극율  |      | 2%    |          | 4%    |          | 6%    |          |
|------|------|-------|----------|-------|----------|-------|----------|
| 시험온도 | 주파수  | E*    | $\delta$ | E*    | $\delta$ | E*    | $\delta$ |
| -10℃ | 0.1  | 17745 | 14.60    | 17034 | 11.64    | 16670 | 13.81    |
|      | 0.5  | 22143 | 9.12     | 20991 | 11.03    | 19691 | 12.76    |
|      | 1    | 24648 | 8.92     | 22843 | 10.92    | 19684 | 12.75    |
|      | 5    | 25479 | 6.81     | 25716 | 8.27     | 23389 | 8.90     |
|      | 10   | 26730 | 5.71     | 26786 | 6.65     | 21456 | 6.41     |
|      | 25   | 27084 | 5.73     | 26892 | 5.93     | 25626 | 4.87     |
| 5℃   | 0.05 | 11364 | 14.50    | 8384  | 18.70    | 9882  | 18.14    |
|      | 0.1  | 14238 | 12.98    | 12588 | 15.85    | 14938 | 13.18    |
|      | 1    | 16447 | 11.22    | 13127 | 12.78    | 16868 | 12.05    |
|      | 5    | 20273 | 10.52    | 18112 | 9.37     | 20995 | 11.26    |
|      | 10   | 17641 | 7.00     | 20515 | 7.91     | 23674 | 6.99     |
|      | 25   | 19570 | 7.00     | 21778 | 6.91     | 22969 | 6.19     |
| 20℃  | 0.05 | 2970  | 29.72    | 5293  | 32.71    | 5247  | 32.48    |
|      | 0.1  | 4209  | 29.89    | 6854  | 29.00    | 7547  | 28.59    |
|      | 1    | 4714  | 27.91    | 10090 | 25.12    | 9301  | 25.67    |
|      | 5    | 7628  | 19.37    | 14158 | 21.52    | 13935 | 22.43    |
|      | 10   | 7190  | 15.16    | 15822 | 14.68    | 15259 | 20.18    |
|      | 25   | 9147  | 10.02    | 13774 | 9.91     | 19087 | 13.24    |
| 40℃  | 0.05 | 1422  | 29.68    | 1953  | 33.80    | 1262  | 35.06    |
|      | 0.1  | 2123  | 30.14    | 3552  | 34.55    | 2062  | 33.90    |
|      | 1    | 2487  | 29.03    | 3817  | 31.49    | 2339  | 35.11    |
|      | 5    | 3613  | 26.97    | 6368  | 29.32    | 4012  | 33.65    |
|      | 10   | 5053  | 22.10    | 8303  | 32.08    | 4245  | 29.41    |
|      | 25   | 5983  | 18.88    | 9002  | 14.77    | 6827  | 27.18    |
| 55℃  | 0.05 | 1218  | 27.64    | 1266  | 39.12    | 1036  | 37.49    |
|      | 0.1  | 1605  | 28.69    | 1954  | 41.13    | 1952  | 36.81    |
|      | 1    | 1530  | 31.13    | 2202  | 32.39    | 1864  | 35.54    |
|      | 5    | 2942  | 32.27    | 3248  | 34.95    | 3147  | 34.17    |
|      | 10   | 2886  | 37.98    | 3721  | 34.95    | 3730  | 33.99    |
|      | 25   | 3202  | 42.49    | 4978  | 39.39    | 5709  | 33.41    |

〈식 5.11〉의 동탄성계수 추정식에 각각의 혼합물별 아스팔트 바인더 점도자료와 아스팔트 혼합물 배합설계자료를 이용하여 회귀분석을 통해 Parameter  $a_1$ 부터  $a_{12}$ 까지 결정하여 〈표 5.12〉에 나타내었다.

〈표 5.12〉 동탄성계수 추정식 파라미터

| 추정식 파라미터 |          |
|----------|----------|
| $a_1$    | 6.940166 |
| $a_2$    | -0.00176 |
| $a_3$    | 0.003889 |
| $a_4$    | -0.08776 |
| $a_5$    | -1.33426 |
| $a_6$    | -3.63992 |
| $a_7$    | -0.03114 |
| $a_8$    | 0.015546 |
| $a_9$    | 0.010469 |
| $a_{10}$ | -0.09942 |
| $a_{11}$ | 0.162727 |
| $a_{12}$ | 0.180695 |

#### (5) 마스터 곡선 파라미터

일반적으로, 저온 및 상온에서의 아스팔트 혼합물의 하중응답특성은 지수함수 형태를 이용하고, 고온에서의 특성 평가 시에는 다중함수(Polynomial Fitting Function)를 이용한다. Pellinen(2001)에 의해 제안된 새로운 방법은 Sigmoidal 함수를 이용하여 마스터곡선을 결정하는 것으로, 이 함수는 측정된

동탄성계수를 비선형최소자승법을 이용하여 처리한다. 기본방정식은 <식 5.12> 및 <식 5.13>과 같고, 통계프로그램을 이용하여 방정식에 사용된 파라미터를 결정하였다.

$$\log|E^*| = \delta + \frac{a}{1 + \exp^{\beta - \gamma \log(t_r)}} \quad \langle \text{식 5.12} \rangle$$

$$\log(t_r) = \log(t) - c[\log(\eta) - \log(\eta_{Tr})] \quad \langle \text{식 5.13} \rangle$$

여기서,  $\log(|E^*|)$  = 로그 함수값의 동탄성계수

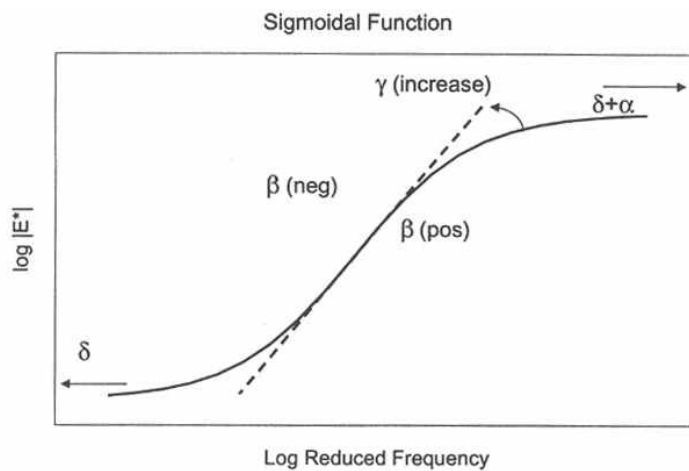
$\delta$  = 최소계수 (Minimum Modulus)

$\alpha$  = 가능한 값의 범위 (Range of Possible Value)

$\beta$  &  $\gamma$  = 형상계수 (Shape Parameter)

$\eta, \eta_{Tr}$  = 아스팔트 바인더의 점도

<그림 5.4>에 나타난 것과 같이,  $\gamma$  는 함수 값의 기울기를 의미하고,  $\beta$ 는 수평방향의 분기점(Turning Point)을 의미한다.



<그림 5.4> 형상계수(Shape parameter)의 정의

동탄성계수 시험결과에서 결정된 동탄성계수를 실수부(탄성영역, E1)와 허수부(점성영역, E2)로 구분할 수 있고, 이를 그래프로 표시한 것을 Cole & Cole Plane 또는 복합평면 (Complex Plane)이라 한다. 로그 스케일안에 있는 동탄성계수의 절대값과 위상각(Phase Angle)의 상관관계를 나타내는 그래프를 Black Space라 정의한다. Black Space에서 하중주파수와 온도는 동탄성계수와 위상각의 상관관계에 영향을 미치지 않고, 위상각이 0 인 경우는 재료의 탄성적인 특성을 보여준다. 역학적-경험적 설계인 도로포장 구조 설계에서는 다층 탄성이론을 이용하여 도로포장체의 응력과 변형을 해석하고, 이런 해석을 할 때 도로 포장체의 주요한 물성치가 동탄성계수이다. 이 방법에 서는 아스팔트 바인더의 점성(Viscosity)을 이용하여 변환함수(Shift Factor)를 결정하고, 이를 이용하여 아스팔트 혼합물의 동탄성계수를 결정한다(김현오, 2005).

## (6) 새로운 아스팔트 재료에 대한 물성 정량화

새로운 재료에 대해 직접 재료 실험을 할 경우는 동탄성계수 마스터 곡선의 매개변수를 이용한다. 동탄성계수 마스터 곡선의 매개변수  $\delta$ ,  $\alpha$ ,  $\beta$ ,  $\gamma$ ,  $c$  를 구하기 위해 아스팔트 혼합물 표층 19mm와 기층 25mm의 시험 결과에 대한 회귀분석을 통해 <표 5.13>과 같이 아스팔트 혼합물에 대해 결정한 마스터 곡선 입력변수를 제안하였다.

〈표 5.13〉 동탄성계수 마스터곡선 파라미터

| 총종류      | 골재 분포       | 아스팔트 종류  | 공극률      | $\delta$ | $\sigma$ | $\beta$ | $\gamma$ | $c$    |        |
|----------|-------------|----------|----------|----------|----------|---------|----------|--------|--------|
| 표층       | SMA<br>13mm | PG 58-22 | 2%       | 2.3116   | 2.2389   | -0.4729 | 0.6784   | 1.1266 |        |
|          |             |          | 4%       | 2.2657   | 2.3338   | -0.4860 | 0.6237   | 1.2592 |        |
|          |             |          | 6%       | 2.3701   | 2.1623   | -0.3743 | 0.7314   | 1.0516 |        |
|          |             | PG 64-22 | 2%       | 0.2482   | 4.4556   | -1.3504 | 0.2854   | 1.0735 |        |
|          |             |          | 4%       | 2.2052   | 2.2314   | -0.7859 | 0.5515   | 1.2294 |        |
|          |             |          | 6%       | 2.0799   | 2.3362   | -0.8 62 | 0.5433   | 1.0612 |        |
|          | 밀입도<br>13mm | PG 58-22 | 2%       | 2.2031   | 2.4089   | -0. 713 | 0.5107   | 1.1630 |        |
|          |             |          | 4%       | 2.1653   | 2.4625   | -0.8 73 | 0.4410   | 1.2603 |        |
|          |             |          | 6%       | 1.5826   | 3.0616   | -1. 297 | 0.3633   | 1.3271 |        |
|          |             | PG 64-22 | 2%       | 2.1962   | 2.4639   | -0.8287 | 0.4915   | 1.1021 |        |
|          |             |          | 4%       | 2.2990   | 2.2755   | -1. 054 | 0.5677   | 1.1230 |        |
|          |             |          | 6%       | 2.2363   | 2.3375   | -0.9 49 | 0.5412   | 1.0264 |        |
|          | 밀입도<br>19mm | PG 58-22 | 2%       | 2.3443   | 2.3328   | -0.7970 | 0.3751   | 1.0136 |        |
|          |             |          | 4%       | 0.7413   | 3.9052   | -1.4968 | 0.2981   | 1.0879 |        |
|          |             |          | 6%       | 2.7086   | 1.8659   | -0.4539 | 0.5948   | 0.7979 |        |
|          |             | PG 64-22 | 2%       | 3.1126   | 1.4205   | -0.1498 | 0.7527   | 0.7625 |        |
|          |             |          | 4%       | 3.0621   | 1.4655   | -0.2013 | 0.8517   | 0.9328 |        |
|          |             |          | 6%       | 2.7102   | 1.8787   | -0.4579 | 0.5931   | 0.8307 |        |
|          | 13mm        | PG 76-22 | 2%       | 2.8391   | 1.8076   | -0.0698 | 0.4886   | 1.0038 |        |
|          |             |          | 4%       | 2.3319   | 2.2273   | -0.9391 | 0.4976   | 0.7890 |        |
|          |             |          | 6%       | 2.8581   | 1.5720   | -0.7 16 | 0.8231   | 0.8047 |        |
|          | 기층          | 25mm     | PG 58-22 | 2%       | 2.8452   | 1.8145  | -0.3575  | 0.5609 | 0.9716 |
|          |             |          |          | 4%       | 2.7783   | 2.0697  | -0.3650  | 0.3508 | 1.5613 |
|          |             |          |          | 6%       | 2.7315   | 2.0324  | -0. 364  | 0.4466 | 1.1145 |
| PG 64-22 |             |          | 2%       | 2.6318   | 1.9740   | -0.9152 | 0.5817   | 1.1075 |        |
|          |             |          | 4%       | 3.3064   | 1.3077   | 0.0214  | 0.7355   | 0.8334 |        |
|          |             |          | 6%       | 2.9304   | 1.6526   | -0.3496 | 0.7781   | 0.8189 |        |

## 5.2 아스팔트 재료 물성 시험법

앞에서 살펴본 아스팔트 물성을 정량화하기 위해 경험적인 방법에서부터 역학적인 방법에 이르기까지 다양한 실험법이 적용되었다. 다음은 이러한 실험법에 대해 알아보도록 하자.

## 5.2.1 직접법

### (1) 만능 시험기를 통한 시험법

간접인장 시험 장비는 측정 시편과 하중 및 측정 장비를 바꿔가며 다양한 물성을 시험을 할 수 있는 장비이다. 다음은 이 장비를 이용하여 측정할 수 있는 다양한 시험을 정리하였다.

#### 가. 간접 인장 강도 시험

간접 인장 강도 시험은 실린더형 공시체에 단일 또는 반복 압축 응력을 수직인 직경면을 따라 가하여 수행한다. 이러한 하중 형태는 직경면의 방향에 수직의 등분포 하중을 형성한다. 궁극적으로 공시체는 지금에 수직인 방향으로 균열이 발생하여 파괴된다. 101.6mm 직경을 가진 공시체에 균일한 등분포 하중을 가하기 위해서 12.7mm 폭의 곡률이 있는 하중 재하 막대를 사용한다. 파괴시의 인장 응력과 인장 변형율을 정의하기 위해 방정식이 개발되고 이후 간략화 되었다. 이 방정식은 HMA 를 균질하고, 등방성이며 그리고 탄성체로 가정하였다. 물론 이 가정들이 전부 옳은 것은 아니지만, 위와 같은 가정하에서 HMA 혼합물의 특성 평가하는 것이 표준화 되었으며 상대적으로 더 쉽기 때문이다. 아래의 식은 간접 인장 응력 및 변형율을 정의하기 위한 방정식을 나타낸 것이다.

$$\sigma_x = \frac{2P}{\pi dt} \quad \langle \text{식 5.14.a} \rangle$$

$$\sigma_y = \frac{6P}{\pi dt} \quad \langle \text{식 5.14.b} \rangle$$

$$\epsilon_f = 0.52x_t \quad \langle \text{식 5.14.c} \rangle$$

여기서,  $\sigma_x$  : 공시체 중앙에서의 수평 인장응력(psi)

$\sigma_y$  : 공시체 중앙에서의 수직 압축응력(psi)

$\epsilon_f$  : 파괴시 인장 변형률

P : 작용 하중(lb)

D : 공시체 직경

T : 공시체 두께

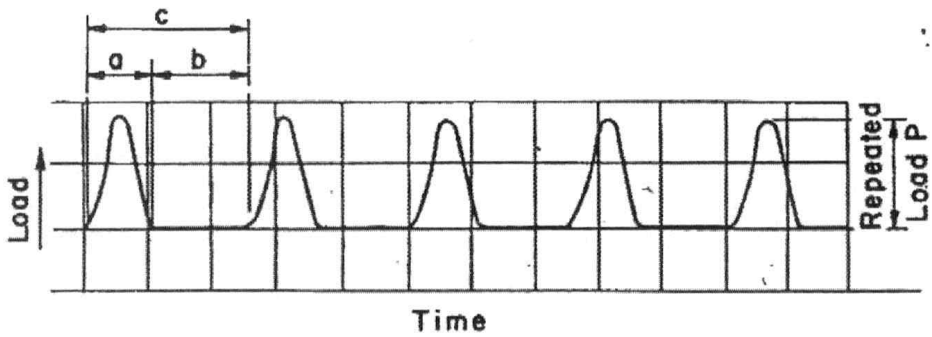
$x_t$  : 공시체의 수평 처짐 (in)

위의 식에서 직경 101.6mm 직경의 공시체는 12.7mm 폭의 하중 재하 막대를, 직경 152.4mm 폭의 공시체는 19mm 폭의 하중 재하막대를 사용한다. 간접 인장 실험을 통해 HMA 의 특성을 정의하기에 유용한 두 가지 혼합물의 특성을 알아낼 수 있다. 첫째로 인장강도이다. 이 인장강도는 종종 혼합물의 수분 민감성을 평가하는데 사용된다. 이를 위해, 노래의 인장 강도에 대한 잔류 인장강도의 백분율을 결정하기 위하여 시료의 습윤 처리 전, 후의 인장강도를 각각 측정한다. 높은 인장강도는 공용성이 좋은 것을 나타내는 것이며 낮은 값은 공용성이 나쁨을 의미하는 것이다. 또한 인장 강도는 때때로 아스팔트 혼합물의 균열 발생 가능성을 평가하는데도 도움이 된다. 그러나, 파괴에 이르렀을 때의 인장 변형율을 구할 수 있는 간접 인장 시험은 균열 발생 가능성을 예방하는데 더욱 효과적이다. 균열이 일어나기 전에 높은 변형율을 감당할 수 있는 혼합물은 그렇지 못한 혼합물보다 균열에 저항할 수 있는 가능성이 더 큰 것이다. 간접 인장 강도 실험은 일반적으로 분당 50.8mm 의 변형 속도, 25 °C 의 온도에서 진행된다. 만약 101.6mm와 152.4mm 시료에 대한 변형률과 유사한 변형률이 필요하다면 분당 76.2mm

의 변형 속도로 직경 152.4mm 공시체에 사용되어야 한다. 실제로 101.6mm일 때나 152.4mm일 때나 동일한 속도가 사용된다. 그러나 152.4mm일 때 측정되는 인장 강도는 변형율이 작아서 101.6mm 보다 작게 측정된다. 또한 인장 실험은 공용 온도를 예상하기 위해서 다른 온도에서(특히 낮은 온도) 수행된다. 낮은 온도에서의 실험 데이터는 온도에 의한 균열 예측 모형에 사용될 수 있다.

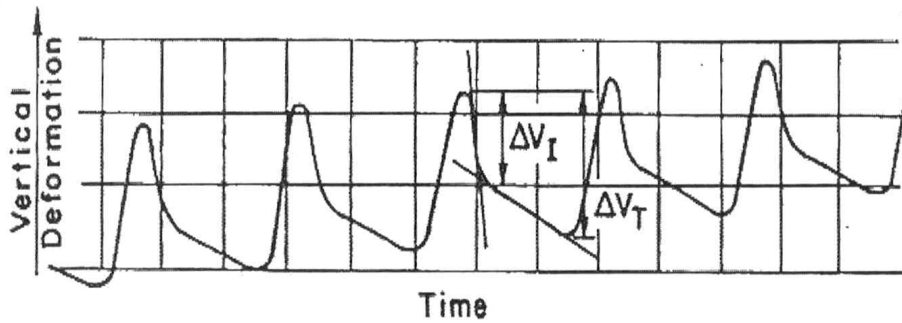
#### 나. 회복탄성계수 시험

상온 및 저온에서의 회복탄성계수를 측정하기 위하여 AASHTO TP 31-94의 규정을 기초로 한다. 수평과 수직 변형을 측정할 수 있는 변형측정 게이지(Extensometer)의 장착을 위해 공시체의 양면을 고른 다음, 게이지 포인터를 부착한다. 시험 전 게이지 포인터가 장착된 공시체를 온도가 조절되는 챔버 안에서 3 시간 동안 시험 온도로 유지시킨다. 이 시험에서는 상온 및 저온에서의 아스팔트 혼합물의 특성을 측정할 수 있다. 시험에 사용된 하중 형태는 <그림 5.5(a)>와 같은 정현파 하중을 사용하며, <그림 5.5(b)>와 <그림 5.5(c)>는 재하 하중에 따른 일반적인 수직 및 수평에 대한 변형곡선을 보여주고 있다. 이때 하중 재하는 0.1 초의 재하 기간과 0.9 초의 휴지기간을 1 주기(Cycle)로 하여 재하 하였으며 간접인장강도의 10 %~50 %의 범위 내에 있도록 한다.

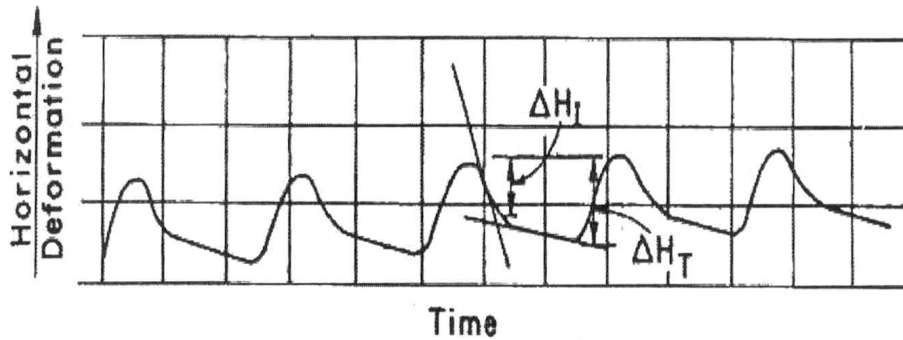


(a) 하중-시간 곡선

a = 하중 1주기당 하중지속 시간, b = 회복시간, c = 주기 전체시간



(b) 수직변형-시간 곡선



(c) 수평변형-시간 곡선

〈그림 5.5〉 회복탄성계수시험에서 하중과 변형곡선

회복탄성계수(MR)와 포아송 비( $\nu$ )는 다음 식에 따라 구한다.

$$M_{RI} = \frac{P(\nu_{RI} + 0.27)}{t\Delta H_I} \quad \langle \text{식 5.15} \rangle$$

$$M_{RT} = \frac{P(v_{RT} + 0.27)}{t \Delta H_T} \quad \langle \text{식 5.16} \rangle$$

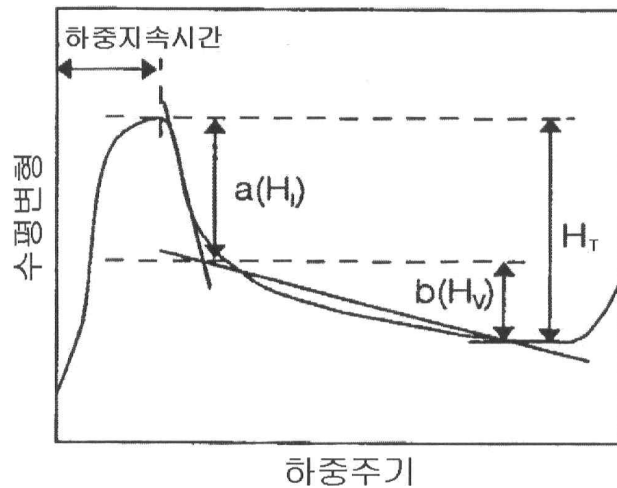
$$v_{RI} = \frac{3.59 \Delta H_I}{\Delta V_I} - 0.29 \quad \langle \text{식 5.17} \rangle$$

$$v_{RT} = \frac{3.59 \Delta H_T}{\Delta V_T \Sigma} - 0.29 \quad \langle \text{식 5.18} \rangle$$

여기서,

|                      |                              |
|----------------------|------------------------------|
| MRI : 순간회복탄성계수(kPa)  | t : 공시체 두께(mm)               |
| MRT : 전회복탄성계수(kPa)   | $\Delta H_I$ : 순간회복 수평변형(mm) |
| $v_{RI}$ : 순간회복 포아송비 | $\Delta V_I$ : 순간회복 수직변형(mm) |
| $v_{RT}$ : 전회복 포아송비  | $\Delta H_T$ : 전회복 수평변형(mm)  |
| P : 반복하중(N)          | $\Delta V_T$ : 전회복 수직변형(mm)  |

아스팔트 혼합물의 회복탄성계수 시험에서 하중이 순간적으로 가해졌다가 제거됨에 따라 변형이 일어났다가 곧바로 회복되는데, 이렇게 순간적으로 회복되는 변형을 순간 회복변형이라 하고, 다음 하중이 재하되기 전까지의 휴지 기간에 시간에 따라 서서히 변형이 회복되는 것을 점탄성 회복변형이라 하며, 이 두 가지를 합하여 전회복변형이라 한다. 순간회복탄성계수와 전회복탄성계수와의 관계를 통해서 아스팔트 혼합물의 특성을 파악할 수 있는데 <그림 5.6>에서와 같이 하중이 재하되었다가 제거됨으로써 순간적으로 회복되는 변형량이 a 구간이고, 다음 하중 재하 때까지 점차적으로 회복되는 구간이 b 이며 a 와 b 를 더한 것이 1주기당 전체 변형량(Ht) 이다.



〈그림 5.6〉 반복재하에 의한 수평변형

a구간과 b구간의 비율로서 공시체의 점탄성 성질을 파악할 수 있는데, 위의 식에서 순간회복탄성계수와 전회복탄성계수와와의 비는 다음과 같이 표현될 수 있다.

$$\frac{M_{RI}}{M_{RT}} = \frac{\Delta H_T}{\Delta H_I} = \frac{\Delta H_I + \Delta H_V}{\Delta H_I} = 1 + \frac{\Delta H_V}{\Delta H_I} \quad \langle \text{식 5.19} \rangle$$

여기서,  $\Delta H_I$  : 순간회복 수평변형(mm)

$\Delta H_V$  : 점탄성회복 수평변형( $\Delta H_T - \Delta H_I$ )(mm)

위 식에서 순간회복탄성계수와 전회복탄성계수의 비는 점탄성회복변형량( $\Delta H_V$ )과 순간회복변형량( $\Delta H_I$ )과의 비로 표현되는 것을 알 수 있으며, 이 수치가 작을수록( $\Delta H_I > \Delta H_V$ ) 완전 탄성체에 가깝고, 클수록( $\Delta H_I < \Delta H_V$ ) 점탄성체에 가깝다. 포아송비 경우 25℃ 아스팔트 혼합물의 경우 일반적으로 적용되는 값인 0.35를 적용할 경우에는 수직변형의 측정은 생략해도 된다. ASTM

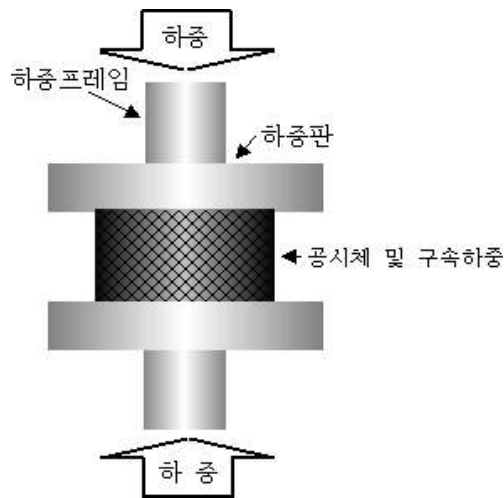
D 4123에서는 포아송 비의 값을 25℃ 에서 의 0.35의 값 하나만 적용하고 있으나, 1993년 한국도로공사 연구보고서 “아스팔트 혼합물 개량 연구”에서는 회복탄성계수 시험시 5℃에서 0.2, 25 ℃에서 0.35, 40℃ 및 60℃ 에서 0.5를 사용할 수 있는 것으로 나타났다.

〈표 5.14〉 회복탄성계수 시험결과 (밀입도 19mm, PG 64-22)

| 온도 | -10도 |      | 5도   |      | 20도  |      | 40도  |      |
|----|------|------|------|------|------|------|------|------|
|    | 평균   | 표준편차 | 평균   | 표준편차 | 평균   | 표준편차 | 평균   | 표준편차 |
| 2  | 6530 | 566  | 5706 | 260  | 4012 | 320  | 1407 | 112  |
| 4  | 6505 | 1213 | 6354 | 1377 | 4637 | 498  | -    | -    |
| 6  | 5520 | 138  | 5523 | 472  | 4544 | 347  | -    | -    |

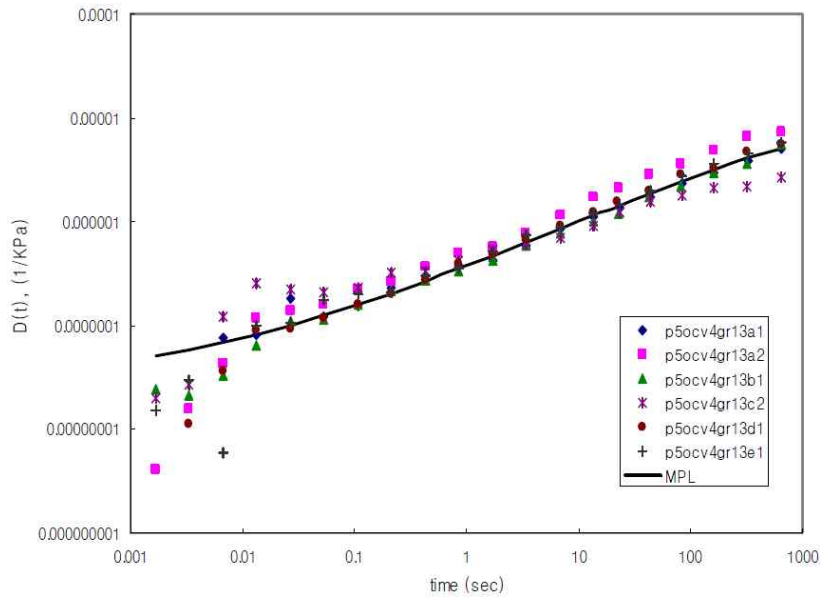
#### 다. 크리프 시험

크리프 시험은 일반적으로 비구속 1축 정적압축과 구속 1축 정적압축의 방법으로 수행할 수 있으며, 이 시험들은 실제 현장 교통하중과 밀접한 관계가 있다. 가장 흔히 사용되는 크리프 시험은 비구속 1축 정적압축 크리프시험이다. 이 시험은 정해진 시간과 온도에서 시료에 일정한 하중을 가하면서 시료가 변형함에 따른 변형량을 측정하게 된다. 구속 1축 정적압축 크리프시험은 〈그림 5.7〉과 같이 비교적 기계장치가 간단하여 수행하기 쉬운 시험이며, 구속압력 약 138 kPa (20 psi)를 작용시킴으로써 시료는 828 kPa (120 psi)의 수직압력과 60 ℃ 까지의 온도에서 시험 할 수 있다. 이러한 시험조건은 비구속 1축 정적압축 크리프 시험조건보다도 실제 현장조건을 더 유사하게 모사할 수 있다.



〈그림 5.7〉 구속반복하중 크리프 시험

시험 방법은 원형 하중판 사이에 공시체의 중심축과 하중프레임의 중심축이 일치하도록 고정시켜 놓고 시험하기 전 공시체를 3 시간 동안 시험온도에 맞게 챔버 안에서 가열하여 공시체의 온도와 평형상태를 유지한다. 이후 구속하중을 가하고, 연직하중을 가하는 형태로 시험을 시행한다. 138kPa 구속하중을 이용하고, 연직방향하중의 크기를 실제 대형트레일러의 하중조건을 모사한 828kPa 까지를 고려한다. 다만, 고온에서의 실험이 수행되므로 시편의 상태에 따라 최대연직하중을 조정하여야 한다. 반복하중은 0.2초의 재하 및 0.8초의 비재하형태를 이용한다. 〈그림 5.21〉은 국내 1 mm 화강암에 대한 시험 결과를 도시한 것이다.



〈그림 5.8〉 최대입경 13mm 골재(화강암) + PG 64-22 바인더 혼합물의 크리프 시험결과

## 라. 동탄성계수 시험

동탄성계수시험은 5개의 다른 온도 및 6개의 하중주파수를 이용하여 〈표 5.15〉와 같은 구속압력, 하중조건 및 변형량을 적용한다. 시험에서 이용된 응력상태에서 선형응력상태는 시료에 하중이 재하되었을 경우 선형거동특성을 주로 평가하게 되어 높은 온도에서의 아스팔트 혼합물의 거동특성 중 골재의 맞물림 저항을 반영하는 영구변형 특성평가에 다소 취약하다. 하지만 비선형 하중을 이용한 시험의 경우 골재의 맞물림 저항 특성을 충분히 평가할 수 있어, 영구변형과 관련된 아스팔트 혼합물의 특성을 잘 평가할 수 있다.

### ■ 동탄성계수 시험조건

동탄성계수 시험은 각각의 준비된 시험시편에 4-5 개의 온도조건, 6 개의 하중주파수를 이용하여 시험을 수행한다. 시험에 이용된 구속압력은 최고 275 kPa

(40 psi)를 적용한다. 시험은 유압을 이용한 만능시험기를 이용하고, 하중은 휴지가 없는 사인파 형태의 압축응력을 적용한다. 하중재하시 발생하는 변위는 원통형 시편의 중간에 설치한 2개의 변위측정장치(LVDT, Linear Variable Differential Transducers)를 이용한다. 시험에 이용된 시편의 크기는 직경 100 mm, 높이 150 mm 원통형 공시체를 이용한다. 채취된 시료 외에 실내에서 제작된 시료는 선회다짐기(Gyratory Compactor)를 이용하여 시험시편을 제작하여 이용한다. LVDT의 설치는 비구속하중 및 구속하중조건 모두 똑같이 적용한다. 모든 시험은 시험온도를 -16 °C 부터 60 °C 까지 정확히 조절할 수 있는 온도 챔버(Environmental Chamber)를 이용한다. 비구속 하중조건인 경우 2단계로 나누어 시험한다. 1단계에서는 주어진 시험온도(저온)에서 약 150 $\mu$  변형률을 발생시키는 하중의 크기를 변화시켜 시험을 진행한다. 1단계 시험은 아스팔트 혼합물의 거동특성이 선형거동을 보이는 구간에서의 시험이다. 2단계에서는 같은 시험시편을 이용하여 재료의 비선형거동과 큰 변형량, 약 500-1000  $\mu\epsilon$  을 발생시키는 하중조건을 이용하여 고온, 37.8 °C 및 54.4 °C 에서 시험을 수행한다. 구속하중상태의 시험장비는 최대구속하중, 690 kPa(100psi)를 적용할 수 있는 삼축셀을 장착하고 비구속상태와는 달리 시료에 고무멤브레인을 씌우고 시험을 수행하기 때문에 LVDT의 설치를 위한 구멍을 고무멤브레인에 미리 뚫어 놓아야 한다. 시험방법은 비구속상태와 같은 방법으로 진행하고, 온도의 변화를 줄 경우 시험시편을 온도챔버에 넣은 상태로 온도를 변화시켜 열변화에 의한 시료의 상태를 최적의 상태로 구현한다. <표 5.15>, <표 5.16>은 시험에 이용된 하중주파수 및 시험결과측정범위를 보여주고 있다.

<표 5.15> SPT 시험항목 및 시험조건

| 시험 항목  | Mode | 시험온도(°C)                   | 주파수 (Hz)                  | 구속압력 (kPa) | 응력 상태 | 변형량 ( $\mu\epsilon$ ) |
|--------|------|----------------------------|---------------------------|------------|-------|-----------------------|
| 동탄성 계수 | 1    | -10, 4.4, 21.1, 37.8, 54.4 | 25, 10, 1, 0.5, 0.3, 0.11 | 0          | 선형    | < 150                 |
|        | 2    | 4.4, 21.1, 37.8, 54.4      |                           | 69         | 선형    | < 150                 |
|        | 3    | -10, 4.4, 21.1, 37.8, 54.4 |                           | 138        | 비선형   | > 200                 |
|        | 4    | -10, 4.4, 21.1, 37.8, 54.4 |                           | 206        | 비선형   | > 500                 |
|        | 5    | 4.4, 21.1, 37.8, 54.4      |                           | 275        | 비선형   | > 500                 |

〈표 5.16〉 하중주파수 및 결과측정범위

| 시험시료             | 하중조건     | 하중주파수 | 반복횟수 | 측정범위   |
|------------------|----------|-------|------|--------|
| 채취시료 및<br>실내제작시편 | Sin 파 하중 | 25    | 200  | 95-200 |
|                  |          | 10    | 200  | 95-200 |
|                  |          | 5     | 100  | 95-100 |
|                  |          | 1     | 50   | 44-50  |
|                  |          | 0.5   | 20   | 15-20  |
|                  |          | 0.1   | 15   | 10-15  |

## (2) 초음파시험기를 이용한 동탄성계수 시험법

초음파 시험기를 이용한 시험은 ASTM C 597, "Test Method for Pulse Velocity Through Concrete" 의 규정을 적용한다. 시험시편은 직경 150 mm, 높이 150 mm의 시편을 이용한다. 103\*200\*100 mm 의 스티로폼블럭을 저판으로 이용한다. 시험시편은 시험전 온도챔버에 약 3-4시간 온도를 맞추기 위해 적치한 후, 시편을 꺼내어 약 1분 이내에 초음파시험을 한다. 시간에 따른 시편의 온도변화가 측정치에 상당한 영향을 주므로, 가능한 빠른 시간안에 시험을 마쳐야 한다. 하나의 위치에서 3개의 각기 다른 신호주기를 결정하고, 평균값을 시험값으로 적용하였다.  $\mu\epsilon$  으로 표시되는 이동시간(Transit Time)이 측정된다. 시편의 밀도는 표면건조포화중량을 이용하여 결정되고, 펄스속도(Pulse Velocity)는 파형의 길이와 이동시간간의 상관관계로부터 계산된다. 시험시편의 실질적인 포아송 비의 측정이 어려우므로, 이는 적절히 가정하여 이용한다.

## 5.2.2 간접법

### (1) 마찰 안정도

마찰 안정도 시험법(ASTM D 1559) 은 실내 실험을 통해 다진 아스팔트 혼합물의 강도를 측정하기 위해 1940 년대에 개발되었다.

이 마샬 안정도의 시험법은 실린더 형의 시편(직경:101.6 mm, 높이:63.5 mm)에 압축 하중을 가한다. 시편의 시험 온도는 60 °C 이며 하중은 분당 약 50.8 mm의 속도로 가한다. 시험 온도는 여름철에 HMA 포장에 받을 수 있는 최고 온도가 60 °C 이며 이때 포장이 약화된 상태를 모사할 수 있다. 마샬 안정도는 시편이 최대에 받을 수 있는 하중크기로 정의된다. 흐름값은 그때 하중이 재하된 시편의 수직방향 처짐을 나타내며 단위 흐름값은 0.25 mm 이다. 가끔 아스팔트 혼합물의 특성을 마샬 강성 지수로 나타내는데 이것은 마샬 안정도를 흐름값으로 나눈 값이다. 이 값은 유럽에서 엔지니어들이 주로 사용하고 있으며 아스팔트 혼합물의 질을 평가하는데 적용하고 있다. 마샬 강성 지수가 더 높을수록 혼합물은 더 단단해지고 영구변형에 저항 능력이 커진다.

〈표 5.17〉 마샬 시험에 대한 기준치

| 년도             | 1973년                | 1991년       | 1999년 |
|----------------|----------------------|-------------|-------|
| 혼합물의 종류        | 밀입도 아스팔트콘크리트(20,13)* |             |       |
| 용도             | 표층(중간층)              |             |       |
| 다짐횟수           | 50                   | 50(75)      |       |
| 안정도 (kgf)      | 500 이상               | 500(750) 이상 |       |
| 흐름값 (1/100 cm) | 20-40                |             |       |
| 공극률 (%)        | 3-6                  |             |       |
| 포화도 (%)        | 70-85                | 70-85       |       |

## (2) FWD를 이용한 역해석

FWD는 비파괴 실험장비의 일종으로 하중에 의하여 발생하는 포장 표면의 처짐으로 포장체의 물성을 추정하기 위해 개발되었다. 최초의 개념은 1938 년 미국 캘리포니아 도로국에서 처짐 측정장비를 설치하여 트럭하중 재하시 처짐을 측정한 것이 시초였다. 현재의 FWD는 추를 사용하여 포장면에 충격하중을

재하하고 그에 따른 포장면의 처짐을 측정하여 도출된 처짐 곡선으로부터 역해석을 통하여 포장층의 탄성계수 및 노상의 지지력을 구하는 장비이다. 이런 역산결과를 통하여 아스팔트 포장체의 탄성계수를 추정하고 구조적 상태를 평가한다. FWD 장비의 표면처짐 개요도는 <그림 5.9>와 같다.

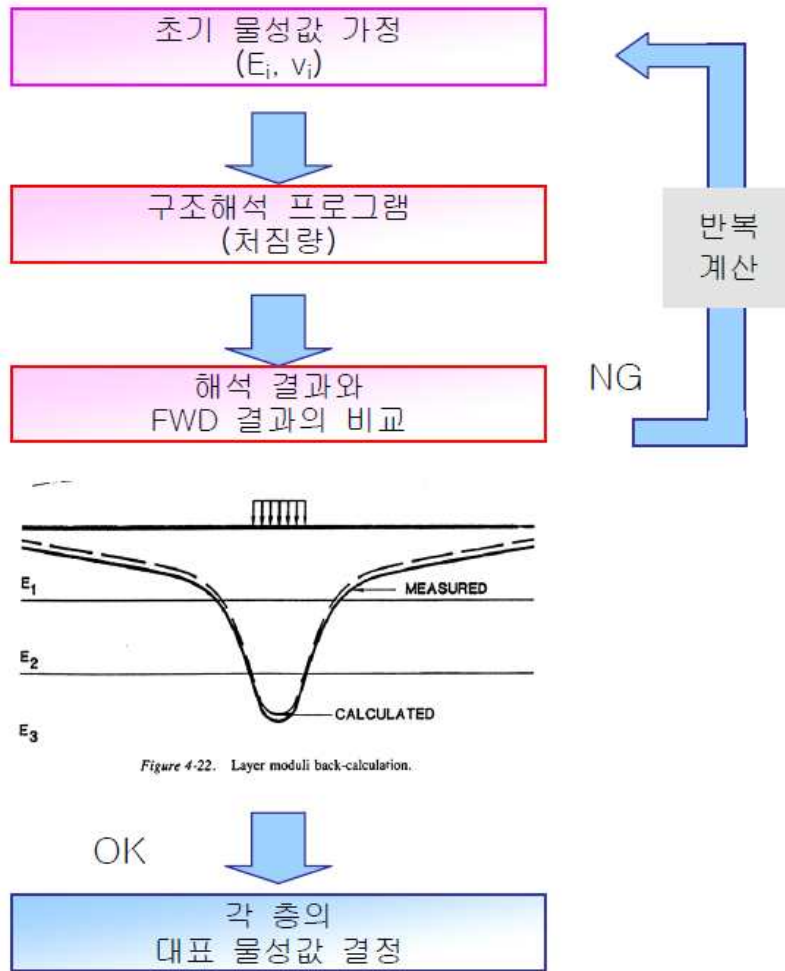
FWD 측정방법은 사전에 측정하고자 하는 위치를 도상 또는 현장에서 결정하여 아래의 순서로 측정을 실시한다.

- 1) 재하판을 측정하려는 포장면상에 위치시키고 FWD 조정원은 포장면에 페인트로 위치를 표시하며 재하판에 부착된 카메라를 이용하여 정확한 위치를 확인한다.
- 2) 정확한 위치가 확인되면 FWD 작동 프로그램을 열고 시험자의 이름, 시험장소 날짜, 포장의 종류, 시험방법 및 간단한 메모를 기록한다. 이때 FWD 에 정착된 대기온도 및 표면온도 측정장치를 검사한다. 보다 정확한 결과 분석을 위해서 휴대용 온도측정기로 별도 측정하면 좋다.
- 3) 실제 측정 전에 예비하중을 재하판에 가하였으며, 예비하중을 가하는 목적은 버퍼(재하판에 하중을 가하는 고무)가 원활하게 작동하도록 준비운동을 시키는 과정이다.
- 4) 준비가 완료된 상태에서 시험 목적에 맞는 하중을 선택하여 하중을 가하였다.
- 5) 시험이 완료되면 파일이름을 정하여 저장하고 시험 결과가 들어 있는 디스켓을 포장구조 해석자에게 전달하여 해석한다.

역해석 과정은 다음의 내용 및 <그림 5.9>와 같다.

- 1) 아스팔트 포장체를 해석할 구조해석 프로그램을 선택하다. 종류로는 Layered Elastic Theory, BISAR, ELSYM5 등이 있다.
- 2) 각 층의 초기 값( $E$ ,  $m$ )을 입력하고 각 층별 탄성계수 조건들을 설정한다.
- 3) 반복적인 구조해석을 수행하여 센서의 위치별 처짐량이 유사한 물성값을 찾아 간다.
- 4) 허용 조건에 맞는 물성값을 선택하도록 한다.

이러한 해석 결과는 각 층의 물성 조합에 의해 처짐량을 일치시키는 것으로 유사한 해가 많이 도출되는 단점이 있다.



〈그림 5.9〉 FWD 를 이용한 아스팔트 층의 물성 역산 과정

## 부록 6. 아스팔트 혼합물의 동탄성계수 측정을 위한 표준 시험법

### 6.1 범위

- ① 이 시험방법은 아스팔트 혼합물을 준비하고 다양한 온도 범위와 하중 주기에 걸쳐 동탄성계수와 위상각을 구하기 위한 시험에 대한 전반적인 절차를 다루고 있다.
- ② 이 시험법은 최대골재의 입경이 37.5mm보다 작거나 같은 시험실 제조 아스팔트 혼합물 공시체에 적용가능하다.

### 6.2 참고 문헌

#### 6.2.1 AASHTO 기준

- TP4 SHRP 선회다짐기를 사용한 가열 아스팔트 혼합물(HMA) 시편의 밀도측정과 준비과정에 대한 방법.
- PP2 HMA 혼합물의 준비에 대한 절차
- T269 다져진 밀입도 및 조립도 아스팔트 포장 혼합물의 공극률.

### 6.3 정의

#### 가. 동탄성계수 (Dynamic Modulus)

$|E^*|$ , 사인파형의 하중에서 최대응력을 최대변형률로 나누어 계산하며 복합 계수의 절대값.

## 나. 복합계수(Complex Modulus)

$E^*$ , 선형 점탄성 재료에 있어 응력과 변형률의 관계를 정의하는 복소수.

## 다. 위상각(Phase angle)

$\delta$ , 응력제어 시험에서 사인파 형태의 작용응력과 변형률 거동사이의 각도(°).

## 라. 선형 점탄성(linear viscoelastic)

이 시험규정에서는, 응력과 변형률 크기에 독립적인 동탄성계수의 거동을 일컫는다.

## 6.4 시험방법의 요약

- ① 주어진 온도와 하중 주기에서 사인파형(haversine)의 축방향 압축응력을 시편에 적용한다. 시편에 가해진 응력과 회복 축변형률을 측정하고 동탄성계수와 위상각의 계산에 사용한다.
- ② <그림 6.1>은 동탄성계수시험을 도식화 한 것을 나타낸다.

## 6.5 중요성과 사용

- ① 다양한 온도범위와 하중주기에 걸쳐 측정된 동탄성계수값은 포장두께 설계와 공용성해석을 위한 아스팔트 콘크리트의 물성을 나타내는 마스터 커브(master curve)로 변환될 수 있다.
- ② 동탄성계수와 위상각은 아스팔트 혼합물의 배합설계의 공용기준(Performance criteria)으로 사용될 수 있다.

## 6.6 시험장비

### 가. 동탄성계수 시험 시스템

동탄성계수 시험시스템은 시험장비, 온도챔버, 측정시스템, 시편과 고정장치로 구성된다.

#### 1) 시험장비

사인파형(haversine)의 압축 하중을 가할 수 있는 유압잭 시험장비는 0.01 ~ 30Hz 범위의 하중주기와 2800kPa 이상의 응력을 가할 수 있어야 한다.

#### 2) 온도조절챔버(Environmental chamber)

필요온도로 시편의 온도를 조절하기 위한 챔버. 온도조절챔버는  $\pm 0.5^{\circ}\text{C}$ 의 정밀도로  $-10 \sim 60^{\circ}\text{C}$ 로 조절할 수 있어야 한다. 또한 챔버는 시험시편뿐만 아니라 온도 검증을 위해 중앙에 설치한 thermocouple과 여분의 시편을 수용할 수 있을 만큼 충분히 커야 한다.

#### 3) 측정장치

시스템은 컴퓨터로 조절되며 적용 하중과 축변위 시간으로 측정하고 기록할 수 있어야 한다. 적용된 사인파형 하중주기 동안 발생한 변형을 0.5%의 감도로 측정할 수 있어야 한다.

##### ① 하중

시편 캡의 한쪽과 접촉된 로드셀로 측정된다. 하중측정 시스템은 5N의 감도로 0 ~ 25kN이 범위의 하중을 측정할 수 있어야 한다.

##### ② 축방향 변형

축방향 변위는 <그림 6.2>와 같이 시편 양쪽 면에 부착된 LVDT로 측정된다. 변위는 최소한 2개 이상의 위치에서 측정되어야 한다.(180°) 그러나 반복시험을 위한 시편의 수를 최소화 하기위해 120°로 3개 지점에 설치하여 측정할 수 있다. LVDT는 총변위가  $\pm 0.5\text{mm}$ 의 범위를 갖는다. 변형측정시스템은 자동영점조절과 <표 6.1>에서 정의되는 선택 가능한 범위가 있다.

#### 4) 강화철제디스크(hardened steel disk)

시험시편과 같은 지름의 강화 철제디스크가 시험장비로부터 시편으로 하중을 전달하기 위해 시편의 상부와 하부에 필요하다.

#### 5) 끝처리

마찰감소를 위한 끝처리는 시편과 강화 철제 디스크 사이에 설치한다. 끝처리는 두 개의 실리콘 그리스가 부려진 0.5mm 두께의 고무판(latex sheets)으로 이뤄진다.

〈표 6.1〉 변위측정용 센서의 구비조건

| Range, mm | Resolution, mm |
|-----------|----------------|
| ±0.5      | 0.010          |
| ±0.25     | 0.005          |
| ±0.125    | 0.0025         |
| ±0.0625   | 0.001          |

### 나. 선회다짐기

AASHTO TP4에 따른 시편준비를 위한 선회다짐기와 관련장비.

### 다. 톱

시편을 자르기에 적당한 길이로 다이아몬드 날로 되어있으며 과도한 열과 충격없이 규정된 크기의 시편을 자를 수 있어야 한다.

※ Note 1 - 양날톱은 자연스럽게 평행한 면의 시편을 제작하는데 매우 용이하다.

### 라. 코어드릴

다이아몬드날로 된 수냉식 코어 시편 채취 장비는 공칭직경 100mm의 시편을 제작하는데 사용된다.

## 6.7 시험 시편

### 가. 크기

동탄성계수 시험을 위한 시편은 선회다짐기에 의해 다져진 혼합물로부터 채취된 직경 100mm, 높이 150mm 시료를 사용한다.

### 나. 노화

혼합물은 AASHTO PP2의 오븐을 사용한 단기노화 절차에 따라 노화되어야 한다.

### 다. 선회다짐시편(gyratory specimens)

AASHTO TP-4에 따른 요구 공극률에 맞추어 높이 165mm의 시편을 준비한다.

※ Note 2 - 시험은 시편이 허용 공극률을 만족할 때 수행되어야 한다. 선회다짐시편의 공극률은 정확한 시험시편의 공극률을 얻기 위해 시행착오법으로 구하여야 한다. 일반적으로 시험시편이 선회다짐 시편의 중앙에서 채취되었다면 일반적으로 시험시편의 공극률은 선회다짐시편보다 1.5~2.5% 정도 낮다.

### 라. 코어 시편 채취

선회다짐 시편의 중간에서 100mm의 직경으로 코어를 채취한다. 코어시편은 원기둥형이며, 끝이 매끄럽고, 나란하고, 골이나 흠집이 발생하지 않도록 코어드릴과 선회다짐시편 모두를 충분히 지지하여야 한다.

## 마. 지름

시험시편의 직경은 시편축의 가운데를 따라 90° 떨어진 3지점에서 측정한다. 1mm의 단위로 6개의 값을 기록한다. 6개 값의 평균과 표준편차를 계산한다. 표준편차가 2.5mm이상인 시편은 사용하지 않는다. 표준편차 기준을 만족한 시편은 평균지름을 1mm단위로 기록하고, 응력계산에 이용한다.

## 바. 시편 양단처리

모든 시험시편의 끝은 매끄럽고 시편의 축에 수직이어야 한다. 외날 또는 양날톱으로 시편의 양단을 절단한다. 시편의 양단은 아래의 허용오차 범위에 들어야 하며 그렇지 못한 시험시편은 제외시킨다.

시편의 양면은 평편하여야 하고 0.05mm의 이상의 요철이 있으면 안 된다. straight edge와 틸새 게이지를 사용하여 체크할 수 있다.

시편 양면은 시편의 축으로부터 0.5도 이상을 벗어나서는 안 된다. 이 요구사항은 각 시편에 대해 직각자와 틸새 게이지를 사용하여 체크할 수 있다.

## 사. 공극률

AASHTO T269규정에 따라 최종 시험시편의 공극률을 측정한다. 목표 공극률과 0.5% 이상 차이가 있는 시편은 시험에서 제외시킨다.

## 아. 개수

필요한 시편의 수는 시편 당 축변형 측정 횟수와 요구되는 평균 동탄성계수의 정확도에 따라 결정된다. <표 6.2>는 ±15%이 하의 정확도를 얻기 위해 시험하여야할 시편의 갯수를 요약한 것이다.

## 자. 시편 저장

시편을 폴리에틸렌 비닐로 완전히 감싸고 5 ~ 25℃의 온도가 유지되는 장소에 저장한다.

※ Note 2 - 시편의 노화가 시험결과에 미치는 영향을 배제하기 위해서 시편은 시험하기 전에 2주 이상 보관하지 않는 것을 원칙으로 한다.

〈표 6.2〉 구되는 시료의 개수

| 시편당 LVDT의 갯수 | 시편의 갯수 | 정확도 추정한계 |
|--------------|--------|----------|
| 2            | 4      | 13.4     |
| 3            | 2      | 13.1     |

## 6.8 시험시편 구성

① 에폭시를 사용하여 시편의 측면에 축방향 LVDT 장착을 위한 스테드를 부착한다. 〈그림 6.3〉은 고정 스테드와 LVDT 설치 장치를 자세히 보여주고 있다.

※ Note 2 - Duro Master Mend Extra Strength Quick QM-50 와 같은 경화가 빠른 에폭시는 스테드를 부착하기에 적합하다.

② 축방향 변형을 측정하기 위한 게이지 길이는 100±1mm 이다. 〈그림 3.3〉에서 보는 바와 같이 LVDT를 정렬하고 위치를 잡아주는 장치를 사용하면 축방향 변형 측정 장치를 편리하게 설치할 수 있다.

## 6.9 시험 절차

① 포장의 구조해석 및 공용성 해석에 사용하기 위한 아스팔트 혼합물의 마스터커브를 산정하기 수행되어야할 시험들은 -10, 5, 21, 40, 55℃의 온도와 각각의

온도에 대해 0.1, 0.5, 1, 5, 10, 25Hz의 하중주기에서 수행되어야 한다. 각 시편은 30회 조합의 온도와 하중주기에서 시험이 수행되어야 하며 시편의 물성 변화를 최소화하기 위하여 낮은 온도에서 시작하여 높은 온도로 시험을 진행한다. 주어진 온도에서 시험할 때에는 높은 하중주기에서 시작하여 낮은 하중주기로 시험을 진행한다.

- ② 시험시편은 온도챔버에 보관하고 특정시험온도를 유지한다. 여분의 시편중앙에 온도측정장치를 설치하여 시험 시편의 온도가 특정온도에 도달했는지 체크하기 위해 사용한다. 여분의 시편이 없다면 <표 6.3>과 같이 실내온도(즉 25℃)와 요구되는 온도가 같아지기 위한 최소한의 시간이 필요하다.

<표 6.3> 요구되는 균등화 시간

| 시편온도, °C(°F) | Time, hrs |
|--------------|-----------|
| -10          | 12시간이상    |
| 10           | 12시간이상    |
| 20           | 8시간이상     |
| 30           | 6시간이상     |
| 40           | 6시간이상     |
| 50           | 6시간이상     |

- ① 하중재하 프레임 상의 설치된 강화철제 디스크상에 마찰감소재를 설치한다. 아래 쪽 끝처리 위에 시편을 놓고, 시편에 미리 장착된 부품에 축방향 LVDT를 장착한다. 누적압축영구변형을 충분히 수용할 수 있도록 선형범위 끝에 근접하게 LVDT를 맞춘다.
- ② 끝처리 마찰감소재와 강화철제 디스크를 시편위에 놓는다. 편심하중을 피하기 위하여 유압식 하중재하장치를 시편중앙에 위치시킨다.
- ③ 시편에 재하하고자 하는 동하중의 5%를 접지하중(Pmin)으로 시편에 재하한다.
- ④ 필요하면 전자 측정 시스템을 조정하고 균형을 맞춘다.

⑤ 반복적인 방법으로 충격없이 시편에 haversine 하중(Pdynamic)을 재하한다. 동적하중은 축변형률이 50 ~ 100 micro-strain 이하가 되도록 조정되어야 한다. 균등온도에 도달한 이후, 실제 실험하중을 재하하기 이전에 장비와 시편을 안정화하기 위하여 50 micro strain 이하 변형률을 발생시키는 10Hz의 haversine 하중을 10회에 걸쳐 재하한다.

※ Note 3 - 동적하중은 시편의 강성에 따라 달라지며 일반적으로 15~280kPa의 범위안에 있다. 일반적으로 저온에서는 보다 크기가 큰 축하중이 요구된다. <표 3.4>는 온도에 따른 목표 동적하중 단계를 나타내고 있다.

⑥ 낮은 온도에서 시작하여 높은 온도로 시험을 진행한다. 각 온도에서는 높은 하중주기에서부터 낮은 하중주기로 시험을 진행한다. 먼저 시편에 25Hz의 주기로 200회의 하중을 재하한다. 그 다음 <표 6.5>에 나와 있는 특정값을 시편에 재하한다.

⑦ 실험은 재료의 선형탄성특성을 확인하기 위한 것으로서, 선형탄성 범위 안에서 수행되어야 한다. 따라서 실험 중 과도한 변형률(150 micro-strain 이상)이 발생하면 시편을 버리고 새 시편을 사용하여 재실험을 수행한다.

<표 6.4> 목표 동적하중범위

| 온도, °C(°F) | 범위, kPa   | 범위, psi |
|------------|-----------|---------|
| -10(14)    | 1400-2800 | 200-400 |
| 4(39)      | 700-1400  | 100-200 |
| 20(68)     | 350-700   | 50-100  |
| 40(104)    | 140-250   | 20-50   |
| 55(131)    | 35-70     | 5-10    |

<표 6.5> 시험주기별 하중재하횟수

| 주기  | 사이클수 |
|-----|------|
| 25  | 200  |
| 10  | 200  |
| 5   | 100  |
| 1   | 20   |
| 0.5 | 15   |
| 0.1 | 15   |

## 6.10 계산

① 마지막 5회 이상의 사인파형 하중과 축방향 LVDT 변형률로부터 평균진폭 값을 결정한다.

② 마지막 5회 이상의 최대 하중과 최대 변형률로부터 평균 시간지연을 결정한다.

※ Note 3 - 이러한 결정에 다른 접근방법들이 있다. 이러한 방법은 사이클 당 데이터 수집 개수에 크게 의존한다. 정점 조사 알고리즘, 다양한 곡선 적합 기법과 Fourier Transform 등이 사용되어 왔다.

가. 하중 응력의 계산,  $\sigma_0$

$$\sigma_0 = \frac{\bar{P}}{A} \text{ <식 6.1>}$$

여기서:  $\bar{P}$ =평균하중

A=시편단면적

$\sigma_0$ =응력

나. 각 LVDT에 대한 회복 가능한 축방향 변형의 계산,  $\epsilon_0$ :

$$\epsilon_0 = \frac{\bar{\Delta}}{GL} \text{ <식 6.2>}$$

여기서:  $\bar{\Delta}$ =평균변위진폭

GL=게이지 길이

$\epsilon_0$ =변형률

다. 각각의 LVDT에 대한 동탄성계수의 계산,  $|E^*|$ :

$$\text{동탄성계수 } |E^*| = \frac{\sigma_0}{\epsilon_0} \quad \langle \text{식 6.3} \rangle$$

라. 각각의 LVDT에 대한 위상각의 계산:

$$\Phi = \frac{t_t}{t_p} \times (360) \quad \langle \text{식 6.4} \rangle$$

여기서 :  $t_t$ =응력과 변형률 사이클의 평균지연시간(sec)

$t_p$ =응력 1사이클의 평균시간(sec)

## 6.11 주곡선(Master Curve) 개발

- ① 다른 주기와 시험온도를 사용하여 시험이 수행되었을 때 주곡선으로 점탄성재료의 물성을 비교할 수 있다. 다양한 온도에서 수집된 데이터는 하중시간에 대해 상대적으로 이동시켜 다양한 곡선들을 하나의 주곡선으로 정렬할 수 있다. 변환계수 (Shift Factor)  $a(T)$ 는 특정 온도에 대해 요구되는 이동량(시간의 로그값)으로 정의된다. 즉, 마스터 곡선에 대해 하중 재하시간을 감소시간으로 나눈 값이 된다.

$$t_r = \frac{t}{a(T)} \quad \langle \text{식 6.5} \rangle$$

여기서 :  $t_r$ =감소시간 (Reduce time)

$t$ = 하중재하 시간(time of loading)

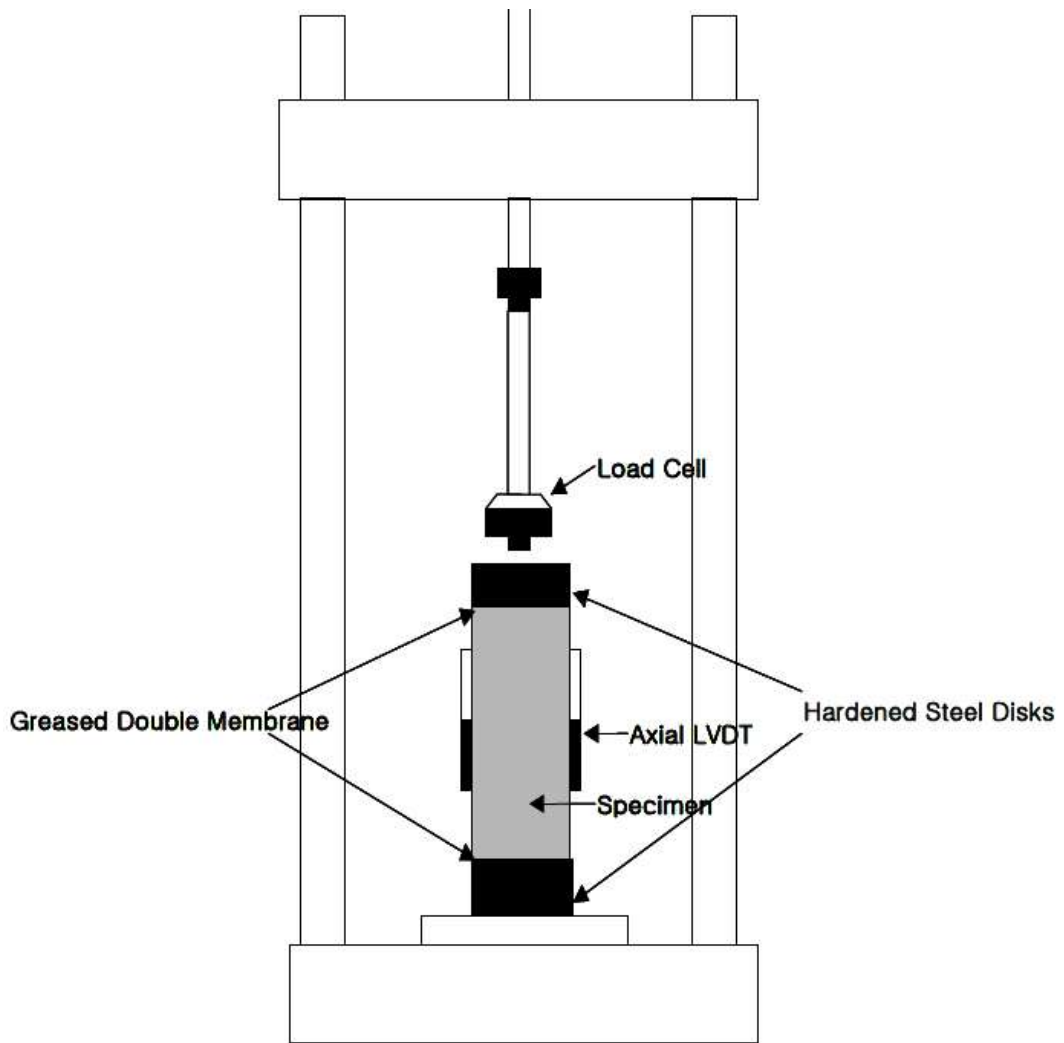
$a(T)$ =변환계수(Shift Factor)

이 개념은 <그림 6.1>에 모사 되어있다. 실험실에서 측정된 동탄성계수 시험데이터가 21.1°C의 기준온도 T0로 이동하여 하나의 주곡선을 형성하는 것을 볼 수 있다.

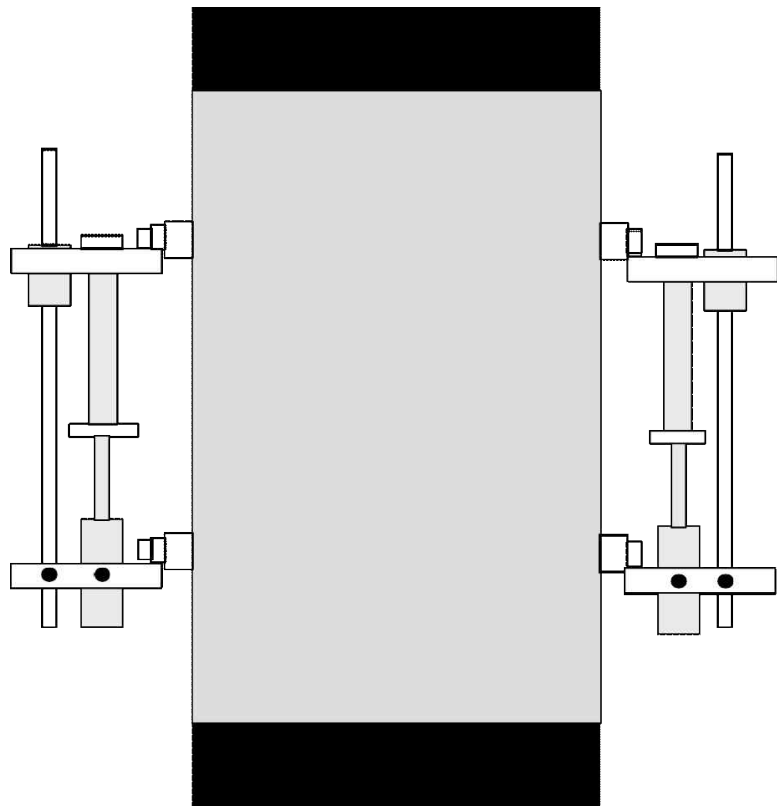
- ② 주곡선을 형성하는 기준온도(reference temperature)는 임의의 온도를 선택하면 된다.
- ③ 아스팔트와 혼합물에 대한  $a(T)$ 와 온도와의 관계를 나타내기 위해 다양한 함수들이 사용되어 왔다. 그중 하나는 numerical optimization 또는 excel 프로그램의 Solver function 있다. 또한 William, Landel and Ferry(WLF)과 Arrhenius function이 사용되어 왔다.
- ④ 여러 연구자들이 HMA의 주곡선을 만들기 위해 재료의 거동특성을 수학적으로 모델링 하는데 최소한 3개 이상의 여러 함수들을 사용하였다. 시간과 주기 의존성에 있어서, 적어도 저온 및 중간 온도에서는 generalized power law가 폭넓게 받아들여졌다. 높은 온도의 데이터가 포함되어 있으면 다항식(polynomial function)이나 단항식(sigmoidal function)이 사용되었다. 다항식을 사용하여 적합시킬 때 주의를 해야 한다. 데이터의 범위 바깥을 추정할 때는 낮은 온도와 높은 온도에서 예측값의 변동이 심하게 된다. generalized power law와 단항식(sigmoidal function)은 점차적으로 제한된 강성값으로 근접하게 되므로 측정된 데이터의 범위 밖에서도 예측이 가능하다.

## 6.12 보고서

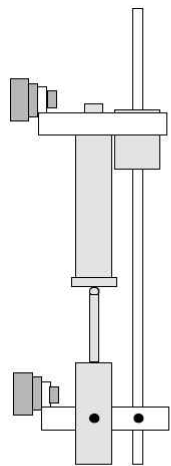
- ① 각 시험된 온도-주기 조합에 대한 평균응력과 평균변형을 기록한다.
- ② 각 LVDT에 있어 시험된 온도-주기 조합에 대한 동탄성계수와 위상각을 기록한다.
- ③ 각 측정값으로부터 구한 평균 동탄성계수와 위상각을 사용하여 시험시편의 동탄성계수와 위상각을 기록한다.
- ④ 완성된 주곡선을 기록한다.



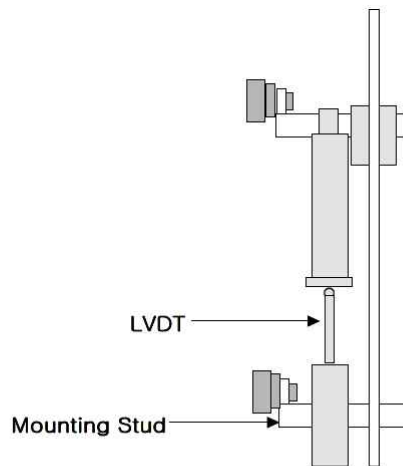
〈그림 6.1〉 동탄성계수 시험기기 세팅



〈그림 6.2〉 LVDT 설치 방법



Lateral View



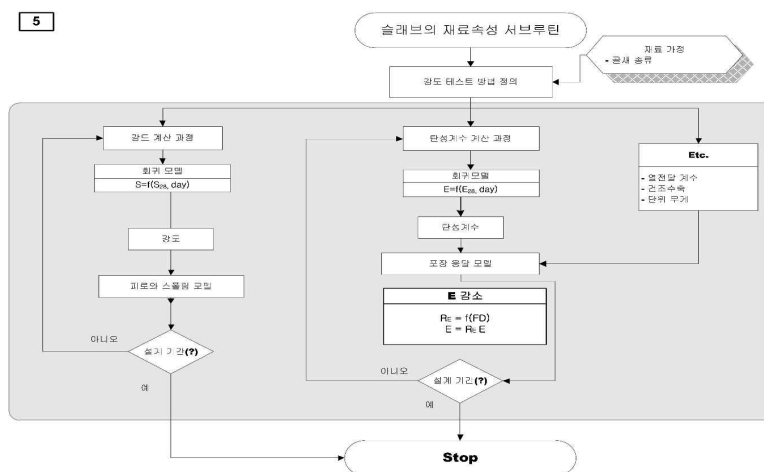
Longitudinal Cross-Section

〈그림 6.3〉 LVDT 고정장치

## 부록 7. 시멘트 콘크리트 재료

콘크리트의 어원은 라틴어로 “Concretus” 로써, 그 의미는 “함께 자라다 (Grow Together)”라는 의미이다. 기본적으로 콘크리트는 혼합재료로서 시멘트 (Portland Cement), 굵은 골재, 잔골재, 물로 이루어져 있다. 콘크리트 포장은 혼합재료로 구성된 표층 외에도 추가적으로 줄눈부의 하중 전달을 하는 다웰바 및 타이바 그리고 철근이 사용되고 있다. 콘크리트 재료의 가장 큰 입력 변수는 골재의 종류이다. 5가지 골재 종류에 대한 기본 물성을 정량화하여 도로포장 구조 설계에서는 이를 프로그램에 데이터베이스화하였다. 쏘갠인장강도, 압축강도, 휨강도 및 탄성계수를 각 재령에 따라 계산할 수 있도록 하였고 쏘갠인장장도는 스폐링을 예측하는데, 휨강도는 피로균열을 예측하는데 사용한다. 압축강도를 통해 쏘갠인장강도, 휨강도 및 탄성계수를 간접적으로 추정할 수도 있으며 탄성계수, 열팽창계수, 건조수축 및 단위 중량 값은 구조해석의 입력 변수로 사용된다. 각각의 재료 물성에 대한 설명은 이후 각 장에서 자세히 설명된다.

〈그림 7.1〉은 도로포장 구조 설계의 콘크리트 재료 물성 산정 로직이다.



〈그림 7.1〉 콘크리트 재료물성 산정로직

## 7.1 콘크리트의 재료 물성 및 시험법

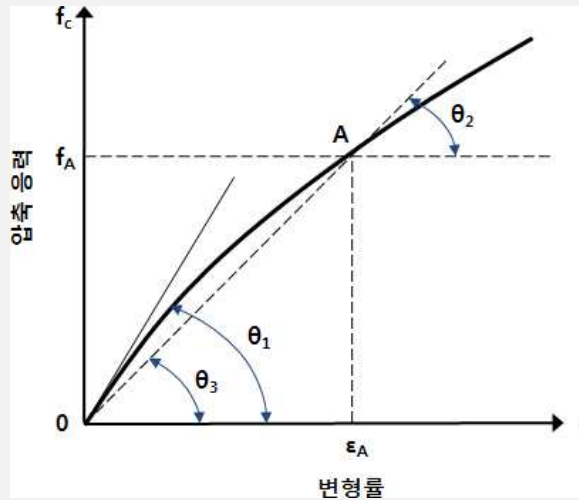
도로 포장용 콘크리트 포장 재료의 물성은 탄성계수, 강도, 열팽창 계수, 건조 수축, 단위중량 및 포아송비로 크게 구분된다. 비록 비선형 거동을 하고 장기적으로 점성 거동을 하는 것으로 알려져 있으나 실용적으로는 탄성 영역의 물성이 지배적으로 사용되고 있다. 포장 구조 설계에서는 수준별로 재료 물성이 다르게 사용되는데 1등급의 경우 실험을 진행하도록 규정하고 있으며, 일반적인 2등급이하의 경우 다양한 실험을 통해 재료 물성치를 제공하고 있다.

### 7.1.1 탄성계수

탄성계수는 탄성영역에서 응력과 변형률 사이의 기울기로서 초기접선탄성계수( $E_i-\theta_1$ )는 원점에서 응력과 변형률 곡선에 그은 접선의 기울기이며, 접선 탄성계수( $E_t-\theta_2$ )는 원점에서 응력과 변형률 곡선에의 임의의 점에서 그은 기울기로 정의한다. 할선탄성계수( $E_s-\theta_3$ )는 압축응력이 압축강도의 절반 정도일 때의 원점에서 응력과 변형률 곡선에 그은 직선의 기울기이다.

콘크리트 구조의 설계기준에서는 콘크리트 강도와 탄성계수와의 상관식을 다음과 같이 제안하였다.

- ①  $f_{ck} \leq 30\text{MPa}$  인 콘크리트 탄성계수는  $E(\text{MPa})=4700(f_{ck})^{0.5}$
- ②  $f_{ck} \geq 30\text{MPa}$  인 콘크리트 탄성계수는  $E(\text{MPa})=3300(f_{ck})^{0.5}+7700$



〈그림 7.2〉 응력과 변형률 곡선

여기서,  $f_{ck}$  : 콘크리트 설계 기준 강도

$E$  : 콘크리트 탄성계수

탄성계수를 측정하는 방법은 압축강도 시편을 이용하여 탄성계수를 구하는 콤프레소 미터 또는 게이지 부착 파괴방법과 비파괴 시험법이 대표적이다. 〈그림 7.3〉와 같이 콤프레소 미터를 이용한 탄성계수실험은 KS F 2438-1992 “콘크리트 원주 공시체의 정탄성 계수 및 포아송 비 시험 방법”에 준하여 콤프레소 미터 및 스트레인 게이지를 부착하는 측정하는 방법이다. 시편은 압축강도와 마찬가지로 3개의 150×300 mm (또는 100×300 mm)의 실린더 시편을 이용하여 압축강도의 40~50 %까지 재하한다. 탄성계수를 측정하기 위해 접촉한 또는 접촉하지 않은 측정 장치를 사용하고, 지름 반대쪽에 2개의 계측기 선을 각각 축에 평행하게 공시체 높이의 중간에 붙여서 25.4 mm에 대해 0.127  $\mu\text{m}$ 까지의 정밀도로 평균 변형을 측정한다. 각 계측기의 유효길이는 콘크리트에 사용한 굵은 골재 최대치수의 3배 이상, 공시체 높이의 2/3 이하로 한다. 추천할 수 있는 길이는 공시체 높이의 1/2로 한다. 변형은 다이얼 게이지로 직접 또는 레버 확대 방식으로 와이어 변형률 게이지나 변위차 트랜스포머로 측정한다. 계측기는 수직방향으로 2개 외에 수평방향으로 2개를 추가로 부착하면 포아송 비까지 구할 수 있다.



〈그림 7.3〉 콤프레소미터를 이용한 탄성계수 측정

결과는 다음 식으로 산출한다.

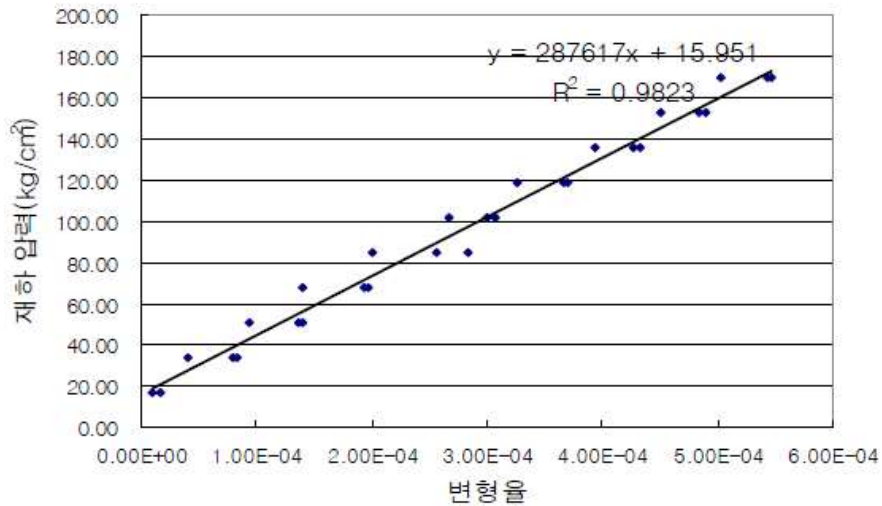
$$E = \frac{S_2 - S_1}{\epsilon_2 - 0.00005} \quad \langle \text{식 7.1} \rangle$$

여기서, S1 : 세로 변형률 50  $\mu$  (0.00005)에 대한 응력 (kgf/cm<sup>2</sup>)

S2 : 가해진 최대 하중의 40 %에 대한 응력 (kgf/cm<sup>2</sup>)

$\epsilon_2$  : 응력 S2로 생긴 변형률

〈그림 7.4〉는 7일 양생된 압축 강도 시편에 대한 실험 결과를 정리한 것이다. 콘크리트 공시체에 압축응력을 가하고 그에 따른 변형율을 측정하여, ‘재하 압력 - 변형율’ 그래프를 작도한다. 그림에서 기울기 값이 실제 콘크리트의 탄성계수(28.76 GPa)가 된다.



〈그림 7.4〉 콘크리트 탄성계수 산출을 위한 ‘재하 압력-변형율’ 그래프

Impact Echo 이용한 비파괴 시험방법이다. Impact Echo 시험방법은 시험체 표면에 충격을 주어 발생된 파가 시험체 매질간의 경계면에서 반사되어 오는 파형을 이용하여 탄성계수를 추정하는 방법이다. 일반적으로 사용하는 파는 비구속 압축파(Rod 파)로서 압축파의 일종으로 파의 진행방향으로 입자가 압축-수축의 과정을 반복하며 전파된다. 따라서 비구속 압축파의 속도는 비구속 탄성계수(Unconstrained Modulus) 즉, 영탄성계수(Young's Modulus)의 평가에 직접적으로 활용된다.

실험결과를 통해 고유진동수  $f_c$ 를 구하고, 이를 이용하여 비구속 압축파의 속도( $V_c$ )를 구한다.

$$V_c = f_c \times \lambda = f_c \times 2L \quad \langle \text{식 7.2} \rangle$$

여기서,  $V_c$  : 비구속 압축파의 속도 (m/s)

$f_c$  : 공진 주파수 (Hz)

$L$  : 공시체 길이 (m)

구해진 비구속 압축파의 속도를 이용해 다음 식에 의하여 공시체의 동탄성계수를 구한다.

$$V_c = \frac{\text{공시체의 동탄성계수}}{\text{공시체의 밀도}} \quad \langle \text{식 7.3} \rangle$$



〈그림 7.5〉 Impact Echo 시험 장면

도로포장 구조 설계에서는 28일 값을 기준으로 시간에 따른 탄성계수 변화식을 적용하였으며, 사용된 식과 상수값은 〈식 7.4〉와 〈표 7.1〉과 같다.

$$f_{ck}(t) = f_{ck,28} \times \{t/(a+b \times t)\} \quad \langle \text{식 7.4} \rangle$$

여기서,  $f_{ck}(t)$  = 재령  $t$ 에서의 재료의 물성 (GPa)

$f_{ck,28}$  = 재령 28일 재료의 물성 (GPa)

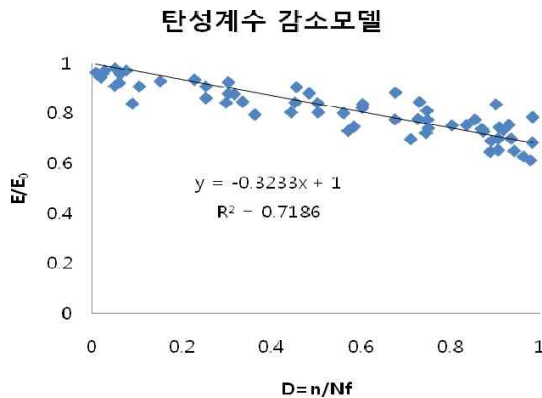
$t$  = 재령 (일)

$a, b$  = 상수

〈표 7.1〉 굽은 골재별 콘크리트 탄성계수 예측상수

| 굽은 골재 종류 | 예측상수  |       |
|----------|-------|-------|
|          | a     | b     |
| 화강암      | 0.93  | 0.97  |
| 석회암      | 1.317 | 0.949 |
| 사암       | 0.948 | 0.974 |
| 편마암      | 0.885 | 1.023 |
| 안산암      | 0.778 | 0.988 |

콘크리트 재료의 탄성계수는 위 식과 같이 시간에 흐를수록 증가하지만, 실제 콘크리트 포장은 반복적으로 수많은 차량들이 지나가고 강우, 강설 등의 환경 영향을 받는다. 때문에 탄성계수는 증가함과 동시에 저감하기도 한다. 도로포장 구조 설계에서는 탄성계수 저감 모형은 구조해석 모형에서 고려하였다. 실제 빙 공시체를 제작하여 피로 실험을 실시하여 일정한 피로하중을 재하한 후 Impact Echo와 같은 장비를 이용하여 시편의 탄성계수를 측정하였다.(한국형 포장 설계법 개발 연구 중 3단계 2차년도 보고서-I3 신설포장 설계 프로그램의 수정 및 보완, 국토해양부 2010) 〈그림 7.6〉은 그 결과를 나타낸 것이며, 이 수식이 도로포장 구조 설계에 사용되었다. 여기서 x는 재료가 견딜 수 있는 반복하중 회수에 대해 하중재하 회수의 비를 나타낸 것이며, y는 탄성계수 저감을 나타내는 가중치를 의미한다.



〈그림 7.6〉 도로포장 구조 설계에 적용된 탄성계수 감소 모형

## 7.1.2 콘크리트 강도

콘크리트 포장 설계에 사용되는 강도는 압축강도, 할렬인장강도, 휨강도가 있다. 다음은 각 강도의 측정 방법 및 도로포장 구조 설계를 통해 산출한 강도 예측식에 대하여 알아보았다.

### (1) 압축강도

압축강도는 콘크리트 포장의 가장 중요한 성질 중의 하나이다. 일반적으로 물-시멘트 비가 낮을수록 더 높은 강도가 발현된다. 이는 수화반응에 필요한 물/시멘트 비가 약 28%이며, 그 이상일 경우 잉여수가 공극을 생성하여 강도에 영향을 미치기 때문이다. 국내 압축강도 시험 기준 시험은 KS F 2405 “콘크리트의 압축강도 시험 방법”에 준하여 실시한다. 콘크리트 공시체는 KS F2403 “시험실에서 콘크리트 압축 및 휨 강도 시험용 공시체 제작하고 양생하는 방법”과 KS F 2404 “현장에서 콘크리트 압축 강도 시험용 공시체를 제작하고 양생하는 방법”에 준하여 제작 및 양생한다. 압축강도 시험은 3개의 150×300 mm의 실린더 시편을 사용하여 수행하며, 일반적으로 크기효과에 의해 시편의 크기가 크면 강도가 작다.(약 10 % 이내의 오차)따라서 압축강도는 다음 식에 의해 산정된다.

$$\text{압축강도}(Pa) = \frac{\text{최대재하하중}(N)}{\text{공시체단면적}(m^2)} \quad \langle \text{식 7.5} \rangle$$

〈표 7.2〉 굵은 골재별 콘크리트 압축강도 예측상수

| 굵은 골재 종류 | 예측상수  |       |
|----------|-------|-------|
|          | a     | b     |
| 화강암      | 2.892 | 0.896 |
| 석회암      | 2.019 | 0.917 |
| 사암       | 2.610 | 0.902 |
| 편마암      | 1.913 | 0.921 |
| 안산암      | 2.307 | 0.896 |

채령에 따른 탄성계수 예측식에서와 같이 압축강도에서도 동일한 형태의 수식이 적용되었다. 〈표 7.2〉는 각 굵은 골재별 예측상수이며, 이를 통해 예측한 압축강도의 단위는 MPa 이다.

## (2) 휨강도

휨강도는 포장체가 실제 휨거동을 하므로 이에 대한 저항성을 알 수 있는 물성이다. 150×150×550 mm (또는 600 mm)의 휨 시편을 사용한다. 시편의 지간과 단면의 크기(깊이)는 2.5~3을 사용한다. 실험규격으로는 KS F 2407-1968 "콘크리트 휨 강도 시험 방법 (단순보의 중앙점 하중법)"이나 KS F 2408-1995 "콘크리트 휨 강도 시험 방법 (단순보의 3등분점 하중법)"을 이용한다. 〈그림 7.7〉은 휨강도 측정을 위한 시험 개념도를 나타낸 것이다.

공시체가 지간의 3등분 중앙부에서 파괴되었을 때의 휨강도는 다음 식에 따라 계산한다.

$$R = \frac{PL}{bd^2} \quad \langle \text{식 7.6} \rangle$$

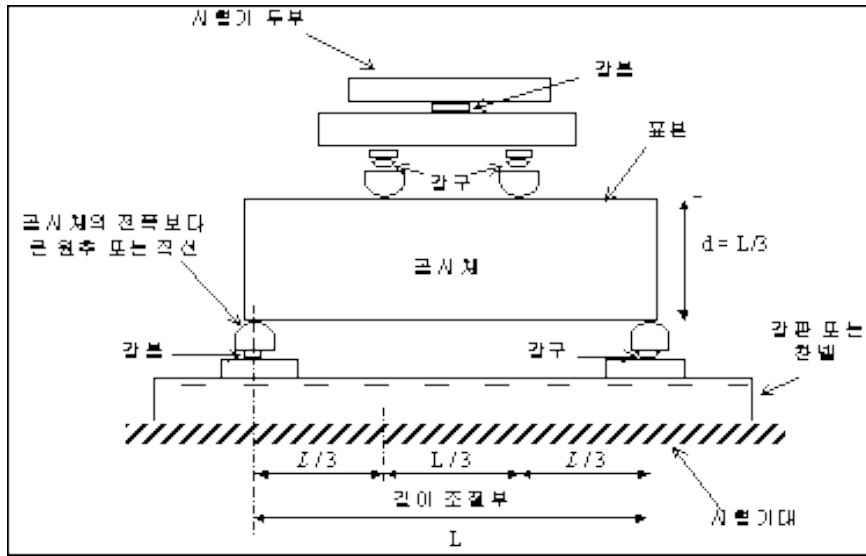
여기서, R : 휨강도(kg/cm<sup>2</sup>)

P : 시험용 계기에 나타난 최대하중(kg) (공시체의 자중은 무시)

L : 공시체 지간의 길이(cm)

b : 공시체의 폭(cm)

d : 공시체의 두께(cm)



〈그림 7.7〉 휨강도 시험방법 (단순보의 3등분점 하중법)

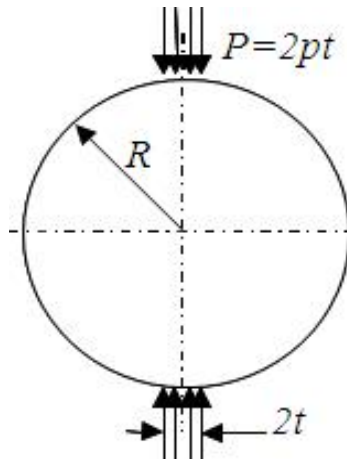
재령에 따른 탄성계수 예측식에서와 같이 휨강도에서도 동일한 형태의 수식이 적용되었다. 〈표 7.3〉은 각 굵은 골재별 예측상수이며, 이를 통해 예측한 휨강도의 단위는 MPa 이다.

〈표 7.3〉 굵은 골재별 콘크리트 휨강도 예측상수

| 굵은 골재 종류 | 예측상수  |        |
|----------|-------|--------|
|          | a     | b      |
| 화강암      | 1.310 | 1.0120 |
| 석회암      | 1.226 | 0.944  |
| 사암       | 1.442 | 0.932  |
| 편마암      | 1.432 | 0.909  |
| 안산암      | 1.725 | 0.901  |

### (3) 쏘갠인장강도

쏘갠인장강도 시험은 콘크리트 재료의 인장 강도를 간접적으로 구하는 시험 방법이다. 150×300 mm의 실린더를 이용하여 <그림 7.8>과 같이 실험을 하되 KS F 2423-2001 "콘크리트의 쏘갠인장강도(할렬 인장 강도) 시험 방법"을 사용한다. 공업규격에서는  $t/R = 1/6$ 의 패킹 스트립을 사용하여 2t 폭의 등분포하중으로 재하하여 시험하도록 하고 있으나, 쏘갠인장강도 강도를 구하는 산정공식은  $2pt/\pi R$ 을 사용하여 2t 폭이 고려되고 있지 않다.



<그림 7.8> 쏘갠인장강도 실험

따라서, 쏘갠인장강도는 탄성론을 바탕으로 한 다음의 식을 사용하여야 한다.

$$f_{sp} = \frac{2pt}{\pi R} \left[ 1 - \left( \frac{t}{R} \right)^2 \right]^{\frac{3}{2}} \text{ <식 7.7>}$$

여기서,  $f_{sp}$  : 인장강도 ( $\text{kg}/\text{cm}^2$ )

$p$  : 단위길이당 최대 등분포하중 ( $\text{kg}/\text{cm}$ )

$t$  : 패킹 스트립의 폭 ( $\text{cm}$ )

$R$  : 공시체의 반지름 ( $\text{cm}$ )

〈표 7.4〉는 각 굵은 골재에 따른 장기 쪼갬인장강도 예측상수이며, 이를 통해 예측한 쪼갬인장강도의 단위는 MPa 이다.

〈표 7.4〉 굵은 골재별 콘크리트 쪼갬인장강도 예측상수

| 굵은 골재 종류 | 예측상수  |       |
|----------|-------|-------|
|          | a     | b     |
| 화강암      | 1.330 | 0.958 |
| 석회암      | 2.394 | 0.890 |
| 사암       | 1.859 | 0.926 |
| 편마암      | 2.330 | 0.801 |
| 안산암      | 2.289 | 0.914 |

### 7.1.3 건조수축

건조 수축은 콘크리트 포장의 초기 및 장기 공용성에 많은 영향을 미친다. 건조 수축 계수가 큰 콘크리트 포장은 양생 과정에서 초기 균열 발생 비율이 높고 적절한 유지보수가 이뤄지지 않을 경우 교통 개방 후 이 포장의 공용성은 급격히 저하된다. 건조수축은 주로 시멘트 페이스트의 수축에 의한 것이기 때문에 시멘트 페이스트양을 가능한 한 적게 사용하며, 그 질을 개선하는 것이 최우선이다. 건조수축은 시멘트, 골재 형태, 함수비 및 배합성분 콘크리트의 수분손실률, 부재의 크기 및 형상, 환경요인 및 건조에 노출된 시간 등에 영향을 받는다. 일반적으로 시멘트 페이스트, 모르타르, 콘크리트의 순으로 시멘트의 사용량은 감소한다. 또한, 골재에 따른 수축억제 작용은 강하기 때문에 건조수축량도 같은 순으로 감소한다. 건조 수축 실험은 한국산업규격 KS F 2424 "모르타르 및 콘크리트의 길이 변화 시험 방법"에 제시되어 있으며, 모르타르 공시체 또는 콘크리트 공시체의 길이 변화 실험에 대하여 콤퍼레이터 방법, 콘택트 게이지 방법 또는 다이얼 게이지 방법 등의 세 가지 방법을 제시하고 있다. 하지만 〈표 7.5〉와 같이 ASTM에서 제안하는 방법과는 다소 차이가 있다.

〈표 7.5〉 KS와 ASTM 건조 수축 시험 차이점

| 시험 항목       | KS                       | ASTM                 |
|-------------|--------------------------|----------------------|
| 양생온도(℃)     | 20±1                     | 23±1.7               |
| 초기 측정시간(일)  | 1, 7                     | 4, 7                 |
| 초기측정 후 측정시간 | 1, 4, 8주, 3, 6, 9, 12 개월 | 1, 3, 7 15, 31, 63 주 |

콘크리트 길이변화 측정방법은 공시체의 측면 길이 변화를 측정하는 방법과 공시체 중심축의 길이변화를 측정하는 방법으로 나눌 수 있다. 다양한 측정 방법 중 가장 정밀하게 측정이 가능하며 오차가 적은 방법이 〈그림 7.9〉과 같은 현미경 콤팩테이터 방법이며, 〈그림 7.10〉은 비교적 실험법이 간단한 다이얼 게이지를 이용한 측정법이다. 도로포장 구조 설계에서는 콘크리트 슬래브의 건조수축을 콘택트 게이지 및 다이얼 게이지 방법을 이용하여 형상비 및 골재 종류에 따라서 측정하였다. 〈식 7.8〉과 〈표 7.6〉은 그 결과를 정리한 것으로서, 〈식 7.8〉과 〈표 7.6〉을 통해 알고자하는 재령에 서의 건조수축 변형률을 예측할 수 있다.

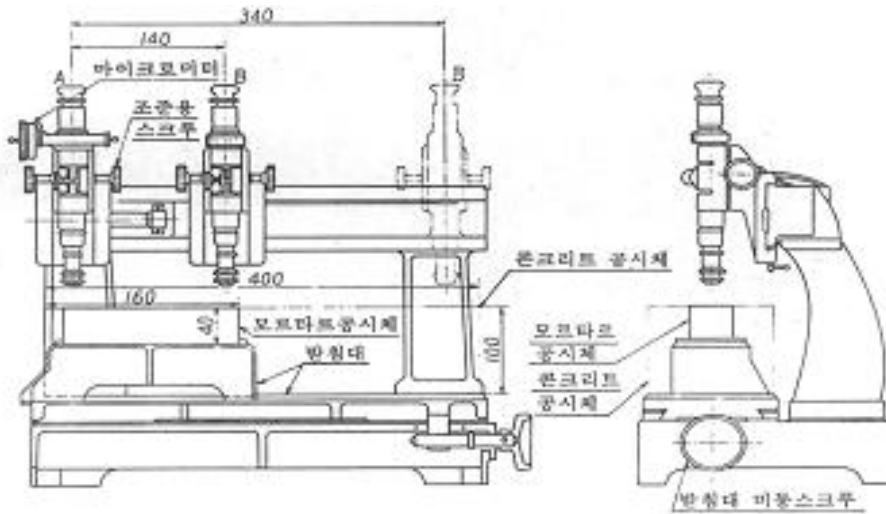
$$\epsilon_{sh}(t) = \frac{t}{a_2 + t} \times a_1 \times [1 + a_3 \times \exp(-a_4 \times (V/S))] \quad \langle \text{식 7.8} \rangle$$

여기서,  $\epsilon_{sh}(t)$  : 건조수축 변형률( $\mu\epsilon$ )

t : 재령 (일)

$a_1$   $a_2$   $a_3$   $a_4$  : 건조수축 예측상수

V/S : 형상비 (mm)



〈그림 7.9〉 콤파레이터 방법의 측정기



〈그림 7.10〉 다이얼 게이지를 이용한 건조수축 측정 장면

〈표 7.6〉 굵은 골재별 콘크리트 슬래브의 건조수축 예측상수

| 골재  | $a_1$ | $a_2$ | $a_3$ | $a_4$   |
|-----|-------|-------|-------|---------|
| 화강암 | 491.7 | 27.43 | 0.635 | 0.01956 |
| 석회암 | 362.9 | 36.71 | 1.613 | 0.0372  |
| 사암  | 431   | 33.3  | 2.204 | 0.0194  |
| 편마암 | 209.5 | 18.88 | 4.315 | 0.0110  |
| 안산암 | 376.7 | 23.50 | 2.537 | 0.0251  |

건조수축은 콘크리트 슬래브의 깊이에 따라 동일하게 일어나는 것이 아니라 대기중에 노출된 부분의 건조수축이 가장 크게 발생하며 깊이 방향으로 갈수록 점점 작아진다. 이러한 불균등한 건조수축은 내부의 습도 변화에 따라 달라지며, 이는 콘크리트 포장 의 와핑(Warping : 콘크리트 재료가 습도 변화에 따라 변화하는 현상)을 유발시키고 수직으로 거동하는 원인이 된다. 도로포장 구조 설계에서는 이와 같은 부등건조수축 (슬래브 상하부의 건조수축이 다른 경우)을 설계에 고려하기 위한 온도차 개념으로 변 환하여 입력변수로 사용하였다. <식 7.9>는 부등건조수축으로 인해 발생한 변형률을 슬래브 상하부의 온도차이로 변 환하는 식이다. 원형 링 시험과 기존 연구결과(Hossain 등, 2008)를 참고하여 콘크리트 응력 감소계수를  $a=-1.281$ ,  $b=0.472$ 로 결정하였다.

$$\Delta T_{re} = \frac{-K \times \epsilon_{sh}(t)}{\alpha_c} \times [1 - \Phi(t)] \quad \langle \text{식 7.9} \rangle$$

여기서,  $\Delta T_{re}$  : 응력감소가 고려된 부등건조수축 등가온도차이

$t$  : 재령(시공직후 부터 고려되야 함)

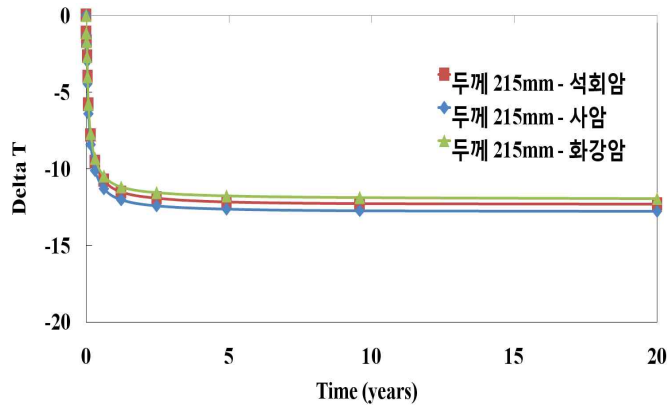
$K$  : 부등건조수축계수(=0.6)

$\alpha_c$  : 콘크리트열팽창계수( strains)

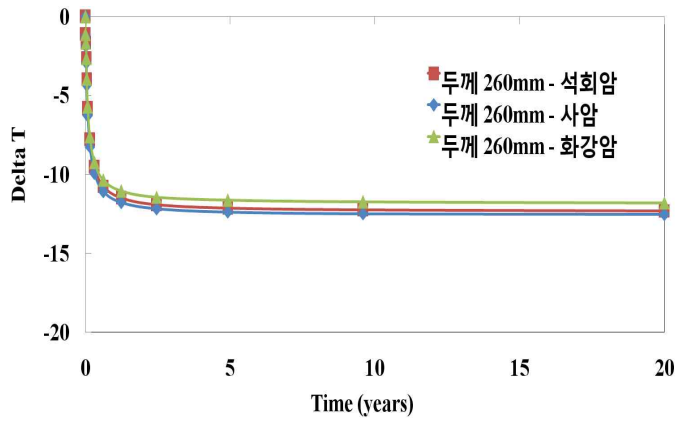
$\Phi(t)$  : 콘크리트응력감소계수

$$\Phi(t) = a\left(\frac{1}{t}\right) + b \quad (a=-1.281, b=0.472)$$

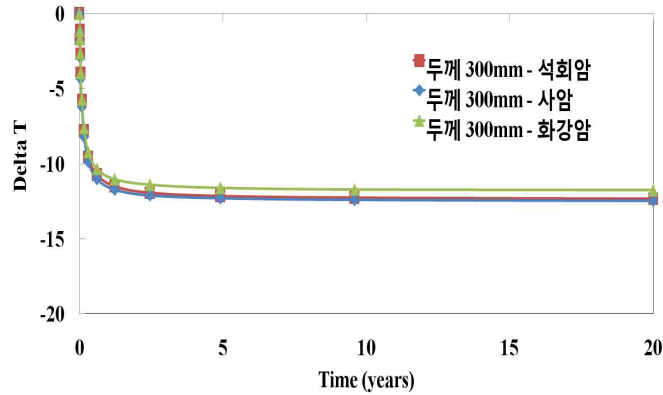
<그림 7.11>은 암종 및 형상비에 따른 부등건조수축을 등가의 온도차로 변환한 값을 나타낸 것이다. 슬래브 두께 215 mm, 260 mm, 300 mm에 각 각 석회암, 사암, 화강암을 <식 7.9>에 넣어 재령에 따른 총 9가지 경우의 그래프와 재령 20년에서의  $\Delta T$ 값을 비교하였다. <표 7.7>와 같이 두께가 두꺼울수록, 암종별로는 화강암, 사암, 석회암 순으로  $\Delta T$ 값은 작아졌다.



(a) 암종별 응력감소가 고려된 부등건조수축 예측량1(V/S= 215mm)



(b) 암종별 응력감소가 고려된 부등건조수축 예측량2(V/S= 260mm)



(c) 암종별 응력감소가 고려된 부등건조수축 예측량3(V/S= 300mm)

<그림 7.11> 재력에 따른 응력감소가 고려된 부등건조수축 등가온도차이 예측 결과

〈표 7.7〉 재령 20년에서의 응력감소가 고려된 부등건조수축 등가온도차이 예측 결과

| 구분 |     | 두께(mm)  |         |         |
|----|-----|---------|---------|---------|
|    |     | 215     | 260     | 300     |
| 암종 | 석회암 | -12.311 | -12.306 | -12.305 |
|    | 사암  | -12.781 | -12.536 | -12.441 |
|    | 화강암 | -11.919 | -11.793 | -11.744 |

### 7.1.4 열팽창계수

열팽창계수는 온도에 의한 슬래브의 팽창 및 수축, 상향 및 하향 컬링 등의 발생 정도의 원인이 되는 요인이다. 열팽창 계수는 간접적으로 포장의 스폐링 발생, 블로업, 포장의 피로 균열 등의 발생을 설명하는 주요 인자이다.

콘크리트 열팽창계수는 시멘트 페이스트의 열팽창계수와 골재의 열팽창 계수의 복합적인 작용에 의해 결정된다. 페이스트의 열팽창계수는 함수량에 의존하며 골재의 열팽창계수는 일반적으로 페이스트의 열팽창계수보다 작기 때문에 콘크리트 내에 골재의 함유량에 따라 콘크리트 열팽창계수는 변화한다. 즉, 시멘트 페이스트와 골재로 이루어진 콘크리트에서 골재의 비율이 높을수록 열팽창계수는 작아진다.

열팽창계수 실험은 〈그림 7.12〉와 같고 최근(2000)에 미국 도로연방청 산하 도로연구소(TFHRC: Turner-Fairbank Highway Research Center)에서 LVDT를 사용하여 콘크리트의 열팽창계수를 수하는 방법을 제안하였다. 또한 매립형 스트레인게이지에 의한 콘크리트의 열팽창계수 측정방법은 150×150×550 mm 콘크리트 공시체 중심부에 스트레인 게이지를 매립하여 온도에 따른 길이변화를 측정하는 방법이다. 이 시험법의 경우 온도변화가 적은 경우에는 문제가 없으나, 온도범위가 큰 경우에는 스트레인 게이지의 온도보정을 필요로 한다. 보정방법은 〈식 7.10〉와 같으며, 이 때 스트레인 게이지의 열팽창계수는 PML 60 및 KM 100B가 각각 11.0 및 10.9  $\mu\epsilon/^\circ\text{C}$ 이다.



〈그림 7.12〉 열팽창계수 실험 개념도 (LVDT 실험방법)

$$\alpha_c = \frac{\epsilon_c + \Delta T \times \alpha_{sg}}{\Delta T} \quad \langle \text{식 7.10} \rangle$$

여기서,  $\alpha_c$ ,  $\alpha_{sg}$ : 콘크리트 및 스트레인 게이지의 열팽창계수( $\mu\epsilon/^\circ\text{C}$ )

$\epsilon$ : 콘크리트의 변형률( $\mu\epsilon$ )

$\Delta T$ : 온도변화( $^\circ\text{C}$ )

이상의 실험 방법을 이용하여 도로포장 구조 설계에서 콘크리트 포장용 재료의 골재 종류별 열팽창계수는 〈표 7.8〉과 같다.

〈표 7.8〉 굵은 골재별 콘크리트의 열팽창계수

| 굵은 골재 종류 | 열팽창계수 ( $\mu\epsilon/^\circ\text{C}$ ) |          |
|----------|----------------------------------------|----------|
|          | 범위                                     | 제안값(실험값) |
| 화강암      | 7.60~11.32                             | 8.97     |
| 석회암      | 8.30~9.49                              | 8.76     |
| 사암       | 10.80~11.51                            | 11.00    |
| 편마암      | 7.60~11.64                             | 9.56     |
| 안산암      | 7.22~7.95                              | 7.69     |

텍사스 교통국(TxDOT : Texas Department of Transportation) 에서는 앞서 살펴 본 건조수축과 열팽창계수를 현장에서 측정하는 방법을 고안하였으며, 다음과 같은 방법으로 두 물성값을 측정한다. 시간에 따른 콘크리트 초기 변형률은 크게 응력하중에 의해 발생하는 변형률과 환경 하중에 의해 발생하는 변형률로 구분된다. 만약 재하되는 하중이 환경 하중만 있다면, 응력에 의한 변형률은 “0”이 될 것이다. 또한 크리프에 의한 변형률이 매우 작아 무시할 수 있을 정도라고 하면, 전체 변형률은 <식 7.11>과 같이 간단하게 될 것이다. <식 7.11>에서 건조수축과 온도에 의한 변형률을 분리하기 위하여 텍사스 교통국에서는 원형 실린더 형태의 무응력 장치를 이용하였으며, <그림 7.13>과 같다.

$$\begin{aligned}\Delta\epsilon_i^T &= \Delta\epsilon_i^0 && \langle \text{식 7.11} \rangle \\ &= \Delta\epsilon_i^{th} + \Delta\epsilon_i^{sh} \\ \Delta\epsilon_i^{sh} &= \Delta\epsilon_i^0 - \Delta\epsilon_i^{th} \\ &= \Delta\epsilon_i^0 \in \text{dependent device} - (\Delta T \times COTE)\end{aligned}$$

여기서,  $\Delta\epsilon_i^T$  : 전체 변형률

$\Delta\epsilon_i^{th}$  : 온도 변형률

$\Delta\epsilon_i^{sh}$  : 건조수축 변형률

$\Delta T$  : 온도 변화

COTE : 열팽창계수

원형 실린더는 두 종류가 있다. 하나(PNC)는 작은 구멍을 여러 개 뚫어 포장체 내의 습기가 이동할 수 있도록 하여 건조수축과 온도에 의한 거동을 측정할 수 있도록 하였다. 다른 하나(INC)는 구멍이 없어 습기가 이동할 수 없게 하여 건조수축이 발생하지 않고 온도에 의해서만 거동할 수 있도록 하였다. 두 실린더

모두 경계면은 마찰이 없도록 하였다. 전자는 콘크리트 재료의 건조수축과 온도 변화에 의한 거동을 살펴보기 위한 것이고, 후자는 온도 변화 및 열팽창계수를 측정하기 위한 것이다. INC 장치를 이용하여 온도와 변형률과의 기울기 그래프를 통해 콘크리트의 열팽창계수를 구할 수 있다. 또한 PNC 의 변형률에서 INC의 변형률을 빼면 콘크리트 재료의 건조수축 변형률이 된다.



〈그림 7.13〉 PNC(Permeable Non Stress Cylinder)와 INC(Impermeable Non Stress Cylinder)

### 7.1.5 각 물성값 간의 상관관계

다양한 방법을 이용하여 측정한 각 물성값은 서로 독립적이기 보다는 타 물성값과 상관관계를 지니고 있다. 최소의 실험으로 다양한 종류의 물성을 예측하기 위하여 〈표 7.9〉에 나타난 각 물성간의 상관관계식을 개발하여 측정된 항목의 물성을 이용하여 측정되지 않은 항목의 물성을 예측할 수 있도록 하였다. 본 도로포장 구조 설계의 콘크리트 재료 물성정량화 연구를 통해 각 물성간의 상관관계를 다음과 같이 제안하였다.

〈표 7.9〉 콘크리트 강도 및 탄성계수간의 상관관계식

| 항목               | kgf/cm <sup>2</sup> 단위                 | MPa 단위                                    | R <sup>2</sup> |
|------------------|----------------------------------------|-------------------------------------------|----------------|
| 압축강도<br>→ 휨강도    | 휨강도<br>=2.508×(압축강도) <sup>0.5</sup>    | 휨강도<br>=0.7851×(압축강도) <sup>0.5</sup>      | 0.867          |
| 압축강도<br>→ 쪼갬인장강도 | 쪼갬인장강도<br>=1.895×(압축강도) <sup>0.5</sup> | 쪼갬인장강도<br>=0.5932×(압축강도) <sup>0.5</sup>   | 0.633          |
| 휨강도<br>→ 쪼갬인장강도  | 쪼갬인장강도<br>=0.757×(휨강도)                 | 쪼갬인장강도<br>=0.757×(휨강도)                    | 0.950          |
| 압축강도<br>→ 탄성계수   | 탄성계수<br>=15.870×(압축강도) <sup>0.5</sup>  | 탄성계수<br>=4968×(압축강도) <sup>0.5</sup>       | 0.859          |
|                  | -                                      | 탄성계수<br>=9733×(압축강도-6.723) <sup>1/3</sup> | 0.905          |

### 7.1.6 포아송 비와 단위중량

콘크리트 슬래브의 포아송비와 단위중량은 KS F 2438 “콘크리트의 탄성계수 시험” 과 KS F 2409 “굳지 않은 콘크리트의 단위용적 질량 및 공기량 시험” 에 의하여 측정 된다. 본 도로포장 구조 설계에서는 실험을 통하여 사용한 굵은 골재의 종류별에 따른 포아송 비와 단위중량을 〈표 7.10〉, 〈표 7.11〉과 같이 제시하였다.

〈표 7.10〉 포아송 비 제안값

| 배합  | 세골재 종류 | 시멘트량 | 범위                  | 측정값   | 제안값   |       |
|-----|--------|------|---------------------|-------|-------|-------|
| 석회암 | 자연사    | 330  | 0.176<br>~<br>0.198 | 0.176 | 0.176 |       |
| 사암  | 자연사    | 330  |                     | 0.176 | 0.176 |       |
| 화강암 | 자연사    | 330  |                     | 0.176 | 0.186 | 0.186 |
|     | 세척사    | 330  |                     | 0.182 |       |       |
|     | 부순모래   | 330  |                     | 0.198 |       |       |
|     | 자연사    | 370  |                     | 0.189 |       |       |
|     | 세척사    | 370  | 0.184               |       |       |       |

〈표 7.11〉 단위중량 제안값

| 배합  | 세골재 종류 | 시멘트량 | 단위중량(t/m <sup>3</sup> ) |              |
|-----|--------|------|-------------------------|--------------|
|     |        |      | 범위                      | 제안값<br>(평균값) |
| 석회암 | 자연사    | 330  | 2.297<br>~<br>2.414     | 2.359        |
| 사암  | 자연사    | 330  |                         | 2.376        |
| 화강암 | 자연사    | 330  |                         | 2.338        |
|     | 세척사    | 330  |                         |              |
|     | 부순모래   | 330  |                         |              |
|     | 자연사    | 370  |                         |              |
|     | 세척사    | 370  |                         |              |
| 평균  |        |      |                         | 2.358        |

## 7.2 새로운 재료에 대한 물성 정량화 방안

현재 콘크리트 포장에 사용되는 재료들이 다양하기 때문에 본 도로포장 구조 설계 개발 연구를 통해서 모든 재료에 대한 물성 자료를 확보하지 못하였다. 현재 도로포장 구조 설계에서 사용하는 재료 이외의 재료를 사용할 경우에 대한 재료 물성 정량화 방안은 다음과 같다.

### 7.2.1 탄성계수

#### (1) 신설포장

〈표 7.12〉는 입력수준에 따른 콘크리트 재료의 탄성계수 산정방법에 대해 정리한 것이다. 〈표 7.12〉의 설계 수준 1에서 직접 측정된 탄성계수나, 입력 수준 2에서 압축강도로부터 산정된 탄성계수의 경우로부터 탄성계수 관계식을 도출할 때, 재령은 3일 이후부터 사용함을 알 수 있다. 실제 도로포장 구조 설계 연구에서는 재령 1일부터 측정하였다. 이에 따라 실험실에서 많은 노력이

수반되었으며, 1일~약 6개월 정도 재령의 시편을 제작하는데 여러 번의 배치가 필요하다. 따라서, 실험결과의 변동성이 크며, 초기치(1일~28일)의 S자 형태 곡선과 장기강도(7일~20년)의 성장곡선을 하나의 곡선으로 설명하기가 어려운 측면이 있다. 따라서 설계 프로그램의 탄성계수 성장곡선을 만드는 데는 AASHTO에서 요구하는 수준이 적절하고 신뢰성이 있는 것으로 판단되어, 1일 데이터를 빼고 관계식을 만들었다.

〈표 7.12〉 설계수준에 따른 탄성계수 산정방법

| 설계 수준 | 단위 (MPa)                                                                                |
|-------|-----------------------------------------------------------------------------------------|
| 1     | 탄성계수시험: 3, 7, 14, 28, 56, 6m<br>$E = E_{28}t / (a + bt)$                                |
| 2     | 압축강도: 3, 7, 14, 28, 56, 6m<br>$E = a_1 \sqrt{f'_c}$ : ACI식<br>$a_1 = 4,968, R2 = 0.859$ |

## (2) 기존 콘크리트 포장의 탄성계수 측정

〈표 7.13〉 설계수준에 따른 기존 콘크리트 탄성계수 추정방법

| 설계 수준 | 단위 (psi)                                                                                                                       |
|-------|--------------------------------------------------------------------------------------------------------------------------------|
| 1     | FWD시험: $E_d(\text{dynamic}) \times 0.8 = E_c(\text{static})$<br>$E_d = E_c \times C$<br>포장상태 C=1.0(양호), 0.42(보통), 0.042(파손 심함) |
| 2     | 코아시편의 압축강도시험: $E = 33\rho^{2/3} \sqrt{f'_c}$                                                                                   |

〈표 7.14〉 FWD로부터 역계산된 PCCP 탄성계수 자료

| 재료            | 단위 psi (괄호 GPa)   |                   |                   | 비고                  |
|---------------|-------------------|-------------------|-------------------|---------------------|
|               | Low               | High              | Mean              |                     |
| PCC           | 3,000,000<br>(21) | 7,500,000<br>(52) | 4,500,000<br>(31) | *High값은 범위를 벗어나는 듯함 |
| Lean Concrete | 500,000<br>(3.4)  | 2,500,000<br>(17) | 1,500,000<br>(10) |                     |

## 7.2.2 압축강도

압축강도는 콘크리트 재료물성의 가장 기본적인 강도 데이터이다. 그러나 포장설계의 설계수준 2 및 3에서는 탄성계수, 휨강도, 쏘갠인장강도를 추정하기 위해서만 필요하다.

## 7.2.3 휨강도

〈표 7.15〉에서는 입력수준에 따른 AASHTO와 본 연구의 PCC 휨강도 산정 방법을 정리하였다.

〈표 7.15〉 설계수준에 따른 휨강도 산정방법

| 설계 수준 | 단위 (MPa)                                                                       |
|-------|--------------------------------------------------------------------------------|
| 1     | MR실험:3 , 7, 14, 28, 56d, 6m ; $MR = MR_{28t}/(a + bt)$                         |
| 2     | 압축강도:3, 7, 14, 28, 56d, 6m ; $MR = a_1 \sqrt{f'_c}$<br>$a_1=0.7851, R^2=0.867$ |

## 7.2.4 쏘갠인장강도

쏘갠인장강도는 JCP의 경우 직접적인 입력 데이터가 아니지만 강도 및 탄성 계수와 의 상관관계식에 사용되고 있다. 그러나 CRCP의 경우에는 직접적인 입력요소가 된다.

### (1) 신설포장

다음 <표 7.16>에는 설계수준에 따른 도로포장 구조 설계의 쏘갠인장강도 산정방법 을 정리하였다.

<표 7.16> 설계수준에 따른 쏘갠인장강도 산정방법

| 설계 수준 | 본 연구<br>(단위 MPa)                                                                                   |
|-------|----------------------------------------------------------------------------------------------------|
| 1     | ft 실험: 3, 7, 14, 28, 56d, 6m; $f_t = f_{t28}t/(a+bt)$                                              |
| 2     | 압축강도: 3, 7, 14, 28, 56d, 6m<br>$f_t = 0.5932 \sqrt{f'_c}$ , R2=0.633<br>$f_t = 0.757MR$ , R2=0.950 |

### (2) 기존 포장의 쏘갠인장강도

<표 7.17> 설계수준에 따른 쏘갠인장강도 산정방법(기존포장)

| 설계 수준 | 단위 (MPa)                                   |
|-------|--------------------------------------------|
| 1     | 코어시편: ft                                   |
| 2     | 코어시편: f'c → ft, $f_t = 0.5932 \sqrt{f'_c}$ |

## 7.2.5 열팽창계수

〈표 7.18〉에서 알 수 있듯이 열팽창계수는 골재에 의한 영향만을 다루고 있다.

〈표 7.18〉 설계 수준에 따른 열팽창계수 산정방법

| 설계 수준 | 열팽창계수 산정방법                              |
|-------|-----------------------------------------|
| 1     | AASHTO TP 60에 의해 측정                     |
| 2     | 골재와 페이스트의 부피 비에 의해 'rule of mixture' 적용 |

## 7.2.6 건조수축변형률

건조수축은 가장 PCC 재료입력변수 중에서 가장 시간이 오래 걸리며 정량키 어려운 측면이 있다. AASHTO 산정방법은 포장연구자들이 연구한 데이터가 아니라 재료연구자들이 제한적인 실험 범위 내에서 만든 순수 이론적-실험적인 공식을 사용하고 있기에 매우 복잡한 형태로 표현되었다.

### (1) 극한 건조수축 변형률

다음 〈표 7.19〉는 입력수준에 따른 AASHTO와 KPRP의 PCC 건조수축변형률 산정 방법을 정리하였다. AASHTO에서는 건조수축시험의 표준조건으로서 40% RH 조건을 제시하고 있으나 ASTM에서는 50% RH를 KS에서는 60%로 지정되어 상호보정이 필요하다. 따라서 AASHTO의 시험방법은 습도조건만을 비교하면 ASTM조건을 기준으로 건조수축이 과대평가될 것이다. 또한 형상비(V/S)가 22.2mm인 표준시편을 사용하므로 인해 표준시편에 비해 더욱 과대평가하게 될 것이다.

〈표 7.19〉 설계수준에 따른 건조수축변형률 산정방법

| 설계 수준 | 산정 방법                                                                           |
|-------|---------------------------------------------------------------------------------|
| 1     | 50-60% RH에서 포장용 슬래브 크기 감안하여 측정                                                  |
| 2     | PCC mix 조건으로부터 계산<br>$\epsilon_{cu} = C_1 C_2 (26w^{2.1} (f'_c)^{-0.28} + 270)$ |

비고) : NCHRP 보고서, 1980.

C1: 시멘트 타입 계수

1.0, 1종 시멘트 (level 2, 3)

0.85, 2종 시멘트 (level 2, 3)

1.1, 3종 시멘트 (level 2, 3)

C2: 양생방법 보정계수

0.75, 스팀 양생 (level 2에서만 사용)

1.0, 수중 양생 (level 2, 3)

1.2, 양생제 살포 (level 2, 3)

w: 물량, lb/ft<sup>3</sup>

## (2) 50% 극한건조수축변형률에 도달한 시간

- 설계수준 1: AASHTO T160시험에서 결정
- 설계수준 2: Not applicable
- 설계수준 3: 35일 사용 (ACI 식)

## (3) 회복성 건조수축변형률

특별히 실험하지 않는 경우 50%를 사용한다.

## (4) 월별 평균 대기습도

EICM 프로그램을 통해 생성한다.

## 7.2.7 단위중량

### (1) 신설포장

〈표 7.20〉 설계수준에 따른 단위중량 산정방법

| 입력수준 | 산정 방법             |
|------|-------------------|
| 1    | 큐빅 시편으로부터 단위중량 측정 |
| 2    | -                 |

### (2) 기존포장

〈표 7.21〉 설계 수준에 따른 단위중량 산정방법(기존포장)

| 입력수준 | 산정방법                   |
|------|------------------------|
| 1    | Nuclear 방법으로부터 단위중량 측정 |
| 2    | -                      |

## 7.2.8 포아송 비

콘크리트 포장에서의 포아송 비의 효과는 크지 않다. 도로포장 구조 설계에서는 암 종별 콘크리트의 포아송 비를 직접 측정하여, 0.176~0.186의 범위로 제시하였다.

## 7.3 설계관련 물성 및 시험

콘크리트 포장 중 줄눈 콘크리트 포장(JRCP), 연속 철근 콘크리트 포장(CRCP), 프리스트레스 콘크리트 포장(PCP)등에서는 철근이 사용된다. 철근은

구조적으로 하중 전달 장치 역할을 하거나 콘크리트와 함께 교통 및 환경 하중을 지지하는 구조적인 역할을 한다.

줄눈 콘크리트 포장의 줄눈은 포장의 팽창과 수축을 수용함으로써 온도 및 습도 등 환경 변화, 마찰 그리고 시공에 의하여 발생하는 응력을 가능한 완화시키기 위하여 설치하는 것이다. 형식상 가로 줄눈, 세로 줄눈, 시공 줄눈으로 나뉘며, 기능상 수축, 팽창 줄눈, 시공 줄눈으로 나뉜다. 줄눈은 가능한 적게 설치하고 또 적정구조로 설치하여 포장공용성과 주행성을 향상시킬 수 있다.

### 7.3.1 철근

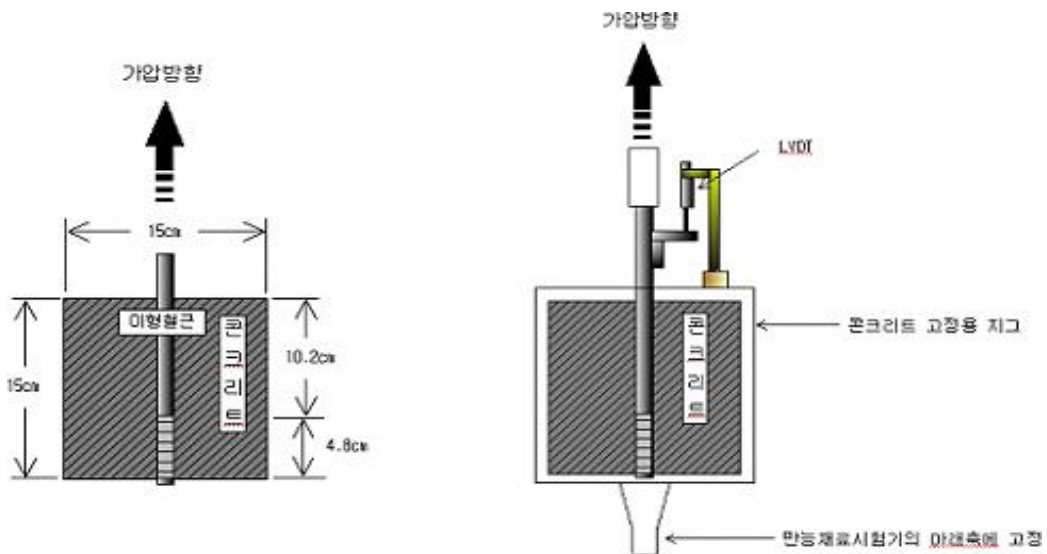
철근은 표면의 요철의 유무에 따라 원형 철근과 이형철근으로 구분된다. 이형 철근에서 공칭지름, 공칭단면적, 공칭 둘레라함은 동일한 길이, 동일한 중량의 원형 철근의 지름, 단면적, 둘레로 환산한 값을 말하며, 이들 값을 설계에 사용한다. 이때 강의 비중은 7.85로 가정한다.

철근의 성질은 항복점과 탄성계수로 대표된다. 철근의 항복점은 인장의 경우나 압축의 경우나 거의 같다. 탄성계수는 모든 철근이 거의 비슷한 값을 나타내며 2,000 ~ 2,200 GPa의 범위에 있다.

콘크리트와 철근과의 부착은 연속 철근 콘크리트나 줄눈 콘크리트에서 중요한 설계 인자이다. 철근과 콘크리트의 부착 특성을 시험방법은 표준인발 시험법을 일반적으로 사용한다. 국내 도로설계시 제시하는 13, 16mm의 미리 준비된 15×15×15cm 큐빅 몰드에 삽입한다. 콘크리트를 2층으로 나누어 타설하고 진동대로 각각 30초간 다짐하여 각 재령에서 미리 제작한 지그를 이용해 콘크리트를 고정한다. 철근을 공칭용량 각각 5톤과 250톤의 만능재료시험기를 이용해 각각 0.3mm/min과 10 ton/min의 하중재하속도로 인발하여 부착강도를 측정하였다.

부착강도를 측정함과 동시에 <그림 7.14>와 같이 콘크리트의 자유단에 변형률게이지(LVDT)를 장착하여 변위를 데이터 로거(Data Logger)로 측정하는 모습이다. 철근과 콘크리트 사이의 부착강도와 함께 철근의 슬립도 중요한 인자가 되며 이는 각 재령별 P- $\delta$  Curve를 통해 부착특성을 알 수 있다.

실제 실험결과, 매립형 타이바의 경우 부착강도가 콘크리트 재령 1일 58 kgf/cm<sup>2</sup>, 7일 101 kgf/cm<sup>2</sup>, 28일 118 kgf/cm<sup>2</sup>로 나타났다. 그리고 밀크그라우팅한 시편의 경우는 평균 46 kgf/cm<sup>2</sup>로 측정되었으며, 이는 매립형 타이바의 재령 28일에서의 부착강도에 40%되는 부착력이다. 그리고 확장부의 타이바 설치는 매립형 타이바와 비교하여 보았을 때 40%정도밖에 그 기능을 발휘 못 하는 것으로 나타났다. 실제 포장의 확장 공사에서 타이바의 설치는 천공한 곳에 타이바를 설치한 후 밀크 그라우팅제를 주입하는 것이 아니라 타이바에 밀크 그라우팅제를 묻혀 천공구멍에 넣어 콘크리트와 밀크그라우팅제의 조밀한 부착이 이루어지지 않았기 때문이다.

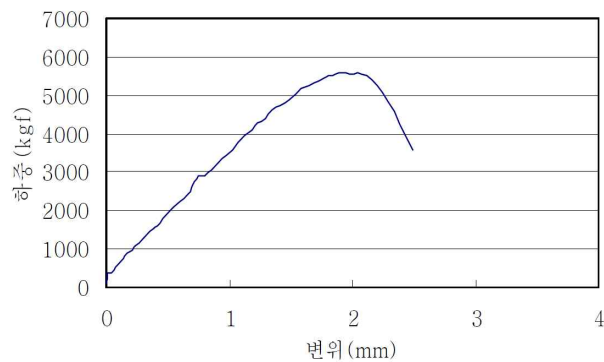


<그림 7.14> Tie-Bar의 콘크리트내 매립모습과 지그 및 LVDT 설치개념도

〈표 7.22〉 부착실험 결과

| 구 분           | 시 편 1    | 시 편 2    | 시 편 3    | 평 균      |
|---------------|----------|----------|----------|----------|
| 매립 재령 1일      | 2970 kgf | 2510 kgf | ×        | 2740 kgf |
| 매립 재령 7일      | 5151 kgf | 5859 kgf | ×        | 5505 kgf |
| 매립 재령 28일     | 6201 kgf | 5572 kgf | ×        | 5887 kgf |
| 천공 밀크그라우팅 28일 | 2587 kgf | 2392 kgf | 2105 kgf | 2361 kgf |

P-δ Curve (재령 28일)



〈그림 7.15〉 재령 28일의 P-δ Curve

Harajli(2002)는 이형철근과 콘크리트간의 부착강도에 대해 다음과 같이 제시하고 있다.

$$\sigma_{\max} = 0.75 \sqrt{f_c} \left(\frac{c}{d_b}\right)^{2/3} \quad \langle \text{식 7.12} \rangle$$

여기서,  $\sigma_{\max}$  = 허용부착응력 (MPa),

$f_c$  =콘크리트강도 (MPa)

$c$  = 피복두께 (cm)

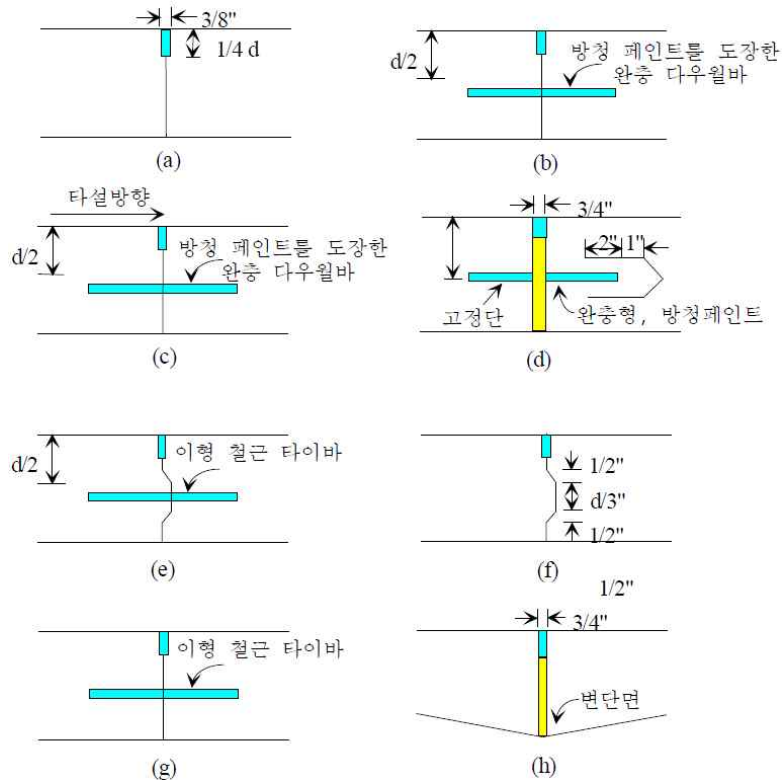
$d_b$ =철근직경 (cm)

### 7.3.2 불연속면

불연속면 설계는 줄눈의 종류, 줄눈 간격, 타이바 및 다웰바, 줄눈재 선정 등을 포함 한다.

#### (1) 줄눈의 종류

줄눈 콘크리트 포장은 초기 콘크리트를 타설한 후 양생이 되는 과정에서 수축을 하게 되고 이로 인해 콘크리트 슬래브는 초기에 균열이 발생한다. 이러한 균열 발생을 방지하기 위해서 인위적으로 줄눈을 만들어 균열을 유도한다. <그림 7.16>은 다양한 줄눈 형태를 나타낸 것이다.



<그림 7.16> 다양한 불연속면 처리 형태

## 가. 수축 줄눈

횡방향 수축 줄눈은 수분, 온도 그리고 마찰에 의해 발생하는 인장 응력을 완화시켜 균열을 억제하기 위하여 슬래브 중앙에서 설치한다. 이러한 수축 줄눈을 설치하지 않는다면 포장의 표층에는 임의의 균열이 발생하게 된다.

## 나. 팽창 줄눈

팽창 줄눈의 주된 기능은 슬래브 크기 변화에 의해 발생하는 압축응력으로 인한 손상이 악화되는 것을 억제하는 것과 인접 구조물로 압력이 전달되는 것을 방지하는데 있다. 일반적으로 팽창 줄눈은 과업의 비용, 작업성, 공용성의 문제들을 고려하여 가능한 적은 수로 설치한다. 팽창 줄눈은 포장의 형식이 변하는 부분, 교차로 등에 설치한다.

## 다. 시공 줄눈

시공 줄눈이란 1일 포설 종료시나 강우 등에 의해서 시공을 중지할 때에 설치하는 줄눈이다. 시공 줄눈의 위치는 수축 줄눈의 예정 위치에 설치하는 것이 좋으며 이 경우는 맞댄형의 수축 줄눈이 된다. 또한 강우와 기계고장 등에 따라 수축 줄눈의 예정 위치에 설치하는 것이 가능하지 않을 때는 수축 줄눈에서 3m 이상 떨어진 위치에 맞댄형의 줄눈 구조로 한다.

근래에 들어 시공 기술의 반전에 따라 수축 균열 폭 유지가 용이하여 팽창 줄눈 간격을 넓게 취하는 경향이며 미국의 경우 교량이나 공법이 다른 포장 접속부 위에는 팽창 줄눈을 시공 마무리 지점에만 설치할 수 있다.

## (2) 줄눈간격

기존에는 현장 경험을 바탕으로 국내 줄눈 콘크리트포장의 줄눈간격은 획일적으로 6m로 시공되었다. 하지만 도로포장 구조 설계에서는 국내의 기후조건과 설계 및 시공 여건을 고려하여 줄눈간격을 조정할 수 있다.

## (3) 줄눈 채움재

줄눈 채움재는 줄눈 콘크리트 포장의 줄눈부에 이물질이나 강우가 들어가는 것을 예방하여 줄눈부에서의 파손을 예방하고 하부 지지력을 증진시키기 위함이다. 줄눈 채움재는 줄눈폭의 변동에 따라 떨어져 나가지 않고 신축할 수 있도록 설계해야 한다. 줄눈 채움재는 콘크리트 슬래브의 수축과 팽창에 따라 동시에 발생하는 줄눈폭의 움직임에 근거하여 결정하고, 안전측을 고려하기 위하여 평균값이 아닌 줄눈폭 움직임의 상위 95% 신뢰도 개념을 적용한 <식 7.13>을 사용한다.

$$\Delta L = C_k \cdot JS \cdot [(\alpha_c \cdot T) + Z] \quad \langle \text{식 7.13} \rangle$$

여기서,  $\Delta L$  = 최대 줄눈폭 (mm)

$C_k$  = 기층재료 종류별 상위 95% 신뢰개념 적용시 보정계수  
(린콘크리트 기층:1.6 , 쇠석 (보조)기층: 2.0, 아스팔트 기층: 2.26)

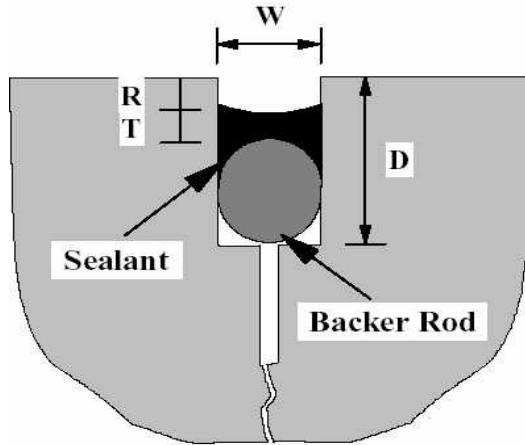
$JS$  = 줄눈 간격 (m)

$\alpha_s$  = 콘크리트 열팽창계수 ( $oC/\mu\text{strains}$ )

$T$  = 슬래브의 연중 최대온도차 ( $^{\circ}C$ )

$Z$  = 콘크리트의 건조수축

〈식 7.13〉에 의하여 산정된 줄눈폭 움직임을 이용하여, 〈그림 7.17〉에 보인 줄눈채움 재를 설계하되 〈표 7.23〉의 실런트 종류별 형상계수를 고려한다.



〈그림 7.17〉 줄눈채움재 단면

〈표 7.23〉 줄눈채움재별 형상계수

| 실런트 종류         | 형상계수(W:T) |
|----------------|-----------|
| 가열 아스팔트        | 1:1       |
| 실리콘            | 2:1       |
| PVC 타르         | 1:2       |
| 폴리우레탄 및 폴리설파이드 | 1:1       |

## (1) 타이바

타이바는 인접한 슬래브 간의 벌어짐을 방지하기 위해 슬래브의 중간 깊이에 매설하는 철근으로 콘크리트와 타이바 간의 부착력이 그 기능을 좌우한다. <표 7.24>는 국내외 타이바의 사양을 정리하였다. 유럽의 경우에 비해 우리나라의 사양을 비교하면 길이는 약간 짧지만 간격은 약간 조밀하다. 독일의 경우는 타이바의 중앙 3등분된 길이에 다웰바처럼 에폭시 코팅 후 사용하여 철근부식을 방지하기도 한다.

〈표 7.24〉 타이바의 사양

| 구분    | 타이바    |          |         |
|-------|--------|----------|---------|
|       | 지름(mm) | 길이(mm)   | 간격(mm)  |
| 한국    | 16     | 800      | 750     |
| 오스트리아 | 14-20  | 700-1000 | -       |
| 벨기에   | 12     | 1000     | 750     |
| 덴마크   | 12     | 1000     | 1000    |
| 핀란드   | 10     | 800      | 1000    |
| 프랑스   | 10     | 600      | 750     |
| 독일    | 16-20  | 600-800  | -       |
| 영국    | 12     | 1000     | 600     |
| 이태리   | 16     | 800      | 750     |
| 네덜란드  | 16     | 800      | -       |
| 노르웨이  | 10     | 500      | 1000    |
| 포르투갈  | 12     | 1000     | 700-800 |
| 스페인   | 12     | 1000     | 1000    |
| 스웨덴   | 12     | 1000     | 1000    |
| 스위스   | 14     | 500      | 1000    |

## 가. 타이바 철근량

국내에서는 콘크리트포장에 사용되는 타이바의 길이를 설계할 때 타이바와 콘크리트 간의 부착응력은 신설구간의 경우 약 9.8MPa이고, 확장부의 경우 신설구간의 약 50~70%을 사용한다. 철근량에 따라 다웰바와 겹쳐 시공되지 않게 간격을 설정하는 것이 일반적이다.

〈식 7.14〉는 슬래브의 마찰력에 저항할 수 있는 슬래브 단위길이당 요구되는 타이바의 철근량을 계산하기 위한 식으로 직경이 정해지면 설치간격을 계산할 수 있다. 철근량은 소수점 첫째자리까지 계산하여 사용한다.

$$A_s = \frac{\gamma_c h L' f_c}{f_s} \times \frac{1}{1000} \quad \langle \text{식 7.14} \rangle$$

여기서,  $A_s$  : 슬래브 단위길이(m) 당 철근의 면적 (mm<sup>2</sup>/m)

$L'$  : 차선 폭 (mm)

$\gamma_c$  : 콘크리트 단위중량 (kN/m<sup>3</sup>)

$f_c$  : 슬래브와 보조기층 간의 마찰계수 (= 1.8 )

$h$  : 슬래브 두께 (mm)

$f_s$  : 철근의 허용응력 (MPa)

## 나. 타이바 길이

콘크리트 슬래브에 충분히 부착되기 위하여 필요한 적절한 길이로 타이바를 시공해야한다. 〈식 7.15〉는 이를 계산하기 위한 식으로 계산하기 위한 식이다. 타이바의 철근량과 길이도 소수점 1자리까지 계산한다.

$$t = 2 \left( \frac{A_1 f_s}{\mu \sum o} \right) \quad \langle \text{식 7.15} \rangle$$

여기서, t : 타이바의 길이 (mm)

$\mu$  : 허용부착응력 (MPa)

A1 : 타이바 단면적 (=  $\frac{\pi d^2}{4}$ ) (mm<sup>2</sup>)

d : 타이바 직경(mm)

$\sum o$  : 타이바 둘레 (=  $\pi d$ ) (mm)

도로포장 구조 설계에서는 위 식을 통하여 타이바 길이가 나왔을 경우 아래의 <표 7.25>을 통하여 타이바의 길이를 변경하여 수정타이바의 길이를 사용할 수 있도록 하였다. 이는 현장 조건 및 줄눈 간격 등이 달라 겹치거나 모자라는 부분을 해결하기 위해서이다.

<표 7.25> 수정 타이바의 길이

| 계산값(mm)<br>수정타이바 길이 | <600 | 600~<br>699 | 700~<br>799 | 800~<br>899 | 900~<br>1000 | 1001<br><계산값 |
|---------------------|------|-------------|-------------|-------------|--------------|--------------|
| 수정 타이바 길이           | 600  | 700         | 800         | 900         | 1000         | 재설계          |

※ 재설계시 : 1. 타이바의 지름 변경 (타이바의 지름을 감소시킨다.)

#### 다. 타이바 간격(mm)

타이바의 설계에 있어 타이바의 간격도 콘크리트 포장의 공용성에 많은 영향을 미친다. 도로포장 구조 설계에서는 각 줄눈 간격별 타이바의 간격을 달리 사용하였으며, 이를 통해 시공성을 향상시켰다. 타이바의 간격은 <식 7.16>을 통해 산정된다. 산정된 타이바의 간격 <표 7.26>에서 구해진 줄눈간격별 적정 타이바 간격을 정하여 수정 타이바의 간격으로 사용한다.

$$F(\text{마찰력}) = W \times h \times L \times J_a \quad \langle \text{식 7.16a} \rangle$$

$$F_a(\text{허용인장력}) = f_s \times A_s \quad \langle \text{식 7.16b} \rangle$$

$$\text{타이바간격} = \frac{F_a}{F} \quad \langle \text{식 7.16c} \rangle$$

여기서, F : 마찰력(kgf/m) = 주행방향 1m당 작용하는 마찰력

W : 콘크리트 단위중량 (kgf/m<sup>3</sup>)

h : 표층두께 (m)

L : 차로폭(m)

f<sub>a</sub> : 마찰계수

F<sub>a</sub> : 허용인장응력(kgf) : 타이바 1개당 받는 인장력

f<sub>s</sub> : 철근의 허용응력(MPa)

A<sub>s</sub> : 타이바 단면적(cm<sup>2</sup>)

〈표 7.26〉 줄눈간격별 수정 타이바 간격 설정

| 줄눈간격 | 수정 타이바 간격(mm) 설정                                                                          |
|------|-------------------------------------------------------------------------------------------|
| 5m   | 경우1. 타이바 계산값 < 700mm : 재설계<br>경우2. 700mm~1049mm : 700mm<br>경우3. 타이바 계산값 > 1050mm : 1050mm |
| 6m   | 경우1. 타이바 계산값 < 700mm : 재설계<br>경우2. 700mm~1049mm : 700mm<br>경우3. 타이바 계산값 > 950mm : 950mm   |
| 7m   | 경우1. 타이바 계산값 < 700mm : 재설계<br>경우2. 700mm~1049mm : 700mm<br>경우3. 타이바 계산값 > 950mm : 950mm   |
| 8m   | 경우1. 타이바 계산값 < 700mm : 재설계<br>경우2. 700mm~1049mm : 700mm<br>경우3. 타이바 계산값 > 950mm : 950mm   |

※ 재설계시 : 1. 타이바의 지름 변경 (타이바의 지름을 감소시킨다.)

#### (4) 다웰바

다웰바는 콘크리트포장의 횡방향 줄눈부에 설치되어 인접한 슬래브 간에 하중을 전달하는 역할을 하며 슬립바(Slip Bar)라고도 한다. <그림 7.18>은 다웰바의 설치도 및 시공 사진을 나타낸 것이다. 다웰바는 다음과 같은 특징을 가진다.

- ① 설계 구조가 간단하고, 설치가 용이하며, 콘크리트 내에 완전 삽입이 가능한 것으로 한다.
- ② 이 장치와 접촉되는 부위의 콘크리트에 과잉 응력을 발생시키지 않고 재하 하중응력을 적절히 분산시킬 수 있어야 한다.
- ③ 가로줄눈부의 가로방향 변위(longitudinal movement)를 구속하지 않아야 한다.
- ④ 실제 통과하게 될 윤하중과 그 통과 빈도에 대하여 역학적으로 안정한 구조이어야 한다.
- ⑤ 부식이 예상되는 지역에서는 부식에 저항할 수 있는 재료이어야 한다.
- ⑥ 하중 전달 장치에는 소용 인장 강도 이상의 품질을 가진 원형 봉강 철근을 사용한다.



(a) 다웰바 설치 도면



(b) 시공된 다웰바

<그림 7.18> 다웰바 설치도 및 시공 사진

팽창줄눈의 다웰바는 슬래브의 두께에 따라 직경 25~32mm, 길이 500mm의 것을 사용하며 끝에 철재(Cap)을 씌운다. 도로포장 구조 설계에서는 하중전달 역할을 하는 다웰바의 적정 간격을 제안하였다. 슬래브의 폭에 따라 <표 7.27>과 같은 간격으로 설치된다. 괄호 안의 숫자는 줄눈에서 가장 가까운 다웰바로 부터 줄눈까지의 거리이고 나머지 숫자는 인접한 다웰바 간의 거리이다. <표 7.28>은 슬래브의 두께에 따른 일반적인 다웰바의 직경, 길이, 설치간격이다. 다웰바의 간격은 <표 7.28>에서 보듯이 동일한 슬래브 내에서도 줄눈 근처로 갈수록 좁아지나 중앙부에서는 300mm로 동일한 값을 사용한다.

<표 7.27> 슬래브 폭에 따른 다웰바 최적배치안

| 슬래브의 폭(m)      |     | 다웰바의 간격(mm)                         | 비고           |
|----------------|-----|-------------------------------------|--------------|
| 2.75           | 주행로 | 200@2 + 250 + 300@4 + 250@2 + 200   | 추월로<br>사용(×) |
| 3.00           | 주행로 | 200@2 + 250@2 + 300@4 + 250@2 + 200 |              |
| 3.25           | 주행로 | 200 + 250@3 + 350@4 + 250@2 + 200   |              |
| 3.50           | 추월로 | 250 + 300@2 + 450@4 + 300@2         |              |
|                | 주행로 | 200 + 250@3 + 400@4 + 250@3         |              |
| 3.75           | 추월로 | 250 + 300@2 + 450@4 + 300@2 + 250   |              |
|                | 주행로 | 200 + 250@3 + 400@4 + 250@3 + 200   |              |
| 4.00<br>(측대포함) | 주행로 | 200 + 250@4 + 400@4 + 250@4         | 추월로<br>사용(×) |
| 4.25<br>(측대포함) | 주행로 | 200 + 250@4 + 400@4 + 250@5         |              |
| 4.50<br>(측대포함) | 주행로 | 200 + 250@4 + 450@4 + 250@5         |              |

<표 7.28> 슬래브 두께에 따른 일반적인 다웰바 설치 기준

| 슬래브 두께(cm) | 다웰바 직경(mm) | 다웰바 길이(mm) | 다웰바 간격(mm) |
|------------|------------|------------|------------|
| 15         | 20         | 460        | 300        |
| 18~20      | 25         |            |            |
| 23~25      | 31         |            |            |
| 30~36      | 38         |            |            |

설치된 다웰바는 개별적으로 작용하는 것이 아니라 하나의 그룹으로 하중전달을 하는 역할을 한다. 이를 다웰바 그룹 액션(Dowel Group Action)이라고 한다. 즉, 적용된 하중하에 있는 다웰바는 보다 적은 양을 받고 있는 다른 다웰바와 함께 하중의 주요부분을 감당하게 된다. 하중이 작용하고 있는 다웰바의 그룹작용은 Friberg에 의해 맨 처음 해석되었다. Westergaard에 의해 제시된 이론해석에 따라 Friberg의 최대 부모멘트(Negative Moment)는 하중으로부터  $1.8l_r$ 의 거리에서 발생한다는 것을 알아냈다. <그림 7.19>는 다웰바 그룹 액션에 대한 범위를 나타낸다.

$$l = \left( \frac{Eh^3}{12 - (1 - \nu^2)k} \right)^{0.25} \quad \langle \text{식 7.17} \rangle$$

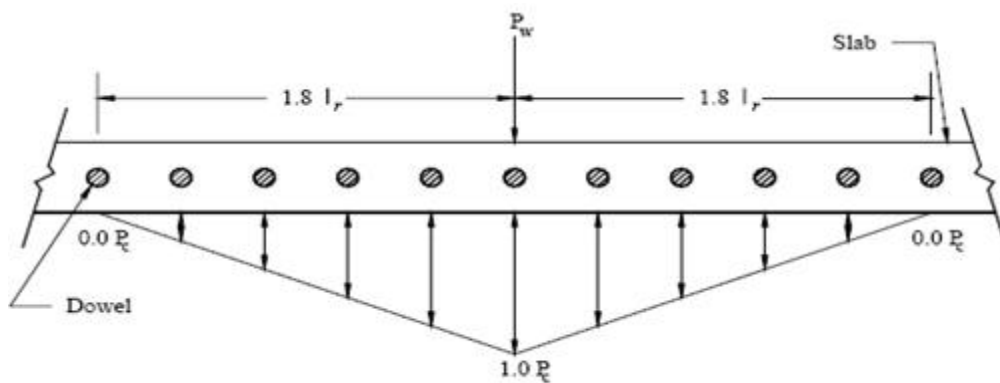
여기서,  $l$  : 상대강성계수

$k$  : 스프링 상수

$E$  : 콘크리트의 탄성계수

$h$  : 콘크리트 슬래브의 두께

$\nu$  : 콘크리트의 포아송비



<그림 7.19> Friberg의 Dowel Group Action

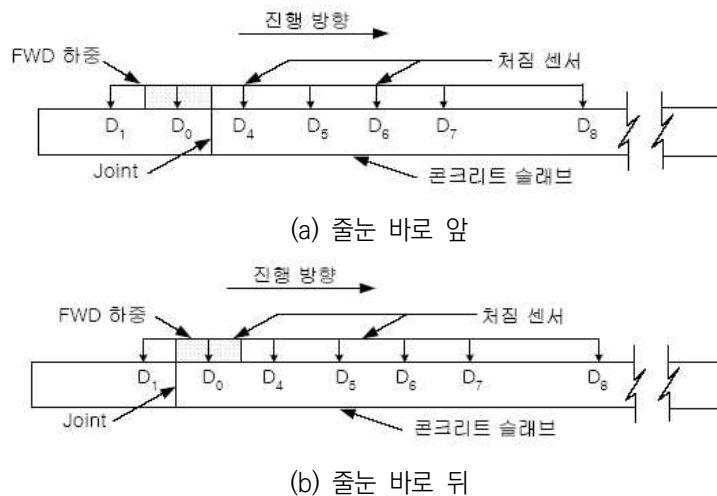
미국의 Tabatabaie는 Friberg의 Dowel Group Action에 대한 유한요소해석 및 실제 도로포장의 처짐의 Data 분석을 통하여 1.01 $l_r$ 가이 범위를 산정하였다. 국내에서도 다웰바의 Dowel Group Action에 대한 범위 산정하여, 다웰바의 규격 및 배치에 대한 검토를 하기 위한 추가 연구를 진행 중에 있다.

## (5) 줄눈부의 하중 전달 효율

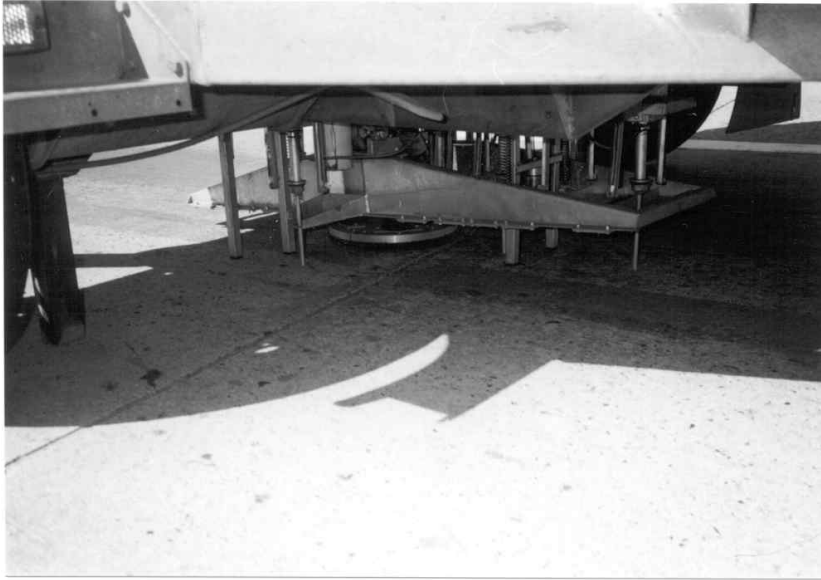
### 가. 하중 전달 계수(LTE : Load Transfer Efficiency)

하중 전달 계수는 줄눈 콘크리트 포장에서 줄눈부의 하중 전달 능력을 측정하는 실험법이다. 방법으로는 현장에서 FWD를 이용하여 추정하는 방법과 실내에서 실험하여 산정하는 방법이 있다. 전자의 경우는 하부구조 및 환경 조건에 따른 하중 전달 효율을 알 수 있는 방법이다. 후자의 경우는 하중전달 장치 성능을 검사하기 위한 목적의 실험이다.

〈그림 7.20〉은 FWD를 이용하여 하중 전달 계수 시험을 할 경우 각 센서의 위치를 나타내는 것이고 〈그림 7.21〉은 줄눈부의 FWD 시험 장면이다.



〈그림 7.20〉 FWD 측정 시 센서의 위치



〈그림 7.21〉 줄눈부의 FWD 측정

1) AASHTO 설계 지침에서의 하중전달효율

AASHTO에서 덧씌우기 공법 적용 전에 기존 포장의 평가에 적용하였던 하중 전달효율을 산정하는 방법으로서 식 (7.18)과 같다.

$$LTE = 100 \times \frac{\Delta u_l}{\Delta l} \times B \quad \langle \text{식 7.18} \rangle$$

여기서,  $\Delta LTE$  : 하중전달효율 (Load Transfer Efficiency)

$\Delta u_l$  : 하중이 재하되지 않은 슬래브의 처짐량

$\Delta l$  : 하중이 재하된 슬래브의 처짐량

B : 측정에 따른 슬래브 기울임 보정계수

$$B = \frac{d_0}{d_{12}} \quad \langle \text{식 7.19} \rangle$$

여기서,  $d_0$  : 슬래브 중앙에서의 하중재하 지점의 처짐량

$d_{12}$  : 슬래브 중앙에서의 하중재하 지점으로부터 30cm 떨어진 지점의 처짐량

## 2) Teller와 Sutherland 산정법

줄눈부 하중전달의 평가를 처짐비를 이용하여 나타내고 있다.

$$LTE = 100 \times \frac{2W_u}{W_u + W_l} \quad \langle \text{식 7.20} \rangle$$

여기서,  $W_u$  : 하중이 재하되지 않은 슬래브에서의 처짐

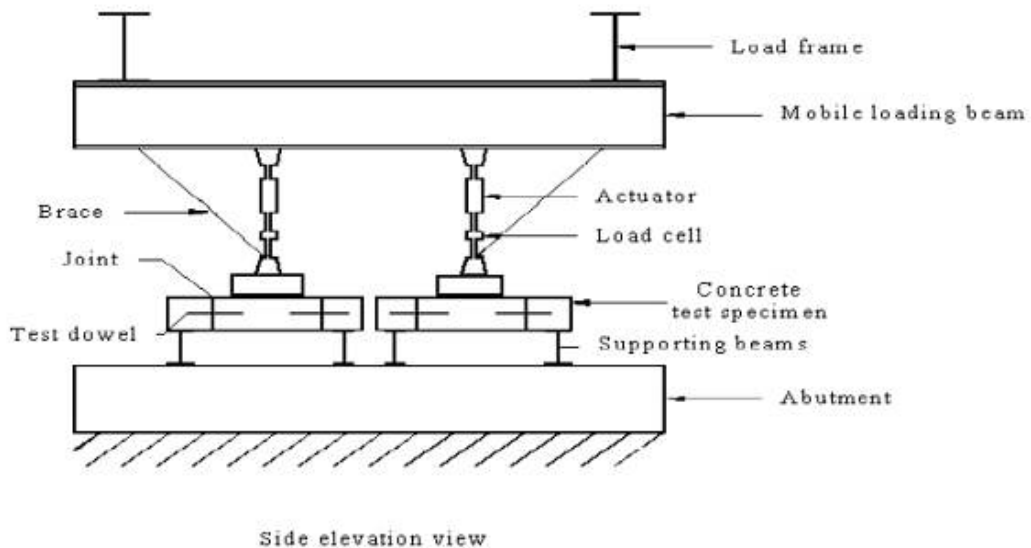
$W_l$  : 하중이 재하된 슬래브에서의 처짐

## 3) 하중을 이용한 방법

하중을 이용하는 방법은 <그림 7.22>와 같이 실내에서 슬래브에 하중을 재하하고 인접 슬래브에서 하중 측정 장치를 이용하여 그 크기를 측정한다. <식 7.21>과 같이 그 하중들의 비를 하중전달효율로 정의한다.

$$LTE = \frac{P_t}{P_w} \times 100 \quad \langle \text{식 7.21} \rangle$$

여기서,  $P_t$  : 재하하중,  $P_w$  : 전달된 하중



<그림 7.22> 실내의 하중전달 장치 성능평가 실험 개념도

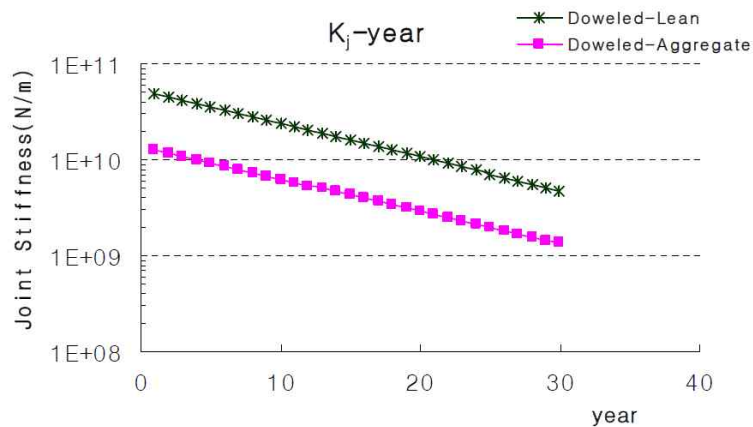
〈표 7.29〉 88 고속도로 하중전달효율(LTE)

|         |    | AASHTO |    | Teller |  |
|---------|----|--------|----|--------|--|
| 지점 1    |    |        |    |        |  |
| 하중(lbs) | 평균 | 표준 편차  | 평균 | 표준 편차  |  |
| 11000   | 81 | 9      | 89 | 6      |  |
| 9000    | 81 | 9      | 89 | 6      |  |
| 5500    | 83 | 9      | 90 | 6      |  |
| 지점 2    |    |        |    |        |  |
| 11000   | 81 | 7      | 89 | 8      |  |
| 9000    | 81 | 8      | 89 | 8      |  |
| 5500    | 81 | 10     | 89 | 10     |  |
| 지점 3    |    |        |    |        |  |
| 11000   | 66 | 19     | 78 | 22     |  |
| 9000    | 65 | 19     | 77 | 22     |  |
| 5500    | 66 | 20     | 77 | 22     |  |
| 지점 4    |    |        |    |        |  |
| 11000   | 72 | 16     | 83 | 18     |  |
| 9000    | 72 | 17     | 82 | 19     |  |
| 5500    | 71 | 18     | 82 | 21     |  |

〈표 7.30〉은 88고속도로에서 측정한 FWD 자료를 이용하여 AASHTO 방법과 Teller 방법으로 계산한 하중전달효율을 도시한 것이다. 전체적으로 Teller 방법으로 평가한 것이 AASHTO 방법으로 계산한 결과보다 더 큰 것으로 나타났다.

#### 나. Joint Stiffness 산정식 개발

줄눈 콘크리트 포장에 있어 줄눈부의 하중전달은 다웰바, 골재맞물림, 하부 지반의 강성의 영향을 받는다. 도로포장 구조 설계에서는 하중전달 부분설계에 줄눈강성( $K_j$  : Joint Stiffness) 및 LTE 를 적용하여 그 영향을 고려하고 있다. 국내 연구진은 줄눈부의 강성 및 하중전달률이 시간에 따라 저감할 것으로 생각하였다. 이러한 가정의 검증을 위해 위해 FWD(Falling Weight Deflectometer)를 이용하여 현장에서 손쉽게 구할 수 있는 하중전달율(LTE)에 대해 하부지반 및 다웰바 설치유무에 따른 국내 고속도로 및 시험도로의 데이터를 수집하였다. 또한 국내 포장조건을 고려한 구조해석자료를 통해 하부지반 조건 및 다웰바 유무에 따른 줄눈부의 줄눈강성(Joint Stiffness)(N/m)를 산정하였다. 그 결과, <그림 7.23>과 같이 공용 연수가 증가할수록 줄눈부의 강성이 감소하는 것으로 나타났다. 이에 근거하여 <표 7.31>와 같이 현장의 하중전달율 데이터 및 다웰바 유무, 하부지반 조건별 영향인자에 대해 온도 및 재령을 고려한 국내조건에 적합한 최종 줄눈강성 및 하중전달효율을 산정하였다.



<그림 7.23> 공용 연수에 따른 줄눈부 강성 저감도 평가 결과

〈표 7.30〉 최종 Joint Stiffness 산정식

| 구 분                                       |              | 최종 Joint Stiffness 산정식                                                                                                                                                                                                                                                                                                                                           |
|-------------------------------------------|--------------|------------------------------------------------------------------------------------------------------------------------------------------------------------------------------------------------------------------------------------------------------------------------------------------------------------------------------------------------------------------|
| D<br>o<br>w<br>n<br>e<br>d                | Lean<br>보조기층 | $K_{J_{doweled-Lean}} (N/m) = 33678 \times e^{0.174 \times LTE(\%)_{doweled-Lean}}$                                                                                                                                                                                                                                                                              |
|                                           |              | $LTE(\%)_{doweled-Lean} = LTE_0(\%) - 0.54 \times year(\text{재령})$ <p>단, <math>LTE(\%) = \text{Min}[40\%]</math><br/> <math>LTE_0(\%) = 80.8 + 0.826 \times Temp</math> Temp &lt; 20°C 일 때<br/>                     여기서, <math>LTE_0(\%) = \text{초기하중전달율}</math><br/>                     Temp = 슬래브 온도</p>                                                      |
|                                           | 쇄석<br>보조기층   | $K_{J_{doweled-Agg}} (N/m) = 22820 \times e^{0.1427 \times LTE(\%)_{doweled-Agg}}$                                                                                                                                                                                                                                                                               |
|                                           |              | $LTE(\%)_{doweled-Agg} = LTE_0(\%) - 0.54 \times year(\text{재령})$ <p>단, <math>LTE(\%) = \text{Min}[20\%]</math><br/> <math>LTE_0(\%) = 65.8 + 1.53 \times Temp</math> Temp &lt; 20°C 일 때<br/> <math>LTE_0(\%) = 96.4(\%)</math> Temp ≥ 20°C 일 때<br/>                     여기서, <math>LTE_0(\%) = \text{초기하중전달율}</math><br/>                     Temp = 슬래브 온도</p> |
| U<br>n<br>d<br>o<br>w<br>e<br>l<br>e<br>d | Lean<br>보조기층 | $K_{J_{Undoweled-\le an}} (N/m) = 10.34 + 2.34 \times Temp(\text{슬래브 온도})$ <p>단, <math>LTE(\%) = \text{Min}[40\%]</math></p>                                                                                                                                                                                                                                     |
|                                           | 쇄석<br>보조기층   | $K_{J_{Undoweled-\le an}} (N/m) = 19.54 + 1.94 \times Temp(\text{슬래브 온도})$ <p>단, <math>LTE(\%) = \text{Min}[20\%]</math></p>                                                                                                                                                                                                                                     |

## 부록 8. 시멘트 콘크리트 열팽창계수 측정 방법(안)

### 8.1 적용 범위

이 규격은 시멘트 콘크리트의 선팽창률을 강제프레임(Rigid Frame)을 이용하여 측정하는 방법에 대하여 규정한다.

### 8.2 인용 규격

인용 규격은 다음과 같다.

KS A 0021 수치의 맞음법

KS C 1602 열 전 대

KS C 1606 온도의 전기적 측정 방법

### 8.3 정의

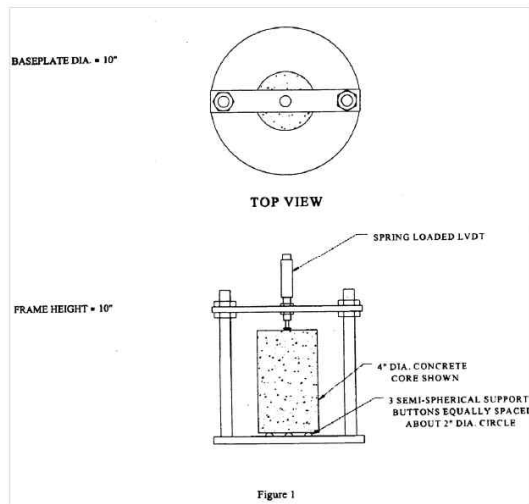
이 규격에서 사용하는 주된 용어의 정의는 다음과 같다.

- 1) 길이 변화율 : 재료의 온도를 변화시켰을 때, 그 온도 범위에서 재료의 길이 변화량과 실온에 대한 길이의 비
- 2) 선팽창률 : 재료의 온도 변화와 길이 변화의 관계가 직선으로 나타날 때, 이 범위의 길이 변화율을 온도변화로 나눈 값 또는 직선 기울기를 실온에 대한 길이로 나눈 값
- 3) 평균 선팽창률 : 재료의 온도 변화와 길이 변화량의 관계가 직선으로 나타나지 않는 경우의 온도사이에서의 변화율을 그 2점 사이의 온도차로 나눈 값

## 8.4 측정 장치

측정 장치는 <그림 8.1>과 같이 강체프레임(rigid frame), 온도 조절 수조, 변위 계측기, 온도 계측기 등으로 구성되고 다음과 같다.

- 1) 온도 조절수조 : 온도 조절수조는 정해진 승온 냉각 기능이 부착되고 10~50℃의 온도 범위를 가지며 0.1℃의 단위로 온도 조절이 가능한 것을 이용한다.
- 2) 강체프레임(Rigid Frame) : 재료의 열에 의한 길이 변화를 지그를 매개로 하여 변위계로 측정하는 것으로 강체프레임과 강체프레임에 장착된 변위계 및 지그로 구성하고 각각 다음과 같다.
  - ① 강체프레임(Rigid Frame) 온도의 변화에 거의 변형을 하지 않는 invar (불변강으로서 강철과 니켈의 합금)를 강체프레임 재료로 사용한다.
  - ② 변위계 방수 기능이 되어져 있는 차동 트랜스형 변위계 등을 이용하고 0.00025mm의 정밀도로 길이 변화를 측정할 수 있는 것으로 한다.
  - ③ 지그 시료의 변위량을 변위계에 전달하는 것으로 강체프레임과 같은 재료로 제작한다.
- 3) 온도 측정기 : 온도 측정기는 KS C 1606에 규정하는 B급 측정 방식 또는 이것에 준한 측정 방식을 이용한다. 온도 측정에는 측정 온도에 견디는 것으로 KS C 1602에 규정하는 T열전대 또는 K열전대 및 그것과 동등 이상으로 교정한 것을 사용한다.



<그림 8.1> 측정 장치

## 8.5 시료

- 1) 시료의 채취 시료는 길이 방향의 양 끝을 평행하고, 평활하게 마무리한 각기둥 또는 원기둥으로 한다. 그 길이는 약  $180\pm 2\text{mm}$ , 지름은  $100\text{mm}$ 로 하는 실린더 및 코어 시편을 사용한다.
- 2) 시료의 상태 조절 시료는 측정에 앞서 온도  $23\pm 2^\circ\text{C}$ 의 석회수에 완전히 침수하여 48시간 이내로 포화시킨다.

## 8.6 측정 순서

- 1) 강체프레임(Rigid Frame)을 온도 조절수조안에 설치 후 물을 채우고 4개의 온도센서를 수조안에 설치한다. 변위계와 지그의 달라붙음을 방지하기 위해 각각의 선단에 실리콘 수지를 도포하여 얇은 막을 생성시킨다.
- 2) 포화탱크(시료를 포화시키기 위한 시료저장고)로부터 시료를 꺼내어 상온에서 시편의 길이를  $0.1\text{mm}$ 의 정밀도로 측정한다. 측정 후 시편을 강체프레임(Rigid Frame)에 정치한다.
- 3) 수조안의 물의 온도를  $10\pm 1^\circ\text{C}$ 로 맞춘 후 시편의 온도가 수조의 온도와 같아질 때까지 유지시킨다.
- 4) 온도센서의 온도를  $0.1^\circ\text{C}$ 의 정밀도로 측정하고  $0.00025\text{mm}$ 의 정밀도로 변위를 측정한다. 이 때의 온도와 변위를 시작 값(initial readings)으로 기록한다.
- 5) 수조안의 물의 온도를  $50\pm 1^\circ\text{C}$ 로 맞춘 후 시편의 온도가 수조의 온도와 같아질 때까지 유지시킨다.
- 6) 5)와 같은 방법으로 온도와 변위를 측정하고 이 때의 온도와 변위(second readings)를 기록한다.
- 7) 수조안의 물의 온도를  $10\pm 1^\circ\text{C}$ 로 맞춘 후 시편의 온도가 수조의 온도와 같아질 때까지 유지시킨다.

8) 4)와 같은 방법으로 온도와 변위를 측정하고 이 때의 온도와 변위(final readings)를 기록한다.

## 8.7 결과의 산출

선팅창률 또는 평균 선팅창률은 다음 식에 따라 산출하고, KS A 0021에 따라 유효숫자 두 자리로 나타낸다.

$$CTE = (\Delta L_o / \Delta L_o) / \Delta T \text{ <식 8.1>}$$

여기서, CTE : 선팅창률 또는 평균 선팅창률( )

$\Delta L_a$  : 시험동안 시편의 실제 길이 변화량(= $\Delta L_m + \Delta L_f$ )(mm)

$\Delta L_m$  : 변위계에 의한 길이변화량(mm)

$\Delta L_f$  : 측정장치에 의한 교정값(mm)[=  $C_f \times L_o \times \Delta T$ ](mm)]

$C_f$  : 측정장치의 길이변화에 대한 보정계수

$L_o$  : 상온에서 측정한 시편의 길이(mm)

$\Delta T$  : 온도 변화량(4개의 온도센서의 평균값) $^{\circ}\text{C}$ (온도의 증가=+, 온도의 감소=-)

팽창률(CTE1)에 대한 계산은 initial 과 second reading로부터 계산되어지며 수축률(CTE2)에 대한 계산은 second 와 final readings로부터 계산되어진다. 선팅창률 또는 평균 선팅창률(CTE)은 팅창률과 수축율의 차이가 내에 들어 갈 때까지 실험하며 두 값의 평균으로부터 구할 수 있다. 즉,  $CTE = (CTE1 + CTE2) / 2$ 이다.

## 8.8 길이 변화량의 교정 방법

길이 변화량의 교정 방법에 대하여 규정한다. 변위계의 지시값에는 시편의 길이 변화 외에 측정 장치의 변형 등이 포함되어 있다. 따라서 보다 엄격하게 길이

변화량을 구하고자 할 때는 교정할 필요가 있다. 이 교정값은 표준 시료를 이용하여 다음과 같은 순서로 구한다. 표준 시료에는 측정 시료의 선팅창률이 거의 같은 값을 가진 것을 사용한다.

측정장치의 보정계수는 다음과 같다.

$$C_f = \Delta L_f / L_{cs} / \Delta T \text{ <식 8.2>}$$

측정장치의 길이변화량은 다음과 같다.

$$\Delta L_f = \Delta L_a - \Delta L_m \text{ <식 8.3>}$$

기지의 열팽창계수를 통한 시편의 길이변화량은 다음과 같다.

$$\Delta L_a = L_{cs} \times a_c \times \Delta T \text{ <식 8.3>}$$

여기에서,  $\Delta L_f$  : 시험동안 측정장치의 길이 변화(mm)

$L_{cs}$  : 상온에서 측정한 표준 시편의 길이(mm)

$\Delta T$  : 온도 변화량(°C)(온도의 증가=+, 온도의 감소=-)

$\Delta L_a$  : 시험동안 표준 시편의 길이 변화량(mm)

(기지의 열팽창계수를 통한 시편의 길이변화량)

$\Delta L_m$  : 시험동안 측정한 표준 시편의 길이 변화량(mm)

(실험을 통한 표준 시편의 길이변화량)

보다 엄격한 결과를 원하고자 한다면 적어도 3번 이상의 실험을 통해 보정계수를 적용하는 것이 바람직하다.

## 8.9 보고

측정 결과는 다음 항목에 대해 보고한다.

- 1) 시료의 재료명
- 2) 시료의 치수, 밀도
- 3) 시료의 선펡창률 또는 평균 선펡창률 및 3개의 평균값
- 4) 측정 온도 범위, 필요에 따라 온도와 길이 변화율의 관계도
- 5) 측정 연월일
- 6) 측정 기관명 및 측정 실시자

## 부록 9. 시멘트 콘크리트 건조수축 측정 방법(안)

### 9.1 적용 범위

이 시험방법은 모르타르 공시체 또는 시멘트 콘크리트 공시체의 길이 변화를 9.1~9.3에서 콤퍼레이터 방법, 콘택트 게이지 방법 또는 다이얼 게이지 방법 중 어느 방법에 따라 측정하는 시험 방법에 대하여 규정한다.

### 9.2 인용규격

관련 규격은 다음과 같다.

KS B 5206 0.01mm 눈금 다이얼 게이지

KS B 5207 0.001mm 눈금 다이얼 게이지

KS L 5105 수경성 시멘트 모르타르의 압축 강도 시험 방법

### 9.3 종류

시험방법의 종류는 다음과 같다.

#### 9.3.1 공시체의 측면 길이 변화를 측정하는 방법

- 1) 현미경을 부착한 콤퍼레이터를 이용하는 방법(콤퍼레이터 방법)
- 2) 콘택트 스트레인 게이지(이하 콘택트 게이지라 한다)를 이용하는 방법(콘택트 게이지 방법)

## 9.3.2 공시체의 중심축의 길이 변화를 측정하는 방법

1) 다이얼 게이지를 부착한 측정기를 이용하는 방법(다이얼 게이지 방법)

## 9.3.3 시험용 기구

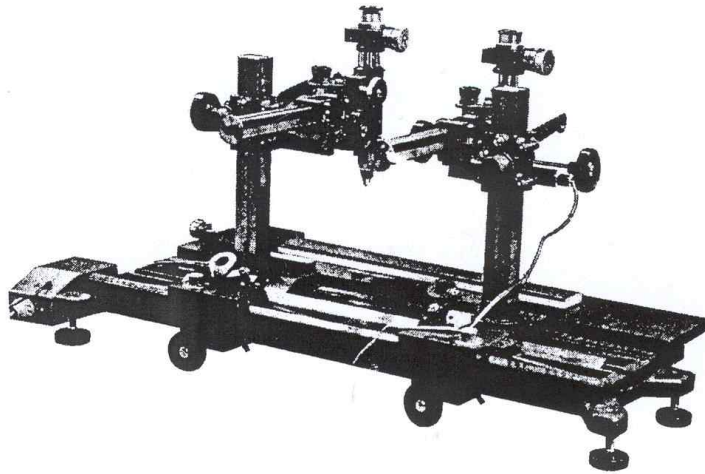
### (1) 콤퍼레이터 방법

#### 가. 포선용 젓빛 유리

공시체에 파묻거나 붙여서 측정용 표선을 새긴 젓빛 유리로서, 그 가로 세로의 치수가 모르타르인 경우, 10×10mm, 시멘트 콘크리트인 경우 약 15×15mm이며, 두께가 각각 1~2mm로서, 표면은 평활하고 이면은 거친 면을 가진 것이어야 한다.

#### 나. 각선기

공시체에 부착한 2매의 젓빛 유리표면에 각각 1개의 직선을 가늘게 그어, 그 직선들이 서로 평행하며, 그 선간 거리가 기준 길이(2.5절 기준 길이 참조)가 될 수 있도록 선을 그을 수 있는 것이어야 한다. <그림 9.1>은 각선기의 보기를 나타낸 것이다.



〈그림 9.1〉 각선기

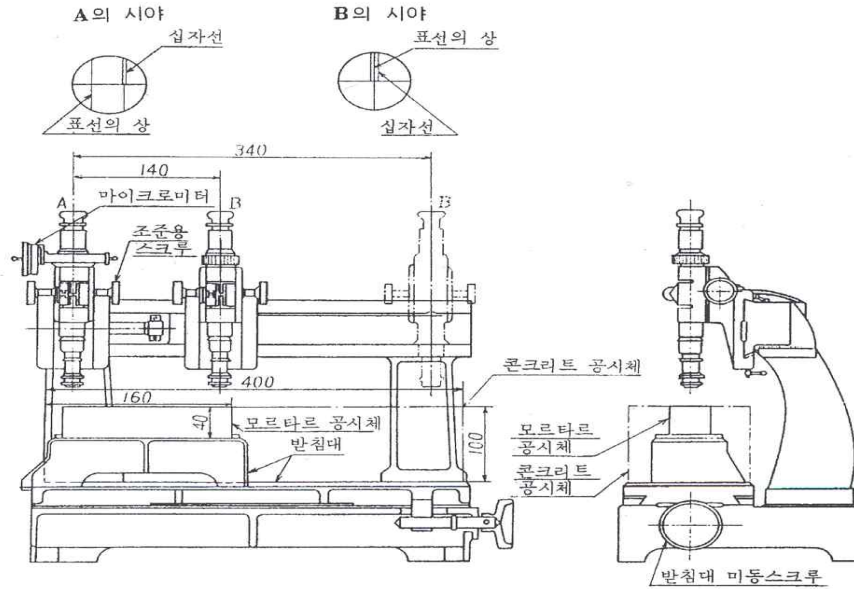
#### 다. 측정기

측정기에는 2개의 현미경이 있으며, 그 중 1개는 마이크로미터가 붙어 있고, 마이크로미터의 십자선과 공시체에 부착한 젓빛 유리 위에 그린 선을 이치시킴으로써, 마이크로미터로 선간 거리를 읽을 수 있는 구조의 것으로 다음의 조건을 구비하고 있어야 한다.

- 1) 공시체 받침대는 공시체의 길이 변화를 측정할 경우, 공시체를 항상 장치의 동일 위치에 정지할 수 있고, 무거운 공시체에 대해서도 변형하지 않는 충분한 강성을 가져야 한다.
- 2) 2개의 현미경 중, 하나는 최소 눈금이  $0.001 \sim 0.005\text{mm}$ 의 접안 마이크로미터를 구비한 현미경(A 현미경), 다른 하나는 배율이  $30 \sim 100$ 의 것으로 젓빛 유리 위의 선을 선명하게 볼 수 있는 현미경(B 현미경)이어야 한다.
- 3) A 현미경은 각 공시체 길이의 어느 정도의 변화에 대해서, 쉽게 측정할 수 있는 측정 범위를 가져야 한다.
- 4) 현미경간 거리를 쉽게 검정할 수 있는 표준자를 구비하고 있어야 한다.

〈그림 9.2〉는 콤퍼레이터 방법의 측정기 보기를 나타낸 것이다.

단위 : mm



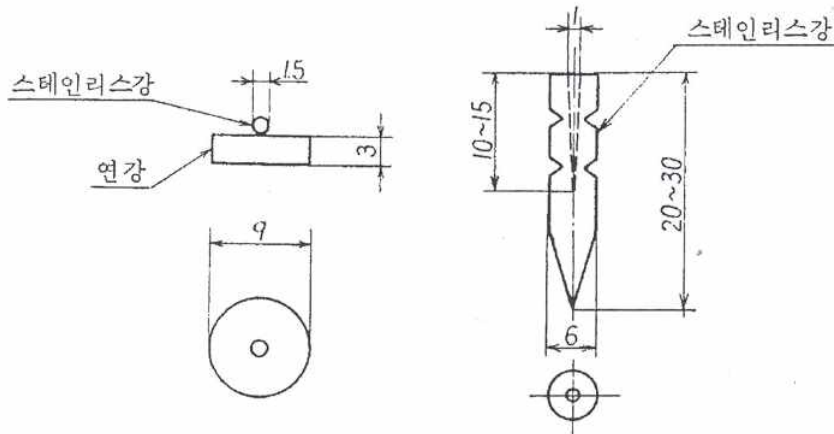
〈그림 9.2〉 콤퍼레이터 방법의 측정기

## (2) 콘택트 게이지 방법

### 가. 게이지 플러그

공시체에 파문거나 붙여서 공시체의 길이 변화를 측정하기 위한 표점으로 정할 수 있는 것으로서, 녹이 슬지 않는 금속재여야 한다. 〈그림 9.3〉은 콘택트 게이지 방법에 의한 게이지 플러그 보기를 나타낸 것이다.

단위 : mm



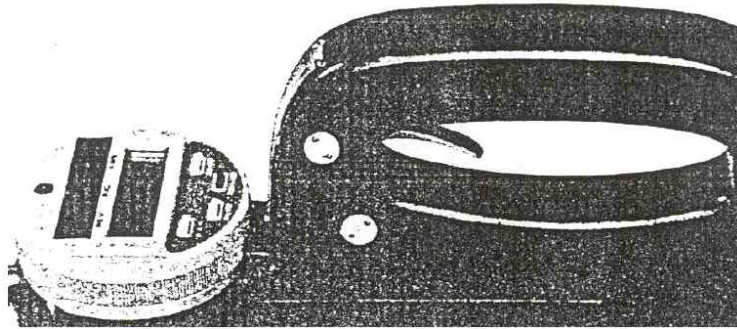
〈그림 9.3〉 콘택트 게이지 방법에 의한 게이지 플러그

## 나. 측정기

측정기는 게이지 플러그에 붙여 부착되어 있는 다이얼 게이지의 눈금을 읽을 수 있는 구조로서, 다음의 조건을 구비한 것이어야 한다.

- 1) 측정을 반복할 경우, 항상 일정한 상태로 측정할 수 있어야 한다.
- 2) 각 공시체의 플러그 간의 거리에 다소 차이가 있어도, 측정이 쉬운 측정 범위를 가지고 있어야 한다.
- 3) 부착 다이얼 게이지는 KS B 5206 또는 KS B 5207의 규격에 맞는 것이어야 한다.
- 4) 측정기의 다리는 간격을 쉽게 검정할 수 있는 표준자를 구비하고 있어야 한다.

〈그림 9.4〉는 콘택트 게이지 방법의 측정기 보기를 나타낸 것이다.

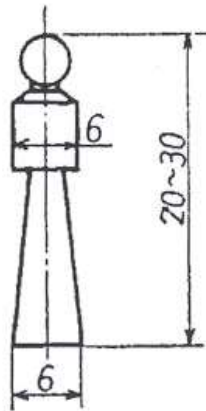


〈그림 9.4〉 콘택트 게이지 방법의 측정기

### (3) 다이얼 게이지 방법

#### 가. 게이지 플러그

게이지 플러그 공시체에 파문어서 공시체의 길이 변화를 측정하기 위한 표점으로 정하는 것으로서, 녹이 슬지 않는 금속재의 것이어야 한다. 〈그림 9.5〉는 게이지 플러그의 보기를 나타낸 것이다.

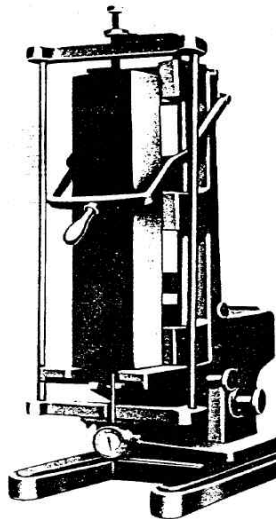


〈그림 9.5〉 다이얼 게이지 방법용의 게이지 플러그 (단위 : mm)

## 나. 측정기

측정기는 다이얼 게이지를 부착한 공시체 정치용 틀을 주 몸체로 하고, 필요에 따라 받침대를 두어, 공시체 정치용 틀에 공시체를 정치하거나, 받침대로서 지지된 공시체에 공시체 정치용 틀을 설치하여, 다이얼 게이지의 눈금을 읽을 수 있는 구조로서, 다음의 조건들을 구비하여야 한다.

- 1) 공시체의 받침대는 공시체를 길이 방향으로 연직 또는 연직에 대하여 일정한 경사를 유지하여 지지할 수 있고, 공시체의 길이를 측정함에 있어, 공시체가 움직이지 않도록 할 수 있는 장치이어야 한다.
- 2) 공시체의 정치용 틀은 공시체의 길이 변화를 측정할 경우, 공시체 정치용 틀의 접점과 다이얼 게이지의 스피들 앞끝을 잇는 축선을 공시체 양 끝의 게이지 플러그를 잇는 축선에 일치시킬 수 있고, 측정을 반복할 경우에도 항상 일정한 상태로 측정할 수 있어야 한다.
- 3) 부속 다이얼 게이지는 KS B 5206 또는 KS B 5107의 규정에 맞는 것이어야 한다. <그림 9.6>은 다이얼 게이지 측정기의 보기를 나타낸 것이다.



<그림 9.6> 다이얼 게이지 방법의 측정기

## 9.4 공시체

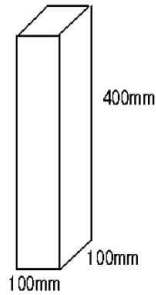
### 9.4.1 표준 공시체의 치수

공시체의 치수는 원칙적으로 모르타르인 경우  $4 \times 4 \times 16\text{cm}$ , 시멘트 콘크리트의 경우 나비는 높이와 같이하되 굵은 골재의 최대 치수의 3배 이상이며, 길이는 나비 또는 높이의 3.5배 이상으로 한다. 굵은 골재의 최대 치수가  $30\text{mm}$  이하인 경우 원칙적으로  $10 \times 10 \times 40\text{cm}(50\text{cm})$ 로 한다.

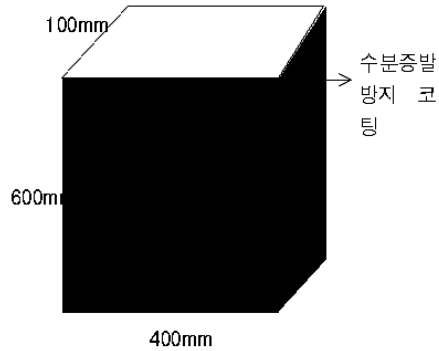
### 9.4.2 포장시험용 공시체

시험체 제작 건조수축 시험에서는 실제 구조물의 슬래브 판의 건조수축 거동과 동일한 조건으로 하고, 원하는 면으로만 수분 증발을 할 수 있도록 수분증발 방지 코팅재료를 도포한다. 수분증발 방지 코팅재로서는 U&V-H(A,B)를 사용하며, 이는 시멘트 콘크리트 시편이 건조되지 않은 상태에서 도포를 하기 때문에 수중접착 에폭시를 사용한 것이다. 코팅시 U&V-H(A,B)를 브러쉬를 이용하여 코팅면에 골고루 도포한다. 그리고 여기서 주의할 사항은 코팅 수명이 되기 1개월 전에 시편에 재코팅을 실시하여야 한다.

<그림 9.7>은 수축 측정용 표준 시편( $V/S=22.22$ )을 나타낸 것이고 <그림 9.8>은 도로포장용 시멘트 콘크리트 슬래브와 동일한 조건을 위해 2면에서만 수분 증발이 일어나도록 4면을 코팅처리한 시편( $V/S=300$ )을 나타낸 그림이다.



〈그림 9.7〉 표준시편



〈그림 9.8〉 도로포장용 시편

### 9.4.3 공시체의 개수

공시체의 개수는 동일 조건의 시험에 대해 3개 이상으로 한다.

### 9.4.4 공시체의 보존

보존 기간 중, 공시체는 젓빛 유리 또는 게이지 플러그를 손상시키지 않도록, 또한 공시체 주변의 환경 조건이 같아서, 공시체 개개의 보존 조건도 동일하게 하여 각 공시체의 주변은 모르타르인 경우 1cm 이상, 시멘트 콘크리트인 경우 약 2.5cm 이상의 간격을 두어야 한다.

각 공시체를 지지하는 곳의 위치는 공시체를 2곳에서 지지하였을 때 공시체의 자중에 의해 공시체에 생기는 정부의 최대 힘 모멘트가 거의 동등하도록 한다. 모르타르 공시체의 경우 공시체의 양끝으로부터 약 3cm, 시멘트 콘크리트의 공시체 10×10×40cm의 경우는 양끝에서 약 8cm로 한다.

## 9.5 기준 길이

- 1) 미리 정한 표선 또는 표점 간의 거리를 기준 길이라고 한다. 다이얼 게이지 방법의 경우는 게이지 플러그의 안측 끝면 간의 거리를 기준 길이로 한다.
- 2) 시멘트 콘크리트 공시체 경우의 기준 길이는 굵은 골재의 최대 치수 및 6.규정을 종합 고려해서 정한다.
- 3) 시멘트 콘크리트 공시체 경우의 기준 길이는 굵은 골재 최대 치수의 4 배 이상으로 한다.
- 4) 기준 길이는 콤파레이터 또는 다이얼 게이지의 최소 눈금이 0.001mm의 경우 10cm 이상, 최소 눈금이 0.01mm의 경우 20cm 이상으로 한다.
- 5) 최소 눈금이 0.001mm의 경우 10cm - 최소 눈금이 길이 변화율로서 0.001% 이하에 상당한다.
- 6) 최소 눈금이 0.01mm의 경우 20cm - 최소 눈금이 길이 변화율로서 0.005% 이하에 상당한다.

## 9.6 젓빛 유리 또는 게이지 플러그의 부착 방법

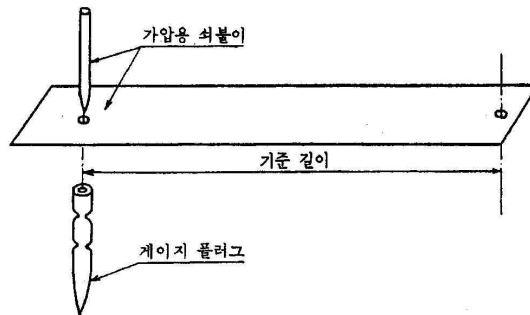
### 9.6.1 콤파레이터 방법의 젓빛 유리

표선용 젓빛 유리는 공시체 측면의 중심선 상의 양끝으로부터 젓빛 유리의 표선까지의 거리가 모르타르 공시체의 경우 8mm 이상, 시멘트 콘크리트 공시체의 경우 25mm 이상이 되도록 부착한다. 부착 방법은 몰드 내부모르 유토 또는 그리스 등으로 접착해 놓고 모르타르 또는 시멘트 콘크리트 공시체를 성형하거나 접착제를 사용해서 이동하지 않도록 공시체의 표면에 부착시킨다.

## 9.6.2 콘택트 게이지 방법의 게이지 플러그

게이지 플러그는 공시체의 측면 또는 윗면의 중심선 위에서 양끝으로부터 게이지 플러그 표점까지의 거리가 모르타르 공시체인 경우 8mm이상, 시멘트 콘크리트 공시체인 경우 25mm이상 이 되도록 부착한다.

공시체의 측면에 부착하는 형식의 플러그는 접착제를 사용해서 이동하지 않도록 부착한다. 공시체에 파묻는 형식은 공시체를 만들 때, 공시체 윗면의 중심선 위에 표점 간격이 변하지 않도록 가압용 쇠붙이 등을 사용하여 설치한 후 모르타르 또는 시멘트 콘크리트를 주입하거나 도는 공시체가 경화한 후 측면에 드릴 등으로 작은 구멍을 낸 후 접착제로 부착한다. <그림 9.9>는 가압용 쇠붙이의 보기를 나타낸 것이다.



<그림 9.9> 가압용 쇠붙이

## 9.6.3 다이얼 게이지 방법의 게이지 플러그

게이지 플러그는 공시체 성형시 공시체의 양쪽 끝면 중앙부에 다리부분을 미리 설치하거나 경화한 공시체에 드릴 등으로 작은 구멍을 낸 후 접착제로 부착한다.

- 1) 측정기, 표준자 및 공시체는 측정 3시간 전에 시험마다 정해진 온도로 유희해 놓아야 한다. 특별히 정해지 온도가 없을 경우는  $20 \pm 1$  °C를 유지한다.
- 2) 길이 측정에 앞서 젓빛 유리 또는 게이지 플러그를 깨끗이 닦는다.
- 3) 콤파레이터 방법
  - ① 공시체의 길이 측정에 앞서 각선기로 젓빛 유리에 선을 그린다.
  - ② 공시체의 받침대에 표준자를 놓고, 표준자의 눈금 0을 B현미경의 십자 선에 일치시킨다. 다음, A현미경의 마이크로미터의 십자 선을 움직여 공시체의 기준 길이만큼 표준자의 눈금을 십자선과 일치시켜, 마이크로미터의 눈금을 읽어  $x_{i1}$ 로 한다.
  - ③ 공시체를 젓빛 유리면이 위로 오도록 하여 콤파레이터의 받침대를 조심스럽게 올려놓는다. 이 때, 공시체에 표시를 하여 공시체의 방향이 매회 동일하도록 주의를 한다.
  - ④ 공시체의 한쪽 표선을 B현미경의 십자 선에 정확히 일치시킨다. 다음, A현미경의 마이크로미터의 십자 선을 움직여서, 다른 한쪽의 표선과 십자 선을 일치시킨 후, 마이크로미터의 눈금을 읽어  $x_{i2}$ 로 한다.

### (1) 콘택트 게이지 방법

- ① 표준자를 수평한 대 위에 놓고, 표준자의 게이지 플러그에 콘택트 게이지의 측정점을 눌러 대고, 다이얼 게이지의 눈금을 읽는다. 다음, 콘택트 게이지의 좌우를 반대로 해서 같은 조작을 하고 다이얼 게이지 눈금을 읽는다. 이것의 2회 평균치를 구해서  $x_{i1}$ 로 한다.
- ② 공시체를 게이지 플러그가 붙어 있는 면을 위로 하여 수평한 대 위에 놓고, 공시체의 게이지 플러그에 콘택트 게이지를 눌러 대고, (1)과 같은 조작을 되풀이해서 다이얼 게이지의 눈금 평균치를 구해  $x_{i2}$ 로 한다.

## (2) 다이얼 게이지 방법

- ① 길이 측정용 틀은 공시체를 측정할 때와 같은 (연직 또는 연직에 대해 일정한 경사가 되는) 상태로 정치한다.
- ② 표준자 한쪽 플러그에 길이 측정용 틀의 접점을 접촉시켜, 다이얼 게이지의 스피들 끝이 표준자의 축에 일치해서 움직이도록 하여, 스피들을 서서히 표준자의 다른 한쪽에 접촉시켜, 다이얼 게이지 눈금을 읽는다. 스피들을 빼내어 다시 위 조작을 반복하고 2회째 이후의 눈금을 읽은 것을 평균하여  $x_{i1}$ 로 한다.
- ③ 공시체에 대해서 위와 같은 조작을 반복하여 다이얼 게이지 눈금을 읽은 것을 평균하여  $x_{i2}$ 로 한다.

## 9.8 길이 변화율의 산출 길이 변화율

$$\text{길이변화율(\%)} = \frac{(x_{01} - x_{02}) - (x_{i1} - x_{i2})}{L_0} \times 100 \quad \langle \text{식 9.1} \rangle$$

여기서,  $L_0$  : 기준길이

$x_{01}$ ,  $x_{02}$  : 각각 기준으로 한 시점에서의 측정치

$x_{i1}$ ,  $x_{i2}$  : 각각 시점에서의 측정치

## 9.9 보고

도로포장용 시멘트 콘크리트 슬래브의 경우  $V/S=300$ 인 시편에 대한 건조수축을 사용하며 일반적인 보 구조물인 경우 표준 시편으로부터 얻은 건조수축을 이용한다.

시험 결과의 보고는 다음 사항 중 필요한 사항을 기재한다.

- 1) 사용 재료의 종류와 품질
- 2) 배합
- 3) 공시체 제작법
- 4) 공시체의 치수, 기준 길이
- 5) 시험 방법의 종류와 측정기의 최소 눈금
- 6) 측정시 기준으로 한 시점까지의 양생 방법
- 7) 보존 기간 중의 환경 조건(온도, 습도, 풍향, 일광 등)
- 8) 측정 시각에서의 온도 및 습도
- 9) 각 측정 시각에서의 길이 변화율(%)
- 10) 각 측정 시각에서의 공시체 무게(g)
- 11) 기타

## 9.10 참고

시멘트의 경화 건조시 길이 변화를 모르타르에 의하여 측정할 경우 공시체의 성형 방법, 양생 방법 등은 표준으로서 다음에 따른다.

### 9.10.1 공시체 성형 방법

공시체는 KS L 5105에 규정한 강도 시험용 공시체 제작법에 의거 성형하고, 성형 후 몰드와 함께  $20\pm 1^{\circ}\text{C}$ 의 실내에서 습윤 상태를 유지하고 성형 24시간 후에 탈형한다.

### 9.10.2 측정 시점

- 1) 공시체의 탈형 후 즉시 제 1회째의 측정을 한다.
- 2) 제 1회째 측정후 공시체를  $20\pm 1^{\circ}\text{C}$ 의 수중에서 양생하고, 재령이 7일이

되었을 때 제 2회째 측정을 하고 이 시점을 기준으로 한다.

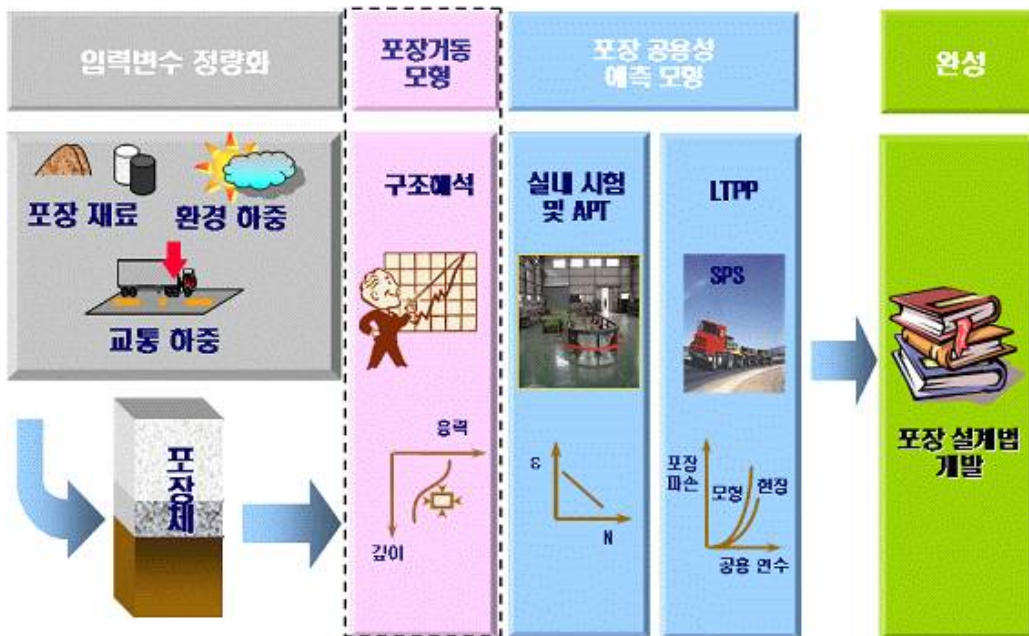
- 3) 제 2회째의 측정 후 3.의 조건을 유지하여, 보존 기간이 1, 4, 8주 및 3, 6, 9, 12개월이 되었을 때, 각각 측정을 한다.

### 9.10.3 공시체 보존

보존 기간 중 공시체는 본체 4.3의 규정에 따라 보존하고, 주변의 온도를  $20\pm 1^{\circ}\text{C}$ , 습도를  $(60\pm 5)\%$ 로 유지하고, 온도 및 습도를 유지하는데는 항온·항습의 설비를 가진 실내 또는 수조를 사용하거나 브롬화나트륨 포화용액을 사용한 항습 보존 상자에 공시체를 넣어, 보존 상자를 항온실 또는 항온 수조 속에 둔다.

## 부록 10. 구조해석

포장의 구조해석은 다양한 설계 인자들을 입력 변수로 하여 포장체의 역학적인 거동을 추정하는 역할을 한다. <그림 10.1>에서와 같이 구조해석 모형은 포장체에 영향을 주는 재료 물성, 환경하중, 차량 하중, 기하구조 등과 같은 입력 변수들을 이용하여 주어진 환경 하에서 포장체가 어떻게 반응하는지를 알아볼 수 있는 도구이다. 해석 결과를 바탕으로 공용성 분석을 위한 기초 자료를 생성하여 최적 포장 단면을 설계할 수 있다. 일반적으로 구조해석을 통해 아스팔트 포장은 피로식에 사용되는 하부 인장 변형률, 수직 변형률 및 하부 인장 응력을, 콘크리트 포장은 슬래브 상하부의 인장 응력을 산출한다. 해석 방법에는 다양한 것이 있는데 이 장에서는 교통하중 해석에 사용되는 다층 탄성론, 판이론, 온도 하중 해석 및 도로포장 구조설계에서의 연구 결과 등을 다룬다.



<그림 10.1> 구조해석을 이용한 포장체의 거동 분석의 역할

## 10.1 도로포장 구조 설계의 구조해석 모형

### 10.1.1 아스팔트 포장

도로포장 구조 설계에서는 아스팔트 포장 설계를 위해 앞서 살펴본 다층탄성 이론에 근거한 프로그램을 자체 개발하였다. 구조해석의 입력값에는 포장을 구성하는 층의 두께와 물성치, 교통하중(차간거리와 타이어 압력), 프로그램 내 자동설정 해석위치 등이 있다. 프로그램 내 자동 설정된 포장층 내의 해석위치들에서 응력과 변형률이 산정된 후 최대응력과 최대변형율이 나타나는 한계점을 찾게 된다. 한계점에서의 응력과 변형율은 공용성모형의 입력변수로 사용된다. 한계점에서의 포장반응의 예는 다음과 같다.

- 1) 아스팔트 혼합물층에서의 수평인장변형율 (아스팔트 혼합물의 피로균열)
- 2) 아스팔트 혼합물층에서의 수직압축변형율 (아스팔트 혼합물의 영구변형)

#### (1) 다층탄성 프로그램

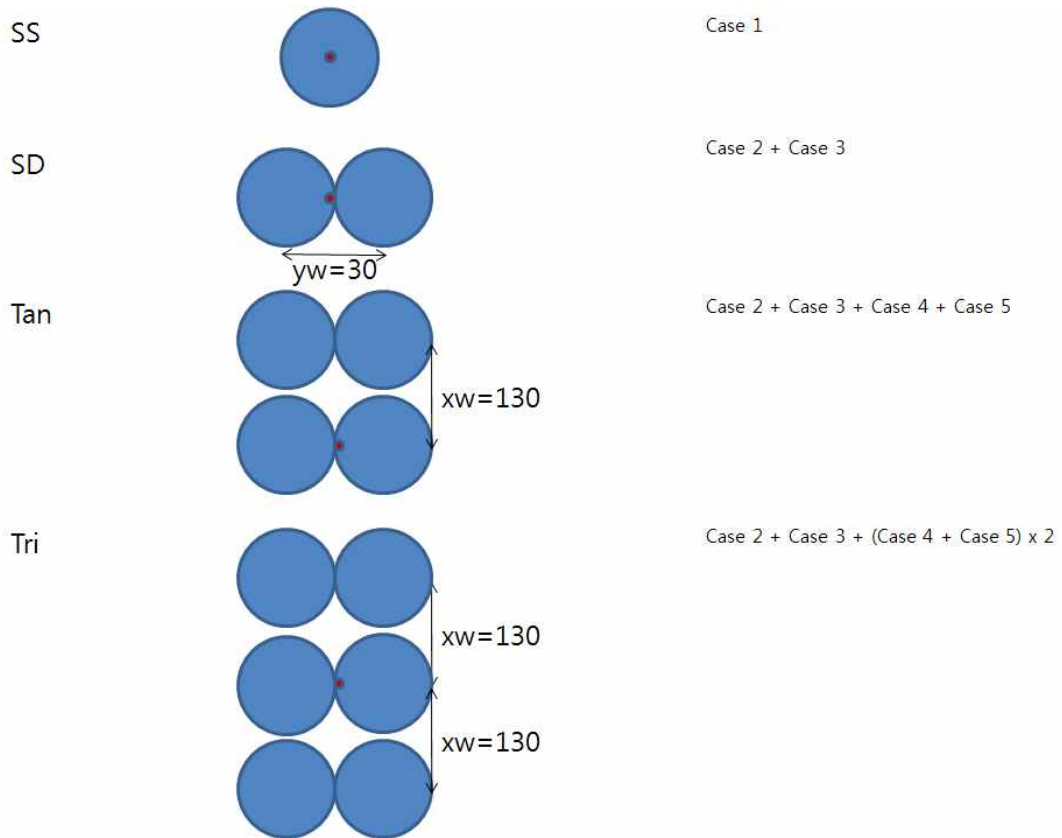
아스팔트 포장에서의 탄성변형률은 균열 및 영구변형량을 결정하기 위한 입력 변수로 공용성 해석에 직접적 또한 반복적으로 사용되기 때문에 매우 중요한 인자이다. 아스팔트 도로포장 구조 설계 프로그램에서는 기존의 구조해석 프로그램과 동일한 기본 이론을 사용하는 프로그램을 C#으로 개발하되, 해석조건을 설계프로그램에 맞도록 단순화하고 기존의 중첩논리(Superposition principle)를 확장하여 정밀한 결과를 얻는 동시에 해석시간을 단축할 수 있도록 하였다.

## 가. 축 하중 조건

다층탄성 해석 프로그램(KICTMLE)은 이전에 개발된 다층탄성 구조해석 프로그램과 유사하게 다층탄성이론(Multi-layered elasticity)을 적용하며, 단축 단륵(SS), 단축복륵(SD), 복축(Tan), 삼축(Tri)의 네 가지 해석조건을 기본적으로 고려한다. 접지면의 하중반경은 15cm로서 원형하중을 기본하중 조건으로 하였으며, 복륵조건에서 각 차륵 사이의 거리는 차륵의 중심으로부터 30cm, 다축조건에서의 축간의 거리는 130cm이다. 아래 <그림 10.2>는 이상에서 설명된 축조건을 도식화한 것이며, <그림 10.2>의 오른쪽에 나타난 Case #는 중첩된 하중조건을 나타내고 있다. 이들 하중조건(Case)은 단축 단륵의 경우를 나타낸 <그림 10.3>에서 확인할 수 있다. 예를 들어 <그림 10.3>에서의 단축단륵(SS)에서 중심에서의 응력 및 변형률을 계산하는 조건은 <그림 10.3>에서의 Case 1과 같으며, <그림 10.2>에서의 단축복륵(SD) 조건은 <그림 10.3>에서의 Case 2의 결과와 Case 3의 결과를 중첩한 결과와 같다. 또한 <그림 10.2>에서의 복축(Tan) 및 삼축(Tan) 조건은 <그림 10.3>에서의 Case 2, Case 3, Case 4, Case 5를 적절히 중첩한 결과와 같다.

## 나. 수직방향 층분할 및 수평방향 축점

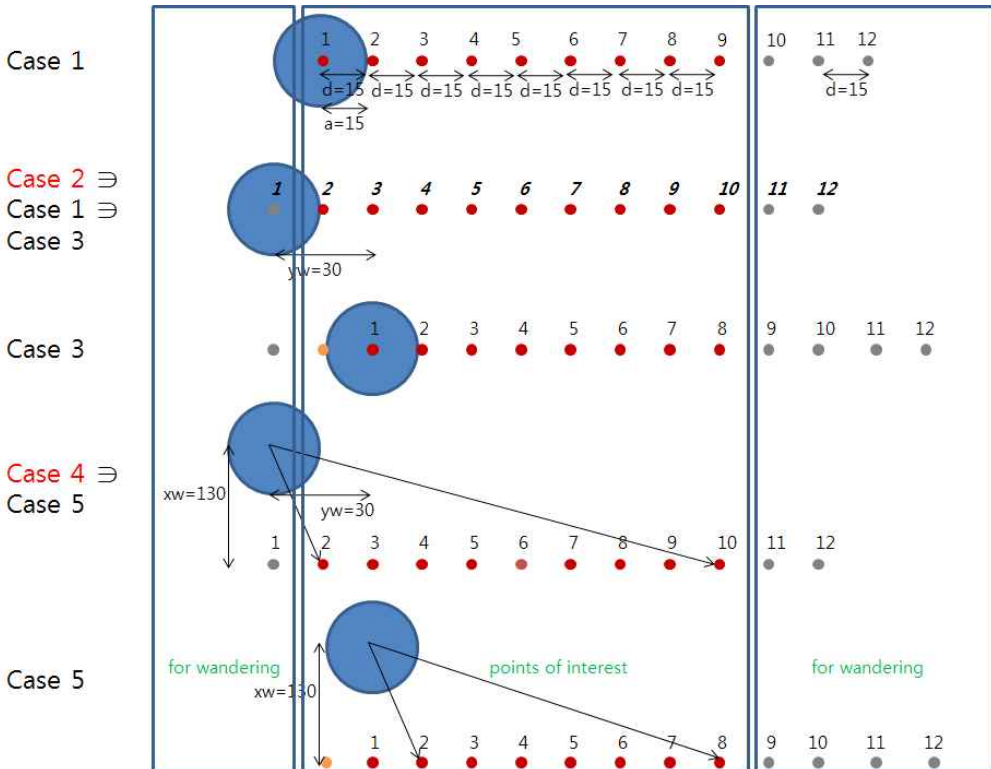
KICTMLE은 표층+중간층을 4개의 층으로 단순화하여 구분하였으며, 기층, 보조기층을 각각 2개의 층으로 분할하여, 깊이방향으로 9개의 지점과 수평방향으로 9개 지점(15cm x 9 = 135cm)에 대한 수평방향 및 수직방향 변형률 및 응력을 계산할 수 있다. 다음 <그림 10.3>은 다양한 하중조건, 즉 단축단륵(SS), 단축복륵(SD), 복축(Tan), 삼축(Tri) 조건과 원더링(Wandering)을 최단시간 내에 해석하기 위하여 사용된 확장된 중첩논리를 설명하고 있다.



〈그림 10.2〉 KICTMLE에서 고려하는 하중조건과 중첩방법

〈그림 10.3〉에서 Case 2는 일반적인 단축단륜 하중에 의하여 표층 상부에서 발생하는 응력 및 변형률을 해석하는데 활용된 조건과 관심측점(points of interest)을 나타낸 것으로서, Case 2의 결과는 Case 1과 Case 3에서의 응력 및 변형률을, 또한 Case 4의 결과는 Case 5에서의 응력 및 변형률을 해석하기 위하여 활용된다. 〈그림 10.3〉에 나타난 바와 같이, 각 측정점간의 거리는 하중의 반경과 동일한 15cm이며, 총 12개의 지점에서 응력 및 변형률을 평가한다. Case 2에서의 수평방향으로 관심측점(points of interest, 135cm) 내의 총 9개의 지점외의 3개 지점에서의 응력 및 변형률은 하중의 위치가 다른 Case 1과 Case 3이나 복륜조건 및 원더링(Wandering) 조건

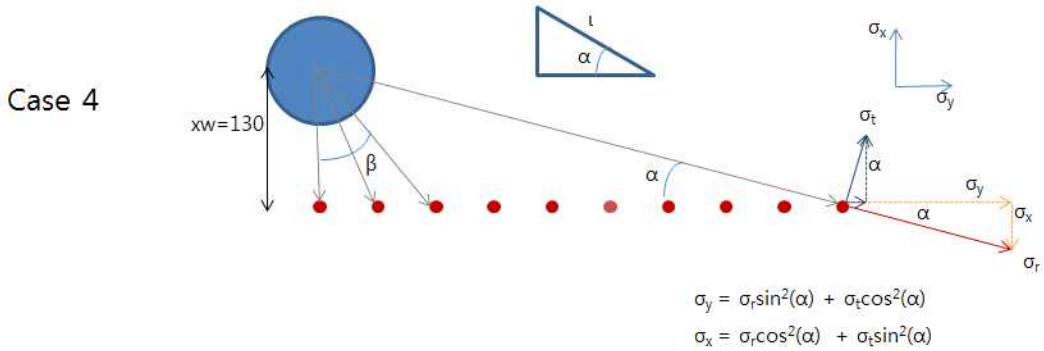
에서의 응력 및 변형률을 계산하는데 활용된다. 예를 들어, Case 2에서 응력 및 변형률을 해석한 지점 1은 Case 1의 지점 1 및 Case 3의 지점 1과 같은 결과일 것으로 Case 2에서 사용되지 않더라도 해석되는 것이며, 이를 통하여 Case 1과 Case 3에 대한 구조해석을 하지 않을 수 있다.



〈그림 10.3〉 단축단륜(SS) 조건에서의 하중조건과 축점의 위치

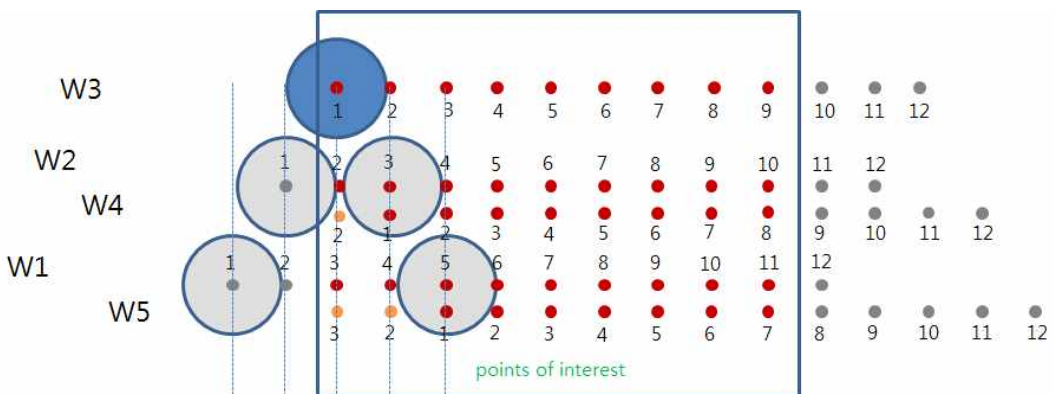
〈그림 10.3〉에서 Case 4에서의 축점 1 또한 Case 5에서의 축점에서의 응력 및 변형률을 계산하기 위하여 활용되며, 축점 11, 12 또한 복륜 및 원더링 조건을 고려하여 해석할 때 사용된다. 다음 〈그림 10.4〉는 Case 4에서  $x$ ,  $y$  방향 응력을 결정하는 방법을 나타내는 것으로서, 하중 중심으로부터 축점까지의 직선방향이  $r$ 방향, 이에 수직인 방향이  $t$ 방향이 되므로  $x$ ,  $y$  방향

응력 및 변형률을 결정하기 위해서는 응력의 방향과 응력의 작용면을 나타내는  $\alpha$ 를 이용한 변환이 필요하다.



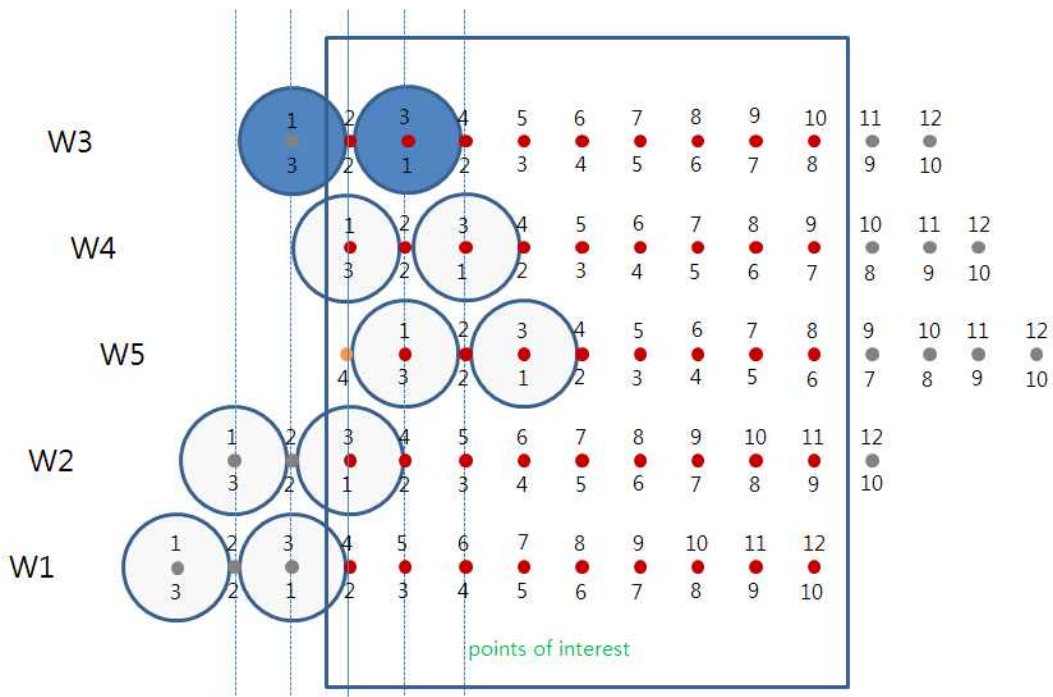
<그림 10.4> Case 4에서의 x, y 방향 응력 결정방법

<그림 10.5>는 원더링에 따른 대상 축점의 변화를 나타낸 것으로 W3은 단축단륜 하중에서 원더링이 고려되지 않을 경우, 즉 <그림 10.2>에서의 Case 1을 나타내고 있다. W2, W4, W1, W5는 원더링에 따른 대상 축점의 변화를 나타내고 있는데, W2, W4, W1, W5의 모든 경우가 Case 2 조건에 포함되는 <그림 10.5>의 축점 번호를 통하여 알 수 있다.



<그림 10.5> 단축단륜 조건에서의 원더링에 따른 대상 축점의 변화

다음 <그림 10.6>은 단축복륜 조건에서 관심측점(points of interest)에 대한 응력 및 변형률을 결정하는 방법을 나타내고 있다. 위의 단축단륜 조건과 같이 W3은 원더링을 고려하지 않은 경우이고, 그 이외의 조건은 원더링이 발생했을 경우의 하중 및 측정의 관계를 나타낸 것이다. 예를 들어 W2의 경우, 단축복륜에 의하여 발생하는 응력 및 변형률은 측정마다 변화할 것이나, 고려되는 측정점은 아래 사각형 내의 점들뿐 이므로 위의 <그림 10.3>의 Case 2에서 계산한 응력 및 변형률을 이용하여 결정할 수 있는 것을 알 수 있다.



<그림 10.6> 단축복륜 조건에서의 원더링에 따른 대상 측정점의 변화

<그림 10.6>의 단축복륜 조건과 중첩이론(Superposition principle)을 이용하면 복축 및 삼축에 의하여 발생하는 응력 및 변형률을 결정하는데 사용될 수 있다. 또한 다층탄성 구조해석 프로그램에서 접지면적이 달라지지 않는 한

단위하중이 아닌 하중에 의한 포장 구조내 응력 및 변형률을 선형적으로 증가하게 되므로 별도의 계산을 하지 않아도 된다.

한편, 조건의 단순화를 위하여 축점의 위치를 15cm, 30cm 두 개의 값으로 결정하였으므로, 신뢰성 모형의  $\sigma$ ,  $2\sigma$ 는 이들 값을 이용하면 다소의 오차가 발생할 수 있으나, 전체적인 공용성 해석 결과에 큰 영향을 미치지 않으므로 이들을 그대로 이용하였다.

#### 다. 손상해석좌표

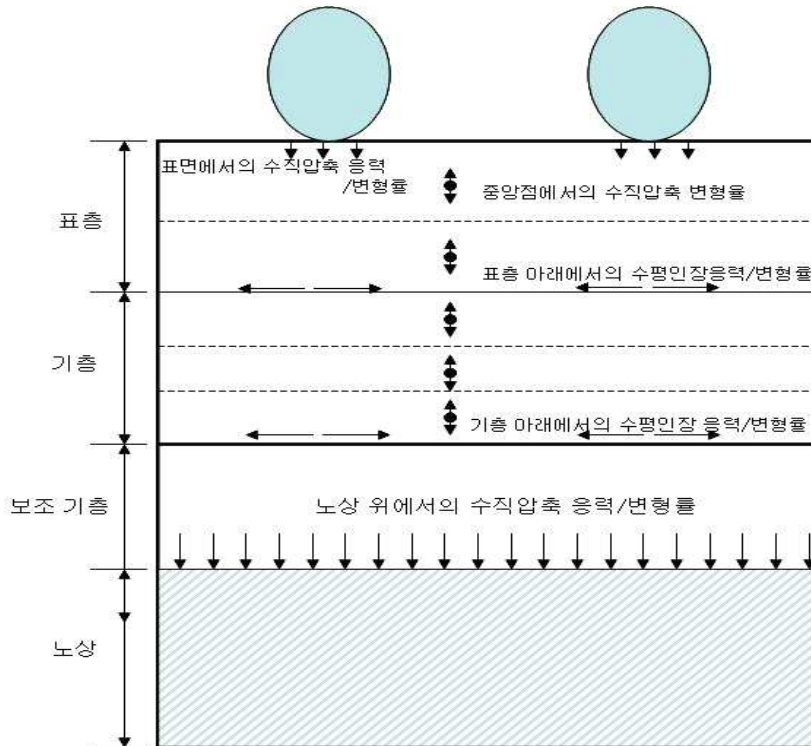
차량의 축은 단축단륜, 단축복륜, 복축 또는 삼축으로 구성되어 있으며, 복축 이상의 경우 축과 축사이의 간격이 좁기 때문에 각 축 하중간의 포장체에 미치는 응력의 중첩이 발생되어 별개의 축으로 해석할 수 없다. 또한 축하중의 종류와 포장체의 두께 및 물성에 따라 최대 인장 변형률과 압축변형률이 발생하는 위치가 달라 최대 손상이 유발되는 지점이 일정하지 않다. 그러나 일정하지 않은 지점에 대하여 원더링을 고려한 구조해석을 진행할 경우, 해석시간이 기하급수적으로 증가하여 실용적이지 못한 문제가 있다. 따라서 위의 <그림 10.5>와 <그림 10.6>에 나타난 바와 같이, 손상해석좌표를 단순화하여 해석을 진행하였으며, 이를 통하여 해석시간을 단축시킬 수 있다.

## (2) 해석결과

다층탄성 프로그램으로부터 구한 포장구조해석 결과는 공용성 모형의 입력자료로 사용된다. 아스팔트 포장의 구조적인 파손은 상향균열, 하향균열, 영구변형 등이 있으며, 이를 예측하기 위해 구조해석 결과값을 사용한다.

## 가. 상향균열 해석

다층탄성 프로그램을 통해 <그림 10.7>과 같이 아스팔트 표층 하단과 아스팔트 기층 하단의 인장변형율을 산정한다. 가장 큰 인장변형율을 보이는 한계점(critical location)에서의 결과값을 상향균열 예측모형에 사용하게 된다. 일반적으로 단륜일 경우 타이어 중앙부를 한계점으로 설정하고 반응값을 산출하며, 다축 다륜을 이용할 경우 <그림 10.7>과 같이 여러 지점의 인장변형율을 비교하여 가장 큰 값을 해석에 계산한다.



<그림 10.7> 아스팔트 포장의 구조해석결과

## 나. 하향균열 해석

다층탄성 프로그램을 통해 <그림 10.7>과 같이 아스팔트 표층 상단의 인장 변형율을 산정한다. 가장 큰 인장변형율을 보이는 한계점(Critical Location)에서의 결과값을 하향균열에 예측모형에 사용하게 된다. 상향균열과는 반대로 타이어 중앙부에서 가장자리로 이동할수록 표층 상단에서의 인장변형율은 증가한다. 하향균열 해석에서도 <그림 10.7>와 같이 아스팔트 표층 상단부의 여러 지점의 인장변형율을 비교하여 가장 큰 값을 해석에 사용한다.

## 다. 영구변형 해석

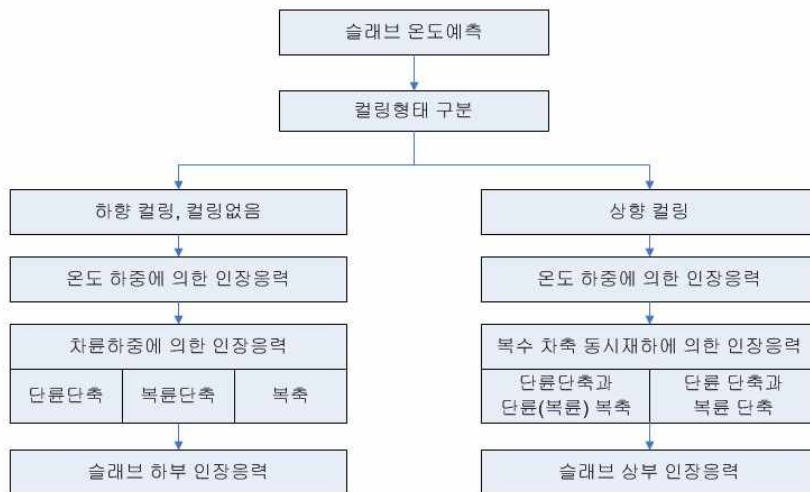
다층탄성 구조해석을 통해 <그림 10.7>과 같이 아스팔트 표층과 아스팔트 기층의 세부 분할층 중간지점에서 연직변형율을 산정한다. 아스팔트 표층과 기층의 세부 분할층은 층별로 나누어 해석을 실시한다. 일반적으로 단륜인 경우 타이어 중앙지점이 한계점(critical location)으로서 가장 큰 연직변형율을 나타내나, 다축 다륜인 경우 <그림 10.7>와 같이 여러 지점(총 30)에서의 연직변형율을 비교하여 가장 큰 변형율을 해석에 사용한다.

### 10.1.2 콘크리트 포장

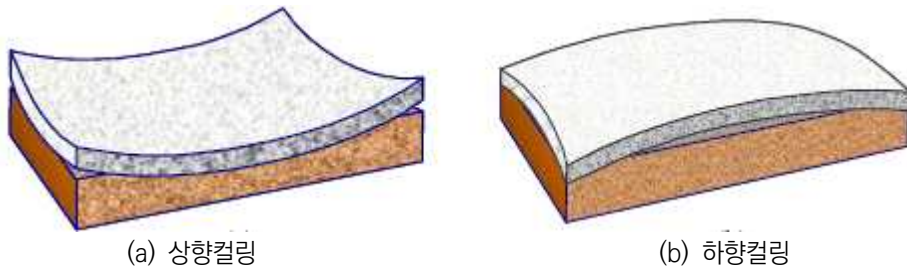
콘크리트 포장의 설계는 주어진 형상과 물성을 갖는 포장체에 교통하중과 환경하중이 작용하여 발생하는 응력을 이용하여 공용성을 예측하는 과정을 거치게 된다. 우선, 예측된 콘크리트 슬래브의 깊이별 온도를 이용하여 상부와 하부의 온도차이를 계산한 후 컬링의 형태를 판단하여 최대 인장응력이 발생하는 위치를 결정한다. 하향컬링이 발생하거나 컬링이 전혀 발생하지 않는 경우에는 종방

향 줄눈부의 중앙에 작용하는 차륜하중으로 인하여 슬래브 하부에 최대 인장응력이 발생한다. 상향컬링이 발생하면 횡방향 줄눈 양 끝단에 재하된 축하중으로 인하여 슬래브 상부에 최대 인장응력이 발생한다. 이와 같이 온도하중과 차륜하중에 의하여 슬래브의 상부와 하부에 발생한 최대인장응력을 각각 계산하여 피로균열을 예측할 수 있도록 한다. 이상에서 설명한 콘크리트포장의 구조해석 개념도는 <그림 10.8>과 같다. 아래에서는 구조해석을 통하여 슬래브의 최대 인장응력이 결정되기까지의 각 단계를 알아보기 쉽게 나열하였다.

- 단계 1. 콘크리트 포장의 형식 선택
- 단계 2. 콘크리트 포장 각 층의 두께 설정
- 단계 3. 각 층의 재료물성 입력
- 단계 4. 슬래브 온도 예측 및 컬링형태 결정
- 단계 5. 온도하중에 의한 인장응력 산출
- 단계 6. 교통하중의 입력
- 단계 7. 컬링형태와 교통하중에 의한 인장응력 산출
- 단계 8. 슬래브의 최대 인장응력 결정



<그림 10.8> 콘크리트포장 구조해석 개념도



〈그림 10.9〉 슬래브 상하부 간의 온도 차이에 의한 컬링형태

## (1) 유한요소해석

콘크리트포장의 유한요소해석은 포장체가 수많은 요소로 구성되었다고 가정 한 후 절점을 이용하여 요소들을 상호 연결하고 이들 절점이 갖고 있는 물리 량에 대한 연립방정식을 작성하여 중첩함으로써 콘크리트 포장 전체에 대한 해 를 찾는 기법을 일컫는다. 환경하중이나 교통하중에 의하여 발생한 콘크리트 포장 슬래브의 응력을 계산하기 위해서, 주어진 조건 하의 포장체를 스프링 위 에 얹혀 있는 3차원의 평판/셸로 가정하여 모형을 구성하였다. 이 모형은 다웰 바, 타이바 및 길어깨 등의 요소를 포함하는 3개의 슬래브로 구성되었고, 외부 로부터 가해지는 환경하중, 교통하중에 대한 응답으로서 변형과 응력의 결과를 나타낸다. 이중 슬래브에 발생하는 인장응력이 콘크리트의 인장강도보다 커질 경우 균열을 발생시킨다. 인장응력의 크기에 영향을 미치는 각종 변수의 민감 도분석과 회귀분석을 이용한 인장응력 예측 회귀식을 개발하여 사용하게 된다.

## (2) 컬링형태와 주기의 결정

앞서 설명한 바와 같이 컬링이란 평면으로 건설되었던 슬래브가 대기온도 및 습도의 변화에 기인하여 깊이별로 온도와 습도가 상대적으로 높을 경우 팽창하 고 낮을 경우 수축하는 콘크리트의 성질로 인하여 비틀리는 현상이다. 즉, 〈그

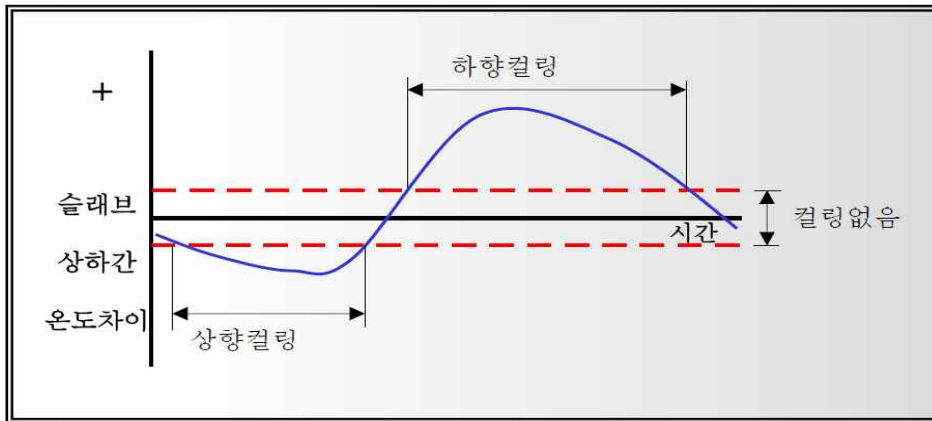
림 10.9)의 (a)와 같이 슬래브의 상부의 온도나 습도가 하부보다 낮아 상대적으로 상부는 수축, 하부는 팽창할 때 슬래브의 우각부가 중앙부에 비하여 상대적으로 올라가는 같은 상향컬링이 발생한다. 이와 반대의 경우에는 <그림 10.9)의 (b)와 같은 하향컬링이 발생하게 된다. 이 때 발생하는 응력을 컬링응력이라고 부른다.

### 가. 슬래브 두께에 따른 컬링형태

슬래브의 깊이별 온도와 상하부 간의 온도 차이를 예측하기 위한 모형이 앞에서 설명되었으며, 이를 이용하여 슬래브 두께와 각 월별로 1시간 단위로 슬래브 상하부간의 온도차이를 예측한 후 슬래브의 컬링형태를 결정할 수 있다. 다른 유형의 컬링을 유발하는 슬래브 상하부 간 온도차이의 범위를 수차례에 걸친 구조해석 결과에 근거하여 슬래브의 두께에 따라 <표 10.1>와 같이 제시하였다. 여기서, 양의 부호는 슬래브 상부의 온도가 하부보다 높다는 의미이며 음의 부호는 이와 반대이다. <그림 10.10>은 <표 10.1>을 적용하였을 때 24시간동안 임의의 슬래브에 발생한 온도 차이에 의한 컬링형태이다.

<표 10.1> 슬래브 두께에 따른 컬링 온도의 범위

| 슬래브 두께 | 25cm                                         | 27cm                                             | 30cm                                         | 33cm                                             | 35cm                                         |
|--------|----------------------------------------------|--------------------------------------------------|----------------------------------------------|--------------------------------------------------|----------------------------------------------|
| 상향컬링   | $T < -3^{\circ}\text{C}$                     | $T < -2.5^{\circ}\text{C}$                       | $T < -2^{\circ}\text{C}$                     | $T < -1.5^{\circ}\text{C}$                       | $T < -1^{\circ}\text{C}$                     |
| 컬링없음   | $3^{\circ}\text{C} > T > -3^{\circ}\text{C}$ | $2.5^{\circ}\text{C} > T > -2.5^{\circ}\text{C}$ | $2^{\circ}\text{C} > T > -2^{\circ}\text{C}$ | $1.5^{\circ}\text{C} > T > -1.5^{\circ}\text{C}$ | $1^{\circ}\text{C} > T > -1^{\circ}\text{C}$ |
| 하향컬링   | $T > 3^{\circ}\text{C}$                      | $T > 2.5^{\circ}\text{C}$                        | $T > 2^{\circ}\text{C}$                      | $T > 1.5^{\circ}\text{C}$                        | $T > 1^{\circ}\text{C}$                      |



〈그림 10.10〉 24시간 동안의 컬링 사이클

#### 나. 컬링의 주기

〈그림 10.10〉과 같은 주기를 그리며 매일 발생하는 슬래브의 상향컬링, 하향컬링, 컬링 없음의 시작시간과 종료시간은 계절 및 두께에 따라 달라지며, 다음 〈표 10.2〉는 프로그램 상에서 계절 및 두께의 영향으로 인하여 월별로 각각의 컬링 시작 및 종료시간이 결정된 한 예이다.

〈표 10.2〉 월별 컬링의 시작 및 종료시간의 예

| 구분  | 상향컬링  |       | 컬링없음  |       | 하향컬링  |       | 컬링없음  |       |
|-----|-------|-------|-------|-------|-------|-------|-------|-------|
|     | 시작 시간 | 종료 시간 |
| 1월  | 1     | 8     | 8     | 9     | 9     | 20    | 20    | 1     |
| 2월  | 0     | 0     | 0     | 10    | 10    | 22    | 22    | 0     |
| 3월  | 23    | 9     | 9     | 9     | 9     | 20    | 20    | 23    |
| 4월  | 23    | 9     | 9     | 19    | 19    | 7     | 7     | 23    |
| 5월  | 23    | 9     | 9     | 19    | 19    | 7     | 7     | 23    |
| 6월  | 0     | 0     | 0     | 10    | 10    | 21    | 21    | 0     |
| 7월  | 0     | 0     | 0     | 10    | 10    | 21    | 21    | 0     |
| 8월  | 0     | 0     | 0     | 10    | 10    | 21    | 21    | 0     |
| 9월  | 0     | 0     | 0     | 10    | 10    | 20    | 20    | 0     |
| 10월 | 0     | 0     | 0     | 10    | 10    | 20    | 20    | 0     |
| 11월 | 0     | 0     | 0     | 10    | 10    | 20    | 20    | 0     |
| 12월 | 0     | 0     | 0     | 10    | 10    | 22    | 22    | 0     |

### (3) 구조해석 결과

온도하중이나 차륜하중에 의하여 발생한 콘크리트포장 슬래브의 응력을 계산하기 위해서는 언급한 유한요소방법을 이용하여 주어진 조건 하에 있는 포장체를 해석하여야 하나 이러한 일련의 분석에 상당히 많은 시간이 소모된다. 따라서 최적의 설계를 위하여 여러 번의 반복작업을 수행하게 될 경우 소요 시간이 오래 걸리며 많은 인력이 필요하다. 이 문제를 해결하기 위하여 도로포장 구조 설계의 콘크리트 포장 설계에서는 설계에서 고려할 수 있는 다양한 조건에 대한 유한요소해석을 수행하였다. 그 결과로부터 회귀식을 제안하여 슬래브의 상부와 하부에 발생하는 최대응력을 구할 수 있도록 하였다.

비인장 스프링 기초(Tensionless Spring)를 사용한 모델에서 차륜하중과 온도하중이 슬래브에 동시에 재하된 경우 발생한 응력과 일반 스프링 기초를 사용한 모델에서 각 하중에 의하여 발생한 응력을 합한 값에 큰 차이가 없었다. 따라서 구조해석 모형에 일반 스프링 기초를 사용하고 차륜하중에 의한 응력과 슬래브 상하부 온도차이에 의하여 발생한 응력을 각각 계산한 후 <식 10.1>와 같이 합하여도 두 종류의 하중이 슬래브에 동시에 재하되어 발생한 응력으로 간주할 수 있다.

$$\begin{aligned}\sigma_{total} &= \sigma_{load} + \sigma_{env} && \langle \text{식 10.1} \rangle \\ &= \sigma_{load} + \sigma_{(temp + \Delta temp_{shrinkage})}\end{aligned}$$

여기서,  $\sigma_{total}$  : 합성응력

$\sigma_{load}$  : 차륜하중으로 인한 응력

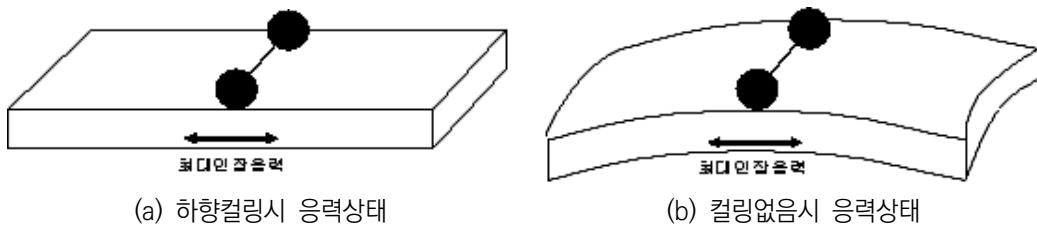
$\sigma_{env}$  : 환경하중으로 인한 응력

$\sigma_{temp}$  : 슬래브 상하부 간의 온도차이로 인한 응력

$\sigma_{\Delta temp_{shrinkage}}$  : 건조수축으로 인한 응력

## 가. 상향균열 해석

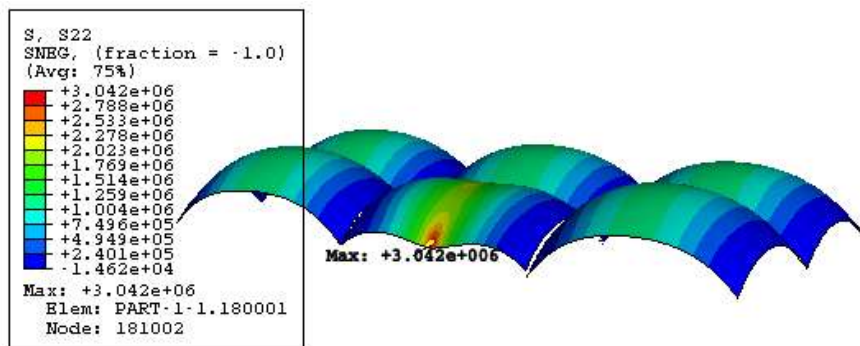
슬래브 상부의 온도가 하부의 온도보다 높아 하향컬링이 발생하거나 상하부 간의 온도차이가 거의 없어 컬링이 발생하지 않을 때, 차륜하중이 길어깨에 접한 슬래브의 종방향 줄눈부 중앙에 재하되면 <그림 10.11>와 같이 하중이 재하된 위치의 슬래브 하부에 최대 인장응력이 유도된다. 또한 이 최대 인장응력이 콘크리트의 인장강도를 초과할 경우 슬래브의 상부로 진전하는 상향균열이 그 위치에서 발생하게 된다. 상향균열 발생응력은 <식 10.1>와 같이 차륜하중으로 인하여 발생한 인장응력과 슬래브 상하부간의 온도차이로 인하여 발생한 인장응력을 각각 계산한 후 합하여 해석한다. 슬래브 상하부 간의 온도차이에 의하여 하향컬링이 발생한 슬래브의 세로방향 모서리에 차륜하중이 재하되었을 때 발생한 응력선도는 <그림 10.12>과 같다.



(a) 하향컬링시 응력상태

(b) 컬링없을시 응력상태

<그림 10.11> 상향균열을 유발하는 컬링 및 차륜하중 재하상태



<그림 10.12> 상향균열을 유발하는 온도 및 차륜하중에 기인한 응력선도

1) 차륜하중에 의한 슬래브 하부의 최대 인장응력

차륜하중이 슬래브 모서리의 중앙부에 재하되면 하중 재하 위치의 하부에는 최대 인장응력, 상부에는 최대압축응력이 발생하게 된다. 이 때 슬래브 하부에 발생한 최대 인장응력의 회귀식을 <식 10.2>과 같이 제안하여 상향균열 해석에 사용한다. 회귀식에 사용된 변수는 차륜하중에 의하여 발생한 최대 인장응력의 변화에 민감도가 큰 기초의 지지력, 재하되는 차량의 축하중, 콘크리트의 탄성계수, 슬래브의 두께이며 재하된 축의 종류에 따라 회귀식 상수가 <표 10.3>와 같이 결정되었다.

$$\sigma = b_1 \cdot b_2 \cdot P^{b_3} \cdot E^{b_4} \cdot T^{b_5} \quad \langle \text{식 10.2} \rangle$$

여기서, k : 기초의 복합 지지력계수(MPa/m)

P : 축하중(kN)

E : 콘크리트 탄성계수(N/m<sup>2</sup>)

T : 슬래브 두께(m)

b<sub>1</sub> ~ b<sub>5</sub> : 회귀식 상수

<표 10.3> 축 종류별 슬래브 하부 최대 인장응력 회귀식 상수

| 구분             | 상수값       |           |           |
|----------------|-----------|-----------|-----------|
|                | 단륜단축      | 복륜단축      | 복축        |
| b <sub>1</sub> | 99.236357 | 54.341035 | 10.981769 |
| b <sub>2</sub> | -0.158607 | -0.187159 | -0.247176 |
| b <sub>3</sub> | 0.998823  | 0.999635  | 1.000059  |
| b <sub>4</sub> | 0.159392  | 0.187525  | 0.241563  |
| b <sub>5</sub> | -1.603563 | -1.497026 | -1.308737 |

## 2) 온도하중에 의한 슬래브의 인장응력 해석

슬래브 상부의 온도가 하부보다 높을 때, 상부가 하부보다 상대적으로 팽창하면서 하향컬링이 발생하게 된다. 슬래브의 자중 및 슬래브와 기층 사이 마찰력으로 인한 구속때문에 슬래브의 하부에는 자유수축에 반하는 방향으로 인장응력이 발생하고 상부에는 자유팽창에 반하는 방향으로 압축응력이 발생한다. 이와 같이 슬래브 내부의 온도 차이로 인하여 하부에 발생한 최대 인장응력의 회귀식을 <식 10.3>과 같이 제안하여 상향균열 해석에 사용한다. 회귀식에 사용된 변수는 온도하중에 의하여 발생한 최대인장응력의 변화에 민감도가 큰 콘크리트의 열팽창계수, 슬래브 내 온도구배, 기초의 복합지지력, 슬래브의 탄성계수, 두께 및 길이이며 회귀식에 사용된 상수는 <표 10.4>와 같이 결정되었다.

$$\sigma = tb_1 \cdot \alpha \cdot g \cdot k^{tb_2} \cdot E^{tb_3} \cdot T^{tb_4} \cdot L^{tb_5} \quad \langle \text{식 10.3} \rangle$$

여기서,  $\alpha$  : 콘크리트 열팽창계수(/°C)

g : 슬래브 온도구배(°C/cm)

k : 기초의 복합 지지력계수(Mpa/m)

E : 콘크리트 탄성계수(N/m<sup>2</sup>)

T : 슬래브 두께(m)

L : 슬래브 길이(m)

tb1 ~ tb5 : 회귀식 상수

<표 10.4> 온도하중에 의한 슬래브 하부 최대 인장응력 회귀식 상수

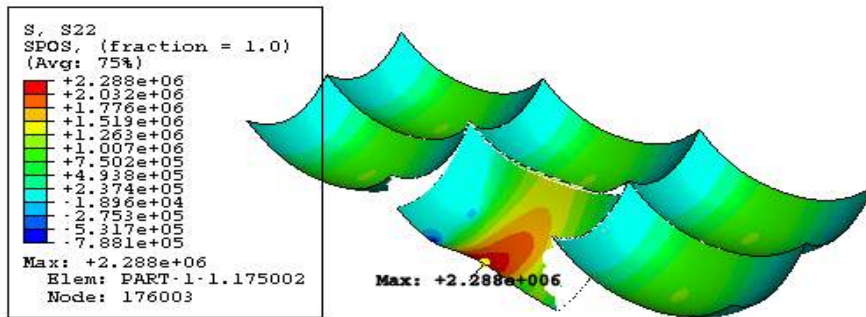
| 구분              | 상수값     |
|-----------------|---------|
| tb <sub>1</sub> | 138.676 |
| tb <sub>2</sub> | 0.171   |
| tb <sub>3</sub> | 0.846   |
| tb <sub>4</sub> | 0.533   |
| tb <sub>5</sub> | 0.654   |

## 나. 하향균열 해석

슬래브의 하부의 온도가 상부의 온도보다 높을 경우 슬래브의 우각부가 중앙부에 비해 상승하는 상향컬링이 발생한다. 슬래브의 자중과 슬래브 하부에서의 마찰력으로 인해 거동이 구속되어 슬래브의 상부에는 인장응력, 하부에는 압축응력이 발생하게 된다. 이때 특정한 축간거리를 가진 차륜하중이 길어깨에 접한 슬래브의 양단 우각부 부근에 재하되면 <그림 10.13>과 같이 슬래브 상부의 인장응력이 더 커지게 되고 콘크리트의 인장강도를 초과하게 될 경우 슬래브의 하부로 진전하는 하향균열이 그 위치에서 발생된다. 슬래브 상하부 간의 온도차이에 의하여 하향컬링이 발생한 슬래브의 세로방향 모서리에 차륜하중이 재하되었을 때 발생한 응력선도는 <그림 10.13>과 같다. 하향균열 발생응력 역시 <식 10.4>와 같이 차륜하중으로 인하여 발생 응력과 온도하중으로 인하여 발생한 응력을 각각 계산하여 더하게 된다. 도로포장 구조설계에서는 선형의 구조해석 모형을 사용하기 때문에 온도하중으로 인하여 슬래브 상부에 발생한 최대인장응력은 앞절에서 보인 슬래브 하부의 최대 인장응력 계산에 사용된 회귀식을 그대로 사용하여 구하면 된다.



<그림 10.13> 하향균열을 유발하는 컬링 및 차륜하중 재하상태



〈그림 10.14〉 하향균열을 유발하는 온도 및 차륜하중에 기인한 응력선도

- 1) 단륜 단축과 단륜(복륜) 복축 동시재하에 의한 슬래브 상부 최대 인장응력 길어깨에 인접하여 상향컬링이 발생한 슬래브의 양단 우각부 부근에 단륜의 단축(전축) 하중과 단륜 또는 복륜의 복축(후축) 하중이 동시에 작용하여 발생한 슬래브 상부의 최대 인장응력 회귀식은 〈식 10.4〉와 같다. 회귀식에 사용된 변수는 최대 인장응력의 변화에 민감도가 큰 각 축하중, 기초의 복합지지력, 슬래브의 두께, 콘크리트의 탄성계수, 슬래브 간의 하중전달률, 슬래브의 길이이며 회귀식에 사용된 상수는 〈표 10.5〉과 같이 결정되었다.

$$\sigma = lt_1 \cdot k^{lt_2} \cdot P_1^{lt_3} \cdot P_2^{lt_4} \cdot E^{lt_5} \cdot T^{lt_6} \cdot LTE^{lt_7} \cdot L^{lt_8} \quad \langle \text{식 10.4} \rangle$$

여기서, P1 : 단륜 단축 하중(kN)

P2 : 단륜 또는 복륜 복축 하중(kN)

k : 기초의 복합지지력계수(Mpa/m)

T : 슬래브 두께 (m)

E : 콘크리트 탄성계수(N/m<sup>2</sup>)

LTE : 하중 전달률 (%)

L : 슬래브 길이(m)

lt1 ~ lt8 : 회귀식 상수

〈표 10.5〉 단륜 단축과 단륜(복륜) 복축에 의한 슬래브 하부 최대 인장응력 회귀식 상수

| 구분              | 상수값      |
|-----------------|----------|
| lt <sub>1</sub> | 10.20939 |
| lt <sub>2</sub> | -0.217   |
| lt <sub>3</sub> | 0.381    |
| lt <sub>4</sub> | 0.618    |
| lt <sub>5</sub> | 0.248    |
| lt <sub>6</sub> | -1.33    |
| lt <sub>7</sub> | -0.073   |
| lt <sub>8</sub> | -0.24    |

2) 단륜 단축과 복륜 단축 동시재하에 의한 슬래브 상부 최대 인장응력

길어깨에 인접하여 상향컬링이 발생한 슬래브의 양단 우각부 부근에 단륜의 단축(전축) 하중과 복륜의 단축(후축) 하중이 동시에 재하되어 슬래브 상부에 발생한 최대 인장응력에 대한 회귀식은 〈식 10.5〉과 같다. 회귀식에 사용된 변수는 앞서 보인 단륜의 단축 하중과 단륜(복륜)의 복축 하중의 동시재하에 의한 응력계산을 위한 회귀식에 사용된 변수와 동일하나 축간거리가 추가되며 사용된 회귀식 상수는 〈표 10.6〉과 같다.

$$\sigma = ld_1 \cdot k^{ld_2} \cdot P_1^{ld_3} \cdot P_2^{ld_4} \cdot E^{ld_5} \cdot T^{ld_6} \cdot LTE^{ld_7} \cdot L^{ld_8} \cdot AXL^{ld_9} \quad \langle \text{식 10.5} \rangle$$

여기서, P1 : 단륜 단축 하중(kN)

P2 : 단륜 또는 복륜 복축 하중(kN)

k : 기초의 복합지지력계수(Mpa/m)

T : 슬래브 두께 (m)

E : 콘크리트 탄성계수(N/m<sup>2</sup>)

LTE : 하중 전달률 (%)

L : 슬래브 길이(m)

AXL : 축간 거리(m)

ld1 ~ ld9 : 회귀식 상수

〈표 10.6〉 단륜 단축과 복륜 eks축에 의한 슬래브 하부 최대 인장응력 회귀식 상수

| 구분              | 상수값      |
|-----------------|----------|
| ld <sub>1</sub> | 11.83042 |
| ld <sub>2</sub> | -0.35    |
| ld <sub>3</sub> | 0.562    |
| ld <sub>4</sub> | 0.435    |
| ld <sub>5</sub> | 0.381    |
| ld <sub>6</sub> | -0.933   |
| ld <sub>7</sub> | -0.131   |
| ld <sub>8</sub> | -0.449   |
| ld <sub>9</sub> | -0.618   |

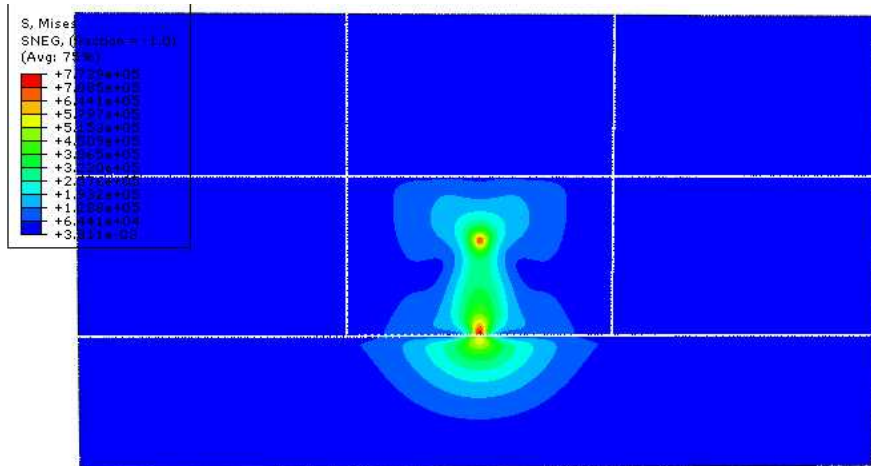
#### (4) 길어깨 너비 따른 응력 분포

도로포장 구조 설계에서는 길어깨 종류 및 너비에 따른 응력 전달 효과를 설계에 반영하였다. 이는 구조해석 모형을 통해 결정하였다. 일반적으로 국내 길어깨 너비는 보통 3m 미만이 대부분이다. 그 너비에 따른 하중 전달 효과가 얼마나 되는지를 알아보기 위해 길어깨의 LTE 100%와 50%에 대한 구조 해석을 수행하였다. 길어깨 너비 변화는 50cm 간격으로 길어깨가 없을 때부터 300 cm 까지 해석하였으며, 〈그림 10.15〉는 그 일례를 나타낸 것이다.

길어깨가 없을 경우를 슬래브에 재하된 하중에 의해 발생한 응력이 100%라고 할 경우, 해석 결과를 정리한 것이 〈표 10.7〉이다. 전체적으로 길어깨가 없는 경우보다 있을 경우가 슬래브의 한계응력 지점에 발생하는 응력 수준이 더 낮았다. LTE 50%일 경우는 길어깨 부분으로 하중전달이 제대로 되지 않아 LTE 100%에 비해 슬래브 내의 한계응력 지점의 응력 비율이 상대적으로 높았다. 길어깨 너비가 50cm 정도인 경우는 LTE 50% 일 경우, 약 88% 수준, LTE 100%일 경우, 약 69% 수준이었다.

길어깨 너비에 대한 응력 변화율 검토한 결과, LTE 50%일 경우는 50cm

너비보다 3% 변화, LTE 100%일 경우는 약 4% 변화하는 것으로 나타나 그 영향도가 미미하였다.



〈그림 10.15〉 길어깨의 하중 전달율이 50% 일 경우의 응력 분포도

〈표 10.7〉 길어깨 너비에 따른 한계 응력 지점의 응력 분포도

| 길어깨 너비(cm) | LTE 100% |       | LTE 50%  |       |
|------------|----------|-------|----------|-------|
|            | 응력(Pa)   | 비율(%) | 응력(Pa)   | 비율(%) |
| 0          | 1.29E+06 | 100   | 1.29E+06 | 100   |
| 50         | 8.99E+05 | 69    | 1.13E+06 | 88    |
| 100        | 8.51E+05 | 66    | 1.11E+06 | 86    |
| 150        | 8.41E+05 | 65    | 1.11E+06 | 86    |
| 200        | 8.38E+05 | 65    | 1.11E+06 | 86    |
| 250        | 8.37E+05 | 65    | 1.11E+06 | 86    |
| 300        | 8.36E+05 | 65    | 1.11E+06 | 85    |

## 부록 11. 공용성 모형

포장의 공용성 모형은 <그림 11.1>과 같이 포장체의 거동특성을 확인하여 포장의 설계 수명을 예측하는 역할을 한다. 그간 공용성 모형들은 자료 분석을 통한 경험적인 법에 의해 만들어졌으나, 최근에는 포장 구조체에 대한 역학적 해석 결과와 현장의 경험적 자료 및 실험실의 자료를 이용하여 역학적-경험적 모형을 만들어 내는 것이 일반적이다.

실제 포장에서 발생하는 피로균열, 영구변형, 스폴링 등과 같은 파손은 시공 품질관리 미비, 재료상의 문제, 유지관리 체계의 미비 등으로 인해 일어난다. 따라서 다양한 포장 파손에 대하여 인지하고 그 원인을 규명하는 것은 포장의 설계 기준 정립 및 유지보수 차원에서 중요한 의미를 지닌다.

본 장에서는 포장의 구조설계 기준이 일반 설계와 어떠한 차이가 있는지에 대하여 살펴보고 포장의 기능적, 구조적 파손을 정의하여 이를 예측하는 국내 모형의 개발 방법에 대하여 살펴보고자 한다.



<그림 11.1> 포장의 공용성 모형의 역할

본 도로포장 구조설계에서는 아스팔트 콘크리트 포장의 경우 피로균열과 영구 변형을 주요 공용성 인자로 고려하였으며 이를 바탕으로 평탄성지수를 계산한다. <그림 11.2>와 <그림 11.3>은 아스팔트 콘크리트 포장에서 피로균열과 영구 변형을 산정하는 로직을 보여준다. 아스팔트 포장층의 피로파손 로직은 교통량, 환경, 재료의 특성을 반영하여 피로수명에 대한 반복회수의 비(손상도)를 결정하는 과정으로 표현될 수 있다. 피로파손을 결정하는 손상도의 결정은 다음과 같은 순서로 진행된다.

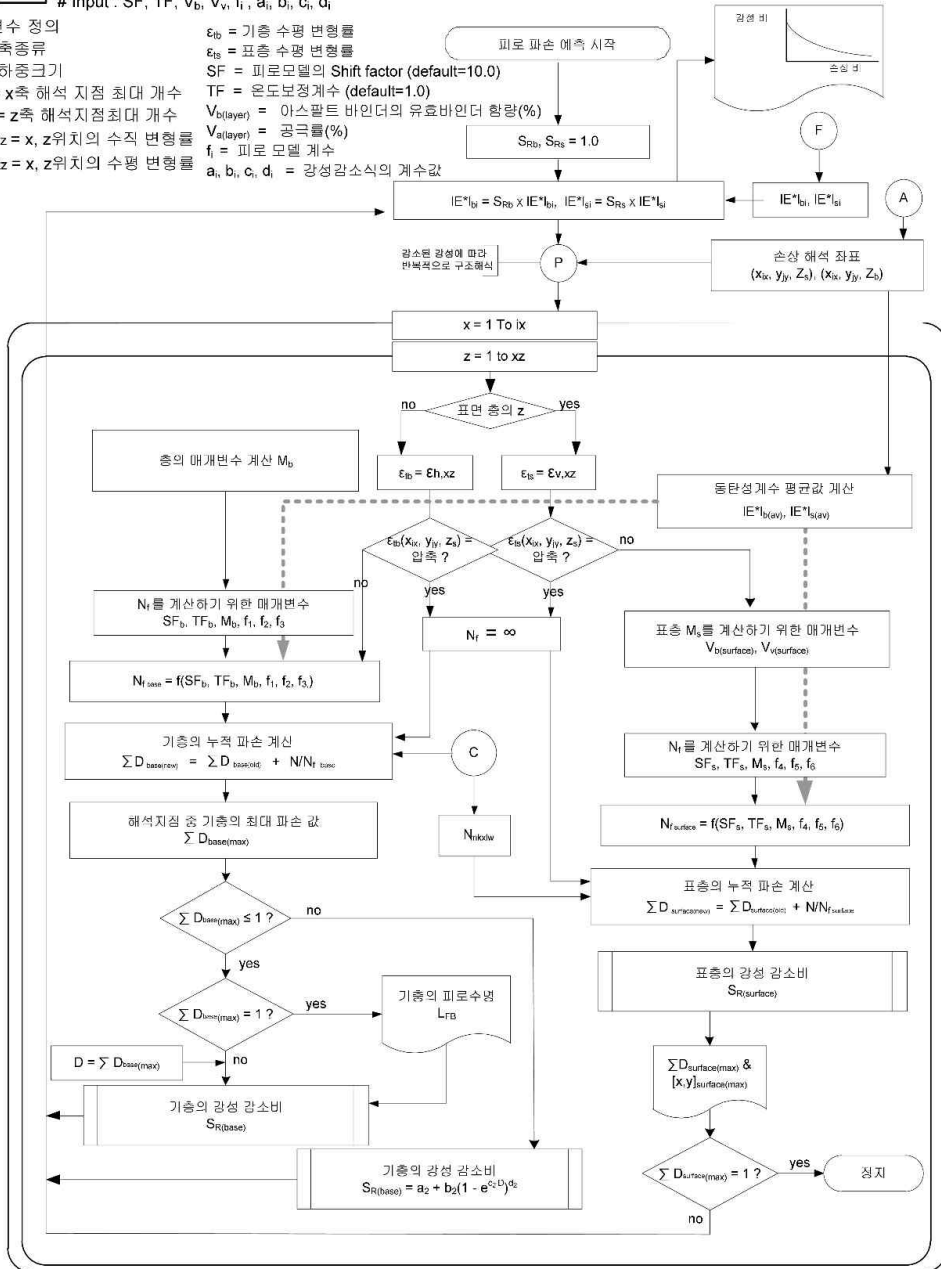
- (1) 주어진 조건에서 깊이별 온도에 따른 동탄성계수를 예측한다.
- (2) 예측된 동탄성계수를 이용하여 주어진 단면과 하중에 대하여 구조해석을 수행하여 표층상부와 중간층하부, 기층하부에서의 탄성 인장변형률을 계산한다.
- (3) 실내실험에서 피로수명식의 계수를 결정한다.
- (4) 설계 프로그램 내 주어진 조건에서의 하중의 반복회수를 결정하고 이를 피로수명으로 나누어 상향균열과 하향균열에 대한 손상도를 결정한다. 이때 결정된 손상도는 다른 하중조건에서 순차적으로 계산되는 손상도에 대하여 누적한다.
- (5) 누적된 상향 및 하향 손상도를 공용성 모형에 입력하여 상향 및 하향균열을 계산한다.
- (6) 상향 및 하향균열을 환산식에 대입하여 총균열을 계산한다.

**F**

# Input : SF, TF,  $V_b$ ,  $V_v$ ,  $f_1$ ,  $a_i$ ,  $b_i$ ,  $c_i$ ,  $d_i$

# 변수 정의  
*i* = 축종류  
*j* = 하중크기  
*ix* = x축 해석 지점 최대 개수  
*xz* = z축 해석지점 최대 개수  
 $\epsilon_{v,xz}$  = x, z위치의 수직 변형률  
 $\epsilon_{h,xz}$  = x, z위치의 수평 변형률

$\epsilon_{fb}$  = 기층 수평 변형률  
 $\epsilon_{fb}$  = 표층 수평 변형률  
SF = 피로모델의 Shift factor (default=10.0)  
TF = 온도보정계수 (default=1.0)  
 $V_{b(layer)}$  = 아스팔트 바인더의 유효바인더 함량(%)  
 $V_{v(layer)}$  = 공극률(%)  
 $f_i$  = 피로 모델 계수  
 $a_i, b_i, c_i, d_i$  = 강성감소식의 계수값



Output :  $L_{FB}$ ,  $D_{surface(max)}$ ,  $[x,y]_{surface(max)}$   
 $L_{FB}$  = 기층의 피로수명 (월)  
 $D_{surface(max)}$  = 표층의 최대 피로파손  
 $[x,y]_{surface(max)}$  = 표층의 최대피로파손 좌표  
 $D_{base(max)}$  = 기층의 최대 피로파손

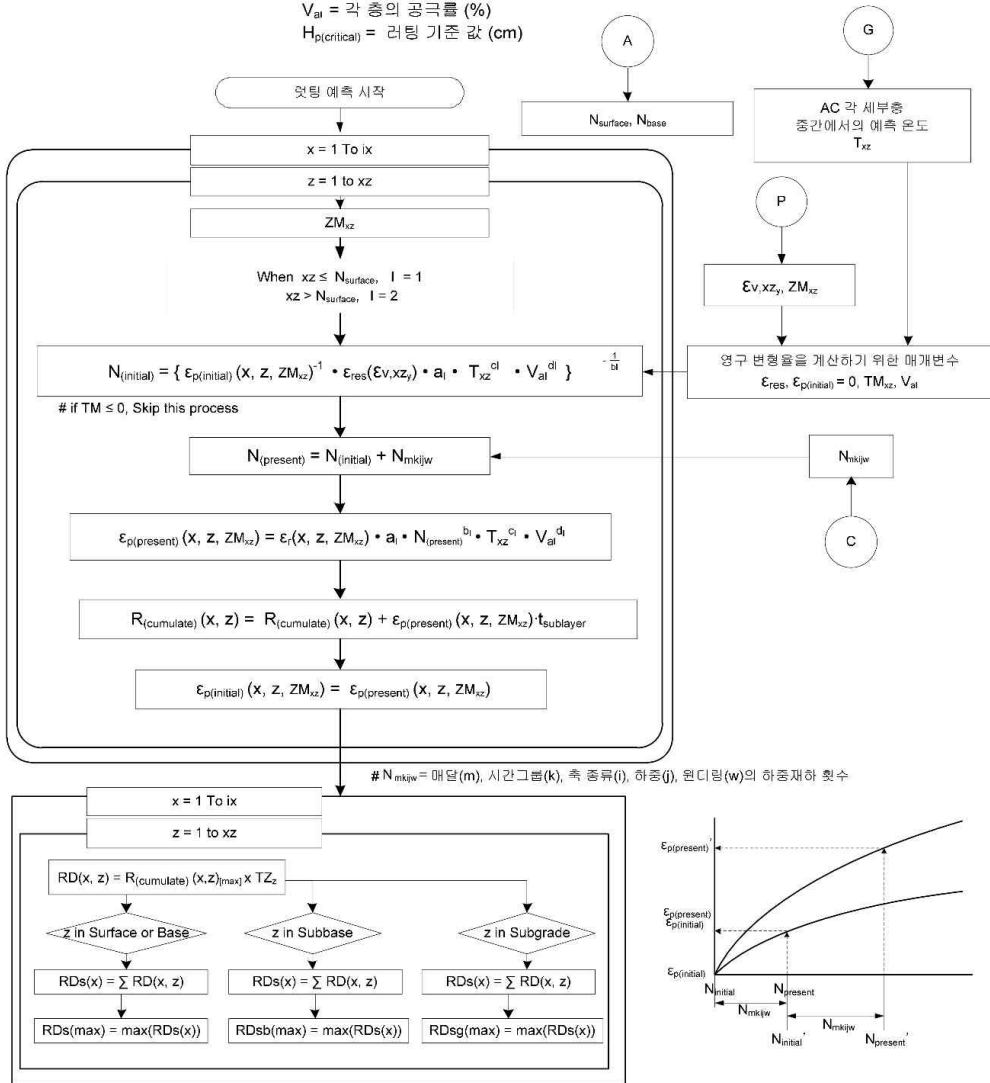
$N_{mkolw}$  = 월(m), 시간(k), 축(x), 하중(l), 원터링(w)에서의 교통하중  
 $N_f$  = 피로수명  
 $D_i$  =  $i$ 층의 피로 파손 정도  
 $S_{Rb}$  = 기층 층의 강성 감소비  
 $S_{Rs}$  = 표면 층의 강성 감소비

<그림 11.2> 아스팔트 콘크리트 포장층의 피로균열 산정 로직

**R**

# 입력 :  $a_i, b_i, c_i, d_i, V_{al}, H_{p(critical)}$

# 변수 정의  $ix = x$ 축 해석 지점 인덱스의 최대 개수  
 $xz = z$ 축 해석지점 인덱스 최대 개수  
 $a_i, b_i, c_i, d_i =$  러팅 모델의 계수 값  
 $ZM_{xz} =$  아스팔트 세부 층들의 중간 깊이  
 $Tz_z =$  아스팔트 세부 층들의 두께  
 $\epsilon_{v,xz} = x, z$  위치의 수직 변형률  
 $V_{al} =$  각 층의 공극률 (%)  
 $H_{p(critical)} =$  러팅 기준 값 (cm)



# 출력

$RDs(max) =$  표층, 기초 러팅 max  
 $RDsb(max) =$  보조기층 러팅 max  
 $RDsg(max) =$  노상의 러팅 max

# 변수 정의

$RDs(max) =$  기층의 러팅 최대 값  
 $RDsb(max) =$  보조기층의 러팅 최대 값  
 $RDsg(max) =$  노상의 러팅 최대 값

<그림 11.3> 아스팔트 콘크리트 포장층의 영구변형 산정 로직

영구변형 로직은 아스팔트층과 보조기층, 노상에 대하여 각각 결정되며, 이들을 누적하도록 적용되며, 이들을 두께에 따라 누적하여 총 영구변형량을 결정한다.

- (1) 주어진 조건에서 깊이별 온도에 따른 동탄성계수를 예측한다.
- (2) 예측된 동탄성계수를 이용하여 주어진 단면과 하중에 대하여 구조해석을 수행하여 표층, 중간층, 기층, 보조기층, 노상에서의 수직방향 압축변형률을 결정한다.
- (3) 실내실험에서 영구변형 모형의 계수를 결정한다.
- (4) 설계 프로그램 내 주어진 조건에서의 하중의 반복회수를 결정하고 이를 영구모형식에 입력하여 영구변형률을 계산한다.
- (5) 계산된 영구변형률에 층의 두께를 곱하여 영구변형량을 결정한다.
- (6) 다른 하중조건에서 결정된 영구변형량을 계산하기 위해서는 주어진 하중조건에서의 영구변형률을 역산할 필요가 있다. 따라서 다른 하중조건에서의 영구변형률을 결정하기 전에 주어진 계수들을 이용하여 주어진 영구변형률을 발생시키는 교통량을 역산한다.
- (7) 역산된 값과 탄성변형률을 이용하여, 주어진 하중조건에서의 영구변형률을 결정한다.

위에서 산정된 공용성 모형의 결과를 바탕으로 한 평탄성지수 산정 로직은 <그림 11.4>과 같으며 입력 변수로는 초기 평탄성지수, 공용년수, 영구변형 깊이 및 균열율이 있다.

시멘트 콘크리트 포장의 경우는 아스팔트 콘크리트 포장과 달리 영구변형 산정과정 없이 피로균열 모형을 바탕으로 공용성 분석이 이루어지며 이를 바탕으로 평탄성지수 산정을 수행한다. 시멘트 콘크리트 포장에서 피로균열을 예측하는 로직은 기본입력 변수들을 바탕으로 구조해석을 통해 산정한 응력과 재료의 강도비를 통해 산정한다. <그림 11.5>는 피로균열을 예측하는 로직이며 이를 자세히 살펴보면 다음과 같다.

- (1) 교통하중, 온도하중, 하부물성, 콘크리트 재료물성의 계산값 및 예비 설계한 단면의 형상(두께, 폭, 길이)을 불러 들인다.
- (2) 포장층의 조합에 따른 불연속면의 LTE 값을 산정한다.
- (3) 컬링 조건에 따른 교통 및 환경 하중에 의한 상향 및 하향균열을 유발하는 응력을 각각 산출한다.
- (4) 원더링 효과 모듈을 통해 산출한 응력을 재계산한다.
- (5) 상향 및 하향 피로균열 모형에 계산된 응력을 대입한다.
- (6) 피로균열 모형을 통해 교통량의 최대 허용 반복회수를 구한다.
- (7) 단위 해석 기간동안에 통과할 예상 교통량을 최대 허용 반복회수로 나누워 파손율을 산정한다.
- (8) 균열율을 예측하는 전이함수에 전 단계에서 계산한 파손율을 입력하여 최종 균열율을 계산한다.
- (9) 설계 공용 년수에 해당하는 기간동안 동일 과정을 반복 계산한다.

**S**

# 변수 정의

$D_{surface(max)}$  = 표층 Bottom up 손상

$D_{base(max)}$  = 기층 Bottom up 손상

$D_{topdown}$  = 표층 Top down 손상

$F_{bu}$  = 표층 Bottom up 피로균열

$F_{td}$  = 표층 Top down 피로균열

$C1,2,3$  = 표층 피로 모델 Bottom up 계수

$B1,2,3$  = 표층 피로 모델 Top down 계수

Age = 해석시점(년)

IRI0 = IRI 초기 값

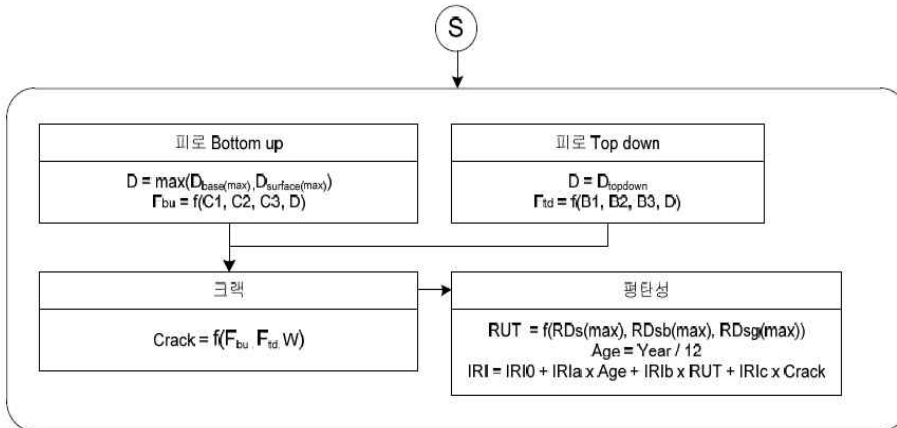
IRIa, b, c = IRI 모델 계수

RUT = 러팅

RDs(max) = 표층과 기층 러팅의 최대 값

RDsb(max) = 보조 기층의 러팅

RDsg(max) = 노상의 러팅



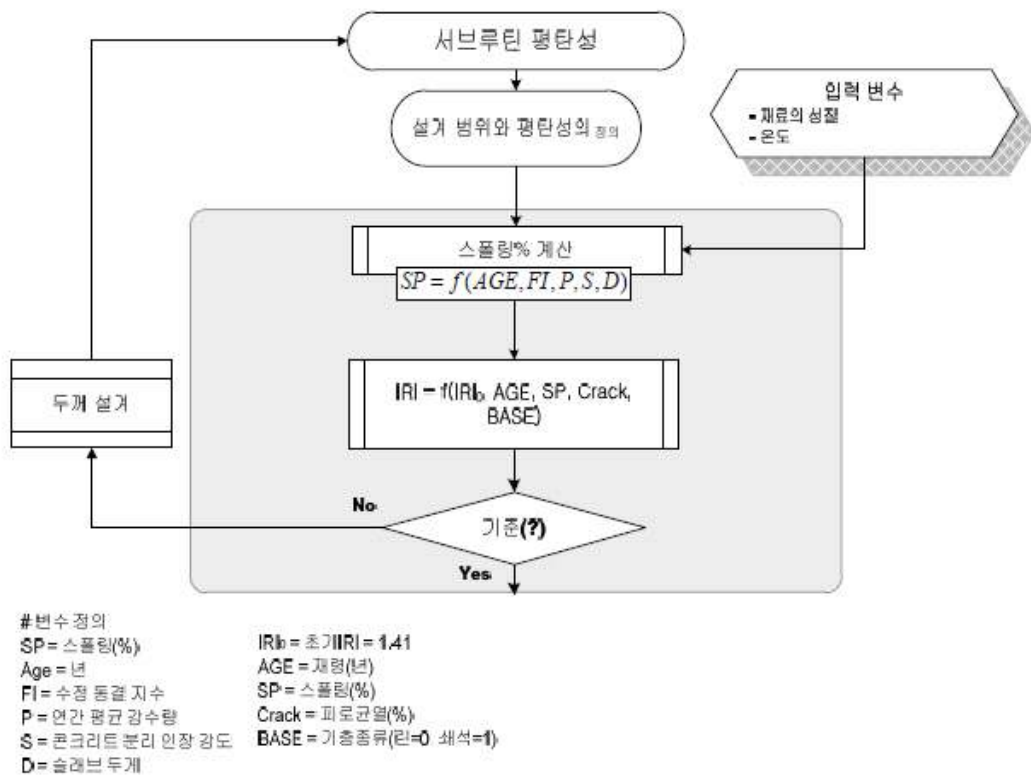
〈그림 11.4〉 아스팔트 콘크리트 포장층의 평탄성지수 산정 로직



평탄성지수는 앞서 계산한 피로균열과 포장의 공용성 기준은 아니지만 평탄성에 영향을 미치는 스펀링의 발생량을 통해 계산한다. 다음은 평탄성지수를 계산하는 과정을 나타낸 것이다(그림 11.6) 참조.

- (1) 공용 년수, 연평균 강수량, 수정동결지수, 쪼갬인장강도, 슬래브 두께, 중차량비율을 입력 변수로 하여 스펀링을 계산한다.
- (2) 초기 평탄성지수, 공용년수, 기층 종류, 스펀링 및 균열율을 바탕으로 평탄성 지수를 구한다.
- (3) 위 과정을 설계 공용 년수동안 반복 계산하여 평탄성지수 변화를 산정한다.

4



〈그림 11.6〉 시멘트 콘크리트 포장의 평탄성지수 산정 로직

아스팔트 콘크리트와 시멘트 콘크리트 포장의 공용성 모형에서 사용된 세부 모델에 대한 설명은 이후 각 장에서 구체적으로 설명한다.

## 11.1 도로포장 구조 설계

도로포장 구조설계는 일반 토목 구조물의 설계와 그 기준이 다르다. 교량 설계는 균열이나 구조적인 파손이 발생하는 것을 허용하지 않는다. 하지만 포장은 일정 균열이나 기타 파손이 일어나도 사용이 가능하다. 도로포장의 설계는 설계 기준과 지형조건 및 교통량에 따라 구체적으로 포장의 두께와 적절한 재료를 선정하는 것이다. 즉, 재료물성, 환경하중, 교통하중, 불연속면, 흙의 종류등과 같은 설계 입력 변수들을 포장의 해석모형에 입력하여 포장의 거동을 분석한다. 그 결과를 포장의 공용성 모형에 대입하여 설계한 포장의 설계 수명을 예측한다. 그리고 신뢰도의 개념을 도입하여 신뢰수준에 따른 설계 입력치를 결정하고 초기 건설비부터 포장의 수명이 다할 때까지의 유지보수비용을 고려한 경제성 분석(LCCA: Life Cycle Cost Analysis)를 실시하여 최적의 설계가 이루어지도록 한다. 이러한 포장 구조 설계에서는 일반적으로 교통 및 환경에 의해 포장체 내부에 발생하는 응력이 강도에 비하여 작다. 실제로 포장 표면에 재하되는 압축 응력의 최대값은 타이어 압력 이상을 넘기가 어렵다. 이렇듯 콘크리트나 아스팔트의 압축 강도는 타이어 압력에 비해 수십 배 이상이지만 포장에서는 반복하중에 의한 피로의 누적으로 파손이 발생한다. 앞서 말한 피로가 누적되는 개념을 포장에 적용한 포장의 누적 손상이론에 대해 자세히 알아보자. 이 개념은 포장의 전체 공용수명기간동안 특정한 시점에서의 포장체 온도, 수분함량, 교통하중 및 포장의 물성이 변화되는 것을 설계자가 고려할 수 있다는 장점이 있다. 다음은 도로포장 구조 설계에서 사용되는 누적손상 이론이다. 매시간 온

도가 변화하게 되면 포장 재료의 물성이 변화되며 이로 인해 포장의 거동이 달라지며, 이러한 변화를 다음과 같은 개념을 적용하여 해석시 고려할 수 있다.

$$d_{ijk} = \frac{N_{ijk}}{N_{f,ijk}} \quad \langle \text{식 11.1} \rangle$$

여기서,  $d_{ijk}$  :  $i$ 번째 1개월에서  $k$ 번째 축하중에 의해  $j$ 번째 한 시간 동안 발생하는 손상

$N_{ijk}$  :  $i$ 번째 1개월에서  $j$ 번째 한 시간 동안 가해지는  $k$ 번째 축하중의 회수

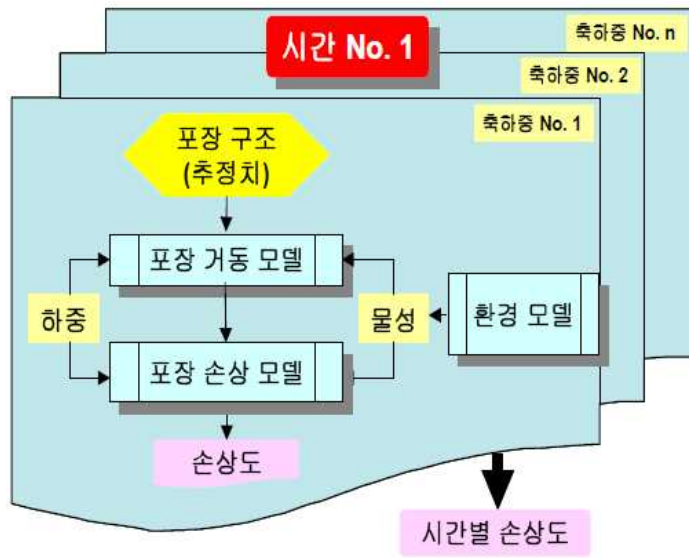
$N_{f,ijk}$  :  $i$ 번째 1개월에서  $j$ 번째 한 시간 동안 가해지는  $k$ 번째 축하중의 허용회수

그러면 총  $M$  개월 동안 발생한 전체 손상은 다음과 같다.

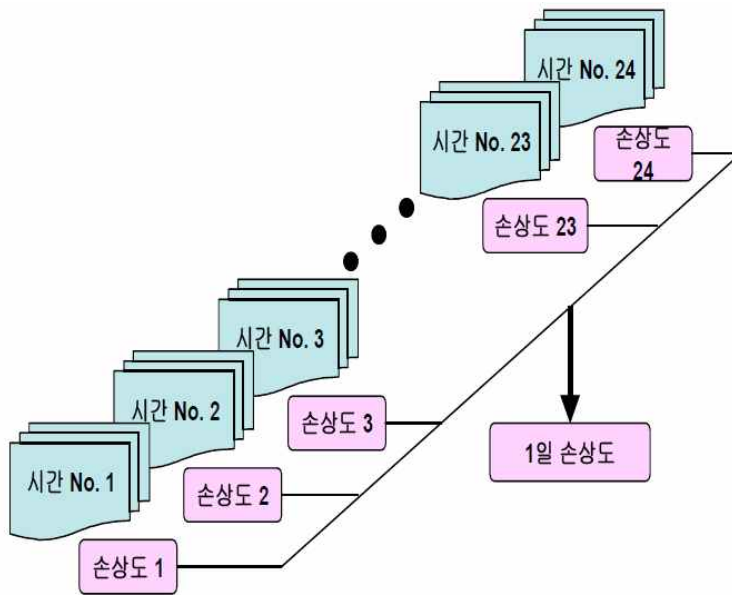
$$d = \sum_{i=1}^M \sum_{j=1}^L \sum_{k=1}^K d_{ijk} \quad \langle \text{식 11.2} \rangle$$

여기서  $K$ 는 축하중의 종류와 크기별 그룹으로 구분되어 있는 총 개수를 말한다. 예를 들어 단축하중이 하중 크기별로 10개 그룹이 있고, 2축 하중이 하중크기별로 6개 그룹, 그리고 3축 하중이 크기별로 5개 있다면  $K$ 는 21개가 된다.  $L$ 은 1개월 동안의 시간으로서  $30 \times 24 = 720$ 시간이 된다. 또한  $M$ 은 전체 공용기간 동안의 개월을 나타낸다. 만약  $\langle \text{식 11.2} \rangle$ 의  $d$  값이 1을 초과하면 포장은 파손된 것으로 간주하게 된다.

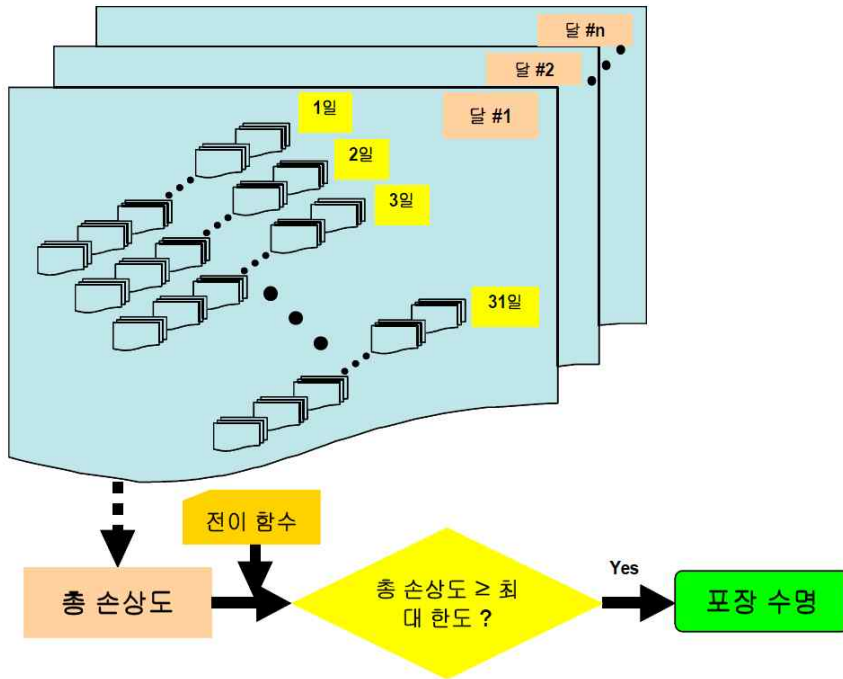
누적손상 개념을 개략적으로 도식화한 것이  $\langle \text{그림 11.7} \rangle \sim \langle \text{그림 11.9} \rangle$ 이다. 먼저 포장체의 손상을 매 시간별 혹은 몇 시간 간격으로 계산을 한다. 이렇게 계산된 시간별 손상을 누적하여 하루 동안 발생한 손상을 계산한다. 또한, 매일 발생하는 손상을 누적 계산하여 1개월 동안 발생한 손상을 계산하게 되고 전체 손상  $d$ 가 1에 도달할 때까지 매월 발생하는 손상을 누적 계산하면  $d$ 가 1에 도달할 때까지의 총 개월 수를 알 수 있으며 이것이 포장이 파손될 때까지의 공용기간이 된다.



〈그림 11.7〉 시간별 손상계산



〈그림 11.8〉 1일 손상 계산



〈그림 11.9〉 전체 누적 손상 계산

하지만 누적 손상 이론도 포장의 파손 원인이 복합적으로 작용할 경우 실재를 모사하지 못하는 이론적인 문제점이 있다. 예를 들어 교통하중에 의해 포장의 피로균열이 발생한다면, 실제 다양한 축하중을 가진 차량들이 도로의 포장 위를 무작위 순서로 주행할 것이다. 하지만 누적 손상이론에서는 해석 단위 시간 동안 한 축하중 그룹이 주행한 결과를 해석한 후 순차적으로 다음 그룹에 대한 해석을 수행한다. 이는 실제 포장에서 발생하는 것과는 차이가 있다. 따라서 설계 개발시 이러한 문제점을 이해해야 포장의 공용성 모형이 나타나는 모양이나 오차를 설명할 수 있을 것이다.

## 11.2 도로포장 구조 설계 기준

설계 기준이란 포장의 두께 및 형상을 설계 하는 기초 잣대이다. 이는 포장 건설 초기의 경험적인 설계에서부터 시작하여 강도 및 응력 비교를 통한 해석, AASHTO 도로실험을 통해 정립된 PSI, IRRE(International Road Roughness Experiment) 에서 개발한 IRI International Roughness Index), 그리고 구조적 공용성 개념에까지 이르게 되었다. 여기에서는 각 공용성 개발 과정에 대하여 자세히 알아보도록 하자.

### 11.2.1 IRI (International Roughness Index)

#### (1) 정의 및 기존 연구

도로 사용자가 느끼는 포장 서비스의 질은 평탄성이 중요한 인자이다. 일반적으로 평탄성은 포장표면의 불규칙한 면의 측정으로 나타나며, 이러한 것은 도로 사용자들이 관심을 두는 포장 파손의 형태를 말한다.

1982년 이전의 평탄성은 각 나라별로 여러 가지의 장비 및 각 장비에 따른 지수로 표현되었다. 세계은행은 각 나라별 도로투자 비용을 산출하기 위해 1982년에 전 세계적으로 각 나라별 도로등급을 판단할 수 있는 통일된 평탄성 지수를 필요로 하였다. 이를 위하여 같은 년도에 브라질에서는 다양한 평탄성 측정 장비를 모아서 장비별 평가를 실시하였다. 이러한 측정 장비들은 반응형 타입의 도로 평탄성 측정 장비와 정적 및 동적 거칠기 측정방법으로 나눌 수 있다. 반응형 타입의 도로 평탄성 측정 장비는 차량의 누적 완충장치와 변환장치에 의해 구성되며, 보통 일정량만큼의 완충위치의 변화를 파악해서 측정하는 방법이다. 정적 거칠기는 노면의 프로파일을 실제 수준 측량으로 측정하

는 방법이다. 동적 거칠기는 프랑스 LCPC에서 개발한 APL 장비를 말하며, 트레일러의 바퀴에 수직 진동을 가하여 지지대의 추의 각도 변화량을 측정 후 수직 변화량으로 전환하는 방법이다. 이러한 연구 결과로, 세계은행에서는 국제적으로 사용할 수 있는 IRI 를 개발하였다.

IRI란 실제 노면을 입력값으로 하여 80km/hr의 속도로 주행하는 쿼터카 (Quater-Car) 시스템을 모사한 것으로 다음과 같은 과정을 거쳐 정의된다.

- 1) IRI는 싱글 종단 프로파일에 의해서 계산된다. 샘플 간격은 최대 300mm 보다 커서는 안되고 요구되는 샘플간격은 평평한 도로의 경우에는 더 조밀해야 하는 것처럼 도로의 평탄성 수준에 의존한다. 0.5mm의 간격은 모든 조건에 적합하다.
- 2) 프로파일은 샘플 수준점 사이에 일정한 경사로 가정하며 250mm의 길이로 이동 평균에 의해서 부드럽게 된다.
- 3) 부드러운 프로파일은 80km/h 속도에서 특정 파라미터를 가진 쿼터카 시뮬레이션을 사용한다.
- 4) 시뮬레이션된 완화장치는 선형적으로 누적하고 프로파일의 길이로 나눈다.

IRI는 이러한 개발 기준의 장점 때문에 공용성을 나타내는 지수로 세계적으로 널리 쓰이고 있으며, 최근 개발된 각국의 설계에서도 공용성을 나타내는 지수로 IRI를 채택하여 관련 연구를 진행하였다.

다음은 각 연구를 통해 개발된 IRI 모형에 대하여 살펴본 것이다.

• Simpson et al., 1994의 다월바 설치 시

$$IRI = 105.9 + 159.1 \times \left( \frac{AGE}{KSTATIC} \right) + 2.167 \times JTSPACE \quad \langle \text{식 11.3} \rangle$$

$$- 7.127 \times THICK + 13.49 \times EDGESUP$$

여기서, IRI : 국제 평탄성 지수 (in/mi)

AGE : 재령(년)

THICK : 콘크리트 슬래브 두께(in)

KSTATIC : 역산된 정적 K값(psi/in)

DGESUP : 길어깨 종류( 콘크리트 길어깨는 1, 다른종류는 0)

JTSPACE : 횡방향 줄눈 평균 간격(ft)

• Simpson et al., 1994의 다월바 미설치 시

$$IRI = 38.85 + 12.89 \times CESAL + 0.2217 \times FT + 1.498 \times PREIP - 10.96 \times BASE - 13.69 \times SUBGRADE \quad \langle \text{식 11.4} \rangle$$

여기서, IRI : 국제 평탄성 지수 (in/mi)

CESAL : 누적 18KIPS ESALS(만)

PRECIP : 년 평균 강수량(in)

FT : 년 평균 공기 동결융해 반복횟수

BASE : 기층 종류(안정처리는 1, 비안정처리는 0)

SUBGRADE : 노상의 종류

(AASHTO 분류에서 A-1,A-2,A-3은 1, A-4~A-7은 0)

• Hoerner et al., 1999의 모형

$$IRI = \epsilon IIRI + (4.8389 \times Age) - (0.047 \times Age \times \epsilon IIRI) + (0.7165 \times \%CRACKED) + (359.956 \times FAULT) + (0.3828 \times \%SPALL)$$

〈식 11.5〉

여기서, IRI : 국제 평탄성 지수 (in/mi)

INIIRI : 초기 국제 평탄성 지수 (in/mi)

Age : 재령(년)

%CRACKED : 횡방향 피로균열의 전체 슬래브 퍼센트(%)

FAULT : 줄눈마다 평균 단차 높이(IN)

%SPALL : 심각도 중, 상의 스폐링의 전체 슬래브의 퍼센트(%)

• Titus\_Glover et al. 1999의 모형

$$IRI = 82.56 + KESAL^{0.4} \times (0.01 \times WETDAYS + 0.72 \times ZONE) + AGE^{0.4} \\ \times (0.00506 \times FI + 1.57 \times 10^{-6} \times E_{PCC} - 3.5 \times SUBGRADE - 3.07 \times DOWELDL$$

〈식 11.6〉

여기서, IRI : 국제 평탄성 지수 (in/mi)

KESAL : 누적 18KIPS ESALS(천회)

WETDAYS : 강수량이 0.5in 보다 큰 강수 일수

ZONE : 미LTPP 구간의 기후 존(동결지역 : 1, 비동결지역 : 0 )

AGE : 재령(년)

FI : 동결지수(°F-일수)

Eppc : 콘크리트 포장의 탄성계수(psi)

SUBGRADE : 노상종류(1: 조립토, 0: 세립토)

DOWELDIA : 다웰바 직경(in)

• Yu et al. 1997의 모형

$$IRI = 99.59 + 2.6098 \times TFAULT + 2.2802 \times TCRACK3 + 1.8407 \times \%SPALL \times (103) \quad \langle \text{식 11.7} \rangle$$

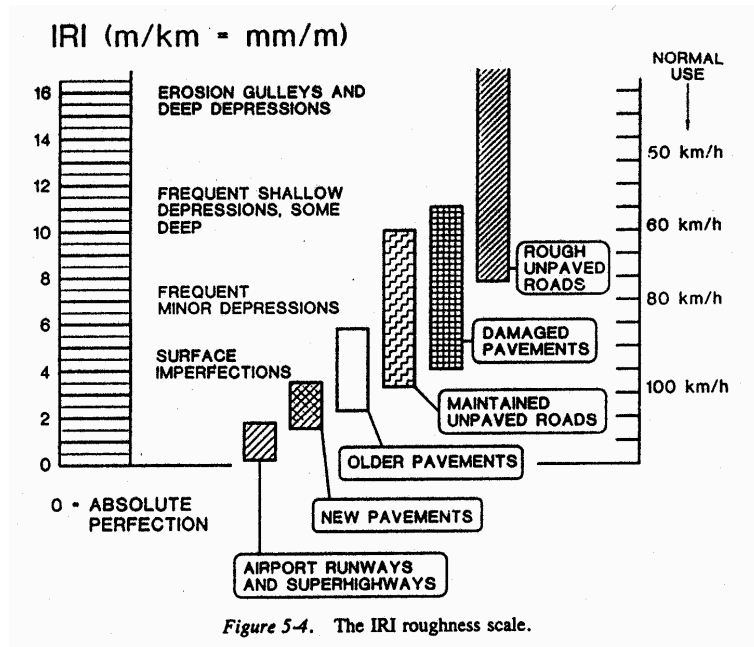
여기서, IRI : 국제 평탄성 지수 (in/mi)

TFAULT : 마일당 총 누적 단차 길이(in/mi)

TCRACK : 마일당 총 균열수

%SPALL : 심각도 중, 상의 스폴링의 전체 슬래브의 퍼센트(%)

다양한 IRI 모형은 포장의 형식 및 조건에 따라 달라지며 도로를 관리하는 정책 및 재정에 따라서도 변화한다. IRI 모형이 포장 공용성의 기능적인 기준이 되긴 하지만 〈그림 11.10〉과 같이 상태가 좋은 노후포장과 품질관리가 나쁜 신설포장의 IRI 값을 측정 후 동일한 결과가 나올 경우 이를 판단할 근거가 없다는 것이 단점이다.



〈그림 11.10〉 IRI와 포장 상태와의 관계

## (2) 도로포장 구조 설계

현재 IRI 모형은 아스팔트 콘크리트 포장체의 균열 및 파손 인자와의 상관관계를 회귀 분석을 통해 개발하였고 시멘트 콘크리트 포장의 모형은 개발 중에 있다. 여기서는 아스팔트 IRI 모형의 개발 과정의 상세 내용을 설명하였다.

### 1) 자료 수집

국내 공용성 자료 검토 결과, 포장 평가 자료는 표면 결함 위주로 수집된 것을 확인하였으며, 모형 개발에 필요한 종단 평탄성 자료 중 국내 LTPP 구간에서 수집된 자료는 거의 없는 상태이다. 이에 따라 매년 이루어지는 국도 PMS 및 한국 도로공사의 속성조사에 의해 얻어지는 평탄성 자료를 이용하여 균열, 스폐링, 영구변형과 IRI의 상관성을 분석하였다.

아스팔트 콘크리트 포장의 경우의 PMS 자료는 자료 수집의 특성상 조사당해

년도의 각 국도유지사무소별로 제안된 파손이 가장 심한 구간을 대상으로 선택적으로 조사하고 있으며 이에 따라 조사한 구간은 유지보수를 시행하므로 PMS 자료로는 어느 특정 구간의 일관된 자료(그 구간의 시간의 변화에 따른 일관성 있는 자료)를 얻기가 불가능하다. 따라서 전반적인 각 변수들과 IRI 의 관계를 알아보기 위해 PMS 자료 가운데 특정 조사대상구간을 고려하지 않고 1991년부터 1999년까지 수집된 2911개소의 자료를 분석하였다. 추가적으로 현장 실험을 수행하였으며 대상구간은 1) 시공연도가 상이할 것, 2) 포장두께가 유사하거나 동일한 구간일 것, 3) 영구변형이나 균열과 같은 파손의 대중소를 나타내는 구간이 인접해 있을 것과 같은 세 가지 선택조건을 만족하는 포장 구간을 실험대상구간으로 선정하였다. 국도상의 여러 구간들 중 위의 조건을 만족하는 구간으로 15개소(국도1호선(2), 국도21호선(2), 국도23호선(3), 국도34호선(2), 국도36호선(1), 국도37호선(3), 국도39호선(2))이었다. 따라서 이 구간들을 현장 실험 대상구간으로 선정하였다. ARAN 장비를 사용하여 IRI를 1km 범위로 측정하고 육안조사를 통해 포장 파손을 조사하여 실제 ARAN에서 읽어들이는 파손과 육안조사 결과를 비교하여 측정의 정확성을 기했다.

시멘트 콘크리트 포장의 경우 파손에 영향을 미치는 스폐링, 균열, 재령, 기층 등 상관관계 분석을 위해 사용된 자료는 고속도로 정기포장상태 조사결과이며, 교량부 및 터널부를 제외한 순수 토공부에 대해서 최소연장 300m 이상의 구간을 하나의 섹션으로 선정하였으며, 각 섹션별 슬래브수 및 줄눈수 대비 손상이 발생한 개소를 손상률(%)로 나타내었다. 조사구간은 영동선, 88선, 남해선, 중부선, 중앙선, 호남선에 대하여 적용연장 280.93km에 대해서 고려하였다.

#### ■ 도로포장 구조 설계 중 시멘트 콘크리트 포장의 모형

평탄성 지수 모형의 개발을 위해 필요한 영향인자는 스폐링, 균열, 재령, 기층으로 나타났으며, 이에 대한 회귀분석결과 신뢰성 있는 평탄성 지수 모형을 도출하였다. 또한, 초기평탄성 및 공용 개시후의 IRI 값의 증가 경향을 함께 고려하고 있다. 회귀분석 프로그램을 사용하여 도출한 평탄성 지수 모형은 다음과 같다.

$$IRI = IRI0 + 0.0235AGE + 2.17Spalling(\%) + 1.88Cracking(\%) + 0.811Base$$

〈식 11.8〉

여기서, IRI : 국제 평탄성 지수 (m/km)

$$IRI0(\text{초기 평탄성}) = 1.41 \text{ (m/km)}$$

AGE : 포장 공용 연수

Spalling(%) = 스폐링율

Cracking(%) = 균열율

Base = 기층종류 (린기층 : 0 , 쇄석기층 : 1)

### ■ 도로포장 구조 설계 중 아스팔트 포장의 모형

평탄성 지수와 각 변수와의 영향정도를 분석한 결과 공용연수, 영구 변형량, 피로 균열률이 평탄성 지수에 영향이 있는 것으로 판단되어 3개의 변수를 이용하여 평탄성지수와와의 모형을 통계분석을 통하여 〈식 11.9〉과 같이 개발하였다.

$$IRI = IRI0 + 0.056AGE + 0.19RD+0.01FC \text{ 〈식 11.9〉}$$

여기서, IRI = 국제 평탄성 지수 (m/km)

$$IRI0(\text{초기 평탄성}) = 1.18 \text{ (m/km)}$$

AGE : 포장 공용 연수

RD= 영구변형 깊이(mm),

FC = 피로균열률(%)

## 11.2.2 구조적 파손 형태 기준

포장의 구조적 공용성은 포장의 물리적 상태와 관련 있는 것으로 포장층의 균열이나 영구변형, 단차 등의 각 파손을 공용기간동안 누적하여 그 포장의 수명을 판단하는 것이다. 공용 후 구조적 파손의 발생은 포장의 교통흐름에 미치거나 유지보수작업이 필요하므로 각 공용성 모형들은 도로포장 구조 설계의 핵심

이 된다. 지금부터 도로포장 구조 설계에서 고려하고 있는 아스팔트 콘크리트 및 시멘트 콘크리트 포장의 구조적 파손 모형에 대하여 살펴보도록 하자.

## (1) 아스팔트 피로 파손 모형

피로수명은 보다 정확한 예측 모형을 통해 결정되어야 하지만 현재는 경험적 파손예측 모형이 주를 이루고 있다. 경험적 모형은 상이한 재료 또는 새로운 혼합물을 사용할 경우 예측식의 적용이 어렵고 혼합물의 노화가 고려되지 않았기 때문에 정확한 수명예측은 한계가 있다. 경험적 파손예측 모형의 이러한 많은 문제 때문에 포장 파손에 대한 역학적 규명이 필요하고 이를 모형화한 역학적 파손 예측모형이 필요하다. 아스팔트 콘크리트 포장의 피로파손 모형 개발 연구를 통해 반복 하중을 받는 아스팔트 혼합물의 피로수명 결정을 위한 시험법을 이용하여 피로파손 모형을 개발 하였으며 그 내용은 다음과 같다.

### 가. 시험 방법 및 절차

하중 장치는 Servo-Hydraulic Closed Loop 시스템의 장비로서 MTS사의 모형 810(10Ton)이다. 모든 시험은 간접인장방식에 의해 수행하였고, <그림 11.11>과 같이 시험시편을 장비에 거치한다. 그림에서 보는 바와 같이 시편의 상부 및 하부에 하중을 재하할 수 있는 재하 장치는 LTPP(2001)에서 제안한 방식으로 제작하여 사용하였다.

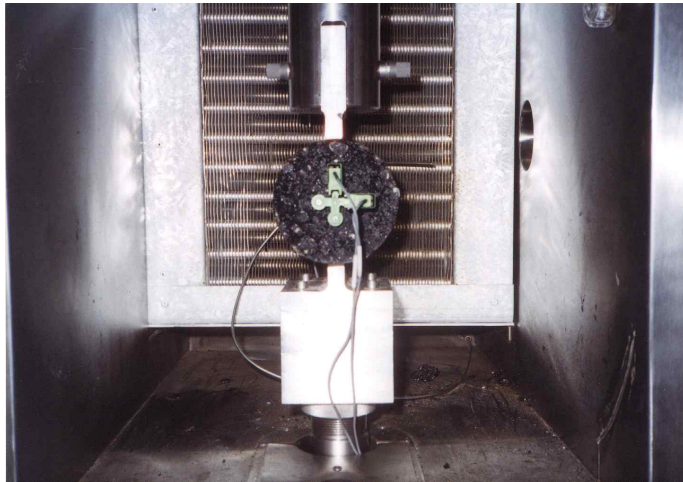
시편에 발생하는 수평 및 수직 변위를 측정하기 위하여 Strain 게이지 방식의 Extensometer를 시편의 앞과 뒤에 부착하여 변위를 측정하였다. 시험에 앞서 시편의 중심을 기준으로 수평과 연직선을 따라 게이지 길이 25.4mm(1inch) 떨어진 위치에 게이지 부착을 위한 철제 포인터(Point)를 에폭시를 사용하여 부

착하였다. 철제 포인터 위에 수평 및 수직 Extensometer 1개조씩을 설치하여 (포인터와 Extensometer는 자석 힘으로 고정됨) 변위를 측정하였다.

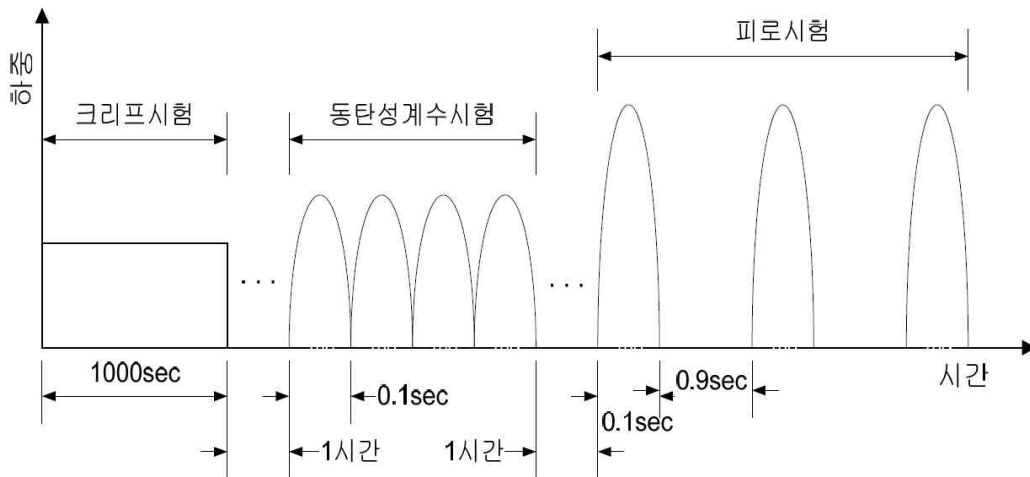
시편의 앞면과 뒷면 각각으로부터 수평 및 수직 Extensometer들로부터 읽어 들이는 4개의 Voltage 신호를 증폭하고 노이즈를 제거하는 Signal Conditioning을 위해 Data Logger를 사용하였으며, 이를 하중 및 Stroke 변위의 신호와 함께 MTS DAQ 장비에 저장하였다.

각각의 시편에 대한 피로시험을 진행하기에 앞서 아스팔트 혼합물의 점탄성 물성을 측정하기 위하여 크리프시험과 동탄성계수시험을 실시하였으며, 모든 시험은 20°C의 온도에서 수행하였다. 각 시편에 대한 시험절차는 <그림 11.12>에서 보는 바와 같이 먼저 크리프시험을 1000초간 수행한 다음 1시간의 휴지기를 주어 변위가 완전히 회복되도록 기다린 다음 주기 10Hz의 Haversine 파형의 하중을 재하하여 동탄성계수측정을 실시하고 역시 1시간의 휴지기를 거친 다음 0.1초의 하중재하 및 0.9초의 휴지기를 갖는 피로시험을 순차적으로 진행하였다. 크리프 시험과 동탄성계수시험은 혼합물의 선형 점탄성 물성을 측정하는 목적으로 수행하였기 때문에 하중은 재료의 선형 점탄성범위를 벗어나지 않는 구간 내에서 결정하도록 한다.

크리프시험의 경우 동일한 시편에 대해 500N, 700N, 1000N의 하중을 재하하여 시험을 실시하고 크리프 컴플라이언스(creep compliance)  $D(t)$ 를 구한 다음  $D(t)$ -시간의 관계곡선을 그린다. 그 후 곡선 간의 중첩을 확인하여 그 중복성을 판단한다. 동탄성계수시험에서는 총 수평변위가 120~150  $\mu\epsilon$  사이, 한 Cycle당 진폭은 40~50  $\mu\epsilon$  사이가 되도록 하중을 정하였다. 피로 시험의 하중진폭은 미리 예비시험을 통하여 피로에 의한 파괴까지의 하중재하 회수가 대략 3,000~5,000회, 20,000~30,000회, 100,000회 정도되는 3개의 하중을 결정하여 사용하였다.



〈그림 11.11〉 시편을 시험장비에 거치한 광경



〈그림 11.12〉 간접인장 시험 순서

#### 나. 피로시험 결과

아스팔트 콘크리트 포장의 상향균열 및 하향균열은 상부에 각각 거북등 균열 및 선상균열로 나타내는 균열로 판단되어지며, 이들 균열은 포장 전체 면적에 대한 비율로 표현되어 진다. 아래 〈그림 11.13〉은 상하향 균열을 예측

하기 위하여 필요한 변수와 과정을 나타내고 있는데, 설계등급 1에서는 동탄성계수 마스터 곡선과 피로수명을 결정할 수 있는 실내 실험이 진행되어야 하며, 이들 외에 포장의 구조적 특성, 구조해석모형, 교통하중의 특성 및 공용성 자료를 활용하여 최종적인 균열을 예측하게 된다. 설계등급 2에서는 동탄성계수 예측을 위한 바인더 및 골재 기초실험과 피로수명을 산정할 수 있는 실내 실험이 필요하다. 설계등급 2는 과업진행 중에 특성을 확인한 아스팔트 혼합물과 유사한 재료에 대하여 제한적으로 사용할 수 있는데, 이들 혼합물에 대해서는 공용성 자료를 별도로 필요로 하지 않는다. 아스팔트 콘크리트 포장 설계에 주로 사용되는 골재와 혼합물(19mm PG64-22 등)에 대해서는 이미 설계프로그램에 적용되어 있으므로, 설계등급에 무관하게 적용할 수 있다.



〈그림 11.13〉 균열 예측 순서도

한편, 초기 아스팔트 콘크리트 포장의 거동은 온도 및 빈도대한 포장 재료의 강성(stiffness)에 의하여 결정되지만, 피로파손이 진행됨에 따라서 재료의

강성이 감소하는 것으로 고려하는 것이 보다 재료의 특성의 영향을 크게 반영하는 현재 포장 설계에서 보다 합리적이라고 할 수 있다. 일반적으로 아스팔트 콘크리트 포장에서의 상향균열은 표층+중간층 하부에서 발생하는 인장응력에 의하여 지배되는 경향을 나타내며, 표층+중간층의 두께가 두꺼워질수록 그 현상이 저감되는 경향을 나타낸다. 아스팔트 재료의 강성감소는 간접인장 실험의 회복탄성계수의 변화로 정의되었는데, 이는 인장응력으로 발생하는 상향균열과 하향균열에 동시에 적용할 수 있는 개념이기 때문에, 상향균열이나 하향균열에 의하여 독립적으로 발생하는 포장의 강성저감에 개별적으로 또는 동시에 적용된다. 아래 <식 11.10>과 <표 11.1>은 손상도에 따른 강성의 감소를 나타내기 위하여 적용된 식과 그에 해당하는 혼합물별 계수를 나타내고 있으며, 계산된 SR은 위에서의 예측된 동탄성계수에 곱하여 강성의 감소를 고려하는데 사용된다.

$$S_R = aD^3 + bD^2 + cD + 1 \quad \langle \text{식 11.10} \rangle$$

여기서,

a, b, c = 재료 상수

D = 손상도

<표 11.1> 혼합물별 동탄성계수 마스터 곡선 계수 (기준온도 21℃)

| 골재        | 바인더     | a       | b      | c       |
|-----------|---------|---------|--------|---------|
| DGA13mm   | PG58-22 | -0.508  | 0.8497 | -0.8477 |
|           | PG64-22 | -0.3764 | 0.6955 | -0.7971 |
|           | PG76-22 | -0.5993 | 1.2501 | 1.1567  |
| DGA20mm   | PG58-22 | -0.3084 | 0.6405 | 0.8317  |
|           | PG64-22 | -0.3431 | 0.6175 | 0.7734  |
| DGA20mm   | PG58-22 | -0.658  | 1.2336 | -1.0673 |
|           | PG64-22 | -0.5365 | 0.9121 | -0.8729 |
| 상기 이외의 경우 | PG58-22 | -0.508  | 0.8497 | -0.8477 |
|           | PG64-22 | 0.3764  | 0.6955 | 0.7971  |
|           | PG76-22 | -0.5993 | 1.2501 | -1.1567 |

#### 다. 아스팔트 콘크리트 포장의 상향균열 모형

〈식 11.11〉의  $N_f$ 는 손상도  $D$ 를 결정하기 위하여 필요한 파손시까지의 하중회수를 나타내고 있으며, 상향 균열에 대한 전이함수를 나타내는 〈식 11.11〉은 전체 차로에 대한 거북등 균열의 면적 비를 나타낸다. 또한 상향 균열과 하향 균열에 사용된 누적 피로 손상을  $D$ 는 각 균열에 대하여 독립적으로 산정된 것으로 상하향 균열 사이의 상호작용을 나타내지는 않는다. 상향균열에 영향을 미치는 손상도  $D$ 는 표층+중간층 하부와 기층 하부에서 계속적으로 평가되며, 이들 중 큰 값이 균열률을 산정하는 〈식 11.11〉에 사용된다. 〈식 11.11〉에서 함수  $k$ 는 앞서 언급한 바와 같이 포장층 단면의 구조적인 특성을  $N_f$ 에 반영하기 위하여 추가된 변수로서 아스팔트 콘크리트 층의 두께에 영향을 고려하기 위한 것으로서, 아래 〈그림 11.14〉에 나타난 바와 같이 포장의 수명을 나타내는  $N_f$ 값은 5cm에서 10cm에서 급격하게 변화하며, 두꺼운 포장에서 그 값이 매우 작아지는 것을 알 수 있다. 이는 탄성계수와 변형률만을 고려했을 때, 두꺼운 포장에서 과다하게 평가되는 포장의 수명을 보정하기 위한 것으로서, 재료의 특성보다는 포장층의 구조적인 특성을 공용성에 반영하기 위한 것이다.

$$Crack_{BU}(\%) = \frac{6000}{1.0 + e^{(C_1 C_1 + C_2 C_2 \log_{10}(D * 100))}} * \frac{1}{60} \quad \langle \text{식 11.11} \rangle$$

여기에서,

$$C_1 = -3.5$$

$$C_2 = 0.4$$

$$C_1' = -2 * C_2$$

$$C_2' = -2.40874 - 39.748 * 0.7 * (0.393701 + THAC / 2.54) - 2.856$$

$$D = \frac{n}{N_f}$$

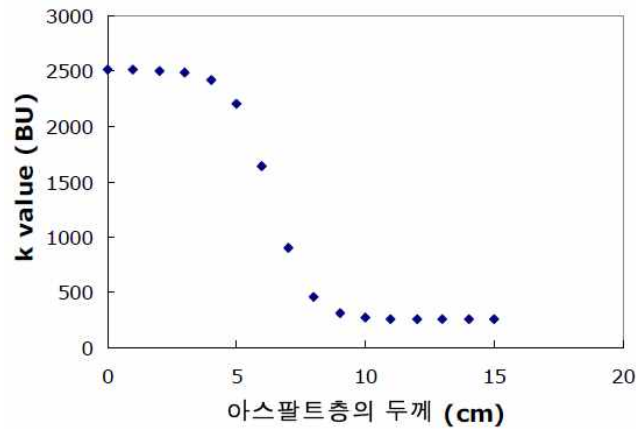
$$N_f = 10^{A*} \epsilon_e^{B*} (|E^*|)^{C*} K_{BU}$$

A, B, C = Material Constants

$\epsilon_e$  = elastic strain  $|E^*|$  = Dynamic modulus (kPa)

$$K_{BU} = \frac{1}{0.000398 + \frac{0.003602}{1 + e^{(11.02 - 1.374 * TH_{AC})}}}$$

$$TH_{AC} = TH_{Surface} + TH_{Intermediate} + TH_{Base} \text{ (cm)}$$



〈그림 11.14〉 상향균열의 두께 영향 변수 k의 변화

아래 〈표 11.2〉는 피로수명  $N_f$ 를 결정하는데 사용된 계수를 혼합물의 종류 별로 나타내고 있다. 아래 표에 포함되지 않은 13F나 20Fmm 혼합물의 계수는 이와 유사한 혼합물의 계수를 적용하도록 설계 프로그램에 포함되어 있다.

〈표 11.2〉 혼합물별 피로수명 Nf에 사용되는 변수

| Aggregate   | Binder   | Coefficients |         |        |
|-------------|----------|--------------|---------|--------|
|             |          | A            | B       | C      |
| DGA<br>13mm | PG 58-22 | -21.2489     | -5.886  | 0.4212 |
|             | PG 64-22 | -21.2489     | -5.886  | 0.4212 |
|             | PG 76-22 | -21.9489     | -5.886  | 0.4212 |
| DGA<br>20mm | PG 58-22 | -22.8936     | -5.2894 | 3.2373 |
|             | PG 64-22 | -22.7136     | -5.3394 | 3.2373 |
|             | PG 76-22 | -31.6736     | -5.8525 | 1.2976 |
| SMA<br>13mm | PG 58-22 | -22.5585     | -5.9625 | 0.3904 |
|             | PG 64-22 | -22.4485     | -5.9425 | 0.3904 |
|             | PG 76-22 | -26.2285     | -5.9625 | 0.3904 |
| DGA<br>25mm | PG 58-22 | -9.9686      | -3.2682 | 0.4961 |
|             | PG 64-22 | -9.9686      | -3.2682 | 0.4961 |
|             | PG 76-22 | -9.9686      | -3.2682 | 0.4961 |
| DGA<br>40mm | PG 58-22 | -9.9686      | -3.2682 | 0.4961 |
|             | PG 64-22 | -9.9686      | -3.2682 | 0.4961 |
|             | PG 76-22 | -9.9686      | -3.2682 | 0.4961 |

#### 라. 아스팔트 콘크리트 포장의 하향균열 모형

하향균열에 대한 전이함수를 나타내는 식 〈11.12〉는 총 균열길이(ft)를 해당 차로의 길이(mile)로 나눈 값으로서, 최대값은 누적 피로 손상률 D가 1일때 5280ft/mile이며 1mile/mile과 동일한 결과이다. 하향균열 공용성 모형은 상향균열 모형과 유사한 형태를 나타지만 표층 상부에서의 변형률만 손상도 D를 결정하는데 사용된다. 〈그림 11.15〉는 하향균열에 적용되는 k함수의 변화를 나타내는 것으로, 아스팔트 층의 두께가 7cm이상이면 급격하게 감소하는 것을 확인할 수 있다. 이는 현장에서 발생하는 두꺼운 아스팔트 콘크리트 포장의 표면 노화에 의한 하향균열과는 다른 것으로서, 구조적인 영향만을 반영하도록 되어 있다. 다음 〈식 11.12〉은 위의 상향균열 및 손상도 관계처럼 국내 131개 고속국도 및 일반국도에서 얻어진 공용성 자료와 개발된 설계 프로그램에

의하여 결정된 하향균열에 대한 공용성 곡선 또는 전이함수를 나타내고 있다.

$$Crack_{TD}(\%) = \frac{1000}{1.0 + e^{(5.3 - 1.5 * \log_{10}(D * 100))}} * 3.52 \quad \langle \text{식 11.12} \rangle$$

여기서,  $D = \frac{n}{N_f}$

n = number of repetition

$$N_f = 10^{A * \epsilon_e^{B * (|E^*|)^C} * K_{TD}}$$

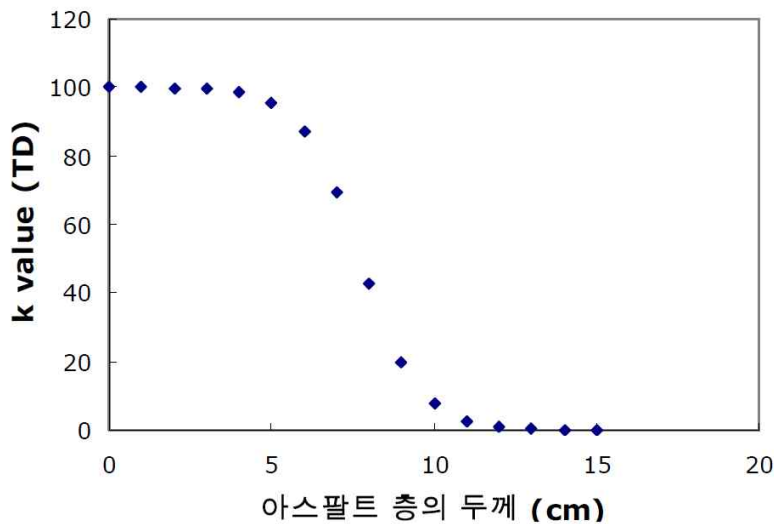
A, B, C = Material Constants

$\epsilon_e$  = elastic strain

$|E^*|$  = Dynamic modulus (kPa)

$$K_{TD} = \frac{1.0}{0.01 + \frac{12}{1.0 + e^{(15.676 - 1.1097 * TH_{AC})}}}$$

$$TH_{AC} = TH_{Surface} + TH_{Intermediate} + TH_{Base} \quad (\text{cm})$$



〈그림 11.15〉 하향균열의 두께 영향 변수 k의 변화

## 마. 아스팔트 콘크리트 포장의 총균열 모형

이상에 결정된 하향균열은 폭 0.3m, 도로 폭 3.6m, 단위 구간 1,000m인 것으로 가정하여 아래 식 <11.13>과 같이 상향균열과 합산되어 총균열로 환산된다. 아래 식 <11.13>의 3.6은 도로폭을 나타내는 것으로서, 다른 도로폭에서는 다른 값이 사용된다.

$$Crack_{BU+TD}(\%) = BU(\%) + \frac{0.3 * TD(\%)}{3.6 * 1000} * 100 \quad \langle \text{식 11.13} \rangle$$

여기서,

BU = 상향균열

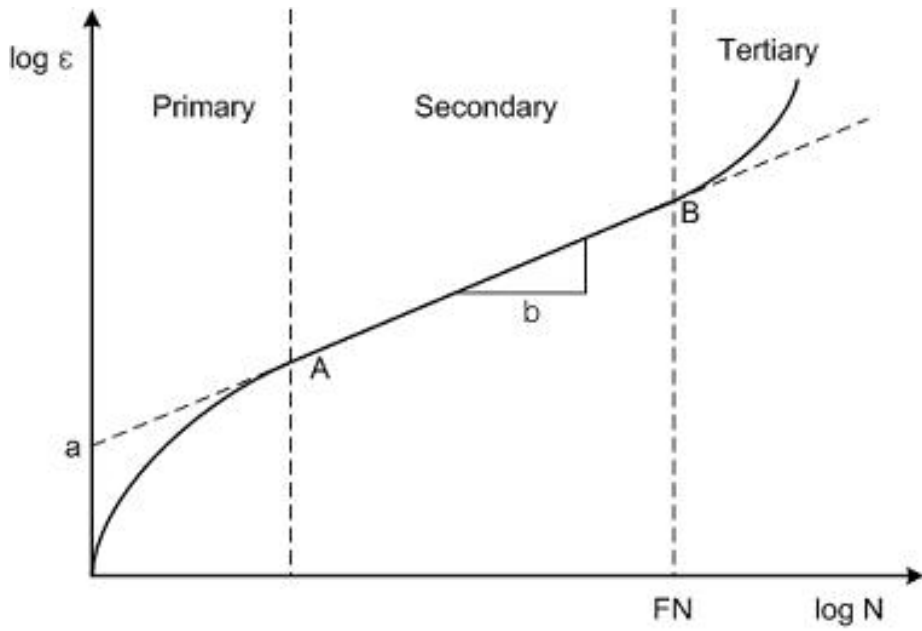
TD = 하향균열

## (2) 영구변형 모형

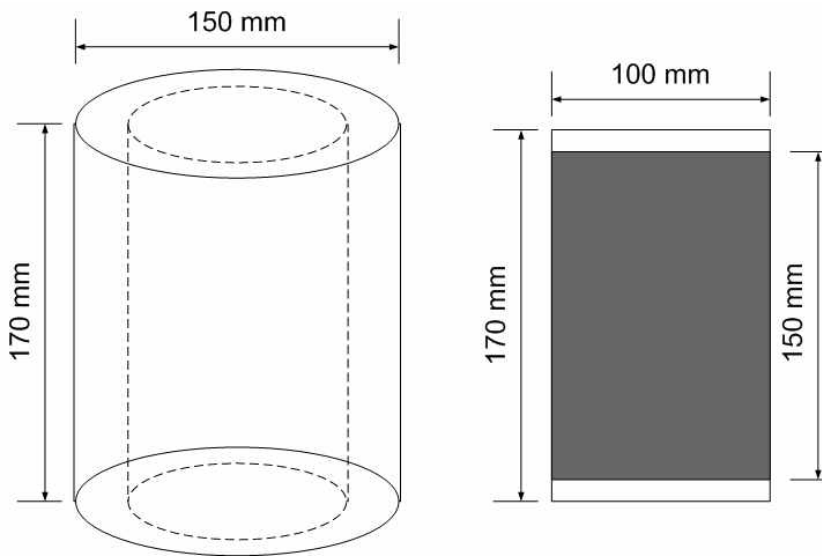
도로포장 구조 설계에서 고려하고 있는 영구변형은 크게 두 가지로 구분된다. 첫째는 아스팔트 콘크리트 포장층에서 발생하는 영구 변형이고 다른 하나는 하부층에서 발생하는 영구변형이다. 각층에서 발생한 영구변형을 어떤 방법으로 실험하여 개발하였는지에 대하여 알아보도록 하자.

### 가. 아스팔트층의 영구변형 모형

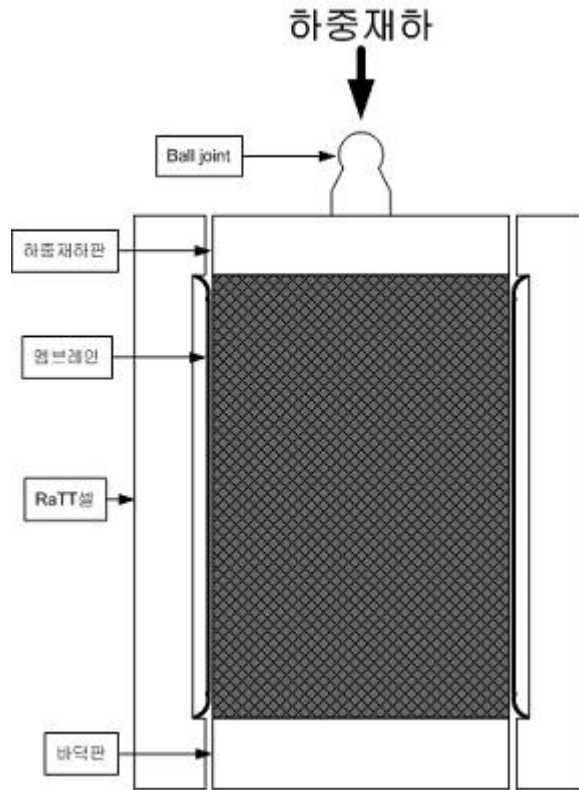
아스팔트층의 영구변형은 아스팔트 혼합물의 압밀화와 전단변형에 의해서 주로 발생한다. Secondary 구간까지는 압밀화에 의한 변형이, Tertiary 구간부터는 전단에 의한 변형이 지배적으로 작용한다. 또한 Tertiary 구간이 시작되는 B점을 흐름점이라 하며, 이때의 하중재하횟수를 흐름값(Flow Number : FN)이라고 한다. 영구변형은 삼축압축 반복재하시험의 전형적인 결과로서 영구변형 발생률과 하중재하 회수와의 관계는 <그림 11.16>과 같다.



〈그림 11.16〉 영구 변형률과 하중재하 회수의 전형적 관계



〈그림 11.17〉 영구변형 시험용 시편의 제작



〈그림 11.18〉 RaTT(Rapid Triaxial Testing system) 셀

#### 나. 실험 방법 및 절차

영구변형 시험용 시편은 직경 150mm, 높이 170mm의 원통형 시편을 선 회다짐기를 사용하여 제작한 다음 〈그림 11.19〉에서 보는바와 같이 직경 100mm의 시편을 코어채취기로 채취하여 시편 상부 및 하부를 10mm 씩 절단하여 높이 150mm의 시편을 제작한다. 시편을 코어 및 절단한 후 시편 내부의 수분을 제거하기 위하여, 25℃의 챔버에 방습제인 실리카겔(silica gel)을 함께 넣어 3일간 건조시킨다. 이렇게 건조시킨 시편은 공기와의 접촉을 차단하기 위하여 랩으로 감싼 후 서늘한 곳에서 보관하도록 한다.

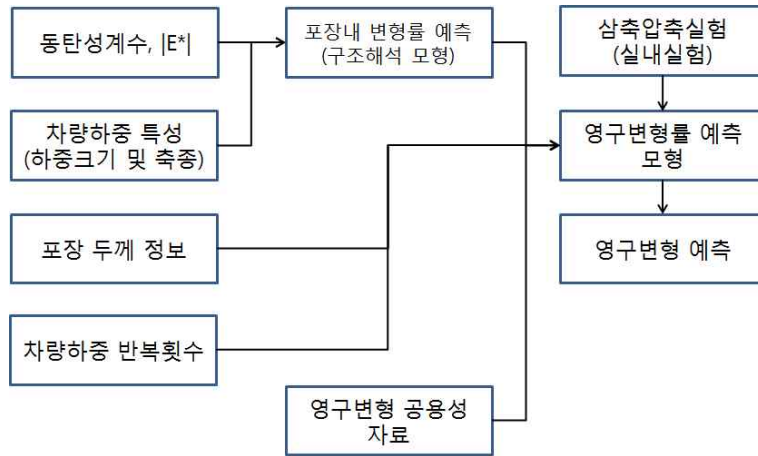
시험에 사용된 장비는 Servo-Hydraulic Closed Loop 시스템의 장비인

UTM-25(2.5ton)이며, 추가로 온도조절용 챔버와 유압장비, 그리고 데이터를 수집하기 위한 CDAS(Control and Data Acquisition System)로 구성되어 있다. 또는 구속압을 제하하기 위하여 RaTT셀(Rapid Triaxial Testing system)을 사용한다. RaTT셀은 시편의 주변을 멤브레인으로 감싼 후 공기압으로 구속압을 가하는 장치로서, 간편하게 삼축응력상태를 모사할 수 있는 장점이 있다. <그림 11.18>는 RaTT셀의 개략적인 모습이다.

시편의 온도를 맞추기 위하여 챔버 안에 시편의 중앙에 온도센서를 장착한 뒤 시편을 두어 시험온도와 더미시편의 온도를 체크한 후 시험을 수행하였으며, 그 시간은 대략 2시간으로 한다. 재하하중은 0.1초의 재하기와 0.9초의 휴지기를 갖는 Haversine 파를 이용한다. 하중조건은 구속압을 138 kPa로 고정하며, 축하중은 827 kPa, 689 kPa, 551 kPa 의 3가지 수준으로 시험한다. Witzack and Kaloush(2002)은 "Simple Performance Test for Permanent Deformation of Asphalt Mixtures"에서 구속압을 138 kPa(20 psi)로 고정하고, 축하중을 827 kPa, 758 kPa, 689 kPa 로 바꿔가면서 시험을 수행하는 등 이와 유사한 방법을 이용한다.

#### 다. 아스팔트층의 영구변형 모형

아스팔트층의 영구변형을 결정하기 위해서는 아래 <그림 11.19>에 나타난 바와 같이, 위의 과정에서 예측된 동탄성계수와 교통량, 포장구조특성, 구조해석 모형 및 실내압축실험 결과가 필요하다. 이때, 하중크기 및 조합에 따른 다른 탄성변형률이 구조해석 모형에 의하여 결정되는데, 일관된 영구변형량을 결정하기 위해서는 조건이 달라질 때마다 주어지는 영구변형 모형의 계수에 대하여 교통량을 역산하여, 해석 시점에서의 영구변형량을 추산하는 방법으로 다양한 하중조건을 고려하도록 하였다.



〈그림 11.19〉 영구변형 예측 순서도

아래 〈식 11.14〉는 아스팔트 콘크리트 층의 영구변형을 산정하기 위하여 이용되는 영구변형 모형으로서, 혼합물별 계수는 아래 〈표 11.3〉에 나타난 바와 같다.

$$\epsilon_P = \epsilon_r * K_{RUT} * 10^{D*} N^{A*} T^{B*} V_a^C \quad \langle \text{식 11.14} \rangle$$

여기에서,

$\epsilon_P$  = plastic strain

$\epsilon_r$  = resilient(elastic) strain

$$K_{RUT} = 1.4 * \epsilon^{-0.07 * TH_{AC}} + 0.07$$

$$TH_{AC} = TH_{Surface} + TH_{Intermediate} + TH_{Base} \quad (\text{cm})$$

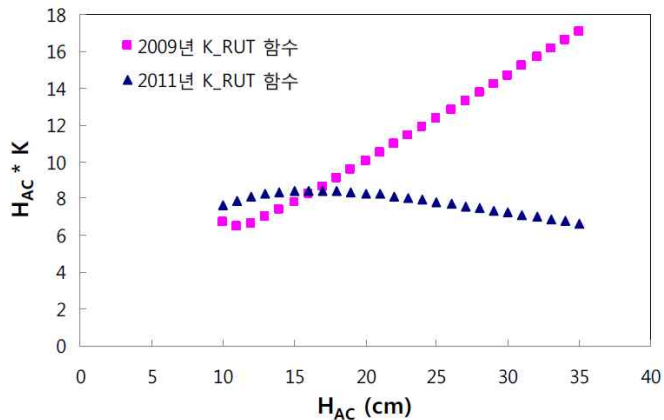
A, B, C, D = Material Constants

N = number of repetition

T = Temperature(°C)

Va = Air void(%)

위의 <식 11.14>에서 함수 K는 아스팔트 콘크리트 포장의 구조적 특성을 영구변형량에 반영하기 위한 것으로 2009년 최초 제시되었으나, 본 연구과정에서 131개 구간의 공용성 자료에서 나타난 영구변형량을 반영하여 수정되었다. 함수 K는 영구변형량을 산정하기 위하여 필요한 유효두께( $H_{AC} * K$ )를 결정하기 위하여 사용되는 것으로서, 입력된 두께와 유효두께의 관계가 다음 <그림 11.20>에 나타나 있다.



<그림 11.20> 아스팔트 층 두께에 따른 K값의 변화

설계등급 1에서는 실내삼축압축 실험 및 공용성 자료가 필요하며, 설계등급 2에서기존의 도로포장에 자주 사용되는 재료를 활용하여 설계를 진행할 경우에는 주어진 자료를 활용할 수 있다. 다음 <표 11.3>은 일반적으로 사용되는 아스팔트 혼합물에 대하여 결정된 영구변형 모형계수로서 이전년도에 하모니서치 알고리즘을 이용하여 얻어진 계수에 전이계수(Transfer factor)를 고려한 것으로 설계 프로그램에 반영되어 있는 값들이다. 이들이외에 13Fmm 또는 20Fmm는 동탄성계수나 피로균열 모형에서 사용된 방법과 동일하게 13mm 또는 20mm를 적용하도록 한다.

〈표 11.3〉 혼합물별 영구변형모형에 사용되는 변수

| Aggregate   | Binder   | Coefficients |             |             |              |
|-------------|----------|--------------|-------------|-------------|--------------|
|             |          | A            | B           | C           | D            |
| DGA<br>13mm | PG 58-22 | 0.118558826  | 1.045918777 | 0.837909281 | 0.091072086  |
|             | PG 64-22 | 0.153558826  | 1.035918777 | 0.837909281 | 0.091072086  |
|             | PG 76-22 | 0.233558826  | 1.085918777 | 0.837909281 | -0.018927914 |
| DGA<br>19mm | PG 58-22 | 0.188558826  | 1.035918777 | 0.837909281 | 0.091072086  |
|             | PG 64-22 | 0.168558826  | 1.035918777 | 0.832909281 | 0.071072086  |
|             | PG 76-22 | 0.300288723  | 0.132505211 | 0.418683015 | 1.534267137  |
| SMA<br>13mm | PG 58-22 | 0.183288723  | 0.132505211 | 0.423683015 | 1.134267137  |
|             | PG 64-22 | 0.183288723  | 0.132505211 | 0.423683015 | 1.334267137  |
|             | PG 76-22 | 0.323288723  | 0.132505211 | 0.423683015 | 1.384267137  |
| DGA<br>25mm | PG 58-22 | 0.203558826  | 1.085918777 | 0.781909281 | -4.108927914 |
|             | PG 64-22 | 0.203558826  | 1.085918777 | 0.781909281 | -4.108927914 |
|             | PG 76-22 | 0.190288723  | 0.182505211 | 0.367683015 | -2.665732863 |
| DGA<br>40mm | PG 58-22 | 0.203558826  | 1.085918777 | 0.780909281 | -4.108927914 |
|             | PG 64-22 | 0.203558826  | 1.085918777 | 0.780909281 | -4.108927914 |
|             | PG 76-22 | 0.190288723  | 0.182505211 | 0.366683015 | -2.665732863 |

### (3) 하부층의 영구변형 모형

#### 가. 실험 방법

현재까지 노상 및 보조기층 등 포장하부구조에 적용할 수 있는 통일된 영구 변형 시험법은 제시된 바 없다. 다만 국가별 또는 기관별로 각각의 연구목적 또는 시행의도에 따라 독자적인 영구변형 시험법을 수립하여 시험을 수행하고 있다. 일반적으로 회복탄성계수(Er) 측정을 위한 시험을 준용하거나 이를 약간

변경하여 사용하여 왔으며 이에 해당하는 것으로는 AASHTO T303-99, LTPP P46-96, NCHRP 1-28, NCHRP1-28A 및 최근 제시된 AASHTO 2002 (NCHRP 1-37) 방법 등이 있다. <표 11.4>는 기존 국외 영구변형을 시험을 위해 많이 적용하는 회복탄성계수시험법을 각 국가 및 기관별로 정리한 것이다. 대부분 하중재하기는 0.1초, 휴지기 0.9초를 두며 하중형태는 반정현파(Half sine)인 경우가 많음을 알 수 있다.

## 나. 실험 절차

실험 절차에서는 실험에 필요한 변수 결정 및 실험 과정에 대하여 알아보았다.

### a. 함수비의 결정

Uzan (1998)은 이스라엘 내의 노상재료에 대한 현장 함수비 조사결과를 바탕으로 현장함수비가 소성한계(PL)의 약 1.2~1.3배 됨을 발견하였다. 이를 근거로 노상토에 대한 영구변형 시험시 함수비를 소성한계의 1.22배로 하였다. Elliott(1998)에 의해 조사된 결과에 의하면, 현장 노상토의 함수비는 대부분 최적함수비(OMC)의 100~120% 범위였다. 다른 문헌에서 노상토에 대한 영구변형 시험의 경우, 적용된 함수비는 최적함수비(OMC)를 내외로 하여 그 이상이거나 다소 작은 경우로 구분되었다.

국내 국도에 대한 LTPP 계측자료의 분석결과, 노상의 함수비는 모든 계절에 걸쳐 최적함수비 이상으로 관찰되었다. 따라서 이를 근거로 하여 노상토를 대상으로 하는 영구변형 시험의 경우, 함수비는 Elliott(1998)이 제시한 방법인 최적함수비(OMC) 대비 105%, 110% 및 120%를 채택하였다. 보조기층 및 비처리기층과 같은 조립재료의 경우에는 함수비의 영향이 미미한 것으로 판단하여 함수비의 변화를 배제하고 최적함수비(OMC)에서 제작된 시료를 사용하기로 결정하였다.

b. 다짐도 수준의 결정

영구변형 시험을 위한 시편의 다짐도는 현장다짐도에 최대한 근접하여 확보하여야 하므로 노상토 및 입상보조기층 재료가 시방서에 요구하는 품질기준에 적합하도록 다져야 한다. 노상토 및 보조기층모두 최대건조다짐밀도( $\gamma_{d-max}$ ) 대비 95%이상이 되도록 다진다.

〈표 11.4〉 입상보조기층 재료에 대한 시험절차(안)

| 구속응력 ( $\sigma_3$ )<br>(kPa) | 전단응력비<br>$\left(\frac{T_f}{T_{max}}\right)$ | 축차 응력 ( $\sigma_d$ )<br>(kPa)                                  | 하중 반복<br>재하횟수                 | 비 고                                    |
|------------------------------|---------------------------------------------|----------------------------------------------------------------|-------------------------------|----------------------------------------|
| 21                           | 0.3, 0.5, 0.7                               | 아래 〈식 11.15〉 과<br>〈식 11.16〉를<br>이용하여 축차응력<br>( $\sigma_d$ ) 결정 | 각 응력<br>조합당<br>10,000 회<br>이상 | 다짐은 E<br>다짐에너지에<br>준하는<br>진동다짐으로<br>실시 |
| 35                           | 0.3, 0.7, 0.7                               |                                                                |                               |                                        |
| 69                           | 0.3, 0.7, 0.7                               |                                                                |                               |                                        |
| 105                          | 0.9 (선택)                                    |                                                                |                               |                                        |

$$\sigma_f = \frac{2\sigma_3 + 2\tan^2\Phi\sigma_3 + \sigma_d + 2\tan^2\Phi\sigma_d - \sqrt{\tan^2\Phi\sigma_d^2 + \tan^4\Phi\sigma_d^2}}{2(1 + \tan^2\Phi)} \quad \langle \text{식 11.15} \rangle$$

$$\frac{T_f}{T_{max}} = \frac{\sqrt{(\sigma_d/2)^2 - (\sigma_f - (\sigma_3 + \sigma_d/2))^2}}{c + \sigma_f \tan\Phi} \quad \langle \text{식 11.16} \rangle$$

〈표 11.5〉 노상토에 대한 응력조합단계

| 노상토   |        |                            |                      |                     |                         |
|-------|--------|----------------------------|----------------------|---------------------|-------------------------|
| 구속응력  | 축차응력   | 응력비( $\sigma_d/\sigma_3$ ) | 반복재하횟수               | 함수비                 | 다짐도                     |
| 15kPa | 15kPa  | 1                          | 각응력조합당<br>10,000회 이상 | OMC+<br>5, 10, 20 % | 최대건조<br>다짐밀도의<br>95% 이상 |
|       | 30kPa  | 2                          |                      |                     |                         |
|       | 45kPa  | 3                          |                      |                     |                         |
| 30kPa | 30kPa  | 1                          |                      |                     |                         |
|       | 60kPa  | 2                          |                      |                     |                         |
|       | 90kPa  | 3                          |                      |                     |                         |
| 45kPa | 45kPa  | 1                          |                      |                     |                         |
|       | 90kPa  | 2                          |                      |                     |                         |
|       | 135kPa | 3                          |                      |                     |                         |

### c. 축차응력과 구속응력 및 반복재하 횟수의 결정

하부층의 영구변형 발생에 영향을 미치는 가장 큰 인자는 응력수준과 반복재하횟수이다. 결정된 구속응력과 축차응력의 수준 및 반복재하횟수는 입상보조기층의 경우 <표 11.6>과 같으며 기존 영구변형시험에서 사용된 노상토의 응력수준 및 응력조합의 경우는 <표 11.7>과 같다. 이와 같이 입상보조기층에 대해서만 전단응력비( $T_f/T_{max}$ : 전단강도에 전단응력의 비)를 고려하는 이유는 보조기층까지 미치는 축차응력의 영향이 노상에 비하여 상대적으로 크고 이때 전단에 의한 영구변형이 노상토에 비하여 발생하기 쉽기 때문이다. 반면 국내의 두꺼운 표층포장이 대부분인 현실을 고려할 경우 노상토까지 미치는 전단응력과 이로 인해 발생하는 전단변형은 무시할 만큼 작다고 볼 수 있다. 따라서 전단응력비를 고려한 영구변형 시험은 보조기층재료에 국한하여 실시하였다.

### 다. 영구변형 시험기구의 구성

제안된 영구변형 시험절차를 이용하여 노상토와 입경이 큰 보조기층 재료에 대해 각각 다른 반복삼축시험기구를 적용하였다. 이는 입경이 작고 미세립분이 많은 노상토의 특징과 국내 입상보조기층의 특성상 입경이 최대 39mm에 이르고 입도가 고르지 못하여 큰 입경위주로 생산되는 현실을 고려한 것이다. 노상토에는 일반적인 반복삼축시험기를 이용하되 일정 구속압력을 유지한 상태에서 반복적인 축차응력을 10,000회 이상 가하면서 발생하는 변형률을 정밀하게 기록할 수 있는 기능을 갖추어야 한다. 아울러 입상보조기층의 경우, 최대 39mm에 이르는 입경을 고려하여 <그림 11.21>과 같은 대형반복삼축시험기를 사용하였으며 노상토에 적용하는 동일한 사양의 시험기능을 갖추어야 한다.

대형반복삼축시험장치에서 축압은 유압식으로 150ton을 재하시킬 수 있다. 축압은  $10\text{kg}/\text{cm}^2$ 까지 발생시킬 수 있는 공기압 콤프레샤를 사용한다. 축하중 및 변형제어는 유압 액추에이터에 장착되어 있는 Servo Valve에서 이루어지며,

측압제어는 정밀 레귤레이터와 E/P변환기를 사용하여 이루어지도록 설계되었다.

노상토에 대한 영구변형시험을 위하여 채택한 반복 하중재하시험 장비는 Servo Hydraulic Closed-Loop 시스템을 이용하여 작동하며, 최대 축하중은 25kN 까지 가할 수 있다. 또한 노상토 공시체의 다짐은 현장에서 로울러로 다짐한 효과를 재현할 수 있는 선회다짐기(Gyratory Compactor)를 활용하여 직경 100mm 높이 150mm인 원형공시체를 제작하여 가능한 현장의 조건을 반영하도록 하였다.



〈그림 11.21〉 대형삼축압축 시험장치 전경

#### 라. 영구변형 모형

대표적인 영구변형 모형에는 Power 모형과 VESYS 모형이 있다. 도로포장 구조 설계에서는 대형 반복재하시험으로부터 구한 하부재료의 영구변형 시험 데이터를 이용하여 영구변형 예측 모형인 Power 모형과 VESYS 모형의 모형결정계수를 구하였다. 두 모형의 예측 결과를 비교함으로써 최종 모형을 결정하였다.

각 영구변형모형의 모형결정계수는 구속응력수준, 전단응력비(입상재료만)의 크기에 따라 각각 회귀분석을 실시하여 구하였으며, <표 11.6>은 한 예를 나타낸 것이다.

<표 11.6> 입상보조기층에 대한 모형별 회귀분석계수(경상도 화강암)

| 시험조건     |                     |     | power모델 |        |        | VESYS 모델 |            |        |        |
|----------|---------------------|-----|---------|--------|--------|----------|------------|--------|--------|
| 구속<br>응력 | 전단응력비<br>(초기 5000회) |     | A       | b      | R2     | $\mu$    | $\epsilon$ | o      | R2     |
| 35kPa    | 0.3/0.7             | 0.3 | 0.0228  | 0.1679 | 0.9706 | 0.0487   | 0.0785     | 0.8321 | 0.9706 |
| 35kPa    | 0.5/0.7             | 0.5 | 0.1839  | 0.1095 | 0.9005 | 0.1242   | 0.1622     | 0.8905 | 0.9005 |
| 35kPa    | 0.7/0.7             | 0.7 | 0.0423  | 0.3777 | 0.9335 | 0.0654   | 0.2444     | 0.6223 | 0.9335 |
| 69kPa    | 0.3/0.7             | 0.3 | 0.0049  | 0.3340 | 0.9508 | 0.0158   | 0.1047     | 0.6660 | 0.9508 |
| 69kPa    | 0.5/0.7             | 0.5 | 0.4214  | 0.0979 | 0.9672 | 0.2725   | 0.1515     | 0.9021 | 0.9672 |
| 69kPa    | 0.7/0.7             | 0.7 | 0.4087  | 0.2132 | 0.9959 | 0.3872   | 0.2250     | 0.7868 | 0.9959 |
| 시험조건     |                     |     | power모델 |        |        | VESYS 모델 |            |        |        |
| 구속<br>응력 | 전단응력비<br>(후기 5000회) |     | A       | b      | R2     | $\mu$    | $\epsilon$ | o      | R2     |
| 35kpa    | 0.3/0.7             | 0.7 | 0.0911  | 0.2611 | 0.8775 | 0.1178   | 0.2020     | 0.7389 | 0.8775 |
| 35kpa    | 0.5/0.7             |     | 0.0070  | 0.4492 | 0.8771 | 0.0151   | 0.2086     | 0.5508 | 0.8771 |
| 35kpa    | 0.7/0.7             |     | 0.0423  | 0.3777 | 0.9335 | 0.0654   | 0.2444     | 0.6223 | 0.9335 |
| 69kpa    | 0.3/0.7             |     | 0.1647  | 0.3342 | 0.9653 | 0.1808   | 0.3045     | 0.6658 | 0.9653 |
| 69kpa    | 0.5/0.7             |     | 0.0300  | 0.3855 | 0.9123 | 0.0513   | 0.2258     | 0.6145 | 0.9123 |
| 69kpa    | 0.7/0.7             |     | 0.4087  | 0.2132 | 0.9959 | 0.3872   | 0.2250     | 0.7868 | 0.9959 |

$$\epsilon_p(N) = \mu \epsilon N^{-\alpha} \quad \langle \text{식 11.17} \rangle$$

여기서,  $\epsilon_p(N)$  : N번째 하중 재하시 발생하는 소성 변형률

$\mu$  : 소성 변형률과 회복탄성변형률 사이의 비례상수

$\epsilon$  : 200번째 하중 재하시 발생하는 회복탄성변형률

N : 반복재하횟수

$\alpha$  : 재하횟수에 따른 영구변형 증가량의 감소율

그 결과를 바탕으로 VESYS 모형이 더 높은 정확성을 나타냈기 때문에 <식 11.17>과 같이 입상재료의 영구변형 모형을 결정하였다.

〈표 11.7〉 국내 입상재료에 대한 VESYS 모델 영구변형 매개변수 수정값

| 층 종류 | 영구변형 모델결정계수 | 모델결정계수값 |
|------|-------------|---------|
| 입상기층 | $\alpha$    | 0.85    |
|      | u           | 0.12    |
| 노상   | $\alpha$    | 0.90    |
|      | u           | 0.12    |

#### (4) 콘크리트 피로 파손 모형

시멘트 콘크리트 포장의 피로강도는 적용 최대응력에 대한 최대강도에 대한 비율로 정의되며 피로강도는 응력수준, 응력비, 하중이력, 재료특성 등의 다양한 인자에 의하여 영향을 받는다. 콘크리트의 피로거동은 반복하중을 받는 재료에 있어 진행적이고 영구적인 내부 구조의 변화를 일으키며 이러한 변화는 구조물에 손상을 입혀 균열의 진행을 초래하고 만약 응력반복이 충분히 크다면 완전파괴까지 일어난다.

국내에서는 시멘트 콘크리트 포장의 피로파손 모형 개발 연구진은 국내에서 많이 생산되는 화강암, 석회암, 사암에 대하여 1차적으로 휨인장 시험과 쪼갬인장 시험법에 의해서 피로파손 모형을 하였다. 또한 많은 협의를 통해 온도 하중이 미리 재하된 상태에서 교통하중이 재하되는 형태로 모형을 보완하였다. 아스팔트 콘크리트 포장의 피로식에서와 같이 상하향 균열을 고려하였으나, 피로식은 모두 동일하게 적용되었다. 이에 대하여 자세히 살펴보자.

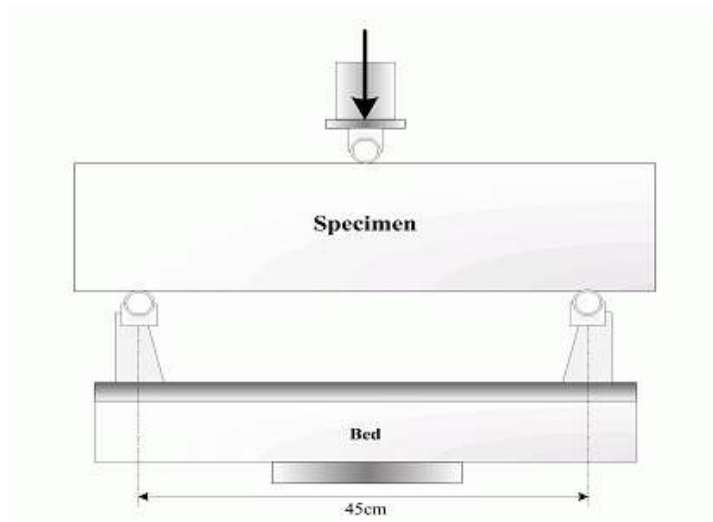
##### 가. 휨인장 피로 모형

휨인장 피로실험은 15×15×55cm의 각주 공시체를 제작하여 실험하며, INSTRON 8506시험기를 사용하여 정적 강도측정과 동일한 조건인 일단 힌지,

타단 롤러로 지지되고 중앙점에 하중이 재하되는 3점 재하방식으로 KS F 2408의 규정에 의해 실험한다. 실험은 200만 사이클까지 수행한 후 종료한다.

힘인장 피로실험에 사용된 공시체는 피로실험 기간 동안 강도의 증진현상을 최소화하기 위하여 시험체를 재령 28일 수중양생 한 후 56일까지 공기 중 양생하여 정적 강도 측정 결과로부터 응력수준을 계산하여 피로실험에 적용한다. 피로하중 재하시 초기 평균하중까지 도달시간은 실험적으로 결정한 20초를 가하여 시험체의 손상을 방지한다.

〈그림 11.22〉는 힘인장 피로실험 개념도를 나타낸 그림이다. 힘인장 피로 실험 방법에 의한 피로모형은 시험도로에 사용한 골재인 화강암 굵은 골재를 이용하여 KS F 2408 기준에 따라 실험하였다. 실험데이터를 분석하여 〈표 9.8〉과 같이 식을 제안하였다.



〈그림 11.22〉 힘인장 피로시험 개념도

〈표 11.8〉 시험방법 및 굵은 골재 종류별 피로 모형

| 구분              |                                                                                        | 피로모형                                                                        | 비고               |
|-----------------|----------------------------------------------------------------------------------------|-----------------------------------------------------------------------------|------------------|
| 시험<br>방법별       | 힘인장<br>피로시험                                                                            | $L_n(N_F) = 33.312 - 29.155 \left( \frac{\sigma_{\max}}{MR_{56}} \right)$   | 화강암              |
|                 | 쪼갠인장<br>피로시험                                                                           | $L_n(N_F) = 37.265 - 34.364 \left( \frac{\sigma_{\max}}{S_{split}} \right)$ | 화강암<br>석회암<br>사암 |
| 굵은<br>골재<br>종류별 | 화강암                                                                                    | $L_n(N_F) = 32.250 - 28.011 \left( \frac{\sigma_{\max}}{S_{split}} \right)$ | 쪼갠인장 방법          |
|                 | 석회암                                                                                    | $L_n(N_F) = 38.283 - 35.336 \left( \frac{\sigma_{\max}}{S_{split}} \right)$ |                  |
|                 | 사암                                                                                     | $L_n(N_F) = 39.541 - 37.594 \left( \frac{\sigma_{\max}}{S_{split}} \right)$ |                  |
| 여기서             | NF : 피로수명<br>$\sigma_{\max}$ : 최대작용하중<br>MR56 : 재령 56일 힘인장강도<br>Ssplit : 재령 56일 쪼갠인장강도 |                                                                             |                  |



〈그림 11.23〉 쪼개인장 피로시험에 사용된 시험체 및 실험 장치

## 나. 쪼갬인장 피로 모형

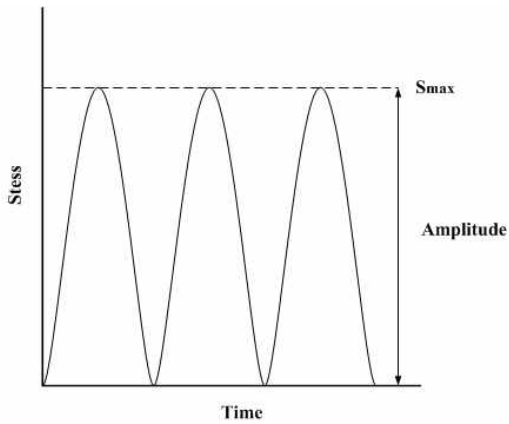
도로포장 구조 설계에서는 쪼갬인장 피로실험 방법을 포장 콘크리트의 피로 실험 방법으로 정립하였다. 이 방법은 KS F 2423 규정에 따라 15×30cm의 원주형 공시체를 제작하여 28일 동안 표준양생을 실시한 후 피로시험기간 동안 강도의 증진현상을 최소화하기 위하여 재령 56일까지 공기 중에 양생한 후 피로시험을 실시한다. 56일간의 양생 후 정밀시료절단기를 이용하여 15×30cm 원주형 공시체를 15×7.5cm가 되도록 절단하고 절단된 공시체를 버어니어 캘리퍼스를 이용하여 4점을 측정하여 이에 대한 평균치가 공시체의 두께에 대한 측정오차  $7.5 \pm 0.2$ cm 이내가 되는지 측정한 후 실험에 사용한다. 실험은 INSTRON 8516시험기를 사용하고 공시체의 상·하면에 3mm두께의 합판을 접착제로 부착하여 시험기에 정확히 수직이 되도록 장착한 후 실험한다. <그림 11.23>는 실험장치 및 전경을 나타내는 사진이다.

쪼갬인장 피로실험 방법에 의한 피로모형은 화강암, 석회암, 사암 굵은 골재로 제작한 공시체를 이용하여 실시하여 <표 11.8>에 나타난 식들을 도출하였다.

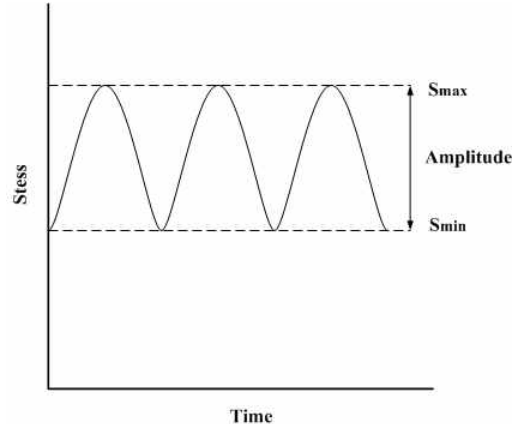
## 다. 응력비를 고려한 피로 모형

기존 대부분의 피로모형은 <그림 11.24>과 같이 최소응력을 고려하지 않고 최대응력만을 발생시키면서 개발되었기 때문에 환경하중을 고려할 수 없다. 하지만, 실제 시멘트 콘크리트 포장은 앞에서 언급한 것과 같이 환경하중에 의한 응력이 발생한 상태에서 교통하중에 의한 응력이 추가되는 것이기 때문에 피로모형을 합리적으로 개발하기 위해서는 최소응력과 최대응력 비(R)를 고려하여야 한다. <그림 11.25>과 같이 최소응력을 도입한 후 추가의 응력을 도입하여 최대응력에 도달하게 하는 논리의 피로모형이 제시되어져야 한다.

시멘트 콘크리트 포장에 교통하중이 재하되기 전에 적용되는 환경하중의 영향을 합리적 수준으로 고려할 수 있는 피로모형을 개발하기 위하여, 기존 모형 및 국내외 타 모형에 대한 검토하여 피로 모형 보정을 위한 자료로 이용하였다.

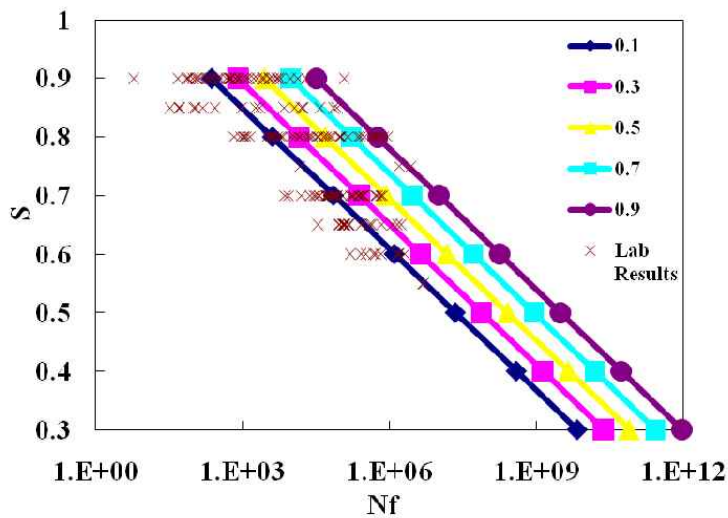


〈그림 11.24〉 최소응력( $S_{min}$ )이 고려되지 않은 하중재하



〈그림 11.25〉 최소응력( $S_{min}$ )이 고려된 하중재하

$$\text{LogNf} = 13.291 - 12.431 * S + 2.677 * R \quad (R^2 = 0.726)$$



〈그림 11.26〉 개발 모형의 R에 대한 민감도

다중 선형 회귀분석을 통해 제안한 모형은  $R^2 = 0.723$ 을 지니며 다음 <식 11.18>과 같았다. <그림 11.26>는 개발모형의 R에 관한 민감도 결과와 실제 데이터간의 관계를 도시 것이다. 타 연구에서 R이 0.5 이상일 경우 S-N 선도의 기울기가 급격하게 누워 피로수명이 기하급수적으로 증가 하였지만, 도로포장 구조 설계에서의 모형은 R이 S-N 선도의 절편에 관계하고 따라서 R이 커져도 피로수명이 급격하게 변하지 않았다.

$$\text{Log}(N_f) = 13.291 - 12.413(S) + 2.667(R) \quad \langle \text{식 11.18} \rangle$$

여기서,  $N_f$  : 피로수명,

S : 최대응력과 강도의 비,

R : 최소응력과 최대응력의 비

## (5) 스폐링 모형

스폴링이란 줄눈 또는 균열의 단부에서 콘크리트의 일부가 떨어져 나가는 파손으로 정의된다. SHRP에서는 스폐링 파손의 정도에 따라, 스폐링의 폭이 75mm 이내인 경우를 하급, 75~150mm의 범위인 경우를 중급, 150mm를 초과하는 경우를 상급 스폐링으로 분류하고 있다. 스폐링은 비압축성 물질의 침투, 콘크리트 재료의 성능저하, 하중전달기구의 문제, 줄눈에서의 급작스러운 중하중에 의한 인장응력 발생 등에 의해 발생하는 것으로 알려졌다. 도로포장 구조 설계에서는 직접적으로 공용성을 판단하는 기준은 아니지만 IRI 예측 모형의 입력 변수로 사용된다.

〈표 11.9〉 스펙링 모형의 개발을 위한 자료

| 노선     | 행선    | 시점 (km) | 종점 (km) | 스플링 비율 (%) | 재령 (years) | 연평균 강수량 (m) | 수정 동결 지수 (°C-days) | 쪼갠 인장 강도 (MPa) | 슬래브 두께 (m) | 중차량 비율 (%) |
|--------|-------|---------|---------|------------|------------|-------------|--------------------|----------------|------------|------------|
| 남해선    | 순천 방향 | 14.0    | 13.8    | 0.0        | 6.5        | 1.49        | 116                | 4.04           | 0.390      | 0.361      |
|        |       |         |         | 0.0        | 11.5       | 1.49        | 116                | 4.04           | 0.390      | 0.394      |
|        | 순천 방향 | 46.9    | 46.7    | 0.0        | 6.5        | 1.49        | 128                | 5.55           | 0.230      | 0.399      |
|        |       |         |         | 2.9        | 11.5       | 1.49        | 128                | 5.55           | 0.230      | 0.428      |
|        | 부산 방향 | 5.9     | 6.1     | 0.0        | 5.4        | 1.49        | 129                | 5.21           | 0.326      | 0.376      |
|        |       |         |         | 0.0        | 10.4       | 1.49        | 129                | 5.21           | 0.326      | 0.380      |
| 순천 방향  | 42.4  | 42.2    | 0.0     | 6.5        | 1.49       | 135         | 4.85               | 0.313          | 0.399      |            |
|        |       |         | 0.0     | 11.5       | 1.49       | 135         | 4.85               | 0.313          | 0.425      |            |
| 경부선    | 부산 방향 | 66.15   | 65.95   | 2.9        | 8.5        | 1.27        | 133                | 4.84           | 0.288      | 0.551      |
|        |       |         |         | 2.9        | 13.5       | 1.27        | 133                | 4.84           | 0.288      | 0.536      |
|        | 서울 방향 | 72.4    | 72.6    | 0.0        | 6.5        | 1.03        | 151                | 5.19           | 0.279      | 0.539      |
|        |       |         |         | 0.0        | 11.5       | 1.03        | 151                | 5.19           | 0.279      | 0.523      |
|        | 서울 방향 | 72.9    | 71.1    | 0.0        | 6.5        | 1.03        | 152                | 5.79           | 0.282      | 0.539      |
|        |       |         |         | 0.0        | 11.5       | 1.03        | 152                | 5.79           | 0.282      | 0.523      |
|        | 부산 방향 | 235.6   | 235.4   | 2.9        | 6.8        | 1.16        | 361                | 5.48           | 0.311      | 0.566      |
|        |       |         |         | 2.9        | 11.8       | 1.16        | 361                | 5.48           | 0.311      | 0.541      |
| 부산 방향  | 236.6 | 236.4   | 0.0     | 6.8        | 1.16       | 371         | 5.76               | 0.302          | 0.566      |            |
|        |       |         | 0.0     | 11.8       | 1.16       | 371         | 5.76               | 0.302          | 0.541      |            |
| 호남선    | 천안 방향 | 19.05   | 19.25   | 0.0        | 2.5        | 1.49        | 194                | 5.57           | 0.267      | 0.368      |
|        |       |         |         | 0.0        | 7.5        | 1.49        | 194                | 5.57           | 0.267      | 0.356      |
|        | 순천 방향 | 39.05   | 38.85   | 2.9        | 2.5        | 1.49        | 236                | 5.44           | 0.306      | 0.359      |
| 88선    | 고서 방향 | 121.5   | 121.3   | 5.9        | 14.9       | 1.27        | 262                | 5.07           | 0.301      | 0.438      |
|        |       |         |         | 5.9        | 19.9       | 1.27        | 262                | 5.07           | 0.301      | 0.467      |
|        | 고서 방향 | 57.5    | 57.3    | 2.9        | 14.9       | 1.31        | 284                | 4.1            | 0.298      | 0.497      |
|        |       |         |         | 8.8        | 19.9       | 1.31        | 284                | 4.1            | 0.298      | 0.510      |
| 제2 경인선 | 안양 방향 | 18.35   | 18.55   | 2.9        | 4.8        | 1.34        | 378                | 6.1            | 0.312      | 0.304      |
|        |       |         |         | 5.9        | 9.8        | 1.34        | 378                | 6.1            | 0.312      | 0.276      |
| 서해 안선  | 목포 방향 | 318.0   | 317.8   | 0.0        | 4.8        | 1.27        | 417                | 5.89           | 0.310      | 0.416      |
|        |       |         |         | 0.0        | 9.8        | 1.27        | 417                | 5.89           | 0.310      | 0.386      |
|        | 인천 방향 | 312.05  | 312.25  | 0.0        | 4.8        | 1.27        | 421                | 4.51           | 0.299      | 0.388      |
| 중부선    | 남이 방향 | 348.7   | 348.5   | 2.9        | 11.4       | 1.3         | 514                | 6.34           | 0.294      | 0.348      |
|        |       |         |         | 2.9        | 16.4       | 1.3         | 514                | 6.34           | 0.294      | 0.355      |
|        | 남이 방향 | 346.9   | 346.7   | 5.9        | 11.4       | 1.3         | 522                | 6.2            | 0.298      | 0.348      |
|        |       |         |         | 5.9        | 16.4       | 1.3         | 522                | 6.2            | 0.298      | 0.355      |
| 영동선    | 강릉 방향 | 127.8   | 128.0   | 0.0        | 4.4        | 1.29        | 598                | 4.81           | 0.329      | 0.366      |
|        |       |         |         | 5.9        | 9.4        | 1.29        | 598                | 4.81           | 0.329      | 0.330      |
|        | 인천 방향 | 127.8   | 127.6   | 2.9        | 4.4        | 1.29        | 600                | 4.89           | 0.295      | 0.379      |
|        |       |         |         | 2.9        | 9.4        | 1.29        | 600                | 4.89           | 0.295      | 0.345      |
|        | 강릉 방향 | 135.8   | 136.0   | 2.9        | 4.4        | 1.29        | 612                | 6.18           | 0.299      | 0.352      |
|        |       |         |         | 8.8        | 9.4        | 1.29        | 612                | 6.18           | 0.299      | 0.312      |
| 인천 방향  | 136.0 | 135.8   | 0.0     | 4.4        | 1.29       | 613         | 5.07               | 0.361          | 0.330      |            |
|        |       |         |         | 8.8        | 9.4        | 1.29        | 613                | 5.07           | 0.361      | 0.366      |

## 1) 자료 수집

스폴링 모형의 개발을 위해서 사용된 LTPP 구간은 <표 11.9>에서와 같이 중부선 2개소, 경부선 5개소, 남해선 4개소, 호남선 2개소, 제 2경인선 1개소, 서해안선 2개소, 영동선 4개소 88선 2개소로 총 22개소이다. 스폴링 모형의 개발에는 위의 구간에 대해서 1999년도와 2004년도에 조사한 자료 44개를 사용하였다. 스폴링 파손의 정량화는 위에서 언급한 SHRP의 스폴링의 구분방법을 사용하였고 이 가운데 모형의 정량화에는 중상급 스폴링이 발생한 줄눈의 비율을 사용하였다. 재령, 수정동결지수, 콘크리트 쪼갬인장강도, 연평균 강수량, 연평균 습도, 연평균 풍속, 연평균 적설량 등 관련 문헌의 조사를 통하여 스폴링에 영향을 미칠 것으로 판단되는 인자들에 대하여 다중회귀분석을 실시하였으며, 그 중 스폴링 파손과 상관성이 높은 재령, 동결지수, 콘크리트의 쪼갬인장강도, 연평균 강수량, 슬래브 두께, 중차량 비율을 스폴링 모형의 변수로 선정하였다.

## 2) 모형 개발

시멘트 콘크리트 포장 22개 LTPP 구간에서 1999년과 2004년의 두차례에 걸쳐 스폴링 파손 및 관련된 인자들을 조사하였다. 폭 75mm를 초과하는 중급 이상의 스폴링 발생에 미치는 인자들을 민감도 분석에 의하여 결정한 결과, 콘크리트의 재령(years), 연평균강수량(mm), 수정동결지수(°C-days), 쪼갬인장강도(MPa), 슬래브 두께(m), 중차량 비율 등이 큰 영향을 미치는 것을 발견하였고 이를 변수로 사용하여 스폴링 파손을 예측하는 모형을 다음과 같이 제시하였다. 개발된 스폴링 모형의 각 변수는 조사된 22개 구간에서 <표 11.10>의 평균값을 갖는 것으로 나타났다.

$$Spalling = \frac{AGE^2}{AGE - 0.411} \times [0.0015 \cdot TRUCKTATIO \cdot AGE + 0.0311 \sqrt{FI} \cdot IPI - 0.0953 \cdot STRENGTH - 1.0071 \cdot THICKNESS + 0.4462] \quad \langle \text{식 11.19} \rangle$$

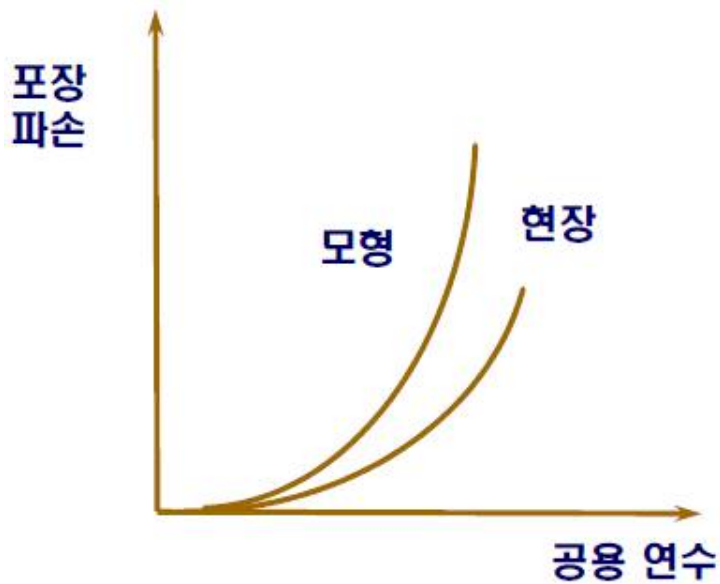
〈표 11.10〉 스폐링 모형에 사용된 변수의 평균값

| 변수명          |                 | 평균값   |
|--------------|-----------------|-------|
| spalling (%) |                 | 2.53  |
| AGE          | 재령(years)       | 9.3   |
| PRECIPI      | 연평균강수량(mm)      | 1.31  |
| FI           | 수정동결지수(°C-days) | 333   |
| STRENGTH     | 또개인장강도(MPa)     | 5.31  |
| THICKNESS    | 슬래브두께(m)        | 0.304 |
| TRUCKRATIO   | 중차량 비율          | 0.416 |

본 모형의 민감도 분석 결과에서는 또개인장강도, 슬래브 두께, 수정동결지수, 연평균강수량, 재령, 중차량비율의 순으로 모형의 민감도에 영향을 미치는 것으로 나타났다.

### 11.3 현장 공용성 자료

실내실험을 통해 개발된 공용성 모형(피로 균열 및 영구변형)을 이용하여 공용 연수에 따른 포장체의 파손 정도를 예측하는 것은 〈그림 11.27〉와 같이 실제 현장에서의 공용성과 차이가 발생한다. 이처럼 실내 모형의 한계를 보완하기 위하여 일반적으로 현장 자료를 이용하여 검증하고 보완한다. 모형과 현장 데이터가 일치할 경우는 추가 작업이 필요 없지만, 그렇지 않을 경우(대다수의 경우)는 현장 공용성 결과에 맞게 모형들을 보완해야한다. 전이함수(Transfer Function) 및 Shift Factor 라고 일컫는 수식이나 계수값들은 이를 위한 것이다. 여기에서는 아스팔트 콘크리트 포장의 피로모형, 영구변형 모형 및 시멘트 콘크리트 포장의 피로모형의 모형 보완을 위한 현장 자료 수집 과정을 다뤘다.



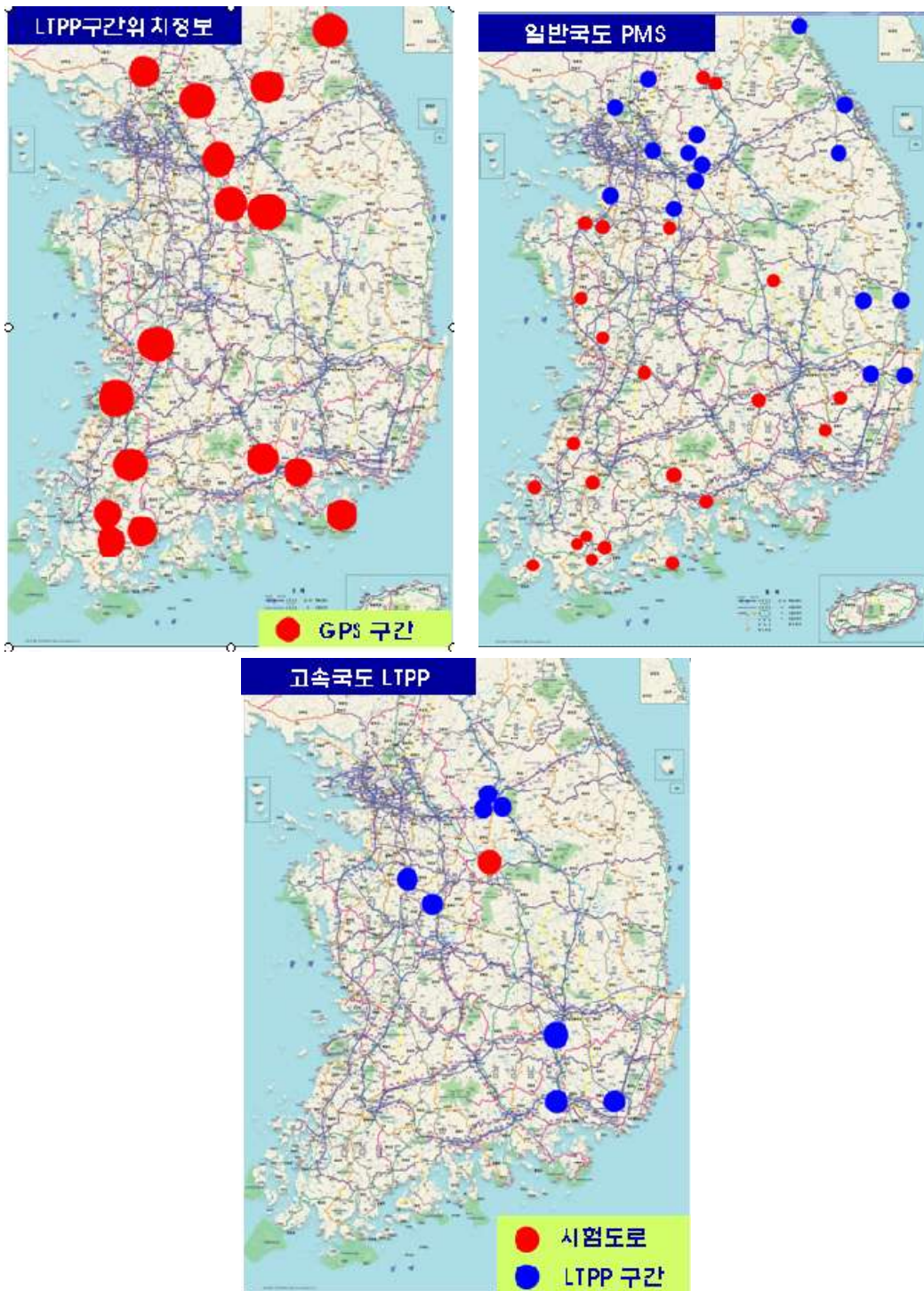
〈그림 11.27〉 현장 자료를 이용한 모형 보정의 필요성

### 11.3.1 아스팔트 콘크리트 포장

#### (1) 피로파손 모형 검증을 위한 데이터 수집

##### 가. 조사 자료 및 구간의 선정

현재 도로포장 구조 설계의 아스팔트 포장 공용성 모형의 전이함수 개발을 위하여 일반국도 LTPP, 일반국도 포장관리시스템(PMS), 한국도로공사 시험 도로 및 고속국도 LTPP에 대한 분석을 통하여 단면을 선정하였으며, 〈그림 11.28〉에 각각 나타내었다.



〈그림 11.28〉 아스팔트 콘크리트 포장 설계의 현장 데이터 수집 구간

|         | 시공년도    | 영구변형(mm) |      |      |       | 피로균열(상향)(%) |      |       |      | 피로균열(하향)(m/km) |       |        |        |        |
|---------|---------|----------|------|------|-------|-------------|------|-------|------|----------------|-------|--------|--------|--------|
|         |         | 2004     | 2005 | 2006 | 2007  | 2004        | 2005 | 2006  | 2007 | 2004           | 2005  | 2006   | 2007   |        |
| 국도 LTPP | G 1111  | 2004     |      | 4.9  | 7.82  |             |      | 0.288 | 0.84 |                |       | 7.40   | 114.95 |        |
|         | G 1211  | 1998     |      | 6.5  | 7.01  |             |      | 0.000 | 0.73 |                |       | 90.19  | 71.56  |        |
|         | G 2111  | 1998     |      | 8.6  | 9.67  |             |      | 0.000 | 1.26 |                |       | 78.25  | 299.52 |        |
|         | G 2211  | 1992     |      | 7.4  | 11.17 |             |      | 0.137 | 0.00 |                |       | 924.30 | 831.08 |        |
|         | G 1112  | 1999     |      | 4.5  | 8.12  |             |      | 0.000 | 0.00 |                |       | 41.67  | 56.67  |        |
|         | G 1212  | 1998     |      | 6.7  | 8.33  |             |      | 0.000 | 0.00 |                |       | 26.15  | 84.07  |        |
|         | G 2112  | 2000     |      | 9.7  | 10.02 |             |      | 0.000 | 0.00 |                |       | 163.26 | 175.23 |        |
|         | G 2212  | 1998     |      | 6.2  | 6.54  |             |      | 0.000 | 0.00 |                |       | 119.17 | 146.25 |        |
|         | G 1121  | 2000     |      | 6.2  | 6.84  |             |      | 0.000 | 0.00 |                |       | 226.86 | 375.97 |        |
|         | G 1221  | 1996     |      | 6.2  | 6.17  |             |      | 0.000 | 0.00 |                |       | 164.52 | 189.89 |        |
|         | G 2121  | 1999     |      | 8.3  | 9.58  |             |      | 0.000 | 0.00 |                |       | 73.32  | 226.17 |        |
|         | G 2221  | 1998     |      | 6.5  | 5.84  |             |      | 0.124 | 0.06 |                |       | 300.87 | 426.07 |        |
|         | G 1122  | 1999     |      | 3.5  | 6.44  |             |      | 0.000 | 0.00 |                |       | 153.68 | 169.63 |        |
|         | G 1222  | 1998     |      | 3.9  | 8.02  |             |      | 0.000 | 0.00 |                |       | 136.47 | 261.91 |        |
|         | G 2122  | 2001     |      | 7.3  | 7.90  |             |      | 0.000 | 0.00 |                |       | 187.60 | 250.19 |        |
|         | G 2222  | 2000     |      | 5.4  | 5.12  |             |      | 0.000 | 0.03 |                |       | 67.20  | 135.30 |        |
|         | A13     | 2003.12  | 0.79 | 7.36 | 15.07 |             | 0    | 2.65  | 8.85 |                | 45.40 | 272.40 | 232.31 |        |
|         | A14     | 2003.12  | 0.75 | 1.75 | 4.13  |             | 0    | 0     | 0    |                | 0     | 0      | 0.000  |        |
|         | A15     | 2003.12  | 0.36 | 2.07 | 3.79  |             | 0    | 0     | 3.44 | 2.04           | 0.000 | 53.84  | 50.93  | 187.94 |
|         | A2      | 2003.12  | 0.64 | 0.93 | 0.79  |             | 0    | 0     | 0    | 1.62           | 0.000 | 0.00   | 64.59  | 280.98 |
| A10     | 2003.12 | 0.25     | 0.75 | 1.38 |       | 0           | 0    | 0     | 0    | 0.000          | 26.29 | 33.55  | 195.59 |        |

〈그림 11.29〉 공용성 자료

일반국도 LTPP는 16단면이며, 일반국도 포장관리시스템은 37단면, 한국도로공사 고속국도 LTPP는 8단면, 시험도로는 34단면으로 각각 이루어져 있다. 한국도로공사에서 운용중인 시험도로는 설계 전이함수 개발을 위하여 건설되었으며, 입도 및 층두께가 다르게 이루어져 있다.

## 나. 공용성 자료

전이함수 개발을 위해서는 조사단면에 대한 공용성 정의와 조사구간 표준화가 필요하다. 특히 한국건설기술연구원과 한국도로공사 두 기관의 영구변형량 및 면상 피로균열율에 대한 정의는 동일하였으나, 선상 피로균열에 대한 정의가 다르므로 이에 대한 정의를 통일하였다. 공용성 조사대상 구간을 1 km로 설정하였다.

포장의 공용년수는 영구변형량, 상하향 피로균열 길이를 측정한 년도에서 시공년도를 감하여 산정하였으며, 영구변형량은 mm, 하향균열길이는 조사대상 구간내에 존재하는 선 균열의 길이인 m/km, 상향 피로균열율은 조사구간 면적에 대한 균열발생 면적의 비로 각각 나타내었다. 〈그림 11.29〉에 공용성 자료 DB예를 나타내었다.

### 1) 아스팔트 층 재료물성

포장층의 재료는 크게 아스팔트층과 하부층으로 나뉘어지며, 아스팔트 층은 표층, 중간층, 아스팔트 기층으로 이루어져 있다. 아스팔트층의 재료 물성인 동탄성 계수를 예측하는데 사용되며, 골재입도 분포와 아스팔트 혼합물 부피특성, 아스팔트 바인더 점성 특성 등으로 이루어져 있다. 아스팔트 층의 자료로는 아스팔트 층 두께, 입도종류, 골재크기, 아스팔트 종류, 아스팔트 함량, 시공초기 공극률, 유효아스팔트 부피 함량 등으로 이루어져 있으며, 동탄성 계수 예측의 주요 입력 변수이다. 유효아스팔트 부피함량은 아스팔트 혼합물 부피관계에 의하여 산정하여야 하나 일반적으로 아스팔트 함량의 두배로 예측할 수 있다. <그림 11.30>에 아스팔트 표층의 재료물성 자료를 <그림 11.31>에 골재입도 분포자료인 19mm 누적 잔류량, 9.5mm 누적 잔류량, 4.75mm 누적 잔류량, 0.075mm 통과량을 각각 나타내었다.

| 섹션 ID  | 도로구분 | 도로번호 | 지역구분 | 축주소 | 차로수 | 길어깨종류 | 시공년도 | 표층 |      |      |         |         |     |      |
|--------|------|------|------|-----|-----|-------|------|----|------|------|---------|---------|-----|------|
|        |      |      |      |     |     |       |      | 두께 | 입도종류 | 골재크기 | 아스팔트 종류 | 아스팔트 함량 | 공극률 | Veff |
| G 1111 | 일반국도 | 2    | 지방   | 진주  | 4   | 아스팔트  | 2004 | 5  | 말임도  | 19   | PG64-22 | 5.8     | 7.9 | 11.6 |
| G 1211 | 일반국도 | 2    | 지방   | 장흥  | 4   | 아스팔트  | 1998 | 4  | 말임도  | 13   | PG64-22 | 6.4     | 5.4 | 12.8 |
| G 2111 | 일반국도 | 2    | 지방   | 장흥  | 4   | 아스팔트  | 1998 | 5  | 말임도  | 19   | PG64-22 | 6.7     | 4.9 | 13.4 |
| G 2211 | 일반국도 | 3    | 지방   | 진주  | 2   | 아스팔트  | 1992 | 4  | 말임도  | 13   | PG58-22 | 7.8     | 2.2 | 15.6 |
| G 1112 | 일반국도 | 7    | 지방   | 속초  | 4   | 아스팔트  | 1999 | 5  | 말임도  | 13   | PG58-22 | 5.3     | 5.3 | 10.6 |
| G 1212 | 일반국도 | 3    | 지방   | 충주  | 4   | 아스팔트  | 1998 | 6  | 말임도  | 13   | PG58-22 | 5.8     | 2.1 | 11.6 |
| G 2112 | 일반국도 | 44   | 지방   | 홍천  | 4   | 아스팔트  | 2000 | 4  | 말임도  | 13   | PG58-22 | 4.9     | 8.1 | 9.8  |
| G 2212 | 일반국도 | 36   | 지방   | 충주  | 2   | 아스팔트  | 1998 | 5  | 말임도  | 13   | PG64-22 | 5.3     | 1.9 | 10.6 |
| G 1121 | 일반국도 | 13   | 지방   | 장흥  | 4   | 아스팔트  | 2000 | 5  | 말임도  | 19   | PG64-22 | 7.1     | 5.6 | 14.2 |
| G 1221 | 일반국도 | 23   | 지방   | 부안  | 2   | 아스팔트  | 1996 | 5  | 말임도  | 19   | PG64-22 | 5       | 2.9 | 10   |
| G 2121 | 일반국도 | 24   | 지방   | 광주  | 4   | 아스팔트  | 1999 | 5  | 말임도  | 19   | PG64-22 | 6.9     | 7.3 | 13.8 |
| G 2221 | 일반국도 | 14   | 지방   | 거제  | 4   | 아스팔트  | 1998 | 4  | 말임도  | 13   | PG58-22 | 6.8     | 5.1 | 13.6 |
| G 1122 | 일반국도 | 42   | 지방   | 양평  | 4   | 아스팔트  | 1999 | 10 | 말임도  | 13   | PG58-22 | 5.9     | 1.7 | 11.8 |
| G 1222 | 일반국도 | 37   | 지방   | 양평  | 4   | 아스팔트  | 1998 | 9  | 말임도  | 13   | PG58-22 | 6.2     | 1.5 | 12.4 |
| G 2122 | 일반국도 | 1    | 지방   | 군산  | 4   | 아스팔트  | 2001 | 5  | 말임도  | 19   | PG64-22 | 5.3     | 2.7 | 10.6 |
| G 2222 | 일반국도 | 37   | 지방   | 서울  | 4   | 아스팔트  | 2000 | 6  | 말임도  | 19   | PG64-22 | 5.3     | 4.5 | 10.6 |

<그림 11.30> 아스팔트 콘크리트 포장 표층 입력자료

| ID     | 입도종류 | 입도크기 | 표층        |            |             |           |
|--------|------|------|-----------|------------|-------------|-----------|
|        |      |      | 19mm누적잔류량 | 9.5mm누적잔류량 | 4.75mm누적잔류량 | 0.08mm통과량 |
| G 1111 | 말임도  | 19   | 2.5       | 28         | 45          | 6         |
| G 1211 | 말임도  | 13   | 0         | 17         | 37.5        | 6         |
| G 2111 | 말임도  | 19   | 2.5       | 28         | 45          | 6         |
| G 2211 | 말임도  | 13   | 0         | 17         | 37.5        | 6         |
| G 1112 | 말임도  | 13   | 0         | 17         | 37.5        | 6         |
| G 1212 | 말임도  | 13   | 0         | 17         | 37.5        | 6         |
| G 2112 | 말임도  | 13   | 0         | 17         | 37.5        | 6         |
| G 2212 | 말임도  | 13   | 0         | 17         | 37.5        | 6         |
| G 1121 | 말임도  | 19   | 2.5       | 28         | 45          | 6         |
| G 1221 | 말임도  | 19   | 2.5       | 28         | 45          | 6         |
| G 2121 | 말임도  | 19   | 2.5       | 28         | 45          | 6         |
| G 2221 | 말임도  | 13   | 0         | 17         | 37.5        | 6         |
| G 1122 | 말임도  | 13   | 0         | 17         | 37.5        | 6         |
| G 1222 | 말임도  | 13   | 0         | 17         | 37.5        | 6         |
| G 2122 | 말임도  | 19   | 2.5       | 28         | 45          | 6         |
| G 2222 | 말임도  | 19   | 2.5       | 28         | 45          | 6         |

<그림 11.31> 아스팔트 콘크리트 포장 표층 골재입도 입력자료

|         | 보조기층 |          |      |         | 노상층      |       |       |          |
|---------|------|----------|------|---------|----------|-------|-------|----------|
|         | 두께   | 최대건조단위중량 | 균등계수 | #4체 통과량 | 최대건조단위중량 | 균등계수  | 최적함수비 | #200체통과량 |
| 국도 LTPP | 34   | 21.76    | 40   | 60.8    | 20.82    | 16.17 | 10.25 | 4.2      |
|         | 40   | 21.76    | 40   | 60.8    | 18.75    | 10    | 11.9  | 6        |
|         | 40   | 21.76    | 40   | 60.8    | 20.4     | 12.73 | 9.78  | 9.393    |
|         | 25   | 21.25    | 40   | 42.9    | 20.82    | 16.17 | 10.25 | 4.2      |
|         | 20   | 21.49    | 40   | 37.8    | 18.75    | 10    | 11.9  | 6        |
|         | 30   | 21.49    | 40   | 37.8    | 18.75    | 10    | 11.9  | 6        |
|         | 45   | 21.49    | 40   | 37.8    | 21.1     | 16.3  | 8.6   | 4.1      |
|         | 20   | 21.49    | 40   | 37.8    | 18.1     | 18    | 13.42 | 3.92     |
|         | 40   | 21.76    | 40   | 60.8    | 18.75    | 10    | 11.9  | 6        |
|         | 35   | 21.85    | 40   | 36.5    | 19.89    | 14.5  | 11.7  | 4.25     |
|         | 40   | 21.76    | 40   | 60.8    | 20.4     | 12.3  | 19    | 3.95     |
|         | 30   | 21.76    | 40   | 60.8    | 18.75    | 10    | 11.9  | 6        |
|         | 20   | 21.12    | 40   | 49.6    | 20.75    | 15.5  | 8.3   | 4.505    |
|         | 25   | 21.12    | 40   | 49.6    | 20.3     | 15.8  | 9.3   | 4.8      |
|         | 40   | 21.85    | 40   | 36.5    | 18.75    | 10    | 11.9  | 6        |
|         | 25   | 21.12    | 40   | 49.6    | 18.38    | 15.4  | 13.8  | 4.05     |

〈그림 11.32〉 하부지반 물성 입력자료

|         | 시공연도   | 시공년도 AADT | 증가율   | 12종 분류 대수 |        |     |       |       |     |     |     |     |     |     |     |    |
|---------|--------|-----------|-------|-----------|--------|-----|-------|-------|-----|-----|-----|-----|-----|-----|-----|----|
|         |        |           |       | 1종        | 2종     | 3종  | 4종    | 5종    | 6종  | 7종  | 8종  | 9종  | 10종 | 11종 | 12종 |    |
| 국도 LTPP | G 1111 | 2004      | 10127 | 9.0       | 7,162  | 3   | 140   | 1,540 | 560 | 120 | 100 | 257 | 51  | 184 | 10  | 10 |
|         | G 1211 | 1998      | 11763 | 0.0       | 7,855  | 274 | 1,916 | 136   | 275 | 797 | 91  | 77  | 2   | 308 | 3   | 28 |
|         | G 2111 | 1998      | 4430  | 10.4      | 2,655  | 39  | 158   | 881   | 263 | 92  | 66  | 145 | 1   | 131 | 1   | 10 |
|         | G 2211 | 1992      | 11161 | 14.5      | 7,049  | 25  | 597   | 2,315 | 330 | 436 | 102 | 232 | -   | 77  | -   | -  |
|         | G 1112 | 1999      | 25244 | 1.7       | 20,659 | 56  | 750   | 2,613 | 694 | 333 | 83  | 28  | 28  | -   | -   | -  |
|         | G 1212 | 1998      | 12485 | 0.0       | 7,371  | 40  | 1,189 | 3,092 | 317 | 40  | 317 | 79  | -   | 40  | -   | -  |
|         | G 2112 | 2000      | 10145 | 7.1       | 7,259  | -   | 657   | 800   | 896 | 86  | 200 | 114 | -   | 143 | -   | -  |
|         | G 2212 | 1998      | 3716  | 0.0       | 2,356  | -   | 159   | 884   | 159 | 45  | 45  | 23  | -   | 45  | -   | -  |
|         | G 1121 | 2000      | 10336 | 1.3       | 5,426  | 91  | 1,155 | 2,660 | 623 | 46  | 122 | 167 | -   | 46  | -   | -  |
|         | G 1221 | 1998      | 9711  | 0.0       | 4,920  | 27  | 256   | 2,580 | 309 | 769 | 84  | 198 | -   | 113 | -   | -  |
|         | G 2121 | 1998      | 1570  | 0.0       | 832    | -   | -     | 600   | 115 | -   | 23  | -   | -   | -   | -   | -  |
|         | G 2221 | 1998      | 24016 | 2.3       | 17,612 | 202 | 844   | 4,256 | 532 | 238 | 238 | 92  | -   | -   | -   | -  |
|         | G 1122 | 1999      | 12751 | 0.0       | 8,223  | 47  | 320   | 2,370 | 785 | 195 | 257 | 313 | 29  | 200 | 12  | -  |
|         | G 1222 | 1998      | 7349  | 0.0       | 5,182  | 68  | 203   | 1,693 | 135 | -   | 34  | 34  | -   | -   | -   | -  |
|         | G 2122 | 2001      | 9570  | 0.0       | 5,441  | 138 | 95    | 2,093 | 530 | 673 | 190 | 359 | -   | 51  | -   | -  |
|         | G 2222 | 2000      | 7696  | 4.0       | 5,352  | 53  | 119   | 1,643 | 199 | 132 | 132 | 53  | -   | 13  | -   | -  |

〈그림 11.33〉 교통하중 입력자료 예

## 2) 하부층 재료물성

하부지반 증 재료 물성 자료는 자료의 형태가 기존과 달라 수집에 어려움이 있다. 일반국도 LTPP구간의 노상층에 대한 재료물성 자료가 8구간 존재하며, 일반국도 SPS(Special Pavement Studies)에 7구간에 대한 보조기층, 노상층, 동방층에 대한 자료가 있다. 하부지반 자료가 존재하지 않는 단면에 대한 하부 물성은 근접한 곳의 자료를 이용하였다. 〈그림 11.32〉에 하부지반 자료를 나타내었다.

## 3) 교통하중

교통하중의 입력변수는 시공년도의 AADT, 교통량 증가율, 12종 교통하중 분류로 이루어져 있다. 2008년도부터 12 차종 분류가 이루어졌으며, 그 이전에 측정된 교통하중 분류는 관계에 의해 12차종으로 분류하였다. 〈그림 11.33〉에 교통하중 자료를 나타내었다.

## (2) 아스팔트층 영구변형 모형 검증을 위한 데이터 수집

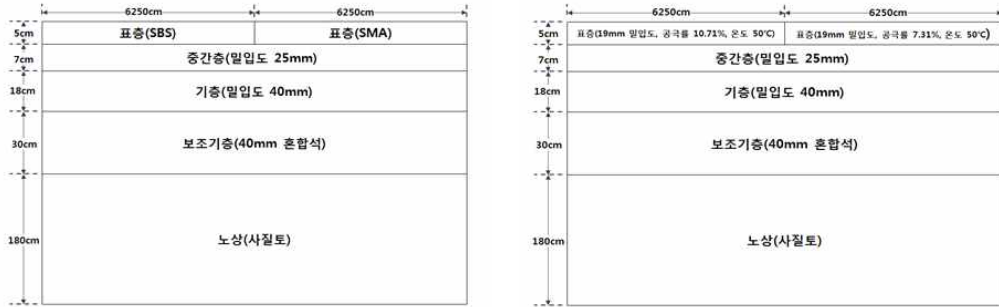
### 가. 실험 방법

영구변형을 현장에서 측정하거나 대규모의 현장 시험시공을 통해 이를 검토할 경우에는 많은 시간과 비용이 소요된다. 또한 이 방법들은 실험 요인 외의 요인들로 인해 자료가 상관성이 없어 활용하기 어려운 경우도 있기 때문에 포장 가속 실험장비를 이용하여 이를 평가하는 방법을 많이 사용한다. 도로포장 구조 설계에서는 포장 가속 실험장비를 이용하여 각 아스팔트 재료의 영구변형에 대한 저항성을 평가하였다.

다음 <그림 11.34>는 가속 실험장비에 사용된 포장단면의 특성과 재료 및 온도 특성을 나타내고 있는데, 밀입도 아스팔트 구간은 도로공사의 시험도로 단면과 동일하며, SMA, SBS구간은 일반적으로 국내에서 시공되고 있는 표층 5cm 단면을 반영하고 있다. 또한 포장 가속실험에서는 교통하중 재하횟수, 하중재하시의 온도, 아스팔트 혼합물의 공극률, 재료가 실험변수로 결정되었으며, 하중재하에 따른 횡방향 영구변형과 단면내 온도 분포를 계측하였다.

영구변형량은 MDD 및 Laser를 이용하여 측정하였으며, 영구변형이 발생하기 전에 측정된 초기값을 기준으로 하중재하에 따라 발생하는 영구 변형량을 계산하였다.

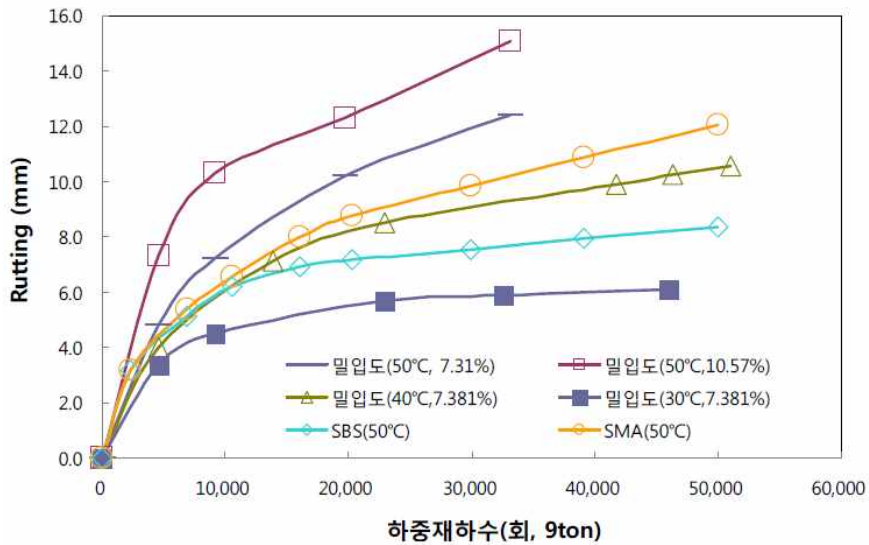
다음 <표 11.11>은 포장 가속실험에 사용된 하중 및 온도조건을 구체적으로 나타내고 있다. 또한 현실적인 변형량의 발생을 모사하기 위하여 Wandering을 고려하였는데, Wandering은 Dual Tire 중심에서  $\pm 35\text{cm}$ 이 발생하도록 하였으며, 하중재하 위치별 하중 적용수를 정규분포 형태로 적용하였다.



〈그림 11.34〉 가속시험에 사용된 개질(좌) 및 밀입도 혼합물의 포장 단면

〈표 11.11〉 가속시험에 사용된 하중 및 온도조건

| 구 분      | 포장가속시험조건                     |
|----------|------------------------------|
| 하 중      | 9.0ton                       |
| 타이어 내부압  | 1.00 Mpa                     |
| 타이어 접지압  | 0.723 Mpa                    |
| 타이어 접지면적 | 1220.1 cm <sup>2</sup>       |
| 축        | 단축 복륵                        |
| 시험 온도    | 50°C (아스팔트 콘크리트 포장 층 깊이 5cm) |



〈그림 11.35〉 하중재하 횟수에 따른 실험 조건별 영구 변형량의 변화

## 나. 포장 가속실험 장비를 이용한 영구변형 측정 결과

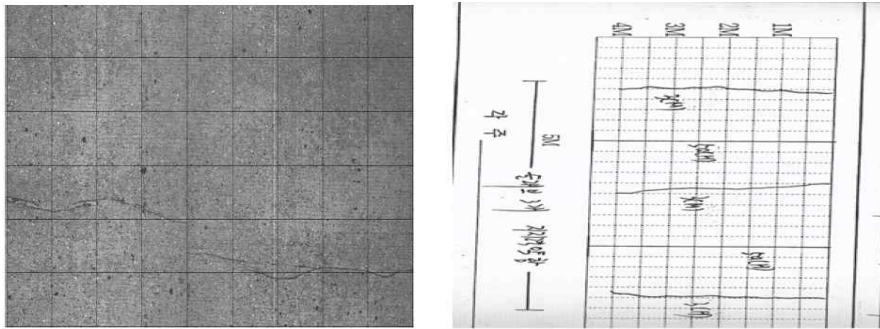
다음 <그림 11.35>은 재료별 하중재하횟수에 따른 영구변형량을 나타내고 있다. 일반적으로 알려진 바와 같이, 밀입도 혼합물에서 가장 큰 영구변형이 관찰되었으며, 공극률이 높을수록 영구변형량이 큰 것으로 나타났다. 또한 대부분의 영구변형이 하중초기 10,000이하에서 발생하여 영구변형이 포장 포설 이후 초기에 발생하는 것으로 측정되었다. SBS와 SMA의 경우 초기 영구변형량은 비슷하게 발생하였으나, 하중회수가 증가함에 따라서 SBS에서 발생하는 영구변형량이 SMA보다 적은 것으로 나타나, SBS의 저온균열 저항성 뿐만 아니라 영구변형에 대한 저항성도 SMA보다 좋은 것으로 나타났다.

## 11.3.2 시멘트 콘크리트 포장

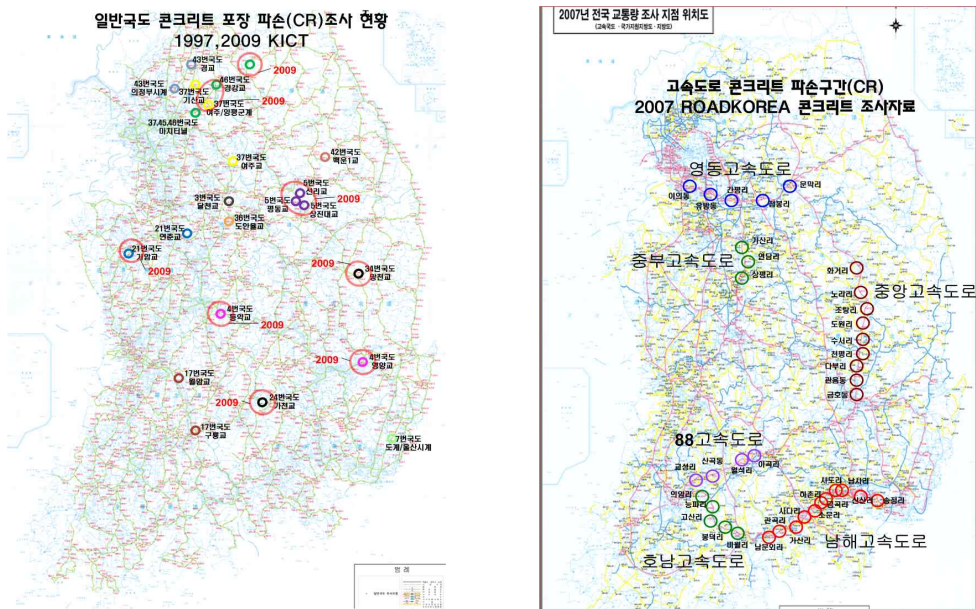
### (1) 조사 자료 및 구간의 선정

현재 도로포장 구조 설계의 시멘트 콘크리트 포장 공용성 모델의 전이함수 개발을 위하여 일반국도 PMS 보고서, 한국도로공사 고속국도 LTPP 대장 및 도로포장평가 전문회사의 파손조사 자료에 대한 분석을 실시하여 콘크리트 포장 파손이 발생한 지역을 파악하였다. 일반국도 시멘트 콘크리트 포장의 공용성 자료는 한국건설기술연구원의 PMS팀에서 1997년 조사한 보고서를 참고하여 파악하였는데, 총 10개 노선에 대하여 500m의 단위 구간 길이로 총 616개소의 자료를 얻을 수 있었지만, 균열 맵 및 사진자료는 없었고, 공용성 자료에 대해 각각 표로 정리되어있었다. 또한 일부구간에 대해서 <그림 11.36>의 좌측 그림과 같이 2008년에 자체 개발한 자동조사장비로 조사한 사진자료를 얻어 10년후 같은 위치의 공용성 자료의 변화를 검토할 수 있었다. 고속도로

자료는 도로공사 LTPP 조사대상 자료(1998,2004)와 도로포장평가 전문회사의 공용성 조사 자료를 참고하였다. LTPP 조사대상은 1998년 및 2004년에 10개 구간 150m 단위로 조사된 42개소에 대한 파손자료에 대하여 그림 9.40)의 우측 그림과 같이 균열 맵에 도시되어 있었다. 로드코리아의 자료는 자동조사장비인 ARAN을 통해 10m마다 스캔한 사진자료를 통해 분석되어진 자료로 균열 및 파손이 발생한 지역의 데이터를 얻었다. 다음 <그림 11.37>는 일반국도와 고속국도 공용성 자료가 조사된 위치를 파악하여 도시한 것이다.



<그림 11.36> 자동조사장비의 사진 자료(좌) 및 LTPP 조사대상(우)



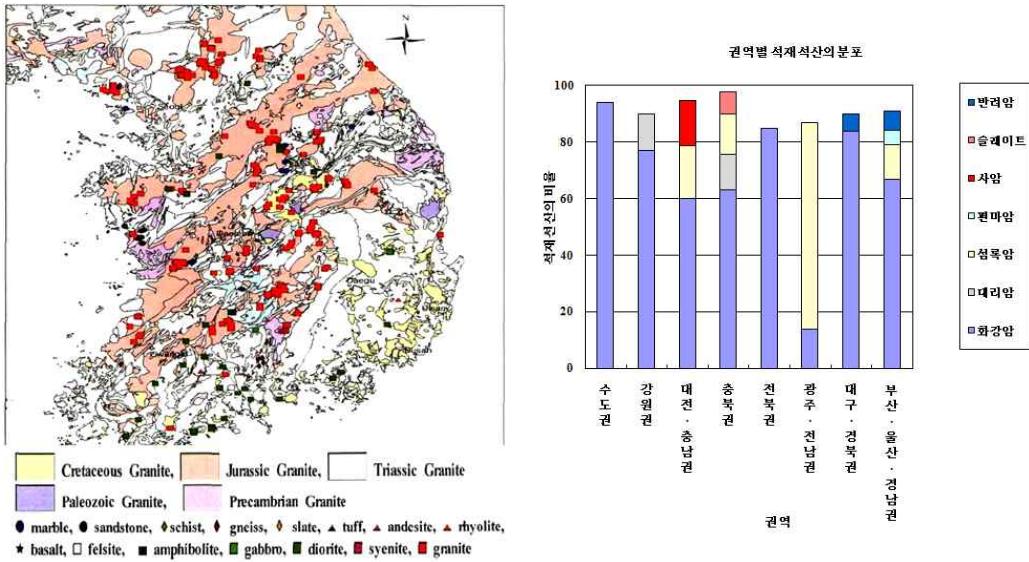
<그림 11.37> 일반국도(좌) 및 고속국도(우) 공용성 조사 현황

## (2) 국내 공용성 자료

전이함수 개발을 위해서는 조사단면에 대한 공용성 정의와 조사구간 표준화가 필요하다. 도로공사의 경우 선상균열율의 정의가 슬래브의 길이 당 균열의 길이로 정의하였다. 하지만 본 구조 설계연구의 피로균열의 정의는 총 슬래브 당 균열 슬래브의 수로 정의하고 공용성 모델을 개발하였으므로 도로공사의 조사자료를 재검토하여 본 연구의 목적에 맞게 수정하였다. 또한 공용성 조사대상 구간을 1 km로 설정하여 500m 당 조사된 자료를 1km 기준의 자료로 재가공하였다. 그리고 스펀링도 균열과 마찬가지로 총 슬래브 당 발생 슬래브 수로 정의 하였고, 평탄성은 국제평탄성지수인 IRI(m/km)로 나타내었다. <그림 11.38>에 공용성 자료의 수집 과정의 한 예를 나타내었다.

| 일반사항  |     |       |       |       |       |              |            |         |           |       | 공용성   |       |        |       |       |         |        |         |            |
|-------|-----|-------|-------|-------|-------|--------------|------------|---------|-----------|-------|-------|-------|--------|-------|-------|---------|--------|---------|------------|
| 도로 등급 | 호선  | 이칭    | 시점    | 종점    | 연장 km | 구간           | 교통량 조사 위치  | 차로수 양방향 | 도심 및 지방구분 | 준공 년도 | 보수 이력 | 조사 년도 | 재형 (년) | 슬래 브수 | 균열 개수 | 균열율 (%) | 스펀링 개수 | 스펀링 (%) | IRI (m/km) |
| 고속 국도 | 88선 | 고서 기점 | 36.5  | 36.8  | 0.23  | 순창IC ~ 남원 IC | 전북 순창군 교성리 | 2       | 지방        | 1984  |       | 2007  | 23     | 38    | 1     | 2.63    | 2      | 5.26    | 3.02       |
| 고속 국도 | 88선 | 고서 기점 | 36.90 | 37.90 | 1.00  | 순창IC ~ 남원 IC | 전북 순창군     | 2       | 지방        | 1984  |       | 2007  | 23     | 167   | 7     | 4.19    | 9      | 5.39    | 3.76       |
| 고속 국도 | 88선 | 고서 기점 | 37.90 | 38.90 | 1.00  | 순창IC ~ 남원 IC | 전북 순창군 교성리 | 2       | 지방        | 1984  |       | 2007  | 23     | 167   | 12    | 7.19    | 31     | 18.56   | 3.39       |
| 고속 국도 | 88선 | 고서 기점 | 38.90 | 39.99 | 1.00  | 순창IC ~ 남원 IC | 전북 순창군 교성리 | 2       | 지방        | 1984  |       | 2007  | 23     | 167   | 13    | 7.78    | 57     | 34.13   | 2.85       |
| 고속 국도 | 88선 | 고서 기점 | 39.99 | 41.14 | 1.00  | 순창IC ~ 남원 IC | 전북 순창군 교성리 | 2       | 지방        | 1984  |       | 2007  | 23     | 167   | 14    | 8.38    | 37     | 22.16   | 3.32       |

<그림 11.38> 공용성 자료 수집 예



〈그림 11.39〉 국내 지질도 및 석산의 암종 분포

### 가. 콘크리트 재료물성

콘크리트 층의 재료 단면 두께 및 물성에 대한 조사결과 단면 두께에 대해서는 모든 자료에서 파악이 가능했으나 휨강도와 같은 물성은 일부 자료에서만 존재하였다. 휨강도 자료는 중부고속도로만 중앙대학교에서 작성한 중부고속도로 PMS 보고서를 통해 확인할 수 있었으며, 그 밖에 할렬인장 강도는 2004년 고속도로 LTPP 조사대장 자료를 통해 20개 구간만 확인할 수 있었다. 그리고 콘크리트 포장에 사용한 골재는 이춘오 등(2006)이 국내 석산의 암종 분포에 대한 보고자료를 통해 지역별로 추정하였다. 〈그림 11.39〉은 그 결과를 도시한 것이다.

### 나. 하부지반 및 불연속면 재료물성

국내의 콘크리트 포장은 88선의 경우 기층이 자갈층으로 시공되었다. 이후

고속도로의 경우 경부선은 기존 아스팔트 포장층에 분리막을 깔고 시공하여 마치 기층이 아스팔트와 같이 시공되었다. 일반국도도 마찬가지로 기층이 아스팔트로 4~5 cm 두께를 가지게 시공되었다. 그 이후의 모든 콘크리트 포장 은 린콘크리트 기층 공법을 들여와서 15cm 두께로 설계되었다. 하부지반 층 인 동상방지 층과 노상의 재료 물성 자료는 자료의 형태가 기존과 달라 수집 에 어려움이 있다. 기존의 설계는 CBR을 기준으로 설계 k치를 사용하였지만, 개발된 도로포장 구조 설계의 하부층 및 노상의 물성치는 최대건조단위 중량, 균등계수, 200번체 통과량을 요구한다. 동상방지층의 경우 현재 진행 중인 타 연구단(동상방지층 연구단)의 자료를 수집하였고, 노상의 자료는 건설지 및 설 계서를 찾아서 추적 하였으나, 시공 후 재령이 20년 이상 되는 국내 콘크리트 포장의 설계프로그램에 필요한 입력변수 형태의 자료는 거의 전무하였다.

불연속면 설계 및 시공에 관하여 고속도로는 건설지를 찾아서 분석하였으며, 일반국도의 경우 HMS 자료를 찾아 분석하였다. 줄눈간격이 5 m로 시공 된 88선을 제외한 국내의 모든 구간은 줄눈간격이 6m로 설계되었다. 다월바 는 D32, 500mm길이의 원형철근으로 시공되었으며, 타이바는 D16, 800~1000 mm의 이형 철근으로 시공되었다.

| 구간                        | 연장 (km) | 차로수  | 계      | 승용차    | 버스     |       |        | 화물차    |        |        |       |        | 기타     |        |
|---------------------------|---------|------|--------|--------|--------|-------|--------|--------|--------|--------|-------|--------|--------|--------|
|                           |         |      |        |        | 소형     | 보통    | 소계     | 소형     | 보통     | 대형     | 톤수 1  | 톤수 2   |        | 소계     |
|                           |         |      |        |        | 소형     | 보통    | 소계     | 소형     | 보통     | 대형     | 톤수 1  | 톤수 2   |        |        |
| 1995 176(윤성 - 진천)         | 12.6    | 4    | 39,652 | 17,738 | 2,338  | 2,148 | 4,486  | 23     | 12,516 | 4,308  | 548   | 221    | 17,828 | 14     |
| 1996 176(윤성 - 진천)         | 12.6    | 4    | 41,976 | 17,738 | 3,077  | 2,537 | 5,614  | 20     | 13,156 | 4,849  | 265   | 221    | 18,610 | 14     |
| 1997 176(윤성 - 진천)         | 12.6    | 4    | 44,774 | 22,781 | 2,338  | 2,307 | 4,645  | 76     | 12,516 | 3,965  | 1,128 | 230    | 17,313 | 95     |
| 1998 176(윤성 - 진천)         | 12.6    | 4    | 38,711 | 18,418 | 2,577  | 2,148 | 4,725  | 80     | 10,458 | 4,308  | 548   | 151    | 15,543 | 25     |
| 1999 176(윤성 - 진천)         | 12.7    | 4    | 44,157 | 21,389 | 2,439  | 2,449 | 4,888  | 93     | 13,605 | 3,201  | 870   | 100    | 17,869 | 11     |
| 구간                        | 연장 (km) | 차로 수 | 계      | 승용차    | 버스     |       |        | 화물차    |        |        |       |        |        |        |
|                           |         |      |        |        | 소형     | 소형    | 보통     | 소형     | 소형     | 보통     | 대형    | 톤수 1   | 톤수 2   |        |
| 2000 176(윤성 - 진천)         | 12.7    | 4    | 47,099 | 22,432 | 6,853  | 3,766 | 3,087  | 17,614 | 32     | 11,992 | 4726  | 787    | 277    |        |
| 2001 176(윤성 - 진천)         | 12.7    | 4    | 47,099 | 22,432 | 6,853  | 3,766 | 3,087  | 17,614 | 32     | 11,992 | 4726  | 787    | 277    |        |
| 2002 05286(진천 IC - 울성 IC) | 12.7    | 4    | 52,186 | 29,139 | 4,927  | 2,624 | 2303   | 18,100 | 38     | 13,187 | 3951  | 820    | 104    |        |
| 2003 05286(진천 IC - 울성 IC) | 12.7    | 4    | 45,857 | 24,843 | 4,308  | 2,000 | 2308   | 16,706 | 103    | 11,979 | 3937  | 938    | 85     |        |
| 2004 05286(진천 IC-울성 IC)   | 12.7    | 4    | 46,542 | 24,541 | 5,789  | 3,370 | 2219   | 16,212 | 119    | 12,018 | 3420  | 680    | 75     |        |
| 2005 (진천 IC - 울성 IC)      | 12.7    | 4    | 42,242 | 22,639 | 5,081  | 3,325 | 2356   | 13,822 | 79     | 10,750 | 1601  | 1,226  | 266    |        |
| 구간                        | 연장 (km) | 차로 수 | 계      | 연년계    | 승용차    | 버스    | 소형 화물차 | 소형     | 소형     | 보통     | 대형    | 승용 화물차 | 대형 화물차 | 대형 화물차 |
|                           |         |      |        | 계      | 1층     | 2층    | 3층     | 4층     | 5층     | 6층     | 7층    | 8층     | 9층     | 10층    |
| 2006 진천IC - 울성IC          | 4       | 4    | 42,242 | 44,611 | 27,910 | 1,494 | 5,451  | 5,770  | 1,087  | 773    | 563   | 166    | 14     | 597    |
| 2007 진천IC - 울성IC          | 4       | 4    | 44,611 | 46,093 | 28,952 | 1,445 | 5,609  | 5,900  | 1,930  | 802    | 579   | 170    | 14     | 612    |

<그림 11.40> 교통하중 입력자료 예

## 다. 교통자료

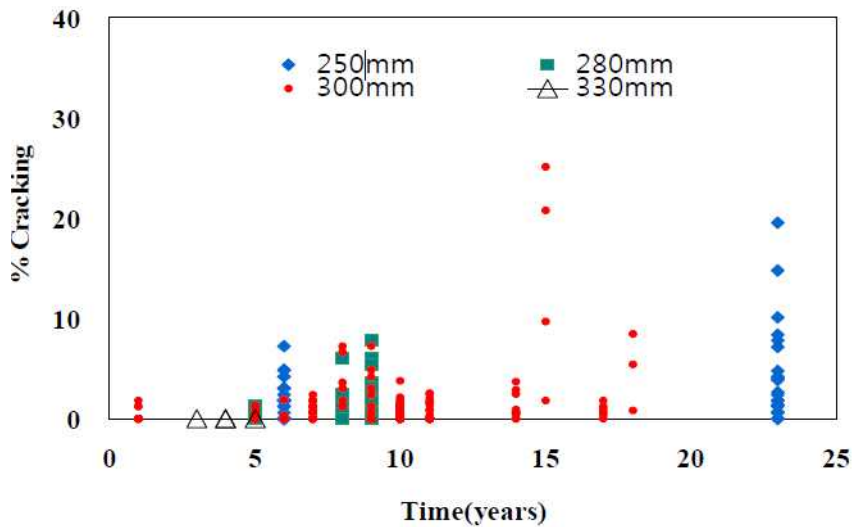
각 조사위치에 대한 교통자료를 얻기 위해 교통량 정보시스템 (<http://www.road.re.kr/>)에서 1995년부터 2007년까지 수시 교통량자료를 얻어 자료를 분석했다. 도로포장 구조 설계에서 정의된 교통량은 12종의 차종분류를 사용하지만, 2006년 이전 자료들은 차종분류가 고속도로 8종 일반국도 11종이었다. 현재 이를 도로포장 구조 설계 프로그램에 적용할 수 있도록 1995~2007년까지의 교통량을 정리하였으며, <그림 11.40>은 그 일례를 나타낸 것이다.

## 라. 공용성 자료 수집결과

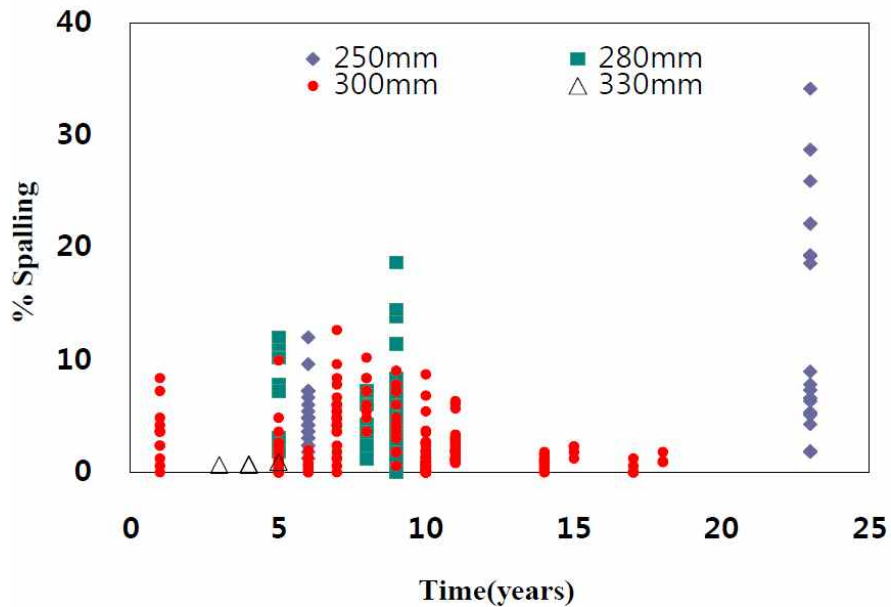
보조기층 종류에 대한 자료 수집 결과, 일반국도 줄눈 콘크리트 포장은 주로 두께 5-7cm의 아스팔트 보조기층으로, 고속도로는 88선은 쇠섬유보조기층으로, 그 외의 모든 구간은 두께 15cm의 린 콘크리트층으로 시공되었다. 슬래브의 두께에 대한 자료 수집 결과, 일반국도는 250mm, 280mm, 그리고 300mm의 두께를 가진 포장이 시공되었으며, 고속도로의 경우 260mm, 300mm, 그리고 330mm 두께를 가진 포장이 시공되었다. 시멘트 콘크리트 포장의 온도 및 습도의 영향으로 인해 콘크리트 부피를 변화시키는 주요인자인 콘크리트 골재의 종류에 대해서는 국내 관련 보고서 및 논문으로 추정된 결과 국내 대부분의 암종이 화강암계열의 암석이며, 전라남도 및 경상남도 일부 지역에서 섬록암 석산이 분포하였다. 강원도 일부 지방에서 석회암 석산이 존재하며, 충청북도 지역에서 일부 사암석산이 있었다. 줄눈간격은 88 고속도로의 경우 5m였고, 그 이외의 나머지 조사구간은 6m였다. 하부보조기층 및 노상의 입력변수는 기존 설계자료 및 시공건설지를 최대한 수집하려 노

력하였으나 많은 자료를 확보하지 못하였다.

〈그림 11.41〉과 〈그림 11.42〉는 재령에 따른 시멘트 콘크리트 포장의 피로균열(%)과 스폴링(%)을 변화를 도시한 것으로 두께가 250~260mm인 포장의 파손 발생의 빈도가 두께 280mm이상의 포장보다 더 컸다. 두께 280mm 포장과 300mm 두께의 포장은 그 파손 발생의 빈도가 유사 하였으나 300mm 두께의 포장이 보다 낮은 수준이었다. 330mm두께의 포장은 일부 고속국도 구간에 최근 적용되었으나 재령이 5년 미만이었으며, 파손 또한 거의 발생하지 않았다.



〈그림 11.41〉 재령에 따른 국내 시멘트 콘크리트 포장의 슬래브 두께별 피로균열 현황



〈그림 11.42〉 재령에 따른 국내 시멘트 콘크리트 포장의 슬래브 두께별 스폐링 현황

### (3) 추가 공용성 자료의 수집

공용성 자료 수집결과 국내 시멘트 콘크리트 포장의 시공 현황 및 공용성 자료는 특정 보조기층 형식과 두께에 치중되어있어 다양한 보조기층 및 두께 등을 고려할 수 있는 설계 개발을 위한 기초자료로서 다소 부족함이 있어 미국의 LTPP 데이터를 추가적으로 수집하였다. 미국의 공용성 자료는 미연방도로국(FHWA)에서 운영하고 있는 웹인 [www.datapave.com](http://www.datapave.com)로부터 포장이력, 포장형식, 피로 균열율, 그리고 교통량 등의 자료를 수집하였다.

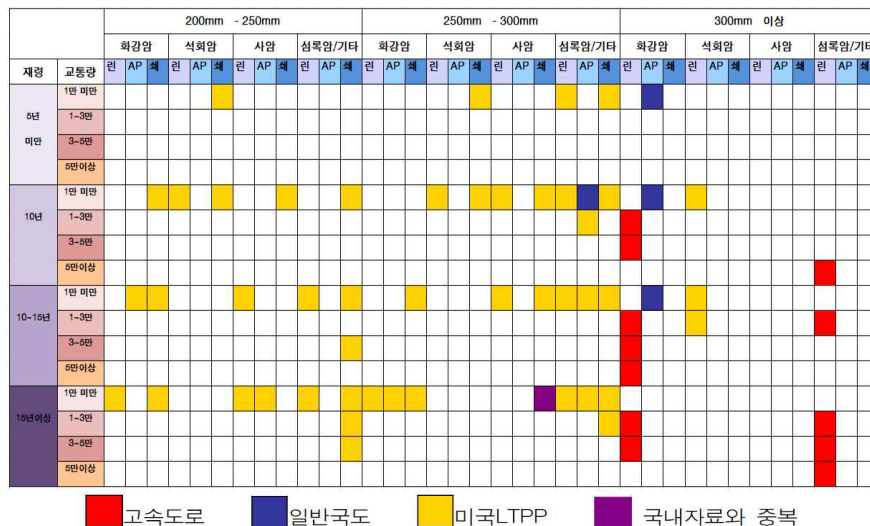
[www.datapave.com](http://www.datapave.com) 로부터 미국 모든 주의 줄눈 콘크리트 포장 공용데이터를 수집한 결과, 총 620개 구간(section)의 3470개의 횡방향 균열 데이터를 확보할 수 있었다. 수집된 피로균열에 관련된 자료 중 횡방향 균열율, 재령, 교통량, 콘크리트 물성, 보조기층 물성이 모두 있는 것은 총 구간수 70개, 자료수 313개의 자료로 〈표 11.12〉와 같이 확인되었다.

다음 <그림 11.43>는 국내 및 미국 피로균열 자료를 정리한 것으로 미국자료 수집을 통해 다양한 두께 및 암종에 대한 공용성 자료를 확보한 것으로 나타났다. 그리고 국내자료가 화강암 골재를 사용한 슬래브두께 280mm 및 300mm에 주로 편중되어 있는 것에 비하여 미국 LTPP자료는 이보다 더 다양한 두께와 암종이 사용되었다.

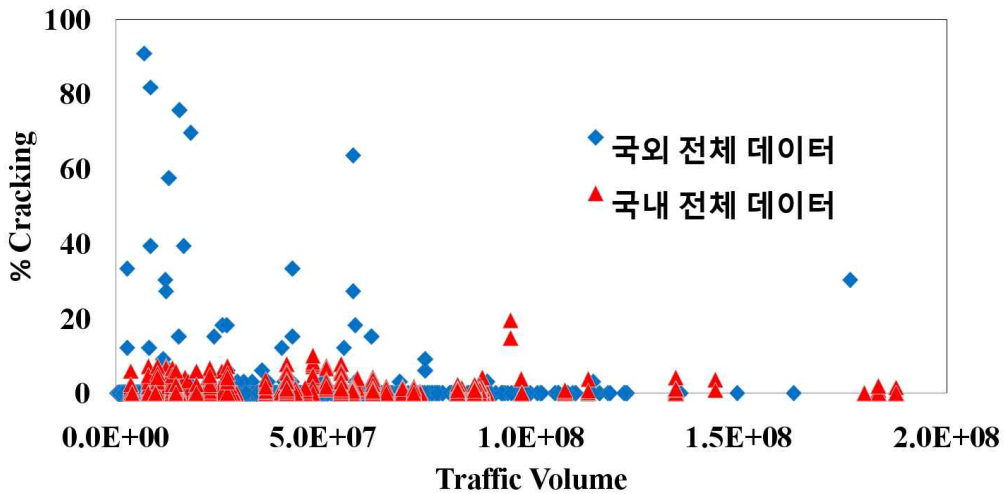
<그림 11.44>은 교통량에 따른 국내 및 미국의 시멘트 콘크리트 포장 피로균열율을 나타낸 것으로 미국자료에 비하여 국내의 시멘트 콘크리트 포장의 균열율이 전반적으로 낮았다. 이는 다양한 조건에서 수집된 미국자료에 비하여 국내는 슬래브가 미국에 비하여 두껍고, 보조기층의 강성도 매우 큰 편인 린콘크리트층이 사용되기 때문이다.

<표 11.12> 미국 LTPP 시멘트 콘크리트 포장 수집자료 총 현황

| 수집자료                      | 구간수 | 자료수   |
|---------------------------|-----|-------|
| 균열자료(횡방향)                 | 620 | 3,470 |
| 균열자료+교통량                  | 147 | 936   |
| 균열자료+교통량+재령               | 122 | 617   |
| 균열자료+교통량+재령+보조기층물성        | 110 | 530   |
| 균열자료+교통량+재령+보조기층물성+콘크리트물성 | 70  | 313   |



<그림 11.43> 미국 LTPP 시멘트 콘크리트 포장 자료수집 결과



〈그림 11.44〉 교통량에 따른 국내 및 미국의 시멘트 콘크리트 포장 피로균열율 분포

## 11.4 현장 자료를 이용한 공용성 모형의 보정

### 11.4.1 방법론

실내실험으로부터 개발된 포장의 공용성 모형을 현장의 다양한 조건이 반영된 모형으로 보정하기 위한 다른 방법은 누적손상 개념을 이용하는 것이다. 즉, 포장에 발생하는 파손은 반복되는 차량하중 및 환경적인 영향에 의해 발생하는 것으로 이러한 영향을 Miner의 누적 피로손상 이론과 접목하여 누적손상에 대한 포장 파손 발생률로 표현하는 방법이다. 실제 포장은 특정 인자를 조절하여 실내 실험을 통해 개발한 모형의 거동과 달리 미처 고려하지 못한 타 인자들로 인해 거동에 차이가 발생하므로 현장 데이터를 고려하여 실제 공용성을 예측할 수 있다. 이러한 방법에 의해 보정계수 및 전이함수를 산정하고 파손률과 누적손상과의 관계를 나타낸 것이다.

여기에서는 시멘트 콘크리트 포장의 피로균열에 대한 보정계수를 유도하는 과

정을 살펴보았다. 콘크리트의 피로손상 개념에서 보정계수를 도입하고 도입된 보정계수를 이용하여 실내 실험을 통하여 얻은 피로모형을 현장에서의 피로모형으로 보정하게 된다. 보정과정에서 사용되는 계수는 최종 균열발생률(%)과 누적 피로손상의 관계로부터 유도된다.

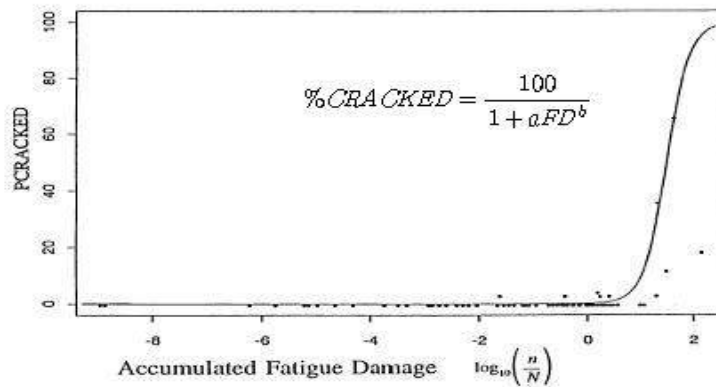
슬래브에 발생하는 균열은 차량이나 환경적인 영향에 의한 반복하중에 의하여 발생하므로 보정계수 산정을 위하여 <식 11.20> ~ <식 11.23>와 같이 표현할 수 있다.

$$FD' = \alpha FD \quad \langle \text{식 11.20} \rangle$$

여기서,  $FD$  = 실내실험 결과의 피로 모형

$FD'$  = 현장 데이터를 이용하여 보정한 피로 모형

$\alpha$  = 보정 계수(shift factor)



<그림 11.45> 일반적 균열발생률과 누적 피로손상의 관계

$$FD = \sum \frac{n}{N} \quad \langle \text{식 11.21} \rangle$$

$$\alpha FD = \sum \frac{n}{N'} = \sum \frac{n}{\frac{1}{\alpha} N} \quad \langle \text{식 11.22} \rangle$$

$$N' = \frac{1}{\alpha} N \quad \langle \text{식 11.23} \rangle$$

실내 힘인장 피로실험을 통하여 제안된 피로파손 모형 <식 11.24>를 보면,

$$\text{Ln}(N) = 33.312 - 29.155 \left( \frac{\sigma_{\max}}{M_{R58}} \right) \quad \langle \text{식 11.24} \rangle$$

<식 11.25>에 의하여 <식 11.26>은 <식 11.27>로 바뀌서 표현할 수 있다.

$$\text{Ln}(N') = \text{Ln}\left(\frac{1}{\alpha} N\right) = \text{Ln}(N) + \text{Ln}\left(\frac{1}{\alpha}\right) = 33.312 - 29.155 \left( \frac{\sigma_{\max}}{M_{R58}} \right) + \text{Ln}\left(\frac{1}{\alpha}\right) \quad \langle \text{식 11.25} \rangle$$

여기서, <식 11.27>는 <식 11.28>과 같다고 가정한다.

$$\text{Ln}(N') = \text{Ln}\left(\frac{1}{\alpha} N\right) = \text{Ln}(N) + \Upsilon = 33.312 - 29.155 \left( \frac{\sigma_{\max}}{M_{R58}} \right) + \Upsilon \quad \langle \text{식 11.26} \rangle$$

$$\Upsilon = \text{Ln}\left(\frac{1}{\alpha}\right) \quad \text{혹은} \quad \alpha = e^{-\Upsilon} \quad \langle \text{식 11.27} \rangle$$

피로식은 <식 11.28>을 <식 11.29>와 같이 다시 표현하면

$$\% \text{ Cracked} = \frac{100}{1 + aFD^b} \quad \langle \text{식 11.28} \rangle$$

$$\% \text{ Cracked} = \frac{100}{1 + aFD^b} = \frac{100}{1 + (FD)^b} \quad \langle \text{식 11.29} \rangle$$

이 된다. <식 11.23>과 <식 11.31>을 살펴보면

$$(\alpha FD)^b = a(FD)^b \quad \langle \text{식 11.30} \rangle$$

$$\alpha b F D^b = a F D^b \quad \langle \text{식 11.31} \rangle$$

$$\alpha b = a \quad \text{or} \quad \alpha = a^{\frac{1}{b}} \quad \langle \text{식 11.32} \rangle$$

〈식 11.27〉에 의해 보정계수는 〈식 11.33〉과 같이 표현할 수 있다.

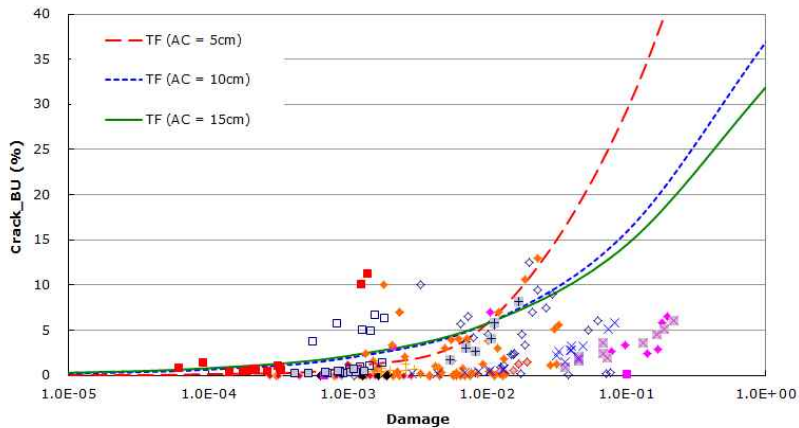
$$Y = -\frac{1}{b} \ln(a) \quad \langle \text{식 11.33} \rangle$$

따라서, 쪼갬인장 피로실험과 휨인장 피로실험과 같은 실내 피로실험을 통하여 얻은 피로파손 모형은 보정계수를 산출하게 되면 현장조건을 만족하는 피로파손 모형으로 전환할 수 있다.

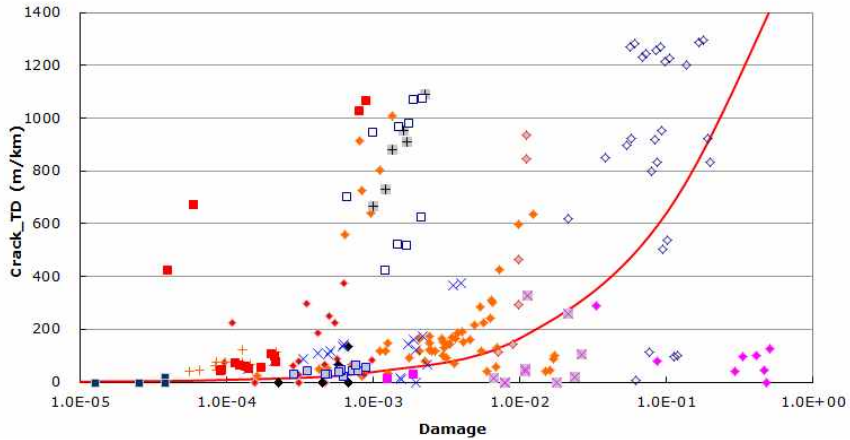
## 11.4.2 보정계수 및 전이함수를 이용한 모형 보정

### (1) 아스팔트 콘크리트 포장의 피로균열

아래 〈그림 11.46〉과 〈그림 11.47〉은 실내실험 자료와 공용성 자료를 바탕으로 제안된 전이함수를 나타내고 있다. 상향균열에 대한 전이함수는 두께에 대한 함수로 표현되기 때문에 전이함수가 3개의 곡선을 나타내고 있는 반면, 하향균열은 두께의 함수로 정의되지 않았기 때문에 하나의 곡선을 나타내고 있다.



〈그림 11.46〉 상향균열에 대한 전이함수



〈그림 11.47〉 하향균열에 대한 전이함수

## (2) 시멘트 콘크리트 포장의 피로균열

KPRP 프로그램과 현장조사결과를 이용하여 시멘트 콘크리트 포장의 전이함수를 구하였다. 시멘트 콘크리트 포장의 전이함수를 구하기 위해 〈표 11.13〉에 보이는 국내 현장자료와 국외 LTPP자료를 이용하였다. 현장자료는 포장층의 길이 및 두께, 공용연수, AADT, 하부층 종류, 콘크리트에 사용된 골재의 종류 등으로 구분되어 있으며, 총 71가지의 경우에 대해서 현장 균열율을 확보하였다.

〈표 11.13〉 KPRP 시멘트 콘크리트 포장의 전이함수 개발에 사용된 현장포장자료

| 재형       | 차선당 AADT      | 240mm 이하(215mm) |    |    |     |     |    | 240mm 초과 - 280mm 이하(260mm) |    |     |     |     |     | 280mm 초과(300mm) |     |     |     |  |  |
|----------|---------------|-----------------|----|----|-----|-----|----|----------------------------|----|-----|-----|-----|-----|-----------------|-----|-----|-----|--|--|
|          |               | 최소              | AP | 최대 | 최소  | AP  | 최대 | 최소                         | AP | 최대  | 최소  | AP  | 최대  | 최소              | AP  | 최대  |     |  |  |
| 5년미만     | 5,000미만       | #1              |    |    |     |     |    |                            |    |     |     |     |     |                 |     |     |     |  |  |
|          | 5,000-15,000  |                 |    | #5 | #8  |     |    |                            |    |     |     |     |     |                 |     |     |     |  |  |
|          | 15,000-30,000 |                 |    |    |     | #12 |    |                            |    | #15 | #20 | #32 |     |                 |     | #61 | #62 |  |  |
|          | 30,000-50,000 |                 |    |    |     |     |    |                            |    |     |     |     |     |                 |     |     |     |  |  |
| 50,000이상 |               |                 |    |    |     |     |    |                            |    |     |     |     |     |                 |     |     |     |  |  |
| 5-10년    | 5,000미만       | #2              |    |    |     |     |    |                            |    |     |     |     |     |                 |     |     |     |  |  |
|          | 5,000-15,000  |                 |    | #6 | #9  |     |    |                            |    |     |     |     |     |                 |     |     |     |  |  |
|          | 15,000-30,000 |                 |    |    |     | #13 |    |                            |    | #16 | #19 | #28 | #36 | #46             | #50 |     | #63 |  |  |
|          | 30,000-50,000 |                 |    |    |     |     |    |                            |    |     | #21 | #29 | #37 | #42             |     | #51 | #66 |  |  |
| 50,000이상 |               |                 |    |    |     |     |    |                            |    | #22 |     |     |     |                 | #52 | #65 |     |  |  |
| 10-15년   | 5,000미만       | #3              |    |    |     |     |    |                            |    |     |     |     |     |                 |     |     |     |  |  |
|          | 5,000-15,000  |                 |    | #7 | #10 |     |    |                            |    |     |     |     |     |                 |     |     |     |  |  |
|          | 15,000-30,000 |                 |    |    |     | #14 |    |                            |    |     | #17 | #23 | #30 | #38             | #47 |     |     |  |  |
|          | 30,000-50,000 |                 |    |    |     |     |    |                            |    |     | #24 | #31 | #39 | #43             |     | #55 | #70 |  |  |
| 50,000이상 |               |                 |    |    |     |     |    |                            |    |     |     |     |     |                 | #56 |     |     |  |  |
| 15년이상    | 5,000미만       | #4              |    |    |     |     |    |                            |    |     |     |     |     |                 |     |     |     |  |  |
|          | 5,000-15,000  |                 |    |    |     | #11 |    |                            |    |     |     |     |     |                 |     |     |     |  |  |
|          | 15,000-30,000 |                 |    |    |     |     |    |                            |    |     | #32 | #40 | #48 |                 |     |     | #71 |  |  |
|          | 30,000-50,000 |                 |    |    |     |     |    |                            |    |     | #25 | #33 | #39 | #44             |     | #57 |     |  |  |
| 50,000이상 |               |                 |    |    |     |     |    |                            |    |     |     |     |     |                 | #58 |     |     |  |  |

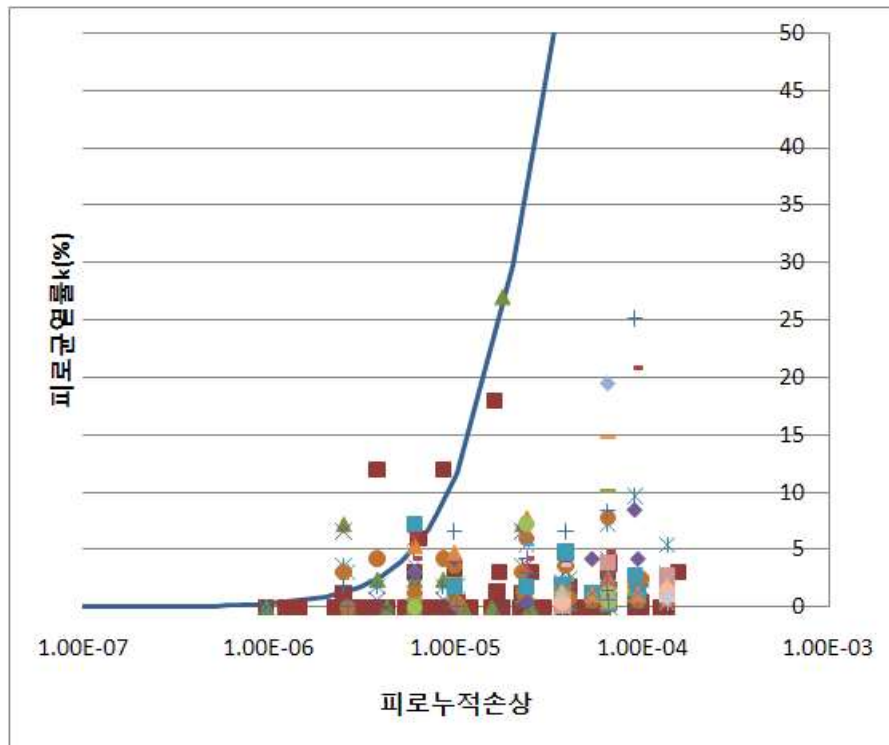
■ 국내 고속   ■ 국내 일반   ■ 국외   ■ 국내외 공통

71가지 경우 각각에 대해서 KPRP 프로그램을 이용하여 누적피로손상을 구하였으며, 이를 이용하여 피로누적손상에 따른 피로균열률을 <그림 11.48>에 도시하였다. 그림에 보인 데이터 포인트는 현장 조사 자료이며, 그림 내 곡선은 이들 데이터 포인트를 이용하여 구한 전이함수이다. 이 전이함수는 다음과 같은 식으로 표현된다.

$$CRK = \frac{a_{CRK}}{1 + (b_{CRK} \cdot FD)^{c_{CRK}}} \quad \langle \text{식 11.34} \rangle$$

여기서,

FD = 피로손상,  $a_{CRK} = 1$ ,  $b_{CRK} = 30000$ ,  $c_{CRK} = -1.68$ ,



<그림 11.48> 피로누적손상 vs 피로균열율

## 부록 12. **덧씌우기**

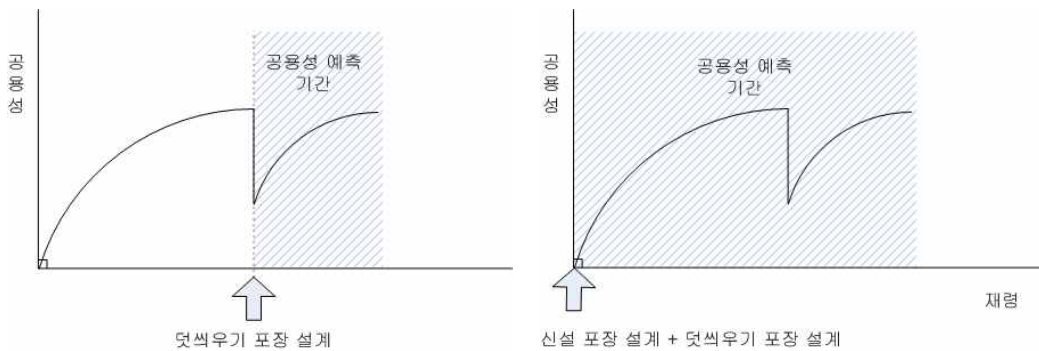
시간이 지남에 따라 신설포장은 반복적인 교통하중 및 환경하중에 의해 그 기능이 저하된다. 따라서 어느 시점을 지나면 포장 표면 및 내부에서 파손이 발생하여 도로 이용자들에게 불편함을 초래한다. 파손된 도로 포장을 적절하게 보수하고 관리하는 것은 새로운 포장을 건설하는 것만큼 중요하다. 적절한 유지보수 공법을 선정하기 위해서는 도로 포장체의 파손 및 결함에 대한 원인을 정확히 규명하여야 한다. 선정된 유지보수 공법은 포장 파손원인을 근본적으로 해결하고 파손의 재발을 최소화해야 한다. 일반적으로 유지보수공법 중 덧씌우기 공법이 가장 효과적이고 경제적인 방법으로 알려져 있다. 본 장에서는 덧씌우기 포장 설계의 기본적 개념을 소개하고, 도로포장 구조 설계에서 고려하는 덧씌우기 포장 설계 로직을 설명하고자 한다. 기존의 아스팔트 덧씌우기 포장 설계는 주로 경험에 근거하여 수행되었다. 이는 유지보수 시행후 포장의 잔존수명을 정확히 예측할 수 없으며 파손 진전을 효과적으로 제어할 수 없다. 도로포장 구조 설계에서 개발될 덧씌우기 포장 설계는 역학적-경험적 (ME) 설계 이론을 도입하였다. 이를 통하여 과학적이고 합리적인 덧씌우기 두께 설계를 수행하고, 향후 설계 수명예측에 신뢰도 향상시킬 수 있다.

### 12.1 **도로포장 구조 설계의 덧씌우기 설계**

도로포장 구조 설계의 덧씌우기는 기존 설계와 유사한 부분이 있으나, 세부적으로 역학적인 모형들을 이용하여 공용성을 예측하고 이를 설계에 반영하도록 되어 있다. 현재 아스팔트 포장 덧씌우기는 완료되었으며, 시멘트 콘크리트 포장의 덧씌우기는 진행 중에 있다. 이에 대하여 알아보면 다음과 같다.

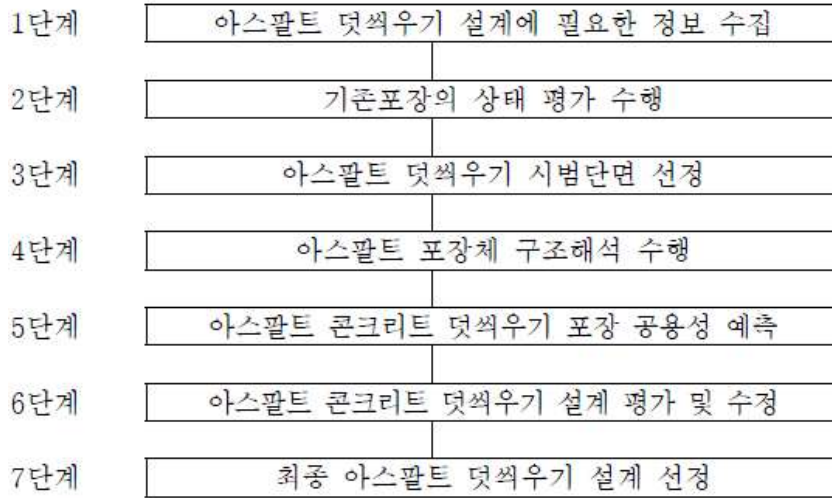
### 12.1.1 아스팔트 콘크리트 포장에서의 아스팔트 덧씌우기 설계

덧씌우기 포장 설계에 있어 설계 시점에 따라 두 가지로 나타낼 수 있는데, 첫번째로는 <그림 12.1>의 좌측 그림과 같이 공용중인 시점에서의 기존 포장의 덧씌우기 설계를 하는 경우와 두번째로 <그림 12.1>의 우측 그림과 같이 단계 건설을 위한 신설포장 설계시 덧씌우기 설계를 하는 경우로 나타낼 수 있다. 일반적인 설계는 전자에 대한 설계 과정을 보여주었다. 단계 설계개념을 적용한 경우는 많지 않았다. 실제 신설 포장 설계시 예산제약에 따른 단계 건설을 취할 경우, 덧씌우기 포장 설계를 고려할 수 있도록 반영해야 한다. 여기서는 두 가지 아스팔트 덧씌우기 설계에 대하여 알아보았다.



<그림 12.1> 기존 포장의 덧씌우기 설계 시점(좌) 및 단계건설에 필요한 덧씌우기 설계 시점(우)

기존 아스팔트 콘크리트 포장위에 아스팔트 덧씌우기 포장을 위한 설계 절차는 총 7 단계로 <그림 12.2>과 같이 구성되어 있다.



〈그림 12.2〉 아스팔트 포장 상부 아스팔트 콘크리트 덧씌우기 포장설계 절차

### (1) 1 단계 : 아스팔트 덧씌우기 설계에 필요한 정보 수집

기존 공용중인 도로포장의 형식에 상관없이 아스팔트 콘크리트 덧씌우기 포장을 수행하기 위해서는 다음과 같은 기본 정보가 필요하다.

- 일반정보
  - 공사이름 및 설명
  - 설계 수명
  - 기존 포장의 준공일
  - 덧씌우기 포장 시공일
  - 교통 개방 날짜
  - 유지보수 이력
- 위치 및 공사구간 정보
  - 공사 위치 및 구간별 정보
  - 도로등급

- 분석에 필요한 정보
  - 초기 평탄성
  - 설계 공용성 기준 (피로균열, 소성변형, IRI)
- 교통량
  - 차종별 축별 축하중 분포 (신설 포장과 동일)
- 환경인자
  - 온도, 함수량 분포 (신설 포장과 동일)
- 배수 특성
  - 포장의 횡단경사
  - 배수로의 길이
- 포장 구조 및 재료 물성
  - 포장층의 개수, 재료종류, 및 두께
  - 포장층간 상태

## (2) 2 단계 : 기존포장의 상태 평가 수행

덧씌우기 포장 설계시 가장 중요한 영향을 미치는 인자는 기존 포장 구조의 상태이다. 아스팔트 덧씌우기 설계시에는 공용중인 아스팔트 포장체의 구조적/기능적 상태를 정확히 평가해야 한다. 공용중인 기존 포장의 기능적 상태는 포장층별 영구변형량과 피로균열량을 측정하여 평가한다.

구조적 상태 평가를 위해서는 공용중인 기존 포장층의 탄성계수를 예측하고 초기조건(현재 영구변형량 등)을 정량화 하여야 한다. 구조적 상태 평가를 위하여 비파괴 시험을 수행하고 포장체 표면의 처짐값을 측정한다. 기존 포장 상태 정량화를 위한 방법은 <표 12.1>에 설계수준별로 요약되어 있다.

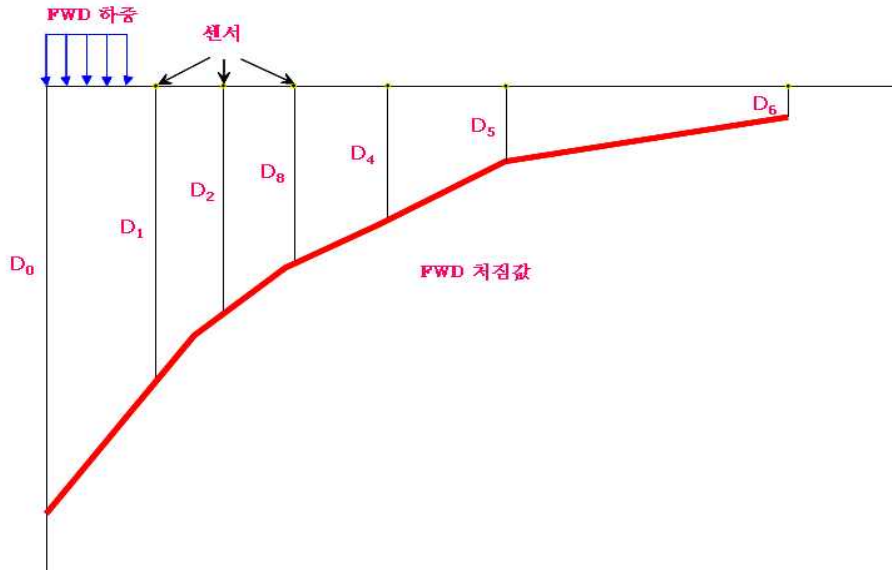
기존 포장재료의 탄성계수 추정을 위하여 일반적으로 FWD 장비가 가장 널리 사용되고 있다 <그림 12.3>. 다음과 같은 절차를 통하여 포장체의 구조적

상태 평가 척도인 포장층의 탄성계수를 계산한다.

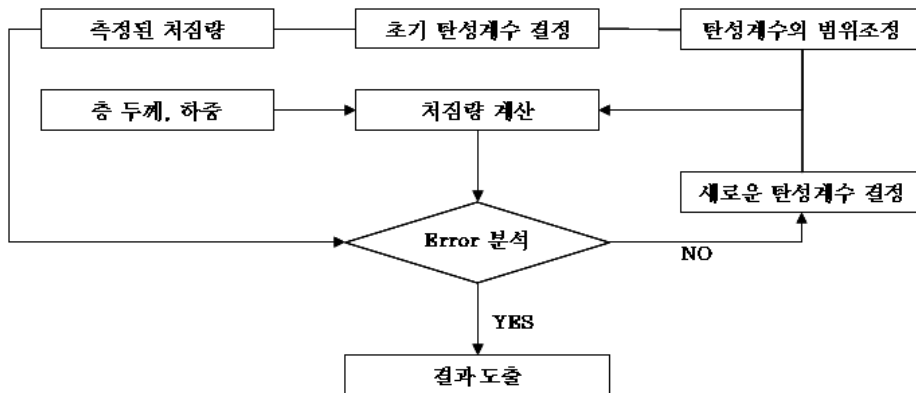
- ① 포장체 표면의 처짐값 측정 : 충격하중을 재하하여 센서위치별 처짐값 측정
- ② 포장체 각층 두께 조사: 시험구간에서 코어채취를 통한 포장층 두께 조사
- ③ 초기 탄성계수 값과 포아송(Poisson's) 비 결정: 역산 프로그램에서 최초 처짐량을 계산하기 위해 이용될 초기값 결정
- ④ 탄성계수 범위의 조정 : 역산 프로그램에서 비합리적인 탄성계수 값이 선택되거나 계산되는 것을 방지하기 위해서 포장재료별 탄성계수의 최대/최소값의 범위 결정
- ⑤ 처짐량 계산 : 다층탄성 구조해석프로그램을 이용하여 처짐량 계산
- ⑥ 오차분석 : 측정된 처짐량과 계산된 처짐량의 비교를 통한 오차 분석
- ⑦ 새로운 탄성계수 결정 : ⑥의 과정에서 계산된 오차가 허용오차범위를 벗어날 경우 각 층의 새로운 탄성계수 결정
- ⑧ 포장층 최종 탄성계수 결정: 계산오차가 허용오차 범위안에 수렴할 경우

〈표 12.1〉 기존 포장체의 상태 평가 기법 요약

| 포장재료    | 입력변수      | 설계수준                   |                        |
|---------|-----------|------------------------|------------------------|
|         |           | 1                      | 2                      |
| 아스팔트 재료 | 파손 탄성계수   | 비파괴시험법                 | 비파괴시험법                 |
|         | 탄성계수      | 아스팔트 혼합물 동탄성계수값 (현장코어) | 아스팔트 혼합물 동탄성계수값 (현장코어) |
|         | 피로 균열률    | 노면 조사를 통한 피로균열률        | 노면 조사를 통한 피로균열률        |
|         | 초기 영구변형량  | 현장 실측 소성변형량            | 사용자 정의                 |
| 보조기층    | 탄성계수      | 비파괴시험법                 | 비파괴시험법                 |
|         | 초기 영구 변형량 | 현장 실측 영구변형량            | 사용자 정의                 |
| 노상층     | 탄성계수      | 비파괴시험법                 | 비파괴시험법                 |
|         | 초기 영구변형량  | 현장 실측 영구변형량            | 사용자 정의                 |



〈그림 12.3〉 포장 처짐량 측정



〈그림 12.4〉 포장층 탄성계수 역산 절차

〈그림 12.4〉은 FWD 처짐값을 이용한 포장체의 탄성계수 역산절차 흐름도이다. 아스팔트, 보조기층, 노상층의 탄성계수는 다음과 같이 산정한다.

(a) 아스팔트층

신설포장 설계에서의 아스팔트 재료의 물성정량화를 위하여 동탄성계수값이 사용된다. 아스팔트 콘크리트 덧씌우기 포장설계에서도 신설포장과 같이 기존포장의 아스팔

트 동탄성계수값을 사용한다. 기존 포장의 파손 정도에 따라 동탄성계수 마스터 곡선은 다음과 같이 보정하게 된다.

$$E_{dam}^* = 10^\delta + \frac{E^* - 10^\delta}{1 + e^{-0.3 + 5 \times \log(d_{AC})}} \quad \langle \text{식 12.1} \rangle$$

여기서,  $E_{dam}^*$  = 파손 동탄성계수

$\delta$  = 회귀식 계수

$E^*$  = 건전한 상태 아스팔트 혼합물의 동탄성계수

dAC = 피로파손율

설계 수준 1은 건전한 상태 아스팔트 혼합물의 동탄성계수 마스터 곡선을 완성하기 위해서 현장에서 코어를 채취한다. 아스팔트 혼합물의 파손정도와 파손시 탄성계수 마스터 곡선을 완성하기 위해 비파괴 시험을 이용하여 아스팔트 혼합물의 탄성계수를 역산한다. 설계 수준 2는 비파괴 시험을 이용하여 아스팔트 혼합물의 탄성계수를 역산한다.

### (b) 보조기층 및 노상층

보조기층과 노상층의 상태를 평가하기 위해서는 비파괴 시험을 수행해야 한다. 비파괴 시험 결과를 이용하여 보조기층과 노상층의 탄성계수를 역산한다. 역산된 탄성계수값은 일반적으로 실내 시험값보다 높기 때문에 보정이 필요하다. <표 12.2>는 평균 역산 탄성계수와 실내시험을 통해 얻은 탄성계수와의 비를 나타낸 표이다.

### (3) 3 단계 : 아스팔트 덧씌우기 시범 단면 선정

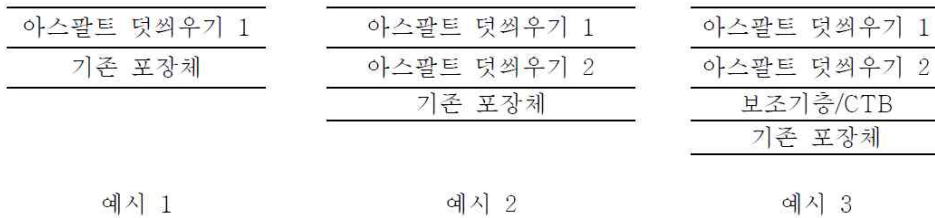
기존 포장의 상태, 향후 예측 교통량, 덧씌우기 전 유지보수를 고려하여 설계자는 시범 덧씌우기 포장 재료 및 단면을 선정한다. 덧씌우기 포장에 사용될 아스팔트 재료의 물성 산정한다. <그림 12.5>는 아스팔트 덧씌우기 설계 시범 단면의 예를 나타내고 있다.

#### (4) 4 단계 : 아스팔트 포장체 구조해석 수행

기존 포장의 상태 평가를 통해 계산된 각 포장층의 탄성계수와 아스팔트 덧씌우기 두께 및 재료 물성을 이용하여 구조해석을 수행한다. 구조해석을 통하여 포장체 내부의 주요지점에서의 변형률값을 산정한다. 원칙적으로 아스팔트 덧씌우기 포장에서 사용되는 구조해석 기법은 신설포장과 동일하다. <그림 12.6>는 아스팔트 덧씌우기 포장의 일반적 단면과 구조해석을 통해 결정되어야 하는 변형률을 나타내고 있다.

<표 12.2> 평균 역산 탄성계수 (ER)와 실내시험 탄성계수 (MR)와의 비

| 포장층 종류 | 평균 ER/MR 비 |
|--------|------------|
| 보조기층   | 0.62       |
| 노상층    | 0.35~0.75  |

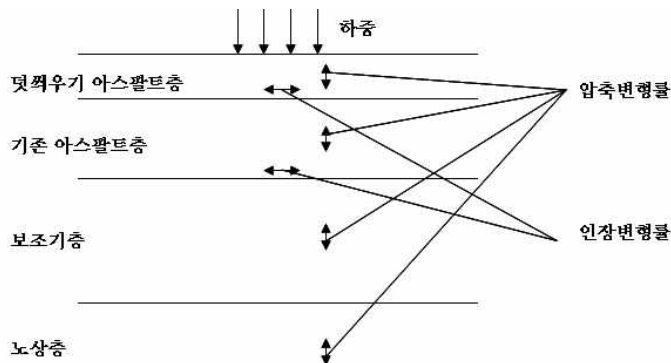


예시 1

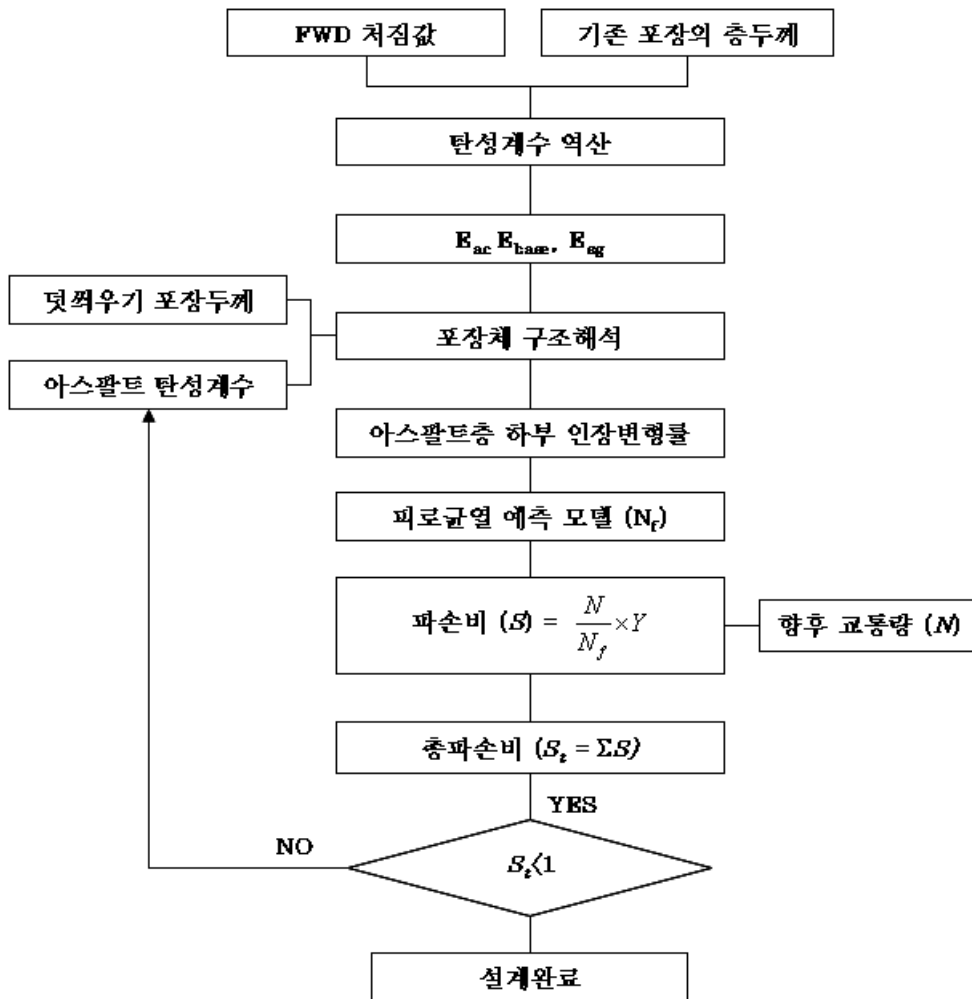
예시 2

예시 3

<그림 12.5> 아스팔트 덧씌우기 설계 단면의 예



<그림 12.6> 아스팔트 덧씌우기 포장 구조해석



〈그림 12.7〉 아스팔트 덧씌우기 포장에서 피로균열 예측 흐름도

### (5) 5 단계 : 아스팔트 덧씌우기 포장의 공용성 예측

아스팔트 덧씌우기 포장 설계에서는 피로균열과 영구변형을 고려하여 포장체의 공용성을 예측한다. 4단계에서 구조해석을 통해 계산된 아스팔트 덧씌우기층 하부의 인장변형률과 포장각층 중앙부의 압축변형률은 피로수명과 영구변형량 계산에 각각 사용된다. 아스팔트 덧씌우기층 하부의 피로수명과 영구변형량 및 보조기층과 노상층의 영구변형량은 본서에서 제시한 모형을 이용하여 계산한다.

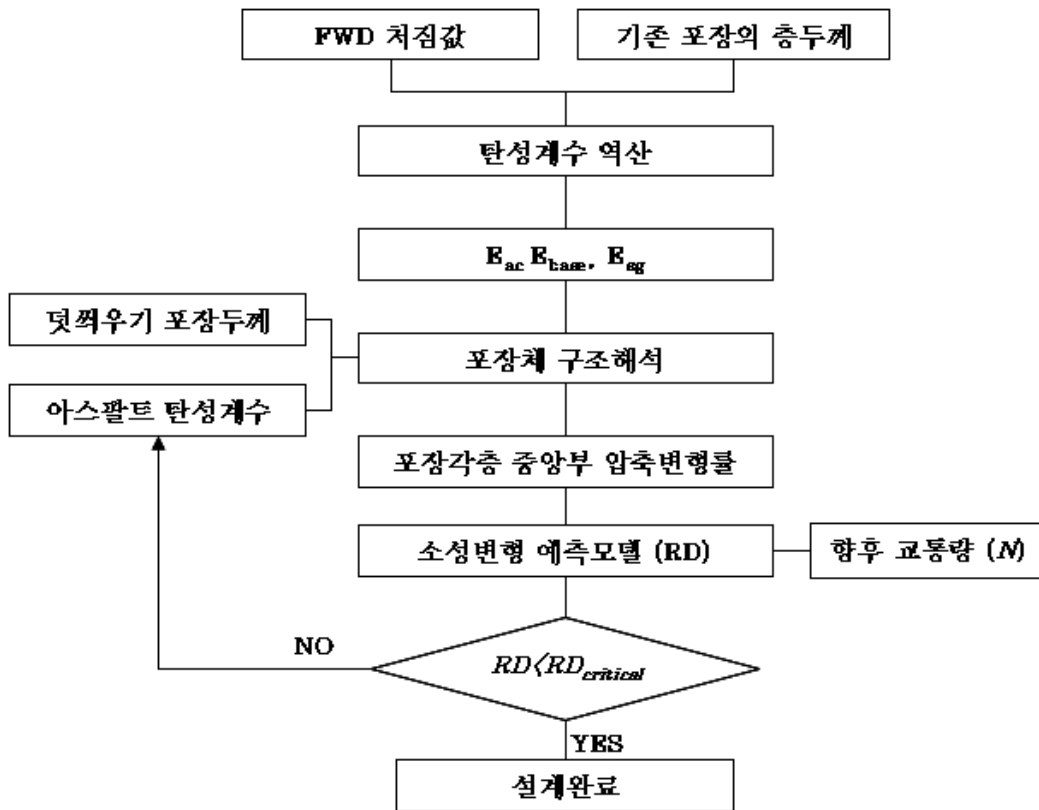
## (6) 6 단계 : 아스팔트 덧씌우기 설계 평가 및 수정

아스팔트 덧씌우기 포장의 공용성 평가는 정해진 설계기간동안 예측 파손량과 사용자가 제시한 설계 공용성 기준과의 비교를 통해 이루어진다. 예를 들어, 설계기간동안 예측된 파손량이 주어진 기준을 초과할 경우, 설계자는 반드시 덧씌우기 포장층 두께 및 재료를 수정하여 정해진 기준을 만족하여야 한다.

〈그림 12.7〉은 아스팔트 콘크리트 덧씌우기 포장의 피로균열 예측 흐름도를 나타내고 있다. 총파손비가 1보다 클 경우에는 공용기간중에 피로균열로 도로가 파괴될 확률이 높다. 따라서 덧씌우기 포장두께를 증가시키거나 또는 다른 아스팔트 재료를 이용하여 흐름도의 절차에 따라 피로수명을 계산하여 총파손비가 1보다 작게 하여야 한다.

〈그림 12.8〉은 아스팔트 콘크리트 덧씌우기 포장의 영구변형 예측 흐름도를 나타내고 있다. 총 영구변형량이 소성변형 기준보다 클 경우에는 공용기간중에 영구변형으로 도로가 파괴될 확률이 높다. 따라서 피로균열과 동일하게 흐름도의 절차에 따라 영구변형을 계산하여 기준치보다 작게 하여야 한다. 아스팔트 콘크리트 덧씌우기 포장 설계를 완료하기 위하여는 피로균열과 영구변형에 대한 기준을 동시에 만족시켜야 한다.

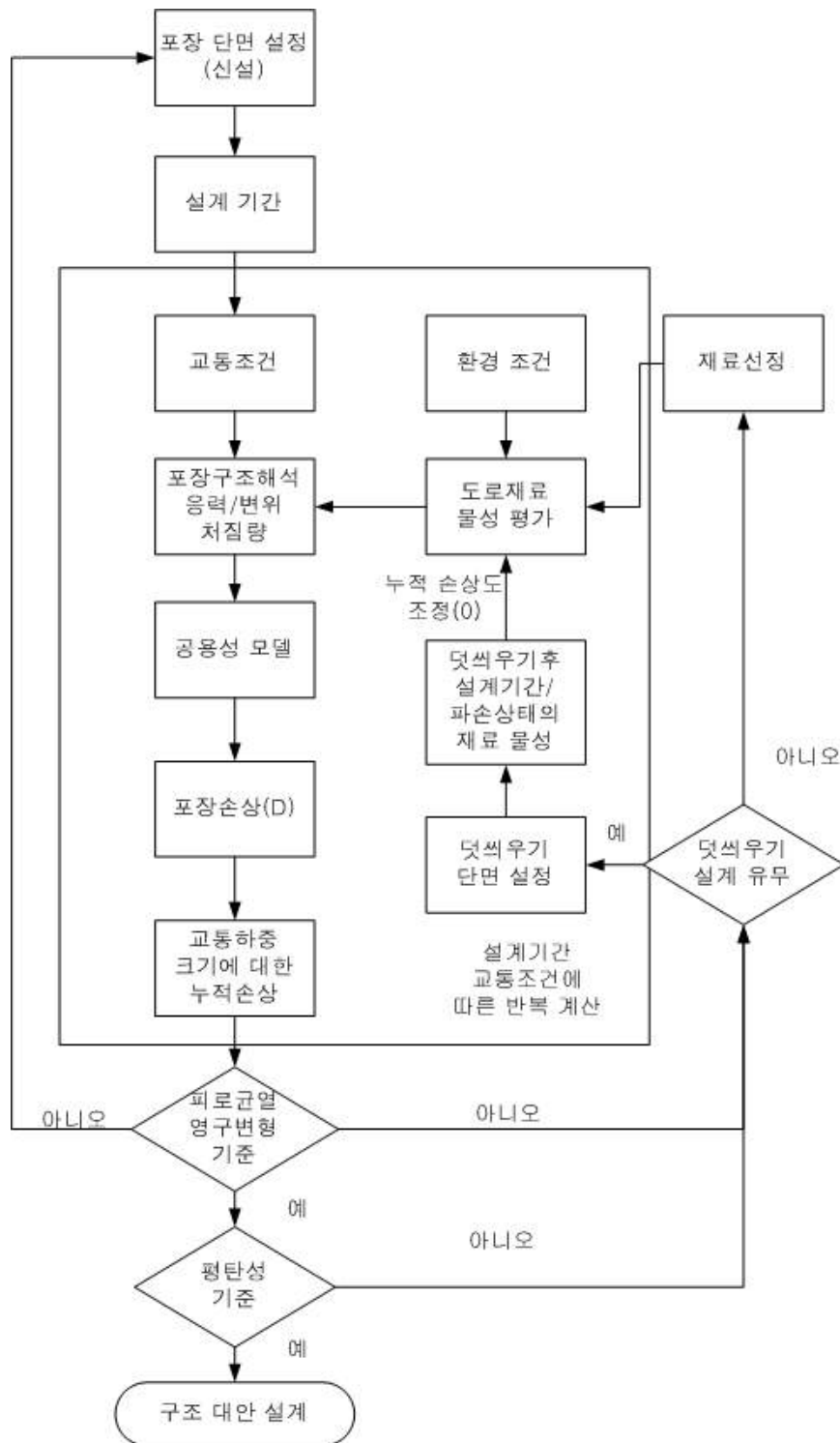
본 절차를 통해 기준을 만족시킨 후보단면들은 지침서 11장에 제시한 경제성 분석을 수행하여 생애주기 비용을 산정한다.



〈그림 12.8〉 아스팔트 콘크리트 덧씌우기 포장 설계에서 영구변형 예측 흐름도

### (7) 7 단계 : 최종 아스팔트 덧씌우기 설계 선정

공용성 평가 결과와 경제성 분석 결과를 근거로 하여 최종 아스팔트 덧씌우기 설계를 선정하게 된다.

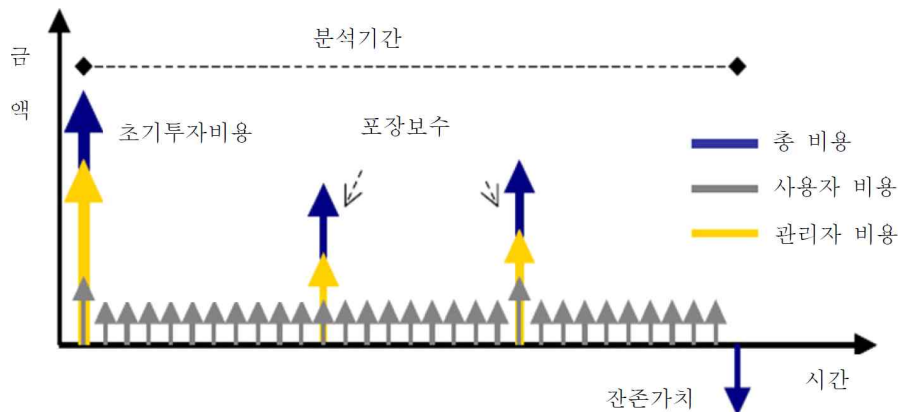


〈그림 12.9〉 덧씌우기 설계 포함된 신설 포장 설계 흐름도

## 부록 13. 경제성 분석

다양한 포장 대안들 중에서 하나를 선정하는 의사 결정에서 경제성 분석은 중요한 자리를 차지한다. 과거에는 초기투자비용만을 고려하여 시공하는 경향이 있었다. 그러나 포장은 초기단계의 비용보다는 주위 환경이나 교통량에 따라 유지비용이 2~5배에 이르는 경우도 있다. 선진국을 비롯한 다수의 도로 관리 기관에서는 도로의 수명을 고려하여 초기비용과 유지보수비용을 합한 금액으로 경제적 타당성을 검증하는 절차가 수립되어 있다. 비록 초기 투자비가 크더라도 적은 유지관리 비용으로 인하여 더 경제적인 공법이 있다면 이를 시행해야 한다는 의미이다.

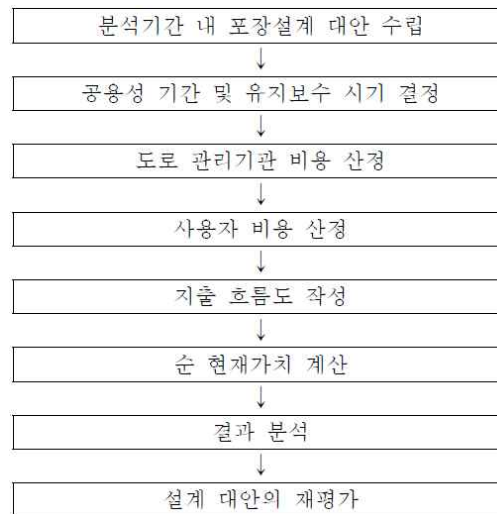
기본적으로 생애주기비용(LCC, Life Cycle Cost)는 제품의 생산, 사용, 폐기·처분 등의 각 단계에서 발생하는 모든 비용의 합산 금액을 말한다. 도로에서의 LCC 분석은 초기 건설비용과 유지보수, 재시공, 해체 및 폐기비용을 모두 포함한다는 것이다. <그림 13.1>에서 보듯이 생애주기비용 분석(LCCA, Life Cycle Cost Analysis)이란 생애주기 동안 공통항목을 제외한 모든 비용을 각 대안별로 비교·분석하여 가장 경제적인 대안을 선택하게 하는 것이다.



<그림 13.1> LCC(Life Cycle Cost)의 개념(Kaan Ozbay, 2003)

## 13.1 최적대안을 위한 논리

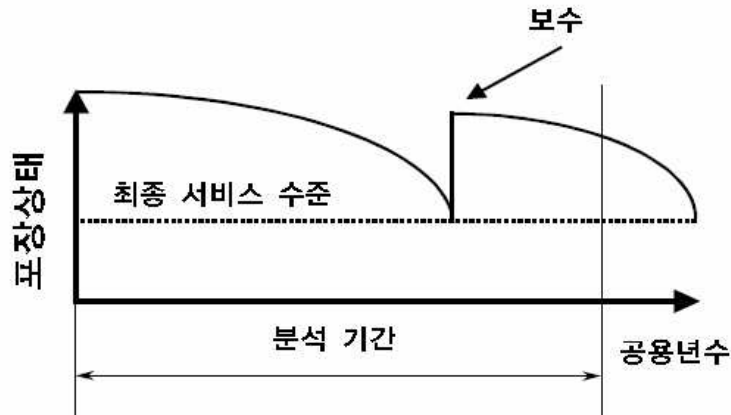
미국 연방도로관리청(FHWA)에서는 포장 수명 비용 분석에 있어 <그림 13.2>와 같이 8가지 단계로 나누어 적용할 것을 권장하고 있다.(James Walls III, 1998) 이들은 소위 시스템 접근론이라는 일반화된 접근 방법을 이용해서 각 단계를 설명하고 있다.



<그림 13.2> FHWA에서 제안하는 8단계 분석절차

### 13.1.1 분석기간 동안 포장 설계 대안의 수립

FHWA에서 권장하는 LCCA의 첫 단계는 고려하고 있는 포장 설계 대안들의 분석기간을 설정하는 것이다. LCCA 수행을 위한 분석기간은 일반적으로 설계 수명보다 길게 잡고 있는데 FHWA에서는 35년을 사용할 것을 권장하고 있다. <그림 13.3>은 분석기간 개념을 개략적으로 나타낸 것이다. 공용년수는 포장이 시공된 후에 지난 년수를 뜻한다. 공용년수가 지날수록 포장의 상태는 떨어지며 포장의 상태가 일정수준 이하가 되었을 때 보수를 한다. 분석기간은 최소 각 대안별로 보수 한 개 이상을 포함하는 년수로 정의한다.

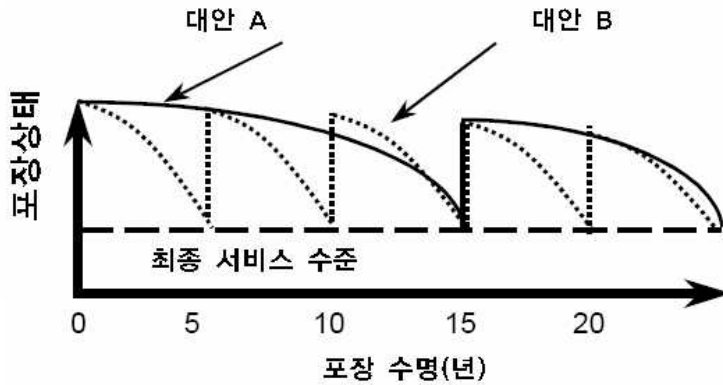


〈그림 13.3〉 분석기간의 개념(James Walls III, 1998)

포장 설계 전략이라는 것은 초기의 포장 설계와 그 이후 유지관리와 보수에 필요한 활동계획을 수립하는 것을 말한다. 즉 설계자가 대안을 선정하는 것이다. 포장 설계 전략에 있어서 각 설계 대안들에 대한 설계 수명, 분석기간 내에 수행할 유지 보수 방법 및 덧씌우기 활동에 대해 범위와 시기, 비용을 산정하는 것이 중요하다.

### 13.1.2 공용성 기간과 유지 보수 시기의 결정

초기 포장수명과 보수에 따른 공용성의 추정은 LCCA에 큰 영향을 미친다. 이는 도로 시설물에 대한 관리자의 보수 빈도에 영향을 미치고 다시 관리자 비용과 사용자 비용에 영향을 미친다. 따라서 LCCA을 위해서는 각 설계 대안에 따른 수명을 결정하고 그에 따르는 유지보수 활동 시기를 결정해야 한다. 이러한 결정은 기존의 포장에 대한 장기 관찰 자료를 토대로 작성하는 것이 가장 바람직한데 미국의 경우는 FHWA의 주도 하에 SHRP의 LTPP자료를 분석함으로써 해답을 찾고 있다. 〈그림 13.4〉는 공용성 기간과 유지 보수 시기의 결정 방법을 대안별로 도식화한 것이다.



〈그림 13.4〉 대안별 포장상태 비교의 도식화(James Walls III, 1998)

### 13.1.3 도로기관 비용의 산정

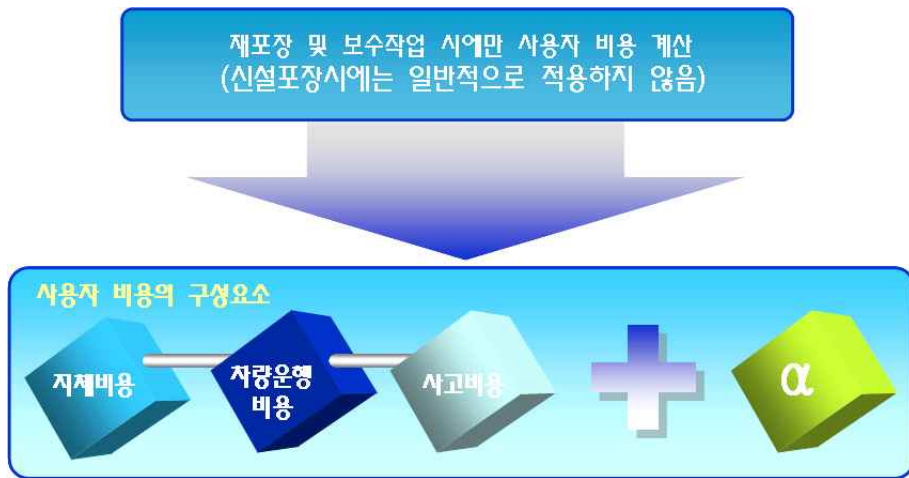
LCCA를 위한 세 번째 단계는 각 대안에 따르는 관리자 비용을 결정하는 것이다. 관리자 비용의 평가는 시공 물량에 대한 단가를 결정하는 것으로 시작된다. 시공 물량과 비용은 초기의 설계, 보수 계획과 직접적인 관계가 있다.

관리자 비용은 프로젝트의 수명기간 동안에 소요되는 모든 관리비용을 포함한다. 여기에는 초기의 설계비용, 계약비용, 시공비용, 시공감독 비용 등이 포함되며 유지 보수비용이 모두 포함된다. 또한, 도로 시설의 유지관리를 위한 정기적인 청소, 제설작업 등과 같은 일상적인 비용들도 포함된다. 프로젝트가 분석기간 종료시점에서 잔존 수명을 갖고 있는 경우 이에 대한 잔존가치가 마이너스 비용으로 포함된다. 잔존가치는 잉여가치와 잔존수명으로 평가할 수 있다.

잉여가치는 포장의 재활용에 대한 가치로 생각할 수 있으며 각 대안에 따라 큰 차이가 없는 것으로 평가된다. 잔존 수명은 분석기간의 종료시점에 각 포장 설계 대안이 갖는 수명을 말하는 것으로 각 대안들은 서로 다른 잔존수명을 가질 수 있다.

### 13.1.4 사용자 비용의 산정

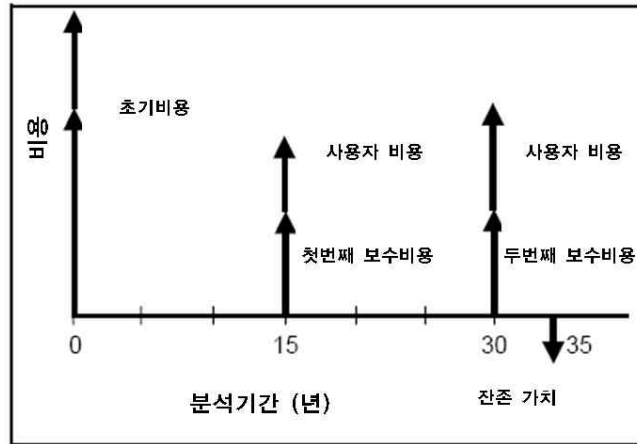
단순한 의미에서 사용자 비용은 프로젝트 수명기간 동안에 이를 사용하는 사람들에 의해 발생하게 되는 비용을 말하는 것으로 일반적으로는 차량 운행비용, 사용자 지체비용, 사고비용의 세 가지 주요항목으로 구성된다. <그림 13.5>는 사용자 비용의 구성을 나타낸 것이다.



<그림 13.5> 사용자 비용 구성요소

### 13.1.5 지출 흐름도의 작성

LCCA 분석을 위한 지출 흐름도를 작성하는데 이는 각 포장설계 전략에 있어서 소요되는 지출 크기와 시점을 알아보기 쉽게 표현하기 위해 작성된다. <그림 13.6>은 지출 흐름도의 예를 나타내고 있다.



〈그림 13.6〉 지출흐름도의 작성 예 (James Walls III, 1998)

### (1) 순현재 가치의 계산

현재가치법을 이용하여 〈식 13.1〉을 이용하여 순 현재 가치로 포장을 평가한다.

$$\text{순현재가치} = \text{초기투자비} + \sum_i (\text{유지보수비} + \text{사용지비용} \pm \text{잔존가치}) \left[ \frac{1}{(1+i)^t} \right]$$

〈식 13.1〉

여기서  $i$  : 할인율

$t$ : 분석기간 내 년수

### (2) 결과의 분석

민감도 분석(Sensitivity Analysis)을 실시한다. 민감도 분석은 LCCA의 결과에 중요한 영향을 미치는 입력 변수를 결정하는 분석기법이다. 일반적으로 할인율에 대해 민감도 분석을 실시한다.

### (3) 설계 대안의 재평가

각 대안별로 순 현재가치가 결정되고 민감도 분석이 수행되고 나면 LCCA의 마지막 단계는 비교 설계 대안들에 대해 재평가를 실시하는 것이다. LCCA의 분석 결과 자체만이 중요한 대안 선정의 자료가 되는 것이 아니라 과정을 수행 하면서 나오는 결과를 이용해 보다 효과적인 대안을 만들어 낼 수 있어야 한다.

## 13.2 포장의 경제성 분석을 위한 항목 결정 및 모형

### 13.2.1 생애주기 경제성 분석의 기본 구성

생애주기를 고려한 전체적인 비용구성은 <표 13.1>과 같이 구성되어 있다. 크게 초기투자비용, 유지관리비용, 해체처리비용 3가지로 나눈다.

<표 13.1> 생애주기를 고려한 비용 구성

| 항목              | 세부항목   |        |
|-----------------|--------|--------|
| 초기투자비용          | 기획설계비  |        |
|                 | 건설비    |        |
|                 | 감리비    |        |
| 유지관리비용          | 관리자비용  | 일반관리비용 |
|                 |        | 유지보수비용 |
|                 | 사용자비용  | 차량운행비용 |
|                 |        | 운행지연비용 |
|                 |        | 교통사고비용 |
| 해체-폐기비용<br>잔존가치 | 해체비용   |        |
|                 | 폐기처분비용 |        |
|                 | 재활용 비용 |        |
|                 | 잔존가치   |        |

## (1) 초기 투자비용(Initial Cost)

### 가. 기획·설계비(Planning·Design Cost)

도로 포장의 기획·설계에 필요한 비용이다. 포장에 대한 경제성 분석을 하는 경우, 각 포장의 단면이 다소 변경이 되더라도 기본노선이 동일하기 때문에, 기획 및 설계비는 동일하게 취급하기 때문에 제외한다.

### 나. 건설비(Construction Cost)

시공단계에서의 비용은 직접공사에 투입되는 순 공사비뿐만 아니라 시공업자의 선정, 입찰도서의 작성, 현장설명 등에 소요되는 비용을 포함한다. 직접 공사비용과 간접공사비용과 일반관리비용 및 이윤을 합하여 산정한다.

### 다. 감리비(Supervision Cost)

감리비는 공사시 감리하는 업체에 제공하는 금액을 말한다. 여기에는 공사 현장관리 및 자문비용 등 여러 가지 비용이 포함되어 있다.

## (2) 유지 관리비용(Operation & Maintenance Cost)

유지관리 단계에서의 비용은 LCC분석에서 가장 중요한 비용항목이며 여기에는 시설물에 대한 주기적인 점검과 보수에 소요되는 비용, 시설물 관리에 필요한 물적·인적 비용이 포함된다. 유지관리비용은 크게 관리자 비용과 사용자 비용으로 구분된다.

## 가. 관리자비용

관리자비용은 유지관리비용으로 사용 중인 도로의 기능을 보전하고 도로이용자의 편의와 안전을 높이기 위하여 도로를 일상적으로 점검·정비하는데 요구되는 일반관리비용과 손상된 부분을 원상복구 시키고 사용연수에 따라 요구되는 도로 보수작업에 대한 유지보수비용으로 구분된다. 보통 일반관리 비용은 대안 선택 시 같은 노선 길이로 산정하기 때문에 동일하기 때문에 분석시 고려하지 않고 유지보수 비용만 고려하게 된다.

## 나. 사용자비용

사용자비용은 도로 이용자가 도로의 보수작업으로 인하여 정상적으로 통행을 하지 못하게 되는 경우 주기적으로 지불하는 비용의 합으로, 차량운행비용, 운행지연비용, 교통사고비용 등이 포함된다.

### 1) 차량운행비용

차량운행비용은 크게 고정비용과 가변비용이 있는데, 고정비용은 차량의 운행여부와는 관계없이 차량을 소유하면서부터 발생하는 비용을 의미하는 것으로서 차량의 감가상각비, 보험금 등이 있다. 고정비용은 차량 운행과는 관계가 없으므로 정상적으로 통행이 어렵다 하더라도 증가하거나 감소하지 않는다. 반면에 가변비용은 차량의 운행으로 인하여 발생하는 비용으로 연료소모비, 엔진오일비 등이 있으며 이들 비용은 차량의 종류, 속도, 중량뿐만 아니라 교통량, 보수 시 공사기간에 따라 변화하는 비용이다.

## 2) 운행지연비용

운행지연비용이란 보수작업으로 인해 차량의 운행이 지연됨으로써 운전자의 시간에 대해 발생하는 비용으로 통행시간을 경제적 재화처럼 화폐가치로 나타낸 것이다. 즉, 시간을 비용으로 환산시키는 개념이다. 예를 들면 통행자의 임금수준, 이용경로나 교통수단의 선택 등을 기준으로 평가하는 여객 시간가치, 화물의 품목에 따른 시간가치를 평가하는 화물 시간가치 등이 있다. 이 비용에 영향을 미치는 요소는 교통속도, 교통량, 보수시의 공사기간, 운전자의 시간가치 등이 있다.

## 3) 교통사고비용

도로의 이용 중 발생하는 사고로 인하여 발생하는 비용을 교통사고 비용이라고 한다. 교통사고 비용은 차량의 손상으로 발생하는 비용, 도로 시설물의 파손비용, 인명피해로 인한 비용등 여러 가지가 있으나 이중 통계자료가 없고 정량화하기 어려운 비용을 제외한 인명피해로 인한 비용만을 계산한다. 포장에 대한 경제성 분석에는 포장 형식의 차이나 보수기간의 차이로 인한 비용을 고려할 수 있다. 그렇지만 통계 자료의 부족으로 보통 LCC분석시 생략한다.

## (3) 해체·폐기비용(Demolition & Disposal Cost) / 잔존가치

해체·폐기비용은 도로의 공용연수가 끝나는 시점에서 발생하는 비용으로 도로포장을 해체하는데 소요되는 해체비, 해체된 폐기물의 폐기 처분비, 잔존가치로 구분된다.

### 가. 해체비용

도로포장의 해체비용은 도로가 보수와 같은 유지관리 행위만으로는 더 이상 기능을 다하지 못하는 시점에서 도로를 해체하는데 소요되는 비용이다.

## 나. 폐기처분비용

폐기처분비용은 도로의 기능이 상실되어 해체한 후, 해체된 폐기물을 처분하는데 소요되는 비용을 합친 값이다.

## 다. 재활용가치

재활용가치는 포장재생에 관련된 순 가치이며, 도로포장 폐기물 가운데 재활용이 가능한지 여부에 따라 발생할 수 있는 부(-)비용이다.

## 라. 잔존가치

잔존가치는 기대수명에 비하여 아직 공용년수가 도달하지 않았을 때 가지는 가치를 말한다. 여기에서 해체 및 폐기를 할 경우 잔존가치는 0이 되며, 잔존가치로 계산할 경우에는 남은 공용년수를 고려하여 잔존가치를 추정한다.

### 13.2.2 현재가치 환산법

포장의 종류에 따라 시공시기, 공용연수가 다르므로 대안들을 비교하려면, 우선 기준이 되는 시점을 정하고, 이것을 기준으로 각 대안에 발생하는 현재 비용과 미래 비용을 환산해야 한다. LCCA에서는 물가 상승률과 이자율을 동시에 적용하여 하나의 실질 할인율로 나타내고 이 실질 할인율을 이용하여 미래에 발생하는 비용을 현재의 가치로, 또는 현재의 금액을 미래의 가치로 등가 환산한다. 이때 물가상승률과 이자율에 의한 실질 할인율을 산출하는 방법은 <식 13.2>와 같다.

$$i(\text{할인율}) = \frac{1 + \text{이자율}}{1 + \text{물가상승율}} - 1 \quad \langle \text{식 13.2} \rangle$$

초기 비용은 이미 현재가치로 표시되어 있으며, 매년 동일하게 반복되는 반복 비용이 있을 경우 반복비용을 A, 할인율 i, 분석기간 n인 경우 반복비용의 현재 가치 (P)는 <식 11.3>과 같다.

$$P = \frac{A}{(1+i)} + \frac{A}{(1+i)^2} + \frac{A}{(1+i)^3} + \dots + \frac{A}{(1+i)^n} = \frac{(1+i)^n - 1}{i \cdot (1+i)^n} \times A \quad \langle \text{식 13.3} \rangle$$

여기서,  $\frac{(1+i)^n - 1}{i \cdot (1+i)^n}$ : 년현재가치(PWA: Present Worth of Annuity) 계수

그리고 n년 후에 1회만 발생하는 비 반복 비용이 F, 할인율이 i면 비 반복 비용을 현재 가치 (P)로 환산하는 공식은 <식 13.4>와 같다.

$$P = \frac{1}{(1+i)^n} \times F \quad \langle \text{식 13.4} \rangle$$

여기서,  $\frac{1}{(1+i)^n}$ : 현재 가치 (PW: Present Worth)계수

따라서, 각 대안들에 대한 총 현재가치는 초기투자비, 현재가치 계수에 의해 환산된 유지보수비와 사용자비용들의 합으로 계산되며 기본 공식은 <식 13.5>와 같은 모형을 사용한다.

$$\text{순현재가치} = \text{초기투자비} + \sum_i (\text{유지보수비} + \text{사용지비용}) \left[ \frac{1}{(1+i)^t} \right] \quad \langle \text{식 13.5} \rangle$$

여기서 i : 할인율

t : 분석기간내 년수

### 13.2.3 국내 연구의 각 항목의 변수 결정방법

국내 현실에 맞는 경제성 분석을 위하여 국내 연구자 중 이론 정립에 관련된 연구서를 제외하고 실제적인 계산과정을 담은 보고서를 중심으로 살펴보았다. 특히 각 보고서에서 제시한 분석 항목의 결정방법을 비교하였다. 이들의 연구 결과를 바탕으로 설계에 사용될 기준들의 도출 방법을 살펴보았는데, 기존 연구 대부분은 할인율 계산시 한국은행 통계자료를 사용하였으며 교통사고비용은 포함하지 않았다. <표 13.2>는 국내 LCC분석 시 참고한 값을 나타내었다.

<표 13.2> 국내 LCC분석 시 사용 자료

| 연구자<br>(연구년도) | 분석<br>기간 | 할인율<br>(년)               | 초기비용                                          |                     | 유지관리비용               |                                        |                                                                 |            | 해체<br>폐기<br>비용 |
|---------------|----------|--------------------------|-----------------------------------------------|---------------------|----------------------|----------------------------------------|-----------------------------------------------------------------|------------|----------------|
|               |          |                          | 건설비                                           | 기획설계비<br>감리비        | 관리자비용                |                                        | 사용자비용                                                           |            |                |
|               |          |                          |                                               |                     | 일반관<br>리비용           | 유지보수<br>비용                             | 차량운행비용<br>운행지연비용                                                | 교통사고<br>비용 |                |
| 권석현<br>(2000) | 20       | 5년<br>(97,<br>98제외)      | 예정가격<br>준칙원칙                                  | 엔지니어링<br>사업대가<br>기준 | 생략                   | 건설교통<br>통계연보,<br>국도유지<br>보수조사<br>연구보고서 | 국도<br>개발연구원의<br>고속도로<br>사업효과조사<br>(1995)                        | 생략         | 예정가격<br>준칙원칙   |
| 안장원<br>(2001) | 20       | 7년                       | 업체<br>견적                                      | 엔지니어링<br>사업대가<br>기준 | 생략                   | 98년<br>국도유지<br>보수조사<br>연구보고서           | 국도<br>개발연구원의<br>고속도로<br>사업효과조사<br>(1995)                        | 생략         | 업체 견적          |
| 백석봉<br>(2002) | 35       | 8년                       | 실제<br>공사<br>비용<br>산정                          | 실제공사<br>비 용산정       | 도로<br>공사<br>자료<br>사용 | 도로공사<br>자료사용                           | 국도<br>개발연구원의<br>고속도로<br>사업효과조사<br>(1995)<br>도로교 공용수명<br>연장 방안연구 | 생략         | 건설폐기<br>물법     |
| 조운호<br>(2002) | 20       | 20년<br>통계를<br>바탕으로<br>판단 | 실제시<br>공시<br>가격,<br>국도<br>유지보수<br>조사연구<br>보고서 | 생략                  | 생략                   | 국도유지<br>보수조사연<br>구보고서                  | 국도<br>개발연구원의<br>고속도로<br>사업효과조사<br>(1995)                        | 생략         | 생략             |

## 13.2.4 경제성 분석 모형의 각 변수 결정 방법

### (1) 분석기간

분석기간은 적어도 한번 이상의 재포장이 적용되는 시점을 포함해야 한다. <표 13.3>은 미국에서 예측하는 포장의 수명을 나타내고 있다. <표 13.3>과 같이, 아스팔트 분석은 최소 20년, 콘크리트 분석은 최소 35년이 필요하다. 이런 이유로 FHWA에서는 분석기간으로 최소 35년 이상을 제안하였다. FHWA의 보고서가 반영된 AASHTO 2002 설계 가이드에서는 최소 40년 이상의 분석기간으로 제안하였다. 따라서 도로포장 구조 설계에서는 최소 분석기간을 35년으로 설정한다.

<표 13.3> 미국 각 주에서 예상하는 아스팔트와 콘크리트 수명

| 구분           | 아스팔트  | 콘크리트  | 비고                              |
|--------------|-------|-------|---------------------------------|
| 콜로라도DOT*     | 20    | 30    | 아스팔트 10년 주기 덧씌우기<br>콘크리트 20년 주기 |
| 위스콘신주**      | 12~14 | 20~25 | -                               |
| 미네소타주**      | 20    | 35    | 아스팔트12년 덧씌우기                    |
| 켄터키주**       | 12    | 20    | -                               |
| 뉴욕**         | 10~13 | 20~25 | -                               |
| FHWA(1985)** | 6~20  | 13~30 | -                               |
| 서버지니아주***    | 8     | 20    | -                               |

\* : Colorado Dot(2005)

\*\* : America Concrete Pavement Association(2002)

\*\*\* : West Virginia Department Of Transportation Division Of Highways Design Directive(2003)

## (2) 할인율

할인율의 산정 중 필요한 정보 중 하나인 저축성 수신 금리의 정보 중 가장 신뢰할만한 기관인 한국은행은 1996년 이후의 자료만 축적하고 있다. 때문에 1996년 이후의 자료를 바탕으로 실질 할인율을 산정하였다. <표 13.4>는 96년부터 2005년까지 소비자 물가 상승률과 은행 시중 수신 금리와 이를 토대로 계산한 실질할인율을 나타낸다. 소비자 물가 상승률과 저축성 수신 금리의 정보는 한국은행 경제 통계 시스템(<http://ecos.bok.or.kr/>)을 이용하였다. 실질할인율 평균은 3.475%로, 표준편차는 2.700%로 계산되었다. 민감도 분석을 제외할 경우 3.5%의 값을 사용하며, 민감도 분석을 포함할 경우 신뢰도 95% 분석시 0~7%, 97%분석시 0~9%를 분석한다.

<표 13.4> 소비자 물가상승율 및 은행 시중금리(1996~2005)(한국은행 경제 통계 시스템)

| 년도   | 소비자 물가상승율(%) | 은행시중금리(%) | 실질할인율(%) |
|------|--------------|-----------|----------|
| 1996 | 4.925        | 10.79     | 5.865    |
| 1997 | 4.439        | 11.32     | 6.881    |
| 1998 | 7.512        | 13.3      | 6.148    |
| 1999 | 0.813        | 6.9       | 6.087    |
| 2000 | 2.259        | 7.01      | 4.751    |
| 2001 | 4.1          | 5.43      | 1.33     |
| 2002 | 2.690        | 4.73      | 2.04     |
| 2003 | 3.555        | 4.15      | 0.595    |
| 2004 | 3.613        | 3.75      | 0.137    |
| 2005 | 2.703        | 3.62      | 0.917    |
| 평균   | 3.66         | 7.10      | 3.48     |

### (3) 생애주기 비용의 산출

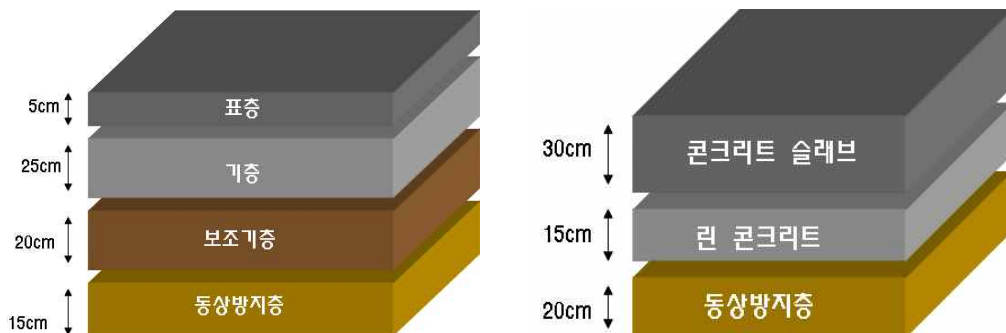
#### 가. 초기 투자비용

##### 1) 기획설계비 및 감리비

기획 설계비와 감리비는 일반적으로 매년 공고하는 “엔지니어링사업대가의 기준”을 참고한다. 다만, 포장의 형식을 선택하는 과정에서의 기획 설계비와 감리비는 동일하다고 판단되므로 이 항목을 제외한다.

##### 2) 건설비

건설비는 원가계산에 의한 예정가격작성준칙에 의거하여 공사원가계산에 따라 산출되는 금액이다. 직접공사비용간접공사비용일반관리비용 및 이윤을 합하여 산정한다. 이 금액은 건설 표준 품셈이나 실적공사비 단가를 이용하여 산정한다. 산정한 금액은 재료비, 노무비, 경비를 산출한 결과이므로 금액에 일반관리비, 안전관리비, 이윤 등의 제잡비를 산출하여 계산한다. 제잡비는 보통 순공사비의 50%에 해당하므로 견적된 금액의 1.5배로 계산한다. 그렇지만 같은 공종이 시행된 구간이 있을 경우 실제 공사 금액을 산정한 내용을 바탕으로 산정하는 것이 더 정확한 방법이다.



(a) 아스팔트 포장 단면  
(현풍~김천간 국도 45호선, 고속국도 기준)

(b) 콘크리트 포장 단면

〈그림 13.7〉 계산에 적용된 포장 단면

실제공사비용이 없을 경우 <그림 13.7>에 대한 도로 포장 비용을 산정하여 계산한다. 건설공사 실적 공사비 적용 공종 및 단가를 이용하여 가격을 책정하였다. 노상의 공정은 모든 포장에 동일하므로 제외하였고, 단순 포장형식만의 비교이므로 측구설치, 길어깨, 도로표지판등의 비용도 제외하였다. <표 13.5>는 도로 폭 3.5m, 프라임코팅을 실시하였을 경우 아스팔트 포장의 비용산정 내역을 나타내고 있다. 기층의 시공비는 규격 10cm, 15cm 각 한 번씩 가격을 합친 가격으로 산정하였다. 보조기층 산정 시에는 L=1.15, C=0.95으로 가정하였다.(L:흐트러진 상태의 토량의 변화율, C:다져진 상태의 토량의 변화율)

<표 13.5> 아스팔트 포장 1km/lane 비용(폭 3.5m)

| 구분                  |     | 가격<br>(천원) | 계산기준                      | 계산과정                                  | 비고              |
|---------------------|-----|------------|---------------------------|---------------------------------------|-----------------|
| 표층<br>(5cm)         | 시공비 | 2,128      | m <sup>2</sup> 당<br>608원  | 3.5m×1000m×608원                       | 건설공사<br>실적공사비단가 |
|                     | 재료비 | 18,858     | 톤당<br>44600원              | 3.5m×1000m×0.05m<br>×2.4ton×44900원    | 조달청<br>정부물자가격   |
| 기층<br>(25cm)        | 시공비 | 6,461      | m <sup>2</sup> 당<br>1846원 | 3.5m×1000m×1,846원                     | 건설공사<br>실적공사비단가 |
|                     | 재료비 | 81,900     | 톤당<br>39000원              | 3.5m×1000m×0.25m<br>×2.4ton×39000원    | 조달청<br>정부물자가격   |
| 보조기층<br>(20cm)      | 시공비 | 2,078      | m <sup>3</sup> 당<br>2,968 | 3.5m×1000m×0.20m<br>×2,968원           | 건설공사<br>실적공사비단가 |
|                     | 재료비 | 6,356      | m <sup>3</sup> 당<br>7,500 | 3.5m×1000m×0.20m<br>×1.15÷0.95×7,500원 | (사)한국물가<br>정보   |
| 동상<br>방지층<br>(15cm) | 시공비 | 1,559      | m <sup>3</sup> 당<br>3,383 | 3.5m×1000m×0.15m<br>×2,968원           | 건설공사<br>실적공사비단가 |
|                     | 재료비 | 4,767      | m <sup>3</sup> 당<br>7,500 | 3.5m×1000m×0.15m<br>×1.15÷0.95×7,500원 | (사)한국물가<br>정보   |
| 프라임코팅               |     | 1,526      | m <sup>2</sup> 당<br>436원  | 3.5m×1000m×436원                       | 건설공사<br>실적공사비단가 |
| 계                   |     | 119,340    |                           |                                       |                 |

〈표 13.6〉은 콘크리트 가격 산정 내역을 나타내고 있다. 콘크리트 포장 계산시 레미콘은 25mm-24MPa-12cm(최대골재, 강도, 슬럼프)의 가격으로 산정하였다.(경인지역)

〈표 13.6〉 콘크리트 포장 1km/lane 비용(폭 3.5m)

| 구분                    |     | 가격<br>(천원) | 계산기준                                 | 계산과정                                  | 비고                  |
|-----------------------|-----|------------|--------------------------------------|---------------------------------------|---------------------|
| 콘크리트<br>슬래브<br>(30cm) | 시공비 | 23,223     | m <sup>2</sup> 당<br>6,635원           | 3.5m×1000m×6635원                      | 건설공사<br>실적공사비<br>단가 |
|                       | 재료비 | 62,310     | m <sup>3</sup> 당<br>54,650원          | 3.5m×1000m×0.30m×<br>54,650원          | 조달청<br>정부물자가격       |
| 포장준비                  | -   | 141        | m당<br>241원                           | 167EA×3.5m×241원                       | 건설공사<br>실적공사비<br>단가 |
| 린<br>콘크리트<br>(15cm)   | 시공비 | 23,223     | m <sup>2</sup> 당<br>6,635원           | 3.5m×1000m×6635원                      | 건설공사<br>실적공사비<br>단가 |
|                       | 재료비 | 22,512     | m <sup>3</sup> 당<br>42,880원<br>(레미콘) | 3.5m×1000m×0.15m×<br>42,880원          | 조달청<br>정부물자가격       |
| 동상<br>방지층<br>(20cm)   | 시공비 | 2,078      | m <sup>3</sup> 당<br>2,968            | 3.5m×1000m×0.20m×<br>2,968원           | 건설공사<br>실적공사비<br>단가 |
|                       | 재료비 | 6,356      | m <sup>3</sup> 당<br>7,500            | 3.5m×1000m×0.20m×<br>1.15÷0.95×7,500원 | (사)한국물가<br>정보       |
| 계                     |     | 139,843    |                                      |                                       |                     |

## 나. 유지관리비용

### 1) 관리자 비용

#### a) 일반관리 비용

보통 포장에 관련된 대안을 선정할 경우는 노선길이가 같기 때문에 고려하지 않는다.

#### b) 유지보수 비용

유지보수 비용의 경우 건설교통부에서 발간하는 도로포장관리시스템의 부록D, 개략 공사비나 실제적인 가격을 산정할 수 있을 시에는 이를 이용하여 금액을 산정하도록 한다. 여기서 운반비의 경우 현장 상황에 맞게 조정한다. <표 13.7>은 2003 도로포장관리시스템에서 제시하는 개략 공사비이다.

<표 13.7> 단위 km당 유지보수 비용 집계표(단위 : 천원/6,700m<sup>2</sup>)

| 구분                                          | 자정적비용(전체공사비)   |               |               | VAT 제외  | 비고                  |
|---------------------------------------------|----------------|---------------|---------------|---------|---------------------|
|                                             | 유지보수<br>(덧씌우기) | 기타<br>(길어깨처리) | 계<br>(VAT 포함) |         |                     |
| 상시유지보수<br>(Routine Maint)                   | 2,415          |               | 2,415         | 2,174   | (km/year)           |
| 소파수선<br>(Patching)                          | 20,739         |               | 20,739        | 18,665  | (원/m <sup>2</sup> ) |
| 폴리머슬러리실<br>(Polymer Slurry seal)            | 29,846         |               | 29,846        | 26,861  |                     |
| 5AC                                         | 50,668         | 4,370         | 55,038        | 49,534  |                     |
| 5BB+5AC                                     | 96,063         | 5,079         | 101,142       | 91,028  |                     |
| 7BB+5AC                                     | 111,867        | 7,679         | 119,546       | 107,591 |                     |
| 10BB+5AC                                    | 138,575        | 9,527         | 148,102       | 133,292 |                     |
| 15BB+5AC                                    | 191,733        | 13,130        | 204,863       | 184,377 |                     |
| CRM5AC                                      | 85,369         | 4,370         | 89,739        | 80,765  | 특수 1                |
| SMA5AC                                      | 75,905         | 4,370         | 80,275        | 72,248  |                     |
| PMA5AC                                      | 64,338         | 4,370         | 68,708        | 61,837  | 특수 2                |
| PBSC5AC                                     | 75,905         | 4,370         | 80,275        | 72,248  |                     |
| 에코팰트(밀입도)5AC<br>(다마아스팔트 5AC)                | 70,647         | 4,370         | 75,017        | 67,515  |                     |
| 배수성 5AC                                     | 95,897         | 4,370         | 100,267       | 90,240  | 배수성                 |
| 현장재생5AC                                     | 90,386         |               | 90,386        | 81,347  | 재생공법                |
| 플랜트재생5AC                                    | 78,804         |               | 78,804        | 70,924  |                     |
| 절삭(5cm)                                     | 38,269         |               | 38,269        | 34,442  |                     |
| 절삭(5cm)+CRM5AC                              | 123,638        |               | 123,638       | 111,274 | 특수 1                |
| 절삭(5cm)+SMA5AC                              | 114,174        |               | 114,174       | 102,757 |                     |
| 절삭(5cm)+PMA5AC                              | 102,607        |               | 102,607       | 92,346  | 특수 2                |
| 절삭(5cm)+PBSC5AC                             | 114,174        |               | 114,174       | 102,757 |                     |
| 절삭(5cm)+에코팰트(밀입도)5AC<br>(절삭 5cm+다마아스팔트 5AC) | 108,916        |               | 108,916       | 98,024  |                     |
| 절삭(5cm)+CRM배수성5AC                           | 134,165        |               | 134,165       | 120,749 |                     |

(한국건설기술연구원, 2004)

## 2) 사용자 비용

### a) 차량운행비용의 산정(건설교통부, 2004)

차량운행 비용의 변수로는 연료 소모량, 엔진오일 소모량, 타이어 소모량 등이 있으며 이를 총 합계로 나타낸다.

#### - 유류비

유류비는 건설교통부(2004)에서 도로부분의 투자평가 지침에서 사용된 자료인 국토연구원의 도로사업 투자기법 정립을 사용하였다. 국토연구원에 의하면 고속 도로에서 실측한 연료비와 속도는 <식 13.6>과 같은 관계식을 갖는 것으로 분석한다.

$$\begin{aligned}
 \text{승용차} : L_c &= 0.02882 + 0.910/V + 0.000003828 \times V^2 \\
 \text{소형버스} : L_{sb} &= 0.03336 + 1.153/V + 0.000004312 \times V^2 \\
 \text{대형버스} : L_{lb} &= 0.02476 + 3.492/V + 0.00001277 \times V^2 \\
 \text{소(중)형트럭} : L_{st} &= 0.01695 + 1.292/V + 0.00001647 \times V^2 \\
 \text{대형트럭} : L_{lt} &= 0.06639 + 4.158/V + 0.00002525 \times V^2 \qquad \langle \text{식 13.6} \rangle
 \end{aligned}$$

여기서, V : 차량속도(km/h)

<표 13.8>는 국도에서의 유류비 분석 시 <식 13.6>에서 식을 바탕으로 가중해야 할 차량별 유류 소모량을 차종별로 가중해야 할 값을 나타낸다.

유류비의 계산은 유류비와 국토 연구원에서 조사한 차종별 속도별로 연비측정 실험에 의한 결과치(km/liter)와 곱하여 산정한다. <표 13.9>는 계산시 필요한 유류비 가격이다.

<표 13.8> 일반국도 대비 고속도로의 연료소비율 향상율 비교 (국토연구원, 1999)

| 구분           | 소형승용차 | 중형승용차 | 대형승용차 | 대형버스 | 소형트럭 | 대형트럭 |
|--------------|-------|-------|-------|------|------|------|
| 평균 연비 향상율(%) | 19.7  | 26.7  | 20.8  | 6.1  | 13.1 | 25.7 |

〈표 13.9〉 유류비 세전 공장도 가격(2006. 6월) (대한석유협회, 2006)

| 구 분         | 휘발유     | 경 유     | LPG    |
|-------------|---------|---------|--------|
| 유류실질가격(원/ℓ) | 1540.41 | 1247.53 | 630.99 |

- 엔진오일비, 타이어비, 유지정비비, 감가상각비

〈표 13.10〉~〈표 13.13〉은 한국개발연구원(2001)에서 인용한 자료를 사용하여 엔진오일비, 타이어비, 유지정비비, 감가상각비를 사용하는데 기초자료로 쓰이는 값이다.

〈표 13.10〉 속도·차종별 엔진오일 소모량(한국개발연구원, 2001) (단위 : L/1,000km)

| 속도(km/h) | 승용차 | 소형버스 | 대형버스 | 소형화물차 | 중형화물차 | 대형화물차 |
|----------|-----|------|------|-------|-------|-------|
| 10       | 1.8 | 2.1  | 4.8  | 2.1   | 3.1   | 9.4   |
| 20       | 1.5 | 1.9  | 4.1  | 1.9   | 2.9   | 8.4   |
| 30       | 1.3 | 1.7  | 3.5  | 1.7   | 2.5   | 7.2   |
| 40       | 1.1 | 1.5  | 3.2  | 1.5   | 2.2   | 6.4   |
| 50       | 1.1 | 1.5  | 2.9  | 1.5   | 2.0   | 5.9   |
| 60       | 1.1 | 1.4  | 2.7  | 1.4   | 1.8   | 5.3   |
| 70       | 1.1 | 1.3  | 2.5  | 1.3   | 1.7   | 4.7   |
| 80       | 1.0 | 1.2  | 2.3  | 1.2   | 1.5   | 3.9   |
| 90       | 0.9 | 1.1  | 2.6  | 1.1   | 1.7   | 4.2   |
| 100      | 1.1 | 1.1  | 3.1  | 1.1   | 1.9   | 4.7   |
| 110      | 1.4 | 1.2  | 3.8  | 1.2   | 2.3   | 5.3   |
| 120      | 2.1 | 1.4  | 4.8  | 1.4   | -     | -     |

〈표 13.11〉 속도·차종별 타이어 마모율(한국개발연구원, 2001)(단위 : %/1,000km)

| 속도(km/h) | 승용차  | 소형버스 | 대형버스 | 소형화물차 | 중형화물차 | 대형화물차 |
|----------|------|------|------|-------|-------|-------|
| 10       | 0.7  | 0.6  | 1.6  | 0.6   | 1.2   | 1.9   |
| 20       | 1.3  | 1.1  | 2.6  | 1.1   | 1.9   | 3.3   |
| 30       | 2.0  | 1.8  | 3.8  | 1.8   | 2.7   | 5.0   |
| 40       | 2.9  | 2.5  | 5.3  | 2.5   | 3.7   | 7.1   |
| 50       | 3.7  | 3.2  | 7.1  | 3.1   | 4.9   | 9.3   |
| 60       | 4.7  | 4.0  | 9.2  | 4.0   | 6.1   | 12.3  |
| 70       | 5.8  | 5.0  | 11.6 | 5.0   | 7.4   | 15.4  |
| 80       | 7.0  | 6.1  | 14.8 | 6.1   | 9.2   | 19.6  |
| 90       | 8.5  | 7.4  | 18.5 | 7.4   | 11.0  | 24.7  |
| 100      | 10.1 | 8.8  | 22.9 | 8.8   | 13.2  | 20.3  |
| 110      | 12.3 | 10.7 | 27.8 | 10.7  | 15.6  | 37.2  |
| 120      | 14.6 | 13.0 | 33.1 | 13.0  | -     | -     |

〈표 13.12〉 속도·차종별 유지정비비 비율(한국개발연구원, 2001) (단위 : %/1,000km)

| 속도(km/h) | 승용차   | 소형버스  | 대형버스  | 소형화물차 | 중형화물차 | 대형화물차 |
|----------|-------|-------|-------|-------|-------|-------|
| 10       | 0.055 | 0.078 | 0.068 | 0.078 | 0.183 | 0.038 |
| 20       | 0.065 | 0.088 | 0.078 | 0.088 | 0.195 | 0.048 |
| 30       | 0.077 | 0.097 | 0.087 | 0.097 | 0.207 | 0.057 |
| 40       | 0.080 | 0.100 | 0.090 | 0.100 | 0.220 | 0.060 |
| 50       | 0.090 | 0.110 | 0.103 | 0.110 | 0.243 | 0.063 |
| 60       | 0.095 | 0.115 | 0.115 | 0.115 | 0.260 | 0.070 |
| 70       | 0.100 | 0.120 | 0.120 | 0.120 | 0.292 | 0.070 |
| 80       | 0.110 | 0.130 | 0.140 | 0.130 | 0.320 | 0.080 |
| 90       | 0.113 | 0.143 | 0.153 | 0.143 | 0.355 | 0.093 |
| 100      | 0.120 | 0.154 | 0.163 | 0.154 | 0.380 | 0.103 |
| 110      | 0.113 | 0.167 | 0.173 | 0.163 | 0.420 | 0.113 |
| 120      | 0.145 | 0.180 | 0.184 | 0.180 | 0.470 | 0.123 |

〈표 13.13〉 속도·차종별 감가상각비 비율 (한국개발연구원, 2001) (단위 : %/1,000km)

| 속도(km/h) | 승용차   | 소형버스  | 대형버스  | 소형화물차 | 중형화물차 | 대형화물차 |
|----------|-------|-------|-------|-------|-------|-------|
| 10       | 0.880 | 1.150 | 0.310 | 1.150 | 0.780 | 0.280 |
| 20       | 0.750 | 0.950 | 0.270 | 0.950 | 0.660 | 0.230 |
| 30       | 0.640 | 0.780 | 0.220 | 0.780 | 0.580 | 0.190 |
| 40       | 0.540 | 0.650 | 0.180 | 0.650 | 0.490 | 0.160 |
| 50       | 0.460 | 0.560 | 0.153 | 0.560 | 0.430 | 0.133 |
| 60       | 0.415 | 0.495 | 0.135 | 0.495 | 0.385 | 0.115 |
| 70       | 0.380 | 0.445 | 0.123 | 0.445 | 0.350 | 0.103 |
| 80       | 0.340 | 0.400 | 0.110 | 0.400 | 0.320 | 0.090 |
| 90       | 0.315 | 0.367 | 0.097 | 0.367 | 0.293 | 0.088 |
| 100      | 0.293 | 0.340 | 0.087 | 0.340 | 0.273 | 0.079 |
| 110      | 0.268 | 0.310 | 0.079 | 0.310 | 0.256 | 0.072 |
| 120      | 0.237 | 0.285 | 0.071 | 0.285 | -     | -     |

- 총운행비용

유류비는 현재의 값으로 산정(2006. 6)하며 엔진오일비, 타이어비, 유지관리비, 감가상각비는 건설교통부의 공공기관 투자지침에서 근거자료로 활용하는 자료가 1999년 자료이므로, 2000년부터 2005년까지의 물가 상승비율을 고려하여 20.46%만큼 더해 준다.

승용차는 휘발유 가격을 적용하고, 그 외 차량은 경유가격을 적용하여 계산한다. 계산한 결과는 다음 〈표 13.14〉와 같다.

〈표 13.14〉 승용차의 속도별 운행비용 산정 (단위 : 원/km)

| 구분  | 속도  | 유류비     |       | 엔진오일비 |       | 타이어비   |        | 유지관리비  |         | 감각상각비   |         | 2006년<br>합계 |
|-----|-----|---------|-------|-------|-------|--------|--------|--------|---------|---------|---------|-------------|
|     |     | 2006년   | 1999년 | 2006년 | 1999년 | 2006년  | 1999년  | 2006년  | 1999년   | 2006년   |         |             |
| 승용차 | 10  | 185.162 | 6.260 | 7.541 | 0.430 | 0.518  | 7.230  | 8.709  | 150.350 | 181.114 | 383.044 |             |
|     | 20  | 116.842 | 5.210 | 6.276 | 0.790 | 0.952  | 8.540  | 10.287 | 128.140 | 154.360 | 288.717 |             |
|     | 30  | 96.427  | 4.520 | 5.445 | 1.220 | 1.470  | 10.120 | 12.191 | 109.350 | 131.725 | 247.258 |             |
|     | 40  | 88.874  | 3.820 | 4.602 | 1.770 | 2.132  | 10.510 | 12.661 | 92.260  | 111.138 | 219.406 |             |
|     | 50  | 87.172  | 3.820 | 4.602 | 2.260 | 2.722  | 11.830 | 14.251 | 78.590  | 94.671  | 203.417 |             |
|     | 60  | 88.986  | 3.820 | 4.602 | 2.870 | 3.457  | 12.490 | 15.046 | 70.900  | 85.407  | 197.497 |             |
|     | 70  | 93.314  | 3.820 | 4.602 | 3.540 | 4.264  | 13.140 | 15.829 | 64.920  | 78.204  | 196.212 |             |
|     | 80  | 99.656  | 3.480 | 4.192 | 4.270 | 5.144  | 14.460 | 17.419 | 58.090  | 69.976  | 196.386 |             |
|     | 90  | 107.733 | 3.130 | 3.770 | 5.190 | 6.252  | 14.850 | 17.889 | 53.820  | 64.832  | 200.477 |             |
|     | 100 | 117.379 | 3.820 | 4.602 | 6.170 | 7.432  | 15.770 | 18.997 | 50.060  | 60.303  | 208.713 |             |
|     | 110 | 128.488 | 4.870 | 5.866 | 7.510 | 9.047  | 17.480 | 21.057 | 45.790  | 55.159  | 219.617 |             |
|     | 120 | 140.988 | 7.300 | 8.794 | 8.920 | 10.745 | 19.060 | 22.960 | 40.490  | 48.775  | 232.262 |             |

〈표 13.15〉 소형버스의 속도별 운행비용 산정 (단위 : 원/km)

| 구분   | 속도  | 유류비     |       | 엔진오일비 |       | 타이어비  |        | 유지관리비  |         | 감각상각비   |         | 2006년<br>합계 |
|------|-----|---------|-------|-------|-------|-------|--------|--------|---------|---------|---------|-------------|
|      |     | 2006년   | 1999년 | 2006년 | 1999년 | 2006년 | 1999년  | 2006년  | 1999년   | 2006년   |         |             |
| 소형버스 | 10  | 185.996 | 6.360 | 7.661 | 0.330 | 0.398 | 7.260  | 8.746  | 171.080 | 206.086 | 408.886 |             |
|      | 20  | 115.689 | 5.760 | 6.939 | 0.610 | 0.735 | 8.200  | 9.878  | 141.330 | 170.249 | 303.489 |             |
|      | 30  | 94.406  | 5.150 | 6.204 | 0.990 | 1.193 | 9.030  | 10.878 | 116.040 | 139.784 | 252.464 |             |
|      | 40  | 86.185  | 4.540 | 5.469 | 1.380 | 1.662 | 9.310  | 11.215 | 96.700  | 116.486 | 221.017 |             |
|      | 50  | 83.834  | 4.540 | 5.469 | 1.770 | 2.132 | 10.240 | 12.335 | 83.310  | 100.357 | 204.127 |             |
|      | 60  | 84.957  | 4.240 | 5.108 | 2.210 | 2.662 | 10.710 | 12.901 | 73.640  | 88.708  | 194.336 |             |
|      | 70  | 88.525  | 3.940 | 4.746 | 2.760 | 3.325 | 11.180 | 13.468 | 66.200  | 79.746  | 189.809 |             |
|      | 80  | 94.025  | 3.640 | 4.385 | 3.370 | 4.060 | 12.110 | 14.588 | 59.510  | 71.687  | 188.744 |             |
|      | 90  | 101.173 | 3.330 | 4.011 | 4.090 | 4.927 | 13.320 | 16.045 | 54.600  | 65.772  | 191.928 |             |
|      | 100 | 109.795 | 3.330 | 4.011 | 4.860 | 5.854 | 14.340 | 17.274 | 50.580  | 60.930  | 197.865 |             |
|      | 110 | 119.784 | 3.640 | 4.385 | 5.910 | 7.119 | 15.550 | 18.732 | 46.120  | 55.557  | 205.577 |             |
|      | 120 | 131.067 | 4.240 | 5.108 | 7.180 | 8.649 | 16.760 | 20.189 | 42.400  | 51.076  | 216.089 |             |

〈표 13.16〉 대형버스의 속도별 운행비용 산정 (단위 : 원/km)

| 구분   | 속도  | 유류비     |        | 엔진오일비  |        | 타이어비   |        | 유지관리비  |         | 감각상각비   |          | 2006년<br>합계 |
|------|-----|---------|--------|--------|--------|--------|--------|--------|---------|---------|----------|-------------|
|      |     | 2006년   | 1999년  | 2006년  | 1999년  | 2006년  | 1999년  | 2006년  | 1999년   | 2006년   |          |             |
| 대형버스 | 10  | 468.119 | 12.450 | 14.997 | 0.880  | 1.060  | 11.280 | 13.588 | 521.710 | 628.461 | 1126.226 |             |
|      | 20  | 255.080 | 10.630 | 12.805 | 1.420  | 1.711  | 12.940 | 15.588 | 454.400 | 547.378 | 832.561  |             |
|      | 30  | 190.439 | 9.080  | 10.938 | 2.080  | 2.506  | 14.430 | 17.383 | 370.250 | 446.009 | 667.275  |             |
|      | 40  | 165.288 | 8.300  | 9.998  | 2.900  | 3.493  | 14.930 | 17.985 | 302.930 | 364.915 | 561.679  |             |
|      | 50  | 157.844 | 7.520  | 9.059  | 3.880  | 4.674  | 17.080 | 20.575 | 257.490 | 310.177 | 502.328  |             |
|      | 60  | 160.847 | 7.000  | 8.432  | 5.030  | 6.059  | 19.070 | 22.972 | 227.200 | 273.689 | 471.999  |             |
|      | 70  | 171.184 | 6.480  | 7.806  | 6.350  | 7.649  | 19.900 | 23.972 | 207.000 | 249.356 | 459.967  |             |
|      | 80  | 187.302 | 5.960  | 7.180  | 8.100  | 9.757  | 23.220 | 27.971 | 185.120 | 222.999 | 455.208  |             |
|      | 90  | 208.334 | 6.740  | 8.119  | 10.120 | 12.191 | 25.370 | 30.561 | 163.250 | 196.654 | 455.858  |             |
|      | 100 | 233.762 | 8.040  | 9.685  | 12.530 | 15.094 | 27.030 | 32.561 | 146.420 | 176.380 | 467.482  |             |
|      | 110 | 263.257 | 9.850  | 11.865 | 15.210 | 18.322 | 28.690 | 34.560 | 132.950 | 160.154 | 488.159  |             |

〈표 13.17〉 소형트럭의 속도별 운행비용 산정 (단위 : 원/km)

| 구분   | 속도  | 유류비     |       | 엔진오일비 |       | 타이어비  |        | 유지관리비  |         | 감각상각비   |         | 2006년<br>합계 |
|------|-----|---------|-------|-------|-------|-------|--------|--------|---------|---------|---------|-------------|
|      |     | 2006년   | 1999년 | 2006년 | 1999년 | 2006년 | 1999년  | 2006년  | 1999년   | 2006년   |         |             |
| 소형트럭 | 10  | 184.381 | 6.730 | 8.107 | 0.500 | 0.602 | 10.230 | 12.323 | 119.140 | 143.518 | 348.932 |             |
|      | 20  | 109.955 | 6.090 | 7.336 | 0.920 | 1.108 | 11.540 | 13.901 | 98.420  | 118.558 | 250.859 |             |
|      | 30  | 93.365  | 5.450 | 6.565 | 1.500 | 1.807 | 12.720 | 15.323 | 80.810  | 97.345  | 214.405 |             |
|      | 40  | 94.316  | 4.810 | 5.794 | 2.080 | 2.506 | 13.110 | 15.793 | 67.340  | 81.119  | 199.527 |             |
|      | 50  | 104.749 | 4.810 | 5.794 | 2.670 | 3.216 | 14.410 | 17.359 | 58.010  | 69.880  | 200.998 |             |
|      | 60  | 121.978 | 4.490 | 5.409 | 3.340 | 4.023 | 15.080 | 18.166 | 51.280  | 61.773  | 211.348 |             |
|      | 70  | 144.851 | 4.170 | 5.023 | 4.170 | 5.023 | 15.730 | 18.949 | 46.100  | 55.533  | 229.379 |             |
|      | 80  | 172.793 | 3.850 | 4.638 | 5.090 | 6.132 | 17.050 | 20.539 | 41.440  | 49.919  | 254.020 |             |
|      | 90  | 205.484 | 3.530 | 4.252 | 6.170 | 7.432 | 18.750 | 22.587 | 38.020  | 45.800  | 285.555 |             |
|      | 100 | 242.732 | 3.530 | 4.252 | 7.340 | 8.842 | 20.190 | 24.321 | 35.220  | 42.427  | 322.574 |             |

〈표 13.18〉 중형트럭의 속도별 운행비용 산정 (단위 : 원/km)

| 구분   | 속도  | 유류비     |       | 엔진오일비  |        | 타이어비   |        | 유지관리비  |         | 감각상각비   |         | 2006년<br>합계 |
|------|-----|---------|-------|--------|--------|--------|--------|--------|---------|---------|---------|-------------|
|      |     | 2006년   | 1999년 | 2006년  | 1999년  | 2006년  | 1999년  | 2006년  | 1999년   | 2006년   |         |             |
| 중형트럭 | 10  | 184.381 | 9.240 | 11.131 | 1.890  | 2.277  | 22.130 | 26.658 | 173.780 | 209.338 | 433.785 |             |
|      | 20  | 109.955 | 8.350 | 10.059 | 2.990  | 3.602  | 23.580 | 28.405 | 147.040 | 177.127 | 329.147 |             |
|      | 30  | 93.365  | 7.450 | 8.974  | 4.250  | 5.120  | 25.030 | 30.152 | 129.220 | 155.661 | 293.271 |             |
|      | 40  | 94.316  | 6.560 | 7.902  | 5.820  | 7.011  | 26.610 | 32.055 | 109.170 | 131.508 | 272.792 |             |
|      | 50  | 104.749 | 5.960 | 7.180  | 7.710  | 9.288  | 29.390 | 35.404 | 95.800  | 115.402 | 272.022 |             |
|      | 60  | 121.978 | 5.370 | 6.469  | 9.590  | 11.552 | 31.440 | 37.873 | 85.770  | 103.320 | 281.192 |             |
|      | 70  | 144.851 | 5.070 | 6.107  | 11.640 | 14.022 | 35.310 | 42.535 | 77.980  | 93.936  | 301.451 |             |
|      | 80  | 172.793 | 4.470 | 5.385  | 14.470 | 17.431 | 38.700 | 46.619 | 71.290  | 85.877  | 328.104 |             |
|      | 90  | 205.484 | 5.070 | 6.107  | 17.300 | 20.840 | 42.930 | 51.714 | 65.280  | 78.637  | 362.783 |             |
|      | 100 | 242.732 | 5.670 | 6.830  | 20.760 | 25.008 | 45.960 | 55.364 | 60.820  | 73.265  | 403.199 |             |

〈표 13.19〉 대형트럭의 속도별 운행비용 산정 (단위 : 원/km)

| 구분   | 속도  | 유류비     |        | 엔진오일비  |        | 타이어비   |        | 유지관리비  |         | 감각상각비   |          | 2006년<br>합계 |
|------|-----|---------|--------|--------|--------|--------|--------|--------|---------|---------|----------|-------------|
|      |     | 2006년   | 1999년  | 2006년  | 1999년  | 2006년  | 1999년  | 2006년  | 1999년   | 2006년   |          |             |
| 대형트럭 | 10  | 604.697 | 11.280 | 13.588 | 2.230  | 2.686  | 26.400 | 31.802 | 312.830 | 376.840 | 1029.613 |             |
|      | 20  | 354.785 | 10.080 | 12.143 | 3.880  | 4.674  | 33.350 | 40.174 | 256.960 | 309.538 | 721.314  |             |
|      | 30  | 284.081 | 8.640  | 10.408 | 5.870  | 7.071  | 39.600 | 47.703 | 212.270 | 255.704 | 604.967  |             |
|      | 40  | 262.904 | 7.680  | 9.251  | 8.340  | 10.047 | 41.690 | 50.220 | 178.760 | 215.337 | 547.760  |             |
|      | 50  | 265.318 | 7.080  | 8.529  | 10.930 | 13.166 | 43.770 | 52.726 | 148.590 | 178.994 | 518.734  |             |
|      | 60  | 282.678 | 6.360  | 7.661  | 14.450 | 17.407 | 48.640 | 58.593 | 128.480 | 154.769 | 521.108  |             |
|      | 70  | 311.277 | 5.640  | 6.794  | 18.090 | 21.792 | 48.640 | 58.593 | 115.080 | 138.627 | 537.083  |             |
|      | 80  | 349.265 | 4.680  | 5.638  | 23.030 | 27.742 | 55.580 | 66.953 | 100.550 | 121.124 | 570.722  |             |
|      | 90  | 395.610 | 5.040  | 6.071  | 29.020 | 34.958 | 64.620 | 77.842 | 98.320  | 118.438 | 632.920  |             |
|      | 100 | 449.697 | 5.640  | 6.794  | 35.600 | 42.884 | 71.560 | 86.202 | 88.260  | 106.319 | 691.897  |             |

〈표 13.14〉~〈표 13.19〉를 이용하여 3차항을 중심으로 회귀분석을 하여 속도와 km당 차량 운행 비용에 대한 공식을 〈식 13.7〉과 같은 형태를 얻을 수 있다.

$$\text{km당 차량 운행비용} = A \times V^3 + B \times V^2 + C \times V + D \quad \langle \text{식 13.7} \rangle$$

여기서 V : 차량속도

A, B, C, D : 계수

A, B, C, D의 각 차종별 계수는 〈표 13.20〉과 같다. A, B, C, D에 관하여 소숫점 아래 자리수 결정을 위해 승용차의 금액에 관련된 분석을 실시한 결과 소수 넷째자리까지 구한 값에서는 R2값이 0.762, 소수 다섯째자리까지 구한 값에서는 0.981, 여섯째자리까지 구한 값에서는 0.983로 나타났다. 이를 토대로 소수 여섯째자리까지 구한 파라미터를 제시하였다.

〈표 13.20〉의 값은 기존의 건설교통부 투자 평가지침에서 소개된 COBA10 (영국)에서 사용한 일반식을 변형하여 실제 적용속도에 따른 운행비를 산출한 결과 보다 더 높은 상관도를 보인다. 〈표 13.21〉은 계산에 이용한 3차식 회귀분석식과 〈식 13.8〉의 COBA10의 영국식 계산법을 사용했을 경우의 상관도를 비교하였다.

$$\text{영국식 차량운행비 일반식(COBA10)} : \text{VOC} = a + b1/v + cv^2 \quad \langle \text{식 13.8} \rangle$$

여기서, V : 속도

a, b, c : 상수

〈표 13.20〉 VOC 회귀식의 차종별 계수 값

| 구분   | A         | B        | C          | D           | R <sup>2</sup> |
|------|-----------|----------|------------|-------------|----------------|
| 승용차  | -0.000433 | 0.120624 | -10.206121 | 462.272736  | 0.982752       |
| 소형버스 | -0.000501 | 0.136939 | -11.635120 | 499.868129  | 0.985386       |
| 대형버스 | -0.001798 | 0.456718 | -37.218037 | 1434.256538 | 0.994624       |
| 소형트럭 | -0.000783 | 0.193426 | -12.843959 | 450.232027  | 0.981877       |
| 중형트럭 | -0.000772 | 0.197375 | -13.437566 | 540.411261  | 0.984280       |
| 대형트럭 | -0.002223 | 0.535324 | -37.791100 | 1327.667457 | 0.977740       |

〈표 13.21〉 3차식 회귀분석식과 영국식 분석식의 상관도 비교

| 구분   | 3차식 회귀분석식 사용 R <sup>2</sup> | COBA10 영국식 사용 R <sup>2</sup> |
|------|-----------------------------|------------------------------|
| 승용차  | 0.982                       | 0.954                        |
| 소형버스 | 0.985                       | 0.950                        |
| 대형버스 | 0.994                       | 0.957                        |
| 소형트럭 | 0.981                       | 0.923                        |
| 중형트럭 | 0.984                       | 0.920                        |
| 대형트럭 | 0.978                       | 0.940                        |

b) 운행 지연 비용(건설교통부, 2004)

전체적인 내용은 건설교통부에서 발간한 ‘공공교통시설 개발사업에 관한 투자평가지침’의 절차를 따른다. 공사로 인한 통행시간 지연은 그만큼의 비용을 낭비하게 된다. 통행시간의 가치는 통행 목적이 업무적이나 비업무적에 따라 그 시간 가치가 변하게 된다. 업무적일 경우 지연시간으로 인한 생산 활동의 감소를 계산해야 하며, 비업무적일 경우 여가활동에 관련된 시간의 감소를 가져오게 된다.

- 시간 가치의 산정

여기에서 모든 통행량 중 1/4정도를 업무통행으로 가정하였다. 업무통행에 관한 시간가치는 차량 탑승자 인건비를 기준으로 하여 임금율법으로 산정하였다. 급여 외에 복리후생비, 연금, 퇴직금충당금, 보험금 등의 오버헤드(overhead) 부분을 포함하고 월 평균 근로시간으로 나누어 산출하였다. 오버헤드 부분은 건

설교통부의 “공공교통시설 개발 사업에 관한 투자평가지침”에 나온 내용을 인용하였다.

한 구간을 선정하여 설계 해당 구간의 교통량이 주어지면, 1인당 시간가치에 평균재차인원을 곱하여 총 지연 시간 비용을 산정하게 된다. 산정 시 비업무와 업무목적통행을 고려하여 계산한다.

임금계산은 통계청 통계정보시스템(<http://kosis.nso.go.kr/>)을 사용하여 산정하는 것이 타당하다. 승용차 탑승자의 임금은 비농 전체산업 임금을 기준으로 2005년 기준으로 산정하였으며 버스 운전자의 임금은 시내버스, 마을버스, 시외버스, 고속버스, 전세버스에 대하여 임금 급여액에 종사자수를 나눈 값을 기준으로 계산하였다. 트럭운전자의 임금은 일반화물자동차 운송업, 택배화물 운송업에 대하여 임금 급여액에 종사자수를 나눈 값으로 계산하였다. 전세버스 및 용달 화물 자동차의 경우 종일 근무가 아닌 임시 근무의 개념이 강하기 때문에 포함하지 않았다.

월 평균 근무시간은 승용차 운전자의 경우 전체산업의 평균 주간 근무시간을 이용하여 달로 환산하여 계산하였으며, 버스 및 트럭운전자의 경우 운수, 창고 및 통신업 근무시간을 적용하여 이를 환산하였다. 임금에 대한 오버헤드 비율은 건교부 투자평가지침에서 인용하였다. <표 13.22>는 위의 절차를 따라서 산정한 승용차 운전자, 버스운전자, 트럭운전자의 시간당 임금을 나타낸 값이다.

<표 13.22> 임금율법에 의한 업무통행의 시간가치 산출결과(2005년, 2004년 기준)

| 구 분               | 승용차 운전자   | 버스 운전자    | 트럭 운전자    |
|-------------------|-----------|-----------|-----------|
| 1인당 월 평균 급여액(원/월) | 2,524,917 | 1,956,324 | 1,804,688 |
| 근로시간(시간/월)        | 198.58    | 205.53    | 205.53    |
| 시간당 임금(원/인·시간)    | 12,714    | 9,518     | 8,781     |
| 임금에 대한 오버헤드 비율(%) | 29.9      | 26.7      | 36.3      |
| 시간가치(원/인·시)       | 16,516    | 12,059    | 11,969    |

비업무 통행의 시간가치는 획일적으로 국내에서는 승용차의 경우 업무 시간가치의 1/3을 적용하고 있다. 이에 대한 연구가 많이 진행되지 않아 도로포장 구조 설계에서도 같은 값을 적용한다. 외국의 경우도 1/3정도가 합리적이라고 판단하고 있다. 승용차의 경우 비업무통행의 시간가치는 업무통행 시간가치의 33.3%를 적용한다. 버스의 경우 20.1%를 적용하였다. 승용차의 경우 업무통행 시의 재차인원은 18세 미만을 제외한 재차인원을 적용하고 버스의 경우 재차인원의 통행목적은 업무통행과 비업무통행의 비율을 16.4 : 83.6로 적용하였다. 버스 승객중 업무목적인 경우는 평균 임금에 의한 승용차 운전자의 시간가치를, 비업무 목적은 비업무 통행의 시간가치를 적용하여 산출한다. <표 13.23>은 이와 같은 방법으로 산출된 각 차량별 1대당 시간가치를 나타낸다. (한국개발연구원, 2001)

<표 13.23> 승용차와 버스의 통행 시간가치

| 구 분           | 승 용 차  |       | 버 스    |        |       |
|---------------|--------|-------|--------|--------|-------|
|               | 업 무    | 비업무   | 운전사    | 업무     | 비업무   |
| 재차인원(인)       | 0.39   | 1.61  | 1      | 2.6    | 18.40 |
| 통행목적비율        | 19.5%  | 80.5% | 16.4%  |        | 83.6% |
| 시간가치(원/인·시)   | 16,516 | 5,505 | 12,059 | 16,516 | 2,424 |
| 평균시간가치(원/대·시) | 6,441  | 8,863 | 99,599 |        |       |
| 평균시간가치(원/대)   | 15,304 |       | 99,599 |        |       |

주: 한국개발연구원(2001)의 자료를 이용하여 2004년 가치로 환산함

최창호(2002년)의 연구에서 인용한 De Jing, Gommer와 Klooster(1992)의 연구에서는 완성된 제품의 가격보다 1차 산업물품의 시간가치가 더 높게 나오게 되었다. 이는 이 제품이 생산과정 전반에 영향을 미치기 때문이라고 판단된다. 국내에 화물가치를 적용하기 위해서는 완제품보다는 원자재에 대한 화물가치를 산정할 필요가 있는데, 이에 대한 연구는 미비한 편이기 때문에 포함하지 않는다.

- 공사시간의 산정 및 지체비용 계산

공사로 인한 추가 시간은 <식 13.9>, 운영 지연비용은 <식 13.10>, VOC(Vehicle Operation Costs)은 <식 13.11>로 계산한다.

$$\text{공사로 인한 추가시간}(h) = \frac{\text{공사구간거리}(km)}{\text{공사시 지정속도}(km/h)} - \frac{\text{공사구간거리}(km)}{\text{평상시속도}(km/h)} \quad \langle \text{식 13.9} \rangle$$

$$\text{공사시 지연 비용} = \text{공사추가시간} \times \text{교통량} \times \sum (\text{차량별 시간가치} \times \text{차량별 비율}) \quad \langle \text{식 13.10} \rangle$$

$$\text{공사시 지연으로 인한 VOC 추가비용} = \text{차량 속도 변경으로 인한 추가 VOC} \times \text{교통량} \times \sum (\text{차량별 시간가치} \times \text{차량별 비율}) \quad \langle \text{식 13.11} \rangle$$

여기서 차량 속도 변경으로 인한 추가 VOC는 <식 13.7>과 <표 13.20>을 이용하여 산정한다. 예를 들어 고속도로에서 공사를 시행하여 100km/h의 속도가 공사구간에서 최대 속도가 80km/h로 변경되었다고 가정한다면 추가되는 비용은 <표 13.24>와 같다. 대부분의 차량에서 80km/h가 더 경제적으로 나타났다. 그렇지만 최종적인 계산 시에는 시간가치가 들어가기 때문에 100km/h일 때가 더 경제적임을 추측할 수 있다.

<표 13.24> 100km/h에서 80km/h로 속도를 조정할 경우 추가금액(원/대)

| 속도(km/h)               | 차량 종류에 따른 금액(원/km) |         |         |         |         |          |
|------------------------|--------------------|---------|---------|---------|---------|----------|
|                        | 승용차                | 소형버스    | 대형버스    | 소형트럭    | 중형트럭    | 대형트럭     |
| 80                     | 196.386            | 188.744 | 455.208 | 254.020 | 328.104 | 570.722  |
| 100                    | 208.713            | 197.865 | 467.482 | 322.574 | 403.199 | 691.897  |
| 100에서 80으로<br>변경시 추가금액 | -12.327            | -9.121  | -12.274 | -68.554 | -75.095 | -121.175 |

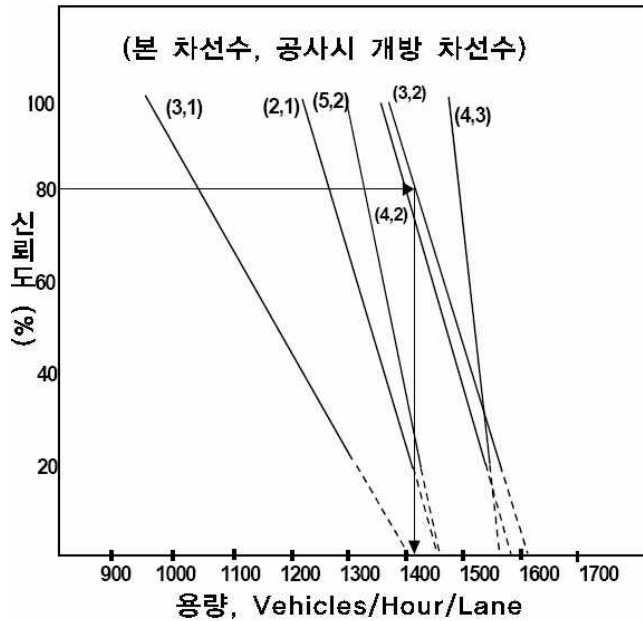
평상시의 도로용량은 건설교통부에서 발간하는 도로용량 편람을 기본적으로 따른다. <표 13.25>는 공사시의 차선 용량을 조사한 결과이다. 대부분의 연구결과가 비슷한 결과를 도출하였으며, 2차선중 1차선을 막고 공사를 할때 용량은 1,340정도로 나타났다. 이 값은 HCM(Highway Capacity Manual)과도 비슷한 경향을 가진다. (James Walls III, 1998)

<표 13.25> 공사시 평균 차선 용량 (James Walls III, 1998)

| 방향별 차선수 |        | 연구결과 건수 | 평균 용량         |                    |
|---------|--------|---------|---------------|--------------------|
| 정상시 운행  | 공사시 운행 |         | Vehicles/hour | Vehicles/lane/hour |
| 3       | 1      | 7       | 1,170         | 1,170              |
| 2       | 1      | 8       | 1,340         | 1,340              |
| 5       | 2      | 8       | 2,740         | 1,370              |
| 4       | 2      | 4       | 2,960         | 1,480              |
| 3       | 2      | 9       | 2,980         | 1,490              |
| 4       | 3      | 4       | 4,560         | 1,520              |

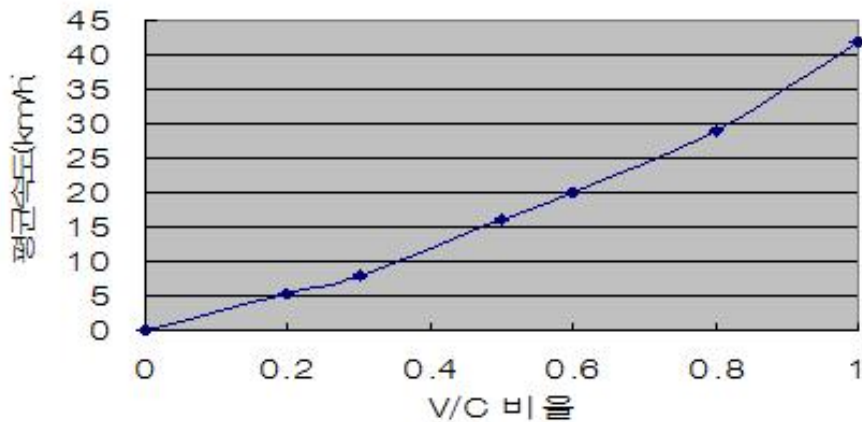
<그림 13.8>는 HCM(Highway Capacity Manual) 1994에서 정의한 도로의 용량의 정의 값이다. 신뢰도(%)를 Y축으로 도로 용량을 X축을 사용하여 값을 추론할 수 있다. 예를 들면 80%의 신뢰도를 가질 때 3차선 편도시 1차선 공사, 2차선 운행시의 용량은 1,415 Vehicles Per Lane으로 읽을 수 있다.

만약 시간별 교통량이 <그림 13.8>의 용량을 넘는 경우 정체가 생기게 되는 데 이에 따른 계산을 별도로 해주어야 한다.



〈그림 13.8〉 공사시 개방 차선수와 신뢰도에 따른 도로 용량(HCM, 1994)

정체가 생길 때의 속도는 HCM 1994에서 제안한 값을 사용한다. HCM에서는 LOS F일 때의 속도를 〈그림 13.9〉와 같이 정의하고 있다. 현재 공사로 인하여 줄어든 시간별 교통량을  $V$ 로 두고, 공사 전 평상시의 교통 용량을  $C$ (도로용량 편람으로 계산된 값)로 두고 그래프를 읽어 정체가 생길 경우의 평균 속도를 구한다.



〈그림 13.9〉 LOS F일 때의 속도(HCM, 1994)

공사로 인한 추가 비용과 마찬가지로 다음과 같은 과정을 거쳐서 정체가 생길 시의 값을 계산한다. <식 13.12>를 사용하여 정체거리를 구한다.

$$\text{정체거리} = \frac{\frac{\text{평균정체차량교통량}(VHP)}{\text{도로용량}(VHP)} - \frac{\text{교통량}(VHP)}{\text{정체속도}(km/h)}}{\frac{\text{정체속도}(km/h)}{\text{평상시속도}(km/h)}} \quad \langle \text{식 13.12} \rangle$$

<식 13.13>을 이용하여 정체로 인한 추가 시간을 산정 후 <식 13.14>를 이용하여 정체로 인한 추가비용을 구한다. 또한 <식 13.15>를 이용하여 추가되는 VOC비용을 구하여 이를 산정한다.

$$\text{정체로 인한 추가시간} = \frac{\text{정체구간}}{\text{정체로 인한 정체속도}} - \frac{\text{정체구간}}{\text{평상시 속도}} \quad \langle \text{식 13.13} \rangle$$

$$\text{정체로 인한 추가비용} = \text{정체로 인한 추가시간} \times \text{교통량} \times \sum (\text{차량별 시간가치} \times \text{차량별 비율}) \quad \langle \text{식 13.14} \rangle$$

$$\text{정체로 인한 지연으로 인한 VOC 추가비용} = \text{차량 속도 변경으로 인한 추가 VOC} \times \text{교통량} \times \sum (\text{차량별 시간가치} \times \text{차량별 비율}) \quad \langle \text{식 13.15} \rangle$$

결론적으로, 정체가 생기지 않을 경우는 <식 13.10>, <식 13.11>을 합하여 계산하며, 정체가 생길시 <식 13.10>, <식 13.12>, <식 13.14>, <식 13.15>를 합하여 산정한다.

### c) 교통사고비용·환경비용

- 교통사고비용의 정량화

교통사고 비용을 도로 포장의 경제성 분석의 결정에 적용하는 방법은 쉽지 않

다. 단순한 교통 통계자료만 나열된 형태이기 때문에 공사 중 사고가 얼마나 더 크게 발생하는지, 어떤 영향에 의해 교통사고가 줄어드는지에 관련된 국내 연구는 미비한 편이다.

외국의 경우 일반적으로 보통상태에 비하여 3배정도 공사시 차량 사고가 증가한다고 판단하지만, 이 또한 확실한 구체적인 자료는 없다. 미국의 FHWA의 보고서에 의하면 한차선을 막고 공사를 진행하였을 때는 사고가 약간 증가하고, 두차선 모두를 막고 진행할 경우 사고가 다소 줄어들었지만, 크게 상관은 없었다(FHWA, 1989). 또한 다른 조사에서는 <표 13.26>, <표 13.27>과 같이 값을 제시하였다. 조사결과 사고로 인한 사상자가 2배정도 줄어드는 것으로 조사되었다.

<표 13.26> 차선통제에 따른 사고수의 변화(FHWA/JHRP, 95)

| 차선통제방식  | 한방향 차선수 | 평균, 표준편차 | 1억대 · 1mile당 사고수 |         |        |
|---------|---------|----------|------------------|---------|--------|
|         |         |          | 평상시              | 차선통제시   | 변화량    |
| 한방향 통제  | 2       | 평균       | 6.0329           | 8.0431  | 2.0102 |
|         |         | 표준편차     | 1.6842           | 3.6017  | 3.2005 |
| 일부 차선통제 | 2       | 평균       | 5.5916           | 7.4528  | 1.8612 |
|         |         | 표준편차     | 1.4645           | 3.1398  | 3.3354 |
| 한방향 통제  | 3       | 평균       | 5.8278           | 9.3544  | 3.5266 |
|         |         | 표준편차     | 1.2350           | 5.9645  | 5.6871 |
| 일부 차선통제 | 3       | 평균       | 7.5166           | 10.1006 | 2.5840 |
|         |         | 표준편차     | 1.6422           | 2.6940  | 3.4964 |

〈표 13.27〉 차선통제에 따른 사상자수의 변화(FHWA/JHRP, 95)

| 차선통제방식  | 한방향 차선수 | 평균, 표준편차 | 1억대 · 1mile당 사상자 발생 사고수 |        |        |
|---------|---------|----------|-------------------------|--------|--------|
|         |         |          | 평상시                     | 차선통제시  | 변화량    |
| 한방향 통제  | 2       | 평균       | 1.1289                  | 2.0746 | 0.9457 |
|         |         | 표준편차     | 0.5376                  | 1.9380 | 2.1879 |
| 일부 차선통제 | 2       | 평균       | 1.0969                  | 2.0311 | 0.9342 |
|         |         | 표준편차     | 0.4252                  | 1.3405 | 1.2684 |
| 한방향 통제  | 3       | 평균       | 1.5885                  | 2.6367 | 1.0482 |
|         |         | 표준편차     | 0.3961                  | 1.5320 | 1.3851 |
| 일부 차선통제 | 3       | 평균       | 1.7641                  | 2.1128 | 0.3487 |
|         |         | 표준편차     | 0.2829                  | 1.0574 | 1.1565 |

지속적인 연구에 의하여 기능성 포장의 사고가 구체적으로 몇 %의 저감효과가 있음을 입증한다면 경제성 분석이 가능할 것이다. 〈표 13.28〉은 도로 유형별 교통사고로 인한 사망자 및 부상자수를 나타낸 표이며, 〈표 13.29〉는 사망자 및 부상자에 대한 각각의 사회비용을 나타내고 있다. 〈표 13.28〉과 〈표 13.29〉를 토대로 사고의 증감에 따른 정확한 조사가 이루어질 경우 이를 이용하여 경제성 분석을 실시한다.

〈표 13.28〉 도로 유형별 교통사고로 인한 사망자 및 부상자수

| 도로 유형 | km당 사고건수 | 1억대 · km당 사망자수 | 1억대 · km당 부상자수 |
|-------|----------|----------------|----------------|
| 고속도로  | 3.44     | 1.78           | 43.56          |
| 일반국도  | 5.92     | 6.78           | 196.48         |
| 지방도   | 1.49     | 4.89           | 126.07         |

(경찰청, 2001, 건설교통부, 도로교통량통계연보, 2001)

〈표 13.29〉 교통사고 사망자 1인당 교통사고 비용(교통개발연구원, 2002)(단위 : 만 원)

| 구 분    | 사망자       | 부상자     |
|--------|-----------|---------|
| 교통사고비용 | 37,331.19 | 4,083.5 |

\* PGS를 포함한 금액이며, 부상사고건수당 사고비용은 평균부상사고비용임.

- 환경비용의 정량화

기본적으로 환경비용과 도로 포장의 경제성에 관련된 연구는 미비한 편이다. 이는 어떤 포장 형식을 취하더라도 환경에 미치는 영향이 미비하기 때문에 이 분야에 대한 연구가 미비할 수밖에 없다. 그렇지만 최근에 기능성을 강조한 포장의 등장으로 저소음 포장이 개발되어 실용화 단계에 있다. 이 분야에 대한 연구 중 실질적으로 경제성 평가에 적용할 수 있는 분야인 소음에 대한 정량화이다.

소음부분에 대한 정량화는 건설교통부의 '공공교통시설 개발 사업에 관한 투자평가 지침'을 토대로 작성한다. 방음벽 설치비를 기준으로 소음 저감의 편익을 산출한다. 건설교통부 보고서의 결과 값을 2005년 단위로 환산한 결과는 <표 13.30>과 같다.

<표 13.30> 교통소음에 대한 사용자 비용의 정량화 (건설교통부, 2004)

| 비 용               | 도로위치 | 도시지역  | 지방지역  |
|-------------------|------|-------|-------|
| 피해비용(천원/dBA/km/연) |      | 5,611 | 1,955 |

<표 13.31> 2005년 7월 29일 기준 해체비용 및 폐기 처분비용 (자료 : 폐기물처리 공제조합)

| 품 명        | 주요배출지           | 적용범위                                                  | 단위  | 최저가(원)    |
|------------|-----------------|-------------------------------------------------------|-----|-----------|
| 폐콘크리트      | 콘크리트포장 도로,교량,옹벽 | 토목 구조물 해체시 발생하는 콘크리트 등의 성상으로서 이물질이 없는 순수한 폐콘크리트를 말한다. | TON | 15,896.07 |
| 페아스팔트 콘크리트 | 아스팔트 포장도로       | 이물질이 없는 포장도로에서 발생하는 순수한 페아스팔트콘크리트를 말한다.               | TON | 17,443.77 |

마. 해체·폐기비용

1) 해체비용 및 폐기처분비용

대한건설 폐기물처리 공제조합(<http://www.conwas.com/>)의 산정기준에 의해 산정한다. <표 11.31>은 2005년 7월 29일 기준 폐기물 처리 단가를 나타낸 것이다.

2) 잔존가치

잔존가치는 포장재생에 관련된 순 가치이며, 도로포장 폐기물 가운데 재활용이 가능한지 여부에 따라 발생할 수 있는 부(-)비용이다. 보통 도로 포장의 재활용 금액은 계산에 고려하지 않으며, 기대수명이 많이 남아 있는 경우 <식 13.16>에 의하여 부(-)비용을 계산한다.(AASHTO, 2002)

잔존가치 =  $(L_r/L_e) \cdot C_p$       <식 13.16>

여기서 :  $L_r$ =남아있는 포장의 수명(년)

$L_e$ =기대수명(년)

$C_p$ =초기 건설 비용

위에서 서술한 내용을 요약하면 <표 13.32>와 같이 나타낼 수 있다.

<표 13.32> 비용산정방식의 요약

| 항 목     | 세 부 항 목 |        | 비 용 산 정 방 식     |
|---------|---------|--------|-----------------|
| 초기투자비용  | 기획설계비   |        | 엔지니어링사업대가기준 산출  |
|         | 건설비     |        | 표준품셈, 실적공사비, 견적 |
|         | 감리비     |        | 엔지니어링사업대가기준 산출  |
| 유지관리비용  | 관리자비용   | 일반관리비용 | 건교부자료조사         |
|         |         | 유지보수비용 | 건교부자료조사         |
|         | 사용자비용   | 차량운행비용 | 각종 모델 및 자료조사    |
|         |         | 운행지연비용 |                 |
|         |         | 교통사고비용 |                 |
| 해체-폐기비용 | 해체비용    |        | 건설 폐기물 공제조합 자료  |
|         | 폐기처분비용  |        | 건설 폐기물 공제조합 자료  |
|         | 잔존가치    |        | 계산 및 재사용 비용 추정  |

### 13.3 각 공법별 보수시점 제시 및 현 공법의 잠정 기준 제시

일반적으로 도로 포장의 공용수명 예측 모형과 연계하여 포장의 수명을 예측한 후 보수시점을 제시한다. 국내의 포장의 유형별 보수시기와 보수 방법을 제시함으로써 생애 주기비용의 계산의 표준화를 이루는데 목적이 있다.

본 장에서는 기존의 자료를 조사하여 유지보수 시기를 검토하였다.

#### 13.3.1 국내 자료

국내의 LCC는 최근에 많은 연구가 있었지만 대부분의 연구가 기존의 유지보수비 자료를 바탕으로 매년 균등한 유지보수비를 아스팔트와 콘크리트 포장에 대해 적용하였다. 대부분의 연구는 보수시점을 구체적으로 제시하지를 않았지만, 몇몇 연구는 보수 시점을 구체적으로 제시하였다.

권석현(2000)은 아스팔트 포장에 대하여 5년 주기로 덧씌우기를 하고, 소파보수와 표면처리는 1년 주기로 분석하였다.

조병완(2003)은 대도시 포장의 경우 일반아스팔트 포장과 재생아스팔트 포장은 3년, 개질아스팔트 포장은 7년 마다 덧씌우기를 하는 것으로 분석하였으며, 기대수명은 일반아스팔트 포장은 25년, 개질 및 재생아스팔트 포장은 10년을 주기로 분석을 하였다.

조윤희(2003)는 국도 유지보수대장을 참고하여 아스팔트 포장에 대하여 상시 유지보수는 2년마다, 5cm 덧씌우기는 5년, 10cm 덧씌우기는 10년 주기로 시공하는 것으로 분석하였다.

### 13.3.2 외국 자료

외국의 경우 각 주 및 각 연구기관에서 축적된 과거이력 자료를 통하여 LCC 분석을 위한 보수시기 및 보수방법을 제시하고 있다.

James A.(1999)는 일리노이와 오하이오주, A. Bradburry는 온타리오주, Joseph N.(2003)은 미네소타주, 콜로라도의 2006년 설계가이드에서는 콜로라도주의 보수시기 및 보수 공법을 정리하였다.

〈표 13.33〉은 위에서 서술한 연구를 바탕으로 한 각각의 포장에 대한 보수시기 및 방법을 제시한 내용이다. 사용된 용어중 CPR은 Concrete Pavement Restoration의 약자로 다음 8가지 기술을 종합한 용어이다. (American Concrete Pavement Association, 2002)

1. 전체 깊이 패칭
2. 부분 깊이 패칭
3. 다이아몬드 그라인딩
4. 줄눈 및 크랙 실링
5. 슬래브 안정화
6. 다웰바 보수
7. 길어깨의 보수
8. 종방향 균열 및 줄눈의 보수

〈표 13.33〉 미국 각주의 보수 시기 및 보수 공법의 정의

| 지역    | 포장형식                          | 보수 내용 (보수시점 : 년)                                                                                                 |
|-------|-------------------------------|------------------------------------------------------------------------------------------------------------------|
| 온타리오주 | 다웰 JPCP                       | 줄눈 실링(12,20), 부분 CPR & 다이아몬드 그라인딩(18), 전체 CPR(29) & 다이아몬드 그라인딩(29), 80mm 아스팔트 덧씌우기(38), 균열 실링보수(41,44), 분석종료(50) |
|       | SMA 아스팔트                      | 균열 실링보수(3,9,15,24,31,37,44,49), 패칭(15), 패칭 & 균열 실링보수(19,28,41), 80mm 밀링 & 아스팔트 덧씌우기(21,34,46), 분석종료(50)          |
| 미네소타주 | 아스팔트<br>(20년 700만<br>ESALs이하) | 균열실링보수(6,23,38), 표면처리(10,27,43), 밀링 & 덧씌우기(20,35), 분석종료(잔존가치0)(50)                                               |
|       | 아스팔트<br>(20년 700만<br>ESALs이상) | 소파보수(7,20,32,45), 밀링 & 덧씌우기(15,27,40), 분석종료(잔존가치0)(50)                                                           |
|       | 콘크리트                          | 줄눈 실링 & 부분 CPR(17), 부분 CPR(전 깊이 패칭)(27), 전체 CPR(40), 분석종료(잔존가치5년)(50)                                            |

〈표 13.33〉(계속) 미국 각주의 보수 시기 및 보수 공법의 정의

| 지역    | 포장형식                                                         | 보수 내용 (보수시점 : 년)                                                                                                                                                                                       |
|-------|--------------------------------------------------------------|--------------------------------------------------------------------------------------------------------------------------------------------------------------------------------------------------------|
| 콜로라도주 | 아스팔트<br>(20년설계기준)                                            | 5cm 밀링 & 아스팔트 덧씌우기(10, 20, 30), 분석종료(40)                                                                                                                                                               |
|       | 콘크리트 포장<br>(30년설계기준)                                         | -다웰바와 타이바 설치시<br>6.35mm의 50%깊이의 다이아몬드 그라인딩 & 줄눈 채움 & 0.5% 슬래브 교체(22), 분석종료(40)<br><br>-다웰바 타이바 미설치시<br>6.35mm의 다이아몬드 그라인딩 & 줄눈 채움 & 1% 슬래브 교체(22), 분석종료(40)                                            |
|       | 콘크리트 포장<br>(20년설계기준)                                         | 5cm 아스팔트 덧씌우기(20, 30)<br>도시의 중하중 교통일 경우 7.25cm 아스팔트 덧씌우기(20,30)                                                                                                                                        |
| 일리노이주 | 아스팔트<br>ESALs>3400만<br>(시골)<br>ESALs>2270만<br>(도시)           | 중앙부 균열 실링(3,6,14,21,29,37)<br>횡방향 균열 소파보수(15%-3,50%-6, 100%-14,21,29,37)<br>무작위 균열 소파보수(50%-6,14,21,29,37)<br>패칭(0.5%-5,2%-13,28,36,4%-20)<br>표면 밀링(5,13,20,27,36)<br>아스팔트 덧씌우기(4cm-5,13,28,36,8cm-20) |
|       | 아스팔트<br>ESALs>2450만<br>(시골)<br>ESALs>1630만<br>(도시)           | 중앙부 균열 실링(3,8,15,21,31)<br>횡방향 균열 소파보수(15%-3,50%-8,12,15, 100%-21,31)<br>무작위 균열 소파보수(50%-8,15,21,31)<br>패칭(0.5%-5,3%-7,30,4%-20), 표면 밀링(7,20,30)<br>아스팔트 덧씌우기(4cm-7,30,8cm-20)                         |
|       | 아스팔트<br>ESALs>1500만<br>(시골)                                  | 중앙부 균열 실링(3,11,21,33)<br>횡방향 균열 소파보수(15%-3,50%-6, 100%-11,21,33)<br>무작위 균열 소파보수(50%-11,21,33)                                                                                                          |
|       | ESALs>1000만<br>(도시)                                          | 패칭(0.5%-5,3%-10,32,4%-20), 표면 밀링(10,20,32)<br>아스팔트 덧씌우기(4cm-10,32,8cm-20)                                                                                                                              |
|       | 아스팔트<br>ESALs<1500만<br>(시골)<br>ESALs<1000만<br>(도시)           | 중앙부 균열 실링(3,12,21,31)<br>횡방향 균열 소파보수(15%-3,50%-6, 100%-12,21,31)<br>무작위 균열 소파보수(50%-12,21,31)<br>패칭(0.5%-5,3%-10,32,4%-20), 표면 밀링(20)<br>아스팔트 덧씌우기(8cm-20)                                             |
|       | 콘크리트                                                         | 종방향 줄눈 실링(10,20,30)<br>길어깨 줄눈 실링(10,20,30) 횡방향 줄눈 실링(10,20,30)<br>전체깊이보수(0.5%-7,1%-10,1.5%15,25,4%-20,2.5%-30,3.5%-35)<br>표면 그라인딩(20), 서브실링(70%-20)                                                    |
|       | 아스팔트                                                         | 아스팔트 덧씌우기(4cm-10,30)<br>8cmAC+8cmBB층(20)                                                                                                                                                               |
| 콘크리트  | 횡방향 줄눈 실링(20), 전체 깊이 보수(2%-20) 표면 그라인딩(20),<br>아스팔트 덧씌우기(30) |                                                                                                                                                                                                        |

〈표 13.34〉, 〈표 13.35〉는 아스팔트와 콘크리트 협회에서 제시하는 보수시기 및 방법이 다. 각 협회에서 제시하는 내용은 한쪽으로 다소 치우친 경향이 있다.

국내의 경우 구체적으로 보수시점과 보수공법을 정의하지 않고 있다. 이는 체계적인 PMS(Pavement Management System)의 미비로 볼 수 있다. 포장의 수명을 예측하지 못함으로 인하여 보수시점과 보수공법을 예측하는 것이 실질적으로 어렵기 때문에 민원이 들어올 경우를 제외하고 일괄적인 행정적인 처리로 보수 및 재포장을 결정하고 있는 것이 국내 현실이다.

〈표 13.34〉 아스팔트 관련 협회에서 제시하는 보수 시기 및 보수 공법의 정의

| 제안협회             | 포장형식 | 보수 내용(보수시점 : 년)                                                   |
|------------------|------|-------------------------------------------------------------------|
| 미네소타<br>아스팔트 협회* | 아스팔트 | 덧씌우기(15년주기)                                                       |
|                  | 콘크리트 | 전체보수(20년주기)                                                       |
| 미국<br>아스팔트 협회**  | 아스팔트 | 아스팔트 덧씌우기(10, 27),<br>균열보수(18), 재시공(33)<br>- 단 재시공은 온도로 인한 균열 발생시 |
|                  | 콘크리트 | 실링, 패치(9), 아스팔트<br>덧씌우기(18, 31), 재시공(34)                          |

\* Minnesota Asphalt Pavement Association(2003)

\*\* Asphalt pavement alliance(2005)

〈표 13.35〉 콘크리트 협회에서 조사한 보수 시기 및 보수 공법의 정의

| 지역     | 포장형식 | 보수 내용 (보수시점 : 년)                                                  |
|--------|------|-------------------------------------------------------------------|
| 북캐롤라이나 | 아스팔트 | 6.25cm 밀링, 6.25cm 덧씌우기(10), 6.25cm 밀링,<br>12cm 덧씌우기(20), 분석종료(30) |
|        | 콘크리트 | 절삭&줄눈 재실링(10), 절삭&줄눈 재실링, 그라인딩(20), 분석종료(30)                      |
| 남캐롤라이나 | 아스팔트 | 3.2cm 덧씌우기(10), 2.5cm 밀링, 7cm 덧씌우기, 분석종료(30)                      |
|        | 콘크리트 | 청소&줄눈 재실링(10), 청소&줄눈 재실링, 2% 슬래브 교체 (20),<br>분석종료(30)             |
| 워싱턴주   | 아스팔트 | 아스팔트 덧씌우기(13,25,37), 분석종료(40)                                     |
|        | 콘크리트 | 그라인딩&줄눈 재실링(20), 분석종료(40)                                         |
| 조지아    | 아스팔트 | 밀링&덧씌우기(10, 20), 분석종료(30)                                         |
|        | 콘크리트 | 줄눈 재실링(20), 분석종료(30)                                              |

주) American Concrete Pavement Association, 2002

## 13.4 경제성 평가 비용 D/B 구축

### 13.4.1 아스팔트 포장

#### (1) 재료비

아스팔트 포장의 재료비용은 일반 아스팔트포장과 SMA 아스팔트로 구분하여 조사하였다. 재료비용은 (사)한국물가정보의 자료를 이용하였다. 편의를 위해 M/T단위당 가격을 2.4t/m<sup>3</sup>으로 환산하여서 재료비를 산정하였다.

#### 가. 일반 아스팔트 혼합물 비용

(사)한국물가정보의 자료를 보면 거래실례 가격과 업체에서 공시한 가격과 차이가 있어 두 값의 평균값을 사용하였으며, <표 13.36>과 같다.

<표 13.36> 일반 아스팔트 평균 가격

| 일반 아스팔트 | 규격   | 단위  | 단가(원)  |
|---------|------|-----|--------|
| 아스팔트    | 기층용  | M/T | 51,585 |
| 아스팔트    | 중간층용 | M/T | 53,665 |
| 아스팔트    | 표층용  | M/T | 56,335 |

<출처> (사)한국물가정보 2009년1월

위에서 구한 일반 아스팔트 평균가격을 2.4t/m<sup>3</sup>로 환산하여 층별 재료비 산정시 적용하면 각 층의 시공 부피(m<sup>3</sup>)에 맞는 재료 비용을 구할 수 있다. <표 13.37>은 일반 아스팔트의 환산 가격을 나타낸 것이다.

〈표 13.37〉 일반아스팔트 부피 환산 가격

| 일반 아스팔트 | 규격   | 단위  | 단가(원)  | 2.4t/m <sup>3</sup> 환산<br>가격(원) |
|---------|------|-----|--------|---------------------------------|
| 아스팔트    | 기층용  | M/T | 51,585 | 123,804                         |
| 아스팔트    | 중간층용 | M/T | 53,665 | 128,796                         |
| 아스팔트    | 표층용  | M/T | 56,335 | 135,204                         |

#### 나. SMA 아스팔트의 재료 비용

SMA 아스팔트의 재료 비용은 일반아스팔트 재료비용과 동일하게 (사)한국물가정보의 자료를 통하여 조사하였으며, 〈표 13.38〉과 같다.

〈표 13.38〉 SMA아스팔트 평균 가격

| SMA아스팔트  | 규격      | 단위  | 단가(원)  |
|----------|---------|-----|--------|
| SMA 아스팔트 | 10,13mm | M/T | 80,000 |
| SMA 아스팔트 | 8mm     | M/T | 90,000 |

〈출처〉 (사)한국물가정보 2009년1월

SMA 아스팔트도 일반 아스팔트와 동일하게 2.4t/m<sup>3</sup>로 환산 하여 층별 재료비 산정시 적용하면 시공 부피(m<sup>3</sup>)에 맞는 재료 비용을 구할 수 있다. 〈표 13.39〉는 SMA 아스팔트의 환산 가격을 나타낸 것이다.

〈표 13.39〉 SMA 아스팔트 부피 환산 가격

| SMA 아스팔트 | 규격   | 단위  | 단가(원)  | 2.4t/m <sup>3</sup> 환산<br>가격(원) |
|----------|------|-----|--------|---------------------------------|
| SMA 아스팔트 | 기층용  | M/T | 80,000 | 192,000                         |
| SMA 아스팔트 | 중간층용 | M/T | 90,000 | 216,000                         |

## (2) 시공비용

아스팔트 포장의 시공비용은 표층, 중간층, 기층, 보조기층, 동상방지층의 시공비용을 포함한다. 시공비용은 2008년 건설공사 실적공사비 적용 공종 및 단가(국토해양부, 한국건설기술연구원)와 도로포장 및 유지보수 표준품셈 재·개정 용역[참고자료](도명 E&C,2007.5)자료를 이용하였다. 도로포장 및 유지보수 표준품셈 재·개정 용역[참고자료](도명 E&C,2007.5)자료는 2007년도 비용이므로 이를 한국은행에서 조사한 물가상승율을 이용하여 2008년 비용으로 환산하였다. 택코팅과 프라임 코팅 시공비용에는 재료비도 포함되어 있는 시공 비용이다. 단위는  $m^2$ ,  $m^3$ 으로 통일 하였다.

### 가. 표층 포설 및 다짐

표층 포설 및 다짐 시공비용은 <표 13.40>과 같이 포장두께에 따라 구분하였다.

<표 13.40> 아스콘포장/표층/포설및다짐 시공비용

| 규격       | 단위    | 단가 (원) |
|----------|-------|--------|
| T=5.0cm  | $m^2$ | 565    |
| T=8-10cm | $m^2$ | 1,412  |

<출처> 2008년 건설공사 실적공사비 적용 공종 및 단가

### 나. 중간층 포설 및 다짐

<표 13.41> 아스콘포장/중간층/포설및다짐 시공비용

| 규격    | 단위    | 단가 (원) |
|-------|-------|--------|
| T=6cm | $m^2$ | 539    |

<출처> 2008년 건설공사 실적공사비 적용 공종 및 단가

#### 다. 기층 포설 및 다짐

기층의 시공비용은 <표 13.42>와 같이 포장두께에 따라 구분하였다.

<표 13.42> 아스콘포장/기층/포설및다짐 시공비용

| 규격        | 단위             | 단가 (원) |
|-----------|----------------|--------|
| T=10cm    | m <sup>2</sup> | 594    |
| T=14-15cm | m <sup>2</sup> | 1,270  |

<출처> 2008년 건설공사 실적공사비 적용 공종 및 단가

#### 라. 동상방지층 및 보조기층 포설 및 다짐

보조기층과 동상방지층은 콘크리트 포장 시에도 공통적으로 적용되는 시공 이고, 규격에 따라서 시공비용을 구분하였다. 규격 이하 혹은 이상인 경우 보 간법을 이용하여 원단위를 구하였으며, <표 13.43>과 같다.

<표 13.43> 동상방지층 및 보조기층 포설 및 다짐 시공비용

| 규격   | 단위             | 단가 (원) |
|------|----------------|--------|
| 30cm | m <sup>3</sup> | 3,069  |
| 40cm | m <sup>3</sup> | 2,840  |

<출처> 2008년 건설공사 실적공사비 적용 공종 및 단가

### (3) 시공 작업량

작업량은 작업일수를 산정하는데 아주 중요한 자료이다. 작업일수에 따라 사 용자비용이 산정되며 이는 경제성 분석의 중요한 항목이다. 아스팔트 콘크리트 포장의 작업량산정은 2008 건설공사 표준품셈(한국건설기술연구원)의 자료를 참조 하였다. 2008년 건설공사 표준품셈의 작업량은 하루 8시간 기준의 작업

량이다. 포장설계 D/B에는 계산의 편의를 위해서 1시간 작업량으로 환산하였다. 일반 아스팔트 포장의 작업량은 기계시공시 작업량을 나타낸다.

### 가. 표층 포설 및 다짐

표층 작업량은 시공구간의 폭에 따라서 <표 13.44>와 같이 시간당 시공량을 구분하였다.

<표 13.44> 표층 포설 및 다짐 시공량

| 8시간시공량(m <sup>3</sup> ) |       | 1시간기준 시공량(m <sup>3</sup> ) |
|-------------------------|-------|----------------------------|
| 1.4m≤시공폭<3m             | 2,000 | 250                        |
| 3m≤시공폭                  | 5,000 | 625                        |

<출처> 2008 건설공사 표준품셈

### 나. 기층 포설 및 다짐(BB층)

기층의 시공량은 두께 10cm를 기준으로 <표 13.45>와 같이 시간당 작업량을 구분하였다.

<표 13.45> 기층 포설 및 다짐(BB층) 시공량

| 8시간시공량(m <sup>3</sup> ) |       | 1시간기준 시공량(m <sup>3</sup> ) |
|-------------------------|-------|----------------------------|
| 두께≥10cm                 | 3,600 | 450                        |
| 두께<10cm                 | 4,000 | 500                        |

<출처> 2008 건설공사 표준품셈

### 다. 동상방지층 및 보조기층 포설 및 다짐

보조기층과 동상방지층의 작업량은 시공비용과 달리 규격에 따라 구분되지 않는다. <표 13.46>은 시간당 m<sup>3</sup>의 작업량이다.

<표 13.46> 동상방지층 및 보조기층 포설 및 다짐 시공량

| 8시간시공량(m <sup>3</sup> ) | 1시간기준 시공량(m <sup>3</sup> ) |
|-------------------------|----------------------------|
| 550                     | 68.75                      |

<출처> 2008 건설공사 표준품셈

#### (4) 유지 보수

##### 가. 유지 보수 비용

아스팔트 포장의 유지 보수 비용은 도로포장관리시스템(부록 E 공사시방서, 표준도, 개략공사비, 2000)의 단위 km당 유지보수 비용 집계표를 통하여 산정하였다. 이 자료는 2002년도 자료 이므로 이를 2007년 물가상승율(2.5%)을 고려하여 2008년 기준의 값으로 환산하였다. 또한 단위가 6700m<sup>2</sup>당 비용이므로 이를 1m<sup>2</sup>당 가격으로 환산하였다.

〈표 13.47〉 아스팔트 포장 유지보수 비용

| 구분                   | 2002년도 비용<br>(단위: 천원/6700m <sup>2</sup> ) |        | 2008년 환산비용<br>(단위:천원/6700m <sup>2</sup> ) |        | 2008년 환산비용<br>(단위:원/1m <sup>2</sup> ) |        |
|----------------------|-------------------------------------------|--------|-------------------------------------------|--------|---------------------------------------|--------|
|                      | 계                                         | VAT제외  | 계                                         | VAT제외  | 계                                     | VAT제외  |
| 상시유지보수               | 2415                                      | 2174   | 2867                                      | 2581   | 428                                   | 385    |
| 소파수선                 | 23920                                     | 21528  | 28394                                     | 25555  | 4,238                                 | 3,814  |
| 플리머슬러리실              | 24503                                     | 22053  | 29086                                     | 26178  | 4,341                                 | 3,907  |
| 5AC                  | 56581                                     | 50923  | 67164                                     | 60448  | 10,024                                | 9,022  |
| 7BB+5AC              | 12 595                                    | 113036 | 149085                                    | 134177 | 22,251                                | 20,026 |
| 10BB+5AC             | 153754                                    | 138379 | 1825 1                                    | 164260 | 27,240                                | 24,516 |
| 15BB+5AC             | 2106 1                                    | 189550 | 25 02                                     | 225002 | 37,314                                | 33,582 |
| CRM5AC               | 93060                                     | 83754  | 10465                                     | 99419  | 16,487                                | 14,839 |
| SMA5AC               | 82637                                     | 74373  | 98093                                     | 88283  | 14,641                                | 13,177 |
| PMA5AC               | 72214                                     | 64993  | 85720                                     | 77149  | 12,794                                | 11,515 |
| PBS5AC               | 72172                                     | 64055  | 85670                                     | 76035  | 12,787                                | 11,349 |
| 에코팔트(밀입도)5AC         | 83281                                     | 74953  | 98857                                     | 88972  | 14,755                                | 13,279 |
| 현장재생5AC              | 90386                                     | 81347  | 107290                                    | 96562  | 16,013                                | 14,412 |
| 플랜트재생5AC             | 64718                                     | 58246  | 76823                                     | 69140  | 11,466                                | 10,319 |
| 에코팔트(배수성)5AC         | 95144                                     | 85630  | 12939                                     | 101645 | 16,857                                | 15,171 |
| CRM(배수성)5AC          | 108295                                    | 97466  | 128 50                                    | 115695 | 19,187                                | 17,268 |
| PMA(배수성)5AC          | 95788                                     | 86209  | 13704                                     | 102333 | 16,971                                | 15,274 |
| 절삭(5cm)              | 38816                                     | 34934  | 46076                                     | 41468  | 6,877                                 | 6,189  |
| 절삭(5cm)+CRM5AC       | 127506                                    | 114755 | 151354                                    | 136217 | 22,590                                | 20,331 |
| 절삭(5cm)+SMA5AC       | 17083                                     | 105375 | 138981                                    | 125084 | 20,743                                | 18,669 |
| 절삭(5cm)+PMA5AC       | 10 60                                     | 95994  | 12 609                                    | 113947 | 18,897                                | 17,007 |
| 절삭(5cm)+PBS5AC       | 105618                                    | 95056  | 125372                                    | 112834 | 18,712                                | 16,841 |
| 절삭(5cm)+에코팔트(밀입도)5AC | 12914                                     | 101623 | 1340 3                                    | 120630 | 20,005                                | 18,004 |
| 절삭(5cm)+에코팔트배수성5AC   | 129590                                    | 116631 | 149079                                    | 138445 | 22,251                                | 20,663 |
| 절삭(5cm)+CRM배수성5AC    | 137928                                    | 124135 | 163725                                    | 147352 | 24,437                                | 21,993 |
| 절삭(5cm)+에코팔트PMA수성5AC | 125421                                    | 112879 | 148879                                    | 13990  | 22,221                                | 2,088  |

〈출처〉 도로포장관리시스템(부록 E\_ 공사시방서, 표준도, 개략공사비, 2000)

## 나. 유지보수 시공량

유지보수 시공량은 2008 건설공사 표준품셈의 자료를 인용하여 조사하였다. 유지보수 시공량 또한 기존 8시간당 시공량을 <표 13.48>과 같이 시간당 시공량으로 환산하였다.

<표 13.48> 절삭 후 아스팔트 덧씌우기 작업량

| 시공량(m <sup>3</sup> ) |         |                            |
|----------------------|---------|----------------------------|
| 형식                   | 8시간 시공량 | 1시간기준 시공량(m <sup>3</sup> ) |
| 밀링깊이 50mm            | 5,000   | 625                        |
| 밀링깊이 70mm            | 4,400   | 550                        |

<출처> 2008 건설공사 표준품셈

## 13.4.2 콘크리트 포장

### (1) 재료비

콘크리트 포장의 재료비는 실적단가를 바탕으로 산정하였다.

<표 13.49> 시멘트 콘크리트 가격 (도착가)

| 단위             | 가격      |
|----------------|---------|
| m <sup>3</sup> | 25,476원 |

### (2) 시공비

보조기층과 동상방지층은 아스팔트 포장과 동일하므로 표층과 린콘크리트층에 대한 자료이다.

#### 가. 포설 비용

포설 비용은 인력식과 기계식으로 구분되어지나 기계식만으로 시공한다고 가정하였다. 기계식은 1차로포장과 2차로 동시포설로 구분한다.

〈표 13.50〉 기계식 콘크리트 포장/포설 시공비용

| 공종명                | 규격     | 단위             | 단가(원) | 2008년환산<br>단가(원) |
|--------------------|--------|----------------|-------|------------------|
| 기계포설/<br>무근2차로동시포설 | T=30cm | m <sup>3</sup> | 4,684 | 4,801            |
| 무근 1차로 포설          | T=30cm | m <sup>3</sup> | 5,139 | 5,267            |

〈출처〉 도로포장 및 유지보수 표준품셈 재·개정 용역[참고자료](도명E&C,2007.5)

#### 나. 린콘크리트 포설 및 다짐

〈표 13.50〉 린콘크리트 포설 및 다짐 시공비용

| 규격     | 단위             | 단가(원) | 2008년환산 단가(원) |
|--------|----------------|-------|---------------|
| T=15cm | m <sup>3</sup> | 2,758 | 2,826         |

〈출처〉 도로포장 및 유지보수 표준품셈 재·개정 용역[참고자료](도명E&C,2007.5)

### (3) 시공 작업량

콘크리트 포장의 작업량은 2008 건설공사 표준품셈을 통하여 기존 8시간당 작업량을 시간당 작업량으로 환산하였다.

〈표 13.51〉 시멘트 콘크리트 포장 기계시공 작업량

| 시공량(m <sup>3</sup> ) |     |     | 1시간기준 시공량(m <sup>3</sup> ) |
|----------------------|-----|-----|----------------------------|
| 형식                   |     | 시공량 |                            |
| 일반구간                 | 1차로 | 350 | 43.75                      |
|                      | 2차로 | 800 | 100                        |
| 터널구간                 | 1차로 | 300 | 37.5                       |
|                      | 2차로 | 650 | 81.25                      |

〈출처〉 2008 건설공사 표준품셈

### (4) 유지보수 비용

아스팔트 덧씌우기의 경우 앞서 제시한 비용을 사용하고 콘크리트 덧씌우기에 대한 자료는 현재 구축 중이다.

## 부록 14. 아스팔트 콘크리트 포장설계(예)

### 14.1 일반사항

도로포장 구조 설계 프로그램의 실행환경은 다음과 같다.

지원 O/S : Windows 2000, Windows XP, Windows 7 32비트

필수 설치 소프트웨어 : Microsoft Office 2003 이상(MS Access 포함)

지원 언어 : 한글(영문 O/S는 지원하지 않음.)

도로포장 구조 설계 프로그램을 실행하면, 개발기관 및 프로그램 버전을 확인할 수 있는 ‘초기화면 창’이 나타난다. 이후 프로그램 사용자 인터페이스 화면 구성은 크게 포장단면, 온도조건, 교통조건, 포장물성과 같은 설계조건을 입력할 수 있는 ‘설계 입력창’, 시간에 따른 포장 공용성의 변화를 나타내는 ‘공용성 그래프 창’, 결과 및 설계대안을 경제성 분석을 통해 비교할 수 있는 ‘대안비교 창’ 및 전체적인 설계결과를 확인할 수 있는 ‘보고서 확인창’으로 구성되어 있다.

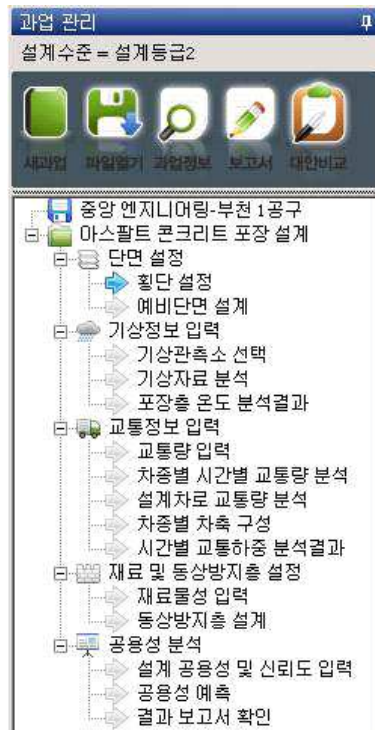
처리 순서는 항상 인터페이스 화면 구성 순서대로 처리되어야 올바른 공용성 해석 결과를 얻을 수 있다. 예를 들어 포장단면의 두께를 수정하거나, 기상관측소를 변경하였다면 포장온도를 반듯이 해석해야 한다. 마찬가지로 AADT와 같은 교통조건이 변경되면 교통량 해석을 해야 한다. 인터페이스 화면은 워저드 화면처럼 구성되어 있으므로 ‘다음’버튼을 눌러 이런 작업들을 순차적으로 손쉽게 해석, 계산, 실행시킬 수 있다. 그러므로 어느 입력 화면의 내용을 중간에 수정한다면, 공용성 해석까지 ‘다음’버튼을 눌러 이와 관련된 해석을 수행시키도록 해야 한다.

다음은 개발기관과 버전을 확인할 수 있는 ‘초기화면 창’을 나타내고 있다.



〈그림 14.1〉 초기화면창

초기화면 창이 나타난 후에는 다음 그림과 같은 ‘과업 관리창’이 나타난다. 이 창에서는 설계의 기본적인 단위인 ‘과업’을 생성하거나 할 수 있으며 과업을 설계등급, 포장의 종류를 확인할 수 있다. 과업은 데이터베이스 파일 단위로 관리되며(MDB Access 파일임), 수정할 수도 있다.



〈그림 14.2〉 과업 관리창

새로운 과업을 생성할 경우에는 '새 과업'를, 기존의 과업을 확인하거나 수정하기 위해서는 '과업 열기'를 선택한다.

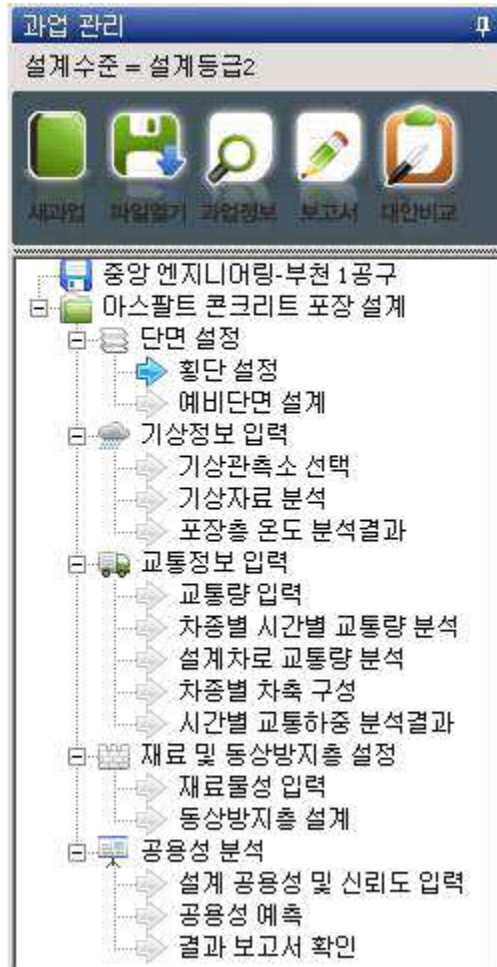
구조 설계 프로그램 실행 시에는 다음 그림과 같은 입력창이 나타나게 되며, 창의 입력 내용은 메뉴 진행 순서에 따라 다르게 제시된다. 메뉴는 포장 단면 입력부터, 기상 정보 입력, 교통 정보 입력, 포장 재료 입력, 해석 메뉴 순서로 되어 있으며, 입력창의 다음단계 버튼을 누르면 다음 단계로 진행되며, 이전단계 버튼을 누르면 이전 단계로 돌아가게 된다. 도로포장 구조설계를 위한 입력 자료는 화면의 다음단계 버튼을 눌러 순서대로 입력해야 마지막 단계에서 공용성 해석이 수행되며 제대로 된 포장 해석 결과를 얻을 수 있다.



〈그림 14.3〉 프로그램 실행 시 입력창 모습

## 14.2 새 과업

해석 프로그램에 사용되는 모든 입력, 분석 데이터는 과업 데이터베이스 파일에 보관되며, 이를 위해 과업 파일을 생성해야 한다.



〈그림 14.4〉 과업 관리창

### 14.2.1 새 과업

새 과업을 버튼을 클릭하여 과업을 생성한다. 새 과업에서는 과업 정보, 기하 구조, 교통량, 환경조건, 재료조건 및 공용성 기준을 새롭게 입력한다.

## 14.2.2 과업 열기

과업 열기 버튼을 클릭하여 기존의 과업을 선택해서 사용한다. 기존의 과업을 수정해서 설계를 할 경우에는 목록에서 해당하는 과업을 선택한다. 기존의 조건에서 크게 다르지 않은 조건을 설계할 경우에 활용할 수 있다.

## 14.2.3 과업 정보

과업 정보 입력창에서는 주로 설계자나 검토자가 설계 과업의 특징을 확인할 수 있는 일반적인 정보를 입력하지만, 공용기간, 설계등급, 설계속도, 설계지역 등은 실제 설계도로에 사용되는 계수나 입력변수의 형태에 영향을 미치므로 주의해서 입력하도록 한다. 또한 '과업 명'은 저장되는 과업의 파일이름이 되므로 기존 과업 명과 중복되지 않도록 지정한다. 설계등급 1에서는 보다 신뢰성 높은 결과를 제시하는 반면에 구체적인 실험 결과를 요구하는 반면, 설계등급 2에서는 필요한 입력 값을 추정할 수 있는 단순한 실험 결과를 요구하는 반면 설계등급 1보다는 다소 낮은 결과를 제시하므로, 설계하고자하는 도로의 등급을 선택할 경우에는 아래 설명창의 내용을 참고하여 결정하도록 한다. 이상의 과정은 아스팔트 포장 설계와 콘크리트 포장 설계가 동일하게 적용된다.

**과업 정보 입력**

**기본 정보**

노 선 명 : 제3경인고속도로  
 과 업 명 : 부천 1공구  
 작 성 기 관 : 중앙엔지니어링  
 설 계 일 자 : 2011-09-28  
 교통개방일자 : 2011-09-28

**설계정보**

시 점 : 시점  
 종 점 : 종점      연장(km) : 10  
 도 로 구 분 : 고속국도      도시지역  
 설계속도(km/h) : 100

**설계등급 및 포장 선택**

공 용 기 간 : 3  
 설 계 등 급 : 2      포장 형 식 : 아스팔트 콘크리트  
 포장 설계 구분 : 신설

확인      취소

〈그림 14.5〉 과업 정보 입력

## (1) 기본 정보

- 1) 노선명
  - 노선명을 입력한다.
- 2) 과업 명
  - 과업 명을 입력한다.
- 3) 작성기관
  - 작성 기관을 입력한다.
- 4) 작성일자
  - 작성 일자를 입력한다.

## (2) 설계정보

- 1) 도로구분 및 설계속도
  - 도로구분 및 설계속도를 입력한다.
- 2) 시점
  - 설계시점을 입력한다.
- 3) 종점
  - 설계종점을 입력한다.

## (3) 설계 등급 및 포장 선택

설계 등급 및 공용 기간, 포장 형식을 입력한다.

### 14.2.4 포장선택

아스팔트 콘크리트 포장 설계의 경우, 아스팔트 콘크리트를 선택하며 시멘트 콘크리트 포장의 경우 시멘트 콘크리트를 선택한다. 아래 그림은 아스팔트 콘크리트 포장을 선택한 경우를 나타내고 있다.

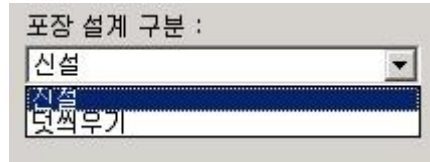


〈그림 14.6〉 포장선택

### 14.2.5 신설포장/덧씌우기 포장 종류 선택

다음 그림은 신설포장 / 덧씌우기 포장 종류 선택 창을 나타내고 있는데 ‘신설포장’을 선택할 경우에는 앞서 결정된 공용기간 내에 향후 입력될 조건이 공

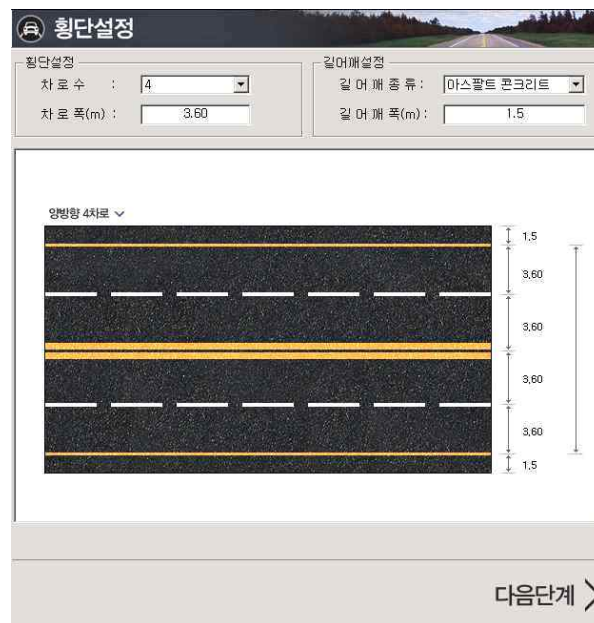
용기준에 만족하는지 만을 검토한다. 그러나 ‘덧씌우기 포장’에서는 현장에서 측정한 FWD 값을 재료 물성 입력에서 입력 받아 공용성을 해석하게 된다.



〈그림 14.7〉 포장 종류 선택

### 14.3 횡단설정

차로 및 길어깨 설정 창에서는 설계하고자 하는 포장의 차로수와 각 차로의 폭, 길어깨의 종류와 길어깨의 폭을 결정한다. 차로수와 차로 폭은 차로계수 등 교통량 산정에 영향을 미치므로 주의해서 선택한다.



〈그림 14.8〉 횡단설정

### 14.3.1 횡단설정

#### (1) 차로 수

2 ~ 8차선을 차로수를 선택한다.

#### (2) 차로 폭(m)

차로 폭을 선택한다.

### 14.3.2 길어깨 설정

#### (1) 길어깨 종류

아스팔트 콘크리트나 시멘트 콘크리트를 선택한다.

#### (2) 길어깨 폭(m)

0.25 ~ 3.00 사이의 길어깨폭을 선택한다.

#### (3) 설계지역

설계지역을 선택한다.

## 14.4 예비단면설계

층 구조는 설계자가 설계프로그램 내에서 선택할 수 있으며 본 예제에서는 포장단면 두께를 아스팔트 표층, 아스팔트 중간층, 아스팔트 기층, 보조기층, 노상으로 구성하였고 각 층 재료의 탄성계수는 설계등급에 따라 실내시험이나 설계데이터베이스를 이용하여 설계자가 입력할 수 있다. 두께는 m의 단위로 되어 있으며, 각 층별 최소 및 최대 두께에 대한 제한이 있으므로 이를 유의하여 입력하도록한다.



〈그림 14.9〉 예비단면설계

만약 덧씌우기 포장 형식을 선택하였다면, 다음 그림과 같은 입력창이 나타난다. 마찬가지로 원하는 두께를 입력하고 다음 단계로 진행한다.



〈그림 14.10〉 예비단면설계

## 14.5 기상관측소 선택

기상관측소 선택창에서는 설계지역에 존재하는 기상관측소를 선택한다. 기상관측소는 ‘기상관측소 선택’ 버튼을 선택하여 진행하며, GIS, 경위도탐색, 좌표탐색 등 3가지 방법을 이용하여 기상관측소를 선택할 수 있다.



〈그림 14.11〉 기상관측소 선택

## 14.5.1 기본정보

선택된 기상 관측소가 표시된다.

## 14.5.2 기상관측소

기상관측소 선택 시 일반적으로 선택된 지역에서 최단거리 3개소의 기상관측소를 선택하는 것이 바람직하나, 최단거리 1개소를 선택할 수도 있다. 다음 그림은 지도를 이용하여 설계하고자하는 지역을 선택하는 방법을 나타내고 있는데, 마우스 오른쪽 버튼을 클릭하여 나오는 메뉴에서 'Pan'을 선택하여 지도를 이동시킬 수 있다. 원하는 지역이 화면에 나타나면 다시 마우스 오른쪽 버튼을 클릭하여 나오는 메뉴에서 위도, 경도 선택을 한 후 해당지점을 마우스 왼쪽 클릭한다. 이때 선정된 지역에 따라 적용동결지수가 자동으로 결정되며, 이는 뒤의 동상방지층 결정에 활용된다.

### (1) 기상관측소 선택



<그림 14.12> 기상관측소 선택

1) 입력선택

- 경위도 입력, 좌표입력, 기상관측소 입력방식을 선택한다. 경위도 입력 선택 시 동경과 북위를 입력한다. 좌표 입력 선택 시 좌표를 입력한다. 기상관측소 변경 시 기상관측소를 선택한다.

2) 기상관측소 옵션

- 옵션에서 기상관측소를 1~3까지 선택한다.

3) 수정동결지수

- 설계노선 최고 표고를 입력하면 수정동결지수가 계산된다.

(2) Tip

여기에서 선택된 측후소는 포장 온도 해석에 영향을 미친다.

## 14.6 기상자료

측후소를 선택하면 선택된 곳의 요약된 기상자료를 보여준다. 최고, 최저 온도와 강수량을 확인할 수 있다.



〈그림 14.13〉 기상자료

## 14.6.1 기상자료

### (1) 기상자료

최고온도, 최저온도, 구름량, 강수량 등의 수치를 매달 표 형식으로 나타낸다.

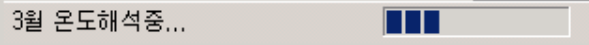
## 14.6.2 기상정보데이터

### (1) 기상정보데이터

기상자료에 나타난 최고, 최저 온도, 강수량 등을 그래픽으로 나타낸다.

## 14.7 포장층 온도분석결과

기상 자료창에서 다음을 선택하면 포장 내 온도를 예측해 온도 데이터를 생성하며, 온도 분석결과와 확인 여부를 묻는 창이 나타난다.



〈그림 14.14〉 온도 데이터 생성

깊이 또는 시간에 따른 포장의 온도변화를 확인할 경우에는 ‘온도분석결과 보기’를 선택하되, 확인하지 않고 진행을 계속하고자 하는 경우에는 ‘교통량 입력’을 선택한다. 다음 그림은 ‘온도분석결과 보기’를 선택했을 때 나타나는 화면으로 월별 시간별, 깊이별 온도의 변화를 확인할 수 있다.



〈그림 14.15〉 온도분석결과

## 14.8 교통량 입력

도로포장 구조 설계를 위한 교통량을 입력한다. 이미 앞서 과업 정보 입력창 등에서 입력한 설계지역, 도로등급, 설계속도, 방향입력에 따라 적절한 교통량 환산계수, 시간별 교통량 비율 등과 같은 교통량 관련 자료가 제시된다. 교통량은 교통량 연증가율 옵션에 따라 자동으로 예측된다. 이와 관련된 내용은 8.2항목에 기술되어 있다.

**교통량 입력**

설계 정보  
 시 점 : [시점]      종 점 : [종점]      설계지역 구분 : [도시지역]  
 도로 등급 : [고속국도]      설계속도(km/h) : [100]  
 방향 설정 : [양방향]      차 로 수 : [4]  
 공용개시년도 : [2011] 년 [9] 월

교통량 예측방법  
 교통수요 예측자료       증가율 미적용  
 선형 증가율(%)       비선형 증가율(%)

차증별 교통량  
 개방년도 AADT : [30000]        
 < 2011 >

| 구분   | 1종    | 2종   | 3종   | 4종   | 5종  | 6종  | 7종  | 8종  | 9종 |
|------|-------|------|------|------|-----|-----|-----|-----|----|
| AADT | 18912 | 1164 | 3665 | 3069 | 909 | 567 | 504 | 195 | 33 |

교통량 환산 계수

|      |      |
|------|------|
| 방향계수 | 0.55 |
| 차로계수 | 0.90 |

시간별 교통량 비율

| 구분    | 1    | 2    | 3    | 4    | 5    | 6    | 7    | 8    | 9    |
|-------|------|------|------|------|------|------|------|------|------|
| 비율(%) | 1.43 | 0.94 | 0.69 | 0.59 | 0.65 | 1.18 | 2.92 | 5.84 | 6.49 |

< 이전단계      다음단계 >

〈그림 14.16〉 교통량자료 입력 입력창

## 14.8.1 설계정보

### (1) 설계정보

설계상의 위치 정보 및 앞선 과정에서 선택한 설계 속도, 도로 등급, 및 차로수가 화면에 나타난다.

### (2) 도로등급

고속도로, 지방도, 일반국도 등이 나타난다.

### (3) 공용개시년도

공용개시년도를 나타난다.

#### (4) 설계지역구분

설계지역구분에서 도심부, 지방부 중 하나가 나타난다.

#### (5) 설계속도

80 ~120km/hr 까지의 설계속도 중 하나가 나타난다.

#### (6) 차로 수

선택된 차로 수가 나타난다.

### 14.8.2 교통량 연 증가율

초기년도의 교통량이 증가하지 않는 경우를 적용하기 위해서는 '증가율 미적용'을 선택하되, 교통량이 선형 또는 비선형으로 증가하는 경우를 적용하기 위해서는 '선형증가율' 또는 '비선형 증가율'을 선택하고 화면에 나타난 수식에서의 증가율을 추가적으로 입력한 후 '계산'을 선택한다. 향후 공용기간동안의 교통량에 대한 추정자료가 있을 경우에는 '교통량 추정자료'를 선택하여 공용기간 동안의 연단위 교통량을 입력하도록 한다.

#### (1) 증가율 미적용

교통량 증가율을 적용하지 않는다.

## (2) 비선형 증가율(%)

교통량 증가율을 비선형으로 증가 시킨다.

## (3) 선형 증가율(%)

교통량 증가율을 선형으로 증가 시킨다.

## (4) 교통수요 예측자료

해당 해에 조사된 자료로 교통량을 추정한다.

### 14.8.3 차종별 교통량

초기년도의 연평균일교통량(AADT)를 입력하고 '교통량 초기화'를 선택하면 위에서 선택된 교통량 연증가율 고려방법을 적용하여 공용기간동안 차종별 AADT가 연도별로 결정된다. 연도별 차종별 AADT는 <그림 8-1>의 8-3그림 부분의 화살표를 선택하여 확인할 수 있다.

#### (1) 기준 ADDT

기준 ADDT를 입력한다.

#### (2) 교통량 초기화

기준 ADDT기준으로 교통량을 계산한다.

### (3) 차종별 교통량 비율

계산된 교통량이 나타난다.

#### 14.8.4 교통량 환산 계수

통량 환산계수는 도로의 등급 및 차로의 수에 따라서 이미 결정되어 있는 DB값이 화면에 나타나지만, 특별한 경우에는 이를 수정하여 적용할 수 있다.

#### 14.8.5 시간별 교통량 비율

24시간대의 시간별 교통량 비율이 DB의 자료를 바탕으로 해당하는 도로에 대하여 나타난다.

### 14.9 차종/시간별 교통량 분석

다음 그림은 앞서 결정된 자료를 바탕으로 24시간대별 종별 교통량의 분포를 나타내고 있다. 연도별 분포의 변화는 그림의 화살표를 선택하여 확인할 수 있다.

| 차종/시간별 교통량 분석 |       |       |       |       |       |       |       |       |       |
|---------------|-------|-------|-------|-------|-------|-------|-------|-------|-------|
| 2011          |       |       |       |       |       |       |       |       |       |
| 시간별 교통량       | 1종    | 2종    | 3종    | 4종    | 5종    | 6종    | 7종    | 8종    | 9종    |
| 1시            | 270   | 17    | 52    | 44    | 13    | 8     | 7     | 3     | 0     |
| 2시            | 178   | 11    | 34    | 29    | 9     | 5     | 5     | 2     | 0     |
| 3시            | 130   | 8     | 25    | 21    | 6     | 4     | 3     | 1     | 0     |
| 4시            | 110   | 7     | 21    | 18    | 5     | 3     | 3     | 1     | 0     |
| 5시            | 123   | 8     | 24    | 20    | 6     | 4     | 3     | 1     | 0     |
| 6시            | 223   | 14    | 43    | 36    | 11    | 7     | 6     | 2     | 0     |
| 7시            | 452   | 34    | 107   | 90    | 27    | 17    | 15    | 6     | 1     |
| 8시            | 1104  | 68    | 214   | 178   | 53    | 33    | 29    | 11    | 2     |
| 9시            | 1227  | 76    | 238   | 199   | 59    | 37    | 33    | 13    | 2     |
| 10시           | 1614  | 82    | 198   | 164   | 49    | 30    | 27    | 10    | 2     |
| 11시           | 1650  | 85    | 203   | 170   | 50    | 31    | 28    | 11    | 2     |
| 12시           | 1040  | 64    | 202   | 169   | 50    | 31    | 28    | 11    | 2     |
| 13시           | 997   | 61    | 193   | 162   | 48    | 30    | 27    | 10    | 2     |
| 14시           | 1075  | 68    | 209   | 175   | 52    | 32    | 29    | 11    | 2     |
| 15시           | 1135  | 70    | 220   | 164   | 55    | 34    | 30    | 12    | 2     |
| 16시           | 1152  | 71    | 223   | 187   | 55    | 35    | 31    | 12    | 2     |
| 17시           | 1123  | 72    | 227   | 180   | 56    | 35    | 31    | 12    | 2     |
| 18시           | 1265  | 79    | 249   | 205   | 62    | 39    | 34    | 13    | 2     |
| 월별 교통량        | 1월    | 2월    | 3월    | 4월    | 5월    | 6월    | 7월    | 8월    | 9월    |
| 차량대수          | 27300 | 26400 | 29700 | 30500 | 30600 | 29700 | 27600 | 30300 | 32400 |
| 비율            | 0.84  | 0.81  | 0.92  | 0.95  | 0.94  | 0.92  | 0.85  | 0.94  | 1.00  |

<그림 14.17> 교통량 입력

## 14.9.1 시간별 교통량

차종에 따른 시간별 교통량을 나타낸다.

## 14.9.2 월별 교통량 입력

차량 대수, 비율에 따른 월별 교통량을 나타낸다. 월별 교통량 입력화면에서는 DB에 저장되어 있는 자료를 바탕으로 AADT의 월별 변화를 계산하여 나타낸다.

## 14.10 설계차로 교통량 분석

설계차로 교통량 분석에서는 방향계수와 차로계수가 고려된 실제 설계교통량이 환산되어 나타내어진다.

| 설계차로 교통량 분석  |       |       |       |       |       |       |       |       |       |
|--------------|-------|-------|-------|-------|-------|-------|-------|-------|-------|
| 2011         |       |       |       |       |       |       |       |       |       |
| 설계차로 시간별 교통량 |       |       |       |       |       |       |       |       |       |
| 구분           | 1중    | 2중    | 3중    | 4중    | 5중    | 6중    | 7중    | 8중    | 9중    |
| 1시           | 134   | 8     | 26    | 22    | 6     | 4     | 4     | 1     | 0     |
| 2시           | 88    | 5     | 17    | 14    | 4     | 3     | 2     | 1     | 0     |
| 3시           | 65    | 4     | 13    | 10    | 3     | 2     | 2     | 1     | 0     |
| 4시           | 54    | 3     | 11    | 9     | 3     | 2     | 1     | 1     | 0     |
| 5시           | 61    | 4     | 12    | 10    | 3     | 2     | 2     | 1     | 0     |
| 6시           | 110   | 7     | 21    | 18    | 5     | 3     | 3     | 1     | 0     |
| 7시           | 273   | 17    | 53    | 44    | 13    | 8     | 7     | 3     | 0     |
| 8시           | 547   | 34    | 106   | 89    | 26    | 16    | 15    | 6     | 1     |
| 9시           | 608   | 37    | 118   | 99    | 29    | 18    | 16    | 6     | 1     |
| 10시          | 502   | 31    | 97    | 81    | 24    | 15    | 13    | 5     | 1     |
| 11시          | 520   | 32    | 101   | 84    | 25    | 16    | 14    | 5     | 1     |
| 12시          | 515   | 32    | 100   | 84    | 25    | 15    | 14    | 5     | 1     |
| 13시          | 493   | 30    | 96    | 80    | 24    | 15    | 13    | 5     | 1     |
| 14시          | 533   | 33    | 103   | 86    | 26    | 16    | 14    | 5     | 1     |
| 15시          | 562   | 35    | 109   | 91    | 27    | 17    | 15    | 6     | 1     |
| 16시          | 570   | 35    | 111   | 93    | 27    | 17    | 15    | 6     | 1     |
| 17시          | 580   | 36    | 113   | 94    | 28    | 17    | 15    | 6     | 1     |
| 18시          | 637   | 39    | 123   | 103   | 31    | 19    | 17    | 7     | 1     |
| 설계차로 월별 교통량  |       |       |       |       |       |       |       |       |       |
| 구분           | 1월    | 2월    | 3월    | 4월    | 5월    | 6월    | 7월    | 8월    | 9월    |
| 차량대수         | 12474 | 12029 | 13662 | 14108 | 13959 | 13662 | 12623 | 13959 | 14850 |
| 비율           | 0.84  | 0.81  | 0.92  | 0.95  | 0.94  | 0.92  | 0.85  | 0.94  | 1.00  |

〈그림 14.18〉 설계차로 교통량 분석

### 14.10.1 설계차로 교통량

시간별 차종에 따른 설계차로 교통량을 나타낸다.

### 14.10.2 설계차로 월별 교통량

월별 차량대수 및 비율에 따른 설계차로 교통량을 나타낸다.

## 14.11 차축 구성

교통 차종 분류 (차축구성)에서는 네가지 축의 하중별 교통량을 계산하기 위하여 사용되는 차종의 하중별 교통량을 확인할 수 있다. 아래 그림은 차종별 단축 단륜, 단축복륜, 복축, 삼축의 개수를 나타내고 있으며, 각 차종의 그림을 선택하면 축간거리와 해당 차종의 하중별 비율을 아래 그림과 같이 확인할 수 있다.

| 차종               | 차축 구성  | 차축 구성도 | 축 구분 |      |      |      |
|------------------|--------|--------|------|------|------|------|
|                  |        |        | 단축단륜 | 단축복륜 | 복축복륜 | 삼축복륜 |
| 1종<br>(승용차/소형버스) | 2축 4륜  |        | 2    | 0    | 0    | 0    |
| 2종<br>(중형버스)     | 2축 6륜  |        | 1    | 1    | 0    | 0    |
| 3종<br>(대형버스)     | 2축 6륜  |        | 1    | 1    | 0    | 0    |
| 4종<br>(소형트럭 A)   | 2축 6륜  |        | 1    | 1    | 0    | 0    |
| 5종<br>(중형트럭 B)   | 3축 10륜 |        | 1    | 0    | 1    | 0    |
| 6종<br>(중형트럭 C)   | 4축 12륜 |        | 1    | 1    | 1    | 0    |
| 7종<br>(중형트럭 D)   | 5축 16륜 |        | 1    | 1    | 0    | 1    |
| 8종<br>(중형트럭 E)   | 4축 14륜 |        | 1    | 1    | 1    | 0    |
| 9종<br>(대형트럭 F)   | 4축 14륜 |        | 1    | 1    | 1    | 0    |
| 10종<br>(대형트럭 G)  | 5축 18륜 |        | 1    | 0    | 2    | 0    |
| 11종<br>(대형트럭 H)  | 5축 18륜 |        | 1    | 0    | 2    | 0    |
| 12종<br>(대형트럭 I)  | 6축 22륜 |        | 1    | 0    | 1    | 1    |

<그림 14.19> 교통 차종 분류

### 14.11.1 차종 분류

1 ~ 12종까지의 차종 정보를 나타낸다.

### 14.11.2 차축 구성

차축에 따른 차륜 구성에 대한 정보를 나타낸다.

### 14.11.3 차축 종류

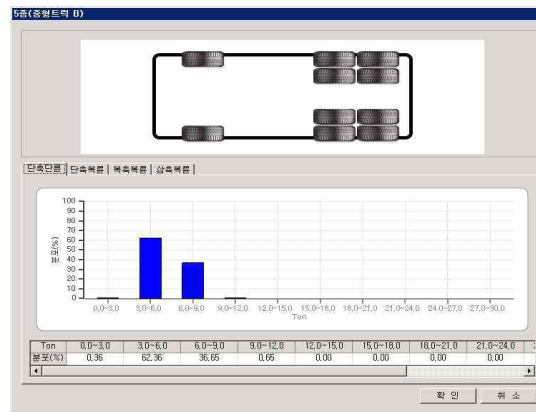
단축단륜, 단축복륜, 복축, 삼축 등 차축 종류를 나타낸다.

### 14.11.4 축하중 적용

기존의 축하중 정보를 초기화한다.

### 14.11.5 타이어그림

항목 11.5의 차축 구성을 선택 시 차축에 대한 정보 및 그래프가 나타난다.



<그림 14.20> 항목 11.1의 차축 구성을 선택 시 나타나는 차축에 대한 정보 및 그래프

## 14.12 교통량 해석

교통량 해석에서는 최종적으로 설계에 사용되는 네가지 축의 월별, 시간별, 하중별 차량 AADT를 예측해 계산한다. 공용기간 내의 이 AADT의 변화는 화살표를 선택하여 확인할 수 있다.

교통량 저장중...



〈그림 14.21〉 교통량 계산 프로세스

### 14.12.1 교통량 출력

교통 차종 분류에 의해 선택된 차종에 대해 교통량을 해석하여 나타낸다.

시간별 교통하중분석결과

2011

| 월 | 시간 | 축구분(Ton) | 0~3    | 3~6   | 6~9  | 9~12 | 12~15 | 15~18 | 18~21 |
|---|----|----------|--------|-------|------|------|-------|-------|-------|
| 1 | 1  | 단축단륜     | 44223  | 5935  | 988  | 52   | 0     | 0     | 0     |
|   |    | 단축복륜     | 4233   | 2654  | 2163 | 576  | 0     | 0     | 0     |
|   |    | 복축복륜     | 19     | 598   | 1021 | 471  | 436   | 729   | 365   |
|   |    | 삼축복륜     | 0      | 35    | 82   | 31   | 28    | 22    | 59    |
|   | 2  | 단축단륜     | 93242  | 12513 | 2094 | 110  | 0     | 0     | 0     |
|   |    | 단축복륜     | 8926   | 5595  | 4560 | 1214 | 0     | 0     | 0     |
|   |    | 복축복륜     | 41     | 1260  | 2152 | 994  | 920   | 1537  | 770   |
|   |    | 삼축복륜     | 0      | 75    | 172  | 65   | 58    | 46    | 124   |
|   | 3  | 단축단륜     | 58244  | 7816  | 1302 | 69   | 0     | 0     | 0     |
|   |    | 단축복륜     | 5576   | 3495  | 2948 | 758  | 0     | 0     | 0     |
|   |    | 복축복륜     | 25     | 787   | 1344 | 621  | 574   | 960   | 481   |
|   |    | 삼축복륜     | 0      | 47    | 107  | 41   | 36    | 29    | 77    |
|   | 4  | 단축단륜     | 121494 | 16305 | 2715 | 144  | 0     | 0     | 0     |
|   |    | 단축복륜     | 11631  | 7291  | 5942 | 1582 | 0     | 0     | 0     |
|   |    | 복축복륜     | 53     | 1642  | 2805 | 1295 | 1198  | 2002  | 1003  |
|   |    | 삼축복륜     | 0      | 97    | 224  | 85   | 76    | 60    | 161   |
|   | 5  | 단축단륜     | 136938 | 18377 | 3060 | 162  | 0     | 0     | 0     |
|   |    | 단축복륜     | 13109  | 8217  | 6697 | 1783 | 0     | 0     | 0     |
|   |    | 복축복륜     | 60     | 1851  | 3161 | 1460 | 1351  | 2257  | 1130  |
|   |    | 삼축복륜     | 0      | 110   | 253  | 96   | 85    | 68    | 182   |
|   | 6  | 단축단륜     | 72949  | 9790  | 1630 | 86   | 0     | 0     | 0     |
|   |    | 단축복륜     | 6983   | 4377  | 3568 | 950  | 0     | 0     | 0     |
|   |    | 복축복륜     | 32     | 986   | 1694 | 778  | 720   | 1202  | 602   |
|   |    | 삼축복륜     | 0      | 58    | 135  | 51   | 45    | 36    | 97    |
| 2 | 1  | 단축단륜     | 42643  | 5723  | 953  | 50   | 0     | 0     | 0     |

< 이전단계      다음단계 >

〈그림 14.22〉 교통량 해석

## 14.13 재료물성 입력

‘재료물성 입력창’에서는 예비단면에서 결정된 포장층과 각층의 두께에 대한 재료를 선택하고 설계등급에 따라서 해당하는 재료물성값을 입력한다. 설계등급 1에서는 실내실험을 수행하여 탄성계수와 같은 역학적 물성을 직접 입력하고, 설계등급 2에서는 역학적 물성을 추정할 수 있는 실험결과를 입력하는 것을 기본으로 한다.

✱ 재료물성입력

| 구분   | 두께(m) | 재료        | 물성입력 |
|------|-------|-----------|------|
| 표층   | 0.11  | 아스팔트 콘크리트 | 입력   |
| 중간층  | 0.00  | 아스팔트 콘크리트 | 입력   |
| 기층   | 0.15  | 아스팔트 콘크리트 | 입력   |
| 보조기층 | 0.20  | 입상재료      | 입력   |
| 노상   |       | 입상재료      | 입력   |

아스팔트 콘크리트 포장 단면도 ▾  
[단위: m]



< 이전단계
다음단계 >

〈그림 14.23〉 재료물성 입력

이 화면에서는 각 포장층별 재료물성입력 버튼을 클릭해 반듯이 적절한 재료물성을 입력하고 확인 버튼을 클릭해 입력해야 제대로 공용성 해석이 수행됨에 주의한다.

## 14.13.1 표층(아스팔트층) 재료물성입력

### (1) 기본사항

| 항목                  | 값        |
|---------------------|----------|
| 포장재료선택(DB활용)        | [선택된 항목] |
| 골재입도                | 밀입도 20mm |
| 아스팔트종류              | PG64-22  |
| 20mm 누적 잔류율(%)      | 0        |
| 9.5mm 누적 잔류율(%)     | 17       |
| 2.5mm 누적 잔류율(%)     | 41       |
| 0.075mm 통과율(%)      | 5        |
| A                   | 10.98    |
| VTS                 | -3.68    |
| 아스팔트 유효 함량(Verf)(%) | 10.1     |
| 공극률(%)              | 8        |
| 아스팔트 함량(%)          | 5.1      |

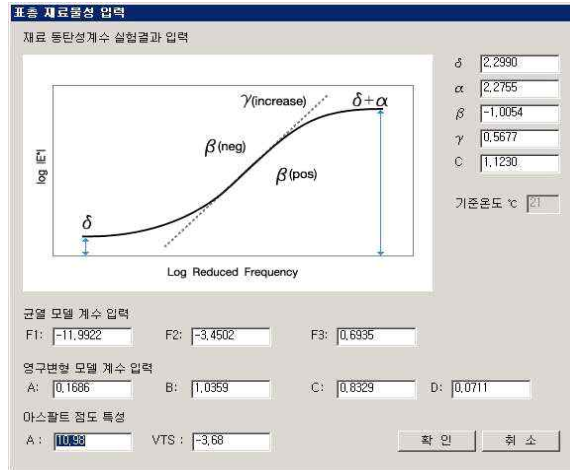
〈그림 14.24〉 재료물성 입력

표층재료의 경우, 일부 혼합물의 대해서는 이미 설계등급 1수준의 실험이 완료되어 있으므로 설계등급 2일지라도 이들 혼합물을 선택하여 설계를 수행할 경우에는 추가적인 실험비용 없이 포장재료선택(DB)활용을 선택해 설계를 진행할 수 있다. 실험이 진행된 아스팔트 표층의 골재는 밀입도 13mm, 밀입도 19mm, 갭입도 13mm이며, 바인더는 PG58-22, PG64-22, PG76-22가 있다. 중간층의 재료는 표층의 재료와 동일한 재료를 사용하는 것으로 가정된다. 아스팔트 기층의 경우, 골재는 밀입도 25mm에 대해서, 바인더는 PG64-22에 대하여 실험이 진행되어 있어 이를 활용할 수 있다.

### (2) 포장재 재료물성 - 설계등급1

설계등급 2에서 제시된 골재와 바인더가 DB에 없는 혼합물을 이용한 설계 등급 1일 경우 아스팔트 포장의 설계는 동탄성 계수 실험을 통하여 아래 알파

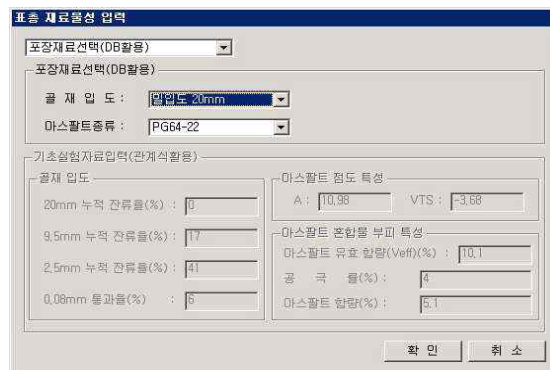
( $\alpha$ , 베타( $\beta$ ), 감마( $\gamma$ ), 델타( $\delta$ ))를 결정한 후 이를 입력하도록 한다. 또한 균열, 영구변형 및 아스팔트 정도에 관한 정보를 입력해야 하는데 이는 의뢰한 시험기관이나, '설계요령'을 참고하여 입력토록 한다.



〈그림 14.25〉 재료물성 입력

### 14.13.2 포장재 재료물성 - 설계등급2

DB에 있는 혼합물을 이용한 설계등급 2 아스팔트 콘크리트 포장의 설계 경우에는 아래와 같이 재료물성 창의 기본사항 탭에서 골재와 바인더를 선택한다. 아스팔트 기층은 아스팔트 표층과 동일한 절차를 따른다.



〈그림 14.26〉 포장재료물성 입력창

아스팔트의 점도와 골재 입도에 대한 입력값이 기본사항에서 선택된 PG등급에 따라서 다음 그림과 같이 자동으로 입력된다. 유효 공극률과 아스팔트함량의 디폴트값에 수정사항이 있을 경우 별도로 입력한다.

기본적으로 설계등급 2에서는 설계등급 1의 곡선을 추정하기 위한 추정식을 사용하여, 이 추정식에 필요한 정보는 포장재 재료물성 탭에 나타난 바와 같이 골재입도특성, 아스팔트 점도특성, 아스팔트 혼합물의 부피특성이므로 이를 측정할 수 있는 실험을 수행하여 입력하도록 한다.

〈그림 14.27〉 재료물성 입력

### 14.13.3 기층 재료물성입력

#### (1) 기본사항

기층은 아스팔트 기층과 쇄석 기층 종류로 나뉘지며, 종류를 선택하고 물성 입력을 할 경우 다음과 같이 다른 종류의 폼에서 물성을 입력받게 된다. 아스팔트 기층의 경우 쇄석 기층 재료를 제외하고는 입력 값은 표층과 동일하다. 설계 등급 1과 2의 입력받는 물성 종류가 다름에 주의 한다.

〈그림 14.28〉 아스팔트 기층 재료물성입력

아스팔트 기층은 골재 종류와 입도, 바인더 종류와 함량의 기초물성 값을 입력하고 기본 디폴트 값이 입력되어 있는 자료에 대해 수정사항이 있을 경우 별도로 입력 한다.

쇄석 기층일 경우는 최대건조중량과 같은 기초물성 값을 입력하고 기본 디폴트 값이 입력되어 있는 자료에 대해 수정사항이 있을 경우 별도로 입력한다.

〈그림 14.29〉 쇄석기층 재료물성입력

## (2) 포장재 재료물성 - 설계등급1

표준 재료물성 입력  
재료 동탄성계수 실험결과 입력

Log Delta vs. Log Reduced Frequency graph showing parameters:  $\gamma$  (increase),  $\beta$  (neg),  $\beta$  (pos),  $\delta$ , and  $\delta + \alpha$ .

입력값:

- $\delta$ : 2.2990
- $\alpha$ : 2.2755
- $\beta$ : -1.0054
- $\gamma$ : 0.5677
- C: 1.1230
- 기준온도  $t_c$ : 21

균열 모델 계수 입력

- F1: -11.9922
- F2: -3.4502
- F3: 0.6935

영구변형 모델 계수 입력

- A: 0.1686
- B: 1.0359
- C: 0.8329
- D: 0.0711

아스팔트 점도 특성

- A: 10.98
- VTS: -3.68

확인 취소

〈그림 14.30〉 설계등급1에서의 기층 재료물성입력

아스팔트 기층에 대한 설계등급 1에 대한 재료 물성을 입력한다. 재료물성은 실험을 통해 직접 입력을 해야 한다.

## (3) 포장재 재료물성 - 설계등급2

기층 재료물성 입력

기층재료선택(관계식활용)

포장재료선택(DB활용)

- 골재입도: 말입도 25mm
- 아스팔트종류: PG64-22

기초실험자료입력(관계식활용)

골재입도

- 20mm 누적 잔류율(%): 19.5
- 9.5mm 누적 잔류율(%): 41.5
- 2.5mm 누적 잔류율(%): 56
- 0.075mm 통과율(%): 4

아스팔트 점도 특성

- A: 10.98
- VTS: -3.68

아스팔트 혼합물 부피 특성

- 아스팔트 유효 함량( $V_{eff}$ )(%): 8.2
- 공극률(%): 4
- 아스팔트 함량(%): 5.1

확인 취소

〈그림 14.31〉 설계등급2에서의 기층 재료물성입력

아스팔트 기층에 대한 아스팔트의 점도와 골재 입도에 대한 입력 값이 기본 사항에서 선택된 PG등급에 따라서 자동으로 입력된다. 또한 유효 공극률과 아스팔트함량의 디폴트값에 수정사항이 있을 경우 별도로 입력한다.

### 14.13.4 보조기층 재료물성입력

다음은 보조기층에서 탄성계수를 예측하기위하여 필요한 물성을 나타내고 있으며, 이들 값은 지정된 실험을 수행하여 얻도록 한다.

#### (1) 기본사항

보조기층 재료물성 입력

기본실험자료

최대 건조단위 중량(kN/m<sup>3</sup>) : 49.58      균 등 계 수 : 30

#4체 통과율(%) : 45      최적함수비(%) : 6.2

모형 계수 산정

탄성계수모형

$$E = K_1 + K_2 \theta \quad (E : \text{MPa}, \theta : \text{kPa})$$

K<sub>1</sub> : 80.83      K<sub>2</sub> : 0.3

확인      취소

〈그림 14.32〉 보조기층 재료물성입력

기본 디폴트 값이 입력되어 있는 자료에 대해 수정사항이 있을 경우 별도로 입력 한다.

### 14.13.5 노상층 재료물성입력

다음은 노상층에서 탄성계수를 예측하기위하여 필요한 물성을 나타내고 있으며, 이들 값은 지정된 실험을 수행하여 얻도록 한다.

### (1) 기본사항

노상 재료물성 입력

기초실험자료

노상도 구분 : 노상도

최대단위조건중량(kN/m³) : 19.62    균 등 계 수 : 14.5    #200체 통과율(%) : 8

소성지수(PI) : 6    최적함수비(%) : 10.5

모형 계수 산정

탄성계수모형

$$E = K_1 \theta^{K_2} \sigma_d^{K_3} \quad (E : \text{MPa}, \theta : \text{kPa}, \sigma_d : \text{kPa})$$

K<sub>1</sub> : 130.32    K<sub>2</sub> : 0.34    K<sub>3</sub> : -0.4

확인    취소

〈그림 14.33〉 노상층 재료물성입력

기본 디폴트 값이 입력되어 있는 자료에 대해 수정사항이 있을 경우 별도로 입력 한다.

### (2) 덧씌우기층 재료물성입력

과업 정보 입력시 포장 설계 구분에서 신설이 아닌 덧씌우기로 선택하였을 경우 FWD 측정값 등을 입력해야 한다. 기존 표층 재료물성과 관련된 값을 입력한다.

### (3) 기본사항

기존포장 재료물성 입력

FWD 입력

하중크기: 4000 kg    시험온도: 20.00 °C    결삭두께: 0.00 cm

센서별 처짐값(micro centi-meter)

| 센서값 | D1    | D2    | D3    | D4    | D5   | D6   | D7   |
|-----|-------|-------|-------|-------|------|------|------|
|     | 18.72 | 15.42 | 13.26 | 10.41 | 8.13 | 4.83 | 1.73 |

확인    취소

〈그림 14.34〉 기존포장 재료물성 입력

하중 크기와 시험온도, 절삭두께를 입력하고, 센서별 처짐 값을 입력한다. 기본 디폴트 값이 입력되어 있는 자료에 대해 측정 후 수정사항이 있을 경우 별도로 수정하고 확인을 누른다.

## 14.14 동상방지층 설계

〈그림 14.35〉 현장조건

### 14.14.1 현장조건

#### (1) 현장조건

- 1) 성토부 높이 H(m)
  - 성토부 높이를 입력한다.

## (2) Tip

성토부 높이에 대한 Tip 정보가 나타난다.

### 14.14.2 토질조건

동상방지층 설계

토질조건

0.08mm 통과량(%) :

소성지수 (PI) :

0.08mm 통과량

- ◆ 노상토 재료의 0.08mm 통과량을 입력합니다.
- ◆ 통과량 25% 이상일 경우 동상의 영향으로 동상방지층이 필요합니다.

소성지수 (PI)

- ◆ 노상토 재료의 소성지수(PI)를 입력합니다.
- ◆ 소성지수가 10 이상일 경우 동상의 영향으로 동상방지층이 필요합니다.

< 이전단계

다음단계 >

〈그림 14.36〉 토질조건

## (1) 토질조건

- 1) 0.08mm 통과량(%)
  - 0.08mm 통과량을 표시한다.
- 2) 소성지수(PI)
  - 소성지수를 표시한다.

## (2) Tip

0.08mm 통과량 및 소성지수의 Tip 정보를 확인한다.

### 14.14.3 동결심도입력

<그림 14.37> 동결심도입력

#### (1) 계수결정

- 1) 건조단위중량
  - 건조단위 중량을 표시한다.
- 2) 함수비(%)
  - 5, 20 중 하나를 함수비로 표시한다.
- 3) 노상토와 기층의 함수비
  - 0.6 ~ 3.0 사이의 노상토와 기층의 함수비를 표시한다.

#### (2) Tip

동결심도입력에 관한 Tip를 확인한다.

## 14.14.4 동결심도 산정

☰ 동상방지층 설계

동결깊이 산정

| 적용속후소      | 속후소표고(m) | 설계최대표고(m) | 동결지수(°C) | 동결기간(일) | 수정동결지수(°C일) |
|------------|----------|-----------|----------|---------|-------------|
| 서울, 인천, 수원 | 64       | 0         | 401.33   | 79      | 376.14      |

설계동결깊이 산정(노상동결관입 허용법)

a = 설계 동결관입깊이(cm)

p = 콘크리트 포장의 슬래브 두께 또는 아스팔트 포장의 아스팔트 혼합물층 두께(cm)

c = 비동결성 재료 치환 최대깊이(cm)

b = 비동결성 재료층 두께(cm)

| 적용속후소      | a     | p    | c    | b    | p + b | 동결깊이 |
|------------|-------|------|------|------|-------|------|
| 서울, 인천, 수원 | 113.6 | 26.0 | 87.6 | 58.6 | 84.6  | 84.6 |

▶ 설계 동결 깊이 84.6cm > 포장두께 46cm 이므로 동상방지층 적용이 필요함.

< 이전단계
다음단계 >

〈그림 14.38〉 동결심도 산정

### (1) 동결깊이 산정

수정동결 지수선정의 정보를 나타낸다.

### (2) 설계동결깊이 산정(노상동결관입 허용법)

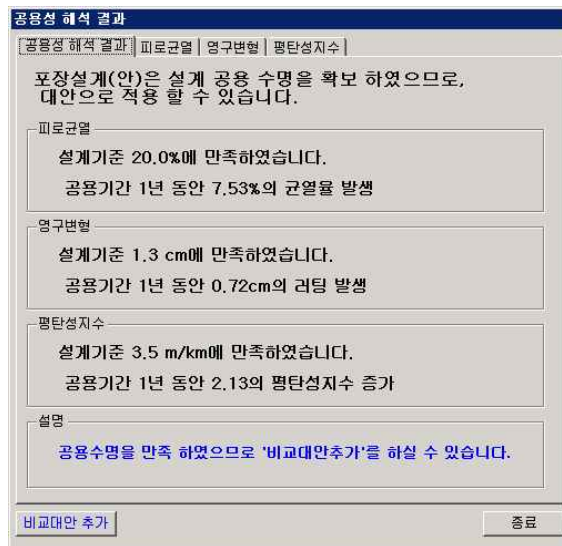
설계동결깊이 산정(노상동결관입 허용법)의 정보를 나타낸다.





## 14.16.1 공용성 해석 결과

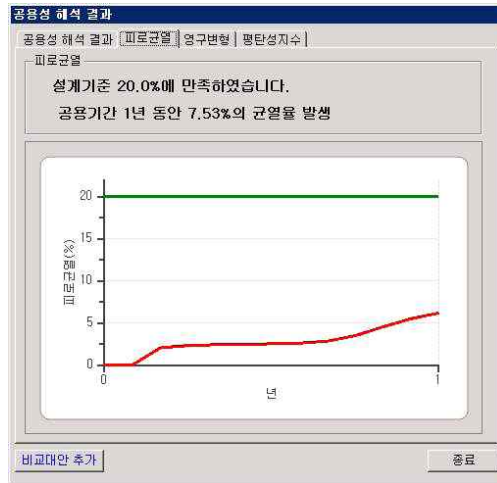
해석이 종료되면 주어진 단면과 재료가 공용성 기준을 통과하는지에 대한 검토결과가 나타내어지는데, 기준을 통과하지 못하는 경우에는 주어진 결과에 따라서 단면 및 재료를 조정하여 다시 공용성 해석을 수행하도록 한다. 기준을 통과한 경우에는 대안추가를 통하여 같은 조건에서 단면 및 재료를 수정하여 '대안비교'를 수행할 수 있다. 다음 그림은 특정조건에 대한 공용성 해석 결과를 나타내고 있다.



〈그림 14.42〉 공용성 모형 결과

종합적인 해석결과 이외에 시간에 따른 균열, 영구변형, IRI의 추이를 확인하기 위해서는 각 해당 탭을 선택할 수 있으며, 다음 그림은 해당 공용성 기준에 대한 해석결과를 구체적으로 나타내고 있다. 피로균열, 영구변형, 평탄성에 대한 공용성 모형 결과이다.

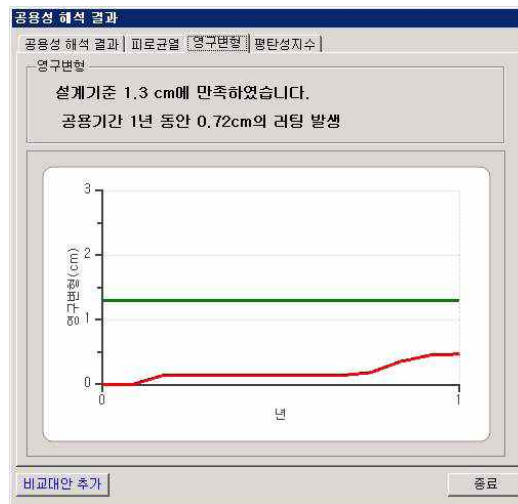
## 14.16.2 피로균열 분석결과



〈그림 14.43〉 피로균열 결과

공용성 분석 중 피로균열에 대한 분석을 그래프로 표현한 것이다.

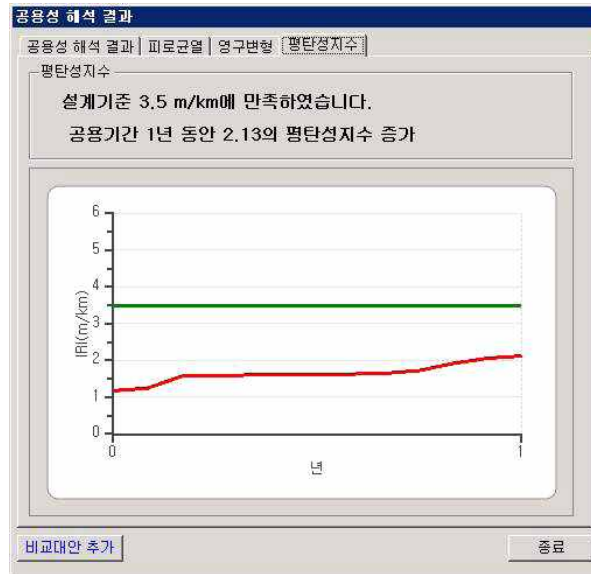
## 14.16.3 영구변형 분석결과



〈그림 14.44〉 영구변형 결과

공용성 분석 중 영구변형에 대한 분석을 그래프로 표현한 것이다.

## 14.16.4 평탄성지수 분석 결과



〈그림 14.45〉 평탄성지수 결과

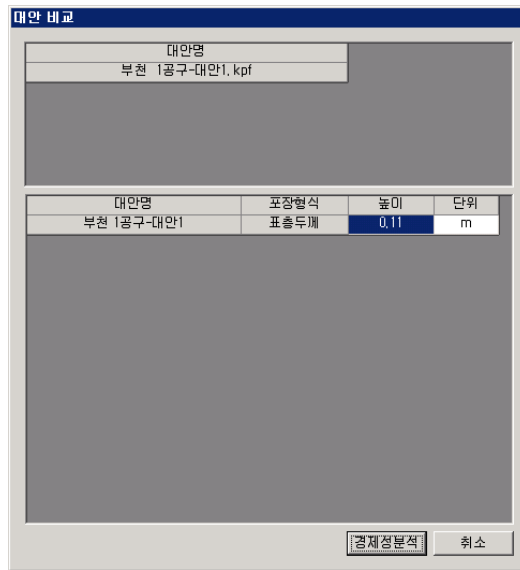
공용성 분석 중 평탄성지수에 대한 분석을 그래프로 표현한 것이다.

## 14.16.5 비교대안 추가

비교 대안을 추가 할 수 있다.

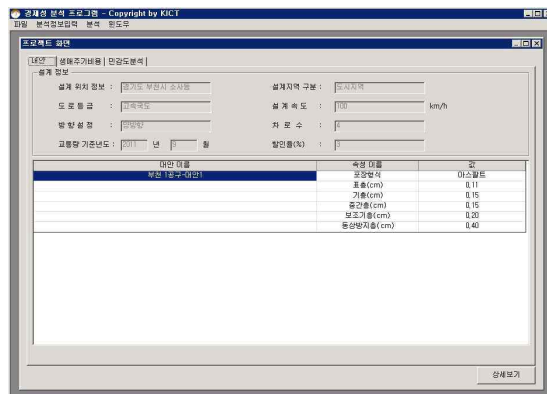
## 14.16.6 대안 비교

공용기준을 통과한 대안은 서로 비교될 수 있으며, 이는 '경제성 분석'을 선택하여 진행할 수 있다. 다음 그림은 공용성 기준을 만족시키는 두 대안에 대한 비교를 나타낸 것으로, 포장의 단면에 대한 비교이외에 현재가치로 환산된 비용을 비교할 수 있다.



〈그림 14.46〉 대안 비교

경제성분석 버튼을 눌러 경제성분석 프로그램을 호출해 실행할 수 있다. 이 경우 경제성분석을 위한 별도의 프로그램이 실행되며, 다음과 같은 경제성 분석 결과를 볼 수 있다. 만약, 분석 결과를 자세히 보고자 한다면 ‘상세보기’버튼을 눌러 사용자 비용 등이 어떻게 계산되었는지 중간 계산 결과를 볼 수 있으며, 메뉴의 보고서 출력을 통해 계산 결과를 출력할 수 있다. 계산 과정에 대한 내용을 알고 싶다면, 지침서를 참고하길 바란다.



〈그림 14.47〉 경제성 분석 화면

보고서 출력 버튼을 누르면 최종적으로 설계대안에 대한 입력 값과 설계의 결과 값이 기본 기하구조 및 입력 값들과 함께 다음과 같이 보고서 형식으로 출력된다.

결과 보고서

### 제3 경인고속도로 설계 보고서

작성일자 : 2011년 9월 28일

작성기관 : 중앙 엔지니어링

#### 1. 과업 정보

- 1.1 노 선 명 : 제3 경인고속도로
- 1.2 과 업 명 : 부천 1공구
- 1.3 설계 일자 : 2011년 9월 28일
- 1.4 시점 / 종점 : 시점 / 종점
- 1.5 연 장 :
- 1.6 도로 구분 : 고속국도 / 도시지역
- 1.7 설계 속도 : 100km/h
- 1.8 공용 기간 : 1년
- 1.9 설계 등급 : 설계 등급 2
- 1.10 포장 형식 : 아스팔트 콘크리트
- 1.11 교통 계방 일자 : 2011년 9월 28일
- 1.12 기상관측소 : 서 울, 인 천, 수 원

#### 2. 설계 정보

- 2.1 차로 설정
  - (1) 차로수 : 양방향 4차로
  - (2) 차로폭 : 3.6m
- 2.2 길어깨 설정
  - (1) 길어깨 종류 : 아스팔트 콘크리트

1 / 22

<그림 14.48> 아스팔트 콘크리트 포장 구조 설계 보고서

## 부록 15. 시멘트 콘크리트 포장설계(예)

### 15.1 일반사항

도로포장 구조 설계 프로그램의 실행환경은 다음과 같다.

지원 O/S : Windows 2000, Windows XP, Windows 7 32비트

필수 설치 소프트웨어 : Microsoft Office 2003 이상(MS Access 포함)

지원 언어 : 한글(영문 O/S는 지원하지 않음.)

도로포장 구조 설계 프로그램을 실행하면, 개발기관 및 프로그램 버전을 확인할 수 있는 ‘초기화면 창’이 나타난다. 이 후 프로그램 사용자 인터페이스 화면 구성은 크게 포장단면, 온도조건, 교통조건, 포장물성과 같은 설계 조건을 입력할 수 있는 ‘설계 입력창’, 시간에 따른 포장 공용성의 변화를 나타내는 ‘공용성 그래프 창’, 결과 및 설계대안을 경제성 분석을 통해 비교할 수 있는 ‘대안비교창’ 및 전체적인 설계결과를 확인할 수 있는 ‘보고서 확인창’으로 구성되어 있다.

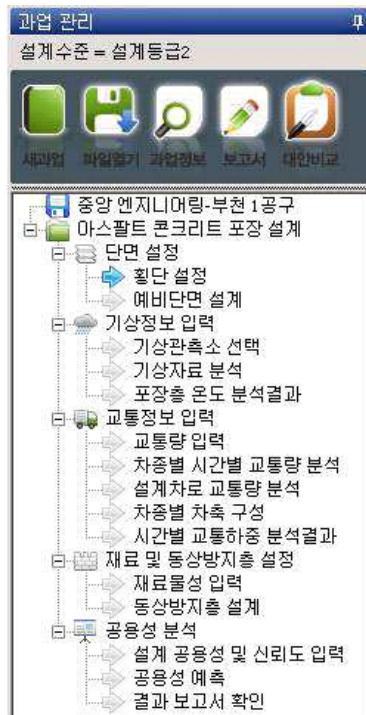
처리 순서는 항상 인터페이스 화면 구성 순서대로 처리되어야 올바른 공용성 해석 결과를 얻을 수 있다. 예를 들어 포장단면의 두께를 수정하거나, 기상관측소를 변경하였다면 포장온도를 반듯이 해석해야 한다. 마찬가지로 AADT와 같은 교통조건이 변경되면 교통량 해석을 해야 한다. 인터페이스 화면은 워저드 화면처럼 구성되어 있으므로 ‘다음’버튼을 눌러 이런 작업들을 순차적으로 손쉽게 해석, 계산, 실행시킬 수 있다. 그러므로 어느 입력 화면의 내용을 중간에 수정한다면, 공용성 해석까지 ‘다음’버튼을 눌러 이와 관련된 해석을 수행시키도록 해야 한다.

다음은 개발기관과 버전을 확인할 수 있는 ‘초기화면 창’을 나타내고 있다.



〈그림 15.1〉 초기화면창

초기화면 창이 나타난 후에는 다음 그림과 같은 ‘과업 관리창’이 나타난다. 이 창에서는 설계의 기본적인 단위인 ‘과업’을 생성하거나 할 수 있으며 과업을 설계등급, 포장의 종류를 확인할 수 있다. 과업은 데이터베이스 파일 단위로 관리되며(MDB Access 파일임), 수정할 수도 있다.



〈그림 15.2〉 과업 관리창

새로운 과업을 생성할 경우에는 '새 과업'를, 기존의 과업을 확인하거나 수정하기 위해서는 '과업 열기'를 선택하며, 과업을 삭제하기 위해서는 "과업삭제"를 선택하고 해당 과업을 선택한다.

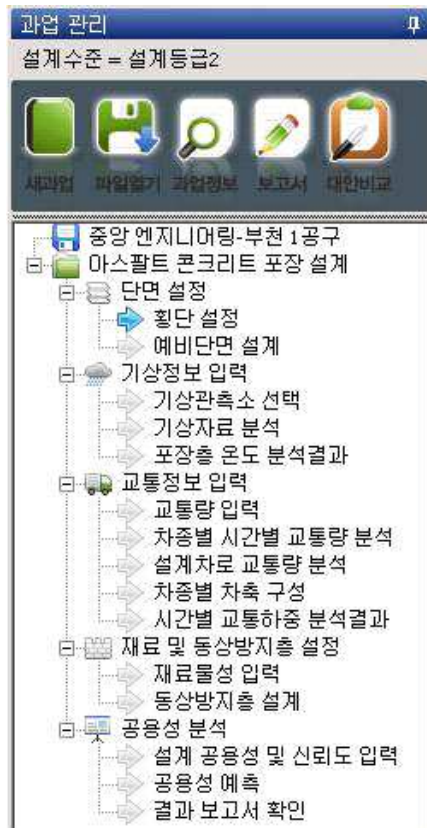
구조 설계 프로그램 실행 시에는 다음 그림과 같은 입력창이 나타나게 되며, 창의 입력 내용은 메뉴 진행 순서에 따라 다르게 제시된다. 메뉴는 포장 단면 입력부터, 기상 정보 입력, 교통 정보 입력, 포장 재료 입력, 해석 메뉴 순서로 되어 있으며, 입력창의 다음단계 버튼을 누르면 다음 단계로 진행되며, 이전단계 버튼을 누르면 이전 단계로 돌아가게 된다. 도로포장 구조 설계를 위한 입력 자료는 화면의 다음단계 버튼을 눌러 순서대로 입력해야 마지막 단계에서 공용성 해석이 수행되며 제대로 된 포장 해석 결과를 얻을 수 있다.



〈그림 15.3〉 프로그램 실행 시 입력창 모습

## 15.2 새 과업

해석 프로그램에 사용되는 모든 입력, 분석 데이터는 과업 데이터베이스 파일에 보관되며, 이를 위해 과업 파일을 생성해야 한다.



〈그림 15.4〉 과업 관리창

### 15.2.1 새 과업

새 과업을 버튼을 클릭하여 과업을 생성한다. 새 과업에서는 과업 정보, 기하 구조, 교통량, 환경조건, 재료조건 및 공용성 기준을 새롭게 입력한다.

### 15.2.2 과업 열기

과업 열기 버튼을 클릭하여 기존의 과업을 선택해서 사용한다. 기존의 과업을 수정해서 설계를 할 경우에는 목록에서 해당하는 과업을 선택한다. 기존의 조건에서 크게 다르지 않은 조건을 설계할 경우에 활용할 수 있다.

### 15.2.3 과업 정보

과업 정보 입력창에서는 주로 설계자나 검토자가 설계 과업의 특징을 확인할 수 있는 일반적인 정보를 입력하지만, 공용기간, 설계등급, 설계속도, 설계지역 등은 실제 설계도로에 사용되는 계수나 입력변수의 형태에 영향을 미치므로 주의해서 입력하도록 한다. 또한 ‘과업 명’은 저장되는 과업의 파일이름이 되므로 기존과업 명과 중복되지 않도록 지정한다. 설계등급 1에서는 보다 신뢰성 높은 결과를 제시하는 반면에 구체적인 실험 결과를 요구하는 반면, 설계등급 2에서는 필요한 입력 값을 추정할 수 있는 단순한 실험 결과를 요구하는 반면 설계 등급 1보다는 다소 낮은 결과를 제시하므로, 설계하고자하는 도로의 등급을 선택할 경우에는 아래 설명창의 내용을 참고하여 결정하도록 한다. 이상의 과정은 아스팔트 콘크리트 포장 설계와 시멘트 콘크리트 포장 설계가 동일하게 적용된다.

| 기본 정보  |            |
|--------|------------|
| 노선명    | 제3차원고속도로   |
| 과업명    | 부천 1공구     |
| 작성기관   | 중앙엔지니어링    |
| 설계일자   | 2011-09-28 |
| 교통개발일자 | 2011-09-28 |

| 설계정보       |      |
|------------|------|
| 시점         | 시점   |
| 종점         | 종점   |
| 면장(km)     | 10   |
| 도로구분       | 고속국도 |
| 도시지역       | 도시지역 |
| 설계속도(km/h) | 100  |

| 설계등급 및 포장 선택 |           |
|--------------|-----------|
| 공용기간         | 3         |
| 설계등급         | 2         |
| 포장형식         | 아스팔트 콘크리트 |
| 포장설계구분       | 신설        |

〈그림 15.5〉 과업 정보 입력

### (3) 기본 정보

- 1) 노선명
  - 노선명을 입력한다.
- 2) 과업 명
  - 과업 명을 입력한다.
- 3) 작성기관
  - 작성 기관을 입력한다.
- 4) 작성일자
  - 작성 일자를 입력한다.

### (4) 설계정보

- 1) 도로구분 및 설계속도
  - 도로구분 및 설계속도를 입력한다.
- 2) 시점
  - 설계시점을 입력한다.
- 3) 종점
  - 설계종점을 입력한다.

### (5) 설계 등급 및 포장 선택

설계 등급 및 공용 기간, 포장 형식을 입력한다.

## 15.2.4 포장선택

아스팔트 콘크리트 포장 설계의 경우, 아스팔트 콘크리트를 선택하며 시멘트 콘크리트 포장의 경우 시멘트 콘크리트를 선택한다. 시멘트 콘크리트 포장은

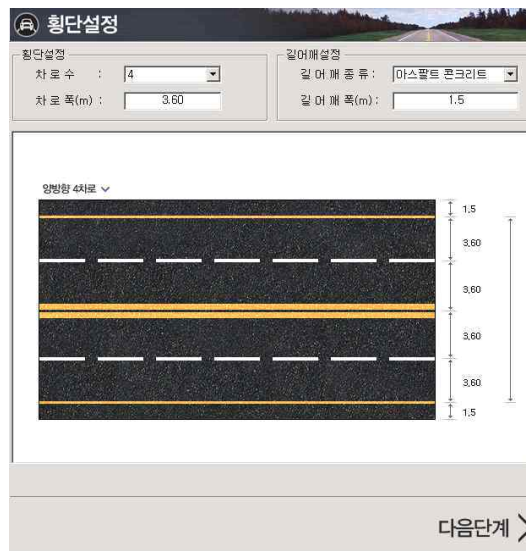
JCP와 CRCP가 있으며, 이에 따라 재료물성에 대한 입력방식이 달라진다. 재료물성 입력시 JCP는 바인더종류를 입력 받지만, CRCP는 철근정보와 종결시 온도와 같은 정보를 입력 받게 된다. 아래 그림은 콘크리트 포장을 선택한 경우를 나타내고 있다. 이 매뉴얼은 일반적으로 사용되는 JCP를 중심으로 인터페이스를 설명 한다.



〈그림 15.6〉 포장 선택

### 15.3 횡단설정

차로 및 길어깨 설정 창에서는 설계하고자 하는 포장의 차로수와 각 차로의 폭, 길어깨의 종류와 길어깨의 폭을 결정한다. 차로수와 차로 폭은 차로계수 등 교통량 산정에 영향을 미치므로 주의해서 선택한다.



〈그림 15.7〉 횡단설정

### 15.3.1 횡단설정

#### (1) 차로 수

2 ~ 8차선을 차로수를 선택한다.

#### (2) 차로 폭(m)

차로 폭을 선택한다.

### 15.3.2 길어깨 설정

#### (1) 길어깨 종류

아스팔트나 콘크리트를 선택한다.

#### (2) 길어깨 폭(m)

0.25 ~ 3.00 사이의 길어깨 폭을 선택한다.

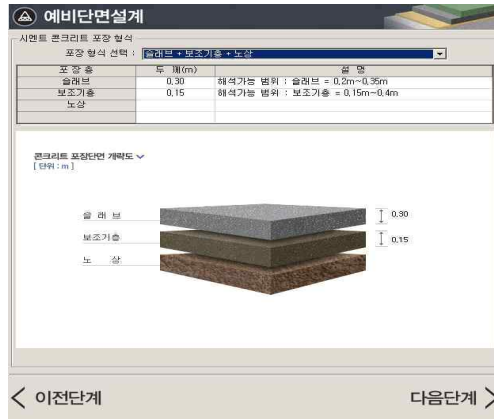
#### (3) 설계지역

설계지역을 선택한다.

## 15.4 예비단면 설계

예비단면 설계창에서는 설계하고자 하는 포장층 종류를 선택하고, 설계 단면의 포장의 각층의 두께를 입력한다. 단위는 m이다. 차후 재료물성 입력창에서

선택된 포장층 종류에 따라 각 포장층 재료물성을 입력하게 되므로 이를 고려해 선택하도록 한다.



〈그림 15.8〉 예비단면 설계

### 15.4.1 포장층 선택

#### (1) 슬래브 + 보조기층 + 노상

노상 + 보조기층 + 슬래브를 선택한다.

#### (2) 슬래브 + 노상 + 린콘크리트

노상 + 린콘크리트 + 슬래브를 선택한다.

#### (3) 슬래브 + 아스팔트 기층 + 보조기층 + 노상

노상 + 보조기층 + 아스팔트 기층 + 슬래브를 선택한다.

#### (6) 슬래브 + 린콘크리트 + 보조기층 + 노상

노상 + 보조기층 + 린콘크리트 + 슬래브를 선택한다.

## 15.4.2 포장층 두께 입력

포장층 선택에 따른 포장층 두께를 입력한다. 포장층 두께 입력의 메뉴는 포장층 선택에 따라 달라진다.

## 15.4.3 포장단면개략도

포장층 선택과 포장층두께 입력에 의한 포장단면 개략도가 나타난다.

## 15.5 기상관측소 선택

기상관측소 선택창에서는 설계지역에 존재하는 기상관측소를 선택한다. 기상관측소는 '기상관측소 선택' 버튼을 선택하여 진행하며, GIS, 경위도탐색, 좌표탐색 등 3가지 방법을 이용하여 기상관측소를 선택할 수 있다.



<그림 15.9> 기상관측소 선택

## 15.5.1 기본정보

선택된 기상 관측소가 표시된다.

## 15.5.2 기상관측소

기상관측소 선택 시 일반적으로 선택된 지역에서 최단거리 3개소의 기상관측소를 선택하는 것이 바람직하나, 최단거리 1개소를 선택할 수도 있다. 다음 그림은 지도를 이용하여 설계하고자하는 지역을 선택하는 방법을 나타내고 있는데, 마우스 오른쪽 버튼을 클릭하여 나오는 메뉴에서 'Pan'을 선택하여 지도를 이동시킬 수 있다. 원하는 지역이 화면에 나타나면 다시 마우스 오른쪽 버튼을 클릭하여 나오는 메뉴에서 위도, 경도 선택을 한 후 해당지점을 마우스 왼쪽 클릭한다. 이때 선정된 지역에 따라 적용동결지수가 자동으로 결정되며, 이는 뒤의 동상방지층 결정에 활용된다.

### (1) 기상관측소 선택

GIS 탐색 | 경위도 탐색 | 좌표입력

설계목적용 기상관측소 정보

| 기상관측소 | 동경       | 북위      | 거리(Km) | 통과기간(일) |
|-------|----------|---------|--------|---------|
| 서울    | 126° 58' | 37° 34' | 0      | 80      |
| 인천    | 126° 38' | 37° 28' | 31.49  | 78      |
| 수원    | 126° 59' | 37° 16' | 33.32  | 79      |

수정동결지수  
설계노선 최고표고(m): 0  
수정동결지수(°C 일): 377.81

기상관측소 변경

< 이전단계      다음단계 >

<그림 15.10> 기상관측소 선택

## 가. 입력선택

경위도 입력, 좌표입력, 기상관측소 입력방식을 선택한다. 경위도 입력선택 시 동경과 북위를 입력한다. 좌표 입력 선택 시 좌표를 입력한다. 기상관측소 변경 시 기상관측소를 선택한다.

## 나. 기상관측소 옵션

옵션에서 기상관측소를 1~3까지 선택한다.

## 다. 수정동결지수

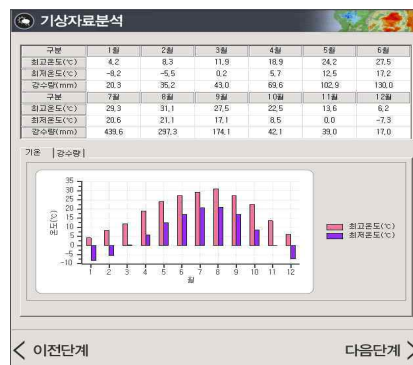
설계노선 최고 표고를 입력하면 수정동결지수가 계산된다.

## (2) Tip

여기에서 선택된 측후소는 포장 온도 해석에 영향을 미친다.

## 15.6 기상자료

측후소를 선택하면 선택된 곳의 요약된 기상자료를 보여준다. 최고, 최저 온도와 강수량을 확인할 수 있다.



〈그림 15.11〉 기상자료

## 15.6.1 기상자료

### (1) 기상자료

최고온도, 최저온도, 강수량 등의 수치를 매달 표 형식으로 나타낸다.

## 15.6.2 기상정보데이터

### (1) 기상정보데이터

기상자료에 나타난 최고, 최저 온도, 강수량 등을 그래픽으로 나타낸다.

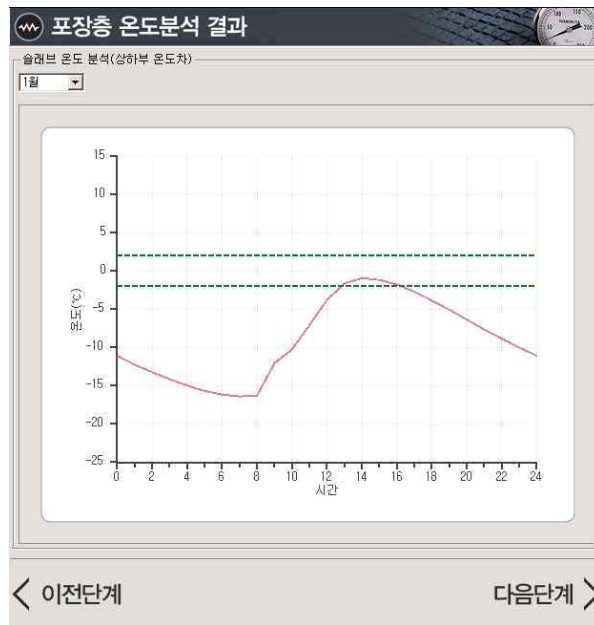
## 15.7 포장층 온도분석결과

기상자료창에서 다음을 선택하면 포장 내 온도를 예측해 온도 데이터를 생성하며, 온도 분석결과와 확인 여부를 묻는 창이 나타난다.



〈그림 15.12〉 온도 계산 프로세스

포장 슬래브 상하부 온도차의 변화를 확인할 경우에는 ‘온도분석결과 보기’를 선택하되, 확인하지 않고 진행을 계속하고자 하는 경우에는 ‘교통량 입력’을 선택한다. 다음 그림은 ‘온도분석결과 보기’를 선택했을 때 나타나는 화면으로 월별 시간별 온도차의 변화를 확인할 수 있다.



〈그림 15.13〉 온도분석결과

### 15.7.1 슬래브 상하부 온도차 (상부-하부)

월별로 슬래브 상하부 온도차를 나타낸다.

## 15.8 컬링 주기 분석

포장 슬래브 상하부 온도차에 대해 계산된 시간별 온도분석결과를 이용해 슬래브 컬링 구간을 상향컬링, 컬링없음, 하향컬링으로 나눌 수 있다. 나누어진 컬링 시간 구간은 차후 교통량 계산 시 사용된다.

| 구분  | 상향 킬링 |      | 킬링 없음 |      | 하향 킬링 |      | 킬링 없음 |      |
|-----|-------|------|-------|------|-------|------|-------|------|
|     | 시작시간  | 종료시간 | 시작시간  | 종료시간 | 시작시간  | 종료시간 | 시작시간  | 종료시간 |
| 1월  | 16    | 12   | 12    | 14   | 0     | 0    | 14    | 16   |
| 2월  | 18    | 11   | 11    | 13   | 13    | 14   | 14    | 18   |
| 3월  | 16    | 11   | 11    | 13   | 0     | 0    | 13    | 16   |
| 4월  | 16    | 10   | 10    | 13   | 0     | 0    | 13    | 16   |
| 5월  | 16    | 10   | 10    | 12   | 12    | 14   | 14    | 16   |
| 6월  | 19    | 10   | 10    | 11   | 11    | 17   | 17    | 19   |
| 7월  | 18    | 10   | 10    | 11   | 11    | 17   | 17    | 18   |
| 8월  | 18    | 10   | 10    | 11   | 11    | 17   | 17    | 18   |
| 9월  | 18    | 10   | 10    | 11   | 11    | 16   | 16    | 18   |
| 10월 | 18    | 10   | 10    | 11   | 11    | 16   | 16    | 18   |
| 11월 | 17    | 10   | 10    | 12   | 12    | 15   | 15    | 17   |
| 12월 | 16    | 12   | 12    | 14   | 0     | 0    | 14    | 16   |

< 이전단계 다음단계 >

〈그림 15.14〉 킬링 주기 분석

### 15.8.1 월그룹

월 그룹이 보여진다.

### 15.8.2 시간그룹

월별 굵힘 정보가 보여진다.

## 15.9 교통량 입력

포장 설계를 위한 교통량을 입력한다. 이미 앞서 과업 정보 입력창 등에서 입력한 설계지역, 도로등급, 설계속도, 방향입력에 따라 적절한 교통량 환산계수, 시간별 교통량 비율 등과 같은 교통량 관련 자료가 제시된다. 교통량은 교통량 연증가율 옵션에 따라 자동으로 예측된다. 이와 관련된 내용은 9-2항목에 기술되어 있다.

**교통량 입력**

설계 정보  
 시점 : [시점]      종점 : [종점]      설계지역 구분 : [도시지역]  
 도로 등급 : [고속국도]      설계속도(km/h) : [100]  
 방향 설정 : [양방향]      차 로 수 : [4]  
 공용개시년도 : [2011] 년 [9] 월

교통량 예측방법  
 교통수요 예측자료       증가율 미적용  
 선형 증가율(%)       비선형 증가율(%)

차증별 교통량  
 개방년도 AADT : [30000]        
 < 2011 >

| 구분   | 1종    | 2종   | 3종   | 4종   | 5종  | 6종  | 7종  | 8종  | 9종 |
|------|-------|------|------|------|-----|-----|-----|-----|----|
| AADT | 18912 | 1164 | 3665 | 3069 | 909 | 567 | 504 | 195 | 33 |

교통량 환산 계수

|      |      |
|------|------|
| 방향계수 | 0.55 |
| 차로계수 | 0.90 |

시간별 교통량 비율

| 구분    | 1    | 2    | 3    | 4    | 5    | 6    | 7    | 8    | 9    |
|-------|------|------|------|------|------|------|------|------|------|
| 비율(%) | 1.43 | 0.94 | 0.69 | 0.59 | 0.65 | 1.18 | 2.92 | 5.84 | 6.49 |

< 이전단계      다음단계 >

〈그림 15.15〉 교통량 입력

## 15.9.1 설계정보

### (1) 설계정보

설계상의 위치 정보 및 앞선 과정에서 선택한 설계 속도, 도로 등급, 및 차로수가 화면에 나타난다.

### (2) 도로등급

고속도로, 지방도, 일반국도 등이 표시된다.

### (3) 공용개시년도

공용개시년도가 표시된다.

#### (4) 설계지역구분

설계지역구분에서 도심부, 지방부 등이 표시된다.

#### (5) 설계속도

80 ~120km/hr 까지의 설계속도가 표시된다.

#### (6) 차로 수

선택된 차로수가 나타난다.

### 15.9.2 교통량 연 증가율

초기년도의 교통량이 증가하지 않는 경우를 적용하기 위해서는 '증가율 미적용'을 선택하되, 교통량이 선형 또는 비선형으로 증가하는 경우를 적용하기 위해서는 '선형증가율' 또는 '비선형 증가율'을 선택하고 화면에 나타난 수식에서의 증가율을 추가적으로 입력한 후 '계산'을 선택한다. 향후 공용기간동안의 교통량에 대한 추정자료가 있을 경우에는 '교통량 추정자료'를 선택하여 공용기간 동안의 연단위 교통량을 입력하도록 한다.

#### (1) 증가율 미적용

교통량 증가율을 적용하지 않는다.

#### (2) 비선형 증가율(%)

교통량 증가율을 비선형으로 증가 시킨다.

### (3) 선형 증가율(%)

교통량 증가율을 선형으로 증가 시킨다.

### (4) 교통수요 예측자료

해당 해에 조사된 자료로 교통량을 추정한다.

## 15.9.3 차종별 교통량

초기년도의 연평균일교통량(AADT)를 입력하고 ‘교통량 초기화’를 선택하면 위에서 선택된 교통량 연증가율 고려방법을 적용하여 공용기간동안 차종별 AADT가 연도별로 결정된다. 연도별 차종별 AADT는 <그림 8-1>의 8-3그림 부분의 화살표를 선택하여 확인할 수 있다.

### (1) 기준 ADDT

기준 ADDT를 입력한다.

### (2) 교통량 초기화

기준 ADDT기준으로 교통량을 계산한다.

### (3) 차종별 교통량 비율

계산된 교통량이 나타난다.

### 15.9.4 교통량 환산 계수

교통량 환산계수는 도로의 등급 및 차로의 수에 따라서 이미 결정되어 있는 DB값이 화면에 나타나지만, 특별한 경우에는 이를 수정하여 적용할 수 있다.

### 15.9.5 시간별 교통량 비율

24시간대의 시간별 교통량 비율이 DB의 자료를 바탕으로 해당하는 도로에 대하여 나타난다.

## 15.10 차종/시간별 교통량 분석

다음 그림은 앞서 결정된 자료를 바탕으로 24시간대별 종별 교통량의 분포를 나타내고 있다. 연도별 분포의 변화는 그림의 화살표를 선택하여 확인할 수 있다.

| 차종/시간별 교통량 분석 |      |    |     |     |    |    |    |    |    |
|---------------|------|----|-----|-----|----|----|----|----|----|
| 2011          |      |    |     |     |    |    |    |    |    |
| 시간별 교통량       | 1종   | 2종 | 3종  | 4종  | 5종 | 6종 | 7종 | 8종 | 9종 |
| 1시            | 270  | 17 | 52  | 44  | 13 | 8  | 7  | 3  | 0  |
| 2시            | 178  | 11 | 34  | 29  | 9  | 5  | 5  | 2  | 0  |
| 3시            | 130  | 8  | 25  | 21  | 6  | 4  | 3  | 1  | 0  |
| 4시            | 110  | 7  | 21  | 18  | 5  | 3  | 3  | 1  | 0  |
| 5시            | 123  | 8  | 24  | 20  | 6  | 4  | 3  | 1  | 0  |
| 6시            | 223  | 14 | 43  | 36  | 11 | 7  | 6  | 2  | 0  |
| 7시            | 552  | 34 | 107 | 90  | 27 | 17 | 15 | 6  | 1  |
| 8시            | 1104 | 68 | 214 | 179 | 53 | 33 | 29 | 11 | 2  |
| 9시            | 1227 | 76 | 238 | 199 | 59 | 37 | 33 | 13 | 2  |
| 10시           | 1014 | 62 | 196 | 164 | 49 | 30 | 27 | 10 | 2  |
| 11시           | 1050 | 65 | 203 | 170 | 50 | 31 | 28 | 11 | 2  |
| 12시           | 1040 | 64 | 202 | 169 | 50 | 31 | 28 | 11 | 2  |
| 13시           | 997  | 61 | 193 | 162 | 48 | 30 | 27 | 10 | 2  |
| 14시           | 1076 | 66 | 209 | 175 | 52 | 32 | 29 | 11 | 2  |
| 15시           | 1135 | 70 | 220 | 184 | 55 | 34 | 30 | 12 | 2  |
| 16시           | 1152 | 71 | 223 | 187 | 55 | 35 | 31 | 12 | 2  |
| 17시           | 1173 | 72 | 227 | 190 | 56 | 35 | 31 | 12 | 2  |
| 18시           | 1266 | 79 | 249 | 209 | 62 | 39 | 34 | 13 | 2  |

| 월별 교통량 | 1월    | 2월    | 3월    | 4월    | 5월    | 6월    | 7월    | 8월    | 9월    |
|--------|-------|-------|-------|-------|-------|-------|-------|-------|-------|
| 차량대수   | 27300 | 26400 | 23700 | 30300 | 30600 | 29700 | 27600 | 30300 | 32400 |
| 비율     | 0.84  | 0.81  | 0.92  | 0.95  | 0.94  | 0.92  | 0.85  | 0.94  | 1.00  |

〈그림 15.16〉 교통량 입력

## 15.10.1 시간별 교통량

차종에 따른 시간별 교통량을 나타낸다.

## 15.10.2 월별 교통량 입력

차량 대수, 비율에 따른 월별 교통량을 나타낸다. 월별 교통량 입력화면에서는 DB에 저장되어 있는 자료를 바탕으로 AADT의 월별 변화를 계산하여 나타낸다.

## 15.11 설계차로 교통량 분석

설계차로 교통량 분석에서는 방향계수와 차로계수가 고려된 실제 설계교통량이 환산되어 나타내어진다.

| 설계차로 교통량 분석  |     |    |     |     |    |    |    |    |    |
|--------------|-----|----|-----|-----|----|----|----|----|----|
| 2011         |     |    |     |     |    |    |    |    |    |
| 설계차로 시간별 교통량 |     |    |     |     |    |    |    |    |    |
| 구분           | 1종  | 2종 | 3종  | 4종  | 5종 | 6종 | 7종 | 8종 | 9종 |
| 1시           | 134 | 8  | 26  | 22  | 6  | 4  | 4  | 1  | 0  |
| 2시           | 88  | 5  | 17  | 14  | 4  | 3  | 2  | 1  | 0  |
| 3시           | 65  | 4  | 13  | 10  | 3  | 2  | 2  | 1  | 0  |
| 4시           | 54  | 3  | 11  | 9   | 3  | 2  | 1  | 1  | 0  |
| 5시           | 61  | 4  | 12  | 10  | 3  | 2  | 2  | 1  | 0  |
| 6시           | 110 | 7  | 21  | 18  | 5  | 3  | 3  | 1  | 0  |
| 7시           | 273 | 17 | 53  | 44  | 13 | 8  | 7  | 3  | 0  |
| 8시           | 547 | 34 | 106 | 89  | 26 | 16 | 15 | 6  | 1  |
| 9시           | 608 | 37 | 118 | 99  | 29 | 18 | 16 | 6  | 1  |
| 10시          | 502 | 31 | 97  | 81  | 24 | 15 | 13 | 5  | 1  |
| 11시          | 520 | 32 | 101 | 84  | 25 | 16 | 14 | 5  | 1  |
| 12시          | 515 | 32 | 100 | 84  | 25 | 15 | 14 | 5  | 1  |
| 13시          | 493 | 30 | 96  | 80  | 24 | 15 | 13 | 5  | 1  |
| 14시          | 533 | 33 | 103 | 86  | 26 | 16 | 14 | 5  | 1  |
| 15시          | 562 | 35 | 109 | 91  | 27 | 17 | 15 | 6  | 1  |
| 16시          | 570 | 35 | 111 | 93  | 27 | 17 | 15 | 6  | 1  |
| 17시          | 580 | 36 | 113 | 94  | 28 | 17 | 15 | 6  | 1  |
| 18시          | 637 | 39 | 123 | 103 | 31 | 19 | 17 | 7  | 1  |

| 설계차로 월별 교통량 |       |       |       |       |       |       |       |       |       |
|-------------|-------|-------|-------|-------|-------|-------|-------|-------|-------|
| 구분          | 1월    | 2월    | 3월    | 4월    | 5월    | 6월    | 7월    | 8월    | 9월    |
| 차량대수        | 12474 | 12029 | 13662 | 14109 | 13959 | 13662 | 13623 | 13359 | 14850 |
| 비율          | 0.84  | 0.81  | 0.92  | 0.95  | 0.94  | 0.92  | 0.95  | 0.94  | 1.00  |

〈그림 15.17〉 교통수요 예측자료

### 15.11.1 설계차로 교통량

시간별 차종에 따른 설계차로 교통량을 나타낸다.

### 15.11.2 설계차로 월별 교통량

월별 차량대수 및 비율에 따른 설계차로 교통량을 나타낸다.

## 15.12 차축 구성

교통 차종 분류 (차축구성)에서는 네 가지 축의 하중별 교통량을 계산하기 위하여 사용되는 차종의 하중별 교통량을 확인할 수 있다. 아래 그림은 차종별 단축단륜, 단축복륜, 복축, 삼축의 개수를 나타내고 있으며, 각 차종의 그림을 선택하면 축간거리와 해당 차종의 하중별 비율을 아래 그림과 같이 확인할 수 있다.

| 차종               | 차축 구성  | 차축 구성도 | 축 구분 |      |      |      |
|------------------|--------|--------|------|------|------|------|
|                  |        |        | 단축단륜 | 단축복륜 | 복축복륜 | 삼축복륜 |
| 1종<br>(승용차/소형버스) | 2축 4륜  |        | 2    | 0    | 0    | 0    |
| 2종<br>(중형버스)     | 2축 6륜  |        | 1    | 1    | 0    | 0    |
| 3종<br>(대형버스)     | 2축 6륜  |        | 1    | 1    | 0    | 0    |
| 4종<br>(소형트럭 A)   | 2축 6륜  |        | 1    | 1    | 0    | 0    |
| 5종<br>(중형트럭 B)   | 3축 10륜 |        | 1    | 0    | 1    | 0    |
| 6종<br>(중형트럭 C)   | 4축 12륜 |        | 1    | 1    | 1    | 0    |
| 7종<br>(중형트럭 D)   | 5축 16륜 |        | 1    | 1    | 0    | 1    |
| 8종<br>(중형트럭 E)   | 4축 14륜 |        | 1    | 1    | 1    | 0    |
| 9종<br>(대형트럭 F)   | 4축 14륜 |        | 1    | 1    | 1    | 0    |
| 10종<br>(대형트럭 G)  | 5축 18륜 |        | 1    | 0    | 2    | 0    |
| 11종<br>(대형트럭 H)  | 5축 18륜 |        | 1    | 0    | 2    | 0    |
| 12종<br>(대형트럭 I)  | 6축 22륜 |        | 1    | 0    | 1    | 1    |

〈그림 15.18〉 교통 차종 분류

## 15.12.1 차종 분류

1 ~ 12종까지의 차종 정보를 나타낸다.

## 15.12.2 차축 구성

차축에 따른 차륜 구성에 대한 정보를 나타낸다.

## 15.12.3 차축 종류

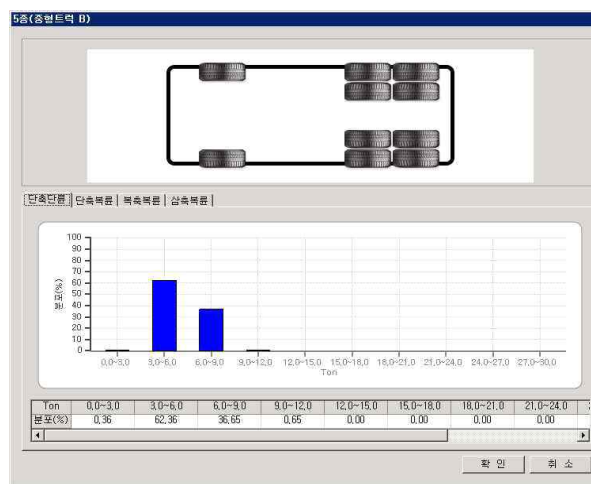
단축단륜, 단축복륜, 복축, 삼축 등 차축 종류를 나타낸다.

## 15.12.4 축하중 적용

기존의 축하중 정보를 초기화한다.

## 15.12.5 타이어그림

〈그림 15.18〉의 차축 구성을 선택 시 차축에 대한 정보 및 그래프가 나타난다.



〈그림 15.19〉 〈그림 15.18〉의 차축 구성을 선택 시 나타나는 차축에 대한 정보 및 그래프

## 15.13 교통량 해석

교통량 해석에서는 최종적으로 설계에 사용되는 네 가지 축의 월별, 컬링구간 별, 차종별 차량 AADT를 예측해 계산한다. 공용기간 내의 이 AADT의 변화는 화살표를 선택하여 확인할 수 있다.

교통량 저장중... 

〈그림 15.20〉 교통량 계산 프로세스

**시간별 교통하중분석결과**

2011

교통량

| 구분 | 월링 구분 | 1종   |      | 2종   |      | 3종   |      | 4종   |      | 5종 |
|----|-------|------|------|------|------|------|------|------|------|----|
|    |       | 단축단품 | 단축복품 | 단축단품 | 단축복품 | 단축단품 | 단축복품 | 단축단품 | 단축복품 | 단축 |
| 1월 | 상향 월링 | -    | -    | 372  | -    | 1173 | -    | -    | 982  | -  |
|    | 월링 없음 | 3625 | 112  | 112  | 351  | 351  | 294  | 294  | 8    |    |
|    | 하향 월링 | -    | -    | -    | -    | -    | -    | -    | -    | -  |
| 2월 | 상향 월링 | -    | -    | 273  | -    | 859  | -    | -    | 719  | -  |
|    | 월링 없음 | 5438 | 167  | 167  | 527  | 527  | 441  | 441  | 13   |    |
|    | 하향 월링 | 863  | 27   | 27   | 84   | 84   | 70   | 70   | 2    |    |
| 3월 | 상향 월링 | -    | -    | 379  | -    | 1193 | -    | -    | 999  | -  |
|    | 월링 없음 | 4918 | 151  | 151  | 477  | 477  | 399  | 399  | 11   |    |
|    | 하향 월링 | -    | -    | -    | -    | -    | -    | -    | -    | -  |
| 4월 | 상향 월링 | -    | -    | 361  | -    | 1136 | -    | -    | 951  | -  |
|    | 월링 없음 | 6065 | 187  | 187  | 588  | 588  | 492  | 492  | 14   |    |
|    | 하향 월링 | -    | -    | -    | -    | -    | -    | -    | -    | -  |
| 5월 | 상향 월링 | -    | -    | 357  | -    | 1124 | -    | -    | 941  | -  |
|    | 월링 없음 | 4073 | 125  | 125  | 395  | 395  | 330  | 330  | 9    |    |
|    | 하향 월링 | 1929 | 59   | 59   | 187  | 187  | 157  | 157  | 4    |    |
| 6월 | 상향 월링 | -    | -    | 243  | -    | 765  | -    | -    | 640  | -  |
|    | 월링 없음 | 3349 | 103  | 103  | 325  | 325  | 272  | 272  | 8    |    |
|    | 하향 월링 | 5986 | 184  | 184  | 580  | 580  | 486  | 486  | 14   |    |
| 7월 | 상향 월링 | -    | -    | 259  | -    | 816  | -    | -    | 683  | -  |
|    | 월링 없음 | 1965 | 60   | 60   | 190  | 190  | 159  | 159  | 4    |    |
|    | 하향 월링 | 5530 | 170  | 170  | 536  | 536  | 449  | 449  | 15   |    |
| 8월 | 상향 월링 | -    | -    | 287  | -    | 902  | -    | -    | 755  | -  |
|    | 비판 여로 | 2174 | 67   | 67   | 211  | 211  | 176  | 176  | 5    |    |

이전단계 < > 다음단계

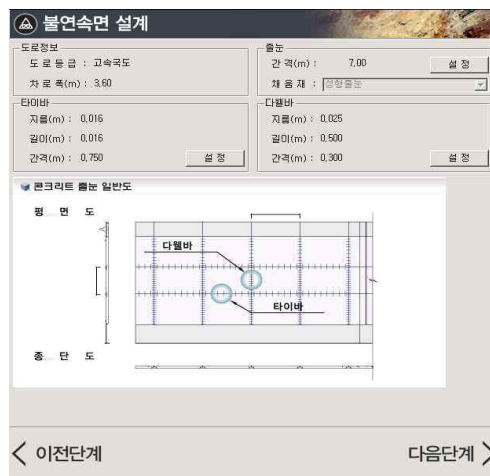
〈그림 15.21〉 교통량 해석

### 15.13.1 교통량

교통 차종 분류에 의해 선택된 차종에 대해 교통량을 해석하여 나타낸다.

## 15.14 불연속면 설계

시멘트 콘크리트 줄눈 부 간격과 같은 정보를 입력하기 위해 불연속면 설계 정보를 입력한다. 이 값은 직접 사용자가 입력할 필요 없이, 아래 화면에서 각 입력버튼을 누를 때 입력창에 뜨는 기본값을 그대로 사용할 수도 있다. 다른 값을 사용하고자 한다면 각 입력창을 띄워 수정할 수 있다.



〈그림 15.22〉 불연속면 설계

### 15.14.1 도로정보

도로등급 및 차로 폭이 나타난다.

### 15.14.2 줄눈정보

줄눈 간격 및 줄눈채움재가 나타난다. '입력'을 통하여 값을 변경할 수 있다.

### 15.14.3 타이바

타이바 지름, 길이, 간격 등이 나타난다, '입력'을 통하여 값을 변경할 수 있다.

## 15.14.4 다웰바

다웰바 지름, 길이, 간격 등이 나타난다. '입력'을 통하여 값을 변경할 수 있다.

## 15.14.5 콘크리트 줄눈 일반도

콘크리트의 평면도 및 종단도를 나타낸다, 평면도에는 다웰바와 타이바에 대한 정보가 나타난다.

## 15.15 철근정보 입력

연속 철근 시멘트 콘크리트(CRCP) 포장형식일 경우에는 철근 배근과 같은 정보를 입력하기 위해 철근정보 정보를 입력한다. 이 값은 직접 사용자가 입력하거나 기본값을 그대로 사용할 수도 있다. 다른 값을 사용하고자 한다면 각 입력항목에 값을 수정할 수 있다.

| 일반정보      |      | 철근 배근 정보    |              |
|-----------|------|-------------|--------------|
| 시공 시작일 :  | 08   | 세로 철근비(%) : | 0.6          |
| 도로 등급 :   | 고속국도 | 철근봉 지름(m) : | 0.019        |
| 차로 폭(m) : | 3.60 | 간격 계산       | 평균 봉 간격(m) : |
|           |      |             | 0.150        |

〈그림 15.23〉 철근정보입력

### 15.15.1 일반정보

시공 시작월과 도로등급, 차로폭 정보를 나타낸다.

### 15.15.2 철근 배근 정보

세로 철근비와 철근봉 지름, 평균 봉 간격 정보를 나타낸다. 수정이 가능하다.

## 15.16 콘크리트 재료 입력

‘재료물성 입력창’에서는 예비단면에서 결정된 포장층과 각층의 두께에 대한 재료를 선택하고 설계등급에 따라서 해당하는 재료물성값을 재료물성입력 버튼을 클릭해 입력창을 띄워 입력한다. 설계등급 1에서는 실내실험을 수행하여 탄성계수와 같은 역학적 물성을 직접입력하고, 설계등급 2에서는 역학적 물성을 추정할 수 있는 실험결과를 입력하는 것을 기본으로 한다.

예비단면에서 입력된 포장층 과 각층의 두께에 대한 재료물성을 입력한다. 이 단계에서는 각 포장층별 재료물성입력 버튼을 클릭해 반듯이 적절한 재료물성을 입력하고 확인 버튼을 클릭해 입력해야 제대로 공용성 해석이 수행됨에 주의한다.

### 15.16.1 콘크리트 슬래브(슬래브 콘크리트) - 설계등급1

설계등급1에서는 포장 공용성 해석을 위해 직접 실험한 28일 강도와 탄성계수 및 이와 관련해 화면에 제시된 모든 계수 값들을 모두 입력하도록 한다.

**표준 자료입성**

시멘트 콘크리트 기초실험 자료

단위중량(KN/m<sup>3</sup>) : 23.84      열팽창 계수(μ<sub>ε</sub>/ξ) : 10.70  
 포 아 송 비 : 0.15      건조수축계수 : 0.000197

휨강도 산정식

28일 강도(kPa) : 4525.05  
 α : 0.81    β : 1       $MOR(t) = MOR_{28} \frac{t}{\alpha_{MOR} + \beta_{MOR} t}$

탄성계수 산정식

28일 탄성계수(GPa) : 28.83  
 α : 0.93    β : 0.97       $E(t) = E_{28} \frac{t}{\alpha_E + \beta_E t}$

피로균열예측

피로수명 산정식  
 a<sub>Nf</sub> : 13.291    b<sub>Nf</sub> : 12.431    C<sub>Nf</sub> : 2.677       $\log_{10}(N_f) = \alpha_{Nf} - b_{Nf} S + C_{Nf} R$

확인    취소

〈그림 15.24〉 콘크리트 슬래브(슬래브 콘크리트)

### 15.16.2 기초실험자료

- 1) 단위중량
  - 단위중량을 입력 한다
- 2) 열팽창계수
  - 열팽창계수를 입력한다
- 3) 포아송비
  - 포아송비를 입력한다.
- 4) 건조수축계수
  - 건조수축계수를 입력한다.

### 15.16.3 휨강도 산정식

휨강도 산정식을 보여주고 관련 실험을 통해 계수를 입력한다.

## (1) 탄성계수 산정식

탄성계수와 관련된 계수를 입력한다.

### 15.16.4 콘크리트 슬래브(슬래브 콘크리트) - 설계등급2

설계등급2에서는 골재종류를 선택하면 자동으로 탄성계수 및 강도, 관련된 계수 값들이 자동으로 결정되어 입력된다.

| 표준 재료특성                    |         |                           |          |
|----------------------------|---------|---------------------------|----------|
| 골재 및 시멘트 종류                |         |                           |          |
| 굵은골재 :                     | 탄-2급    |                           |          |
| 잔골재 :                      | 강모래     |                           |          |
| 시멘트 :                      | TYPE-1  |                           |          |
| 시멘트 콘크리트 기초실험 자료           |         |                           |          |
| 단위중량(KN/m <sup>3</sup> ) : | 23.64   | 열팽창 계수(μ $\epsilon$ /℃) : | 10.70    |
| 포 마 속 비 :                  | 0.15    | 건조수축계수 :                  | 0.000197 |
| 필강도 산정식                    |         |                           |          |
| 28일 강도(kPa) :              | 4566.63 |                           |          |
| 탄성계수 산정식                   |         |                           |          |
| 28일 탄성계수(GPa) :            | 27.01   |                           |          |
| 확인    취소                   |         |                           |          |

<그림 15.25> 콘크리트 슬래브(슬래브 콘크리트)

## (1) 골재 및 시멘트 종류

### 1) 굵은골재 종류

- 굵은골재의 종류를 선택한다.

### 2) 시멘트 종류

- 시멘트 종류를 선택한다.

3) 잔골재종류

- 모래 종류의 잔골재를 선택한다.

4) 혼합골재 종류

- 혼합골재를 선택한다. 선택 시 혼합될 골재 비율을 입력하는 창이 표시된다.

(2) 기초실험자료

1) 단위중량

- 단위중량을 입력한다.

2) 열팽창계수

- 열팽창계수를 입력한다.

3) 포아송비

- 포아송비를 입력한다.

4) 건조수축계수

- 건조수축계수를 입력한다.

(3) 힘강도 산정식

힘강도 값을 계산해 출력한다.

(4) 탄성계수 산정식

1) 탄성계수

- 탄성계수 예측에 따른 탄성계수가 나타난다.

2) 그래프 산출

- 탄성계수 예측의 탄성계수가 그래프로 나타낸다.

## 15.16.5 린콘크리트

린콘크리트도 슬래브 콘크리트 슬래브와 같은 방식으로 골재 종류를 선택한다.

〈그림 15.26〉 린콘크리트

### (1) 사용재료

- 1) 굵은골재 종류
  - 굵은골재의 종류를 선택한다.
- 2) 시멘트 종류
  - 시멘트 종류를 선택한다.
- 3) 잔골재 종류
  - 모래 종류의 잔골재를 선택한다.
- 4) 혼합골재 종류
  - 혼합골재를 선택한다. 선택 시 혼합될 골재 비율을 입력하는 창이 표시된다.

### (2) 기초물성

- 1) 단위중량
  - 단위중량을 입력한다.
- 2) 포아송비
  - 포아송비를 입력한다.

### (3) 탄성계수

탄성계수를 입력한다.

### (7) Tip 정보

Tip 정보를 나타낸다.

## 15.16.6 아스팔트 기층



| 월         | 1월   | 2월   | 3월   | 4월   | 5월   |
|-----------|------|------|------|------|------|
| 탄성계수(Mpa) | 5716 | 5244 | 4025 | 3296 | 2765 |

월별 탄성계수를 기상관측소 정보와 연동하여 자동으로 계산합니다.

확인 취소

〈그림 15.27〉 아스팔트 기층

### (1) 탄성계수

보여진 수식에 의해 자동으로 계산된 월별 탄성계수 정보를 나타낸다.

## 15.16.7 보조기층

다음은 보조기층에서 탄성계수를 예측하기위하여 필요한 물성을 나타내고 있으며, 이들 값은 지정된 실험을 수행하여 얻도록 한다.

**보조기층 재료물성 입력**

기초실험자료

최대건조단위 중량(kN/m<sup>3</sup>):       균 등 계 수 :

#4채 통과율(%):       최적함수비(%):

---

탄성계수모델

$$E = K_1 + K_2 \Theta \quad (E : \text{MPa}, \Theta : \text{kPa})$$

$K_1$  :        $K_2$  :

〈그림 15.28〉 보조기층

### (1) 보조기층의 구성모델

#### 1) 보조기층의 구성 모델 계산식

- 보조기층의 구성 모델에 따른 계산식의 정보를 입력한다.

#### 2) 보조기층의 구성 모델 수동 입력

- 보조기층의 구성 모델에 따른 계산식을 수동으로 입력한다.

### (2) Tip

팁 정보를 나타낸다.

## 15.16.8 노상

다음은 노상층에서 탄성계수를 예측하기위하여 필요한 물성을 나타내고 있으며, 이들 값은 지정된 실험을 수행하여 얻도록 한다.



〈그림 15.29〉 노상

### (1) 노상층 재료의 구성 모델

노상층 재료의 구성 모델에 따른 구성 값을 입력한다.

## 15.17 동상방지층 설계

### 15.17.1 토질조건



〈그림 15.30〉 현장조건



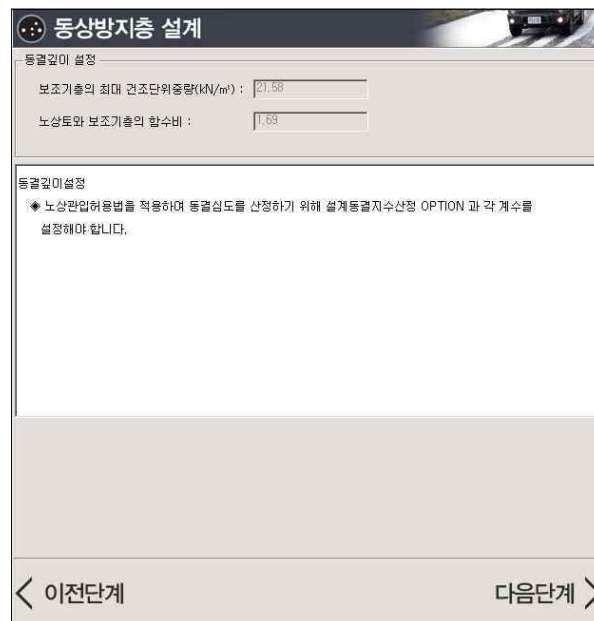
## 2) 소성지수(PI)

- 소성지수를 표시한다.

## (2) Tip

0.08mm 통과량 및 소성지수의 Tip 정보를 표시한다.

### 15.17.3 동결심도입력



동상방지층 설계

동결깊이 설정

보조기층의 최대 건조단위중량(KN/m<sup>3</sup>) : 21.58

노상토와 보조기층의 함수비 : 1.69

동결깊이 설정

◆ 노상관입허용범위를 적용하여 동결심도를 산정하기 위해 설계동결지수산정 OPTION 과 각 계수를 설정해야 합니다.

< 이전단계

다음단계 >

〈그림 15.32〉 동결심도입력

## (1) 설계 동결지수 산정 OPTION

설계동결지수 산정 Option을 선택한다.

## (2) 계수결정

### 1) 건조단위중량

- 건조단위 중량을 표시한다.

### 2) 노상토와 기층의 함수비

- 0.6 ~ 3.0 사이의 노상토와 기층의 함수비를 표시한다.

## (3) Tip

동결심도입력에 관한 Tip를 확인한다.

## 15.17.4 동결심도 산정

☰ 동상방지층 설계

동결깊이 산정

| 적용속후소      | 속후소표고(m) | 설계최대표고(m) | 동결지수(°C) | 동결기간(일) | 수정동결지수(°C일) |
|------------|----------|-----------|----------|---------|-------------|
| 서울, 인천, 수원 | 64       | 0         | 401.33   | 79      | 376.14      |

설계동결깊이 산정(노상동결관입 허용법)

a = 설계 동결관입깊이(cm)

p = 콘크리트 포장의 슬래브 두께 또는 아스팔트 포장의 아스팔트 혼합물층 두께(cm)

c = 비동결성 재료 치환 최대깊이(cm)

b = 비동결성 재료층 두께(cm)

| 적용속후소      | a     | p    | c    | b    | p + b | 동결깊이 |
|------------|-------|------|------|------|-------|------|
| 서울, 인천, 수원 | 113.6 | 26.0 | 87.6 | 58.6 | 84.6  | 84.6 |

▶ 설계 동결 깊이 84.6cm > 포장두께 46cm 이므로 동상방지층 적용이 필요함.

< 이전단계
다음단계 >

〈그림 15.33〉 동결심도 산정



## 15.18 설계공용성 및 신뢰도 입력

공용기간에 대하여 설계된 콘크리트 포장의 공용성을 평가하기 위한 기준을 입력한다. 공용성 기준은 피로균열, IRI로 구분되며, 피로균열의 경우에는 약 20%, IRI의 경우에는 약 3.5를 사용할 수 있으며, 도로의 등급에 따라 각 기준 값을 증가시켜 기준을 완화하거나 기준 값을 감소시켜 기준을 엄격하게 할 수 있다. '공용성 해석'을 선택하면 공용성 해석이 시작되며 사용되는 PC에 따라 소요시간이 길어질 수 있으므로 입력 값을 확인한 후 선택하도록 한다.

| 설계공용성 및 신뢰도 입력        |
|-----------------------|
| 피로균열 (Fatigue Crack)  |
| 설계기준 (%) : 20         |
| 평탄성지수 (IRI)           |
| 초기값 (IRI·m/km) : 1.41 |
| 설계기준 (m/km) : 4       |
| 신뢰도 (%)               |
| 50                    |
| < 이전단계                |
| 다음단계 >                |

〈그림 15.35〉 공용성 모형

### 15.18.1 공용성 모형

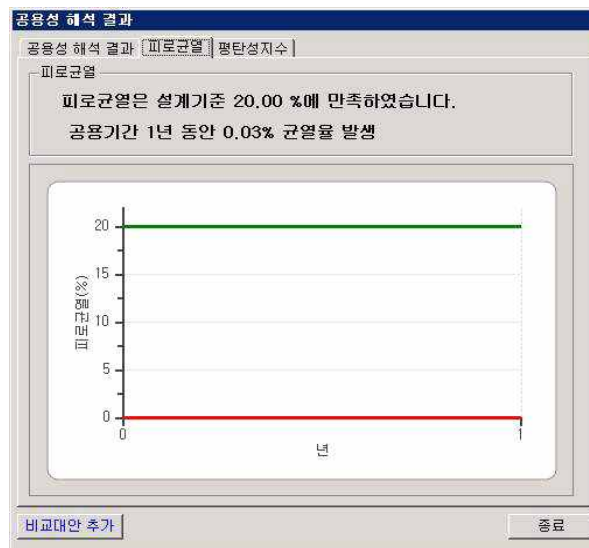
#### (1) 피로균열(Fatigue Crack)

- 1) 피로균열 설계기준(%)
  - 피로균열 설계기준을 입력한다.

## (2) 평탄성지수(IRI)

- 1) 평탄성지수(IRI) 설계기준
  - 평탄성지수 설계기준을 입력한다.
- 2) 평탄성지수 초기 값(IRI0)
  - 평탄성지수 초기 값을 입력한다.

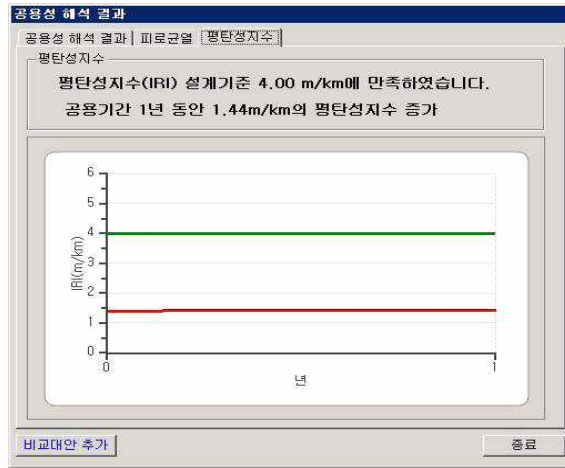
### 15.18.2 피로균열 결과



〈그림 15.36〉 피로균열 결과

피로균열 결과를 그래프로 나타낸다.

### 15.18.3 IRI결과

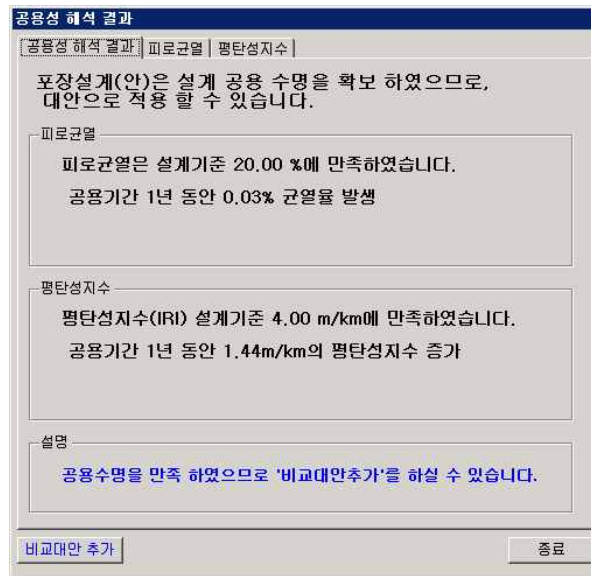


〈그림 15.37〉 IRI 결과

IRI 결과를 그래프로 나타낸다.

## 15.19 공용성 해석 결과

해석이 종료되면 주어진 단면과 재료가 공용성 기준을 통과하는지에 대한 검토결과가 나타내어지는데, 기준을 통과하지 못하는 경우에는 주어진 결과에 따라서 단면 및 재료를 조정하여 다시 공용성 해석을 수행하도록 한다. 기준을 통과한 경우에는 대안추가를 통하여 같은 조건에서 단면 및 재료를 수정하여 ‘대안비교’를 수행할 수 있다. 다음 그림은 특정조건에 대한 공용성 해석 결과를 나타내고 있다.



〈그림 15.38〉 공용성 해석 결과

종합적인 해석결과 이외에 시간에 따른 균열, IRI의 추이를 확인하기 위해서는 각 해당 탭을 선택할 수 있다.

### 15.19.1 피로균열

피로균열에 대한 정보가 나타난다.

### 15.19.2 평탄성지수(IRI)

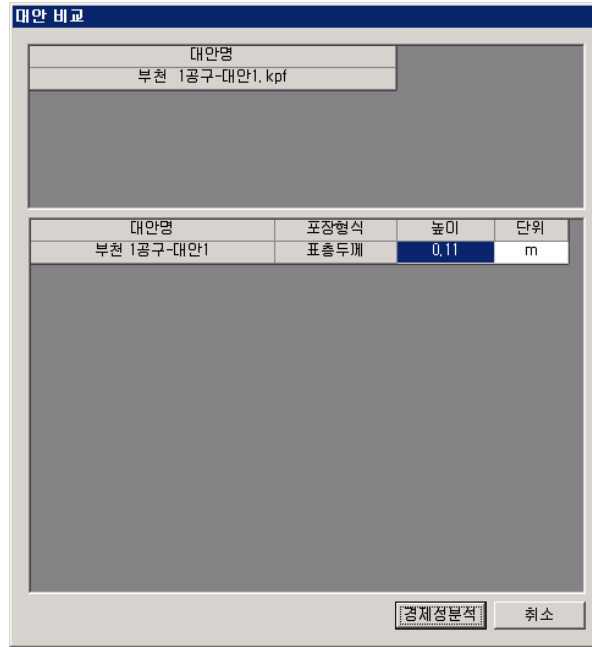
평탄성지수에 대한 정보가 나타난다.

### 15.19.3 비교대안 추가

비교 대안을 추가 할 수 있다.

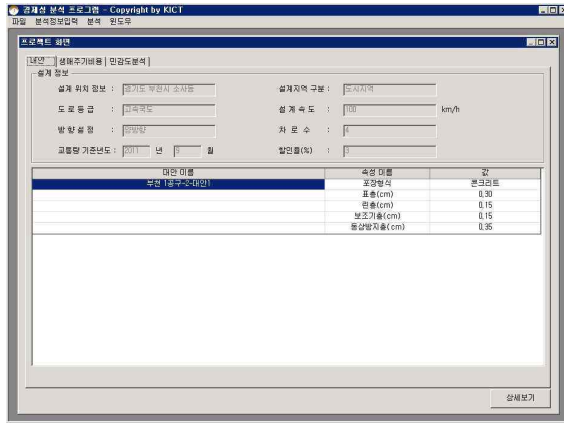
## 15.19.4 대안 비교

대안별 비교를 할 수 있다.



〈그림 15.39〉 대안 비교

경제성분석 버튼을 눌러 경제성분석 프로그램을 호출해 실행할 수 있다. 이 경우 경제성분석을 위한 별도의 프로그램이 실행되며, 다음과 같은 경제성 분석 결과를 볼 수 있다. 만약, 분석 결과를 자세히 보고자 한다면 '상세보기' 버튼을 눌러 사용자 비용 등이 어떻게 계산되었는지 중간 계산 결과를 볼 수 있으며, 메뉴의 보고서 출력을 통해 계산 결과를 출력할 수 있다. 계산 과정에 대한 내용을 알고 싶다면, 지침서를 참고하길 바란다.



〈그림 15.40〉 경제성 분석

15.20

시멘트 콘크리트 포장 구조설계 보고서

결과 보고서

제3 경인고속도로 설계 보고서

작성일자 : 2011년 9월 28일

작성기관 : 중앙 엔지니어링

1. 과업 정보

- 1.1 노선 명 : 제3 경인고속도로
- 1.2 과업 명 : 부탄 1공구
- 1.3 설계 일자 : 2011년 9월 28일
- 1.4 시점 / 종점 : 시점 / 종점
- 1.5 연 장 :
- 1.6 도로 구분 : 고속국도 / 도시지역
- 1.7 설계 속도 : 100km/h
- 1.8 공용 기간 : 1년
- 1.9 설계 등급 : 설계 등급 2
- 1.10 포장 형식 : 아스팔트 콘크리트
- 1.11 교통신호 : 2011년 9월 28일
- 1.12 기상관측소 : 시 돌, 안 천, 수 원

2. 설계 정보

- 2.1 차로 설정
  - (1) 차로수 : 양방향 4차로
  - (2) 차로폭 : 3.6m
- 2.2 길어깨 설정
  - (1) 길어깨 종류 : 아스팔트 콘크리트

〈그림 15.41〉 시멘트 콘크리트 포장 구조 설계 보고서

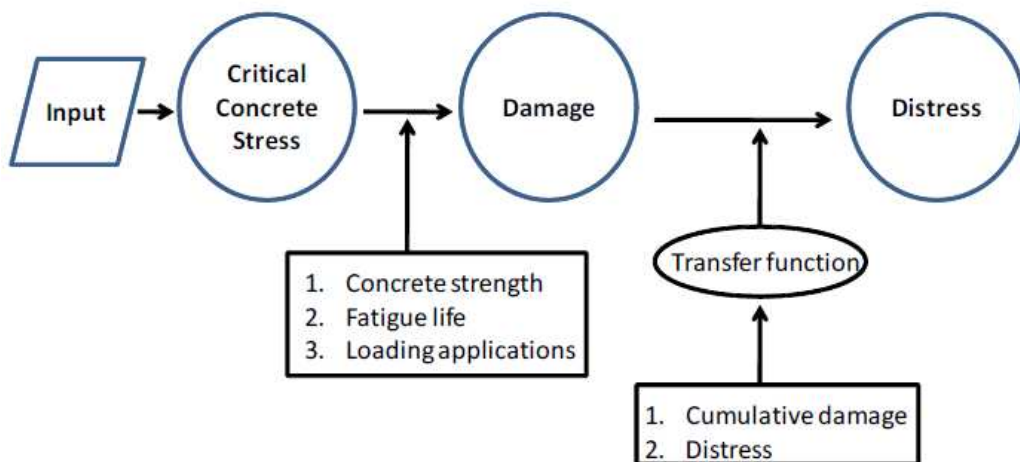
보고서 출력 버튼을 누르면 최종적으로 설계대안에 대한 입력 값과 설계의 결과 값이 기본 기하구조 및 입력 값들과 함께 다음과 같이 보고서 형식으로 출력된다.

## 부록 16. 연속철근 콘크리트 포장설계 로직

### 16.1 설계아키텍처

〈그림 16.1〉은 개발된 연속철근 콘크리트 포장의 설계의 아키텍처를 나타낸 것이다. 전체 프로세스는 설계에서 고려하는 입력 변수들을 바탕으로 한계응력 지점에서의 응력 상태를 평가한다. 콘크리트 강도와 하중 빈도에 따른 콘크리트의 피로파손을 산정 하고, 이를 통해 파손율을 계산한다. 현장의 데이터를 바탕으로 만든 전이함수를 통해 파손율에서 편치아웃을 예측한다. 이 설계는 크게 다섯 개의 항목으로 구분된다.

- 1) 입력 변수
- 2) 응력 해석
- 3) 파손 평가
- 4) 편치아웃 예측
- 5) 결과 출력



〈그림 16.1〉 역학적 경험적 연속철근 콘크리트 포장 설계의 아키텍처

## 16.2 입력 변수

연속철근 콘크리트 포장 설계의 입력 변수는 다음과 같이 크게 일곱 개의 그룹으로 대 분된다.

- 1) 프로젝트 정보
- 2) 설계 파라미터 (설계 공용연수, 편차아웃 기준)
- 3) 설계 교통량 (설계 ESALs 과 교통량 연증기율)
- 4) 철근 설계 (철근의 양 및 직경)
- 5) 시공 정보(콘크리트 타설 시기)
- 6) 콘크리트 재료 물성 및 층에 대한 자료
  - a. 슬래브 두께
  - b. 굽은 골재 종류
  - c. 콘크리트 세팅 온도
  - d. 콘크리트 열팽창계수
  - e. 최종 건조수축
  - f. 28 일 압축 및 휨강도
  - g. 28 일 탄성계수
- 7) 하부층의 정보
  - a. 보조기층의 종류
  - b. 보조기층의 두께
  - c. 보조기층의 탄성계수
  - d. 보조기층의 마찰계수
  - e. 보조기층의 층 정보(AASHTO 및 통일분류법에 의한 노상의 종류)

### 16.2.1 프로젝트 정보

설계 대상 지역, 고속도로 정보, 시공방향 및 스테이션 등과 같은 프로젝트 정보 등을 제공한다. 설계 대상 지역은 환경하중에 의한 응력을 평가하기 위해

사용하는 온도 데이터를 데이터베이스에서 불러오기 때문에 반드시 필요한 정보이다. 다른 정보들은 옵션이며, 한번 설계가 완료될 경우, 이 화면이 프로젝트 파일로 출력이 된다.

### 16.2.2 설계 파라미터

설계 공용년수와 단위 마일(mile)당 편치아웃 개수를 입력한다. 설계자가 도로의 등급에 따라 정확한 값을 선택한다 할지라도, 일반적으로 마일당 약 10개의 편치아웃이 최종 설계의 파손 개수로 인식되고 있다. 만약 설계 공용년수동안 프로그램을 통해 예측한 편치아웃이 설계한 개수보다 더 많을 경우, 입력 변수 조정 등과 같은 재설계가 필요하다.

### 16.2.3 설계 교통량

설계 교통정보는 콘크리트층의 누적 피로파손을 평가하기 위해 사용된다. 앞서 살펴본 바와 같이 설계 기간 동안의 반복차량회수를 고려하기 위해 설계 교통량(ESALs)과 연증가율 입력한다. 여기서, 2002 MEPDG와 같이 축하중 분포를 사용하지 않은 이유는 ESALs을 이용하여도 축하중 분포를 이용한 설계와 예측정확도가 유사한 설계가 가능하기 때문이다.

### 16.2.4 철근 설계

종방향 철근비는 콘크리트층에서 발생하는 한계응력의 크기를 결정하는 중요한 요인 중의 하나이다. 0.5~0.7% 사이의 값이면 되지만, 실제적으로 설계자들은 0.6% 정도부터 시작하는 것이 설계 시간을 줄이는 방법이다. 설계 공용기간 동안의 편치아웃 설계 기준을 만족하는 슬래브 두께 설계가 된다면, 설계 지침

을 만족하는지에 대한 평가가 이뤄진다. 철근의 평균 간격 및 직경에 대한 정보도 제공되어야 한다.

철근 설계의 변수에 대한 전이함수의 개발에 사용된 철근 간격이 추정된 것이기 때문에 매우 제한적인 것을 알아야 한다. 만약 철근 설계의 변수들의 범위가 텍사스에서 사용하는 일반 범위 밖이라면, 연속철근콘크리트 포장의 정확성이 낮아진다. 철근의 소요 두께를 조정하기 위해 철근 설계와 관련된 변수들을 조절하지 않는 것이 좋다. 횡방향 철근과 타이바 설계는 포함되지 않는다.

### 16.2.5 1공환경정보

콘크리트를 시공하는 달에 대한 정보가 필요하다. 이 정보는 환경하중에 의한 응력을 계산하는데 사용된다. 설계하는 동안에는 콘크리트가 언제 타설되는지를 알기는 힘들 것이다. 심지어 하나의 공구에서도 포장의 시공 시기가 다르기 때문이다. 텍사스의 시방에서는 콘크리트의 타설 온도를 규정하고 있다. 이에 따르면 설계하는 동안 콘크리트의 시공 시기를 알지 못하면 5월이나 6월로 입력할 것을 제안하고 있다.

### 16.2.6 콘크리트 층의 정보

콘크리트 층의 정보는 <표 16.1>과 같은 항목 및 범위값으로 입력하여야 한다. 콘크리트 탄성계수는 콘크리트의 강도 및 굵은 골재 종류에 따라 다르다. 그러나 그 상관성이 정확하지 않고 변동성이 많아 이 프로그램에서는 직접 입력 변수로 사용한다. 여기서, 이 프로그램은 슬래브의 두께를 입력 변수로 사용하고 그 값이 설계자에 의해 제공되어야한다. 이러한 점에서 이 프로그램은 설계 프로그램이라기보다는 해석 프로그램에 가깝다.

여기서, 줄눈콘크리트 포장 설계와 다른 콘크리트 입력 변수는 콘크리트의 세팅 온도와 최종 건조수축 항목이다. 콘크리트의 세팅 온도란 콘크리트 타설 후 재료들의 수화반응이 일어나면서 강도가 발현되는 시점의 온도이며, 이때부터 콘크리트와 철근이 일체거동을 한다. 강도가 발현되면서부터 수화반응이 점점 둔화되고, 수일이 지나면 대기 중의 온도 변화에 따라 콘크리트의 온도는 변화한다.

연속철근콘크리트 포장에서 철근과 콘크리트에 발생하는 환경하중에 의한 응력은 콘크리트의 세팅 온도와 현재 콘크리트 슬래브의 온도 차이에 따라 변화하게 된다. 또한, 일반적으로 대기중의 온도가 높을수록 콘크리트의 세팅 온도는 높다. 줄눈콘크리트 포장에서는 부등건조수축으로 인해 발생한 응력을 시간에 따른 함수로 간주하고 이를 반영한다. 연속철근콘크리트 포장 설계에서는 동일한 개념으로 건조수축을 설계에 반영하지만, 입력된 최종 건조수축을 시간별로 환산한 후 온도차로 변환하여 응력분석에 사용한다. 최종건조수축의 값의 범위는 약 300~700 정도이다.

〈표 16.1〉 콘크리트 물성 및 범위

| 구분         | 범위            | 단위                           | 기록       |
|------------|---------------|------------------------------|----------|
| 콘크리트 두께    | 15~35         | cm                           | Required |
| 사용 골재      | 강자갈, 석회석, 화강암 | n/a                          | Optional |
| 콘크리트 세팅 온도 | 제안값 없음        | ℃                            | Required |
| 열팽창계수      | 7.2 ~12.6     | $\mu\epsilon/^\circ\text{C}$ | Required |
| 최종 건조수축    | 300~700       | $\mu\epsilon$                | Required |
| 28일 압축강도   | 제안값 없음        | Pa                           | Optional |
| 28일 휨강도    | 제안값 없음        | Pa                           | Required |
| 28일 탄성계수   | 제안값 없음        | Pa                           | Required |

본 설계 프로그램에 시간에 따른 강도 예측식은 다음과 같다.

$$f_{ck}(t) = f_{ck,28} \times \{t / (a + b \times t)\} \text{ <식 16.1>}$$

여기서,  $f_{ck}(t)$  = 재령  $t$ 에서의 재료의 물성 (강도) (psi)

$f_{ck,28}$  = 재령 28일 재료의 물성 (psi)  $t$  = 재령 (일)

$a=4$ ,  $b=0.85$

콘크리트의 탄성계수를 알지 못할 경우, 다음과 같은 추정식을 통하여 그 값을 계산할 수 있다.

$$E_c = 33 \times r^{1.5} \times f'_c{}^{0.5} \text{ <식 16.2>}$$

$$f'_c = (f_r / 7.5)^2 \text{ <식 16.3>}$$

여기서,  $E_c$  = 탄성계수 (psi)

$r$  = 콘크리트 단위중량 (lb/ft.3)

$f'_c$  = 압축강도 (psi)

$f_r$  = 휨강도 (psi)

<표 16.2> 보조기층의 입력 변수

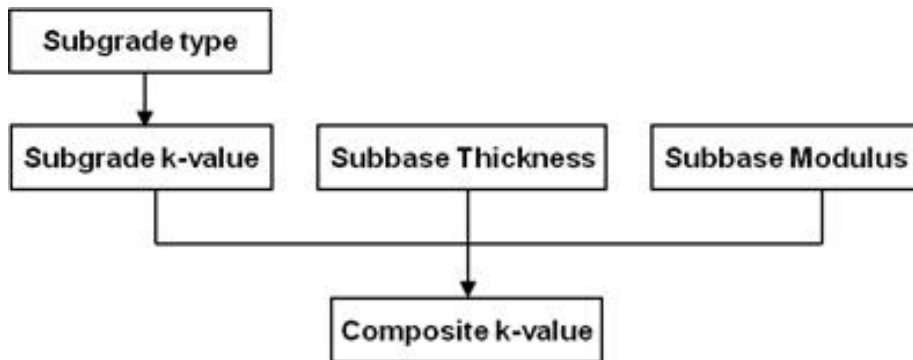
| 구분               | 범위                            | 단위    | 기록       |
|------------------|-------------------------------|-------|----------|
| 보조기층의 종류         | 아스팔트 안정처리기층, 콘크리트 안정처리기층 및 기타 | n/a   | Optional |
| 보조기층의 두께         | 5 ~ 15                        | cm    | Required |
| 보조기층의 탄성계수       | 0.3 to 13.8                   | MPa   | Required |
| 보조기층과 슬래브와의 마찰계수 | 27.1 ~ 135.7                  | MPa/m | Required |

〈표 16.3〉 보조기층의 구분

| 구분                                    | AASHTO            | 통일분류법    |
|---------------------------------------|-------------------|----------|
| Gravel                                | A-1-a             | GW or GP |
| Coarse Sand                           | A-1-b             | SW       |
| Fine Sand                             | A-3               | SP       |
| Silty Gravel or Sand                  | A-2-4 or<br>A-2-5 | GM or SM |
| Clayey Gravel or Clayey Sand          | A-2-6             | GC or SC |
| Clayey Gravel or Clayey Gravelly Sand | A-2-7             | GC or SC |
| Silt or Silt/sand/gravel mixture      | A-4               | ML or OL |
| Poorly Graded Silt                    | A-5               | MH       |
| Plastic Clay                          | A-6               | CL       |
| Moderately Plastic Elastic Clay       | A-7-5             | CL or OL |
| Highly Plastic Elastic Clay           | A-7-6             | CH or OH |

### 16.2.7 하부층의 정보

보조기층 및 노상의 입력 정보는 〈표 16.2〉, 〈표 16.3〉과 같은 항목들이 있다. 노상의 흙 종류에 대한 입력 정보를 통해 해당 노상의 지지력 값을 데이터베이스로부터 자동으로 산정한다. 산정된 노상 지지력 값과 보조기층의 두께 및 탄성계수를 이용하여 최종적으로 하부층의 복합 지지력을 구하게 된다. 이 과정과 산정식을 나타낸 것이 〈그림 16.2〉과 〈식 16.4〉이다.



〈그림 16.2〉 하부지지력 산정 로직

$$k_{\infty} = -395.7 + 92.3 T_b + 0.223 E_b + 1.829 k_{sg} \text{ <식 16.4>}$$

여기서,  $k_{\infty}$  : 하부층의 복합 지지력 (pci)

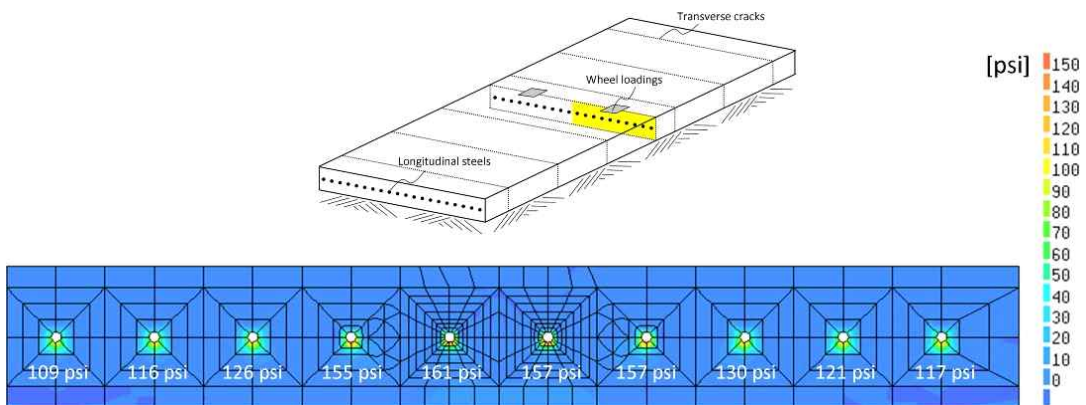
$T_b$  : 보조기층의 두께

$E_b$  : 보조기층의 탄성계수

$k_{sg}$  : 노상의 지지력 (pci)

## 16.3 구조해석

본 연구에서는 2차원 구조해석 모형은 철근 주변의 콘크리트 응력을 살펴보는 데 한계가 있기 때문에 DIANA 라는 해석프로그램을 이용하여 3차원 모형을 개발하였다. 이에 근거하여 철근 주변의 콘크리트에서 발생하는 주응력을 살펴 보았다. 각각 온도와 교통하중이 연속철근콘크리트 포장에 재하된 경우의 해석 결과를 합한 응력이 두 하중을 동시에 재하한 경우와 큰 차이가 없었다. 최종 응력 해석에는 전자 방법을 이용하였다.

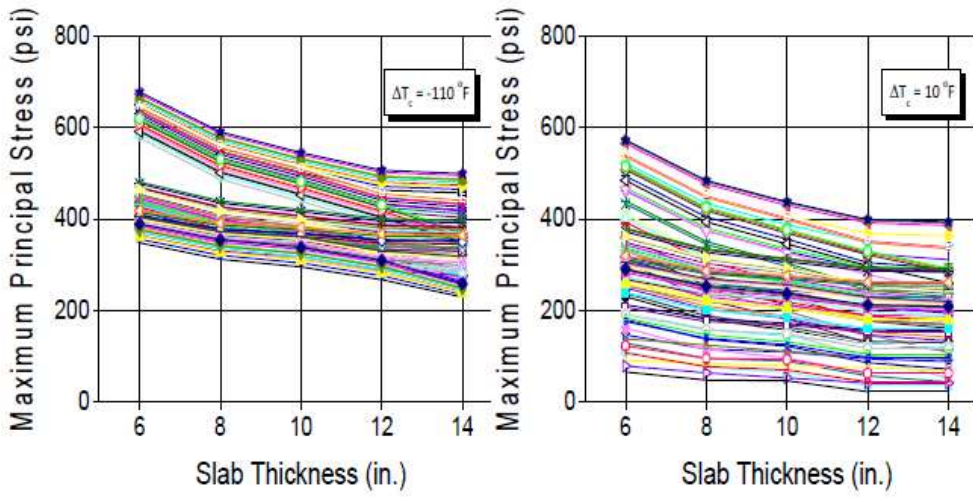


<그림 16.3> 구조해석 모형

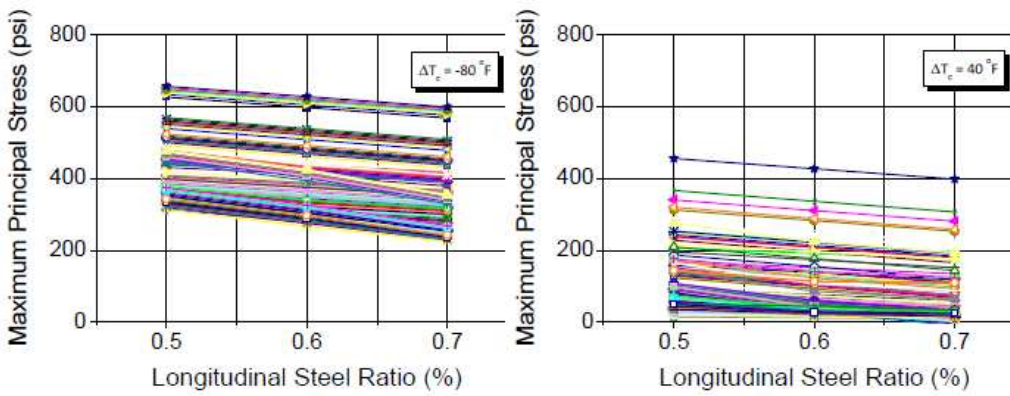
본 구조해석 모형을 이용하여 설계에 사용되는 입력 변수에 따른 민감도 분석을 수행하였으며, 그 결과를 살펴보면 다음과 같다.

- 두께가 얇은 연속철근콘크리트 포장일수록 더 큰 응력이 발생하였다. 슬래브 두께의 영향은 얇은 슬래브 두께가 얇아질수록 더 커지는 것으로 나타났다.
- 종방향 철근비가 낮을수록 더 큰 콘크리트 응력이 발생하였으며, 콘크리트 응력은 종방향 철근비와 거의 선형에 가까운 관계가 있었다.
- 하부 복합지지력이 감소할수록 콘크리트의 응력은 증가하였다. 그 값이 작은 범위에서는 민감하게 변화하였다.
- 콘크리트 세팅온도로부터의 더 큰 온도차 조건에서 더 큰 콘크리트 응력이 발생하였다. 세팅온도와 콘크리트 응력은 거시적으로 Bilinear 관계가 있었다. 현재의 포장체 온도가 세팅 온도보다 클 경우 그 관계는 완만한 선형관계였으나, 반대의 경우 매우 급한 선형관계가 형성되었다. 이는 환경하중이 온도하중과 건조 수축에 의한 하중이 복합적으로 작용하기 때문이다. 온도하중과 건조수축에 의한 주응력은 콘크리트 온도가 세팅 온도보다 낮을 때는 같은 방향이다. 하지만 콘크리트 온도가 세팅 온도보다 높을 때는 다른 방향이 된다. 따라서, 두 환경 하중의 조합은 작은 주응력을 발생시킬 것이다.
- 콘크리트의 응력은 최종건조수축이 증가할수록 커진다. 콘크리트 응력과 최종건조수축과의 관계는 세팅온도가 슬래브의 온도보다 낮을 경우, 완만한 선형관계가 있으나, 반대의 경우에는 앞서 말한 바와 같이 급한 선형관계가 있다.
- 콘크리트 열팽창계수가 증가할수록 콘크리트의 응력도 커진다. 그 효과는 세팅 온도와 현재 슬래브의 온도차가 커질수록 증가하였다.
- 콘크리트 응력은 하부층과 슬래브 사이의 마찰력에 영향을 많이 받지 않는 것으로 나타났다.
- 전체적으로 슬래브 두께, 하부 복합지지력, 콘크리트의 온도변화가 가장 큰 영향인자로 나타났다.

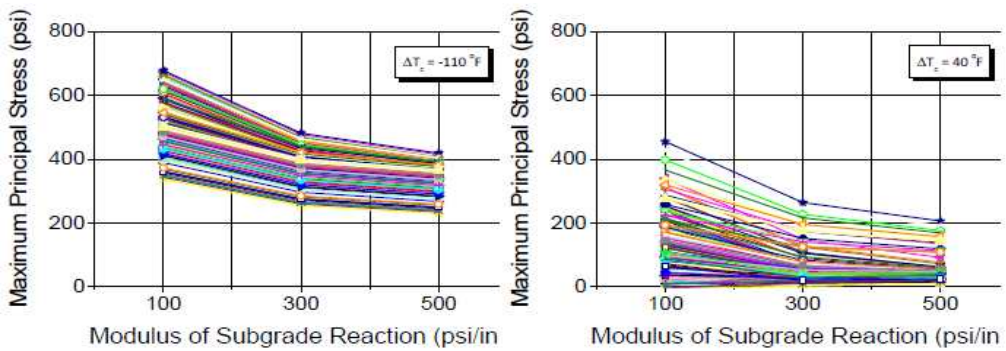
<그림 16.4>~<그림 16.8>은 각 입력 변수에 대한 민감도 분석한 예를 나타낸 것이다. 이와 같은 민감도 분석을 통해서 입력 변수와 해석 결과가 타당한 것으로 나타났다. 이 구조해석 모형으로 각 입력 변수에 대한 콘크리트에서 발생하는 응력에 대한 해석을 하였으며, 이를 데이터베이스화하였다.



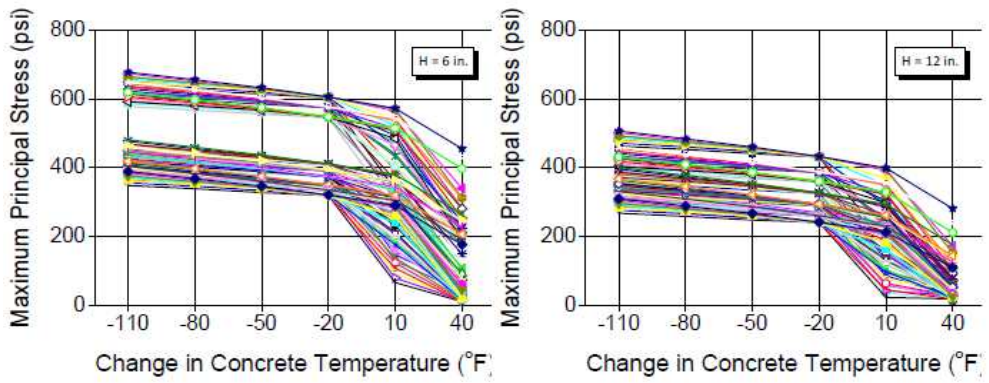
〈그림 16.4〉 슬래브 두께의 영향



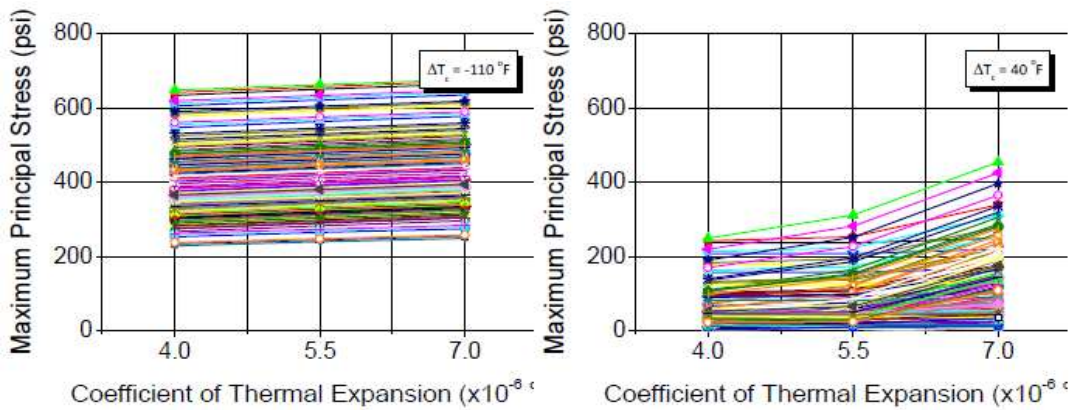
〈그림 16.5〉 종방향 철근비의 영향



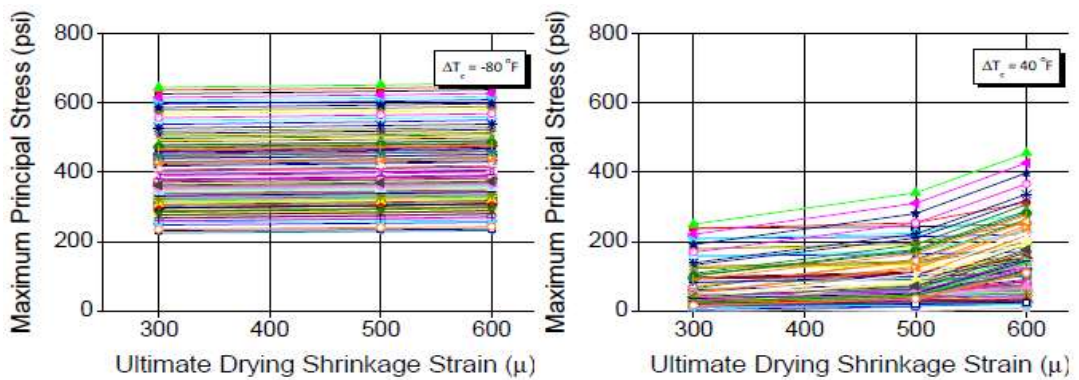
〈그림 16.6〉 하부 복합지지력의 영향



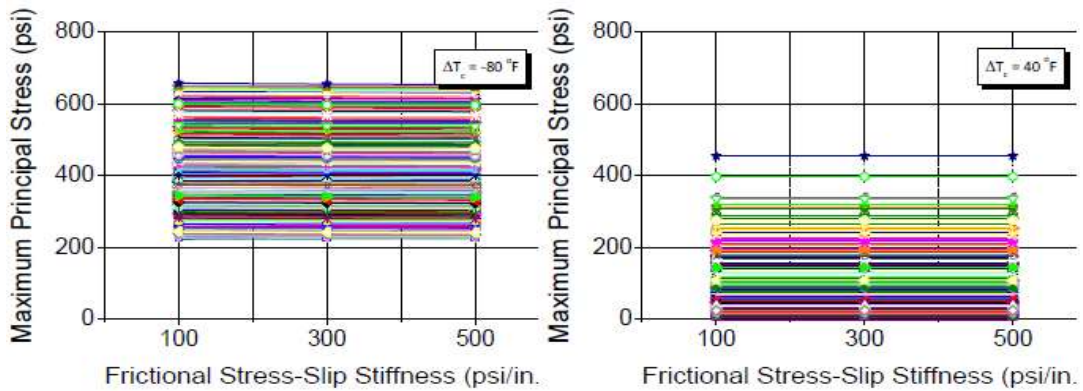
〈그림 16.7〉 콘크리트 온도 변화에 따른 영향



〈그림 16.8〉 열팽창계수의 영향



〈그림 16.9〉 최종건조수축의 영향



〈그림 16.10〉 슬래브와 하부층의 마찰력의 영향

## 16.4 공용성 예측

연속철근 콘크리트 포장에서의 균열은 자연적으로 발생하는 것이기 때문에 공용성 기준에 포함되지 않는다. 국제 평탄성 지수(IRI)는 장기 공용에도 불구하고 양호하기 때문에 설계 기준이 되지 못한다. 따라서, 연속철근 콘크리트 포장에서는 편치아웃이 공용성 기준이 된다. 일련의 과정을 통해 역학적으로 산정한 파손은 실제 현장의 공용 성과 비교할 때, 낮거나 혹은 높은 경우가 많다. 이를 현장의 공용성 데이터와 일치시 켜주는 역할을 하는 것이 전이함수이다.

### 16.4.1 공용성 모형

준눈콘크리트포장의 공용성 모형이 균열과 평탄성(IRI)인 것과 달리 연속철근 콘크리트 포장은 편치아웃을 대상으로 한다. 편치아웃은 LTPP (Long-Term Pavement Performance) Distress Manual, NCHRP 1-37(A), TxDOT's PMIS Rater's Manual 에서 다음과 같이 정의하였다.

- LTPP Distress Manual ;  
균열 간격이 60cm 이내인 횡방향 균열에 짧은 종방향 균열, 포장의 단부 및 종방향 줄눈부에서 발생하는 파손이며, "Y" 형 균열도 포함한다.
- NCHRP 1-37(A) ;  
포장 단부를 따라 낮은 하중전달률 및 종방향 피로균열 인해 두 개의 인접한 횡방향 균열구간에 발생한 조각의 파손이다.
- TxDOT's PMIS Rater's Manual ;  
표층 두께 전체로 종방향 균열 및 두 개의 종방향 균열을 관통할 경우에 생성되는 포장 블록을 말하며 일반적으로 사각형 형태이지만 다른 형태를 하는 경우도 있다.

펀치아웃을 계산하기 위해 사용한 콘크리트의 피로식은 <식 16.5>와 같다.

$$N_t = 225.00 \times \left( \frac{\sigma}{MR} \right)^4 \quad \langle \text{식 16.5} \rangle$$

여기서,  $N_t$  : 콘크리트 피로하중의 허용반복 회수

$\sigma$  : 콘크리트에 발생한 인장응력 (Pa)

MR : 콘크리트 휨강도 (Pa)

피로식을 통해 산정한 허용반복 회수와 실제 차량의 공용회수인 ESALs의 비율이 파손율이 된다.

## 16.4.2 전이함수

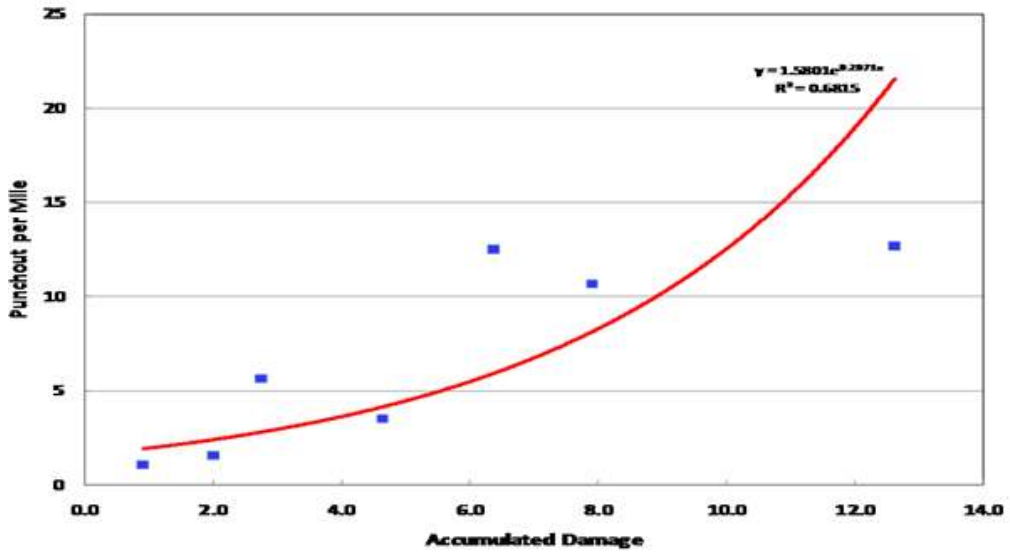
미국 텍사스의 펀치아웃 자료를 통해 개발된 전이함수는 <식 16.6>과 같다.

$$PO = 1.58 \times e^{(0.1871 \times CD)} \quad \langle \text{식 16.6} \rangle$$

여기서, PO : 마일(mile)당 펀치아웃 개수

CD : 누적 파손률

〈그림 16.11〉은 전이함수를 통해 산정한 마일당 펀치아웃개수와 실제 현장의 공용성 자료를 나타낸 것이다.



〈그림 16.11〉 전이함수를 이용한 파손율과 펀치아웃과의 상관관계

## 부록 17. 도로 동상방지층 설계 예

동상방지층을 제외한 포장단면 두께가 결정되면, 동상을 고려한 동상방지층 설계를 수행한다. 동상방지층 설계는 크게 세 부분으로 나누어지는데, 첫 번째는 동상방지층 설치 필요성 여부를 구간별로 평가하는 것이고, 두 번째는 동상방지층이 필요한 구간의 동상방지층 두께를 결정하고, 세 번째는 동상방지층의 구조적 능력을 고려해서 포장단면을 조정하는 것이다.

본 설계의 구간의 일반적 특성은 다음과 같다.

도로구분 : 국도 ○○ 호선

위치 : ○○

설계구간 길이 : 8km

포장형식 : 아스팔트 콘크리트 포장

포장층 두께 : 표층 50mm, 중간층 60mm, 기층 140mm, 보조기층 200mm

설계구간 포장계획면의 최대표고 : 281.3m ~ 366.3m (최대표고 : 366.3m)

### 17.1 동결깊이를 고려한 동상방지층 설치여부 판정

동상방지층 설계의 시작은 동결깊이를 고려하여 동상방지층 설치 필요성 여부를 판정하는 것이다. 포장층의 두께가 설계동결깊이보다 큰 경우에는 동상방지층을 생략하고 설계를 완료한다.

#### 17.1.1 동결지수 산정

기상청 데이터가 없는 ○○지역의 동결지수를 산정하기 위하여 <표 17.1>의 좌표별 동결지수를 사용한다.

〈표 17.1〉 좌표별 동결지수

(단위 : °C·일)

| 동 경 |     | 북 위 | 34  |     |     | 35  |     |     |     |     | 36  |     |
|-----|-----|-----|-----|-----|-----|-----|-----|-----|-----|-----|-----|-----|
|     |     |     | 0.4 | 0.6 | 0.8 | 0.0 | 0.2 | 0.4 | 0.6 | 0.8 | 0.0 | 0.2 |
| 126 | 0.4 | 89  | 84  | 61  | 99  | 133 | 153 | 165 | 174 | 181 | 184 |     |
|     | 0.6 | 67  | 74  | 94  | 113 | 132 | 152 | 166 | 172 | 175 | 181 |     |
|     | 0.8 | 67  | 84  | 96  | 113 | 107 | 151 | 161 | 171 | 166 | 203 |     |
| 127 | 0.0 | 92  | 85  | 96  | 118 | 121 | 159 | 169 | 160 | 180 | 214 |     |
|     | 0.2 | 92  | 65  | 102 | 125 | 147 | 197 | 223 | 127 | 182 | 207 |     |
|     | 0.4 | 96  | 81  | 104 | 128 | 157 | 207 | 212 | 193 | 219 | 224 |     |
|     | 0.6 | 101 | 88  | 87  | 118 | 141 | 160 | 188 | 189 | 210 | 222 |     |
|     | 0.8 | 100 | 78  | 66  | 102 | 117 | 89  | 147 | 167 | 188 | 203 |     |
| 128 | 0.0 | 103 | 87  | 66  | 99  | 103 | 111 | 140 | 157 | 175 | 162 |     |
|     | 0.2 | 105 | 94  | 89  | 101 | 113 | 127 | 130 | 153 | 165 | 174 |     |
|     | 0.4 | 104 | 87  | 55  | 82  | 112 | 128 | 136 | 142 | 156 | 172 |     |
|     | 0.6 | 105 | 87  | 55  | 67  | 107 | 119 | 126 | 103 | 128 | 217 |     |
|     | 0.8 | 109 | 97  | 82  | 85  | 100 | 114 | 121 | 129 | 144 | 208 |     |
| 129 | 0.0 | 115 | 107 | 96  | 70  | 73  | 111 | 122 | 132 | 133 | 166 |     |
|     | 0.2 | 121 | 115 | 106 | 92  | 94  | 100 | 94  | 119 | 117 | 138 |     |
|     | 0.4 | 127 | 122 | 117 | 113 | 110 | 107 | 84  | 108 | 74  | 116 |     |

주) 표고 100m 기준

〈표 17.2〉 좌표별 동결지수(계속)

(단위 : °C·일)

| 동 경 | 북 위 | 36  |     |     | 37  |     |     |     |     | 38  |     |
|-----|-----|-----|-----|-----|-----|-----|-----|-----|-----|-----|-----|
|     |     | 0.4 | 0.6 | 0.8 | 0.0 | 0.2 | 0.4 | 0.6 | 0.8 | 0.0 | 0.2 |
| 126 | 0.4 | 189 | 210 | 218 | 232 | 247 | 262 | 334 | 347 | 301 | 287 |
|     | 0.6 | 182 | 212 | 221 | 238 | 250 | 225 | 266 | 310 | 299 | 294 |
|     | 0.8 | 210 | 222 | 236 | 252 | 268 | 265 | 276 | 291 | 303 | 309 |
| 27  | 0.0 | 219 | 236 | 257 | 263 | 288 | 286 | 285 | 303 | 333 | 349 |
|     | 0.2 | 217 | 237 | 262 | 269 | 292 | 305 | 312 | 330 | 403 | 445 |
|     | 0.4 | 199 | 218 | 244 | 282 | 339 | 358 | 356 | 350 | 406 | 444 |
|     | 0.6 | 243 | 249 | 256 | 288 | 332 | 353 | 361 | 376 | 383 | 366 |
|     | 0.8 | 271 | 272 | 274 | 309 | 313 | 327 | 392 | 402 | 391 | 348 |
| 128 | 0.0 | 208 | 222 | 274 | 347 | 324 | 321 | 361 | 370 | 368 | 346 |
|     | 0.2 | 201 | 198 | 243 | 315 | 393 | 309 | 306 | 324 | 407 | 347 |
|     | 0.4 | 208 | 217 | 223 | 251 | 283 | 271 | 264 | 271 | 279 | 215 |
|     | 0.6 | 273 | 209 | 214 | 225 | 234 | 232 | 232 | 225 | 213 | 139 |
|     | 0.8 | 252 | 206 | 233 | 248 | 204 | 198 | 204 | 152 | 188 | 189 |
| 129 | 0.0 | 189 | 197 | 226 | 231 | 164 | 148 | 139 | 139 | 177 | 195 |
|     | 0.2 | 148 | 153 | 168 | 160 | 163 | 127 | 123 | 162 | 181 | 194 |
|     | 0.4 | 108 | 99  | 127 | 74  | 141 | 154 | 158 | 171 | 184 | 193 |

주) 표고 100m 기준

설계구간 ○○ 좌표는 동경 127.4, 북위 37.1이고, 최대표고는 366.3m이다.

### (1) 좌표에 따른 동결지수 산정

○○지역의 좌표가 표 A.1에 없는 좌표이므로, 직선보간법을 이용하여 해당 좌표의 동결지수를 구한다. 동경 127.4, 북위 37.1에 대한 동결지수는 동경 127.4, 북위 37.0과 동경 127.4, 북위 37.2의 값들을 이용하여 구한다.

$$\text{동경 } 127.4, \text{ 북위 } 37.1 \text{의 동결지수} = (282+339)/2 = 310.5$$

따라서 북위 37.1, 동경 127.4의 설계구간 ○○의 동결지수는 310.5(°C·day)이다

## (2) 표고차에 대한 동결지수 수정

위의 표 A.1의 동결지수들은 지반고 100m를 기준으로 한 값들이다. 하지만 ○○지역의 지반고는 100m가 아니기 때문에, 지반고의 차이에 대한 수정이 이뤄져야 한다. 현재 ○○지역의 지반고 100m 기준일 때의 동결지수는 310.5(°C·day)이고, 실제 지반고는 366.6m이다.

지반고의 차이에 대한 수정은 <식 17.1>과 같이 결정한다. <식 17.1>의 동결기간은 설계구간에서 가장 가까운 측후소의 동결기간을 사용한다.

$$\text{수정동결지수}(^{\circ}\text{C}) = \text{동결지수} + 0.5 \times \text{동결기간} \times \frac{\text{표고차}(m)}{100} \quad \langle \text{식 17.1} \rangle$$

$$\text{수정동결지수}(^{\circ}\text{C}) = 310.5 + 0.5 \times 87 \times \frac{266.3}{100} = 426.3$$

### 17.1.2 설계동결깊이 산정

설계구간 ○○의 최대동결깊이는 한국형 동결깊이 예측식 <식 17.2>를 사용한다.

$$Z = C\sqrt{F} \quad \langle \text{식 17.2} \rangle$$

여기서, Z = 최대동결깊이(mm)

F = 설계동결지수(°C·일)

C = 동결지수에 따른 보정상수

〈표 17.3〉 동결지수에 따른 보정상수(C) 값

| 설계동결지수(F)<br>(°C·일)    | 0~<br>100미만 | 100이상<br>200미만 | 200이상<br>300미만 | 300이상<br>400미만 | 400이상<br>500미만 | 500이상<br>600미만 |
|------------------------|-------------|----------------|----------------|----------------|----------------|----------------|
| 동결지수에 따른 보정<br>상수(C) 값 | 27.3        | 30.2           | 35.6           | 42.1           | 48.1           | 53.0           |

설계동결지수가 432.20이기 때문에 〈표 17.3〉에 따라 C는 48.1이다.

$$\text{최대동결깊이 } Z = 48.1 \sqrt{426.3} = 993.12 \approx 1000\text{mm} \text{ 〈식 17.3〉}$$

포장의 설계에서 설계동결깊이는 노상동결관입허용법을 적용하여 최대동결깊이의 75%를 사용한다.

$$\text{설계동결깊이 } Z = 1000 \times 0.75 = 750\text{mm} \text{ 〈식 17.4〉}$$

따라서 동상방지층은 300mm(750mm - 450mm = 300mm)의 두께로 설치한다. 동상방지층의 설치 두께 300mm는 전체 설계구간에 적용되는 것은 아니며, 터널, 교량 등 구조물 구간은 동상방지층이 불필요하다. 노상토가 암반구간인 경우에도 동상방지층 설치 불필요하다. 흙쌓기 및 땅깍기 구간이라 할지라도 동상방지층 설치여부는 노상토 조건 및 지하수위를 고려한 추가적인 검토를 통하여 최종적으로 판정한다. 또한 동상방지층이 설치되는 구간에 대해서는 동상방지층의 구조적 능력을 고려하여 포장단면을 재조정할 단면과 시공성, 경제성 등을 고려하여 최종단면을 결정하게 된다.

## 17.2 흠쌓기 높이를 고려한 동상방지층 설치구간 판정 및 지반조사 계획

### 17.2.1 흠쌓기 높이를 고려한 동상방지층 설치구간 판정

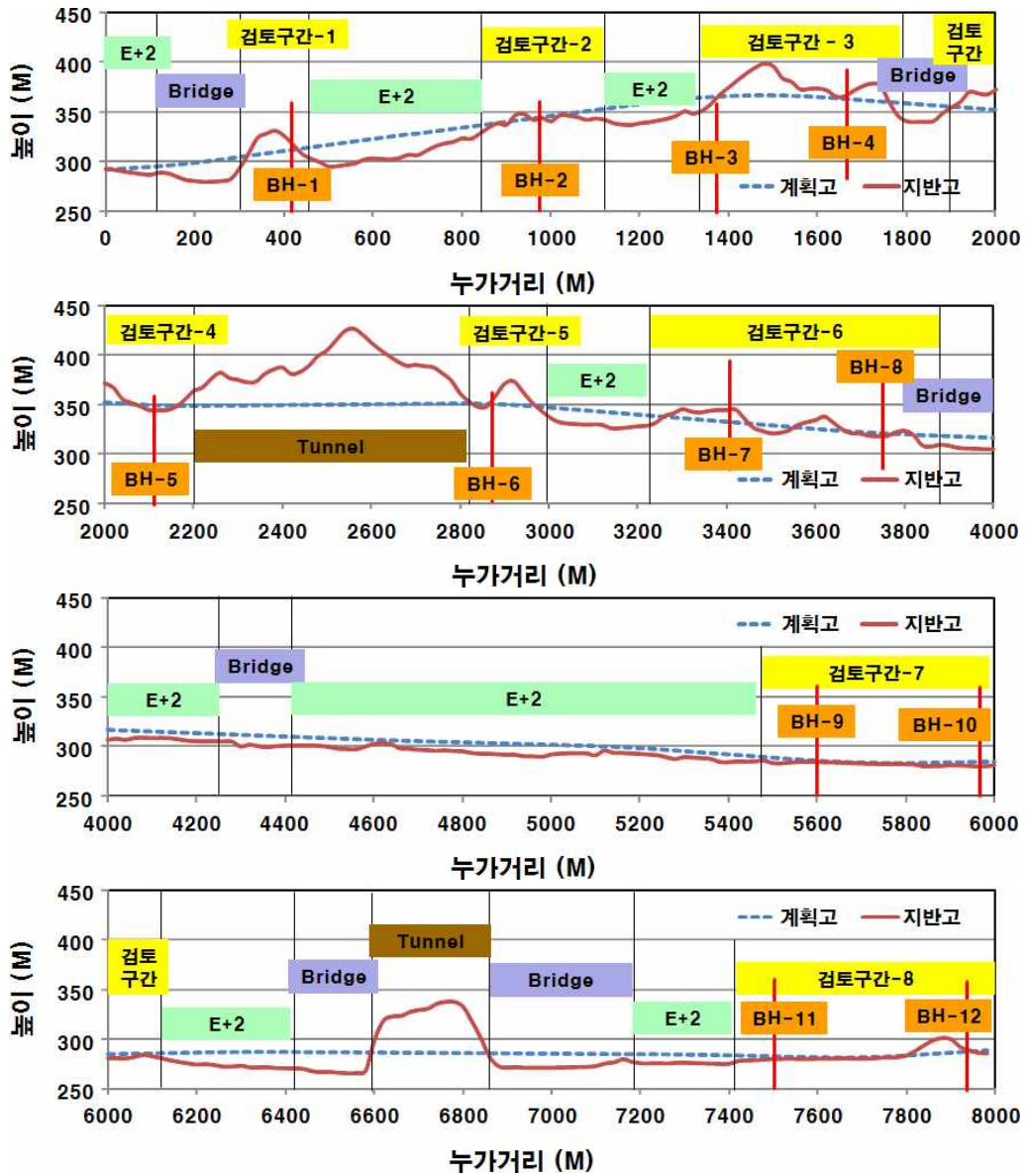
흠쌓기 높이는 종평면도 상에서 결정한다. 일반적으로 20m 간격으로 계획고, 지반고를 측정하게 되므로 각 측정점의 흠쌓기 높이를 <표 17.4>와 같이 결정한다.

<표 17.4> 종평면도 상에서 흠쌓기 높이 결정

| 측점                          | 0+20   | 0+40   | 0+60   | 0+80   | 0+100  | 0+120  | ... |
|-----------------------------|--------|--------|--------|--------|--------|--------|-----|
| 계획고 (m) ①                   | 291.51 | 292.01 | 292.51 | 293.51 | 293.55 | 294.15 | ... |
| 지반고 (m) ②                   | 288.14 | 288.65 | 289.21 | 286.52 | 286.52 | 285.87 | ... |
| 절성고 (m) ③                   | 3.37   | 3.36   | 3.30   | 6.99   | 7.03   | 8.28   | ... |
| 포장층두께 (m)                   | 0.45   | 0.45   | 0.45   | 0.45   | 0.45   | 0.45   | ... |
| 흠쌓기 높이(m) ④<br>(+흠쌓기, -땅깎이) | 2.92   | 2.91   | 2.85   | 6.54   | 6.58   | 7.83   | ... |

- ① 계획고 : 포장체 완성면(포장표면)의 표고
- ② 지반고 : 원지반의 표고
- ③ 절성고 = 계획고 - 지반고 = ① - ②
- ④ 흠쌓기 높이 = 노상 상단면까지 흠쌓기 높이 = 절성고 - 포장층 두께

전체 설계구간에서 구조물 구간(터널 및 교량), 땅깎기 구간, 흠쌓기 2m 이상 구간, 흠쌓기 2m 이하 구간 등으로 나누어 조사한다. 동상방지층 필요성 여부를 추가 검토해야 하는 구간은 땅깎기 구간 및 흠쌓기 높이 2m 이하 구간이다. 조사된 결과는 그림 1과 같이 나타났으며, 추가적으로 동상방지층 설치여부를 판정해야 하는 검토구간은 <표 17.5>와 같이 나타났다.



〈그림 17.1〉 동상방지층 설계구간 특성 및 지반조사 계획

〈표 17.5〉 동상방지층 설치여부 판정이 필요한 구간

| 구 분      | 시 점     | 종 점     | 구간 길이 (m) |
|----------|---------|---------|-----------|
| 검토구간 - 1 | 0 + 320 | 0 + 420 | 100       |
| 검토구간 - 2 | 0 + 860 | 1 + 120 | 260       |
| 검토구간 - 3 | 1 + 340 | 1 + 760 | 420       |
| 검토구간 - 4 | 1 + 880 | 2 + 180 | 300       |
| 검토구간 - 5 | 2 + 820 | 2 + 980 | 160       |
| 검토구간 - 6 | 3 + 260 | 3 + 840 | 580       |
| 검토구간 - 7 | 5 + 480 | 6 + 100 | 620       |
| 검토구간 - 8 | 7 + 420 | 8 + 000 | 580       |

### 17.2.2 동상설계 지반조사 계획 수립

설계동결깊이 및 흙쌓기 높이를 고려하여 동상방지층의 설치 필요성을 우선 판정하였다. 동상방지층 설치여부에 대한 추가적인 검토가 필요한 구간에 대해서는 수분영향 및 노상토의 특성을 조사하여 동상방지층 설치 여부를 판정하게 된다. 또한 지하수위 및 노상토의 토질 특성을 조사할 필요가 있다.

도로 동상방지층 설치 필요성 판정을 위한 지반조사는 도로 중심선을 따라 300m~500m 간격을 기본으로 한다. 따라서 검토구간의 길이가 300m 이하인 곳에서는 한 곳, 검토구간 길이가 300m~500m 이상인 경우에는 300m~500m 간격으로 시추공을 설치한다.

〈표 17.5〉에 나타난 검토구간의 특성을 고려하여, 구간 길이가 300m 이하인 구간은 1개소를, 구간길이가 300m 이상인 구간에서는 2개소의 시추공 조사를 계획하였다. 시추공이 2개 이상 설치되는 구간길이가 300m~500m 이상 구간

은 세부적인 구간으로 나누고, 각각의 세부적인 구간에 시추공을 1개씩 계획하였다. 검토구간은 동상방지층 설치 필요성을 판정하는 최소구간으로 빈번한 포장단면의 변화로 인한 시공의 조잡성을 피하여 설정한다.

각 구간의 시추공 세부위치는 가급적 구간의 중심위치에 근접하고 지하수 계측을 위한 시추 깊이가 크게 필요하지 않으며, 쌓기 또는 깎기 높이가 낮은 곳으로 선정하였다. 구조물설계 등 다양한 목적으로 수행하는 지하수위 자료를 동상방지층 설치여부 판정을 위한 목적으로 추가 활용할 수 있다. 지하수위 조사를 위한 계측위치를 정리하면 <표 17.6>과 같다.

<표 17.6> 동상방지층 설치여부 판정을 위한 지반조사 위치 선정

| BH    | 검토구간     | 시 점     | 종 점     | 지반조사<br>시추위치 | 구간길이 (m) |
|-------|----------|---------|---------|--------------|----------|
| BH-1  | 검토구간 - 1 | 0 + 320 | 0 + 420 | 0 + 320      | 100      |
| BH-2  | 검토구간 - 2 | 0 + 860 | 1 + 120 | 0 + 960      | 260      |
| BH-3  | 검토구간-3-1 | 1 + 340 | 1 + 550 | 1 + 380      | 210      |
| BH-4  | 검토구간-3-2 | 1 + 550 | 1 + 760 | 1 + 660      | 210      |
| BH-5  | 검토구간 - 4 | 1 + 880 | 2 + 180 | 2 + 080      | 300      |
| BH-6  | 검토구간 - 5 | 2 + 820 | 2 + 980 | 2 + 860      | 160      |
| BH-7  | 검토구간-6-1 | 3 + 260 | 3 + 550 | 3 + 460      | 290      |
| BH-8  | 검토구간-6-2 | 3 + 550 | 3 + 840 | 3 + 760      | 290      |
| BH-9  | 검토구간-7-1 | 5 + 480 | 5 + 790 | 5 + 600      | 310      |
| BH-10 | 검토구간-7-2 | 5 + 790 | 6 + 100 | 6 + 080      | 310      |
| BH-11 | 검토구간-8-1 | 7 + 420 | 7 + 710 | 7 + 580      | 290      |
| BH-12 | 검토구간-8-2 | 7 + 710 | 8 + 000 | 7 + 780      | 290      |

조사깊이는 포장계획면 아래 10m 이내로 하고, 그 이전에 암반이 도출되는 경우에는 암반선을 확인하고 시추조사를 완료한다. 깎기 구간에서는 노상토가 설치되는 깊이에서 교란시료를 채취한다.

노상토의 특성은 시추공에서 채취한 교란시료를 사용하여 판정한다. 원지반을 노상으로 사용할 경우에는, 지층의 입도분석, 액소성한계 등 기초 토질 물성치를 실내시험을 통하여 결정해야한다. 노상이 흙쌓기 구간인 경우에는 흙쌓기 재료에 대한 기초 토질 물성치를 실내시험을 통하여 결정해야한다. 동상민감도 결정을 위한 입도분석 수량은 시추조사 수량과 동일하게 수행한다.

동상민감도 결정을 위한 입도분석 수량은 시추조사 수량과 동일하게 수행하며, 노상상부에 해당되는 재료만을 이용한다. 노상토는 기본적으로 하부노상 품질기준 이상인 0.08mm 통과율 50% 이하의 조립토만을 이용해야 하므로, 동상민감도 결정시 흙의 분류 및 입도분석에서의 비중계 분석을 생략할 수 있다.

연장 300m 이내에 쌓기부만 존재하고, 쌓기 재료의 흙을 깎기부의 흙으로 이용할 경우 깎기부의 시험결과를 이용한다.

지하수위가 포장계획면으로부터 10m이하에 있는 경우, 지하수위의 공간적 변동 및 시간적 변동을 고려할 지라도 동상이 발생하는 충분한 수분공급이 억제되므로 지하수위 관측은 불필요하다. 10m 이하에서 지하수위가 발견되지 않는 경우에는 조사를 중단하고, 지하수위 10m 이상으로 표기한다.

지하수위는 시간에 따라 변화하므로, 동상방지층 필요성 판정 시 동결이 일어나는 기간의 연속적인 지하수위 자료를 필요로 한다. 그러나 지하수위를 연속적으로 측정하는 것은 많은 비용을 수반하여 비경제적인 경우가 많이 발생한다. 따라서 특정한 시기에 1회 측정치로부터 지하수위의 시간적 변동을 고려하여 동상설계 지하수위를 결정하도록 하여야 한다. 다만, 관측정 설치 직후의 지하수위는 설치과정에서 교란될 가능성이 있으므로, 지하수위 측정은 관측정 설치 후 적어도 7일 이후에 실시한다. 만일 지하수위를 연속적으로 측정하는 경우는, 11월~2월(4

개월) 동안의 계측을 실시하고 적어도 2주에 1회 이상 지하수위를 측정해야 한다.

조사결과 보고서에는 측정위치, 지층구조, 측정 지하수위, 지하수위 조사일시, 노상토의 토질특성의 내용을 포함하여야 한다. 결과보고서에 조사일시를 포함하는 것은 지하수위의 시간적 변동을 고려하여 동상설계 지하수위를 결정하기 위함이다.

### 17.3 지하수위를 고려한 동상방지층 설치구간 판정

지하수위를 고려한 동상방지층 설치구간 판정을 위해 측정된 지하수위 계측결과를 <표 17.7>과 같다. 측정된 지하수위는 특정한 시기에 지표면으로부터 깊이를 측정한 것이다. 동상수위높이차를 결정하기 위해서는 측정시기에 따른 보정과 포장표면으로부터 최대동결깊이를 고려하여야 한다.

<표 17.7>에 정리한 동상수위높이차는 각 측정위치에서의 지하수위로부터 지하수위의 시간적 변동을 고려하여 결정된 값이다. 지하수위는 지형조건에 따라 공간적으로도 변화하므로 이를 고려하여 검토구간의 최종적인 동상수위높이차를 결정해야한다.

지하수위의 공간적 변화는 하천 등과 같은 인접한 지하수위 경계조건, 지형변화, 특히 암반선의 변화와 밀접한 관련이 있다. 또한 도로건설에 따른 지형변화(흙쌓기 및 땅깍기)에도 영향을 받는다.

그러나 도로건설에 따른 지형변화(흙쌓기 및 땅깍기)이 영향은 별도로 고려할 필요가 없다. 땅깍기 구간인 경우에는 도로건설에 따라 지하수위가 내려가면서 동상수위높이차가 증가하여 보다 안전하므로 별도로 고려할 필요가 없다. 흙쌓기 구간에서는 일부 지하수위 상승에 따른 동상수위높이차의 감소가 발생할 수 있으나, 동상수위높이차 판정 기준 값에 반영되어 있으므로 추가적으로 고려할 필요성은 없다.

지하수위의 공간적 변화는 하천 등과 같은 인접한 지하수위 경계조건, 지형변화를 고려하여 엄밀하게 지하수위 선을 결정하는 것은 어려운 일이다. 따라서 안전측의 개념에서 검토구간의 최대지하수위 상승을 고려하여 동상수위높이차를 적용하여야 한다. 또는 지하수위의 공간적 분포를 결정하는 일반적인 방법을 적용하여도 무방하다.

〈표 17.7〉 지하수위 측정 결과 및 측정위치의 동상수위높이차 결정

| No | 측점    | 평가구간     | 구간 길이 (m) | 지하수위 (m) (GL-) ① | 측정 일시            | Hc (m) ② | 절성고 (m) ③ | (Hf,min) (m) ④ |
|----|-------|----------|-----------|------------------|------------------|----------|-----------|----------------|
| 1  | 0+320 | 검토구간-1   | 100       | 5.4              | 00년<br>3월<br>20일 | 1.5      | -1.77     | 1.13           |
| 2  | 0+960 | 검토구간-2   | 260       | 4.7              |                  |          | 1.76      | 3.96           |
| 3  | 1+380 | 검토구간-3-1 | 210       | 8.0              |                  |          | -2.03     | 3.47           |
| 4  | 1+660 | 검토구간-3-2 | 210       | 8.4              |                  |          | -2.39     | 3.51           |
| 5  | 2+080 | 검토구간-4   | 300       | 5.6              |                  |          | 0.63      | 3.73           |
| 6  | 2+860 | 검토구간-5   | 160       | 4.3              |                  |          | 1.53      | 3.33           |
| 7  | 3+460 | 검토구간-6-1 | 290       | 4.4              | 00년<br>5월<br>16일 | 0.8      | 1.62      | 3.52           |
| 8  | 3+760 | 검토구간-6-2 | 290       | 5.4              |                  |          | 1.56      | 4.46           |
| 9  | 5+600 | 검토구간-7-1 | 310       | 6.4              |                  |          | 1.88      | 5.78           |
| 10 | 6+080 | 검토구간-7-2 | 310       | 5.7              |                  |          | 1.36      | 4.56           |
| 11 | 7+580 | 검토구간-8-1 | 290       | 2.2              |                  |          | 1.9       | 1.60           |
| 12 | 7+780 | 검토구간-8-2 | 290       | 1.9              |                  |          | 1.13      | 0.53           |

① 지하수위 = 원지반에서 지하수위의 깊이

② Hc = 지하수위의 시간적 변동을 고려한 보정 값  
 = 0.8m (측정시기가 5월~8월 또는 11월~2월에 포함된 경우)  
 = 1.5m (측정 시기가 3월~4월, 9월~10월에 포함된 경우)

③ 절성고 = 계획고 - 지반고 (+ 흙쌓기, - 땅깍기)

④ (Hf,min) = 동상수위높이차

= 측정된 지하수위 (포장 표면으로부터의 깊이) - 지하수위의 시간적 변동을 고려한 보정 값 - 최대동결깊이

= (① + ③) - ② - 최대동결깊이

측정 지점에서 시간적 변동을 고려하여 결정된 동상수위높이차로부터 검토구간의 공간적 변동을 고려한 보수적 관점의 동상수위높이차를 <식 17.5> 및 <식 17.6>을 사용하여 결정한다.

$$(H_{f,min})_D = (H_{f,min})_m - \Delta H_w + \Delta H_p \quad \langle \text{식 17.5} \rangle$$

여기서,  $(H_{f,min})_D$  = 검토위치의 동상수위높이차

$(H_{f,min})_m$  = 지하수위 측정위치의 동상수위높이차

$\Delta H_w$  = 공간적 최대지하수위 변동높이

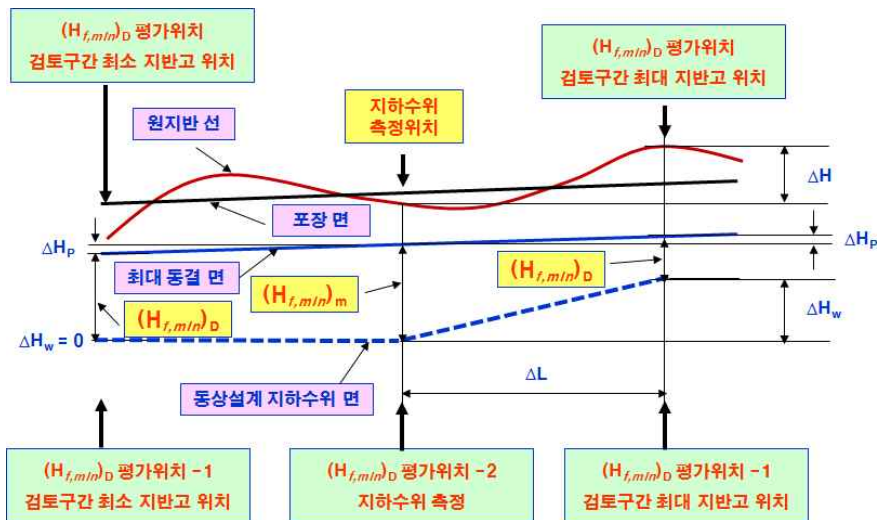
$\Delta H_p$  = 포장계획면 높이차 (검토위치 - 측정위치)

$$\Delta H_w = \text{MIN}[0.05 \times \Delta L, \Delta H] \quad \langle \text{식 17.6} \rangle$$

여기서,  $\Delta H_w$  = 공간적 지하수위 변동 최대 높이차

$\Delta L$  = 최대지반고 위치와 측정지점 사이의 거리

$\Delta H$  = 최대지반고 위치와 측정지점 사이의 지반고 높이차



<그림 17.2> 동상설계 지하수위의 공간적 변동 결정 개념도

〈식 17.6〉은 지형이 급변하더라도 지하수면의 경사도는 5% 이내로 제약되는 것을 고려하여 결정한 것이다. 지반고가 최대인 위치에서 지하수위의 최대 공간적 변화는 〈식 17.5〉와 같이 결정한다. 지반고가 최소인 위치에서의 공간적 최대 지하수위 변동높이( $\Delta H_w$ )는 0으로 한다.

검토구간 1의 경우, 〈표 17.8〉에 정리한 바와 같이 지하수위 측정위치에서 동상수위높이차는 1.13m로 결정되었다. 본 구간의 경우 동상수위높이차가 1.5m 이하로 수분영향에 의한 기준으로 동상방지층을 생략할 수 없는 구간으로, 동상수위높이차의 공간적 변동을 추가적으로 검토할 필요가 없다.

검토구간 3-2의 경우, 〈표 17.8〉과 같이 지하수위 측정위치에서 동상수위높이차는 3.51m로 결정되었다. 지하수위 측정위치에서 동상수위높이차가 1.5m 이상 이므로 검토구간의 지반고가 최대 또는 최소인 위치에서 동상수위높이차의 공간적 변동을 추가적으로 검토할 필요가 있다. 검토구간 3-2의 최대지반고는 1+720 으로 지하수위측정 지점과의 거리는 60m, 지반고 높이차는 12.8m, 포장계획면 높이차는 -1.94m로 조사되었다. 따라서 검토구간-3-2에서 최대지반고 위치에서 동상수위높이차는 〈식 17.5〉 및 〈식 17.6〉을 적용하여 0.93m로 결정된다. 최소 지반고는 1+760 으로 포장계획면 높이차는 -3.23m로 나타났다. 따라서 검토구간 3-2에서 최소 지반고 위치의 동상수위높이차는 〈식 17.5〉 및 〈식 17.6〉을 적용하여 0.28m로 평가된다. 지하수위 측정위치, 최대지반고 위치, 최소지반고 위치 중 최소 동상수위높이차는 0.28m로 1.5m 이하로 결정된다. 따라서 본 구간에서는 동상수위높이차를 기준으로 동상방지층을 생략할 수 없다.

앞에서와 같은 방법으로 각 구간의 동상수위높이차를 결정하여 정리하면 〈표 17.8〉과 같다. 각 구간의 동상수위높이차 중 최소값을 이용하여 해당 구간의 동상방지층 설치여부를 판정한다. 예를 들면, 검토구간 5의 경우에는 지하수위 측정위치의 동상수위높이차는 1.5m 이상이지만 공간적 변동을 고려한 동상수위높이차의 최소값은 0.46m로 평가되었으므로 동상방지층을 생략할 수 없는 구간에 해당한다.

〈표 17.8〉 검토구간별 최소 동상수위높이차 결정 및 동상방지층 설치여부 판정

| 평가구간     | 시 점     | 종 점     | 구간 길이 (m) | 동상수위높이차(m) |          |          | 최소 동상수위 높이차 (m) (Hf,min) (m) | 동상 방지 층설 치필 요성 |
|----------|---------|---------|-----------|------------|----------|----------|------------------------------|----------------|
|          |         |         |           | 측정 위치      | 최대 표고 위치 | 최소 표고 위치 |                              |                |
| 검토구간-1   | 0 + 320 | 0 + 420 | 100       | 1.13       | 3.63     | 1.13     | 1.13                         | ○              |
| 검토구간-2   | 0 + 860 | 1 + 120 | 260       | 3.96       | 1.34     | 0.00     | 0.00                         | ○              |
| 검토구간-3-1 | 1 + 340 | 1 + 550 | 210       | 3.47       | 3.06     | 3.47     | 3.06                         | ✕              |
| 검토구간-3-2 | 1 + 550 | 1 + 760 | 210       | 3.51       | 0.93     | 0.28     | 0.28                         | ○              |
| 검토구간-4   | 1 + 880 | 2 + 180 | 300       | 3.73       | 4.82     | 2.60     | 2.60                         | ✕              |
| 검토구간-5   | 2 + 820 | 2 + 980 | 160       | 3.33       | 0.99     | 0.46     | 0.46                         | ○              |
| 검토구간-6-1 | 3 + 260 | 3 + 550 | 290       | 3.52       | 8.39     | 10.69    | 3.52                         | ✕              |
| 검토구간-6-2 | 3 + 550 | 3 + 840 | 290       | 4.46       | 7.28     | 4.46     | 4.46                         | ✕              |
| 검토구간-7-1 | 5 + 480 | 5 + 790 | 310       | 5.78       | 5.78     | 3.46     | 3.46                         | ✕              |
| 검토구간-7-2 | 5 + 790 | 6 + 100 | 310       | 4.56       | 4.56     | 4.56     | 4.56                         | ✕              |
| 검토구간-8-1 | 7 + 420 | 7 + 710 | 290       | 1.60       | 1.33     | 1.60     | 1.33                         | ○              |
| 검토구간-8-2 | 7 + 710 | 8 + 000 | 290       | 0.53       | 2.53     | 0.00     | 0.00                         | ○              |

## 17.4 노상토의 특성을 고려한 동상방지층 설치구간 판정

동상방지층 설치 유무를 판단하기 위한 절차로서 노상토의 0.08mm 통과율에 따른 동상민감도를 결정한다. 동상민감도는 계획고 하부의 시추공 샘플을 이용한 체가름 시험으로 0.08mm 통과율을 결정하며, 계획고에 암반이 발생하는 경우 및 토사의 경우 0.08mm 통과율이 8% 이하인 경우에는 동상방지층을 생략한다. 동상민감도 판단을 위한 구간은 최대 300m를 기준으로 하며, 구간이 300m 이상인 경우 구간 시점으로부터 300m 간격으로 분할하여 동상민감도를 결정한다.

300m 이내인 구간에서의 입도분석이 2개 이상이고 0.08mm 통과율이 8% 초과 및 이하로 상이하게 나타나는 경우에는 0.08mm 통과율이 높은 시험결과를 이용한다. 땅깍기 구간의 동상민감도는 시추조사 시 노체 상단면 하부 1m 이내에서 채취된 시료를 사용한 입도분석 결과를 이용한다.

노상토의 동상민감도 결정을 위한 각 구간별 노상토의 종류 및 0.08mm 통과율은 <표 17.9>와 같이 나타났다.

<표 17.9> 동상방지층 설치여부 판정을 위한 노상토 특성 조사 결과

| 평가구간     | 시 점     | 종 점     | BH    | 노상토 특성 | 0.08mm 통과율(%) | 동상방지층 설치필요성 |
|----------|---------|---------|-------|--------|---------------|-------------|
| 검토구간-1   | 0 + 320 | 0 + 420 | BH-1  | SM     | 19.5          | ○           |
| 검토구간-2   | 0 + 860 | 1 + 120 | BH-2  | SM     | 14.2          | ○           |
| 검토구간-3-1 | 1 + 340 | 1 + 550 | BH-3  | 암반     | -             | ×           |
| 검토구간-3-2 | 1 + 550 | 1 + 760 | BH-4  | SW-SM  | 6.5           | ×           |
| 검토구간-4   | 1 + 880 | 2 + 180 | BH-5  | SP-SM  | 15.2%         | ○           |
| 검토구간-5   | 2 + 820 | 2 + 980 | BH-6  | GP     | 3.6%          | ×           |
| 검토구간-6-1 | 3 + 260 | 3 + 550 | BH-7  | SP-SM  | 7.8%          | ×           |
| 검토구간-6-2 | 3 + 550 | 3 + 840 | BH-8  | SM     | 22.3%         | ○           |
| 검토구간-7-1 | 5 + 480 | 5 + 790 | BH-9  | SP-SM  | 11.5%         | ○           |
| 검토구간-7-2 | 5 + 790 | 6 + 100 | BH-10 | SM     | 13.8%         | ○           |
| 검토구간-8-1 | 7 + 420 | 7 + 710 | BH-11 | SM     | 24.1%         | ○           |
| 검토구간-8-2 | 7 + 710 | 8 + 000 | BH-12 | SM     | 20.5%         | ○           |

각 구간의 노상도 특성을 고려한 동상방지층 설치구간 판정은 아래와 같다.

- ① 구간 1은 대부분 땅깍기 구간으로 계획고 하부에서 채취된 교란시료의 입도분석 결과 0.08mm 통과율이 8%를 초과하므로 동상방지층을 설치해야 하는 구간이다.
- ② 구간 2는 일부 땅깍기와 흙쌓기가 교차되는 구간으로, 시추 조사시 0.08mm 통과율이 8%를 초과하므로 동상방지층을 설치해야 하는 구간이다.
- ③ 구간 3은 땅깍기 구간으로, 암반과 0.08mm 통과량이 8% 이하인 양질의 노상토로 구성되어 있으므로 동상방지층은 생략된다.
- ④ 연장 300m인 구간 4는 땅깍기와 흙쌓기가 교차되며, 흙쌓기 높이가 낮은 구간에서 시추조사가 이루어졌고, 0.08mm 통과량은 8% 이하이다. 이 구간의 흙이 동일한(비슷한) 것으로 판단되고, 땅깍기부의 흙을 유용하여 흙쌓기를 하는 경우 동상방지층을 생략한다.
- ⑤ 구간 5는 양질의 토사로 이루어진 땅깍기 구간으로 0.08mm 통과율은 8% 이하이므로 동상방지층을 생략한다.
- ⑥ 구간 6은 땅깍기와 흙쌓기가 교차되는 연장 580m 구간으로 구간 시점으로부터 290m 구간과 이후 290m 구간으로 분리하여 검토한다. 두 공의 시추 및 체가름 시험결과, 앞 구간은 0.08mm 통과율이 8% 이하이므로 동상방지층을 생략하며, 뒷 구간은 0.08mm 통과율이 8% 초과이므로 동상방지층을 설치해야 하는 구간이다.
- ⑦ 구간 7은 연장 620m 구간으로 구간 시점으로부터 310m 구간과 이후 310m 구간을 분리하여 검토한다. 이 구간은 계획고와 지반고가 거의 동일한 지형으로 두 공의 시추공에 대한 체가름 시험결과, 0.08mm 통과율은 8% 초과하므로 동상방지층을 설치해야 하는 구간이다.
- ⑧ 구간 8 또한 연장 580m 구간으로 290m 씩 분리하여 검토한다. 해당 구간은 전체적으로 대부분 흙쌓기 구간으로 높이가 낮으며, 재료는 토취장에서 운반된 것으로 토취장 시료의 0.08mm 통과율이 8%를 초과하므로 동상방지층을 설치해야 한다.

## 17.5 구조적 능력을 고려한 동상방지층 결정

포장 설계 단면은 앞에서 제시된 설계 구간의 일반적인 특성과 1.2의 설계 동결깊이 그리고 <표 17.10>의 설계 기본 조건으로 설계할 수 있다. 이와 같은 조

건을 이용하여 포장 설계 단면을 결정한 결과, <표 17.10>과 같이 동상방지층을 300mm를 설치해야하는 것으로 나타났다. 동상방지층 설치구간에 대해서는 동상방지층의 구조적 효과를 고려하여 포장 단면을 조정한다.

<표 17.10> 포장 설계기본 조건 및 설계 단면

| 포장 설계 기본 조건 | 설계 등급                                                                                          | 공용 수명 | 교통량 (AADT) | 표층              | 기층              | 보조기층 | 노상  | 단면 특성 |
|-------------|------------------------------------------------------------------------------------------------|-------|------------|-----------------|-----------------|------|-----|-------|
|             | 2등급                                                                                            | 10년   | 13,000     | 19mm<br>PG64-22 | 25mm<br>PG64-22 | 기본값  | 기본값 | 절토부   |
| 설계 단면       | 포장형식 : 아스팔트 콘크리트 포장<br>포장층 두께 : 표층 50mm, 중간층 60mm, 기층 140mm,<br>보조기층 200mm<br>동상방지층 두께 : 300mm |       |            |                 |                 |      |     |       |

$$\Delta BDI(\%) = [4.3101 + 0.004211 \times TAP - 0.007136 \times TSB + 0.001815 \times TANTI - 0.3923 \times \text{TYPE I} + 0.0286 \times \text{TYPE II}]^2 \text{ <식 17.7>}$$

여기서,  $\Delta BDI(\%)$  : 동상방지층 구조적 평가 모형 (%)

TAP : 아스팔트층 두께 (mm)

TSB : 보조기층 두께 (mm)

TANTI : 동상방지층 두께 (mm)

TYPE I : 땅깍기부 (O : 1, X : 0)

TYPE II : 흙쌓기경계부 (O : 1, X : 0)

$$\Delta BDI(\%) = [4.3101 + 0.004211 \times 250 - 0.007136 \times 200 + 0.001815 \times 300 - 0.3923 \times 1 + 0.0286 \times 0]^2 = 16.7\% \div 17\% \text{ <식 17.8>}$$

동상방지층의 구조적 효과는 <식 17.7>을 이용하여 계산할 수 있으며, 동상방지층의 구조적효과에 따라서 구조적으로 고려 가능한 동상방지층의 두께도 달라진다. 포장 설계 단면에서 결정된 포장 층의 두께를 <식 17.7>에 적용한 결과를 <식 17.8>에서 보여주고 있으며,  $\Delta BDI(\%)$ 가 17%로 나타났다. <식 17.8>로 계산된  $\Delta BDI(\%)$  17%는 현장 데이터를 이용하여 개발된 예측 모형의 결과로 표 A.9에 제시된 단면에 동상방지층을 300mm 시공하면 동상방지층이 전체 포장층에 대하여  $\Delta BDI(\%)$  지수로 17%만큼 구조적으로 영향을 미친다는 것이다.

따라서, 포장 설계 단계에서  $\Delta BDI(\%)$ 가 17%로 나타나는 동상방지층의 두께를 구하여야 하며, 그 두께만큼은 구조적층으로 고려하여 설계를 수행해야 한다. 동상방지층에서 구조적으로 고려해야 하는 두께는 구조해석 프로그램으로 <식 17.9>에 해당되는 위치에서의 처짐량을 구하고, <식 17.9>와 <식 17.10>을 이용하여  $\Delta BDI(\%)$ 를 계산한다.

그림 3은 구조해석 프로그램을 이용하여 계산된 동상방지층 두께에 따른  $\Delta BDI(\%)$ 의 변화를 보여주고 있다. 그림에서 보듯이 동상방지층의 두께가 증가될수록  $\Delta BDI(\%)$ 는 증가하는 경향을 보이며,  $\Delta BDI(\%)$ 가 17%로 계산되는 동상방지층의 두께를 찾을 수 있다. 본 예제에서는 동상방지층 전체 두께 300mm중 약 70mm만 구조적으로 고려 가능한 동상방지층의 두께로 나타났다.

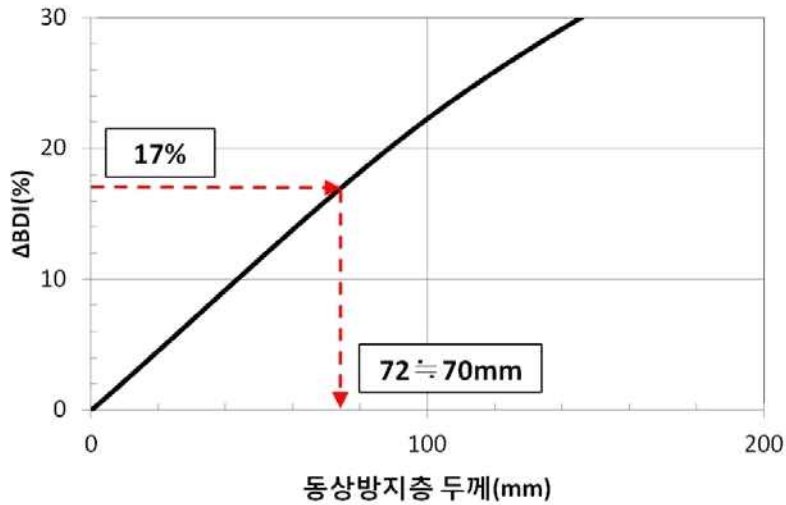
$BDI = \frac{D30 - D6}{D6}$  <식 17.9>

여기서, D30 = 재하판으로부터 300mm 떨어진 지점의 처짐 D65 = 재하판으로부터 650mm 떨어진 지점의 처짐

$$\Delta BDI(\%) = \frac{BDI - BDI^*}{BDI} \times 100 \quad \text{<식 17.10>}$$

여기서, BDI = 동상방지층이 없는 구간의 BDI

$BDI^*$  = 동상방지층이 있는 구간의 BDI



〈그림 17.3〉 동상방지층 두께에 따른  $\Delta$ BDI(%) 변화

구조 해석으로 결정된 구조적 동상방지층의 두께 70mm를 보조기층의 일부 부분으로 간주하여 공용성 분석을 수행한다. 〈그림 17.4〉는 동상방지층의 구조적 특성을 고려한 공용성 분석 결과를 보여주고 있다. 〈그림 17.4〉의 (A)에서 보듯이 기본 단면으로 공용성 분석을 수행하면 설계수명이 10년으로 나타난 것을 확인할 수 있다. 하지만, 〈그림 17.4〉의 (B)와 같이 구조적으로 고려한 동상방지층의 두께 70mm를 구조층으로 고려하여 공용성 분석을 수행하면 설계수명이 12년으로 증가하는 것을 확인할 수 있다. 따라서, 설계수명 10년으로 설계할 경우에는 포장층의 두께를 감소시켜 재설계를 실시해야하며, 재설계를 수행할 때는 경제성을 고려하여 기층 두께를 감소시켜서 설계수명을 만족시켜야 한다. 〈그림 17.4〉의 (C)는 재설계 결과를 보여주고 있으며, 기층 두께를 약 10mm 감소시키면 설계수명 10년을 만족하는 것으로 나타났다.

〈그림 17.4〉에서 동상방지층의 구조적 효과를 고려하기 전과 후의 전체 포장단면의 두께는 750mm로 변화가 없다. 이런 결과는 공용성을 고려하여 기층 두께 10mm를 감소시키고 동상방지층의 두께를 10mm 증가 시켰기 때문이다. 동상방지층은 구조적 효과만 있는 것이 아니라 기능적 효과도 동시에 가지고 있기 때

문이다. 단순히 공용성을 만족시키기 위하여 기층 두께만 감소시키면, 전체 두께가 740mm로 동결심도 보다 낮게 되어 겨울철에 포장 파손을 야기시키는 원인이 되기 때문이다. 따라서, 공용수명을 만족시키기 위하여 기층 두께를 감소시킬 경우에는 반드시 감소시키는 두께만큼 동상방지층의 두께를 증가시켜서 포장층의 구조적 효과뿐만이 아니라 기능적 효과도 만족시켜야한다.



〈그림 17.4〉 동상방지층의 구조적 효과를 고려한 포장 설계 결과

## 17.6 동상방지층 설계결과 요약

동상방지층 설계 검토결과를 정리하면 다음과 같다.

- (1) 설계구간의 교통량 등을 고려한 포장단면 설계 결과 표층 50mm, 중간층 60mm, 기층 140mm, 보조기층 200mm로 결정되었다.
- (2) 설계동결깊이가 750mm로 결정되어, 300mm의 동상방지층이 필요한 것으로 결정되었다.
- (3) 흙쌓기 높이를 고려하여 흙쌓기 높이 2m 이상의 구간과 2m 미만 구간을 구분하여 결정하였다. 흙쌓기 높이 2m 이상의 구간에 대해서는 동상방지층을 생략하고, 2m 미만 구간을 설정하여 동상수위높이차, 노상도 조건에 따른 동상방지층 필요성 여부를 판정하여 <표 17.11>의 결과를 얻었다.

<표 17.11> 검토구간의 동상방지층 필요성 여부 판정

| 검토구간     | 시 점     | 종 점     | 구간길이 (m) | 동상방지층 설치 필요성 |                      |              |       |
|----------|---------|---------|----------|--------------|----------------------|--------------|-------|
|          |         |         |          | 판정기준         |                      |              | 최종 판정 |
|          |         |         |          | 노상도<br>압반 구간 | 노상도<br>0.08mm<br>통과율 | 동상 수위<br>높이차 |       |
| 검토구간 - 1 | 0 + 320 | 0 + 420 | 100      | -            | ○                    | ○            | ○     |
| 검토구간 - 2 | 0 + 860 | 1 + 120 | 260      | -            | ○                    | ○            | ○     |
| 검토구간-3-1 | 1 + 340 | 1 + 550 | 210      | x            | -                    | x            | x     |
| 검토구간-3-2 | 1 + 550 | 1 + 760 | 210      | -            | x                    | ○            | x     |
| 검토구간 - 4 | 1 + 880 | 2 + 180 | 300      | -            | ○                    | x            | x     |
| 검토구간 - 5 | 2 + 820 | 2 + 980 | 160      | -            | x                    | ○            | x     |
| 검토구간-6-1 | 3 + 260 | 3 + 550 | 290      | -            | x                    | x            | x     |
| 검토구간-6-2 | 3 + 550 | 3 + 840 | 290      | -            | ○                    | x            | x     |
| 검토구간-7-1 | 5 + 480 | 5 + 790 | 310      | -            | ○                    | x            | x     |
| 검토구간-7-2 | 5 + 790 | 6 + 100 | 310      | -            | ○                    | x            | x     |
| 검토구간-8-1 | 7 + 420 | 7 + 710 | 290      | -            | ○                    | ○            | ○     |
| 검토구간-8-2 | 7 + 710 | 8 + 000 | 290      | -            | ○                    | ○            | ○     |

- (4) 동상방지층이 설치되는 구간에서 동상방지층의 구조적 능력을 고려하여 포장단면을 조정하 결과, 표층 50mm, 중간층 60mm, 기층 130mm, 보조기층 200mm, 동상방지층 310mm로 결정되었다.
- (5) 동상방지층설치가 필요한 구간은 검토구간-1, 검토구간-2, 검토구간-8-1, 검토구간-8-2으로 총연장 940m 이다. 본 구간에 대해서는 표층 50mm, 중간층 60mm, 기층 130mm, 보조기층 200mm, 동상방지층 310mm를 적용한다. 그 외의 모든 구간에서는 동상방지층을 생략하여, 표층 50mm, 중간층 60mm, 기층 140mm, 보조기층 200mm를 적용한다. 단, 교량, 터널 등 구조물 구간에 대해서는 별도의 포장단면이 설계된 경우를 따른다. 정리하면 <표 17.12>와 같다.

<표 17.12> 동상설계를 고려한 토공구간 구간별 포장단면

| 구 분      |                                          | 적용 포장단면                                                      | 비고       |
|----------|------------------------------------------|--------------------------------------------------------------|----------|
| 토공<br>구간 | 검토구간-1<br>검토구간-2<br>검토구간-8-1<br>검토구간-8-2 | 표층 50mm<br>중간층 60mm<br>기층 130mm<br>보조기층 200mm<br>동상방지층 310mm | 동상방지층 적용 |
|          | 이외의 모든 토공구간                              | 표층 50mm<br>중간층 60mm<br>기층 140mm<br>보조기층 200mm                | 동상방지층 생략 |

## 부록 18. 기타 포장

### 18.1 길어깨 포장의 설계

#### 18.1.1 길어깨 포장의 역할

길어깨는 차도의 측방여유폭을 확보하기 위하여 차도에 접속하여 설치하는 도로의 부분으로서, 도로의 주요 구조물을 보호하고, 보행자를 포함하여 교통의 안전성, 쾌적성을 확보함과 동시에 도로의 유지, 관리 및 차량의 비상주차에 필요한 공간을 제공하는 역할을 한다.

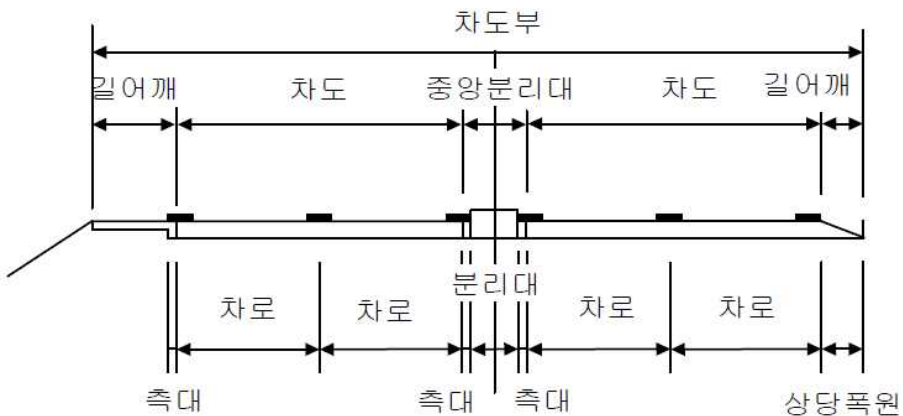
#### 18.1.2 길어깨 포장의 구조

길어깨의 구조는 길어깨의 본선 포장구조가 아스팔트인 경우에는 폭, 기능, 시공의 정밀성 등을 고려하고 노상의 지지력, 동결깊이, 교통량, 과거의 실적 등을 종합적으로 검토하여 결정하되 작업차나 고장차량 등의 일시적인 교통하중에 견딜 수 있는 구조를 원칙으로 한다. 일반적으로 길어깨는 연성기층(flexible base)이라는 입도 조절 기층 또는 안정처리 기층에 아스팔트 표층으로 이루어져 있고 본선 포장구조가 콘크리트인 경우에는 강성 또는 연성 표층으로 구성된다.

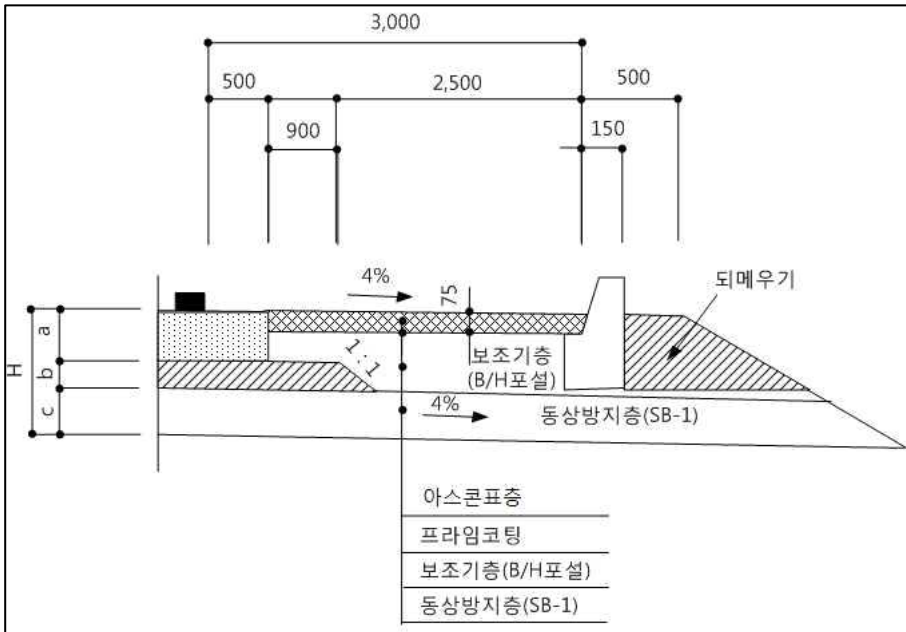
본선과 길어깨의 구조, 재료 등이 동일하지 않고 중차량이 자주 길어깨를 침범함으로 본선과 길어깨 사이의 접속부에 많은 문제들이 발생한다. 이러한 문제점을 해결하기 위한 방법은 다음과 같다.

- ① 길어깨의 포장 두께 증가
- ② 접속부 줄눈에 특수한 줄눈재나 타이바를 설치

길어깨는 <그림 18.1>에서 보는 바와 같이 측대를 설치하는 경우와 설치하지 않는 경우가 있다. 측대는 자동차 바퀴가 그 위를 주행하는 경우가 많으므로 본선과 같은 구조로 한다. 측대를 제외한 길어깨의 포장은 차도 보다 간단한 구조로 하는 것이 원칙이나, 길어깨의 폭이 좁거나(일반적으로 측대를 제외한 길어깨의 폭이 1m 미만일 경우), 길어깨에 측구 등의 노측 구조물이 접촉하여 설치될 경우에는 시공성, 유지관리 등을 고려하여 길어깨 전폭에 걸쳐 차도와 동일한 구조로 할 수 있다. 측대를 설치하지 않는 경우에는 측대 폭에 상응하는 공간에 차륜이 주행하는 일이 많으므로 본선과 같은 구조로 한다. <그림 18.2>와 <그림 18.3>은 일반적인 길어깨 포장의 단면을 나타내고 있다.

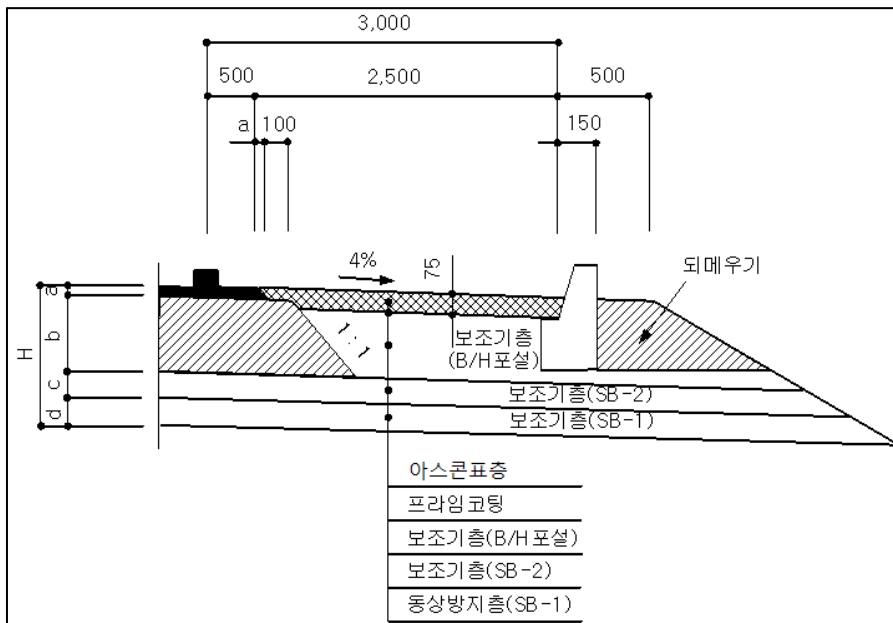


<그림 18.1> 길어깨의 횡단면 구성



(단위 : mm)

<그림 18.2> 길어깨 포장 - 콘크리트



(단위 : mm)

<그림 18.3> 길어깨 포장 - 아스팔트

### 18.1.3 길어깨 포장 설계시 요구사항

고속도로 포장설계에서는 본선이 콘크리트인 경우 길어깨 형태를 콘크리트 슬래브 또는 아스팔트 표층을 사용한다. 콘크리트 슬래브인 경우 슬래브 두께를 15cm로 하며, 아스팔트 표층인 경우 7.5cm를 기준으로 한다. 그렇지만 기존 도로의 공용결과를 보면 본선보다 길어깨의 파손이 많은 경우가 있으므로 이에 대한 개선이 필요하다. 국도의 포장설계에서는 길어깨의 폭이 좁으므로 본선과 동일하게 시공한다.

- (1) 길어깨 포장에 사용되는 재료로는 아스팔트 콘크리트나 시멘트 콘크리트를 일반적으로 많이 사용하고 있으며 그 선택은 시공성, 경제성, 재료 취득의 용이성 등 제반 여건에 따라 결정되어야 한다.
- (2) 일반적인 설계에서 길어깨의 표층은 차도 표층의 두께와 같게 하고 기층을 두지 않고 바로 보조기층을 두며 노상면은 차도와 일치시킨다.
- (3) 길어깨 차로 설계는 인접차로의 2.4% 축하중을 교통량으로 고려하여 본선의 설계 방법과 동일하게 한다.
- (4) 교통량 예측 없이 설계할 경우에는 길어깨 부의 노상면에서의 소요 SN은 2.5를 기준으로 한다.
- (5) 오르막차로가 없는 4% 이상의 오르막구배가 있는 곳에서는 트럭통행에 대한 고려가 있어야 한다. 즉, 축하중을 기준으로 2.4% 이상의 차량이 길어깨를 침범할 경우 본선 기층 두께의 1/2 또는 1층 포설 두께로 기층을 설치한다.
- (6) 연결로 등과 같이 곡선반경이 작은 구간의 내측 길어깨 포장은 주행 특성상 차륜이 올라가는 예가 많으므로 차도와 동일한 지지력을 갖도록 설계함이 바람직하다.
- (7) 이 외에 길어깨 포장의 주요파손 원인인 차도와 의 이음부에서의 물의 침투, 심한 기후변동 등에 의한 고려도 충분히 있어야 한다.
- (8) 차도 포장과 길어깨 포장의 접합부는 줄눈재를 주입하여 침투수를 방지하고 침투된 물은 신속히 배수되도록 한다.

## 18.2 연결로 접속부 포장

### 18.2.1 개요

연결로 접속부(ramp terminal)는 변속차선의 노즈로부터 테이퍼단까지 구간(변속차선 구간, 테이퍼 또는 교통섬 포함)으로서 본선 차도에 접속되는 부분을 말한다.

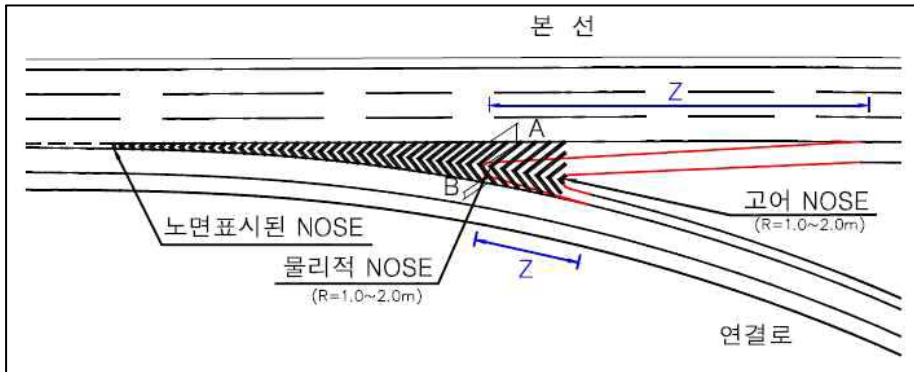
연결로 차도와 측대를 제외한 길어깨 등 연결로 본체 이외의 부분이나 휴게시설, 주차장등의 부속 시설에 있어서 포장은 교통 하중 등이 본선 부분과 설계 수준에 상당히 차이가 있으므로 이용 목적에 따라서 적절한 구조로 설계하는 것이 좋다. 또한 차량 안정성, 포장 시공성과 경제성을 고려하여 적절한 포장 형식을 선택하는 것이 좋다. 특히, 인터체인지, 휴게시설, 주차장 등과 접속되는 연결로 접속 구간의 연장이 50m 미만인 경우 이 부분의 기능과 시공성을 고려하여 적절한 포장 형식을 선택하는 것이 좋다.

### 18.2.2 설계 시 고려사항

유출 연결로인 경우에는 본선 포장과 접촉되는 연결로 접속부의 포장은 다음 사항을 고려해야 한다.

- (1) 대형 연결 차량의 회전에 필요한 확폭이 고려될 때는 차도부 포장을 연결로 확폭량 만큼 연장시켜야 한다.
- (2) 중차량 통행이 큰 연결로 접속부 포장은 유지관리, 시공성, 그리고 경제성을 고려하되, 본선 포장 형식이 아스팔트 포장일지라도 가능한 콘크리트 포장으로 하는 것이 바람직하다.
- (3) 유출 연결로 부분을 통과한 본선의 우측 길어깨 부분(〈그림 18.4〉의 Z값)은 〈표 18.1〉에 주어지는 길이로 본선 차도부 포장을 길어깨 단부까지 연장시켜야 한다.

본선 포장의 측대 단부와 연결로 접속부와의 연결 접촉면은 단차 없이 연속성을 확보할 수 있도록 적정의 구조를 가져야 하고 특히 본선과 연결로 접속부를 콘크리트 포장으로 설계하는 경우 도색 노즈(painted nose)부분은 상하부에 적정의 보강 철근과 철망으로 보강한다.



자료 : 한국도로공사, 도로설계요령 제10편 포장, 2009

〈그림 18.4〉 연결로 접속부의 표준 구성

〈표 18.1〉 본선 측 연결로 육셋 테이퍼 설치 기준

| 설계속도(km/h)    | 연결로  |      |      | 본선   |      |      |      |      |
|---------------|------|------|------|------|------|------|------|------|
|               | 50   | 60   | 70   | 80   | 90   | 100  | 110  | 120  |
| 노즈 테이퍼(z)의 길이 | 15.0 | 20.0 | 22.5 | 25.0 | 27.5 | 30.0 | 35.0 | 40.0 |

### 18.2.3 연결로 포장

#### (1) 연결로 포장

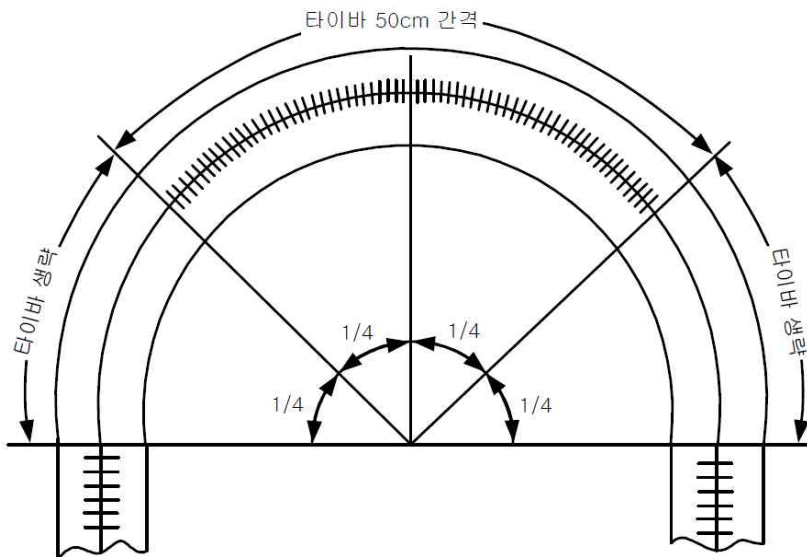
본선 포장이 콘크리트 포장인 경우 연결로와 접속부의 포장형식을 CRCP 또는 JCP로 선택할 때 본선 콘크리트 포장과 연결로 포장이 모두 JCP인 경우 접속되는 시공 줄눈부에 타이바를 설치하는 것이 바람직하다. 그러나 연결로 접속부가 50~60m 이하인 경우에는 타이바를 생략할 수 있다. 본선과 연결로를 모두 CRCP로 설계한 경우본선 CRCP포장의 횡방향 철근을 연결로 접속부까지

연장 설치하는 것이 좋고 연결로를 JCP로 하는 경우에는 연결로 접속부를 본선 포장과 동일한 CRCP로 하는 것이 좋다. 그리고 연결로 포장 형식이 콘크리트 포장이고 이것과 접속되는 다른 도로가 콘크리트 포장인 경우에는 다웰바를 가지는 팽창줄눈을 설치하고 아스팔트 포장인 경우에는 시공 맞댄줄눈을 통해서 인접 아스팔트 포장과 연결하도록 콘크리트 단부를 차단시키고 아스팔트 포장과 콘크리트 포장 경계부에서 단차가 발생되지 않도록 한다.

## (2) 곡선반경이 작은 경우

### 가. 평면 곡선반경이 작은 구간

곡선반경이 100m이하의 곡선구간의 세로방향줄눈은 <그림 18.5>와 같이 곡선 구간을 4등분하고, 전 길이의 1/2에 해당하는 중앙 1/2은 통상의 1/2 간격으로 타이바를 설치하고 곡선의 처음 및 끝부분의 1/4구간은 타이바를 사용하지 않는다. 또한, 이 경우 팽창줄눈은 곡선구간 내에는 설치하지 않는다.



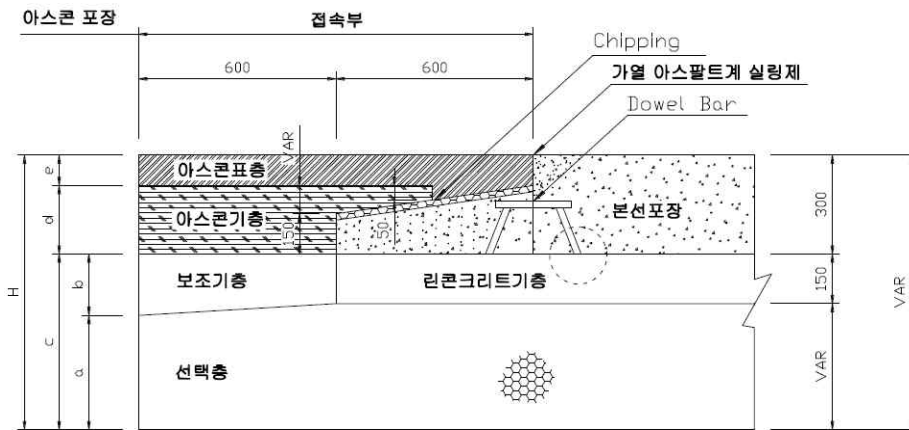
<그림 18.5> 곡선부에서의 타이바 설치 예

#### 나. 종단 곡선반경이 작은 구간

종단 곡선반경이 대략 300m 이하인 곡선구간을 포함한 경우는 팽창줄눈 간격을 80~120m로 한다.

### (3) 아스팔트 포장과 콘크리트 포장의 접속

아스팔트 포장과 콘크리트 포장의 접속은 <그림 18.6>과 같으며 그림에서와 같이 아스팔트와 콘크리트의 접속부분은 치핑 해야 한다.



(주) joint부는 Sow Cutting(폭 6mm, 길이 15mm)후  
가열 아스팔트계 실링제 주입

<그림 18.6> 아스팔트 포장과 콘크리트 포장의 접속단면 예

### (4) 연결로 길어깨 포장

고속도로 본선 주행차량의 지체를 방지하고자 연결로의 2차로 운용이 가능하도록 진출연결로의 전 폭을 본선 포장과 동일하게 시행하며, 진입 루프램프에 있어서는 곡선반경 100m미만의 원곡선과 이에 접속되는 완화구간을 포함하여 차량 진행방향의 길어깨 우측을 본선포장 단면으로 보강한다.

## 18.3 구조물 상부 포장

횡단구조물에 접속하는 콘크리트 슬래브 및 횡단구조물상의 콘크리트 슬래브의 보강은 다음과 같다.

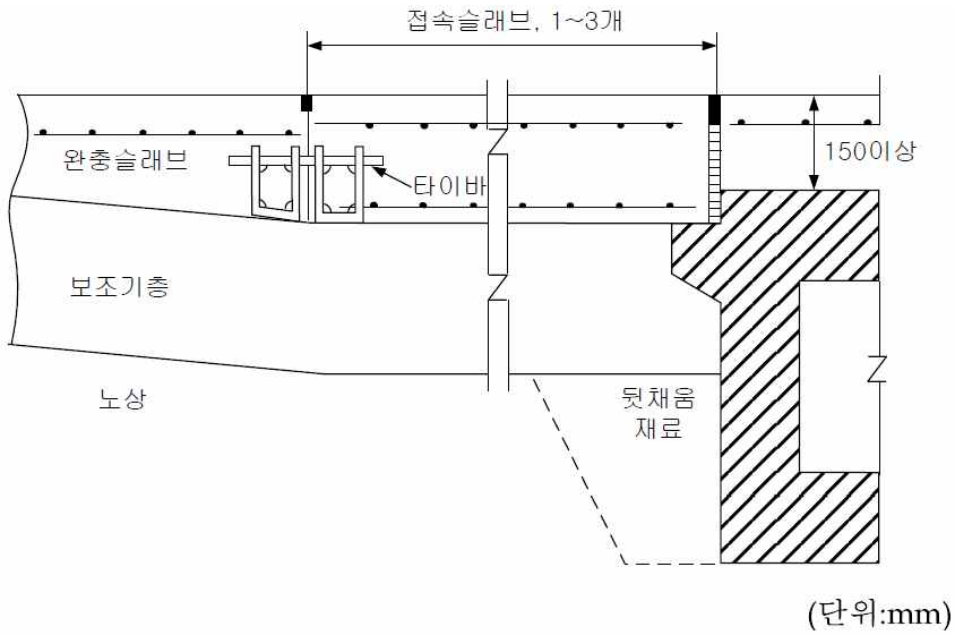
### 18.3.1 콘크리트 슬래브가 횡단구조물과 접속하는 경우

콘크리트 슬래브가 암거 등의 횡단구조물에 접속하는 경우에는 횡단구조물의 배면에 턱(받침대)을 붙이는 것을 원칙으로 한다. 또한 횡단구조물의 상단이 콘크리트 슬래브 두께의 중간에 들어가는 경우에는 <그림 18.7>과 같이 접속슬래브를 설치한다. 단, 콘크리트 슬래브와 횡단구조물과의 높이차가 15cm 이상의 경우에는 구조물상의 포장은 콘크리트 슬래브로 하고, 15cm 미만의 경우에는 일반 아스팔트 포장으로 할 수 있다.

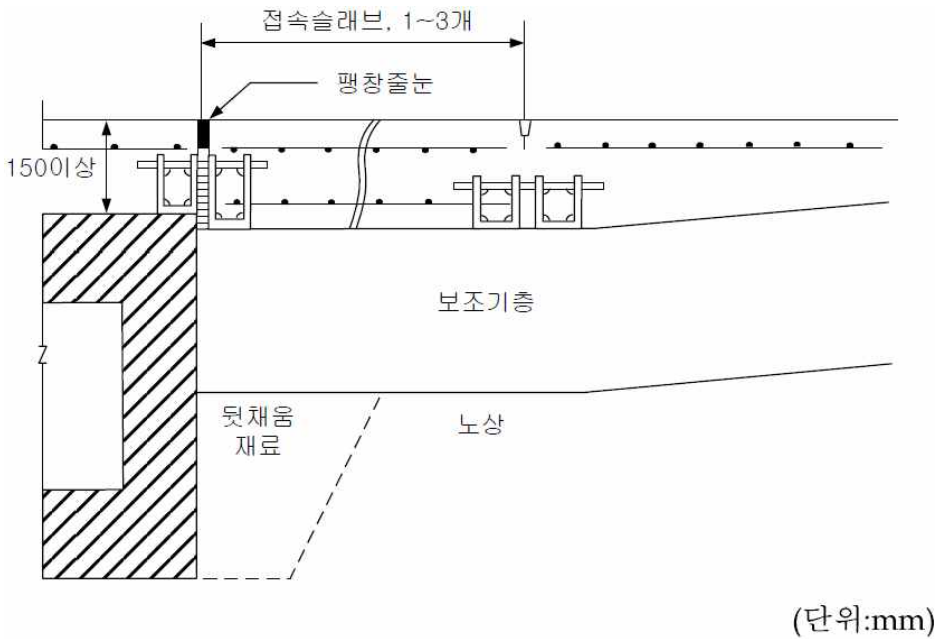
[주1] 구조물상의 포장두께가 15cm 미만으로 콘크리트 포장으로 하는 경우 구조물과 콘크리트 슬래브와는 완전히 부착되도록 한다.

[주2] 턱(받침대)이 붙어있지 않는 경우 구조물상에 15cm 이상의 콘크리트 슬래브를 포설할 수 있는 경우에는 에 나타나듯이 1~3개의 접속슬래브를 사용한다. 이 경우 되메움의 다짐을 충분히 해야 한다.

[주3] 턱이 붙어있지 않은 경우도 구조물상의 포장두께가 15cm 미만의 경우에는 구조물상 및 전후를 포함해서 아스팔트포장을 할 수 있다



〈그림 18.7〉 콘크리트 슬래브에 포함된 경우의 설계



〈그림 18.8〉 턱(받침대)이 없는 경우 설계 예

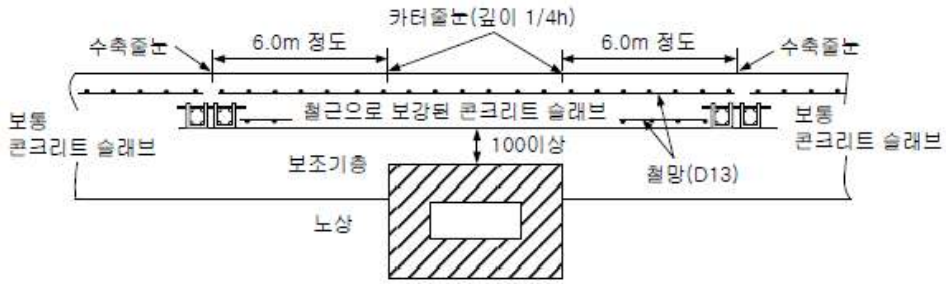
## 18.3.2 콘크리트 슬래브가 횡단구조물 위에 있는 경우

### (1) 횡단구조물이 보조기층 내에 있는 경우

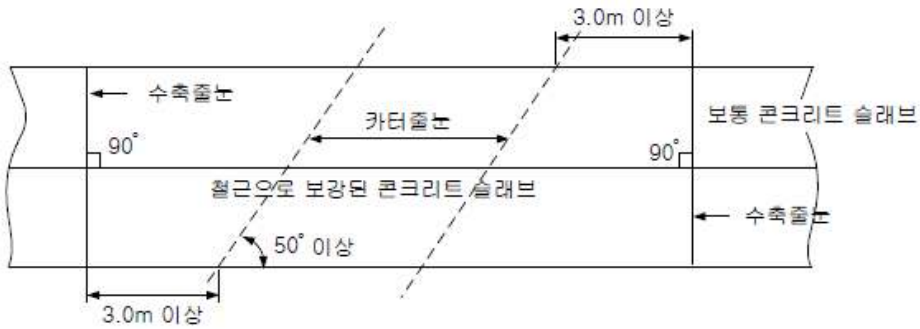
이 경우에는 <그림 18.9>와 같이 횡단구조물위를 포함해서 전후를 철근으로 보강한 콘크리트 슬래브로 길이는 횡단구조물의 전후에 서로 대략 6m를 더한 것으로 한다. 이 경우 횡단구조물의 양끝부분 직상부에는 카터(cutter) 줄눈을 설치하고 줄눈재로 충전한다. 또, 횡단구조물상의 보조기층 두께가 10cm이하일 때도 보조기층을 고르기 콘크리트로 한다. 콘크리트 슬래브 두께는 통상의 슬래브 두께를 사용하여 최소 두께는 20cm로 한다.

### (2) 관로구조물이 보조기층 내에 있는 경우

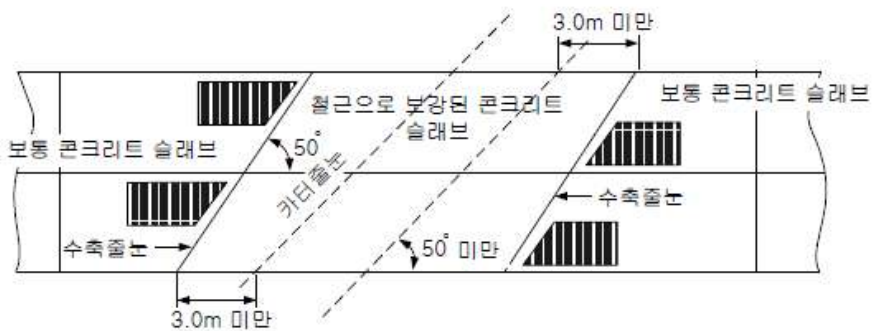
이 경우에는 <그림 18.10>의 예시와 같이 관로상의 콘크리트 슬래브는 철근과 철근을 2중으로 사용해서 보강하고 슬래브두께는 보통의 두께로 한다. 관로구조물의 중심에는 카터줄눈을 설치, 중심으로 각각 6m 정도의 위치에 수축줄눈을 설치한다.



(a) 단면도



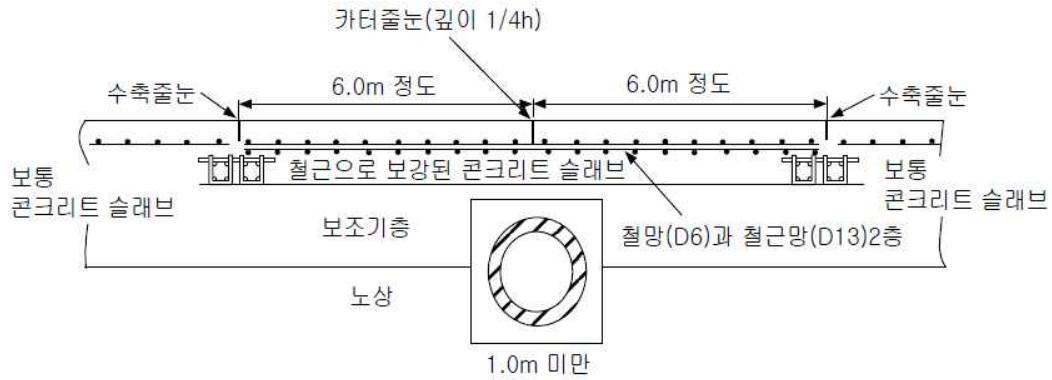
(b) 사각이 50. 이상의 경우



(c) 사각이 50. 미만의 경우

(단위:mm)

<그림 18.9> 횡단구조물이 보조기층 내에 있는 경우의 설계 예

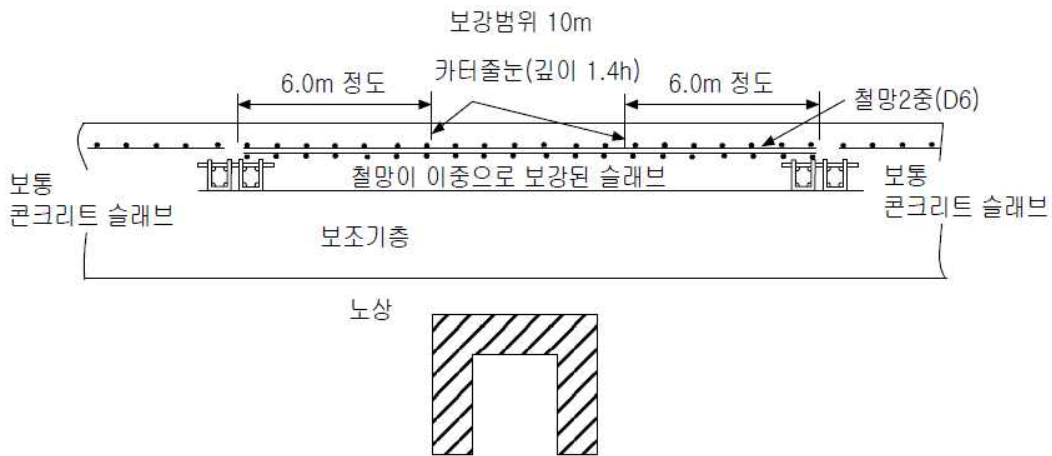


(단위: mm)

<그림 18.10> 관로구조물이 보조기층 내에 있을 때 설계 예

### 18.3.3 횡단구조물이 노상 내에 있는 경우

횡단구조물이 노상 내에 있을 경우 <그림 18.11>과 같이 철망을 2중으로 사용한 콘크리트 슬래브로 한다. 보강 슬래브의 길이는 18.3.2절의 (1), (2)에 준한다. 횡단구조물이 노상보다 밑에 있는 경우로 침하가 예상되는 경우에는 <그림 18.11>에 준하면 좋다.



(단위:mm)

<그림 18.11> 횡단구조물이 노상 내에 있을 경우의 설계 예

## 18.4 확장구간 포장

### 18.4.1 개요

최근 고속도로 교통량의 급증에 따른 기존 고속도로의 확장 사업이 빈번하게 되었다. 확장대상의 기존 고속도로는 대부분 1990년 이전에 건설되어진 고속도로로서 확장 시 대규모 폐도발생 및 환경 피해 등이 문제점으로 대두되고 있다. 또한 중부고속도로 등 기존 포장이 콘크리트포장인 경우 확장에 따른 부등침하 및 접속부 처리, 터널 및 교량의 확장방법 등 확장에 따른 기술적 문제점이 대두되고 있는 실정이다. 현재까지는 확장구간 접속부 포장에 대한 기준이 없으므로 본 편람에서는 중부고속도로 확장시 검토되었던 접속 방안을 기술함으로써 설계 시 참고하도록 하였다.

### 18.4.2 콘크리트 포장 접속방안

콘크리트 포장을 확장할 경우 신·구 슬래브의 접속과 관련하여 다음 두 가지 중요한 문제가 대두된다.

- ① 신·구 슬래브를 그대로 접속하는 경우 기존 슬래브의 측대(폭 50cm)로 인해차량 하중이 신·구 슬래브 접합부에 주로 재하됨에 따른 하중전달 취약 문제
- ② 신·구 슬래브 간의 연결이 미흡할 경우 슬라이딩 우려가 있으며 하중전달이 미흡할 경우 단차 및 균열의 우려가 있다.  
따라서 이러한 문제점을 최소화하기 위하여 콘크리트 포장 접속방안 검토 예를 제시하며, 추후 보완연구를 통하여 적정 방안을 제시해야한다.

## (1) 콘크리트 포장 접속방안 대안

가. 측대폭(50cm)의 전부 또는 일부를 기존 차로에 안배하는 방안

a. 분배방법

〈표 18.2〉 측대폭 분배 방안

(단위: cm)

| 구분 | 내측 측대 | 1차선 | 2차선                     |
|----|-------|-----|-------------------------|
| 1안 | +20   | +15 | +15                     |
| 2안 | +0    | +20 | +30                     |
| 3안 | +0    | +15 | +15(+20 : 확장차로에 그대로 둔다) |

b. 장점

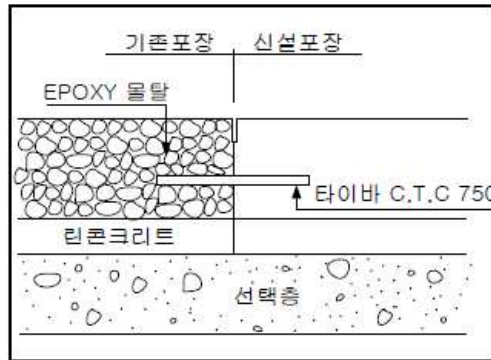
- 연결부의 하중재하 방지로 포장수명 증진
- 측대 절단이 없으므로 시공 간편
- 차로 확폭으로 도로 기능 증대
- 분배방법 제3안의 경우 확장차로에 20cm가 그대로 남게 되는데 이 정도는 차륜하중으로부터 어느 정도 떨어져 있으므로 접속부의 하중전달장치를 보완하면 큰 문제가 없을 것으로 판단됨

c. 단점

- 기존 차로에 안배된 측대폭만큼 추가 용지 확보 필요
- 차로폭 조정으로 인한 도색작업 필요
- 교량, 터널 진입시 차로폭이 줄어드는 느낌을 줄 수 있음
- 신설 슬래브와의 접합을 위한 타이바 설치 문제는 그대로 남아 있음

## 나. 신규 슬래브를 타이바로 연결하는 방안

- (a) 신규 슬래브를 타이바로 연결하되 타이바 사용량을 늘려 충분한 하중전달 기능 확보토록 함
- (b) 측대쪽의 일부를 기존 차로에 안배와 함께 적용하는 방안도 고려할 수 있음
- (c) 타이바를 한 구멍당 2개씩 삽입하거나 타이바의 개수는 그대로 두고 굵기를 크게 한다.(굵기를 크게 하는 경우 관입 깊이를 길게 해야 콘크리트와의 bond를 유지할 수 있음)
- (d) 시공성 (2인 1조, 1일 100공 시공 가능)



〈그림 18.12〉 신규 슬래브를 타이바로 연결하는 방안

### a. 장점

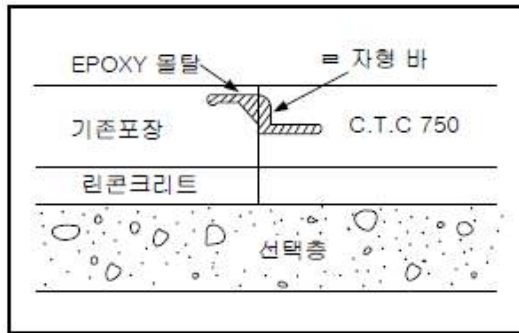
- 타이바 설치 작업 외에는 시공이 간단하다.
- 충분한 타이바 사용으로 신규 슬래브간의 벌어짐을 방지하고 동시에 하중전달을 원활히 한다. (단차 방지)

### b. 단점

- 타이바 설치를 위한 천공작업이 번거로움
- 접속부위가 차바퀴 궤적과 일치할 수 있으므로 승차감 저하
- 천공으로 인해 기존 슬래브의 강성을 약화시킬 수 있다.
- 신규 슬래브 접속부를 따라 스폴링이 발생할 가능성이 있음

## 다. 타이바 대신 ‘ㄹ’자형 타이바 겸 하중전달장치 사용

- (a) 기본적으로 타이바 시공과 유사하나 시공이 번거로운 천공대신 기존 슬래브 표면에 홈을 파서 <그림 18.13>과 같이 특별히 고안된 하중 전달 장치를 삽입하고 에폭시로 홈을 채우는 방식
- (b) 타이바와 다우웰바의 기능을 동시에 수행
- (c) 철근의 굵기는 하중전달에 충분한 정도로 할 것
- (d) ‘가’형의 측대측의 일부를 기존 차로에 안배하는 안과 함께 적용하는 방안도 고려할 수 있음



<그림 18.13> 타이바 대신 ‘ㄹ’자형 타이바 겸 하중전달장치 사용

### a. 장점

- 천공대신 콘크리트 표면에 홈을 만들어 끼우므로 시공 간편하다.
- 천공방식보다 인근 콘크리트의 약화를 줄일 수 있다.
- 천공방식보다 기존 슬래브와 타이바 간의 접착을 확실히 할 수 있다

### b. 단점

- 시공실적 없음
- ‘ㄹ’자형 하중전달장치 별도 제작 필요

## 라. 기존포장의 측대부를 절삭 및 치핑 후 신설포장 시공

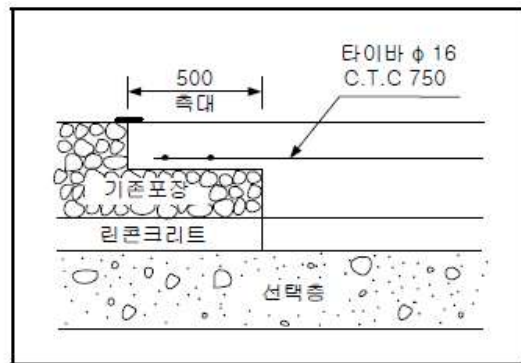
(a) 기존포장의 측대부를 절삭 및 치핑(기존 슬래브 두께의 1/2)하고 취약부를 철근 보강후 신설포장 시공

### a. 장점

- 신구 포장의 일체화로 접합부의 단차 및 벌어짐 방지
- 차로마킹과 접합부 일치로 차량주행성 양호

### b. 단점

- 측대구간에서 신구 콘크리트간의 접착이 떨어지는 경우 심각한 결함초래 가능
- 기존 포장 측대부 절삭 및 치핑에 따른 비용 부담 및 인근 콘크리트 약화 우려
- 신구 콘크리트간 부등침하시 균열발생



〈그림 18.14〉 측대부를 절삭 및 치핑하고 취약부를 철근보강

## 마. 신설포장에 기층깊이까지 표층 슬래브와 일체된 key를 설치하는 방안

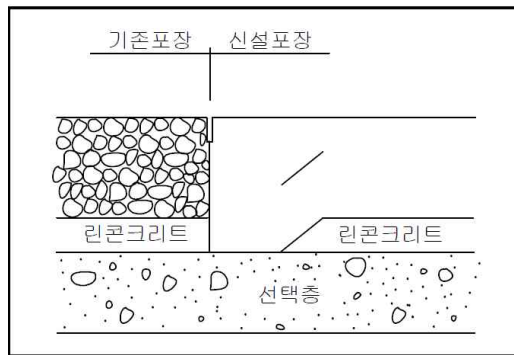
- (a) key 설치로 슬라이딩 방지  
 (b) 접합부를 변단면으로 처리하므로 처짐량 감소  
 (c) 시공실적 : 하남 J.C ~ 동서울 만남의 광장

a. 장점

- 타이바 설치가 불필요하므로 시공 간편(공기 단축)
- 공사비 저렴

b. 단점

- 슬래브 두께가 변화하는 지점에 응력집중이 커질 경우 균열 발생 가능
- 접합부가 차로 내에 있으므로 승차감 불량



〈그림 18.15〉 신설포장에 기층 깊이까지 표층 슬래브와 일체된 key를 설치하는 방안

바. 기존 포장의 기층과 신설포장 슬래브를 타이바로 연결

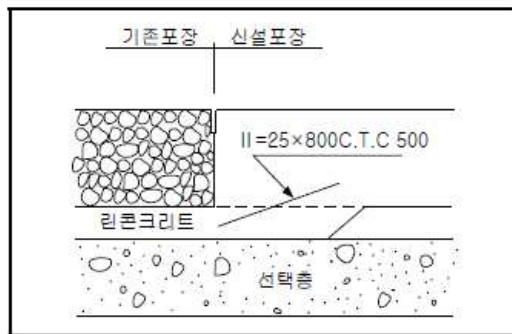
- (a) 기존포장의 빈배합 콘크리트 기층과 신설포장 슬래브를 〈그림 407.22〉와 같이 타이바로 연결하는 방법으로 김포공항 및 김해공항에서 시공실적이 있음

a. 장점

- 산구 슬래브 접합부 보강으로 단차 및 슬라이딩 방지

## b. 단점

- 하중이 접합부에서 신설포장 쪽으로 재하되는 경우 하중전달 안됨
- 기존 슬래브 밑을 터파기하고 채우는 과정에서 슬래브 밑에 공동(void) 발생 우려
- 시공성 불량
- 공기지연
- 접합부가 차로 내에 있으므로 승차감 불량



〈그림 18.16〉 기존포장의 기층과 신설포장 슬래브를 타이바로 연결

## (2) 콘크리트 포장 접속방안 선정

대안별 장단점 비교 분석 결과 콘크리트 포장 접속방안은 측대폭의 전부 또는 일부를 기존 차로에 안배하는 방안과 신규 슬래브를 타이바 또는 'ㄴ'자형 타이바 겸 하중전달 장치를 사용하는 방안을 병행 사용하는 방법이 바람직할 것이며 이를 요약하면 다음과 같다.

- ① 여분의 측대측(50cm)은 절단하지 않고 그대로 사용한다. '가'의 제3안에서 제시한바와 같이 측대측을 기존 차로의 1차로와2차로에 15cm씩 각각 분배하고 나머지 20cm는 확장차로에 그대로 둘 것을 추천한다. 기존 차로에 15cm씩 분배한 배경은 분배 후 차로폭이 각각 3.75m로서 설계시 차로폭을 3.0, 3.25, 3.75m를 주로 사용하는 관계를 감안한 것이다.

확장차로에 남은 측대측 20cm는 그대로 두어도 차량하중 재하위치로부터 충분히 떨어져 있게 되므로 무방한 것으로 판단된다.(확장차로의 차로폭 3.6m에서 중차량의 하중 재하폭을 2m로 보면 양쪽에 양80cm씩 여유폭이 있으므로 측대폭 20cm여분은 큰 문제가 없을 것으로 판단된다.

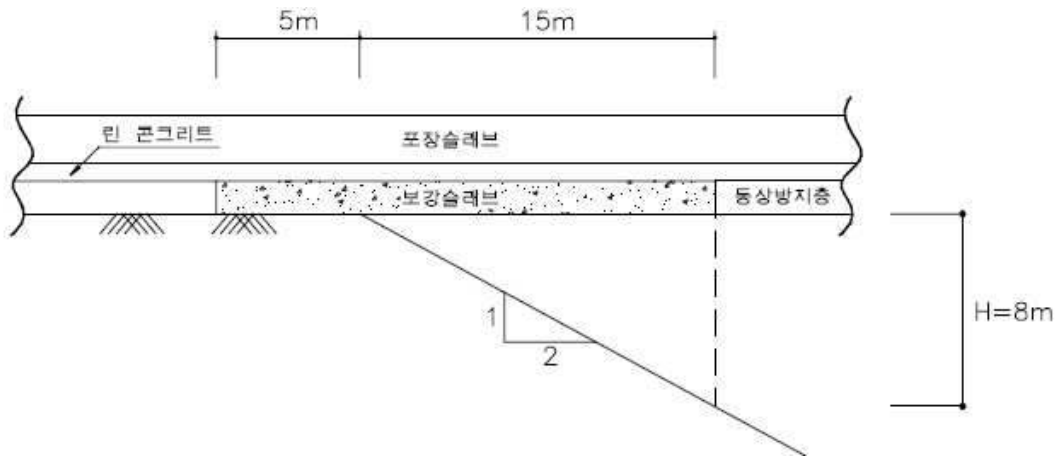
- ② 접속부분의 하중전달은 시공성, 하중전달 및 접속부 이완방지 측면에서 '나'에서 제시한 바와 같이 접속부의 타이바를 보강하거나 '다'에서 제시한 바와 같이 특별히 고안된 '르'자형바를 이용할 것을 추천한다. '나'에서 기존 슬래브에 타이바를 시공하는 방법은 국내 시공실적이 있으며 장비를 사용하면 비교적 쉽게 타이바 구멍을 뚫을 수 있다.

## 18.5 흠쌓기 · 땅깍기 경계부 포장

흠쌓기·땅깍기 경계부는 자연 상태의 지반과 인공 다짐으로 조성된 지반 사이에서는 지지력차이로 인하여 침하가 발생하고 땅깍기부와 단차를 피할 수 없다. 이러한 단차에 의해 포장손상이 우려되므로 슬래브를 보호하기 위해 땅깍기·흠쌓기의 경계부에 대한 보강을 실시한다.

### 18.5.1 보강 슬래브의 설치기준

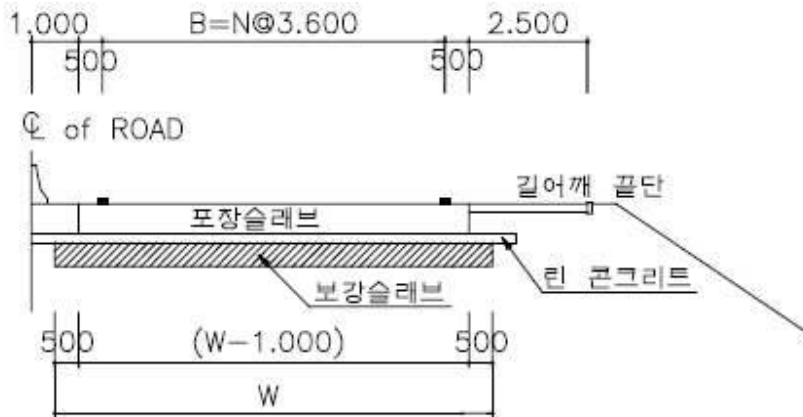
한계성 토고 8m와 흠쌓기부 측 보강 슬래브(15m) 단부지점의 기울기를 적용하며(한계기울기는 1:2로 적용), 원지반이 암반인 경우 전구간, 땅깍기·흠쌓기 경계부에 횡단 배수관이 있는 경우, 용수 침투수가 과다하여 별도의 횡단맹암거가 설치된 구간 등에 보강 슬래브를 설치한다.



〈그림 18.17〉 보강 슬래브 설치범위

### 18.5.2 보강 슬래브의 폭원 결정

보강 슬래브 폭원은 〈그림 18.18〉과 같으며 포장 포설위치와의 시공오차 등을 감안하여 포장 슬래브 측대와 같이 포장계획 폭원에 좌·우측 각 0.50m를 추가한 폭원으로 설정한다.



〈그림 18.18〉 보강 슬래브의 폭원

〈표 18.3〉 보강 슬래브의 폭원 치수표

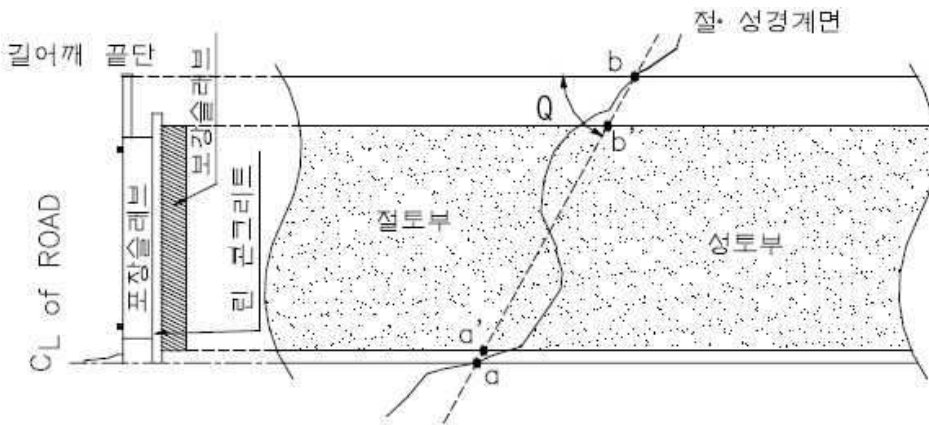
| 구분      | n(차로) | B(m) | W(m) |
|---------|-------|------|------|
| 양방향 4차로 | 2     | 7.2  | 9.2  |
| 양방향 6차로 | 3     | 10.8 | 12.8 |
| 양방향 8차로 | 4     | 14.4 | 16.4 |

### 18.5.3 보강 슬래브의 설치길이

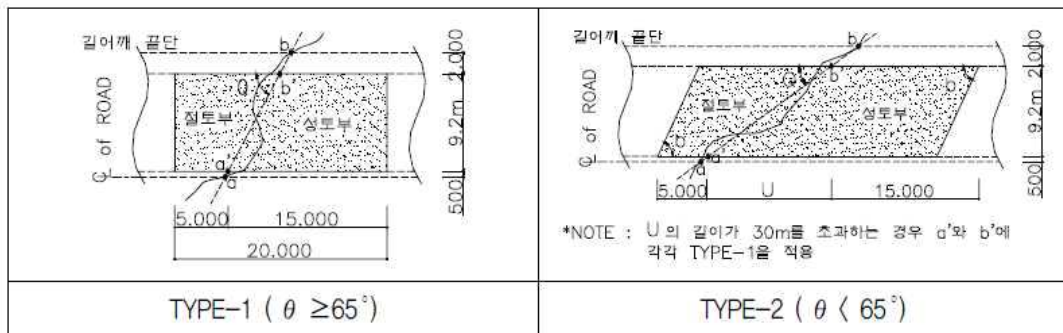
〈그림 18.19〉에서 땅깍기·흙쌓기 경계면이도로 폭원과 교차되는 a·b 점을 직선으로 연결하였을 경우, 도로 방향과 이루는  $\theta$ 의 크기에 따라 보강형태를 TYPE-1(직사각형)과 TYPE-2(평행사변형)로 분류하여 적용하며(〈그림 18.20〉 참조), 한쪽깍기·한쪽쌓기 구간은 발생빈도와 구간의 중요성 등을 고려하여 별도 설치한다. 기준  $\theta$ 의 결정은 〈그림 18.20〉에서 a' 와 b' 사이의 노선 방향 거리가 5m 이하가 되는  $\theta$ 값에서 결정하였으며 〈표 18.3〉과 같다.  $\theta$ 는 땅깍기부 5m와 흙쌓기부 최소 보강길이 15m를 확보하는 skew 각을 의미한다.

〈표 18.4〉 기준  $\theta$

|         |                             |     |
|---------|-----------------------------|-----|
| 양방향 4차로 | $\tan^{-1}(9.2/5) = 61.47$  | 65° |
| 양방향 6차로 | $\tan^{-1}(12.8/5) = 68.66$ | 65° |
| 양방향 8차로 | $\tan^{-1}(16.4/5) = 73.04$ | 65° |



〈그림 18.19〉 보강 슬래브 설치 길이



〈그림 18.20〉 적용 형식(양방향 4차로의 경우)



## 참 여 진

### 국 토 교 통 부

|       |                                   |                         |
|-------|-----------------------------------|-------------------------|
| 도 로 국 | 도 로 건 설 과 장<br>시 설 사 무 관<br>주 무 관 | 오 수 영<br>신 종 육<br>송 진 우 |
|-------|-----------------------------------|-------------------------|

### 집 필 진

|                |                                                                                    |                                                    |
|----------------|------------------------------------------------------------------------------------|----------------------------------------------------|
| 한국도로협회         | 도로교통연구실장 (연구책임)<br>선 임 연 구 위 원<br>책 임 연 구 원<br>책 임 연 구 원<br>선 임 연 구 원<br>전 임 연 구 원 | 윤 재 용<br>황 훈 희<br>김 보 성<br>이 호 정<br>이 종 민<br>윤 유 정 |
| 한국건설기술<br>연구 원 | 연 구 위 원<br>수 석 연 구 원<br>전 임 연 구 원<br>박 사 후 연 구 원<br>수 석 연 구 원<br>수 석 연 구 원         | 김 기 현<br>허 원 호<br>주 영 재<br>김 제 훈<br>정 제 원<br>정 규 동 |

### 자 문 진

|                        |                        |
|------------------------|------------------------|
| 김 대 운 (한국도로공사)         | 황 정 현 (한국도로교통공단)       |
| 김 경 남 (한국도로공사 도로교통연구원) | 문 기 훈 (한국도로공사 도로교통연구원) |
| 김 인 태 (명지대학교)          | 김 승 원 (강원대학교)          |
| 정 진 훈 (인하대학교)          | 김 유 백 (진우엔지니어링코리아)     |
| 조 향 신 (장맥엔지니어링)        | 한 의 석 (동일기술공사)         |

## 도로포장 설계 요령

---

- 발간등록번호 / 11-1613000-100163-01
- 발 행 일 / 2025년 6월
- 발 행 처 / 국토교통부

세종특별자치시 도움6로 11

TEL : (044) 201-3893

[www.mltm.go.kr](http://www.mltm.go.kr)

---

이 책의 무단 복제를 절대 금합니다.

이 요령에 대하여 궁금한 사항이 있으시면 국토교통부  
도로건설과(044-201-3893)로 문의하시기 바랍니다.